UNIVERSITAT POLITÈCNICA DE VALÈNCIA

INFORME DE EVALUACIÓN DE LOS DAÑOS PROVOCADOS POR LA DANA DE OCTUBRE DE 2024 EN LOS BARRANCOS DEL POYO, L'HORTETA Y LA CAÑADA DE PEQUÉ, EN EL TÉRMINO MUNICIPAL DE TORRENT (VALENCIA)



ANEJOS

Valencia, septiembre de 2025

Indice

1.- ANEJO 1: ESTUDIO HIDROLÓGICO 241

1.1.- HIETOGRAMAS 241

1.2.- HIDROGRAMAS CALCULADOS MEDIANTE MODELACIÓN HIDROLÓGICA 248

2.- ANEJO 2: MEDICIONES PARA VALORACIÓN DE DAÑOS 287

2.1.- RAMBLA DEL POYO 288

2.2.- BARRANCO DE L´HORTETA 291

2.3.- BARRANCO DE SOTERRAÑA (PARTIDA DE LA VENTETA) 294

2.4.- CAÑADA DEL PEQUÉ 294

3.- ANEJO 3: COMPARACIÓN DE INUNDACIÓN ENTRE PRE-DANA Y POST-DANA 296

3.1.- T=25 AÑOS 296

3.2.- T=100 AÑOS 303

3.3.- T=500 AÑOS 309

3.4.- ZONAS CON CAMBIOS RELEVANTES EN LA INUNDACIÓN 315

4.- ANEJO 4: MODELACIÓN HIDRÁULICA DE LA DANA 327

4.1.- RESULTADO GLOBAL DE LA INUNDACIÓN 327

4.2.- RESULTADOS EN ZONA 1 328

4.3.- RESULTADOS EN ZONA 2 332

4.4.- RESULTADOS EN ZONA 3 334

4.5.- RESULTADOS EN ZONA 4 335

4.6.- RESULTADOS EN ZONA 5 336

4.7.- RESULTADOS EN ZONA 6 338

4.8.- PROCESO DE LLENADO DE LA CANTERA DE CALICANTO 339

5.- ANEJO 5: IDENTIFICACIÓN DE DAÑOS. VISITAS A CAMPO 350

5.1.- NUMERACIÓN DE SECCIONES 350

5.2.- RAMBLA DEL POYO 352

5.3.- BARRANCO DE L´HORTETA 471

5.4.- BARRANCO DE LA BOTA 760

5.5.- AFLUENTE DEL BARRANCO DE LA BOTA 774

5.6.- CAÑADA DEL PEQUE 780

5.7.- BARRANCO DE SOTERRAÑA. PARTIDA DE LA VENTETA. 830

6.- ANEJO 6: VALORACIÓN ECONÓMICA PARA REPOSICIÓN DE ZONAS URBANAS ..847

6.1.- NIVEL DE INTERVENCIÓN.....847

6.2.- FICHAS DE VALORACIÓN 848

1.- ANEJO 1: ESTUDIO HIDROLÓGICO

1.1.- HIETOGRAMAS

En este apartado se expondrán los hietogramas de la DANA proporcionados por AEMET y la CHJ.

Estación AEMET Turís (resolución 10-minutal)

Intervalo	Intensidad (mm/h)	Intervalo	Intensidad (mm/h)
29/10/2024 00:00-00:10	0,0	29/10/2024 12:00-12:10	0,0
29/10/2024 00:10-00:20	0,0	29/10/2024 12:10-12:20	0,0
29/10/2024 00:20-00:30	0,0	29/10/2024 12:20-12:30	0,0
29/10/2024 00:30-00:40	0,0	29/10/2024 12:30-12:40	0,0
29/10/2024 00:40-00:50	0,0	29/10/2024 12:40-12:50	0,0
29/10/2024 00:50-01:00	0,0	29/10/2024 12:50-13:00	0,0
29/10/2024 01:00-01:10	0,0	29/10/2024 13:00-13:10	0,0
29/10/2024 01:10-01:20	0,0	29/10/2024 13:10-13:20	0,0
29/10/2024 01:20-01:30	0,0	29/10/2024 13:20-13:30	0,0
29/10/2024 01:30-01:40	0,0	29/10/2024 13:30-13:40	0,0
29/10/2024 01:40-01:50	0,0	29/10/2024 13:40-13:50	0,0
29/10/2024 01:50-02:00	0,0	29/10/2024 13:50-14:00	0,0
29/10/2024 02:00-02:10	1,2	29/10/2024 14:00-14:10	0,0
29/10/2024 02:10-02:20	0,0	29/10/2024 14:10-14:20	0,0
29/10/2024 02:20-02:30	0,0	29/10/2024 14:20-14:30	0,0
29/10/2024 02:30-02:40	0,0	29/10/2024 14:30-14:40	4,8
29/10/2024 02:40-02:50	0,0	29/10/2024 14:40-14:50	15,6
29/10/2024 02:50-03:00	0,0	29/10/2024 14:50-15:00	13,2
29/10/2024 03:00-03:10	0,0	29/10/2024 15:00-15:10	24,0
29/10/2024 03:10-03:20	0,0	29/10/2024 15:10-15:20	38,4
29/10/2024 03:20-03:30	1,2	29/10/2024 15:20-15:30	49,2
29/10/2024 03:30-03:40	0,0	29/10/2024 15:30-15:40	72,0
29/10/2024 03:40-03:50	0,0	29/10/2024 15:40-15:50	116,4
29/10/2024 03:50-04:00	0,0	29/10/2024 15:50-16:00	104,4
29/10/2024 04:00-04:10	0,0	29/10/2024 16:00-16:10	115,2
29/10/2024 04:10-04:20	0,0	29/10/2024 16:10-16:20	90,0
29/10/2024 04:20-04:30	0,0	29/10/2024 16:20-16:30	141,6
29/10/2024 04:30-04:40	0,0	29/10/2024 16:30-16:40	187,2
29/10/2024 04:40-04:50	1,2	29/10/2024 16:40-16:50	162,0
29/10/2024 04:50-05:00	0,0	29/10/2024 16:50-17:00	226,8
29/10/2024 05:00-05:10	0,0	29/10/2024 17:00-17:10	226,8
29/10/2024 05:10-05:20	1,2	29/10/2024 17:10-17:20	163,2
29/10/2024 05:20-05:30	0,0	29/10/2024 17:20-17:30	116,4
29/10/2024 05:30-05:40	2,4	29/10/2024 17:30-17:40	70,8
29/10/2024 05:40-05:50	9,6	29/10/2024 17:40-17:50	85,2
29/10/2024 05:50-06:00	1,2	29/10/2024 17:50-18:00	174,0
29/10/2024 06:00-06:10	1,2	29/10/2024 18:00-18:10	172,8
29/10/2024 06:10-06:20	10,8	29/10/2024 18:10-18:20	190,8
29/10/2024 06:20-06:30	24,0	29/10/2024 18:20-18:30	97,2
29/10/2024 06:30-06:40	4,8	29/10/2024 18:30-18:40	134,4
29/10/2024 06:40-06:50	1,2	29/10/2024 18:40-18:50	252,0
29/10/2024 06:50-07:00	3,6	29/10/2024 18:50-19:00	229,2
29/10/2024 07:00-07:10	1,2	29/10/2024 19:00-19:10	130,8
29/10/2024 07:10-07:20	12,0	29/10/2024 19:10-19:20	96,0
29/10/2024 07:20-07:30	10,8	29/10/2024 19:20-19:30	115,2
29/10/2024 07:30-07:40	60,0	29/10/2024 19:30-19:40	87,6
29/10/2024 07:40-07:50	130,8	29/10/2024 19:40-19:50	18,0
29/10/2024 07:50-08:00	87,6	29/10/2024 19:50-20:00	2,4
29/10/2024 08:00-08:10	40,8	29/10/2024 20:00-20:10	0,0
29/10/2024 08:10-08:20	86,4	29/10/2024 20:10-20:20	0,0
29/10/2024 08:20-08:30	25,2	29/10/2024 20:20-20:30	0,0
29/10/2024 08:30-08:40	140,4	29/10/2024 20:30-20:40	1,2
29/10/2024 08:40-08:50	31,2	29/10/2024 20:40-20:50	0,0
29/10/2024 08:50-09:00	21,6	29/10/2024 20:50-21:00	0,0
29/10/2024 09:00-09:10	2,4	29/10/2024 21:00-21:10	0,0
29/10/2024 09:10-09:20	1,2	29/10/2024 21:10-21:20	0,0
29/10/2024 09:20-09:30	14,4	29/10/2024 21:20-21:30	0,0
29/10/2024 09:30-09:40	1,2	29/10/2024 21:30-21:40	0,0
29/10/2024 09:40-09:50	3,6	29/10/2024 21:40-21:50	1,2
29/10/2024 09:50-10:00	6,0	29/10/2024 21:50-22:00	0,0
29/10/2024 10:00-10:10	15,6	29/10/2024 22:00-22:10	1,2
29/10/2024 10:10-10:20	7,2	29/10/2024 22:10-22:20	36,0
29/10/2024 10:20-10:30	1,2	29/10/2024 22:20-22:30	21,6
29/10/2024 10:30-10:40	0,0	29/10/2024 22:30-22:40	33,6
29/10/2024 10:40-10:50	1,2	29/10/2024 22:40-22:50	26,4
29/10/2024 10:50-11:00	0,0	29/10/2024 22:50-23:00	3,6
29/10/2024 11:00-11:10	0,0	29/10/2024 23:00-23:10	1,2
29/10/2024 11:10-11:20	1,2	29/10/2024 23:10-23:20	2,4
29/10/2024 11:20-11:30	0,0	29/10/2024 23:20-23:30	0,0
29/10/2024 11:30-11:40	0,0	29/10/2024 23:30-23:40	3,6
29/10/2024 11:40-11:50	0,0	29/10/2024 23:40-23:50	1,2
29/10/2024 11:50-12:00	0,0	29/10/2024 23:50-00:00	0,0

Estación SAIH-CHJ Chiva (resolución 5-minutal)

Intervalo	Intensidad (mm/h)	Intervalo	Intensidad (mm/h)	Intervalo	Intensidad (mm/h)	Intervalo	Intensidad (mm/h)
29/10/2024 00:00-00:05	0,0	29/10/2024 06:00-06:05	1,2	29/10/2024 12:00-12:05	0,0	29/10/2024 18:00-18:05	51,6
29/10/2024 00:05-00:10	0,0	29/10/2024 06:05-06:10	1,2	29/10/2024 12:05-12:10	0,0	29/10/2024 18:05-18:10	51,6
29/10/2024 00:10-00:15	0,0	29/10/2024 06:10-06:15	0,0	29/10/2024 12:10-12:15	0,0	29/10/2024 18:10-18:15	39,6
29/10/2024 00:15-00:20	0,0	29/10/2024 06:15-06:20	0,0	29/10/2024 12:15-12:20	0,0	29/10/2024 18:15-18:20	39,6
29/10/2024 00:20-00:25	0,0	29/10/2024 06:20-06:25	4,8	29/10/2024 12:20-12:25	0,0	29/10/2024 18:20-18:25	64,8
29/10/2024 00:25-00:30	0,0	29/10/2024 06:25-06:30	4,8	29/10/2024 12:25-12:30	0,0	29/10/2024 18:25-18:30	64,8
29/10/2024 00:30-00:35	0,0	29/10/2024 06:30-06:35	1,2	29/10/2024 12:30-12:35	0,0	29/10/2024 18:30-18:35	93,6
29/10/2024 00:35-00:40	0,0	29/10/2024 06:35-06:40	1,2	29/10/2024 12:35-12:40	0,0	29/10/2024 18:35-18:40	93,6
29/10/2024 00:40-00:45	0,0	29/10/2024 06:40-06:45	7,2	29/10/2024 12:40-12:45	0,0	29/10/2024 18:40-18:45	64,8
29/10/2024 00:45-00:50	0,0	29/10/2024 06:45-06:50	7,2	29/10/2024 12:45-12:50	0,0	29/10/2024 18:45-18:50	64,8
29/10/2024 00:50-00:55	0,0	29/10/2024 06:50-06:55	3,6	29/10/2024 12:50-12:55	0,0	29/10/2024 18:50-18:55	102,0
29/10/2024 00:55-01:00	0,0	29/10/2024 06:55-07:00	3,6	29/10/2024 12:55-13:00	0,0	29/10/2024 18:55-19:00	102,0
29/10/2024 01:00-01:05	0,0	29/10/2024 07:00-07:05	9,6	29/10/2024 13:00-13:05	0,0	29/10/2024 19:00-19:05	97,2
29/10/2024 01:05-01:10	0,0	29/10/2024 07:05-07:10	9,6	29/10/2024 13:05-13:10	0,0	29/10/2024 19:05-19:10	97,2
29/10/2024 01:10-01:15	0,0	29/10/2024 07:10-07:15	1,2	29/10/2024 13:10-13:15	0,0	29/10/2024 19:10-19:15	79,2
29/10/2024 01:15-01:20	0,0	29/10/2024 07:15-07:20	1,2	29/10/2024 13:15-13:20	0,0	29/10/2024 19:15-19:20	79,2
29/10/2024 01:20-01:25	0,0	29/10/2024 07:20-07:25	3,6	29/10/2024 13:20-13:25	0,0	29/10/2024 19:20-19:25	108,0
29/10/2024 01:25-01:30	0,0	29/10/2024 07:25-07:30	3,6	29/10/2024 13:25-13:30	0,0	29/10/2024 19:25-19:30	108,0
29/10/2024 01:30-01:35	0,0	29/10/2024 07:30-07:35	34,8	29/10/2024 13:30-13:35	0,0	29/10/2024 19:30-19:35	142,8
29/10/2024 01:35-01:40	0,0	29/10/2024 07:35-07:40	34,8	29/10/2024 13:35-13:40	0,0	29/10/2024 19:35-19:40	142,8
29/10/2024 01:40-01:45	0,0	29/10/2024 07:40-07:45	56,4	29/10/2024 13:40-13:45	1,2	29/10/2024 19:40-19:45	194,4
29/10/2024 01:45-01:50	0,0	29/10/2024 07:45-07:50	56,4	29/10/2024 13:45-13:50	1,2	29/10/2024 19:45-19:50	194,4
29/10/2024 01:50-01:55	0,0	29/10/2024 07:50-07:55	51,6	29/10/2024 13:50-13:55	0,0	29/10/2024 19:50-19:55	117,6
29/10/2024 01:55-02:00	0,0	29/10/2024 07:55-08:00	51,6	29/10/2024 13:55-14:00	0,0	29/10/2024 19:55-20:00	117,6
29/10/2024 02:00-02:05	0,0	29/10/2024 08:00-08:05	15,6	29/10/2024 14:00-14:05	0,0	29/10/2024 20:00-20:05	90,0
29/10/2024 02:05-02:10	0,0	29/10/2024 08:05-08:10	15,6	29/10/2024 14:05-14:10	0,0	29/10/2024 20:05-20:10	90,0
29/10/2024 02:10-02:15	0,0	29/10/2024 08:10-08:15	62,4	29/10/2024 14:10-14:15	0,0	29/10/2024 20:10-20:15	159,6
29/10/2024 02:15-02:20	0,0	29/10/2024 08:15-08:20	61,2	29/10/2024 14:15-14:20	0,0	29/10/2024 20:15-20:20	159,6
29/10/2024 02:20-02:25	0,0	29/10/2024 08:20-08:25	85,2	29/10/2024 14:20-14:25	0,0	29/10/2024 20:20-20:25	36,0
29/10/2024 02:25-02:30	0,0	29/10/2024 08:25-08:30	85,2	29/10/2024 14:25-14:30	0,0	29/10/2024 20:25-20:30	36,0
29/10/2024 02:30-02:35	0,0	29/10/2024 08:30-08:35	151,2	29/10/2024 14:30-14:35	1,2	29/10/2024 20:30-20:35	1,2
29/10/2024 02:35-02:40	0,0	29/10/2024 08:35-08:40	152,4	29/10/2024 14:35-14:40	1,2	29/10/2024 20:35-20:40	1,2
29/10/2024 02:40-02:45	0,0	29/10/2024 08:40-08:45	22,8	29/10/2024 14:40-14:45	2,4	29/10/2024 20:40-20:45	0,0
29/10/2024 02:45-02:50	0,0	29/10/2024 08:45-08:50	22,8	29/10/2024 14:45-14:50	2,4	29/10/2024 20:45-20:50	0,0
29/10/2024 02:50-02:55	0,0	29/10/2024 08:50-08:55	30,0	29/10/2024 14:50-14:55	9,6	29/10/2024 20:50-20:55	2,4
29/10/2024 02:55-03:00	0,0	29/10/2024 08:55-09:00	30,0	29/10/2024 14:55-15:00	9,6	29/10/2024 20:55-21:00	2,4
29/10/2024 03:00-03:05	0,0	29/10/2024 09:00-09:05	33,6	29/10/2024 15:00-15:05	9,6	29/10/2024 21:00-21:05	1,2
29/10/2024 03:05-03:10	0,0	29/10/2024 09:05-09:10	33,6	29/10/2024 15:05-15:10	9,6	29/10/2024 21:05-21:10	1,2
29/10/2024 03:10-03:15	0,0	29/10/2024 09:10-09:15	33,6	29/10/2024 15:10-15:15	0,0	29/10/2024 21:10-21:15	3,6
29/10/2024 03:15-03:20	0,0	29/10/2024 09:15-09:20	34,8	29/10/2024 15:15-15:20	0,0	29/10/2024 21:15-21:20	3,6
29/10/2024 03:20-03:25	0,0	29/10/2024 09:20-09:25	18,0	29/10/2024 15:20-15:25	0,0	29/10/2024 21:20-21:25	4,8
29/10/2024 03:25-03:30	0,0	29/10/2024 09:25-09:30	19,2	29/10/2024 15:25-15:30	0,0	29/10/2024 21:25-21:30	4,8
29/10/2024 03:30-03:35	0,0	29/10/2024 09:30-09:35	27,6	29/10/2024 15:30-15:35	49,2	29/10/2024 21:30-21:35	6,0
29/10/2024 03:35-03:40	0,0	29/10/2024 09:35-09:40	27,6	29/10/2024 15:35-15:40	49,2	29/10/2024 21:35-21:40	6,0
29/10/2024 03:40-03:45	0,0	29/10/2024 09:40-09:45	25,2	29/10/2024 15:40-15:45	18,0	29/10/2024 21:40-21:45	10,8
29/10/2024 03:45-03:50	0,0	29/10/2024 09:45-09:50	25,2	29/10/2024 15:45-15:50	18,0	29/10/2024 21:45-21:50	10,8
29/10/2024 03:50-03:55	0,0	29/10/2024 09:50-09:55	8,4	29/10/2024 15:50-15:55	93,6	29/10/2024 21:50-21:55	31,2
29/10/2024 03:55-04:00	0,0	29/10/2024 09:55-10:00	8,4	29/10/2024 15:55-16:00	93,6	29/10/2024 21:55-22:00	31,2
29/10/2024 04:00-04:05	0,0	29/10/2024 10:00-10:05	7,2	29/10/2024 16:00-16:05	0,0	29/10/2024 22:00-22:05	28,8
29/10/2024 04:05-04:10	0,0	29/10/2024 10:05-10:10	7,2	29/10/2024 16:05-16:10	0,0	29/10/2024 22:05-22:10	28,8
29/10/2024 04:10-04:15	0,0	29/10/2024 10:10-10:15	21,6	29/10/2024 16:10-16:15	54,0	29/10/2024 22:10-22:15	56,4
29/10/2024 04:15-04:20	0,0	29/10/2024 10:15-10:20	21,6	29/10/2024 16:15-16:20	54,0	29/10/2024 22:15-22:20	56,4
29/10/2024 04:20-04:25	0,0	29/10/2024 10:20-10:25	16,8	29/10/2024 16:20-16:25	33,6	29/10/2024 22:20-22:25	91,2
29/10/2024 04:25-04:30	0,0	29/10/2024 10:25-10:30	16,8	29/10/2024 16:25-16:30	33,6	29/10/2024 22:25-22:30	91,2
29/10/2024 04:30-04:35	0,0	29/10/2024 10:30-10:35	8,4	29/10/2024 16:30-16:35	54,0	29/10/2024 22:30-22:35	70,8
29/10/2024 04:35-04:40	0,0	29/10/2024 10:35-10:40	8,4	29/10/2024 16:35-16:40	54,0	29/10/2024 22:35-22:40	70,8
29/10/2024 04:40-04:45	6,0	29/10/2024 10:40-10:45	0,0	29/10/2024 16:40-16:45	40,8	29/10/2024 22:40-22:45	15,6
29/10/2024 04:45-04:50	6,0	29/10/2024 10:45-10:50	0,0	29/10/2024 16:45-16:50	40,8	29/10/2024 22:45-22:50	15,6
29/10/2024 04:50-04:55	0,0	29/10/2024 10:50-10:55	0,0	29/10/2024 16:50-16:55	69,6	29/10/2024 22:50-22:55	16,8
29/10/2024 04:55-05:00	0,0	29/10/2024 10:55-11:00	0,0	29/10/2024 16:55-17:00	69,6	29/10/2024 22:55-23:00	16,8
29/10/2024 05:00-05:05	0,0	29/10/2024 11:00-11:05	1,2	29/10/2024 17:00-17:05	45,6	29/10/2024 23:00-23:05	0,0
29/10/2024 05:05-05:10	0,0	29/10/2024 11:05-11:10	1,2	29/10/2024 17:05-17:10	45,6	29/10/2024 23:05-23:10	0,0
29/10/2024 05:10-05:15	0,0	29/10/2024 11:10-11:15	0,0	29/10/2024 17:10-17:15	48,0	29/10/2024 23:10-23:15	0,0
29/10/2024 05:15-05:20	0,0	29/10/2024 11:15-11:20	0,0	29/10/2024 17:15-17:20	48,0	29/10/2024 23:15-23:20	0,0
29/10/2024 05:20-05:25	0,0	29/10/2024 11:20-11:25	0,0	29/10/2024 17:20-17:25	78,0	29/10/2024 23:20-23:25	1,2
29/10/2024 05:25-05:30	0,0	29/10/2024 11:25-11:30	0,0	29/10/2024 17:25-17:30	78,0	29/10/2024 23:25-23:30	1,2
29/10/2024 05:30-05:35	0,0	29/10/2024 11:30-11:35	0,0	29/10/2024 17:30-17:35	50,4	29/10/2024 23:30-23:35	0,0
29/10/2024 05:35-05:40	0,0	29/10/2024 11:35-11:40	0,0	29/10/2024 17:35-17:40	50,4	29/10/2024 23:35-23:40	0,0
29/10/2024 05:40-05:45	0,0	29/10/2024 11:40-11:45	0,0	29/10/2024 17:40-17:45	301,2	29/10/2024 23:40-23:45	0,0
29/10/2024 05:45-05:50	0,0	29/10/2024 11:45-11:50	0,0	29/10/2024 17:45-17:50	301,2	29/10/2024 23:45-23:50	0,0
29/10/2024 05:50-05:55	1,2	29/10/2024 11:50-11:55	0,0	29/10/2024 17:50-17:55	135,6	29/10/2024 23:50-23:55	3,6
29/10/2024 05:55-06:00	1,2	29/10/2024 11:55-12:00	0,0	29/10/2024 17:55-18:00	135,6	29/10/2024 23:55-0:00	3,6

Estación SAIH-CHJ Siete Aguas (resolución 5-minutal)

Intervalo	Intensidad (mm/h)	Intervalo	Intensidad (mm/h)	Intervalo	Intensidad (mm/h)	Intervalo	Intensidad (mm/h)
29/10/2024 00:00-00:05	0,0	29/10/2024 06:00-06:05	8,4	29/10/2024 12:00-12:05	4,8	29/10/2024 18:00-18:05	14,4
29/10/2024 00:05-00:10	0,0	29/10/2024 06:05-06:10	8,4	29/10/2024 12:05-12:10	4,8	29/10/2024 18:05-18:10	14,4
29/10/2024 00:10-00:15	0,0	29/10/2024 06:10-06:15	1,2	29/10/2024 12:10-12:15	2,4	29/10/2024 18:10-18:15	2,4
29/10/2024 00:15-00:20	0,0	29/10/2024 06:15-06:20	1,2	29/10/2024 12:15-12:20	2,4	29/10/2024 18:15-18:20	2,4
29/10/2024 00:20-00:25	0,0	29/10/2024 06:20-06:25	1,2	29/10/2024 12:20-12:25	4,8	29/10/2024 18:20-18:25	1,2
29/10/2024 00:25-00:30	0,0	29/10/2024 06:25-06:30	1,2	29/10/2024 12:25-12:30	4,8	29/10/2024 18:25-18:30	1,2
29/10/2024 00:30-00:35	0,0	29/10/2024 06:30-06:35	14,4	29/10/2024 12:30-12:35	8,4	29/10/2024 18:30-18:35	4,8
29/10/2024 00:35-00:40	0,0	29/10/2024 06:35-06:40	14,4	29/10/2024 12:35-12:40	8,4	29/10/2024 18:35-18:40	4,8
29/10/2024 00:40-00:45	0,0	29/10/2024 06:40-06:45	12,0	29/10/2024 12:40-12:45	1,2	29/10/2024 18:40-18:45	2,4
29/10/2024 00:45-00:50	0,0	29/10/2024 06:45-06:50	12,0	29/10/2024 12:45-12:50	1,2	29/10/2024 18:45-18:50	2,4
29/10/2024 00:50-00:55	0,0	29/10/2024 06:50-06:55	8,4	29/10/2024 12:50-12:55	3,6	29/10/2024 18:50-18:55	2,4
29/10/2024 00:55-01:00	0,0	29/10/2024 06:55-07:00	8,4	29/10/2024 12:55-13:00	3,6	29/10/2024 18:55-19:00	2,4
29/10/2024 01:00-01:05	0,0	29/10/2024 07:00-07:05	6,0	29/10/2024 13:00-13:05	0,0	29/10/2024 19:00-19:05	6,0
29/10/2024 01:05-01:10	0,0	29/10/2024 07:05-07:10	6,0	29/10/2024 13:05-13:10	0,0	29/10/2024 19:05-19:10	6,0
29/10/2024 01:10-01:15	0,0	29/10/2024 07:10-07:15	8,4	29/10/2024 13:10-13:15	32,4	29/10/2024 19:10-19:15	39,6
29/10/2024 01:15-01:20	0,0	29/10/2024 07:15-07:20	8,4	29/10/2024 13:15-13:20	32,4	29/10/2024 19:15-19:20	39,6
29/10/2024 01:20-01:25	0,0	29/10/2024 07:20-07:25	3,6	29/10/2024 13:20-13:25	4,8	29/10/2024 19:20-19:25	27,6
29/10/2024 01:25-01:30	0,0	29/10/2024 07:25-07:30	3,6	29/10/2024 13:25-13:30	4,8	29/10/2024 19:25-19:30	27,6
29/10/2024 01:30-01:35	0,0	29/10/2024 07:30-07:35	19,2	29/10/2024 13:30-13:35	0,0	29/10/2024 19:30-19:35	52,8
29/10/2024 01:35-01:40	0,0	29/10/2024 07:35-07:40	19,2	29/10/2024 13:35-13:40	0,0	29/10/2024 19:35-19:40	52,8
29/10/2024 01:40-01:45	0,0	29/10/2024 07:40-07:45	10,8	29/10/2024 13:40-13:45	1,2	29/10/2024 19:40-19:45	32,4
29/10/2024 01:45-01:50	0,0	29/10/2024 07:45-07:50	10,8	29/10/2024 13:45-13:50	1,2	29/10/2024 19:45-19:50	32,4
29/10/2024 01:50-01:55	0,0	29/10/2024 07:50-07:55	33,6	29/10/2024 13:50-13:55	6,0	29/10/2024 19:50-19:55	7,2
29/10/2024 01:55-02:00	0,0	29/10/2024 07:55-08:00	33,6	29/10/2024 13:55-14:00	6,0	29/10/2024 19:55-20:00	7,2
29/10/2024 02:00-02:05	0,0	29/10/2024 08:00-08:05	43,2	29/10/2024 14:00-14:05	4,8	29/10/2024 20:00-20:05	10,8
29/10/2024 02:05-02:10	0,0	29/10/2024 08:05-08:10	42,0	29/10/2024 14:05-14:10	4,8	29/10/2024 20:05-20:10	10,8
29/10/2024 02:10-02:15	2,4	29/10/2024 08:10-08:15	9,6	29/10/2024 14:10-14:15	36,0	29/10/2024 20:10-20:15	55,2
29/10/2024 02:15-02:20	2,4	29/10/2024 08:15-08:20	8,4	29/10/2024 14:15-14:20	37,2	29/10/2024 20:15-20:20	55,2
29/10/2024 02:20-02:25	0,0	29/10/2024 08:20-08:25	20,4	29/10/2024 14:20-14:25	44,4	29/10/2024 20:20-20:25	51,6
29/10/2024 02:25-02:30	0,0	29/10/2024 08:25-08:30	20,4	29/10/2024 14:25-14:30	45,6	29/10/2024 20:25-20:30	51,6
29/10/2024 02:30-02:35	0,0	29/10/2024 08:30-08:35	48,0	29/10/2024 14:30-14:35	57,6	29/10/2024 20:30-20:35	3,6
29/10/2024 02:35-02:40	0,0	29/10/2024 08:35-08:40	48,0	29/10/2024 14:35-14:40	57,6	29/10/2024 20:35-20:40	3,6
29/10/2024 02:40-02:45	0,0	29/10/2024 08:40-08:45	112,8	29/10/2024 14:40-14:45	16,8	29/10/2024 20:40-20:45	26,4
29/10/2024 02:45-02:50	0,0	29/10/2024 08:45-08:50	114,0	29/10/2024 14:45-14:50	16,8	29/10/2024 20:45-20:50	26,4
29/10/2024 02:50-02:55	0,0	29/10/2024 08:50-08:55	31,2	29/10/2024 14:50-14:55	19,2	29/10/2024 20:50-20:55	31,2
29/10/2024 02:55-03:00	0,0	29/10/2024 08:55-09:00	30,0	29/10/2024 14:55-15:00	19,2	29/10/2024 20:55-21:00	31,2
29/10/2024 03:00-03:05	0,0	29/10/2024 09:00-09:05	3,6	29/10/2024 15:00-15:05	24,0	29/10/2024 21:00-21:05	70,8
29/10/2024 03:05-03:10	0,0	29/10/2024 09:05-09:10	3,6	29/10/2024 15:05-15:10	24,0	29/10/2024 21:05-21:10	70,8
29/10/2024 03:10-03:15	0,0	29/10/2024 09:10-09:15	0,0	29/10/2024 15:10-15:15	27,6	29/10/2024 21:10-21:15	134,4
29/10/2024 03:15-03:20	0,0	29/10/2024 09:15-09:20	0,0	29/10/2024 15:15-15:20	27,6	29/10/2024 21:15-21:20	134,4
29/10/2024 03:20-03:25	0,0	29/10/2024 09:20-09:25	26,4	29/10/2024 15:20-15:25	4,8	29/10/2024 21:20-21:25	117,6
29/10/2024 03:25-03:30	0,0	29/10/2024 09:25-09:30	26,4	29/10/2024 15:25-15:30	6,0	29/10/2024 21:25-21:30	117,6
29/10/2024 03:30-03:35	0,0	29/10/2024 09:30-09:35	26,4	29/10/2024 15:30-15:35	4,8	29/10/2024 21:30-21:35	54,0
29/10/2024 03:35-03:40	0,0	29/10/2024 09:35-09:40	26,4	29/10/2024 15:35-15:40	6,0	29/10/2024 21:35-21:40	54,0
29/10/2024 03:40-03:45	0,0	29/10/2024 09:40-09:45	22,8	29/10/2024 15:40-15:45	12,0	29/10/2024 21:40-21:45	76,8
29/10/2024 03:45-03:50	0,0	29/10/2024 09:45-09:50	22,8	29/10/2024 15:45-15:50	12,0	29/10/2024 21:45-21:50	76,8
29/10/2024 03:50-03:55	0,0	29/10/2024 09:50-09:55	45,6	29/10/2024 15:50-15:55	16,8	29/10/2024 21:50-21:55	20,4
29/10/2024 03:55-04:00	0,0	29/10/2024 09:55-10:00	45,6	29/10/2024 15:55-16:00	16,8	29/10/2024 21:55-22:00	20,4
29/10/2024 04:00-04:05	0,0	29/10/2024 10:00-10:05	49,2	29/10/2024 16:00-16:05	30,0	29/10/2024 22:00-22:05	3,6
29/10/2024 04:05-04:10	0,0	29/10/2024 10:05-10:10	49,2	29/10/2024 16:05-16:10	30,0	29/10/2024 22:05-22:10	3,6
29/10/2024 04:10-04:15	0,0	29/10/2024 10:10-10:15	9,6	29/10/2024 16:10-16:15	3,6	29/10/2024 22:10-22:15	25,2
29/10/2024 04:15-04:20	0,0	29/10/2024 10:15-10:20	9,6	29/10/2024 16:15-16:20	3,6	29/10/2024 22:15-22:20	25,2
29/10/2024 04:20-04:25	0,0	29/10/2024 10:20-10:25	9,6	29/10/2024 16:20-16:25	18,0	29/10/2024 22:20-22:25	8,4
29/10/2024 04:25-04:30	0,0	29/10/2024 10:25-10:30	9,6	29/10/2024 16:25-16:30	18,0	29/10/2024 22:25-22:30	8,4
29/10/2024 04:30-04:35	0,0	29/10/2024 10:30-10:35	19,2	29/10/2024 16:30-16:35	10,8	29/10/2024 22:30-22:35	14,4
29/10/2024 04:35-04:40	0,0	29/10/2024 10:35-10:40	19,2	29/10/2024 16:35-16:40	10,8	29/10/2024 22:35-22:40	14,4
29/10/2024 04:40-04:45	1,2	29/10/2024 10:40-10:45	7,2	29/10/2024 16:40-16:45	20,4	29/10/2024 22:40-22:45	1,2
29/10/2024 04:45-04:50	1,2	29/10/2024 10:45-10:50	7,2	29/10/2024 16:45-16:50	20,4	29/10/2024 22:45-22:50	1,2
29/10/2024 04:50-04:55	7,2	29/10/2024 10:50-10:55	13,2	29/10/2024 16:50-16:55	28,8	29/10/2024 22:50-22:55	3,6
29/10/2024 04:55-05:00	7,2	29/10/2024 10:55-11:00	13,2	29/10/2024 16:55-17:00	28,8	29/10/2024 22:55-23:00	3,6
29/10/2024 05:00-05:05	0,0	29/10/2024 11:00-11:05	21,6	29/10/2024 17:00-17:05	24,0	29/10/2024 23:00-23:05	0,0
29/10/2024 05:05-05:10	0,0	29/10/2024 11:05-11:10	21,6	29/10/2024 17:05-17:10	24,0	29/10/2024 23:05-23:10	0,0
29/10/2024 05:10-05:15	0,0	29/10/2024 11:10-11:15	1,2	29/10/2024 17:10-17:15	20,4	29/10/2024 23:10-23:15	0,0
29/10/2024 05:15-05:20	0,0	29/10/2024 11:15-11:20	1,2	29/10/2024 17:15-17:20	20,4	29/10/2024 23:15-23:20	0,0
29/10/2024 05:20-05:25	0,0	29/10/2024 11:20-11:25	4,8	29/10/2024 17:20-17:25	4,8	29/10/2024 23:20-23:25	0,0
29/10/2024 05:25-05:30	0,0	29/10/2024 11:25-11:30	4,8	29/10/2024 17:25-17:30	4,8	29/10/2024 23:25-23:30	0,0
29/10/2024 05:30-05:35	0,0	29/10/2024 11:30-11:35	4,8	29/10/2024 17:30-17:35	9,6	29/10/2024 23:30-23:35	0,0
29/10/2024 05:35-05:40	0,0	29/10/2024 11:35-11:40	4,8	29/10/2024 17:35-17:40	9,6	29/10/2024 23:35-23:40	0,0
29/10/2024 05:40-05:45	4,8	29/10/2024 11:40-11:45	2,4	29/10/2024 17:40-17:45	37,2	29/10/2024 23:40-23:45	0,0
29/10/2024 05:45-05:50	4,8	29/10/2024 11:45-11:50	2,4	29/10/2024 17:45-17:50	37,2	29/10/2024 23:45-23:50	0,0
29/10/2024 05:50-05:55	3,6	29/10/2024 11:50-11:55	2,4	29/10/2024 17:50-17:55	6,0	29/10/2024 23:50-23:55	0,0
29/10/2024 05:55-06:00	3,6	29/10/2024 11:55-12:00	2,4	29/10/2024 17:55-18:00	6,0	29/10/2024 23:55-0:00	0,0

Estación SAIH-CHJ Bugarra (resolución 5-minutal)

Intervalo	Intensidad (mm/h)	Intervalo	Intensidad (mm/h)	Intervalo	Intensidad (mm/h)	Intervalo	Intensidad (mm/h)
29/10/2024 00:00-00:05	0,0	29/10/2024 06:00-06:05	0,0	29/10/2024 12:00-12:05	0,0	29/10/2024 18:00-18:05	28,8
29/10/2024 00:05-00:10	0,0	29/10/2024 06:05-06:10	0,0	29/10/2024 12:05-12:10	0,0	29/10/2024 18:05-18:10	28,8
29/10/2024 00:10-00:15	0,0	29/10/2024 06:10-06:15	0,0	29/10/2024 12:10-12:15	0,0	29/10/2024 18:10-18:15	81,6
29/10/2024 00:15-00:20	0,0	29/10/2024 06:15-06:20	0,0	29/10/2024 12:15-12:20	0,0	29/10/2024 18:15-18:20	105,6
29/10/2024 00:20-00:25	0,0	29/10/2024 06:20-06:25	0,0	29/10/2024 12:20-12:25	0,0	29/10/2024 18:20-18:25	84,0
29/10/2024 00:25-00:30	0,0	29/10/2024 06:25-06:30	0,0	29/10/2024 12:25-12:30	0,0	29/10/2024 18:25-18:30	45,6
29/10/2024 00:30-00:35	0,0	29/10/2024 06:30-06:35	0,0	29/10/2024 12:30-12:35	0,0	29/10/2024 18:30-18:35	31,2
29/10/2024 00:35-00:40	0,0	29/10/2024 06:35-06:40	0,0	29/10/2024 12:35-12:40	0,0	29/10/2024 18:35-18:40	38,4
29/10/2024 00:40-00:45	0,0	29/10/2024 06:40-06:45	0,0	29/10/2024 12:40-12:45	0,0	29/10/2024 18:40-18:45	38,4
29/10/2024 00:45-00:50	0,0	29/10/2024 06:45-06:50	0,0	29/10/2024 12:45-12:50	0,0	29/10/2024 18:45-18:50	31,2
29/10/2024 00:50-00:55	0,0	29/10/2024 06:50-06:55	0,0	29/10/2024 12:50-12:55	0,0	29/10/2024 18:50-18:55	38,4
29/10/2024 00:55-01:00	0,0	29/10/2024 06:55-07:00	2,4	29/10/2024 12:55-13:00	0,0	29/10/2024 18:55-19:00	21,6
29/10/2024 01:00-01:05	0,0	29/10/2024 07:00-07:05	2,4	29/10/2024 13:00-13:05	0,0	29/10/2024 19:00-19:05	0,0
29/10/2024 01:05-01:10	0,0	29/10/2024 07:05-07:10	0,0	29/10/2024 13:05-13:10	0,0	29/10/2024 19:05-19:10	0,0
29/10/2024 01:10-01:15	0,0	29/10/2024 07:10-07:15	2,4	29/10/2024 13:10-13:15	0,0	29/10/2024 19:10-19:15	187,2
29/10/2024 01:15-01:20	0,0	29/10/2024 07:15-07:20	0,0	29/10/2024 13:15-13:20	0,0	29/10/2024 19:15-19:20	57,6
29/10/2024 01:20-01:25	0,0	29/10/2024 07:20-07:25	0,0	29/10/2024 13:20-13:25	0,0	29/10/2024 19:20-19:25	62,4
29/10/2024 01:25-01:30	0,0	29/10/2024 07:25-07:30	2,4	29/10/2024 13:25-13:30	0,0	29/10/2024 19:25-19:30	38,4
29/10/2024 01:30-01:35	0,0	29/10/2024 07:30-07:35	7,2	29/10/2024 13:30-13:35	0,0	29/10/2024 19:30-19:35	19,2
29/10/2024 01:35-01:40	0,0	29/10/2024 07:35-07:40	19,2	29/10/2024 13:35-13:40	0,0	29/10/2024 19:35-19:40	9,6
29/10/2024 01:40-01:45	0,0	29/10/2024 07:40-07:45	28,8	29/10/2024 13:40-13:45	0,0	29/10/2024 19:40-19:45	16,8
29/10/2024 01:45-01:50	0,0	29/10/2024 07:45-07:50	36,0	29/10/2024 13:45-13:50	0,0	29/10/2024 19:45-19:50	9,6
29/10/2024 01:50-01:55	0,0	29/10/2024 07:50-07:55	9,6	29/10/2024 13:50-13:55	0,0	29/10/2024 19:50-19:55	48,0
29/10/2024 01:55-02:00	0,0	29/10/2024 07:55-08:00	4,8	29/10/2024 13:55-14:00	0,0	29/10/2024 19:55-20:00	28,8
29/10/2024 02:00-02:05	0,0	29/10/2024 08:00-08:05	4,8	29/10/2024 14:00-14:05	0,0	29/10/2024 20:00-20:05	48,0
29/10/2024 02:05-02:10	0,0	29/10/2024 08:05-08:10	55,2	29/10/2024 14:05-14:10	0,0	29/10/2024 20:05-20:10	50,4
29/10/2024 02:10-02:15	0,0	29/10/2024 08:10-08:15	28,8	29/10/2024 14:10-14:15	0,0	29/10/2024 20:10-20:15	40,8
29/10/2024 02:15-02:20	0,0	29/10/2024 08:15-08:20	9,6	29/10/2024 14:15-14:20	0,0	29/10/2024 20:15-20:20	7,2
29/10/2024 02:20-02:25	0,0	29/10/2024 08:20-08:25	4,8	29/10/2024 14:20-14:25	0,0	29/10/2024 20:20-20:25	0,0
29/10/2024 02:25-02:30	0,0	29/10/2024 08:25-08:30	2,4	29/10/2024 14:25-14:30	0,0	29/10/2024 20:25-20:30	0,0
29/10/2024 02:30-02:35	0,0	29/10/2024 08:30-08:35	0,0	29/10/2024 14:30-14:35	0,0	29/10/2024 20:30-20:35	0,0
29/10/2024 02:35-02:40	0,0	29/10/2024 08:35-08:40	2,4	29/10/2024 14:35-14:40	0,0	29/10/2024 20:35-20:40	33,6
29/10/2024 02:40-02:45	0,0	29/10/2024 08:40-08:45	0,0	29/10/2024 14:40-14:45	0,0	29/10/2024 20:40-20:45	0,0
29/10/2024 02:45-02:50	0,0	29/10/2024 08:45-08:50	2,4	29/10/2024 14:45-14:50	0,0	29/10/2024 20:45-20:50	0,0
29/10/2024 02:50-02:55	0,0	29/10/2024 08:50-08:55	91,2	29/10/2024 14:50-14:55	0,0	29/10/2024 20:50-20:55	0,0
29/10/2024 02:55-03:00	0,0	29/10/2024 08:55-09:00	24,0	29/10/2024 14:55-15:00	0,0	29/10/2024 20:55-21:00	0,0
29/10/2024 03:00-03:05	0,0	29/10/2024 09:00-09:05	14,4	29/10/2024 15:00-15:05	0,0	29/10/2024 21:00-21:05	0,0
29/10/2024 03:05-03:10	0,0	29/10/2024 09:05-09:10	16,8	29/10/2024 15:05-15:10	0,0	29/10/2024 21:05-21:10	0,0
29/10/2024 03:10-03:15	0,0	29/10/2024 09:10-09:15	2,4	29/10/2024 15:10-15:15	2,4	29/10/2024 21:10-21:15	0,0
29/10/2024 03:15-03:20	0,0	29/10/2024 09:15-09:20	2,4	29/10/2024 15:15-15:20	0,0	29/10/2024 21:15-21:20	0,0
29/10/2024 03:20-03:25	0,0	29/10/2024 09:20-09:25	0,0	29/10/2024 15:20-15:25	2,4	29/10/2024 21:20-21:25	0,0
29/10/2024 03:25-03:30	0,0	29/10/2024 09:25-09:30	0,0	29/10/2024 15:25-15:30	0,0	29/10/2024 21:25-21:30	0,0
29/10/2024 03:30-03:35	0,0	29/10/2024 09:30-09:35	2,4	29/10/2024 15:30-15:35	0,0	29/10/2024 21:30-21:35	0,0
29/10/2024 03:35-03:40	0,0	29/10/2024 09:35-09:40	79,2	29/10/2024 15:35-15:40	4,8	29/10/2024 21:35-21:40	0,0
29/10/2024 03:40-03:45	0,0	29/10/2024 09:40-09:45	146,4	29/10/2024 15:40-15:45	0,0	29/10/2024 21:40-21:45	0,0
29/10/2024 03:45-03:50	0,0	29/10/2024 09:45-09:50	0,0	29/10/2024 15:45-15:50	9,6	29/10/2024 21:45-21:50	0,0
29/10/2024 03:50-03:55	0,0	29/10/2024 09:50-09:55	165,6	29/10/2024 15:50-15:55	2,4	29/10/2024 21:50-21:55	0,0
29/10/2024 03:55-04:00	0,0	29/10/2024 09:55-10:00	38,4	29/10/2024 15:55-16:00	7,2	29/10/2024 21:55-22:00	0,0
29/10/2024 04:00-04:05	0,0	29/10/2024 10:00-10:05	52,8	29/10/2024 16:00-16:05	0,0	29/10/2024 22:00-22:05	0,0
29/10/2024 04:05-04:10	0,0	29/10/2024 10:05-10:10	38,4	29/10/2024 16:05-16:10	19,2	29/10/2024 22:05-22:10	0,0
29/10/2024 04:10-04:15	0,0	29/10/2024 10:10-10:15	14,4	29/10/2024 16:10-16:15	12,0	29/10/2024 22:10-22:15	0,0
29/10/2024 04:15-04:20	0,0	29/10/2024 10:15-10:20	2,4	29/10/2024 16:15-16:20	7,2	29/10/2024 22:15-22:20	0,0
29/10/2024 04:20-04:25	0,0	29/10/2024 10:20-10:25	2,4	29/10/2024 16:20-16:25	4,8	29/10/2024 22:20-22:25	0,0
29/10/2024 04:25-04:30	0,0	29/10/2024 10:25-10:30	14,4	29/10/2024 16:25-16:30	4,8	29/10/2024 22:25-22:30	0,0
29/10/2024 04:30-04:35	0,0	29/10/2024 10:30-10:35	16,8	29/10/2024 16:30-16:35	4,8	29/10/2024 22:30-22:35	2,4
29/10/2024 04:35-04:40	0,0	29/10/2024 10:35-10:40	2,4	29/10/2024 16:35-16:40	4,8	29/10/2024 22:35-22:40	2,4
29/10/2024 04:40-04:45	0,0	29/10/2024 10:40-10:45	2,4	29/10/2024 16:40-16:45	14,4	29/10/2024 22:40-22:45	0,0
29/10/2024 04:45-04:50	0,0	29/10/2024 10:45-10:50	0,0	29/10/2024 16:45-16:50	14,4	29/10/2024 22:45-22:50	0,0
29/10/2024 04:50-04:55	0,0	29/10/2024 10:50-10:55	0,0	29/10/2024 16:50-16:55	7,2	29/10/2024 22:50-22:55	0,0
29/10/2024 04:55-05:00	0,0	29/10/2024 10:55-11:00	0,0	29/10/2024 16:55-17:00	14,4	29/10/2024 22:55-23:00	0,0
29/10/2024 05:00-05:05	0,0	29/10/2024 11:00-11:05	0,0	29/10/2024 17:00-17:05	14,4	29/10/2024 23:00-23:05	2,4
29/10/2024 05:05-05:10	0,0	29/10/2024 11:05-11:10	0,0	29/10/2024 17:05-17:10	16,8	29/10/2024 23:05-23:10	2,4
29/10/2024 05:10-05:15	0,0	29/10/2024 11:10-11:15	0,0	29/10/2024 17:10-17:15	16,8	29/10/2024 23:10-23:15	12,0
29/10/2024 05:15-05:20	0,0	29/10/2024 11:15-11:20	0,0	29/10/2024 17:15-17:20	19,2	29/10/2024 23:15-23:20	19,2
29/10/2024 05:20-05:25	0,0	29/10/2024 11:20-11:25	0,0	29/10/2024 17:20-17:25	16,8	29/10/2024 23:20-23:25	7,2
29/10/2024 05:25-05:30	0,0	29/10/2024 11:25-11:30	0,0	29/10/2024 17:25-17:30	19,2	29/10/2024 23:25-23:30	4,8
29/10/2024 05:30-05:35	0,0	29/10/2024 11:30-11:35	0,0	29/10/2024 17:30-17:35	0,0	29/10/2024 23:30-23:35	0,0
29/10/2024 05:35-05:40	0,0	29/10/2024 11:35-11:40	0,0	29/10/2024 17:35-17:40	52,8	29/10/2024 23:35-23:40	7,2
29/10/2024 05:40-05:45	0,0	29/10/2024 11:40-11:45	2,4	29/10/2024 17:40-17:45	28,8	29/10/2024 23:40-23:45	0,0
29/10/2024 05:45-05:50	0,0	29/10/2024 11:45-11:50	0,0	29/10/2024 17:45-17:50	36,0	29/10/2024 23:45-23:50	0,0
29/10/2024 05:50-05:55	0,0	29/10/2024 11:50-11:55	0,0	29/10/2024 17:50-17:55	43,2	29/10/2024 23:50-23:55	0,0
29/10/2024 05:55-06:00	0,0	29/10/2024 11:55-12:00	0,0	29/10/2024 17:55-18:00	24,0	29/10/2024 23:55-0:00	0,0

Estación SAIH-CHJ Rambla del Poyo (resolución 5-minutal)

Intervalo	Intensidad (mm/h)	Intervalo	Intensidad (mm/h)	Intervalo	Intensidad (mm/h)	Intervalo	Intensidad (mm/h)
29/10/2024 00:00-00:05	0,0	29/10/2024 06:00-06:05	0,0	29/10/2024 12:00-12:05	0,0	29/10/2024 18:00-18:05	86,4
29/10/2024 00:05-00:10	0,0	29/10/2024 06:05-06:10	0,0	29/10/2024 12:05-12:10	0,0	29/10/2024 18:05-18:10	76,8
29/10/2024 00:10-00:15	0,0	29/10/2024 06:10-06:15	0,0	29/10/2024 12:10-12:15	0,0	29/10/2024 18:10-18:15	69,6
29/10/2024 00:15-00:20	0,0	29/10/2024 06:15-06:20	0,0	29/10/2024 12:15-12:20	0,0	29/10/2024 18:15-18:20	62,4
29/10/2024 00:20-00:25	0,0	29/10/2024 06:20-06:25	0,0	29/10/2024 12:20-12:25	0,0	29/10/2024 18:20-18:25	50,4
29/10/2024 00:25-00:30	0,0	29/10/2024 06:25-06:30	0,0	29/10/2024 12:25-12:30	0,0	29/10/2024 18:25-18:30	45,6
29/10/2024 00:30-00:35	0,0	29/10/2024 06:30-06:35	0,0	29/10/2024 12:30-12:35	0,0	29/10/2024 18:30-18:35	55,2
29/10/2024 00:35-00:40	0,0	29/10/2024 06:35-06:40	0,0	29/10/2024 12:35-12:40	0,0	29/10/2024 18:35-18:40	67,2
29/10/2024 00:40-00:45	0,0	29/10/2024 06:40-06:45	9,6	29/10/2024 12:40-12:45	0,0	29/10/2024 18:40-18:45	14,4
29/10/2024 00:45-00:50	0,0	29/10/2024 06:45-06:50	0,0	29/10/2024 12:45-12:50	0,0	29/10/2024 18:45-18:50	9,6
29/10/2024 00:50-00:55	0,0	29/10/2024 06:50-06:55	2,4	29/10/2024 12:50-12:55	0,0	29/10/2024 18:50-18:55	0,0
29/10/2024 00:55-01:00	0,0	29/10/2024 06:55-07:00	0,0	29/10/2024 12:55-13:00	0,0	29/10/2024 18:55-19:00	4,8
29/10/2024 01:00-01:05	0,0	29/10/2024 07:00-07:05	0,0	29/10/2024 13:00-13:05	0,0	29/10/2024 19:00-19:05	7,2
29/10/2024 01:05-01:10	0,0	29/10/2024 07:05-07:10	0,0	29/10/2024 13:05-13:10	0,0	29/10/2024 19:05-19:10	0,0
29/10/2024 01:10-01:15	0,0	29/10/2024 07:10-07:15	12,0	29/10/2024 13:10-13:15	0,0	29/10/2024 19:10-19:15	2,4
29/10/2024 01:15-01:20	0,0	29/10/2024 07:15-07:20	2,4	29/10/2024 13:15-13:20	0,0	29/10/2024 19:15-19:20	0,0
29/10/2024 01:20-01:25	0,0	29/10/2024 07:20-07:25	0,0	29/10/2024 13:20-13:25	0,0	29/10/2024 19:20-19:25	0,0
29/10/2024 01:25-01:30	0,0	29/10/2024 07:25-07:30	24,0	29/10/2024 13:25-13:30	0,0	29/10/2024 19:25-19:30	0,0
29/10/2024 01:30-01:35	0,0	29/10/2024 07:30-07:35	0,0	29/10/2024 13:30-13:35	0,0	29/10/2024 19:30-19:35	0,0
29/10/2024 01:35-01:40	0,0	29/10/2024 07:35-07:40	2,4	29/10/2024 13:35-13:40	0,0	29/10/2024 19:35-19:40	0,0
29/10/2024 01:40-01:45	0,0	29/10/2024 07:40-07:45	2,4	29/10/2024 13:40-13:45	0,0	29/10/2024 19:40-19:45	0,0
29/10/2024 01:45-01:50	0,0	29/10/2024 07:45-07:50	2,4	29/10/2024 13:45-13:50	0,0	29/10/2024 19:45-19:50	0,0
29/10/2024 01:50-01:55	0,0	29/10/2024 07:50-07:55	2,4	29/10/2024 13:50-13:55	0,0	29/10/2024 19:50-19:55	0,0
29/10/2024 01:55-02:00	0,0	29/10/2024 07:55-08:00	0,0	29/10/2024 13:55-14:00	0,0	29/10/2024 19:55-20:00	0,0
29/10/2024 02:00-02:05	0,0	29/10/2024 08:00-08:05	0,0	29/10/2024 14:00-14:05	0,0	29/10/2024 20:00-20:05	0,0
29/10/2024 02:05-02:10	0,0	29/10/2024 08:05-08:10	0,0	29/10/2024 14:05-14:10	0,0	29/10/2024 20:05-20:10	0,0
29/10/2024 02:10-02:15	0,0	29/10/2024 08:10-08:15	0,0	29/10/2024 14:10-14:15	0,0	29/10/2024 20:10-20:15	0,0
29/10/2024 02:15-02:20	0,0	29/10/2024 08:15-08:20	0,0	29/10/2024 14:15-14:20	0,0	29/10/2024 20:15-20:20	0,0
29/10/2024 02:20-02:25	0,0	29/10/2024 08:20-08:25	0,0	29/10/2024 14:20-14:25	0,0	29/10/2024 20:20-20:25	0,0
29/10/2024 02:25-02:30	0,0	29/10/2024 08:25-08:30	0,0	29/10/2024 14:25-14:30	0,0	29/10/2024 20:25-20:30	0,0
29/10/2024 02:30-02:35	0,0	29/10/2024 08:30-08:35	0,0	29/10/2024 14:30-14:35	0,0	29/10/2024 20:30-20:35	0,0
29/10/2024 02:35-02:40	0,0	29/10/2024 08:35-08:40	0,0	29/10/2024 14:35-14:40	0,0	29/10/2024 20:35-20:40	0,0
29/10/2024 02:40-02:45	0,0	29/10/2024 08:40-08:45	0,0	29/10/2024 14:40-14:45	0,0	29/10/2024 20:40-20:45	0,0
29/10/2024 02:45-02:50	0,0	29/10/2024 08:45-08:50	0,0	29/10/2024 14:45-14:50	2,4	29/10/2024 20:45-20:50	0,0
29/10/2024 02:50-02:55	0,0	29/10/2024 08:50-08:55	0,0	29/10/2024 14:50-14:55	2,4	29/10/2024 20:50-20:55	0,0
29/10/2024 02:55-03:00	0,0	29/10/2024 08:55-09:00	0,0	29/10/2024 14:55-15:00	2,4	29/10/2024 20:55-21:00	0,0
29/10/2024 03:00-03:05	0,0	29/10/2024 09:00-09:05	0,0	29/10/2024 15:00-15:05	2,4	29/10/2024 21:00-21:05	0,0
29/10/2024 03:05-03:10	0,0	29/10/2024 09:05-09:10	0,0	29/10/2024 15:05-15:10	0,0	29/10/2024 21:05-21:10	0,0
29/10/2024 03:10-03:15	0,0	29/10/2024 09:10-09:15	0,0	29/10/2024 15:10-15:15	0,0	29/10/2024 21:10-21:15	0,0
29/10/2024 03:15-03:20	0,0	29/10/2024 09:15-09:20	0,0	29/10/2024 15:15-15:20	0,0	29/10/2024 21:15-21:20	0,0
29/10/2024 03:20-03:25	0,0	29/10/2024 09:20-09:25	0,0	29/10/2024 15:20-15:25	0,0	29/10/2024 21:20-21:25	0,0
29/10/2024 03:25-03:30	0,0	29/10/2024 09:25-09:30	0,0	29/10/2024 15:25-15:30	0,0	29/10/2024 21:25-21:30	0,0
29/10/2024 03:30-03:35	0,0	29/10/2024 09:30-09:35	0,0	29/10/2024 15:30-15:35	93,6	29/10/2024 21:30-21:35	0,0
29/10/2024 03:35-03:40	0,0	29/10/2024 09:35-09:40	0,0	29/10/2024 15:35-15:40	12,0	29/10/2024 21:35-21:40	0,0
29/10/2024 03:40-03:45	0,0	29/10/2024 09:40-09:45	0,0	29/10/2024 15:40-15:45	0,0	29/10/2024 21:40-21:45	0,0
29/10/2024 03:45-03:50	0,0	29/10/2024 09:45-09:50	12,0	29/10/2024 15:45-15:50	43,2	29/10/2024 21:45-21:50	0,0
29/10/2024 03:50-03:55	0,0	29/10/2024 09:50-09:55	2,4	29/10/2024 15:50-15:55	21,6	29/10/2024 21:50-21:55	0,0
29/10/2024 03:55-04:00	0,0	29/10/2024 09:55-10:00	0,0	29/10/2024 15:55-16:00	0,0	29/10/2024 21:55-22:00	0,0
29/10/2024 04:00-04:05	0,0	29/10/2024 10:00-10:05	2,4	29/10/2024 16:00-16:05	0,0	29/10/2024 22:00-22:05	0,0
29/10/2024 04:05-04:10	0,0	29/10/2024 10:05-10:10	2,4	29/10/2024 16:05-16:10	0,0	29/10/2024 22:05-22:10	0,0
29/10/2024 04:10-04:15	0,0	29/10/2024 10:10-10:15	2,4	29/10/2024 16:10-16:15	124,8	29/10/2024 22:10-22:15	0,0
29/10/2024 04:15-04:20	0,0	29/10/2024 10:15-10:20	2,4	29/10/2024 16:15-16:20	0,0	29/10/2024 22:15-22:20	0,0
29/10/2024 04:20-04:25	0,0	29/10/2024 10:20-10:25	4,8	29/10/2024 16:20-16:25	60,0	29/10/2024 22:20-22:25	2,4
29/10/2024 04:25-04:30	0,0	29/10/2024 10:25-10:30	2,4	29/10/2024 16:25-16:30	0,0	29/10/2024 22:25-22:30	0,0
29/10/2024 04:30-04:35	0,0	29/10/2024 10:30-10:35	0,0	29/10/2024 16:30-16:35	74,4	29/10/2024 22:30-22:35	0,0
29/10/2024 04:35-04:40	0,0	29/10/2024 10:35-10:40	0,0	29/10/2024 16:35-16:40	57,6	29/10/2024 22:35-22:40	0,0
29/10/2024 04:40-04:45	0,0	29/10/2024 10:40-10:45	0,0	29/10/2024 16:40-16:45	50,4	29/10/2024 22:40-22:45	0,0
29/10/2024 04:45-04:50	0,0	29/10/2024 10:45-10:50	0,0	29/10/2024 16:45-16:50	64,8	29/10/2024 22:45-22:50	0,0
29/10/2024 04:50-04:55	0,0	29/10/2024 10:50-10:55	0,0	29/10/2024 16:50-16:55	52,8	29/10/2024 22:50-22:55	0,0
29/10/2024 04:55-05:00	0,0	29/10/2024 10:55-11:00	0,0	29/10/2024 16:55-17:00	60,0	29/10/2024 22:55-23:00	0,0
29/10/2024 05:00-05:05	0,0	29/10/2024 11:00-11:05	0,0	29/10/2024 17:00-17:05	72,0	29/10/2024 23:00-23:05	0,0
29/10/2024 05:05-05:10	0,0	29/10/2024 11:05-11:10	0,0	29/10/2024 17:05-17:10	38,4	29/10/2024 23:05-23:10	0,0
29/10/2024 05:10-05:15	0,0	29/10/2024 11:10-11:15	0,0	29/10/2024 17:10-17:15	50,4	29/10/2024 23:10-23:15	0,0
29/10/2024 05:15-05:20	0,0	29/10/2024 11:15-11:20	0,0	29/10/2024 17:15-17:20	33,6	29/10/2024 23:15-23:20	0,0
29/10/2024 05:20-05:25	0,0	29/10/2024 11:20-11:25	0,0	29/10/2024 17:20-17:25	28,8	29/10/2024 23:20-23:25	0,0
29/10/2024 05:25-05:30	0,0	29/10/2024 11:25-11:30	0,0	29/10/2024 17:25-17:30	67,2	29/10/2024 23:25-23:30	0,0
29/10/2024 05:30-05:35	0,0	29/10/2024 11:30-11:35	0,0	29/10/2024 17:30-17:35	0,0	29/10/2024 23:30-23:35	0,0
29/10/2024 05:35-05:40	0,0	29/10/2024 11:35-11:40	0,0	29/10/2024 17:35-17:40	158,4	29/10/2024 23:35-23:40	19,2
29/10/2024 05:40-05:45	0,0	29/10/2024 11:40-11:45	0,0	29/10/2024 17:40-17:45	132,0	29/10/2024 23:40-23:45	0,0
29/10/2024 05:45-05:50	0,0	29/10/2024 11:45-11:50	0,0	29/10/2024 17:45-17:50	206,4	29/10/2024 23:45-23:50	57,6
29/10/2024 05:50-05:55	2,4	29/10/2024 11:50-11:55	0,0	29/10/2024 17:50-17:55	182,4	29/10/2024 23:50-23:55	19,2
29/10/2024 05:55-06:00	0,0	29/10/2024 11:55-12:00	0,0	29/10/2024 17:55-18:00	168,0	29/10/2024 23:55-0:00	0,0

Estación SAIH-CHJ Picassent (resolución 5-minutal)

Intervalo	Intensidad (mm/h)	Intervalo	Intensidad (mm/h)	Intervalo	Intensidad (mm/h)	Intervalo	Intensidad (mm/h)
29/10/2024 00:00-00:05	0,0	29/10/2024 06:00-06:05	0,0	29/10/2024 12:00-12:05	0,0	29/10/2024 18:00-18:05	0,0
29/10/2024 00:05-00:10	0,0	29/10/2024 06:05-06:10	0,0	29/10/2024 12:05-12:10	0,0	29/10/2024 18:05-18:10	0,0
29/10/2024 00:10-00:15	0,0	29/10/2024 06:10-06:15	0,0	29/10/2024 12:10-12:15	0,0	29/10/2024 18:10-18:15	0,0
29/10/2024 00:15-00:20	0,0	29/10/2024 06:15-06:20	14,4	29/10/2024 12:15-12:20	0,0	29/10/2024 18:15-18:20	0,0
29/10/2024 00:20-00:25	0,0	29/10/2024 06:20-06:25	7,2	29/10/2024 12:20-12:25	0,0	29/10/2024 18:20-18:25	0,0
29/10/2024 00:25-00:30	0,0	29/10/2024 06:25-06:30	7,2	29/10/2024 12:25-12:30	0,0	29/10/2024 18:25-18:30	0,0
29/10/2024 00:30-00:35	0,0	29/10/2024 06:30-06:35	16,8	29/10/2024 12:30-12:35	0,0	29/10/2024 18:30-18:35	0,0
29/10/2024 00:35-00:40	0,0	29/10/2024 06:35-06:40	4,8	29/10/2024 12:35-12:40	0,0	29/10/2024 18:35-18:40	0,0
29/10/2024 00:40-00:45	0,0	29/10/2024 06:40-06:45	0,0	29/10/2024 12:40-12:45	0,0	29/10/2024 18:40-18:45	0,0
29/10/2024 00:45-00:50	0,0	29/10/2024 06:45-06:50	0,0	29/10/2024 12:45-12:50	0,0	29/10/2024 18:45-18:50	0,0
29/10/2024 00:50-00:55	0,0	29/10/2024 06:50-06:55	0,0	29/10/2024 12:50-12:55	0,0	29/10/2024 18:50-18:55	0,0
29/10/2024 00:55-01:00	0,0	29/10/2024 06:55-07:00	2,4	29/10/2024 12:55-13:00	0,0	29/10/2024 18:55-19:00	0,0
29/10/2024 01:00-01:05	0,0	29/10/2024 07:00-07:05	0,0	29/10/2024 13:00-13:05	0,0	29/10/2024 19:00-19:05	0,0
29/10/2024 01:05-01:10	0,0	29/10/2024 07:05-07:10	16,8	29/10/2024 13:05-13:10	0,0	29/10/2024 19:05-19:10	0,0
29/10/2024 01:10-01:15	0,0	29/10/2024 07:10-07:15	7,2	29/10/2024 13:10-13:15	0,0	29/10/2024 19:10-19:15	0,0
29/10/2024 01:15-01:20	0,0	29/10/2024 07:15-07:20	0,0	29/10/2024 13:15-13:20	0,0	29/10/2024 19:15-19:20	0,0
29/10/2024 01:20-01:25	0,0	29/10/2024 07:20-07:25	0,0	29/10/2024 13:20-13:25	0,0	29/10/2024 19:20-19:25	0,0
29/10/2024 01:25-01:30	0,0	29/10/2024 07:25-07:30	0,0	29/10/2024 13:25-13:30	0,0	29/10/2024 19:25-19:30	0,0
29/10/2024 01:30-01:35	0,0	29/10/2024 07:30-07:35	0,0	29/10/2024 13:30-13:35	0,0	29/10/2024 19:30-19:35	0,0
29/10/2024 01:35-01:40	0,0	29/10/2024 07:35-07:40	0,0	29/10/2024 13:35-13:40	0,0	29/10/2024 19:35-19:40	0,0
29/10/2024 01:40-01:45	0,0	29/10/2024 07:40-07:45	0,0	29/10/2024 13:40-13:45	0,0	29/10/2024 19:40-19:45	0,0
29/10/2024 01:45-01:50	0,0	29/10/2024 07:45-07:50	0,0	29/10/2024 13:45-13:50	0,0	29/10/2024 19:45-19:50	0,0
29/10/2024 01:50-01:55	0,0	29/10/2024 07:50-07:55	4,8	29/10/2024 13:50-13:55	0,0	29/10/2024 19:50-19:55	2,4
29/10/2024 01:55-02:00	0,0	29/10/2024 07:55-08:00	0,0	29/10/2024 13:55-14:00	0,0	29/10/2024 19:55-20:00	0,0
29/10/2024 02:00-02:05	0,0	29/10/2024 08:00-08:05	0,0	29/10/2024 14:00-14:05	0,0	29/10/2024 20:00-20:05	0,0
29/10/2024 02:05-02:10	0,0	29/10/2024 08:05-08:10	0,0	29/10/2024 14:05-14:10	0,0	29/10/2024 20:05-20:10	0,0
29/10/2024 02:10-02:15	0,0	29/10/2024 08:10-08:15	0,0	29/10/2024 14:10-14:15	0,0	29/10/2024 20:10-20:15	0,0
29/10/2024 02:15-02:20	0,0	29/10/2024 08:15-08:20	0,0	29/10/2024 14:15-14:20	0,0	29/10/2024 20:15-20:20	0,0
29/10/2024 02:20-02:25	0,0	29/10/2024 08:20-08:25	0,0	29/10/2024 14:20-14:25	0,0	29/10/2024 20:20-20:25	0,0
29/10/2024 02:25-02:30	0,0	29/10/2024 08:25-08:30	0,0	29/10/2024 14:25-14:30	0,0	29/10/2024 20:25-20:30	0,0
29/10/2024 02:30-02:35	0,0	29/10/2024 08:30-08:35	0,0	29/10/2024 14:30-14:35	0,0	29/10/2024 20:30-20:35	0,0
29/10/2024 02:35-02:40	0,0	29/10/2024 08:35-08:40	0,0	29/10/2024 14:35-14:40	0,0	29/10/2024 20:35-20:40	0,0
29/10/2024 02:40-02:45	0,0	29/10/2024 08:40-08:45	0,0	29/10/2024 14:40-14:45	0,0	29/10/2024 20:40-20:45	0,0
29/10/2024 02:45-02:50	2,4	29/10/2024 08:45-08:50	0,0	29/10/2024 14:45-14:50	0,0	29/10/2024 20:45-20:50	0,0
29/10/2024 02:50-02:55	0,0	29/10/2024 08:50-08:55	0,0	29/10/2024 14:50-14:55	0,0	29/10/2024 20:50-20:55	0,0
29/10/2024 02:55-03:00	0,0	29/10/2024 08:55-09:00	0,0	29/10/2024 14:55-15:00	4,8	29/10/2024 20:55-21:00	0,0
29/10/2024 03:00-03:05	0,0	29/10/2024 09:00-09:05	0,0	29/10/2024 15:00-15:05	7,2	29/10/2024 21:00-21:05	0,0
29/10/2024 03:05-03:10	0,0	29/10/2024 09:05-09:10	0,0	29/10/2024 15:05-15:10	0,0	29/10/2024 21:05-21:10	0,0
29/10/2024 03:10-03:15	0,0	29/10/2024 09:10-09:15	0,0	29/10/2024 15:10-15:15	0,0	29/10/2024 21:10-21:15	0,0
29/10/2024 03:15-03:20	0,0	29/10/2024 09:15-09:20	0,0	29/10/2024 15:15-15:20	0,0	29/10/2024 21:15-21:20	0,0
29/10/2024 03:20-03:25	0,0	29/10/2024 09:20-09:25	0,0	29/10/2024 15:20-15:25	0,0	29/10/2024 21:20-21:25	0,0
29/10/2024 03:25-03:30	0,0	29/10/2024 09:25-09:30	0,0	29/10/2024 15:25-15:30	0,0	29/10/2024 21:25-21:30	0,0
29/10/2024 03:30-03:35	0,0	29/10/2024 09:30-09:35	0,0	29/10/2024 15:30-15:35	0,0	29/10/2024 21:30-21:35	0,0
29/10/2024 03:35-03:40	0,0	29/10/2024 09:35-09:40	7,2	29/10/2024 15:35-15:40	0,0	29/10/2024 21:35-21:40	0,0
29/10/2024 03:40-03:45	0,0	29/10/2024 09:40-09:45	0,0	29/10/2024 15:40-15:45	0,0	29/10/2024 21:40-21:45	0,0
29/10/2024 03:45-03:50	0,0	29/10/2024 09:45-09:50	2,4	29/10/2024 15:45-15:50	50,4	29/10/2024 21:45-21:50	0,0
29/10/2024 03:50-03:55	0,0	29/10/2024 09:50-09:55	0,0	29/10/2024 15:50-15:55	2,4	29/10/2024 21:50-21:55	0,0
29/10/2024 03:55-04:00	0,0	29/10/2024 09:55-10:00	0,0	29/10/2024 15:55-16:00	0,0	29/10/2024 21:55-22:00	0,0
29/10/2024 04:00-04:05	0,0	29/10/2024 10:00-10:05	2,4	29/10/2024 16:00-16:05	0,0	29/10/2024 22:00-22:05	0,0
29/10/2024 04:05-04:10	0,0	29/10/2024 10:05-10:10	0,0	29/10/2024 16:05-16:10	0,0	29/10/2024 22:05-22:10	0,0
29/10/2024 04:10-04:15	0,0	29/10/2024 10:10-10:15	2,4	29/10/2024 16:10-16:15	0,0	29/10/2024 22:10-22:15	0,0
29/10/2024 04:15-04:20	0,0	29/10/2024 10:15-10:20	0,0	29/10/2024 16:15-16:20	0,0	29/10/2024 22:15-22:20	0,0
29/10/2024 04:20-04:25	0,0	29/10/2024 10:20-10:25	2,4	29/10/2024 16:20-16:25	0,0	29/10/2024 22:20-22:25	0,0
29/10/2024 04:25-04:30	0,0	29/10/2024 10:25-10:30	0,0	29/10/2024 16:25-16:30	0,0	29/10/2024 22:25-22:30	0,0
29/10/2024 04:30-04:35	0,0	29/10/2024 10:30-10:35	0,0	29/10/2024 16:30-16:35	0,0	29/10/2024 22:30-22:35	0,0
29/10/2024 04:35-04:40	0,0	29/10/2024 10:35-10:40	0,0	29/10/2024 16:35-16:40	7,2	29/10/2024 22:35-22:40	0,0
29/10/2024 04:40-04:45	0,0	29/10/2024 10:40-10:45	0,0	29/10/2024 16:40-16:45	2,4	29/10/2024 22:40-22:45	0,0
29/10/2024 04:45-04:50	0,0	29/10/2024 10:45-10:50	0,0	29/10/2024 16:45-16:50	2,4	29/10/2024 22:45-22:50	0,0
29/10/2024 04:50-04:55	0,0	29/10/2024 10:50-10:55	0,0	29/10/2024 16:50-16:55	0,0	29/10/2024 22:50-22:55	0,0
29/10/2024 04:55-05:00	0,0	29/10/2024 10:55-11:00	0,0	29/10/2024 16:55-17:00	0,0	29/10/2024 22:55-23:00	0,0
29/10/2024 05:00-05:05	0,0	29/10/2024 11:00-11:05	0,0	29/10/2024 17:00-17:05	0,0	29/10/2024 23:00-23:05	0,0
29/10/2024 05:05-05:10	0,0	29/10/2024 11:05-11:10	0,0	29/10/2024 17:05-17:10	0,0	29/10/2024 23:05-23:10	0,0
29/10/2024 05:10-05:15	0,0	29/10/2024 11:10-11:15	0,0	29/10/2024 17:10-17:15	0,0	29/10/2024 23:10-23:15	0,0
29/10/2024 05:15-05:20	0,0	29/10/2024 11:15-11:20	0,0	29/10/2024 17:15-17:20	0,0	29/10/2024 23:15-23:20	0,0
29/10/2024 05:20-05:25	0,0	29/10/2024 11:20-11:25	0,0	29/10/2024 17:20-17:25	0,0	29/10/2024 23:20-23:25	4,8
29/10/2024 05:25-05:30	0,0	29/10/2024 11:25-11:30	0,0	29/10/2024 17:25-17:30	0,0	29/10/2024 23:25-23:30	0,0
29/10/2024 05:30-05:35	0,0	29/10/2024 11:30-11:35	0,0	29/10/2024 17:30-17:35	0,0	29/10/2024 23:30-23:35	0,0
29/10/2024 05:35-05:40	0,0	29/10/2024 11:35-11:40	0,0	29/10/2024 17:35-17:40	0,0	29/10/2024 23:35-23:40	24,0
29/10/2024 05:40-05:45	0,0	29/10/2024 11:40-11:45	0,0	29/10/2024 17:40-17:45	0,0	29/10/2024 23:40-23:45	0,0
29/10/2024 05:45-05:50	0,0	29/10/2024 11:45-11:50	0,0	29/10/2024 17:45-17:50	0,0	29/10/2024 23:45-23:50	0,0
29/10/2024 05:50-05:55	2,4	29/10/2024 11:50-11:55	0,0	29/10/2024 17:50-17:55	0,0	29/10/2024 23:50-23:55	0,0
29/10/2024 05:55-06:00	0,0	29/10/2024 11:55-12:00	0,0	29/10/2024 17:55-18:00	0,0	29/10/2024 23:55-0:00	0,0

Estación SAIH-CHJ Azud de Repartiment (resolución 5-minutal)

Intervalo	Intensidad (mm/h)	Intervalo	Intensidad (mm/h)	Intervalo	Intensidad (mm/h)	Intervalo	Intensidad (mm/h)
29/10/2024 00:00-00:05	0,0	29/10/2024 06:00-06:05	0,0	29/10/2024 12:00-12:05	0,0	29/10/2024 18:00-18:05	0,0
29/10/2024 00:05-00:10	0,0	29/10/2024 06:05-06:10	0,0	29/10/2024 12:05-12:10	0,0	29/10/2024 18:05-18:10	0,0
29/10/2024 00:10-00:15	0,0	29/10/2024 06:10-06:15	0,0	29/10/2024 12:10-12:15	0,0	29/10/2024 18:10-18:15	0,0
29/10/2024 00:15-00:20	0,0	29/10/2024 06:15-06:20	0,0	29/10/2024 12:15-12:20	0,0	29/10/2024 18:15-18:20	0,0
29/10/2024 00:20-00:25	0,0	29/10/2024 06:20-06:25	0,0	29/10/2024 12:20-12:25	0,0	29/10/2024 18:20-18:25	0,0
29/10/2024 00:25-00:30	0,0	29/10/2024 06:25-06:30	0,0	29/10/2024 12:25-12:30	0,0	29/10/2024 18:25-18:30	0,0
29/10/2024 00:30-00:35	0,0	29/10/2024 06:30-06:35	0,0	29/10/2024 12:30-12:35	0,0	29/10/2024 18:30-18:35	0,0
29/10/2024 00:35-00:40	0,0	29/10/2024 06:35-06:40	2,4	29/10/2024 12:35-12:40	0,0	29/10/2024 18:35-18:40	0,0
29/10/2024 00:40-00:45	0,0	29/10/2024 06:40-06:45	2,4	29/10/2024 12:40-12:45	0,0	29/10/2024 18:40-18:45	0,0
29/10/2024 00:45-00:50	0,0	29/10/2024 06:45-06:50	0,0	29/10/2024 12:45-12:50	0,0	29/10/2024 18:45-18:50	0,0
29/10/2024 00:50-00:55	0,0	29/10/2024 06:50-06:55	2,4	29/10/2024 12:50-12:55	0,0	29/10/2024 18:50-18:55	0,0
29/10/2024 00:55-01:00	0,0	29/10/2024 06:55-07:00	0,0	29/10/2024 12:55-13:00	0,0	29/10/2024 18:55-19:00	0,0
29/10/2024 01:00-01:05	0,0	29/10/2024 07:00-07:05	16,8	29/10/2024 13:00-13:05	0,0	29/10/2024 19:00-19:05	0,0
29/10/2024 01:05-01:10	0,0	29/10/2024 07:05-07:10	4,8	29/10/2024 13:05-13:10	0,0	29/10/2024 19:05-19:10	0,0
29/10/2024 01:10-01:15	0,0	29/10/2024 07:10-07:15	9,6	29/10/2024 13:10-13:15	0,0	29/10/2024 19:10-19:15	0,0
29/10/2024 01:15-01:20	0,0	29/10/2024 07:15-07:20	12,0	29/10/2024 13:15-13:20	0,0	29/10/2024 19:15-19:20	0,0
29/10/2024 01:20-01:25	0,0	29/10/2024 07:20-07:25	0,0	29/10/2024 13:20-13:25	0,0	29/10/2024 19:20-19:25	0,0
29/10/2024 01:25-01:30	0,0	29/10/2024 07:25-07:30	19,2	29/10/2024 13:25-13:30	0,0	29/10/2024 19:25-19:30	0,0
29/10/2024 01:30-01:35	0,0	29/10/2024 07:30-07:35	2,4	29/10/2024 13:30-13:35	0,0	29/10/2024 19:30-19:35	0,0
29/10/2024 01:35-01:40	0,0	29/10/2024 07:35-07:40	2,4	29/10/2024 13:35-13:40	0,0	29/10/2024 19:35-19:40	0,0
29/10/2024 01:40-01:45	0,0	29/10/2024 07:40-07:45	0,0	29/10/2024 13:40-13:45	0,0	29/10/2024 19:40-19:45	0,0
29/10/2024 01:45-01:50	0,0	29/10/2024 07:45-07:50	0,0	29/10/2024 13:45-13:50	0,0	29/10/2024 19:45-19:50	0,0
29/10/2024 01:50-01:55	0,0	29/10/2024 07:50-07:55	2,4	29/10/2024 13:50-13:55	0,0	29/10/2024 19:50-19:55	0,0
29/10/2024 01:55-02:00	0,0	29/10/2024 07:55-08:00	0,0	29/10/2024 13:55-14:00	0,0	29/10/2024 19:55-20:00	0,0
29/10/2024 02:00-02:05	0,0	29/10/2024 08:00-08:05	0,0	29/10/2024 14:00-14:05	0,0	29/10/2024 20:00-20:05	0,0
29/10/2024 02:05-02:10	0,0	29/10/2024 08:05-08:10	0,0	29/10/2024 14:05-14:10	0,0	29/10/2024 20:05-20:10	0,0
29/10/2024 02:10-02:15	0,0	29/10/2024 08:10-08:15	0,0	29/10/2024 14:10-14:15	0,0	29/10/2024 20:10-20:15	0,0
29/10/2024 02:15-02:20	0,0	29/10/2024 08:15-08:20	2,4	29/10/2024 14:15-14:20	0,0	29/10/2024 20:15-20:20	0,0
29/10/2024 02:20-02:25	0,0	29/10/2024 08:20-08:25	0,0	29/10/2024 14:20-14:25	0,0	29/10/2024 20:20-20:25	0,0
29/10/2024 02:25-02:30	0,0	29/10/2024 08:25-08:30	2,4	29/10/2024 14:25-14:30	0,0	29/10/2024 20:25-20:30	0,0
29/10/2024 02:30-02:35	0,0	29/10/2024 08:30-08:35	0,0	29/10/2024 14:30-14:35	0,0	29/10/2024 20:30-20:35	0,0
29/10/2024 02:35-02:40	0,0	29/10/2024 08:35-08:40	2,4	29/10/2024 14:35-14:40	0,0	29/10/2024 20:35-20:40	0,0
29/10/2024 02:40-02:45	0,0	29/10/2024 08:40-08:45	0,0	29/10/2024 14:40-14:45	0,0	29/10/2024 20:40-20:45	0,0
29/10/2024 02:45-02:50	0,0	29/10/2024 08:45-08:50	0,0	29/10/2024 14:45-14:50	0,0	29/10/2024 20:45-20:50	0,0
29/10/2024 02:50-02:55	0,0	29/10/2024 08:50-08:55	0,0	29/10/2024 14:50-14:55	0,0	29/10/2024 20:50-20:55	0,0
29/10/2024 02:55-03:00	0,0	29/10/2024 08:55-09:00	0,0	29/10/2024 14:55-15:00	0,0	29/10/2024 20:55-21:00	0,0
29/10/2024 03:00-03:05	0,0	29/10/2024 09:00-09:05	0,0	29/10/2024 15:00-15:05	0,0	29/10/2024 21:00-21:05	0,0
29/10/2024 03:05-03:10	0,0	29/10/2024 09:05-09:10	0,0	29/10/2024 15:05-15:10	0,0	29/10/2024 21:05-21:10	0,0
29/10/2024 03:10-03:15	0,0	29/10/2024 09:10-09:15	0,0	29/10/2024 15:10-15:15	0,0	29/10/2024 21:10-21:15	0,0
29/10/2024 03:15-03:20	0,0	29/10/2024 09:15-09:20	0,0	29/10/2024 15:15-15:20	2,4	29/10/2024 21:15-21:20	0,0
29/10/2024 03:20-03:25	0,0	29/10/2024 09:20-09:25	0,0	29/10/2024 15:20-15:25	0,0	29/10/2024 21:20-21:25	0,0
29/10/2024 03:25-03:30	0,0	29/10/2024 09:25-09:30	0,0	29/10/2024 15:25-15:30	0,0	29/10/2024 21:25-21:30	0,0
29/10/2024 03:30-03:35	0,0	29/10/2024 09:30-09:35	0,0	29/10/2024 15:30-15:35	0,0	29/10/2024 21:30-21:35	0,0
29/10/2024 03:35-03:40	0,0	29/10/2024 09:35-09:40	0,0	29/10/2024 15:35-15:40	0,0	29/10/2024 21:35-21:40	0,0
29/10/2024 03:40-03:45	0,0	29/10/2024 09:40-09:45	0,0	29/10/2024 15:40-15:45	0,0	29/10/2024 21:40-21:45	0,0
29/10/2024 03:45-03:50	0,0	29/10/2024 09:45-09:50	2,4	29/10/2024 15:45-15:50	0,0	29/10/2024 21:45-21:50	0,0
29/10/2024 03:50-03:55	0,0	29/10/2024 09:50-09:55	2,4	29/10/2024 15:50-15:55	0,0	29/10/2024 21:50-21:55	0,0
29/10/2024 03:55-04:00	0,0	29/10/2024 09:55-10:00	0,0	29/10/2024 15:55-16:00	0,0	29/10/2024 21:55-22:00	0,0
29/10/2024 04:00-04:05	0,0	29/10/2024 10:00-10:05	2,4	29/10/2024 16:00-16:05	0,0	29/10/2024 22:00-22:05	0,0
29/10/2024 04:05-04:10	0,0	29/10/2024 10:05-10:10	0,0	29/10/2024 16:05-16:10	0,0	29/10/2024 22:05-22:10	0,0
29/10/2024 04:10-04:15	0,0	29/10/2024 10:10-10:15	0,0	29/10/2024 16:10-16:15	0,0	29/10/2024 22:10-22:15	0,0
29/10/2024 04:15-04:20	0,0	29/10/2024 10:15-10:20	0,0	29/10/2024 16:15-16:20	0,0	29/10/2024 22:15-22:20	0,0
29/10/2024 04:20-04:25	0,0	29/10/2024 10:20-10:25	0,0	29/10/2024 16:20-16:25	0,0	29/10/2024 22:20-22:25	0,0
29/10/2024 04:25-04:30	0,0	29/10/2024 10:25-10:30	2,4	29/10/2024 16:25-16:30	0,0	29/10/2024 22:25-22:30	0,0
29/10/2024 04:30-04:35	0,0	29/10/2024 10:30-10:35	0,0	29/10/2024 16:30-16:35	0,0	29/10/2024 22:30-22:35	0,0
29/10/2024 04:35-04:40	0,0	29/10/2024 10:35-10:40	0,0	29/10/2024 16:35-16:40	0,0	29/10/2024 22:35-22:40	0,0
29/10/2024 04:40-04:45	0,0	29/10/2024 10:40-10:45	0,0	29/10/2024 16:40-16:45	0,0	29/10/2024 22:40-22:45	0,0
29/10/2024 04:45-04:50	0,0	29/10/2024 10:45-10:50	2,4	29/10/2024 16:45-16:50	0,0	29/10/2024 22:45-22:50	0,0
29/10/2024 04:50-04:55	0,0	29/10/2024 10:50-10:55	0,0	29/10/2024 16:50-16:55	0,0	29/10/2024 22:50-22:55	0,0
29/10/2024 04:55-05:00	0,0	29/10/2024 10:55-11:00	0,0	29/10/2024 16:55-17:00	0,0	29/10/2024 22:55-23:00	0,0
29/10/2024 05:00-05:05	0,0	29/10/2024 11:00-11:05	0,0	29/10/2024 17:00-17:05	0,0	29/10/2024 23:00-23:05	0,0
29/10/2024 05:05-05:10	0,0	29/10/2024 11:05-11:10	0,0	29/10/2024 17:05-17:10	0,0	29/10/2024 23:05-23:10	0,0
29/10/2024 05:10-05:15	0,0	29/10/2024 11:10-11:15	0,0	29/10/2024 17:10-17:15	0,0	29/10/2024 23:10-23:15	0,0
29/10/2024 05:15-05:20	0,0	29/10/2024 11:15-11:20	0,0	29/10/2024 17:15-17:20	0,0	29/10/2024 23:15-23:20	0,0
29/10/2024 05:20-05:25	0,0	29/10/2024 11:20-11:25	0,0	29/10/2024 17:20-17:25	0,0	29/10/2024 23:20-23:25	0,0
29/10/2024 05:25-05:30	0,0	29/10/2024 11:25-11:30	0,0	29/10/2024 17:25-17:30	0,0	29/10/2024 23:25-23:30	0,0
29/10/2024 05:30-05:35	0,0	29/10/2024 11:30-11:35	0,0	29/10/2024 17:30-17:35	0,0	29/10/2024 23:30-23:35	0,0
29/10/2024 05:35-05:40	0,0	29/10/2024 11:35-11:40	0,0	29/10/2024 17:35-17:40	0,0	29/10/2024 23:35-23:40	0,0
29/10/2024 05:40-05:45	0,0	29/10/2024 11:40-11:45	0,0	29/10/2024 17:40-17:45	0,0	29/10/2024 23:40-23:45	0,0
29/10/2024 05:45-05:50	0,0	29/10/2024 11:45-11:50	0,0	29/10/2024 17:45-17:50	0,0	29/10/2024 23:45-23:50	0,0
29/10/2024 05:50-05:55	0,0	29/10/2024 11:50-11:55	0,0	29/10/2024 17:50-17:55	0,0	29/10/2024 23:50-23:55	0,0
29/10/2024 05:55-06:00	0,0	29/10/2024 11:55-12:00	0,0	29/10/2024 17:55-18:00	0,0	29/10/2024 23:55-0:00	0,0

1.2.- HIDROGRAMAS CALCULADOS MEDIANTE MODELACIÓN HIDROLÓGICA

A continuación se muestran los hidrogramas calculados con el modelo hidrológico Hec-HMS.

Sistema Poyo – Subsistema Poyo [1]

Tiempo	Caudal (m³/s)						
	Poyo-SC1	N1	TP-PO02	Poyo-IC2	Poyo-SC3	Subsistema Gayo	N2
29/10/2024 8:00	0	0	0	0	0	0	0
29/10/2024 8:05	0	0	0	0	0	0	0
29/10/2024 8:10	0	0	0	0	0	0	0
29/10/2024 8:15	0	0	0	0	0	0	0
29/10/2024 8:20	0	0	0	0	0	0	0
29/10/2024 8:25	0	0	0	0	0	0	0
29/10/2024 8:30	0	0	0	0	0	0	0
29/10/2024 8:35	0	0	0	0,1	0	0,1	0,2
29/10/2024 8:40	0	0	0	0,3	0,1	0,4	0,7
29/10/2024 8:45	0	0	0	0,9	0,3	1,1	2,2
29/10/2024 8:50	0	0	0	2,2	0,7	2,6	5,5
29/10/2024 8:55	0	0	0	4,3	1,6	5,1	11,1
29/10/2024 9:00	0,1	0,1	0	7,3	3	8,9	19,2
29/10/2024 9:05	0,4	0,4	0	10,8	4,8	13,9	29,6
29/10/2024 9:10	0,9	0,9	0	14,8	7,2	19,9	41,9
29/10/2024 9:15	1,7	1,7	0	18,8	9,9	26,8	55,6
29/10/2024 9:20	2,7	2,7	0	22,8	13	34,2	70
29/10/2024 9:25	3,9	3,9	0,1	26,5	16,2	41,9	84,9
29/10/2024 9:30	5,2	5,2	0,3	29,9	19,6	50	99,8
29/10/2024 9:35	6,6	6,6	0,6	32,9	22,9	58	114,5
29/10/2024 9:40	8,1	8,1	1,2	35,4	26,2	65,9	128,7
29/10/2024 9:45	9,6	9,6	2,1	37,3	29,4	73,6	142,4
29/10/2024 9:50	11,1	11,1	3,2	38,9	32,3	80,8	155,2
29/10/2024 9:55	12,9	12,9	4,4	40,2	35	87,7	167,2
29/10/2024 10:00	15	15	5,8	41,2	37,4	93,9	178,4
29/10/2024 10:05	17,5	17,5	7,2	42,1	39,6	99,5	188,5
29/10/2024 10:10	20,5	20,5	8,7	42,9	41,6	104,5	197,6
29/10/2024 10:15	24,1	24,1	10,2	43,5	43,2	108,5	205,4
29/10/2024 10:20	28,3	28,3	11,8	43,8	44,5	111,8	211,9
29/10/2024 10:25	32,8	32,8	13,7	43,9	45,4	114,1	217,2
29/10/2024 10:30	37,4	37,4	16	43,8	46,1	115,7	221,6
29/10/2024 10:35	41,9	41,9	18,7	43,4	46,5	116,6	225,2
29/10/2024 10:40	46	46	22	42,9	46,6	117,1	228,5
29/10/2024 10:45	49,4	49,4	25,8	42,2	46,5	117,1	231,6
29/10/2024 10:50	52,1	52,1	30,1	41,3	46,2	116,8	234,4
29/10/2024 10:55	54	54	34,6	40,2	45,8	116,2	236,8
29/10/2024 11:00	55,1	55,1	39,2	38,8	45,1	115,2	238,4
29/10/2024 11:05	55,4	55,4	43,5	37,2	44,3	113,9	238,9
29/10/2024 11:10	54,9	54,9	47,4	35,3	43,2	112,1	237,9
29/10/2024 11:15	53,8	53,8	50,5	33	41,8	109,8	235,2
29/10/2024 11:20	52,2	52,2	52,9	30,6	40,3	107	230,7
29/10/2024 11:25	50,4	50,4	54,5	28	38,5	103,6	224,6
29/10/2024 11:30	48,2	48,2	55,2	25,4	36,5	99,8	216,9
29/10/2024 11:35	45,9	45,9	55,2	22,8	34,4	95,4	207,8
29/10/2024 11:40	43,4	43,4	54,4	20,2	32,2	90,7	197,6
29/10/2024 11:45	40,8	40,8	53,2	17,8	29,9	85,7	186,5
29/10/2024 11:50	38,1	38,1	51,5	15,5	27,6	80,3	174,9
29/10/2024 11:55	35,4	35,4	49,5	13,4	25,3	74,8	163
29/10/2024 12:00	32,7	32,7	47,3	11,5	23,1	69,3	151,1
29/10/2024 12:05	30,1	30,1	44,9	9,8	20,9	63,8	139,3
29/10/2024 12:10	27,5	27,5	42,4	8,3	18,8	58,4	127,8
29/10/2024 12:15	25	25	39,7	7	16,8	53,1	116,7
29/10/2024 12:20	22,7	22,7	37	5,8	15	48,1	105,9
29/10/2024 12:25	20,6	20,6	34,3	4,8	13,2	43,4	95,8
29/10/2024 12:30	18,7	18,7	31,7	4	11,7	38,9	86,3
29/10/2024 12:35	16,9	16,9	29	3,3	10,2	34,7	77,3
29/10/2024 12:40	15,3	15,3	26,5	2,8	8,9	30,8	69,1
29/10/2024 12:45	14	14	24,1	2,3	7,8	27,3	61,5
29/10/2024 12:50	12,9	12,9	21,9	1,9	6,8	24,1	54,7
29/10/2024 12:55	12	12	19,8	1,6	5,9	21,2	48,5
29/10/2024 13:00	11,2	11,2	18	1,4	5,1	18,6	42,9
29/10/2024 13:05	10,6	10,6	16,3	1,2	4,4	16,2	38
29/10/2024 13:10	10,2	10,2	14,8	1	3,8	14,2	33,8
29/10/2024 13:15	9,7	9,7	13,5	0,9	3,2	12,4	30
29/10/2024 13:20	9,4	9,4	12,5	0,8	2,8	10,8	26,9
29/10/2024 13:25	9,1	9,1	11,7	0,7	2,4	9,4	24,2
29/10/2024 13:30	9,1	9,1	11	0,6	2,1	8,3	22
29/10/2024 13:35	9,4	9,4	10,4	0,6	1,8	7,4	20,2
29/10/2024 13:40	9,9	9,9	10	0,6	1,6	6,5	18,7
29/10/2024 13:45	10,6	10,6	9,6	0,7	1,4	5,8	17,4
29/10/2024 13:50	11,4	11,4	9,3	0,7	1,3	5,2	16,4
29/10/2024 13:55	12,2	12,2	9,1	0,7	1,1	4,7	15,7
29/10/2024 14:00	12,9	12,9	9,2	0,8	1,1	4,3	15,4
29/10/2024 14:05	13,3	13,3	9,6	0,8	1	4,1	15,5
29/10/2024 14:10	13,6	13,6	10,2	0,8	1	4	16
29/10/2024 14:15	13,6	13,6	11	0,9	0,9	3,9	16,8
29/10/2024 14:20	13,6	13,6	11,8	0,9	0,9	4	17,7
29/10/2024 14:25	13,6	13,6	12,5	0,9	0,9	4,2	18,5
29/10/2024 14:30	13,7	13,7	13	1	0,9	4,3	19,3
29/10/2024 14:35	14,3	14,3	13,4	1	1	4,5	19,9
29/10/2024 14:40	15,6	15,6	13,6	1,1	1	4,7	20,4

Tiempo	Caudal (m³/s)						
	Poyo-SC1	N1	TP-PO02	Poyo-IC2	Poyo-SC3	Subsistema Gayo	N2
29/10/2024 14:45	17,7	17,7	13,6	1,3	1	4,8	20,7
29/10/2024 14:50	20,8	20,8	13,6	1,5	1,1	4,8	21
29/10/2024 14:55	24,7	24,7	13,6	1,7	1,2	4,8	21,5
29/10/2024 15:00	29,3	29,3	14	2	1,4	5	22,4
29/10/2024 15:05	34,2	34,2	14,8	2,4	1,6	5,3	24,1
29/10/2024 15:10	39,1	39,1	16,5	2,9	1,9	5,7	27
29/10/2024 15:15	43,7	43,7	19	3,6	2,2	6,5	31,2
29/10/2024 15:20	48	48	22,4	4,4	2,7	7,6	37,1
29/10/2024 15:25	51,7	51,7	26,5	5,2	3,3	9,3	44,4
29/10/2024 15:30	54,9	54,9	31,2	6,1	4	11,4	52,7
29/10/2024 15:35	57,5	57,5	36,1	7	4,7	13,7	61,5
29/10/2024 15:40	59,4	59,4	40,9	7,8	5,5	16,2	70,5
29/10/2024 15:45	60,7	60,7	45,4	8,6	6,3	19,1	79,5
29/10/2024 15:50	61,4	61,4	49,5	9,7	7,3	22,2	88,8
29/10/2024 15:55	61,6	61,6	53	11,3	8,5	25,9	98,7
29/10/2024 16:00	61,6	61,6	56	13,4	10	30,2	109,7
29/10/2024 16:05	61,7	61,7	58,3	16,4	12	35,4	122,2
29/10/2024 16:10	62,1	62,1	59,9	20,5	14,7	41,8	137
29/10/2024 16:15	63	63	60,9	25,5	18,1	49,6	154,2
29/10/2024 16:20	64,6	64,6	61,5	31,1	22,3	58,6	173,5
29/10/2024 16:25	66,8	66,8	61,6	37,1	27	68,9	194,6
29/10/2024 16:30	69,4	69,4	61,6	43,2	32,2	80	217
29/10/2024 16:35	72,4	72,4	61,8	49	37,8	92,1	240,8
29/10/2024 16:40	75,4	75,4	62,4	54,6	43,7	104,9	265,6
29/10/2024 16:45	78,6	78,6	63,6	59,9	49,6	118,4	291,6
29/10/2024 16:50	81,6	81,6	65,5	64,9	55,7	132,5	318,5
29/10/2024 16:55	84,6	84,6	67,8	69,6	61,7	147	346,2
29/10/2024 17:00	87,6	87,6	70,6	74,1	67,8	161,8	374,3
29/10/2024 17:05	90,7	90,7	73,6	78,6	73,8	176,8	402,7
29/10/2024 17:10	94,1	94,1	76,7	83,1	79,8	191,8	431,4
29/10/2024 17:15	97,9	97,9	79,8	87,8	85,9	207,1	460,5
29/10/2024 17:20	102,1	102,1	82,8	92,5	92,1	222,3	489,7
29/10/2024 17:25	106,8	106,8	85,8	97,3	98,2	237,5	518,8
29/10/2024 17:30	111,7	111,7	88,8	102	104,4	252,5	547,8
29/10/2024 17:35	116,7	116,7	92,1	106,7	110,6	267,5	576,9
29/10/2024 17:40	121,7	121,7	95,6	111,4	116,8	282,4	606,3
29/10/2024 17:45	126,5	126,5	99,6	116,3	123	297,5	636,4
29/10/2024 17:50	131,2	131,2	104	121,6	129,5	313,1	668,2
29/10/2024 17:55	136,4	136,4	108,8	128,7	136,6	330,2	704,3
29/10/2024 18:00	143,1	143,1	113,7	139,3	145,4	350,3	748,7
29/10/2024 18:05	152	152	118,7	154,3	156,6	375	804,6
29/10/2024 18:10	163,4	163,4	123,6	173,7	170,7	405,2	873,2
29/10/2024 18:15	176,6	176,6	128,4	196,1	187,8	440,8	953
29/10/2024 18:20	190,7	190,7	133,3	219,4	207,2	480,8	1040,7
29/10/2024 18:25	204,7	204,7	139,1	241,4	228	523,7	1132,2
29/10/2024 18:30	217,5	217,5	146,7	260,3	249,1	567,8	1223,9
29/10/2024 18:35	228,4	228,4	156,6	274,8	269,3	611,8	1312,5
29/10/2024 18:40	237,2	237,2	168,6	284,7	287,7	654,6	1395,6
29/10/2024 18:45	243,5	243,5	182,2	290,3	303,8	694,9	1471,2
29/10/2024 18:50	247,6	247,6	196,3	292,3	317,3	732,1	1538
29/10/2024 18:55	249,7	249,7	209,8	291,7	328,1	765,1	1594,8
29/10/2024 19:00	250	250	221,9	289,2	336,4	793,6	1641,1
29/10/2024 19:05	249	249	231,9	285,8	342,5	817	1677,2
29/10/2024 19:10	247,1	247,1	239,7	282,1	346,8	835,4	1704
29/10/2024 19:15	244,5	244,5	245,1	278,9	349,7	849,3	1723
29/10/2024 19:20	241,8	241,8	248,4	276,5	351,8	859,5	1736,1
29/10/2024 19:25	239,5	239,5	249,8	275,1	353,3	866,5	1744,8
29/10/2024 19:30	238,5	238,5	249,6	274,9	354,7	871,4	1750,7
29/10/2024 19:35	239,1	239,1	248,2	275,9	356,2	874,8	1755
29/10/2024 19:40	241,9	241,9	246	278	357,9	877,5	1759,5
29/10/2024 19:45	247,1	247,1	243,4	281,6	360,3	880,4	1765,7
29/10/2024 19:50	254,9	254,9	240,9	287	363,6	884,7	1776,1
29/10/2024 19:55	265,3	265,3	239,1	294,7	368,3	891,5	1793,5
29/10/2024 20:00	278	278	238,7	305	374,8	901,8	1820,3
29/10/2024 20:05	292,6	292,6	240,2	317,9	383,5	916,5	1858,2
29/10/2024 20:10	308,2	308,2	244	332,6	394,3	935,8	1906,7
29/10/2024 20:15	323,7	323,7	250,3	347,9	406,9	959,2	1964,3
29/10/2024 20:20	338,3	338,3	259	362,8	420,7	986,1	2028,7
29/10/2024 20:25	351,5	351,5	270,4	376,5	435,3	1015,7	2097,9
29/10/2024 20:30	363,4	363,4	283,9	388,6	450,1	1047,6	2170
29/10/2024 20:35	374	374	298,9	398,4	464,5	1080,6	2242,3
29/10/2024 20:40	383	383	314,4	405,1	477,8	1113,2	2310,5
29/10/2024 20:45	389,8	389,8	329,5	407,6	489	1143,7	2369,8
29/10/2024 20:50	393,6	393,6	343,5	404,9	497,4	1169,5	2415,5
29/10/2024 20:55	393,7	393,7	356,2	396,5	502	1188,8	2443,6
29/10/2024 21:00	389,7	389,7	367,6	382,4	502,2	1199,9	2452,1
29/10/2024 21:05	381,7	381,7	377,6	363,1	497,6	1201,7	2440
29/10/2024 21:10	370,1	370,1	385,7	339,6	488,1	1193,8	2407,2
29/10/2024 21:15	355,9	355,9	391,3	312,9	474	1176,1	2354,4
29/10/2024 21:20	340,4	340,4	393,7	284,5	455,8	1148,8	2282,7
29/10/2024 21:25	325,4	325,4	392,1	255,4	434,1	1112,2	2193,8
29/10/2024 21:30	312,5	312,5	386,5	226,8	409,7	1067,3	2090,4
29/10/2024 21:35	303,3	303,3	377,1	199,6	383,4	1015,4	1975,5
29/10/2024 21:40	298,4	298,4	364,4	174,5	356	957,7	1852,6
29/10/2024 21:45	297,9	297,9	349,7	151,8	328,2	895,9	1725,7
29/10/2024 21:50	301,2	301,2	334,4	131,8	300,6	831,8	1598,6
29/10/2024 21:55	307,1	307,1	320,2	114,4	273,9	767	1475,5
29/10/2024 22:00	314,5	314,5	308,8	99,7	248,5	703,2	1360,2
29/10/2024 22:05	322,1	322,1	301,3	87,6	224,7	642,3	1255,8
29/10/2024 22:10	328,8	328,8	298,2	78,1	202,9	585,3	1164,5
29/10/2024 22:15	333,4	333,4	299,2	71,1	183,3	533,6	1087,3
29/10/2024 22:20	335,1	335,1	303,6	66,5	166,2	488	1024,2
29/10/2024 22:25	333,8	333,8	310,1	64,2	151,6	448,8	974,7

Tiempo	Caudal (m³/s)						
	Poyo-SC1	N1	TP-PO02	Poyo-IC2	Poyo-SC3	Subsistema Gayo	N2
29/10/2024 22:30	329,4	329,4	317,6	64,4	139,8	416,1	937,8
29/10/2024 22:35	322,7	322,7	324,8	67,1	130,8	390,5	913,2
29/10/2024 22:40	314,4	314,4	330,6	72,4	125	372,2	900,2
29/10/2024 22:45	305,2	305,2	334,1	80,5	122,3	360,9	897,9
29/10/2024 22:50	295,6	295,6	334,6	90,7	122,8	356,6	904,8
29/10/2024 22:55	285,9	285,9	332	102,3	126,1	358,3	918,7
29/10/2024 23:00	276,1	276,1	326,8	114	131,5	364,9	937,2
29/10/2024 23:05	265,9	265,9	319,4	124,7	138,5	375	957,6
29/10/2024 23:10	255	255	310,7	133,3	146	387,3	977,4
29/10/2024 23:15	243,2	243,2	301,3	139,2	153,5	400,6	994,6
29/10/2024 23:20	230,5	230,5	291,7	141,9	160	413,5	1007,1
29/10/2024 23:25	216,7	216,7	282	141,4	165,1	424,9	1013,4
29/10/2024 23:30	202,1	202,1	272	137,8	168,4	433,9	1012
29/10/2024 23:35	186,8	186,8	261,5	131,8	169,5	439,3	1002,1
29/10/2024 23:40	171,2	171,2	250,3	123,6	168,5	440,8	983,2
29/10/2024 23:45	155,7	155,7	238,1	114,1	165,3	437,9	955,4
29/10/2024 23:50	140,4	140,4	225	103,7	160,3	430,4	919,4
29/10/2024 23:55	125,7	125,7	210,8	92,9	153,7	418,5	876
30/10/2024 0:00	111,7	111,7	196	82,2	145,7	402,7	826,6
30/10/2024 0:05	98,5	98,5	180,6	71,9	136,8	383,5	772,8
30/10/2024 0:10	86,3	86,3	165	62,3	127,2	361,5	716
30/10/2024 0:15	75,1	75,1	149,6	53,6	117,3	337,5	657,9
30/10/2024 0:20	65,1	65,1	134,5	45,8	107,2	312,3	599,8
30/10/2024 0:25	56,1	56,1	120,1	38,8	97,4	286,3	542,7
30/10/2024 0:30	48,1	48,1	106,4	32,8	87,8	260,5	487,5
30/10/2024 0:35	41,1	41,1	93,6	27,6	78,7	235,2	435,1
30/10/2024 0:40	34,9	34,9	81,8	23,1	70,2	210,9	386
30/10/2024 0:45	29,5	29,5	71,1	19,3	62,2	187,8	340,4
30/10/2024 0:50	24,8	24,8	61,5	16	54,9	166,3	298,7
30/10/2024 0:55	20,8	20,8	52,9	13,3	48,2	146,4	260,8
30/10/2024 1:00	17,3	17,3	45,3	10,9	42,2	128,2	226,6
30/10/2024 1:05	14,4	14,4	38,6	9	36,7	111,6	195,9
30/10/2024 1:10	11,9	11,9	32,7	7,3	31,8	96,9	168,8
30/10/2024 1:15	9,7	9,7	27,6	6	27,5	83,7	144,8
30/10/2024 1:20	7,9	7,9	23,2	4,8	23,7	72	123,8
30/10/2024 1:25	6,5	6,5	19,4	3,9	20,3	61,8	105,4
30/10/2024 1:30	5,2	5,2	16,2	3,1	17,4	52,7	89,4
30/10/2024 1:35	4,2	4,2	13,4	2,5	14,8	44,9	75,6
30/10/2024 1:40	3,4	3,4	11	2	12,6	38,1	63,7
30/10/2024 1:45	2,7	2,7	9	1,6	10,7	32,2	53,4
30/10/2024 1:50	2,2	2,2	7,4	1,2	9	27,1	44,7
30/10/2024 1:55	1,7	1,7	6	1	7,6	22,8	37,3
30/10/2024 2:00	1,4	1,4	4,8	0,7	6,4	19,1	31
30/10/2024 2:05	1,1	1,1	3,9	0,6	5,3	15,9	25,7
30/10/2024 2:10	0,8	0,8	3,1	0,4	4,5	13,2	21,2
30/10/2024 2:15	0,6	0,6	2,5	0,3	3,7	10,9	17,5
30/10/2024 2:20	0,5	0,5	2	0,2	3,1	9	14,3
30/10/2024 2:25	0,4	0,4	1,6	0,2	2,6	7,4	11,8
30/10/2024 2:30	0,3	0,3	1,3	0,1	2,1	6,2	9,6
30/10/2024 2:35	0,2	0,2	1	0,1	1,7	5	7,8
30/10/2024 2:40	0,1	0,1	0,8	0,1	1,4	4,1	6,3
30/10/2024 2:45	0,1	0,1	0,6	0	1,2	3,3	5,1
30/10/2024 2:50	0,1	0,1	0,4	0	0,9	2,7	4,1
30/10/2024 2:55	0,1	0,1	0,3	0	0,8	2,2	3,3
30/10/2024 3:00	0	0	0,2	0	0,6	1,7	2,6
30/10/2024 3:05	0	0	0,2	0	0,5	1,3	2
30/10/2024 3:10	0	0	0,1	0	0,4	1	1,5
30/10/2024 3:15	0	0	0,1	0	0,3	0,7	1,1
30/10/2024 3:20	0	0	0,1	0	0,2	0,5	0,8
30/10/2024 3:25	0	0	0,1	0	0,1	0,4	0,6
30/10/2024 3:30	0	0	0	0	0,1	0,3	0,4
30/10/2024 3:35	0	0	0	0	0,1	0,2	0,3
30/10/2024 3:40	0	0	0	0	0,1	0,2	0,2
30/10/2024 3:45	0	0	0	0	0	0,1	0,2
30/10/2024 3:50	0	0	0	0	0	0	0,1
30/10/2024 3:55	0	0	0	0	0	0	0,1
30/10/2024 4:00	0	0	0	0	0	0	0,1
30/10/2024 4:05	0	0	0	0	0	0	0,1
30/10/2024 4:10	0	0	0	0	0	0	0
30/10/2024 4:15	0	0	0	0	0	0	0
30/10/2024 4:20	0	0	0	0	0	0	0
30/10/2024 4:25	0	0	0	0	0	0	0
30/10/2024 4:30	0	0	0	0	0	0	0
30/10/2024 4:35	0	0	0	0	0	0	0
30/10/2024 4:40	0	0	0	0	0	0	0
30/10/2024 4:45	0	0	0	0	0	0	0
30/10/2024 4:50	0	0	0	0	0	0	0
30/10/2024 4:55	0	0	0	0	0	0	0
30/10/2024 5:00	0	0	0	0	0	0	0
30/10/2024 5:05	0	0	0	0	0	0	0
30/10/2024 5:10	0	0	0	0	0	0	0
30/10/2024 5:15	0	0	0	0	0	0	0
30/10/2024 5:20	0	0	0	0	0	0	0
30/10/2024 5:25	0	0	0	0	0	0	0
30/10/2024 5:30	0	0	0	0	0	0	0
30/10/2024 5:35	0	0	0	0	0	0	0
30/10/2024 5:40	0	0	0	0	0	0	0
30/10/2024 5:45	0	0	0	0	0	0	0
30/10/2024 5:50	0	0	0	0	0	0	0
30/10/2024 5:55	0	0	0	0	0	0	0
30/10/2024 6:00	0	0	0	0	0	0	0

Sistema Poyo – Subsistema Poyo [2]

Tiempo	Caudal (m³/s)								
	TP-PO4	Poyo-IC4	Poyo-SC5	Poyo-SC6	N4	TP-PO7	Poyo-IC7	Subsistema Canaleja	N5
29/10/2024 8:00	0	0	0	0	0	0	0	0	0
29/10/2024 8:05	0	0	0	0	0	0	0	0	0
29/10/2024 8:10	0	0	0	0	0	0	0	0	0
29/10/2024 8:15	0	0	0	0	0	0	0	0	0
29/10/2024 8:20	0	0	0	0	0	0	0	0	0
29/10/2024 8:25	0	0	0	0	0	0	0	0	0
29/10/2024 8:30	0	0	0,1	0	0,1	0	0	0	0
29/10/2024 8:35	0	0,1	0,3	0	0,5	0	0	0	0
29/10/2024 8:40	0,1	0,5	0,9	0,1	1,7	0	0	0	0
29/10/2024 8:45	0,5	1,4	2,2	0,4	4,6	0	0	0,2	0,2
29/10/2024 8:50	1,6	2,6	4,5	1,1	9,8	0,1	0	0,5	0,6
29/10/2024 8:55	4,2	3,7	7,7	2,2	17,8	0,3	0	1,2	1,6
29/10/2024 9:00	8,8	4,3	11,5	3,9	28,5	1,2	0,1	2,7	3,9
29/10/2024 9:05	15,9	4,5	15,6	5,8	41,8	3,4	0,2	5,1	8,7
29/10/2024 9:10	25,4	4,4	19,4	8	57,2	7,7	0,3	8,9	16,9
29/10/2024 9:15	37	4,2	22,7	10,3	74,2	14,6	0,4	13,9	28,9
29/10/2024 9:20	50,1	4,1	25,5	12,6	92,2	24,2	0,5	19,1	43,8
29/10/2024 9:25	64,2	4	27,6	14,7	110,5	36,5	0,7	23,8	60,9
29/10/2024 9:30	78,9	3,9	29,1	16,7	128,7	51	0,9	27,3	79,3
29/10/2024 9:35	93,8	3,8	30,2	18,5	146,3	67,4	1,1	29,9	98,4
29/10/2024 9:40	108,6	3,7	30,7	20,1	163,1	85	1,3	31,6	117,8
29/10/2024 9:45	123	3,6	30,9	21,3	178,8	103,2	1,5	32,5	137,1
29/10/2024 9:50	136,9	3,5	30,8	22,4	193,6	121,4	1,7	33	156,1
29/10/2024 9:55	150,1	3,5	30,5	23,3	207,4	139,3	1,9	33,2	174,4
29/10/2024 10:00	162,4	3,5	30,1	24,2	220,2	156,3	2,1	33,2	191,6
29/10/2024 10:05	173,9	3,3	29,5	25	231,8	172,5	2,3	32,9	207,7
29/10/2024 10:10	184,5	3,1	28,8	25,8	242,2	187,7	2,5	32,5	222,7
29/10/2024 10:15	193,9	2,7	27,9	26,5	251,1	201,9	2,7	32,1	236,6
29/10/2024 10:20	202,2	2,4	26,8	27,1	258,6	215	2,8	31,7	249,5
29/10/2024 10:25	209,3	2,3	25,5	27,5	264,6	227,1	2,9	31,2	261,2
29/10/2024 10:30	215,1	2,3	24,3	27,7	269,4	238	3	30,4	271,5
29/10/2024 10:35	219,8	2,4	23,1	27,7	273	247,6	3,1	29,4	280,1
29/10/2024 10:40	223,8	2,5	22,1	27,5	275,8	255,6	3,2	28,1	286,9
29/10/2024 10:45	227,2	2,4	21,2	27,2	278,1	262,2	3,3	26,7	292,2
29/10/2024 10:50	230,3	2,3	20,4	26,7	279,8	267,5	3,4	25,5	296,4
29/10/2024 10:55	233,3	2	19,6	26,1	280,9	271,6	3,4	24,6	299,5
29/10/2024 11:00	235,8	1,6	18,7	25,2	281,4	274,7	3,4	23,8	302
29/10/2024 11:05	237,8	1,3	17,6	24,1	280,7	277,2	3,3	23,3	303,8
29/10/2024 11:10	238,7	0,9	16,3	22,8	278,7	279,1	3,3	22,6	304,9
29/10/2024 11:15	238,3	0,6	14,9	21,2	275	280,5	3,1	21,6	305,1
29/10/2024 11:20	236,3	0,5	13,4	19,5	269,6	281,2	2,9	20,2	304,3
29/10/2024 11:25	232,5	0,3	11,8	17,7	262,4	281	2,7	18,5	302,2
29/10/2024 11:30	227,1	0,2	10,3	15,8	253,5	279,5	2,5	16,4	298,4
29/10/2024 11:35	220	0,2	8,9	14	243	276,5	2,3	14,3	293,1
29/10/2024 11:40	211,5	0,1	7,5	12,3	231,4	271,8	2	12,2	286
29/10/2024 11:45	201,7	0,1	6,3	10,6	218,7	265,2	1,8	10,3	277,3
29/10/2024 11:50	191	0	5,2	9,1	205,3	257	1,5	8,5	267,1
29/10/2024 11:55	179,6	0	4,3	7,7	191,5	247,2	1,3	7	255,5
29/10/2024 12:00	167,8	0	3,4	6,5	177,7	236	1,1	5,7	242,9
29/10/2024 12:05	155,9	0	2,8	5,4	164,1	223,7	1	4,6	229,3
29/10/2024 12:10	144,1	0	2,2	4,5	150,7	210,6	0,8	3,7	215,1
29/10/2024 12:15	132,4	0	1,7	3,7	137,8	197	0,7	2,9	200,7
29/10/2024 12:20	121,1	0	1,4	3	125,5	183,3	0,6	2,4	186,1
29/10/2024 12:25	110,2	0	1	2,4	113,7	169,5	0,5	1,9	171,8
29/10/2024 12:30	99,9	0	0,8	2	102,6	156,1	0,4	1,4	157,9
29/10/2024 12:35	90,1	0	0,6	1,6	92,3	143	0,3	1,1	144,4
29/10/2024 12:40	80,9	0	0,5	1,2	82,6	130,4	0,2	0,9	131,5
29/10/2024 12:45	72,4	0	0,4	1	73,7	118,4	0,2	0,7	119,3
29/10/2024 12:50	64,6	0	0,3	0,8	65,6	107,1	0,2	0,6	107,7
29/10/2024 12:55	57,4	0	0,2	0,6	58,2	96,4	0,1	0,4	96,9
29/10/2024 13:00	50,9	0	0,1	0,5	51,6	86,5	0,1	0,3	86,9
29/10/2024 13:05	45,2	0	0,1	0,4	45,6	77,3	0,1	0,2	77,6
29/10/2024 13:10	40	0	0,1	0,3	40,4	68,9	0,1	0,2	69,1
29/10/2024 13:15	35,5	0	0,1	0,2	35,8	61,2	0	0,1	61,4
29/10/2024 13:20	31,5	0	0	0,2	31,7	54,2	0	0,1	54,4
29/10/2024 13:25	28,1	0	0	0,1	28,3	48	0	0,1	48,1
29/10/2024 13:30	25,2	0	0	0,1	25,4	42,5	0	0,1	42,6
29/10/2024 13:35	22,9	0	0	0,1	22,9	37,6	0	0	37,7
29/10/2024 13:40	20,9	0	0	0,1	21	33,3	0	0	33,4
29/10/2024 13:45	19,3	0	0	0	19,3	29,7	0	0	29,7
29/10/2024 13:50	17,9	0	0	0	18	26,5	0	0	26,6
29/10/2024 13:55	16,8	0	0	0	16,9	23,9	0	0	23,9
29/10/2024 14:00	16	0	0	0	16,1	21,7	0	0	21,8
29/10/2024 14:05	15,5	0,1	0,1	0,1	15,7	20	0	0	20
29/10/2024 14:10	15,5	0,1	0,1	0,1	15,7	18,5	0	0	18,6
29/10/2024 14:15	15,8	0,1	0,1	0,1	16,1	17,3	0	0	17,4
29/10/2024 14:20	16,4	0	0,2	0,1	16,8	16,4	0	0,2	16,6
29/10/2024 14:25	17,3	0	0,2	0,2	17,7	15,9	0	0,2	16,1
29/10/2024 14:30	18,2	0	0,2	0,2	18,6	15,7	0	0,3	16
29/10/2024 14:35	19	0	0,2	0,2	19,5	15,9	0	0,3	16,3
29/10/2024 14:40	19,7	0	0,2	0,2	20,1	16,5	0	0,3	16,9
29/10/2024 14:45	20,2	0	0,2	0,2	20,7	17,4	0	0,3	17,7
29/10/2024 14:50	20,6	0,1	0,2	0,2	21,1	18,3	0	0,3	18,6
29/10/2024 14:55	20,9	0,1	0,3	0,2	21,5	19,1	0,1	0,4	19,5
29/10/2024 15:00	21,3	0,3	0,4	0,3	22,2	19,9	0,1	0,4	20,3
29/10/2024 15:05	22	0,5	0,6	0,4	23,5	20,5	0,1	0,5	21,1
29/10/2024 15:10	23,4	0,7	0,9	0,6	25,6	20,9	0,2	0,8	21,9
29/10/2024 15:15	25,8	1	1,4	0,9	29,1	21,4	0,3	1,2	22,9
29/10/2024 15:20	29,5	1,2	2	1,4	34,1	22	0,5	1,7	24,2
29/10/2024 15:25	34,8	1,3	2,8	1,9	40,7	23	0,7	2,6	26,2

Tiempo	Caudal (m³/s)								
	TP-PO4	Poyo-IC4	Poyo-SC5	Poyo-SC6	N4	TP-PO7	Poyo-IC7	Subsistema Canaleja	N5
29/10/2024 15:30	41,5	1,3	3,5	2,5	48,7	24,8	0,9	3,7	29,3
29/10/2024 15:35	49,4	1,2	4,2	3	57,8	27,7	1,1	5	33,8
29/10/2024 15:40	58	1,4	4,8	3,6	67,8	32,1	1,4	6,6	40,1
29/10/2024 15:45	66,9	2,2	5,6	4,2	78,9	38,1	1,8	8,5	48,3
29/10/2024 15:50	75,9	3,3	6,8	5,2	91,1	45,5	2,4	10,7	58,6
29/10/2024 15:55	85	4,4	8,5	6,6	104,6	54,2	3,2	13,2	70,6
29/10/2024 16:00	94,7	5,7	10,9	8,5	119,8	63,8	4,4	16,2	84,5
29/10/2024 16:05	105,3	7,3	14,2	11	137,8	74,4	6	20,3	100,7
29/10/2024 16:10	117,2	8,9	18,4	14,4	158,9	86,2	7,8	25,9	119,9
29/10/2024 16:15	131,1	9,8	23,3	18,4	182,5	99,2	9,9	33	142,1
29/10/2024 16:20	147,3	10,1	28,3	22,8	208,5	113,7	12,3	41,2	167,1
29/10/2024 16:25	165,8	10,2	33,3	27,4	236,6	130,6	14,7	50,5	195,8
29/10/2024 16:30	186,1	10,5	37,9	31,9	266,4	150,4	17,4	61,1	229
29/10/2024 16:35	208	10,8	42	36,4	297,3	173,1	20,3	72,5	265,9
29/10/2024 16:40	231,3	11,3	45,8	40,7	329,1	198,1	23,4	83,7	305,2
29/10/2024 16:45	255,7	12	49,3	44,8	361,8	225,3	26,7	94,1	346,2
29/10/2024 16:50	281,2	12,9	52,5	48,8	395,5	254,5	30,4	104	388,8
29/10/2024 16:55	307,7	13,8	55,7	52,7	430	285	34,4	113,7	433,1
29/10/2024 17:00	335,1	14,7	58,8	56,6	465,2	316,4	38,8	123,8	479
29/10/2024 17:05	363	15,9	62,1	60,5	501,4	348,7	43,7	134,4	526,8
29/10/2024 17:10	391,3	17,1	65,6	64,5	538,5	382	49	145,9	576,9
29/10/2024 17:15	419,9	18,2	69,3	68,7	576,2	416,2	54,8	158,4	629,3
29/10/2024 17:20	448,9	18,9	73,1	73	614	451,1	60,9	171,6	683,6
29/10/2024 17:25	478	19,2	76,9	77,4	651,5	487	67,2	185,3	739,6
29/10/2024 17:30	507,2	19,4	80,4	81,6	688,5	523,7	73,5	199,5	796,7
29/10/2024 17:35	536,2	19,7	83,8	85,7	725,4	561,1	79,6	213,4	854,1
29/10/2024 17:40	565,2	20,1	87,1	89,8	762,2	598,9	85,2	226,5	910,5
29/10/2024 17:45	594,5	20,7	90,3	93,9	799,4	636,5	90,4	238,1	964,9
29/10/2024 17:50	624,3	22,9	94,1	98,4	839,7	673,7	95,3	248,5	1017,5
29/10/2024 17:55	655,5	28,8	99,8	104,5	888,5	710,7	100,6	258,9	1070,2
29/10/2024 18:00	689,9	37,3	109,3	113,6	950	747,5	107,4	271,4	1126,2
29/10/2024 18:05	731	45,6	123	126,7	1026,2	784,5	116,5	287,3	1188,3
29/10/2024 18:10	782,3	51	140,1	143,6	1116,9	823,5	128,2	307,9	1259,6
29/10/2024 18:15	845,8	52,2	158,6	163,1	1219,7	869	142,2	335	1346,2
29/10/2024 18:20	921,1	49,7	176,1	183,4	1330,3	925,4	157,6	370,2	1453,2
29/10/2024 18:25	1005,6	45	190,4	202,4	1443,5	995,7	173,2	411,5	1580,4
29/10/2024 18:30	1095,6	39,7	200,2	218,6	1554,2	1080,6	187,8	453,9	1722,4
29/10/2024 18:35	1187,2	34,9	205,2	231	1658,4	1178,6	200,4	491,5	1870,4
29/10/2024 18:40	1277,1	31,5	205,9	239,4	1753,9	1286,1	210,3	519	2015,4
29/10/2024 18:45	1362,4	29,8	203,3	244,1	1839,6	1398,2	217,3	534,4	2149,8
29/10/2024 18:50	1441	29,4	198,7	245,6	1914,7	1509,9	221,5	538	2269,2
29/10/2024 18:55	1511,3	29,5	193,2	244,9	1978,9	1616,7	223,1	532,2	2372
29/10/2024 19:00	1572	29,9	187,7	242,4	2032	1715,7	222,5	520,7	2458,9
29/10/2024 19:05	1622,6	30,6	182,7	238,9	2074,7	1805,3	220,1	506,7	2532,1
29/10/2024 19:10	1662,8	31,6	178,7	234,9	2107,9	1884,7	216,3	492,9	2593,9
29/10/2024 19:15	1693,3	32,6	176,1	230,9	2132,9	1953,2	211,3	480,4	2645
29/10/2024 19:20	1715,4	33,2	174,8	227,4	2150,9	2010,7	205,5	469,5	2685,8
29/10/2024 19:25	1730,9	33,3	174,6	224,5	2163,3	2057,6	199,1	459,8	2716,5
29/10/2024 19:30	1741,3	33	175,1	222,3	2171,8	2094,6	192,1	451,3	2738,1
29/10/2024 19:35	1748,3	33	176,2	220,9	2178,4	2122,9	184,9	443,9	2751,7
29/10/2024 19:40	1753,3	33,6	177,8	220,5	2185,2	2143,7	177,5	437,4	2758,6
29/10/2024 19:45	1757,7	35,2	180,3	221,2	2194,4	2158,3	170,3	431,3	2759,9
29/10/2024 19:50	1763,2	37,8	184,1	223,3	2208,4	2168,4	163,5	425,6	2757,4
29/10/2024 19:55	1772	41,5	189,8	227,2	2230,4	2175,8	157,4	420,2	2753,3
29/10/2024 20:00	1786,6	45,1	197,7	233,2	2262,5	2182,5	152,2	415,9	2750,7
29/10/2024 20:05	1809,6	47,4	207,3	241,2	2305,5	2190,7	148	413,7	2752,4
29/10/2024 20:10	1843	47,7	217,7	250,6	2359,1	2202,8	144,5	414	2761,4
29/10/2024 20:15	1887,3	46,3	227,7	260,5	2421,7	2221,6	141,6	417,3	2780,6
29/10/2024 20:20	1941,3	44,3	236,1	270	2491,6	2249,7	138,9	423,4	2812
29/10/2024 20:25	2002,9	42,9	242,8	278,7	2567,3	2288,3	136,3	430,7	2855,3
29/10/2024 20:30	2070,2	41,8	247,7	286,2	2645,9	2337,6	133,8	437	2908,4
29/10/2024 20:35	2141,2	39,8	250,5	292	2723,5	2396,7	131,1	439,9	2967,6
29/10/2024 20:40	2213,4	35,9	250,5	295,5	2795,3	2463,7	128	438	3029,7
29/10/2024 20:45	2283,2	30,4	246,9	295,7	2856,3	2537	124,4	431,6	3093,1
29/10/2024 20:50	2346,1	24,2	239,3	292	2901,6	2614,5	119,9	422	3156,4
29/10/2024 20:55	2397,2	18,1	227,4	284,1	2926,8	2692,5	114,5	408,9	3215,9
29/10/2024 21:00	2432,4	12,9	211,8	272	2929,1	2766,6	108,1	391,2	3265,9
29/10/2024 21:05	2448,7	8,8	193,5	256,2	2907,2	2831,9	100,9	367,9	3300,6
29/10/2024 21:10	2444,9	5,9	173,4	237,4	2861,6	2883,5	92,9	338,6	3315
29/10/2024 21:15	2420,3	3,9	152,6	216,7	2793,5	2916,7	84,5	304,6	3305,8
29/10/2024 21:20	2375,6	2,6	132,1	194,9	2705,1	2928,2	76	267,8	3272
29/10/2024 21:25	2311,4	1,8	112,7	172,9	2598,8	2916	67,4	230,7	3214,1
29/10/2024 21:30	2229,4	1,4	94,8	151,5	2477,1	2879,8	59,2	195,1	3134,1
29/10/2024 21:35	2131,8	1,2	78,9	131,3	2343,2	2820,7	51,5	162,6	3034,8
29/10/2024 21:40	2021,4	1,2	65,2	112,8	2200,6	2740,5	44,4	134	2918,9
29/10/2024 21:45	1901,8	1,3	53,5	96,1	2052,6	2641,3	38	109,5	2788,9
29/10/2024 21:50	1776,4	1,5	43,9	81,4	1903,2	2525,8	32,3	89,2	2647,3
29/10/2024 21:55	1649,4	1,8	36,2	68,7	1756,1	2396,8	27,4	72,8	2497
29/10/2024 22:00	1524,8	2,3	30,2	58,1	1615,3	2257,6	23,2	59,7	2340,6
29/10/2024 22:05	1406,3	3,2	26	49,5	1485	2111,8	19,8	49,6	2181,3
29/10/2024 22:10	1297,6	4,4	23,5	42,9	1368,4	1962,9	17,1	42,3	2022,4
29/10/2024 22:15	1201	5,6	22,6	38,4	1267,6	1814,9	15,1	37,2	1867,3
29/10/2024 22:20	1118,1	7,1	23,2	35,7	1184,1	1671,6	13,8	34,5	1719,9
29/10/2024 22:25	1049,4	8,9	25,3	34,9	1118,5	1537,1	13,2	33,9	1584,3
29/10/2024 22:30	994,5	11,2	29	36	1070,6	1415	13,4	35,9	1464,3
29/10/2024 22:35	952,6	14,2	34,4	39	1040,1	1307,9	14,3	40,3	1362,6
29/10/2024 22:40	923	17,4	41,6	44,1	1026,1	1217,5	16	47,3	1280,9
29/10/2024 22:45	905,4	20,1	50,4	51,2	1027,1	1144,8	18,5	56,8	1220
29/10/2024 22:50	898,8	21,7	60,3	59,8	1040,6	1089,8	21,7	68,5	1180
29/10/2024 22:55	902	21,6	70,3	69,3	1063,2	1052,3	25,2	82,6	1160,2
29/10/2024 23:00	913,2	19,9	79,1	78,7	1090,9	1031,7	28,9	98,6	1159,1
29/10/2024 23:05	929,8	17,3	86	87	1120,2	1026,7	32,3	115,4	1174,4
29/10/2024 23:10	949,5	14,4	90,3	93,6	1147,8	1035,2	35,2	131,2	1201,7

Tiempo	Caudal (m³/s)								
	TP-PO4	Poyo-IC4	Poyo-SC5	Poyo-SC6	N4	TP-PO7	Poyo-IC7	Subsistema Canaleja	N5
29/10/2024 23:15	969,5	11,5	91,8	97,9	1170,7	1054,1	37,3	144,1	1235,6
29/10/2024 23:20	987,7	8,7	90,6	99,7	1186,7	1079,8	38,4	152,1	1270,4
29/10/2024 23:25	1002,1	6,3	86,8	99	1194,3	1108,5	38,7	154,4	1301,5
29/10/2024 23:30	1010,9	4,4	81,1	96,1	1192,5	1136,8	38	151	1325,8
29/10/2024 23:35	1012,6	3	74	91,4	1181	1161,5	36,6	143,1	1341,2
29/10/2024 23:40	1006,1	2	66,1	85,2	1159,5	1180,3	34,6	131,7	1346,6
29/10/2024 23:45	990,8	1,4	58	78,2	1128,3	1191,2	32,1	118,2	1341,5
29/10/2024 23:50	966,5	1	50	70,6	1088,1	1193,2	29,3	103,9	1326,4
29/10/2024 23:55	933,8	0,9	42,4	62,9	1039,9	1185,6	26,6	89,7	1301,8
30/10/2024 0:00	893,3	1	35,6	55,5	985,3	1168,1	24,2	76,6	1268,9
30/10/2024 0:05	846,3	1,2	29,5	48,5	925,6	1140,8	22,2	65,4	1228,4
30/10/2024 0:10	794,3	1,3	24,4	42,3	862,3	1104,2	20,8	56,2	1181,2
30/10/2024 0:15	738,7	1,4	20,1	36,7	796,9	1059,2	19,9	48,9	1128
30/10/2024 0:20	681,2	1,2	16,6	31,9	730,9	1007,2	19,3	43,1	1069,6
30/10/2024 0:25	623	1	13,7	27,7	665,4	949,5	18,8	38,7	1007
30/10/2024 0:30	565,5	0,8	11,3	24	601,6	887,6	18,4	35,2	941,2
30/10/2024 0:35	509,6	0,6	9,4	20,8	540,3	823,1	17,8	32,3	873,2
30/10/2024 0:40	456,1	0,4	7,7	18	482,2	757,3	17,1	29,7	804,1
30/10/2024 0:45	405,6	0,2	6,4	15,5	427,7	691,6	16,2	27,3	735,1
30/10/2024 0:50	358,6	0,2	5,2	13,2	377,3	627,1	15,1	24,8	667,1
30/10/2024 0:55	315,4	0,1	4,3	11,3	331,1	564,8	13,9	22,4	601,1
30/10/2024 1:00	276	0,1	3,5	9,6	289,1	505,4	12,5	19,9	537,9
30/10/2024 1:05	240,3	0	2,8	8	251,1	449,5	11,2	17,5	478,2
30/10/2024 1:10	208,2	0	2,2	6,7	217,1	397,5	9,9	15,2	422,6
30/10/2024 1:15	179,6	0	1,8	5,6	187	349,6	8,6	13,1	371,3
30/10/2024 1:20	154,4	0	1,4	4,6	160,4	305,9	7,4	11,1	324,4
30/10/2024 1:25	132,2	0	1,1	3,8	137	266,3	6,3	9,3	282
30/10/2024 1:30	112,7	0	0,8	3,1	116,6	230,7	5,3	7,8	243,9
30/10/2024 1:35	95,8	0	0,6	2,5	98,9	199	4,5	6,5	210
30/10/2024 1:40	81,1	0	0,5	2	83,6	171	3,7	5,4	180
30/10/2024 1:45	68,4	0	0,4	1,6	70,4	146,4	3	4,4	153,8
30/10/2024 1:50	57,5	0	0,3	1,2	59	124,8	2,5	3,6	130,8
30/10/2024 1:55	48,2	0	0,2	1	49,4	106	2	2,9	110,9
30/10/2024 2:00	40,3	0	0,1	0,8	41,1	89,7	1,6	2,2	93,6
30/10/2024 2:05	33,5	0	0,1	0,6	34,2	75,7	1,3	1,8	78,7
30/10/2024 2:10	27,8	0	0,1	0,4	28,3	63,6	1	1,4	66
30/10/2024 2:15	23	0	0,1	0,3	23,4	53,2	0,8	1,1	55,1
30/10/2024 2:20	19	0	0	0,2	19,2	44,4	0,6	0,9	45,9
30/10/2024 2:25	15,6	0	0	0,2	15,8	37	0,5	0,7	38,1
30/10/2024 2:30	12,8	0	0	0,1	13	30,7	0,4	0,5	31,6
30/10/2024 2:35	10,5	0	0	0,1	10,6	25,4	0,3	0,4	26,1
30/10/2024 2:40	8,6	0	0	0,1	8,6	20,9	0,2	0,3	21,4
30/10/2024 2:45	6,9	0	0	0,1	7	17,2	0,2	0,2	17,6
30/10/2024 2:50	5,6	0	0	0	5,7	14,1	0,1	0,2	14,4
30/10/2024 2:55	4,5	0	0	0	4,5	11,5	0,1	0,1	11,8
30/10/2024 3:00	3,6	0	0	0	3,6	9,4	0,1	0,1	9,6
30/10/2024 3:05	2,9	0	0	0	2,9	7,7	0,1	0,1	7,8
30/10/2024 3:10	2,2	0	0	0	2,3	6,2	0	0,1	6,3
30/10/2024 3:15	1,7	0	0	0	1,7	5	0	0	5,1
30/10/2024 3:20	1,3	0	0	0	1,3	4	0	0	4,1
30/10/2024 3:25	0,9	0	0	0	0,9	3,2	0	0	3,2
30/10/2024 3:30	0,7	0	0	0	0,7	2,5	0	0	2,5
30/10/2024 3:35	0,5	0	0	0	0,5	1,9	0	0	1,9
30/10/2024 3:40	0,4	0	0	0	0,4	1,5	0	0	1,5
30/10/2024 3:45	0,3	0	0	0	0,3	1,1	0	0	1,1
30/10/2024 3:50	0,2	0	0	0	0,2	0,8	0	0	0,8
30/10/2024 3:55	0,1	0	0	0	0,1	0,5	0	0	0,5
30/10/2024 4:00	0,1	0	0	0	0,1	0,4	0	0	0,4
30/10/2024 4:05	0,1	0	0	0	0,1	0,3	0	0	0,3
30/10/2024 4:10	0,1	0	0	0	0,1	0,2	0	0	0,2
30/10/2024 4:15	0,1	0	0	0	0,1	0,2	0	0	0,2
30/10/2024 4:20	0	0	0	0	0	0,1	0	0	0,1
30/10/2024 4:25	0	0	0	0	0	0,1	0	0	0,1
30/10/2024 4:30	0	0	0	0	0	0,1	0	0	0,1
30/10/2024 4:35	0	0	0	0	0	0,1	0	0	0,1
30/10/2024 4:40	0	0	0	0	0	0	0	0	0
30/10/2024 4:45	0	0	0	0	0	0	0	0	0
30/10/2024 4:50	0	0	0	0	0	0	0	0	0
30/10/2024 4:55	0	0	0	0	0	0	0	0	0
30/10/2024 5:00	0	0	0	0	0	0	0	0	0
30/10/2024 5:05	0	0	0	0	0	0	0	0	0
30/10/2024 5:10	0	0	0	0	0	0	0	0	0
30/10/2024 5:15	0	0	0	0	0	0	0	0	0
30/10/2024 5:20	0	0	0	0	0	0	0	0	0
30/10/2024 5:25	0	0	0	0	0	0	0	0	0
30/10/2024 5:30	0	0	0	0	0	0	0	0	0
30/10/2024 5:35	0	0	0	0	0	0	0	0	0
30/10/2024 5:40	0	0	0	0	0	0	0	0	0
30/10/2024 5:45	0	0	0	0	0	0	0	0	0
30/10/2024 5:50	0	0	0	0	0	0	0	0	0
30/10/2024 5:55	0	0	0	0	0	0	0	0	0
30/10/2024 6:00	0	0	0	0	0	0	0	0	0

Sistema Poyo – Subsistema Poyo [3]

Tiempo	Caudal (m³/s)						
	TP-PO8	Poyo-IC8	N7	TP-PO9	Poyo-IC9	Subsistema Gallego	N8
29/10/2024 8:00	0	0	0	0	0	0	0
29/10/2024 8:05	0	0	0	0	0	0	0
29/10/2024 8:10	0	0	0	0	0	0	0
29/10/2024 8:15	0	0	0	0	0	0	0
29/10/2024 8:20	0	0	0	0	0	0	0
29/10/2024 8:25	0	0	0	0	0	0	0
29/10/2024 8:30	0	0	0	0	0	0	0
29/10/2024 8:35	0	0	0	0	0	0	0
29/10/2024 8:40	0	0	0	0	0	0,2	0,2
29/10/2024 8:45	0	0	0	0	0	0,4	0,4
29/10/2024 8:50	0	0	0	0	0	0,8	0,8
29/10/2024 8:55	0,1	0	0,1	0	0	1,5	1,5
29/10/2024 9:00	0,5	0	0,5	0	0	2,8	2,8
29/10/2024 9:05	1,4	0	1,4	0	0	4,7	4,7
29/10/2024 9:10	3,5	0	3,5	0,1	0	7,6	7,7
29/10/2024 9:15	7,7	0	7,7	0,5	0	12	12,6
29/10/2024 9:20	15,3	0	15,3	1,4	0	18,7	20,1
29/10/2024 9:25	26,5	0	26,5	3,5	0	27,8	31,3
29/10/2024 9:30	40,8	0	40,8	7,7	0	39,2	46,9
29/10/2024 9:35	57,5	0	57,5	15,3	0	52,6	67,9
29/10/2024 9:40	75,6	0	75,6	26,5	0	67,6	94,1
29/10/2024 9:45	94,6	0	94,6	40,8	0	83	123,8
29/10/2024 9:50	113,9	0	113,9	57,5	0	97,3	154,8
29/10/2024 9:55	133,3	0	133,3	75,6	0	109,1	184,7
29/10/2024 10:00	152,3	0	152,3	94,6	0	117,6	212,2
29/10/2024 10:05	170,7	0	170,7	113,9	0	122,5	236,4
29/10/2024 10:10	188,2	0	188,2	133,3	0	124,2	257,5
29/10/2024 10:15	204,5	0	204,5	152,3	0	123,3	275,6
29/10/2024 10:20	219,7	0	219,7	170,7	0	120,4	291,1
29/10/2024 10:25	233,8	0	233,8	188,2	0	116,2	304,4
29/10/2024 10:30	246,9	0	246,9	204,5	0	111,2	315,6
29/10/2024 10:35	258,9	0	258,9	219,7	0	105,6	325,3
29/10/2024 10:40	269,4	0	269,4	233,8	0	100	333,8
29/10/2024 10:45	278,3	0	278,3	246,9	0	94,4	341,4
29/10/2024 10:50	285,6	0	285,6	258,9	0	89,2	348,1
29/10/2024 10:55	291,2	0	291,2	269,4	0	84,4	353,8
29/10/2024 11:00	295,5	0	295,5	278,3	0	79,8	358,1
29/10/2024 11:05	298,9	0	298,9	285,6	0	75,4	360,9
29/10/2024 11:10	301,5	0	301,5	291,2	0	71,1	362,3
29/10/2024 11:15	303,4	0	303,4	295,5	0	67	362,5
29/10/2024 11:20	304,7	0	304,7	298,9	0	63,2	362,1
29/10/2024 11:25	305,1	0	305,1	301,5	0	59,6	361,1
29/10/2024 11:30	304,5	0	304,5	303,4	0	56,4	359,8
29/10/2024 11:35	302,6	0	302,6	304,7	0	53,3	358
29/10/2024 11:40	299,2	0	299,2	305,1	0	50,1	355,2
29/10/2024 11:45	294,1	0	294,1	304,5	0	46,8	351,2
29/10/2024 11:50	287,4	0	287,4	302,6	0	43,1	345,6
29/10/2024 11:55	279	0	279	299,2	0	39	338,2
29/10/2024 12:00	269,1	0	269,1	294,1	0	34,8	329
29/10/2024 12:05	257,8	0	257,8	287,4	0	30,5	317,9
29/10/2024 12:10	245,4	0	245,4	279	0	26,3	305,3
29/10/2024 12:15	232	0	232	269,1	0	22,4	291,5
29/10/2024 12:20	218	0	218	257,8	0	18,8	276,7
29/10/2024 12:25	203,6	0	203,6	245,4	0	15,6	261
29/10/2024 12:30	189,1	0	189,1	232	0	12,8	244,9
29/10/2024 12:35	174,7	0	174,7	218	0	10,5	228,4
29/10/2024 12:40	160,7	0	160,7	203,6	0	8,5	212
29/10/2024 12:45	147,1	0	147,1	189,1	0	6,8	195,8
29/10/2024 12:50	134,1	0	134,1	174,7	0	5,4	180,1
29/10/2024 12:55	121,7	0	121,7	160,7	0	4,3	165
29/10/2024 13:00	110,1	0	110,1	147,1	0	3,4	150,5
29/10/2024 13:05	99,1	0	99,1	134,1	0	2,7	136,8
29/10/2024 13:10	88,9	0	88,9	121,7	0	2,1	123,8
29/10/2024 13:15	79,5	0	79,5	110,1	0	1,6	111,7
29/10/2024 13:20	70,8	0	70,8	99,1	0	1,3	100,4
29/10/2024 13:25	62,9	0	62,9	88,9	0	1	89,9
29/10/2024 13:30	55,8	0	55,8	79,5	0	0,8	80,2
29/10/2024 13:35	49,4	0	49,4	70,8	0	0,6	71,4
29/10/2024 13:40	43,7	0	43,7	62,9	0	0,5	63,4
29/10/2024 13:45	38,6	0	38,6	55,8	0	0,4	56,1
29/10/2024 13:50	34,2	0	34,2	49,4	0	0,3	49,6
29/10/2024 13:55	30,4	0	30,4	43,7	0	0,2	43,9
29/10/2024 14:00	27,2	0	27,2	38,6	0	0,2	38,8
29/10/2024 14:05	24,5	0	24,5	34,2	0	0,1	34,4
29/10/2024 14:10	22,2	0	22,2	30,4	0	0,1	30,5
29/10/2024 14:15	20,4	0	20,4	27,2	0	0,1	27,3
29/10/2024 14:20	18,9	0	18,9	24,5	0	0,1	24,5
29/10/2024 14:25	17,6	0	17,6	22,2	0	0	22,3
29/10/2024 14:30	16,7	0	16,7	20,4	0	0,1	20,4
29/10/2024 14:35	16,2	0	16,2	18,9	0	0,1	18,9
29/10/2024 14:40	16	0	16	17,6	0	0,1	17,7
29/10/2024 14:45	16,2	0	16,2	16,7	0	0,1	16,9
29/10/2024 14:50	16,8	0	16,8	16,2	0	0,2	16,4
29/10/2024 14:55	17,5	0	17,5	16	0	0,3	16,3
29/10/2024 15:00	18,4	0	18,4	16,2	0	0,4	16,6
29/10/2024 15:05	19,3	0	19,3	16,8	0	0,4	17,2
29/10/2024 15:10	20,2	0	20,2	17,5	0	0,5	18
29/10/2024 15:15	21	0	21	18,4	0	0,6	19
29/10/2024 15:20	21,8	0	21,8	19,3	0	0,7	20,1
29/10/2024 15:25	22,7	0	22,7	20,2	0	1,1	21,2

Tiempo	Caudal (m³/s)						
	TP-PO8	Poyo-IC8	N7	TP-PO9	Poyo-IC9	Subsistema Gallego	N8
29/10/2024 15:30	23,9	0	23,9	21	0	1,7	22,6
29/10/2024 15:35	25,8	0	25,8	21,8	0	2,7	24,5
29/10/2024 15:40	28,7	0	28,7	22,7	0	4,3	26,9
29/10/2024 15:45	32,9	0	32,9	23,9	0	6,4	30,3
29/10/2024 15:50	38,9	0	38,9	25,8	0	9,2	35
29/10/2024 15:55	46,7	0	46,7	28,7	0	12,8	41,5
29/10/2024 16:00	56,5	0	56,5	32,9	0	17,4	50,4
29/10/2024 16:05	68,2	0	68,2	38,9	0	23,1	62
29/10/2024 16:10	81,7	0	81,7	46,7	0	30	76,7
29/10/2024 16:15	97,5	0	97,5	56,5	0	38,5	95
29/10/2024 16:20	116,1	0	116,1	68,2	0	49	117,2
29/10/2024 16:25	137,6	0	137,6	81,7	0	61,6	143,3
29/10/2024 16:30	162,1	0	162,1	97,5	0,1	76,9	174,4
29/10/2024 16:35	190,1	0	190,1	116,1	0,2	95,4	211,6
29/10/2024 16:40	222,4	0	222,4	137,6	0,4	117,6	255,6
29/10/2024 16:45	258,5	0	258,6	162,1	0,8	143,2	306,1
29/10/2024 16:50	297,3	0,1	297,5	190,1	1,4	171,7	363,2
29/10/2024 16:55	338	0,3	338,3	222,4	2,3	202,9	427,7
29/10/2024 17:00	380,3	0,8	381,1	258,6	3,6	236,6	498,8
29/10/2024 17:05	424,3	1,4	425,7	297,5	5,3	272,2	574,9
29/10/2024 17:10	469,8	2,4	472,3	338,3	7,2	308,9	654,4
29/10/2024 17:15	517,3	3,7	520,9	381,1	9,6	346,7	737,3
29/10/2024 17:20	566,9	5,2	572,1	425,7	12,1	386,1	823,9
29/10/2024 17:25	618,8	6,7	625,6	472,3	14,6	427,7	914,5
29/10/2024 17:30	672,8	8,3	681	520,9	17	471,4	1009,3
29/10/2024 17:35	728,4	9,7	738,1	572,1	19,2	517,5	1108,8
29/10/2024 17:40	785,3	10,9	796,2	625,6	21,1	566,7	1213,4
29/10/2024 17:45	842,6	12,2	854,9	681	22,9	618,8	1322,7
29/10/2024 17:50	899,3	14,1	913,4	738,1	25	673,3	1436,3
29/10/2024 17:55	954,1	17,4	971,5	796,2	28,3	729,5	1553,9
29/10/2024 18:00	1006,9	22,8	1029,7	854,9	33,5	786,3	1674,7
29/10/2024 18:05	1059,6	30,4	1090,1	913,4	41,2	842,8	1797,4
29/10/2024 18:10	1115	39,7	1154,8	971,5	51,1	897,7	1920,3
29/10/2024 18:15	1175,8	49,4	1225,3	1029,7	62,1	949,4	2041,2
29/10/2024 18:20	1245,4	58,1	1303,5	1090,1	73	997,2	2160,3
29/10/2024 18:25	1328,9	64,7	1393,7	1154,8	82,5	1042,7	2279,9
29/10/2024 18:30	1431,8	68,9	1500,7	1225,3	89,7	1087,9	2402,9
29/10/2024 18:35	1555	70,5	1625,5	1303,5	94,2	1134,6	2532,2
29/10/2024 18:40	1694	70	1764	1393,7	96	1183,3	2672,9
29/10/2024 18:45	1840,8	67,9	1908,8	1500,7	95,6	1234,8	2831,1
29/10/2024 18:50	1986,4	65	2051,4	1625,5	93,5	1289,3	3008,2
29/10/2024 18:55	2122,9	61,3	2184,2	1764	89,9	1344,9	3198,7
29/10/2024 19:00	2245,4	56,8	2302,2	1908,8	85,1	1397,3	3391,1
29/10/2024 19:05	2351,5	51,6	2403,1	2051,4	79,2	1441,1	3571,6
29/10/2024 19:10	2441,5	45,9	2487,4	2184,2	72,3	1471,3	3727,8
29/10/2024 19:15	2517,5	39,8	2557,3	2302,2	64,9	1485,3	3852,4
29/10/2024 19:20	2581,5	33,8	2615,3	2403,1	57,1	1483,8	3944
29/10/2024 19:25	2634,8	28,1	2662,9	2487,4	49,4	1470	4006,8
29/10/2024 19:30	2677,6	22,9	2700,5	2557,3	42,1	1448,5	4047,9
29/10/2024 19:35	2710,3	18,3	2728,7	2615,3	35,2	1424,4	4074,8
29/10/2024 19:40	2733,8	14,4	2748,2	2662,9	29,1	1400,8	4092,7
29/10/2024 19:45	2749	11,1	2760,1	2700,5	23,6	1379,3	4103,4
29/10/2024 19:50	2757,2	8,5	2765,7	2728,7	19	1359,6	4107,2
29/10/2024 19:55	2759,7	6,4	2766	2748,2	15	1340,5	4103,7
29/10/2024 20:00	2757,9	4,7	2762,6	2760,1	11,7	1320,8	4092,6
29/10/2024 20:05	2754,1	3,4	2757,5	2765,7	9,1	1299,7	4074,4
29/10/2024 20:10	2751,2	2,5	2753,7	2766	6,9	1276,7	4049,7
29/10/2024 20:15	2752	1,7	2753,8	2762,6	5,3	1251,5	4019,4
29/10/2024 20:20	2759,6	1,2	2760,8	2757,5	3,9	1223,9	3985,4
29/10/2024 20:25	2776,7	0,8	2777,5	2753,7	2,9	1194	3950,6
29/10/2024 20:30	2805,7	0,6	2806,3	2753,8	2,2	1162	3918
29/10/2024 20:35	2846,7	0,4	2847	2760,8	1,6	1128,4	3890,7
29/10/2024 20:40	2897,8	0,3	2898	2777,5	1,1	1093,5	3872,2
29/10/2024 20:45	2955,7	0,2	2955,9	2806,3	0,8	1058	3865
29/10/2024 20:50	3017,2	0,1	3017,4	2847	0,6	1022,2	3869,8
29/10/2024 20:55	3080,4	0,1	3080,5	2898	0,4	986,1	3884,5
29/10/2024 21:00	3143,7	0	3143,8	2955,9	0,3	949	3905,1
29/10/2024 21:05	3204	0	3204	3017,4	0,2	909,5	3927
29/10/2024 21:10	3255,9	0	3255,9	3080,5	0,1	866,6	3947,2
29/10/2024 21:15	3293,7	0	3293,7	3143,8	0,1	820,3	3964,1
29/10/2024 21:20	3312,1	0	3312,1	3204	0,1	771,3	3975,4
29/10/2024 21:25	3307,7	0	3307,7	3255,9	0	720,2	3976,1
29/10/2024 21:30	3278,8	0	3278,8	3293,7	0	666,4	3960,1
29/10/2024 21:35	3225,7	0	3225,7	3312,1	0	609,5	3921,7
29/10/2024 21:40	3150,1	0	3150,1	3307,7	0	549,7	3857,4
29/10/2024 21:45	3054,7	0	3054,7	3278,8	0	487,8	3766,6
29/10/2024 21:50	2942,1	0	2942,1	3225,7	0	425,5	3651,2
29/10/2024 21:55	2814,9	0	2814,9	3150,1	0	364,9	3515
29/10/2024 22:00	2675,7	0	2675,7	3054,7	0	307,8	3362,5
29/10/2024 22:05	2527	0	2527	2942,1	0	255,8	3197,9
29/10/2024 22:10	2371,9	0	2371,9	2814,9	0	209,9	3024,7
29/10/2024 22:15	2213,1	0	2213,1	2675,7	0	170,3	2846
29/10/2024 22:20	2054,1	0	2054,1	2527	0	137,2	2664,3
29/10/2024 22:25	1898,3	0	1898,3	2371,9	0	110,2	2482,1
29/10/2024 22:30	1749,4	0	1749,4	2213,1	0	88,8	2302
29/10/2024 22:35	1611,4	0	1611,5	2054,1	0	72,5	2126,8
29/10/2024 22:40	1488,3	0,1	1488,4	1898,3	0,1	61	1959,3
29/10/2024 22:45	1382,9	0,1	1383,1	1749,4	0,1	53,5	1803
29/10/2024 22:50	1297,2	0,2	1297,4	1611,5	0,2	49,9	1661,5
29/10/2024 22:55	1232,2	0,2	1232,4	1488,4	0,2	50,4	1539
29/10/2024 23:00	1188	0,2	1188,2	1383,1	0,2	55,5	1438,8
29/10/2024 23:05	1164,1	0,2	1164,3	1297,4	0,3	65,3	1363
29/10/2024 23:10	1159,3	0,2	1159,5	1232,4	0,2	79,8	1312,4

Tiempo	Caudal (m³/s)						
	TP-PO8	Poyo-IC8	N7	TP-PO9	Poyo-IC9	Subsistema Gallego	N8
29/10/2024 23:15	1171,3	0,2	1171,5	1188,2	0,2	98,5	1286,9
29/10/2024 23:20	1196,2	0,1	1196,4	1164,3	0,2	120,9	1285,4
29/10/2024 23:25	1228,8	0,1	1228,9	1159,5	0,2	146,1	1305,8
29/10/2024 23:30	1263,4	0,1	1263,5	1171,5	0,2	172,8	1344,5
29/10/2024 23:35	1295,3	0,1	1295,3	1196,4	0,1	199,3	1395,8
29/10/2024 23:40	1321	0,1	1321	1228,9	0,1	223,2	1452,3
29/10/2024 23:45	1338,2	0,1	1338,3	1263,5	0,1	242,4	1506
29/10/2024 23:50	1345,5	0,4	1345,9	1295,3	0,3	254,7	1550,4
29/10/2024 23:55	1342,5	1	1343,5	1321	0,8	259,5	1581,3
30/10/2024 0:00	1329,4	2,2	1331,6	1338,3	1,8	257,2	1597,3
30/10/2024 0:05	1306,8	4	1310,7	1345,9	3,4	248,7	1597,9
30/10/2024 0:10	1275,5	5,9	1281,3	1343,5	5,3	235,2	1584,1
30/10/2024 0:15	1236,5	7,4	1243,9	1331,6	7,1	218,6	1557,4
30/10/2024 0:20	1190,6	8,4	1199	1310,7	8,6	200,3	1519,6
30/10/2024 0:25	1138,6	8,7	1147,3	1281,3	9,6	181,7	1472,5
30/10/2024 0:30	1081,3	8,3	1089,6	1243,9	9,9	163,9	1417,7
30/10/2024 0:35	1019,5	7,6	1027,1	1199	9,8	147,7	1356,5
30/10/2024 0:40	954,4	6,6	961	1147,3	9,1	133,3	1289,7
30/10/2024 0:45	886,8	5,5	892,3	1089,6	8,3	120,3	1218,2
30/10/2024 0:50	818	4,5	822,4	1027,1	7,2	108,5	1142,9
30/10/2024 0:55	748,9	3,5	752,4	961	6,1	97,7	1064,8
30/10/2024 1:00	680,7	2,7	683,4	892,3	5,1	87,6	985,1
30/10/2024 1:05	614,3	2	616,3	822,4	4,1	78,3	904,9
30/10/2024 1:10	550,6	1,5	552,1	752,4	3,3	69,6	825,4
30/10/2024 1:15	490,2	1,1	491,3	683,4	2,6	61,6	747,6
30/10/2024 1:20	433,7	0,8	434,5	616,3	2	54,1	672,4
30/10/2024 1:25	381,5	0,6	382,1	552,1	1,5	47	600,7
30/10/2024 1:30	333,8	0,4	334,2	491,3	1,2	40,6	533,1
30/10/2024 1:35	290,5	0,3	290,8	434,5	0,9	34,8	470,2
30/10/2024 1:40	251,5	0,2	251,7	382,1	0,6	29,5	412,3
30/10/2024 1:45	216,8	0,1	216,9	334,2	0,5	24,9	359,6
30/10/2024 1:50	186	0,1	186,1	290,8	0,3	20,8	312
30/10/2024 1:55	159	0,1	159,1	251,7	0,2	17,3	269,3
30/10/2024 2:00	135,4	0	135,4	216,9	0,2	14,3	231,4
30/10/2024 2:05	114,9	0	114,9	186,1	0,1	11,7	198
30/10/2024 2:10	97,1	0	97,1	159,1	0,1	9,6	168,7
30/10/2024 2:15	81,7	0	81,7	135,4	0,1	7,8	143,3
30/10/2024 2:20	68,6	0	68,6	114,9	0	6,3	121,2
30/10/2024 2:25	57,3	0	57,3	97,1	0	5,1	102,2
30/10/2024 2:30	47,8	0	47,8	81,7	0	4,1	85,8
30/10/2024 2:35	39,7	0	39,7	68,6	0	3,3	71,8
30/10/2024 2:40	32,9	0	32,9	57,3	0	2,6	59,9
30/10/2024 2:45	27,2	0	27,2	47,8	0	2	49,8
30/10/2024 2:50	22,4	0	22,4	39,7	0	1,6	41,3
30/10/2024 2:55	18,4	0	18,4	32,9	0	1,3	34,2
30/10/2024 3:00	15,1	0	15,1	27,2	0	1	28,2
30/10/2024 3:05	12,3	0	12,3	22,4	0	0,8	23,1
30/10/2024 3:10	10,1	0	10,1	18,4	0	0,6	19
30/10/2024 3:15	8,2	0	8,2	15,1	0	0,5	15,5
30/10/2024 3:20	6,6	0	6,6	12,3	0	0,4	12,7
30/10/2024 3:25	5,3	0	5,3	10,1	0	0,3	10,3
30/10/2024 3:30	4,3	0	4,3	8,2	0	0,2	8,4
30/10/2024 3:35	3,4	0	3,4	6,6	0	0,2	6,8
30/10/2024 3:40	2,7	0	2,7	5,3	0	0,1	5,4
30/10/2024 3:45	2,1	0	2,1	4,3	0	0,1	4,4
30/10/2024 3:50	1,6	0	1,6	3,4	0	0,1	3,5
30/10/2024 3:55	1,2	0	1,2	2,7	0	0	2,7
30/10/2024 4:00	0,8	0	0,8	2,1	0	0	2,1
30/10/2024 4:05	0,6	0	0,6	1,6	0	0	1,6
30/10/2024 4:10	0,4	0	0,4	1,2	0	0	1,2
30/10/2024 4:15	0,3	0	0,3	0,8	0	0	0,8
30/10/2024 4:20	0,2	0	0,2	0,6	0	0	0,6
30/10/2024 4:25	0,2	0	0,2	0,4	0	0	0,4
30/10/2024 4:30	0,1	0	0,1	0,3	0	0	0,3
30/10/2024 4:35	0,1	0	0,1	0,2	0	0	0,2
30/10/2024 4:40	0,1	0	0,1	0,2	0	0	0,2
30/10/2024 4:45	0,1	0	0,1	0,1	0	0	0,1
30/10/2024 4:50	0	0	0	0,1	0	0	0,1
30/10/2024 4:55	0	0	0	0,1	0	0	0,1
30/10/2024 5:00	0	0	0	0,1	0	0	0,1
30/10/2024 5:05	0	0	0	0	0	0	0
30/10/2024 5:10	0	0	0	0	0	0	0
30/10/2024 5:15	0	0	0	0	0	0	0
30/10/2024 5:20	0	0	0	0	0	0	0
30/10/2024 5:25	0	0	0	0	0	0	0
30/10/2024 5:30	0	0	0	0	0	0	0
30/10/2024 5:35	0	0	0	0	0	0	0
30/10/2024 5:40	0	0	0	0	0	0	0
30/10/2024 5:45	0	0	0	0	0	0	0
30/10/2024 5:50	0	0	0	0	0	0	0
30/10/2024 5:55	0	0	0	0	0	0	0
30/10/2024 6:00	0	0	0	0	0	0	0

Sistema Poyo – Subsistema Poyo [4]

Tiempo	Caudal (m³/s)					
	TP-PO10	Poyo-IC10	N13	TP-PO10	Poyo-IC10	Sistema Poyo
29/10/2024 8:00	0	0	0	0	0	0
29/10/2024 8:05	0	0	0	0	0	0
29/10/2024 8:10	0	0	0	0	0	0
29/10/2024 8:15	0	0	0	0	0	0
29/10/2024 8:20	0	0	0	0	0	0
29/10/2024 8:25	0	0	0	0	0	0
29/10/2024 8:30	0	0	0	0	0	0
29/10/2024 8:35	0	0	0	0	0	0
29/10/2024 8:40	0	0	0	0	0	0
29/10/2024 8:45	0,1	0	0,1	0	0	0
29/10/2024 8:50	0,2	0	0,2	0	0	0
29/10/2024 8:55	0,5	0	0,5	0	0	0
29/10/2024 9:00	0,9	0	0,9	0,1	0	0,1
29/10/2024 9:05	1,8	0	1,8	0,2	0	0,2
29/10/2024 9:10	3,1	0	3,1	0,5	0	0,5
29/10/2024 9:15	5,3	0	5,3	1,1	0	1,1
29/10/2024 9:20	8,7	0	8,7	2	0	2
29/10/2024 9:25	14,1	0	14,1	3,6	0	3,6
29/10/2024 9:30	22,4	0	22,4	6	0	6
29/10/2024 9:35	34,4	0	34,4	9,8	0	9,8
29/10/2024 9:40	51,1	0	51,1	15,7	0	15,7
29/10/2024 9:45	73,1	0	73,1	24,8	0	24,8
29/10/2024 9:50	100	0	100	37,8	0	37,8
29/10/2024 9:55	130	0	130	55,5	0	55,5
29/10/2024 10:00	160,8	0	160,8	78,5	0	78,5
29/10/2024 10:05	190,2	0	190,2	106	0	106
29/10/2024 10:10	217	0	217	136,2	0	136,2
29/10/2024 10:15	240,6	0	240,6	166,7	0	166,7
29/10/2024 10:20	261,1	0	261,1	195,6	0	195,6
29/10/2024 10:25	278,7	0	278,7	221,7	0	221,7
29/10/2024 10:30	293,8	0	293,8	244,7	0	244,7
29/10/2024 10:35	306,6	0	306,6	264,6	0	264,6
29/10/2024 10:40	317,6	0	317,6	281,7	0	281,7
29/10/2024 10:45	327	0	327	296,4	0	296,4
29/10/2024 10:50	335,3	0	335,3	308,8	0	308,8
29/10/2024 10:55	342,7	0	342,7	319,5	0	319,5
29/10/2024 11:00	349,2	0	349,2	328,7	0	328,7
29/10/2024 11:05	354,7	0	354,7	336,8	0	336,8
29/10/2024 11:10	358,7	0	358,7	344	0	344
29/10/2024 11:15	361,2	0	361,2	350,3	0	350,3
29/10/2024 11:20	362,3	0	362,3	355,5	0	355,5
29/10/2024 11:25	362,4	0	362,4	359,2	0	359,2
29/10/2024 11:30	361,9	0	361,9	361,4	0	361,4
29/10/2024 11:35	360,9	0	360,9	362,4	0	362,4
29/10/2024 11:40	359,5	0	359,5	362,3	0	362,3
29/10/2024 11:45	357,4	0	357,4	361,7	0	361,7
29/10/2024 11:50	354,4	0	354,4	360,6	0	360,6
29/10/2024 11:55	350,1	0	350,1	359,1	0	359,1
29/10/2024 12:00	344,2	0	344,2	356,8	0	356,8
29/10/2024 12:05	336,4	0	336,4	353,6	0	353,6
29/10/2024 12:10	326,7	0	326,7	348,9	0	348,9
29/10/2024 12:15	315,4	0	315,4	342,6	0	342,6
29/10/2024 12:20	302,6	0	302,6	334,5	0	334,5
29/10/2024 12:25	288,5	0	288,5	324,5	0	324,5
29/10/2024 12:30	273,5	0	273,5	312,8	0	312,8
29/10/2024 12:35	257,8	0	257,8	299,8	0	299,8
29/10/2024 12:40	241,6	0	241,6	285,5	0	285,5
29/10/2024 12:45	225,2	0	225,2	270,4	0	270,4
29/10/2024 12:50	208,8	0	208,8	254,6	0	254,6
29/10/2024 12:55	192,7	0	192,7	238,3	0	238,3
29/10/2024 13:00	177,1	0	177,1	221,9	0	221,9
29/10/2024 13:05	162,1	0	162,1	205,6	0	205,6
29/10/2024 13:10	147,8	0	147,8	189,6	0	189,6
29/10/2024 13:15	134,2	0	134,2	174,1	0	174,1
29/10/2024 13:20	121,4	0	121,4	159,2	0	159,2
29/10/2024 13:25	109,4	0	109,4	145	0	145
29/10/2024 13:30	98,3	0	98,3	131,6	0	131,6
29/10/2024 13:35	87,9	0	87,9	119	0	119
29/10/2024 13:40	78,5	0	78,5	107,2	0	107,2
29/10/2024 13:45	69,8	0	69,8	96,2	0	96,2
29/10/2024 13:50	61,9	0	61,9	86,1	0	86,1
29/10/2024 13:55	54,8	0	54,8	76,7	0	76,7
29/10/2024 14:00	48,5	0	48,5	68,2	0	68,2
29/10/2024 14:05	42,9	0	42,9	60,5	0	60,5
29/10/2024 14:10	37,9	0	37,9	53,6	0	53,6
29/10/2024 14:15	33,6	0	33,6	47,4	0	47,4
29/10/2024 14:20	29,9	0	29,9	41,9	0	41,9
29/10/2024 14:25	26,7	0	26,7	37	0	37
29/10/2024 14:30	24,1	0	24,1	32,9	0	32,9
29/10/2024 14:35	21,9	0	21,9	29,2	0	29,2
29/10/2024 14:40	20,1	0	20,1	26,2	0	26,2
29/10/2024 14:45	18,7	0	18,7	23,6	0	23,6
29/10/2024 14:50	17,6	0	17,6	21,5	0	21,5
29/10/2024 14:55	16,8	0	16,8	19,8	0	19,8
29/10/2024 15:00	16,3	0	16,3	18,5	0	18,5
29/10/2024 15:05	16,3	0	16,3	17,4	0	17,4
29/10/2024 15:10	16,7	0	16,7	16,7	0	16,7
29/10/2024 15:15	17,3	0	17,3	16,3	0	16,3
29/10/2024 15:20	18,2	0	18,2	16,4	0	16,4
29/10/2024 15:25	19,2	0	19,2	16,8	0	16,8

Tiempo	Caudal (m^3/s)					
	TP-PO10	Poyo-IC10	N13	TP-PO10	Poyo-IC10	Sistema Poyo
29/10/2024 15:30	20,3	0	20,3	17,5	0	17,5
29/10/2024 15:35	21,5	0	21,5	18,4	0	18,4
29/10/2024 15:40	23	0	23	19,4	0	19,4
29/10/2024 15:45	25	0	25	20,5	0	20,5
29/10/2024 15:50	27,6	0	27,6	21,8	0	21,8
29/10/2024 15:55	31,3	0	31,3	23,4	0	23,4
29/10/2024 16:00	36,3	0	36,3	25,5	0	25,5
29/10/2024 16:05	43,3	0	43,3	28,3	0	28,3
29/10/2024 16:10	52,7	0	52,7	32,3	0	32,3
29/10/2024 16:15	64,9	0	64,9	37,7	0	37,7
29/10/2024 16:20	80,4	0	80,4	45,2	0	45,2
29/10/2024 16:25	99,5	0	99,5	55,1	0	55,1
29/10/2024 16:30	122,4	0	122,4	68	0	68
29/10/2024 16:35	149,6	0	149,6	84,2	0	84,2
29/10/2024 16:40	181,9	0	181,9	104,1	0	104,1
29/10/2024 16:45	220,4	0	220,4	127,8	0	127,8
29/10/2024 16:50	265,7	0	265,7	156	0	156
29/10/2024 16:55	317,5	0	317,5	189,6	0	189,6
29/10/2024 17:00	376,1	0	376,1	229,5	0	229,5
29/10/2024 17:05	441,9	0	441,9	276,1	0	276,1
29/10/2024 17:10	514,1	0	514,1	329,2	0	329,2
29/10/2024 17:15	590,8	0,1	590,9	389,3	0	389,3
29/10/2024 17:20	671	0,2	671,2	456,3	0	456,3
29/10/2024 17:25	754,6	0,4	755	529,4	0	529,4
29/10/2024 17:30	842	0,6	842,6	607	0	607
29/10/2024 17:35	933,5	0,9	934,4	688	0	688
29/10/2024 17:40	1029,2	1,3	1030,5	772,5	0	772,5
29/10/2024 17:45	1129,8	1,8	1131,5	861	0	861
29/10/2024 17:50	1235,3	2,6	1237,8	953,6	0	953,6
29/10/2024 17:55	1345,4	3,9	1349,3	1050,7	0	1050,7
29/10/2024 18:00	1459,8	6,1	1465,9	1152,8	0	1152,8
29/10/2024 18:05	1578,1	9,3	1587,4	1260,1	0	1260,1
29/10/2024 18:10	1699,2	13,4	1712,6	1372,6	0	1372,6
29/10/2024 18:15	1822	17,9	1839,9	1490,2	0	1490,2
29/10/2024 18:20	1944,4	22,1	1966,6	1612,4	0,1	1612,5
29/10/2024 18:25	2065	25,7	2090,7	1738,1	0,1	1738,2
29/10/2024 18:30	2184,2	28,3	2212,5	1865,2	0,2	1865,4
29/10/2024 18:35	2304,5	29,8	2334,3	1991,4	0,2	1991,6
29/10/2024 18:40	2428,8	30,4	2459,1	2115,1	0,3	2115,4
29/10/2024 18:45	2560,3	30,2	2590,6	2236,9	0,4	2237,3
29/10/2024 18:50	2704,6	29,5	2734,1	2359,3	0,4	2359,7
29/10/2024 18:55	2866,5	28,4	2895	2485,4	0,5	2485,9
29/10/2024 19:00	3046,3	26,9	3073,2	2619,3	0,6	2619,9
29/10/2024 19:05	3237,2	24,8	3262	2766,3	0,6	2766,9
29/10/2024 19:10	3427,2	22,4	3449,6	2930,6	0,6	2931,2
29/10/2024 19:15	3602,8	19,7	3622,5	3111	0,6	3111,6
29/10/2024 19:20	3752,7	16,9	3769,6	3299,5	0,5	3300
29/10/2024 19:25	3870,7	14,2	3884,9	3484,2	0,5	3484,7
29/10/2024 19:30	3956,6	11,7	3968,3	3651,9	0,4	3652,3
29/10/2024 19:35	4015	9,4	4024,5	3792,7	0,4	3793,1
29/10/2024 19:40	4053,3	7,5	4060,8	3901,6	0,3	3901,9
29/10/2024 19:45	4078,4	5,8	4084,2	3979,5	0,3	3979,8
29/10/2024 19:50	4094,8	4,5	4099,3	4031,7	0,2	4031,9
29/10/2024 19:55	4104,2	3,4	4107,5	4065,5	0,2	4065,7
29/10/2024 20:00	4106,5	2,5	4109	4087,3	0,1	4087,4
29/10/2024 20:05	4101,5	1,9	4103,3	4100,9	0,1	4101
29/10/2024 20:10	4089	1,4	4090,4	4107,8	0,1	4107,9
29/10/2024 20:15	4069,5	1	4070,5	4107,9	0,1	4108
29/10/2024 20:20	4043,6	0,7	4044,3	4100,7	0,1	4100,8
29/10/2024 20:25	4012,6	0,5	4013,1	4086,4	0	4086,4
29/10/2024 20:30	3978,4	0,3	3978,8	4065,2	0	4065,2
29/10/2024 20:35	3944,1	0,2	3944,3	4038,1	0	4038,1
29/10/2024 20:40	3912,5	0,2	3912,7	4006,2	0	4006,2
29/10/2024 20:45	3887	0,1	3887,2	3971,9	0	3971,9
29/10/2024 20:50	3870,8	0,1	3870,9	3938	0	3938
29/10/2024 20:55	3866	0,1	3866	3907,6	0	3907,6
29/10/2024 21:00	3872,7	0	3872,8	3883,9	0	3883,9
29/10/2024 21:05	3888,6	0	3888,7	3869,9	0	3869,9
29/10/2024 21:10	3909,5	0	3909,5	3867,4	0	3867,4
29/10/2024 21:15	3931	0	3931,1	3875,9	0	3875,9
29/10/2024 21:20	3950,5	0	3950,5	3892,8	0	3892,8
29/10/2024 21:25	3966,4	0	3966,4	3913,8	0	3913,8
29/10/2024 21:30	3975,5	0	3975,5	3935	0	3935
29/10/2024 21:35	3972,9	0	3972,9	3953,7	0	3953,7
29/10/2024 21:40	3952,4	0	3952,4	3968,2	0	3968,2
29/10/2024 21:45	3908,8	0	3908,8	3975	0	3975
29/10/2024 21:50	3839,2	0	3839,2	3968,8	0	3968,8
29/10/2024 21:55	3743,5	0	3743,5	3943,7	0	3943,7
29/10/2024 22:00	3624	0	3624	3894,9	0	3894,9
29/10/2024 22:05	3484,5	0	3484,5	3820,1	0	3820,1
29/10/2024 22:10	3329,6	0	3329,6	3719,6	0	3719,6
29/10/2024 22:15	3163,2	0	3163,2	3596,1	0	3596,1
29/10/2024 22:20	2989	0	2989	3453,5	0	3453,5
29/10/2024 22:25	2809,6	0	2809,6	3296,3	0	3296,3
29/10/2024 22:30	2627,8	0	2627,8	3128,4	0	3128,4
29/10/2024 22:35	2446,1	0	2446,1	2953,1	0	2953,1
29/10/2024 22:40	2266,9	0	2267	2773,3	0	2773,3
29/10/2024 22:45	2093,3	0,1	2093,3	2591,5	0	2591,5
29/10/2024 22:50	1928,1	0,1	1928,2	2410,3	0	2410,3
29/10/2024 22:55	1774,7	0,1	1774,8	2232,3	0	2232,3
29/10/2024 23:00	1637	0,1	1637,1	2060,3	0	2060,3
29/10/2024 23:05	1519	0,1	1519,1	1897,5	0	1897,5
29/10/2024 23:10	1423,6	0,1	1423,7	1747,3	0	1747,3

Tiempo	Caudal (m³/s)					
	TP-PO10	Poyo-IC10	N13	TP-PO10	Poyo-IC10	Sistema Poyo
29/10/2024 23:15	1352,9	0,1	1353	1613,5	0	1613,5
29/10/2024 23:20	1307,3	0,1	1307,4	1500	0	1500
29/10/2024 23:25	1286,6	0,1	1286,7	1409,6	0	1409,6
29/10/2024 23:30	1289,5	0,1	1289,6	1343,9	0	1343,9
29/10/2024 23:35	1313,6	0	1313,6	1303,3	0	1303,3
29/10/2024 23:40	1354,8	0,1	1354,8	1287,3	0	1287,3
29/10/2024 23:45	1407,1	0,1	1407,2	1294,4	0	1294,4
29/10/2024 23:50	1463	0,3	1463,3	1321,9	0	1321,9
29/10/2024 23:55	1514,9	0,6	1515,5	1365,3	0,1	1365,4
30/10/2024 0:00	1556,6	1,3	1557,9	1418,4	0,1	1418,5
30/10/2024 0:05	1584,5	2,3	1586,8	1473,7	0,2	1473,9
30/10/2024 0:10	1597,4	3,2	1600,7	1524	0,3	1524,3
30/10/2024 0:15	1595,2	4,1	1599,2	1563,7	0,3	1564
30/10/2024 0:20	1578,7	4,6	1583,3	1589,6	0,3	1589,9
30/10/2024 0:25	1549,8	4,7	1554,6	1600,4	0,4	1600,8
30/10/2024 0:30	1510,2	4,6	1514,8	1596,1	0,3	1596,4
30/10/2024 0:35	1461,6	4,2	1465,7	1577,6	0,3	1577,9
30/10/2024 0:40	1405,5	3,6	1409,1	1546,6	0,3	1546,9
30/10/2024 0:45	1343,1	3,1	1346,2	1505	0,3	1505,3
30/10/2024 0:50	1275,4	2,5	1277,9	1454,4	0,2	1454,6
30/10/2024 0:55	1203,1	2	1205,1	1396,5	0,2	1396,7
30/10/2024 1:00	1127,2	1,5	1128,8	1332,5	0,1	1332,6
30/10/2024 1:05	1048,8	1,2	1050	1263,3	0,1	1263,4
30/10/2024 1:10	969,1	0,9	969,9	1189,8	0,1	1189,9
30/10/2024 1:15	889	0,6	889,6	1113	0,1	1113,1
30/10/2024 1:20	809,8	0,5	810,3	1034	0,1	1034,1
30/10/2024 1:25	732,5	0,3	732,9	953,9	0	953,9
30/10/2024 1:30	658	0,2	658,3	873,8	0	873,8
30/10/2024 1:35	587,1	0,2	587,3	794,8	0	794,8
30/10/2024 1:40	520,5	0,1	520,6	717,9	0	717,9
30/10/2024 1:45	458,6	0,1	458,7	644,1	0	644,1
30/10/2024 1:50	401,7	0,1	401,8	574	0	574
30/10/2024 1:55	350	0	350,1	508,2	0	508,2
30/10/2024 2:00	303,4	0	303,4	447,3	0	447,3
30/10/2024 2:05	261,7	0	261,7	391,4	0	391,4
30/10/2024 2:10	224,7	0	224,7	340,7	0	340,7
30/10/2024 2:15	192,1	0	192,1	295,1	0	295,1
30/10/2024 2:20	163,7	0	163,7	254,3	0	254,3
30/10/2024 2:25	138,9	0	138,9	218,2	0	218,2
30/10/2024 2:30	117,4	0	117,4	186,4	0	186,4
30/10/2024 2:35	98,9	0	98,9	158,7	0	158,7
30/10/2024 2:40	83	0	83	134,6	0	134,6
30/10/2024 2:45	69,4	0	69,4	113,7	0	113,7
30/10/2024 2:50	57,9	0	57,9	95,7	0	95,7
30/10/2024 2:55	48,1	0	48,1	80,3	0	80,3
30/10/2024 3:00	39,9	0	39,9	67,1	0	67,1
30/10/2024 3:05	33	0	33	55,9	0	55,9
30/10/2024 3:10	27,1	0	27,1	46,5	0	46,5
30/10/2024 3:15	22,3	0	22,3	38,5	0	38,5
30/10/2024 3:20	18,3	0	18,3	31,8	0	31,8
30/10/2024 3:25	14,9	0	14,9	26,2	0	26,2
30/10/2024 3:30	12,2	0	12,2	21,5	0	21,5
30/10/2024 3:35	9,9	0	9,9	17,6	0	17,6
30/10/2024 3:40	8,1	0	8,1	14,4	0	14,4
30/10/2024 3:45	6,5	0	6,5	11,7	0	11,7
30/10/2024 3:50	5,2	0	5,2	9,6	0	9,6
30/10/2024 3:55	4,2	0	4,2	7,8	0	7,8
30/10/2024 4:00	3,3	0	3,3	6,2	0	6,2
30/10/2024 4:05	2,6	0	2,6	5	0	5
30/10/2024 4:10	2	0	2	4	0	4
30/10/2024 4:15	1,5	0	1,5	3,2	0	3,2
30/10/2024 4:20	1,1	0	1,1	2,5	0	2,5
30/10/2024 4:25	0,8	0	0,8	1,9	0	1,9
30/10/2024 4:30	0,6	0	0,6	1,4	0	1,4
30/10/2024 4:35	0,4	0	0,4	1	0	1
30/10/2024 4:40	0,3	0	0,3	0,7	0	0,7
30/10/2024 4:45	0,2	0	0,2	0,5	0	0,5
30/10/2024 4:50	0,2	0	0,2	0,4	0	0,4
30/10/2024 4:55	0,1	0	0,1	0,3	0	0,3
30/10/2024 5:00	0,1	0	0,1	0,2	0	0,2
30/10/2024 5:05	0,1	0	0,1	0,2	0	0,2
30/10/2024 5:10	0,1	0	0,1	0,1	0	0,1
30/10/2024 5:15	0	0	0	0,1	0	0,1
30/10/2024 5:20	0	0	0	0,1	0	0,1
30/10/2024 5:25	0	0	0	0,1	0	0,1
30/10/2024 5:30	0	0	0	0	0	0
30/10/2024 5:35	0	0	0	0	0	0
30/10/2024 5:40	0	0	0	0	0	0
30/10/2024 5:45	0	0	0	0	0	0
30/10/2024 5:50	0	0	0	0	0	0
30/10/2024 5:55	0	0	0	0	0	0
30/10/2024 6:00	0	0	0	0	0	0

Sistema Poyo – Subsistema Gayo

Tiempo	Caudal (m³/s)				
	Gayo-SC1	N3	TP-GY2	Gayo-IC2	Subsistema Gayo
29/10/2024 8:00	0	0	0	0	0
29/10/2024 8:05	0	0	0	0	0
29/10/2024 8:10	0	0	0	0	0
29/10/2024 8:15	0	0	0	0	0
29/10/2024 8:20	0	0	0	0	0
29/10/2024 8:25	0	0	0	0	0
29/10/2024 8:30	0	0	0	0	0
29/10/2024 8:35	0	0	0	0,1	0,1
29/10/2024 8:40	0	0	0	0,4	0,4
29/10/2024 8:45	0	0	0	1,1	1,1
29/10/2024 8:50	0,1	0,1	0	2,6	2,6
29/10/2024 8:55	0,4	0,4	0	5,1	5,1
29/10/2024 9:00	0,9	0,9	0	8,9	8,9
29/10/2024 9:05	1,6	1,6	0	13,9	13,9
29/10/2024 9:10	2,6	2,6	0	19,9	19,9
29/10/2024 9:15	3,8	3,8	0	26,8	26,8
29/10/2024 9:20	5,3	5,3	0,1	34,1	34,2
29/10/2024 9:25	6,9	6,9	0,2	41,7	41,9
29/10/2024 9:30	8,7	8,7	0,6	49,4	50
29/10/2024 9:35	10,5	10,5	1,1	56,9	58
29/10/2024 9:40	12,2	12,2	2	63,9	65,9
29/10/2024 9:45	13,9	13,9	3,1	70,5	73,6
29/10/2024 9:50	15,5	15,5	4,4	76,4	80,8
29/10/2024 9:55	17,1	17,1	6	81,7	87,7
29/10/2024 10:00	18,6	18,6	7,6	86,3	93,9
29/10/2024 10:05	20,1	20,1	9,4	90,1	99,5
29/10/2024 10:10	21,6	21,6	11,2	93,3	104,5
29/10/2024 10:15	23	23	12,9	95,6	108,5
29/10/2024 10:20	24,3	24,3	14,6	97,2	111,8
29/10/2024 10:25	25,6	25,6	16,2	97,9	114,1
29/10/2024 10:30	26,8	26,8	17,7	98	115,7
29/10/2024 10:35	27,9	27,9	19,2	97,4	116,6
29/10/2024 10:40	28,9	28,9	20,7	96,4	117,1
29/10/2024 10:45	29,7	29,7	22,1	95	117,1
29/10/2024 10:50	30,3	30,3	23,5	93,3	116,8
29/10/2024 10:55	30,6	30,6	24,8	91,4	116,2
29/10/2024 11:00	30,8	30,8	26,1	89,1	115,2
29/10/2024 11:05	30,6	30,6	27,3	86,6	113,9
29/10/2024 11:10	30,2	30,2	28,3	83,8	112,1
29/10/2024 11:15	29,6	29,6	29,2	80,6	109,8
29/10/2024 11:20	28,7	28,7	29,9	77,1	107
29/10/2024 11:25	27,6	27,6	30,4	73,2	103,6
29/10/2024 11:30	26,4	26,4	30,7	69,1	99,8
29/10/2024 11:35	25	25	30,7	64,7	95,4
29/10/2024 11:40	23,5	23,5	30,5	60,2	90,7
29/10/2024 11:45	22	22	30	55,7	85,7
29/10/2024 11:50	20,5	20,5	29,2	51,1	80,3
29/10/2024 11:55	18,9	18,9	28,2	46,6	74,8
29/10/2024 12:00	17,4	17,4	27,1	42,2	69,3
29/10/2024 12:05	15,9	15,9	25,8	38	63,8
29/10/2024 12:10	14,5	14,5	24,4	34	58,4
29/10/2024 12:15	13,1	13,1	22,9	30,2	53,1
29/10/2024 12:20	11,8	11,8	21,4	26,7	48,1
29/10/2024 12:25	10,6	10,6	19,9	23,5	43,4
29/10/2024 12:30	9,5	9,5	18,3	20,6	38,9
29/10/2024 12:35	8,5	8,5	16,8	17,9	34,7
29/10/2024 12:40	7,6	7,6	15,3	15,5	30,8
29/10/2024 12:45	6,8	6,8	13,9	13,4	27,3
29/10/2024 12:50	6,1	6,1	12,6	11,5	24,1
29/10/2024 12:55	5,5	5,5	11,3	9,9	21,2
29/10/2024 13:00	5	5	10,2	8,4	18,6
29/10/2024 13:05	4,6	4,6	9,1	7,1	16,2
29/10/2024 13:10	4,2	4,2	8,2	6	14,2
29/10/2024 13:15	3,9	3,9	7,3	5,1	12,4
29/10/2024 13:20	3,7	3,7	6,5	4,3	10,8
29/10/2024 13:25	3,5	3,5	5,9	3,5	9,4
29/10/2024 13:30	3,3	3,3	5,3	3	8,3
29/10/2024 13:35	3,3	3,3	4,9	2,5	7,4
29/10/2024 13:40	3,3	3,3	4,5	2	6,5
29/10/2024 13:45	3,4	3,4	4,1	1,7	5,8
29/10/2024 13:50	3,5	3,5	3,8	1,4	5,2
29/10/2024 13:55	3,7	3,7	3,6	1,1	4,7
29/10/2024 14:00	3,8	3,8	3,4	0,9	4,3
29/10/2024 14:05	3,9	3,9	3,3	0,8	4,1
29/10/2024 14:10	4	4	3,3	0,7	4
29/10/2024 14:15	4,1	4,1	3,3	0,6	3,9
29/10/2024 14:20	4,1	4,1	3,4	0,6	4
29/10/2024 14:25	4,2	4,2	3,6	0,6	4,2
29/10/2024 14:30	4,2	4,2	3,7	0,6	4,3
29/10/2024 14:35	4,4	4,4	3,9	0,6	4,5
29/10/2024 14:40	4,6	4,6	4	0,7	4,7
29/10/2024 14:45	5,1	5,1	4,1	0,7	4,8
29/10/2024 14:50	5,7	5,7	4,1	0,7	4,8
29/10/2024 14:55	6,6	6,6	4,1	0,7	4,8
29/10/2024 15:00	7,7	7,7	4,2	0,8	5
29/10/2024 15:05	8,9	8,9	4,3	1	5,3
29/10/2024 15:10	10,2	10,2	4,5	1,2	5,7
29/10/2024 15:15	11,6	11,6	4,8	1,7	6,5
29/10/2024 15:20	13	13	5,3	2,3	7,6
29/10/2024 15:25	14,3	14,3	6,1	3,2	9,3

Tiempo	Caudal (m³/s)				
	Gayo-SC1	N3	TP-GY2	Gayo-IC2	Subsistema Gayo
29/10/2024 15:30	15,6	15,6	7,1	4,3	11,4
29/10/2024 15:35	16,7	16,7	8,2	5,5	13,7
29/10/2024 15:40	17,8	17,8	9,4	6,8	16,2
29/10/2024 15:45	18,7	18,7	10,8	8,3	19,1
29/10/2024 15:50	19,5	19,5	12,1	10,1	22,2
29/10/2024 15:55	20,4	20,4	13,5	12,4	25,9
29/10/2024 16:00	21,4	21,4	14,8	15,4	30,2
29/10/2024 16:05	22,7	22,7	16	19,4	35,4
29/10/2024 16:10	24,4	24,4	17,1	24,7	41,8
29/10/2024 16:15	26,5	26,5	18,1	31,5	49,6
29/10/2024 16:20	29,2	29,2	19	39,6	58,6
29/10/2024 16:25	32,3	32,3	19,9	49	68,9
29/10/2024 16:30	35,6	35,6	20,8	59,2	80
29/10/2024 16:35	39,2	39,2	21,9	70,2	92,1
29/10/2024 16:40	42,8	42,8	23,3	81,6	104,9
29/10/2024 16:45	46,4	46,4	25,2	93,2	118,4
29/10/2024 16:50	50	50	27,6	104,9	132,5
29/10/2024 16:55	53,6	53,6	30,4	116,6	147
29/10/2024 17:00	57,1	57,1	33,6	128,2	161,8
29/10/2024 17:05	60,6	60,6	37,1	139,7	176,8
29/10/2024 17:10	64,1	64,1	40,6	151,2	191,8
29/10/2024 17:15	67,8	67,8	44,3	162,8	207,1
29/10/2024 17:20	71,6	71,6	47,9	174,4	222,3
29/10/2024 17:25	75,5	75,5	51,5	186	237,5
29/10/2024 17:30	79,5	79,5	55	197,5	252,5
29/10/2024 17:35	83,5	83,5	58,5	209	267,5
29/10/2024 17:40	87,5	87,5	62	220,4	282,4
29/10/2024 17:45	91,5	91,5	65,6	231,9	297,5
29/10/2024 17:50	95,6	95,6	69,3	243,8	313,1
29/10/2024 17:55	100,4	100,4	73,2	257	330,2
29/10/2024 18:00	106,5	106,5	77,1	273,2	350,3
29/10/2024 18:05	114,6	114,6	81,1	293,9	375
29/10/2024 18:10	125	125	85,1	320,1	405,2
29/10/2024 18:15	137,5	137,5	89,1	351,7	440,8
29/10/2024 18:20	151,3	151,3	93,1	387,7	480,8
29/10/2024 18:25	165,6	165,6	97,5	426,2	523,7
29/10/2024 18:30	179,3	179,3	102,8	465	567,8
29/10/2024 18:35	191,7	191,7	109,7	502,1	611,8
29/10/2024 18:40	202	202	118,8	535,8	654,6
29/10/2024 18:45	210,2	210,2	130	564,9	694,9
29/10/2024 18:50	216,1	216,1	143	589,1	732,1
29/10/2024 18:55	220,1	220,1	157	608,1	765,1
29/10/2024 19:00	222,2	222,2	171,1	622,5	793,6
29/10/2024 19:05	223,1	223,1	184,3	632,7	817
29/10/2024 19:10	222,9	222,9	195,8	639,6	835,4
29/10/2024 19:15	222,2	222,2	205,3	644	849,3
29/10/2024 19:20	221,4	221,4	212,6	646,9	859,5
29/10/2024 19:25	220,7	220,7	217,7	648,8	866,5
29/10/2024 19:30	220,3	220,3	220,9	650,5	871,4
29/10/2024 19:35	220,6	220,6	222,6	652,2	874,8
29/10/2024 19:40	221,7	221,7	223	654,5	877,5
29/10/2024 19:45	223,8	223,8	222,6	657,8	880,4
29/10/2024 19:50	227,2	227,2	221,9	662,8	884,7
29/10/2024 19:55	232,1	232,1	221,1	670,4	891,5
29/10/2024 20:00	239	239	220,5	681,3	901,8
29/10/2024 20:05	247,7	247,7	220,4	696,1	916,5
29/10/2024 20:10	258	258	221	714,8	935,8
29/10/2024 20:15	269,4	269,4	222,5	736,7	959,2
29/10/2024 20:20	281,2	281,2	225,1	761	986,1
29/10/2024 20:25	293	293	229,1	786,6	1015,7
29/10/2024 20:30	304,3	304,3	234,9	812,7	1047,6
29/10/2024 20:35	314,9	314,9	242,5	838,1	1080,6
29/10/2024 20:40	324,2	324,2	251,8	861,4	1113,2
29/10/2024 20:45	331,6	331,6	262,6	881,1	1143,7
29/10/2024 20:50	336,3	336,3	274,1	895,4	1169,5
29/10/2024 20:55	337,9	337,9	285,9	902,9	1188,8
29/10/2024 21:00	335,8	335,8	297,5	902,4	1199,9
29/10/2024 21:05	330,1	330,1	308,5	893,2	1201,7
29/10/2024 21:10	320,8	320,8	318,6	875,2	1193,8
29/10/2024 21:15	308,5	308,5	327,1	849	1176,1
29/10/2024 21:20	293,9	293,9	333,5	815,3	1148,8
29/10/2024 21:25	277,6	277,6	336,9	775,3	1112,2
29/10/2024 21:30	260,7	260,7	337	730,3	1067,3
29/10/2024 21:35	243,9	243,9	333,5	681,9	1015,4
29/10/2024 21:40	228	228	326,4	631,3	957,7
29/10/2024 21:45	213,3	213,3	315,9	580	895,9
29/10/2024 21:50	200,2	200,2	302,7	529,1	831,8
29/10/2024 21:55	188,6	188,6	287,4	479,6	767
29/10/2024 22:00	178,7	178,7	270,8	432,4	703,2
29/10/2024 22:05	170	170	254	388,3	642,3
29/10/2024 22:10	162,7	162,7	237,5	347,8	585,3
29/10/2024 22:15	156,4	156,4	222,1	311,5	533,6
29/10/2024 22:20	151	151	208,1	279,9	488
29/10/2024 22:25	146,4	146,4	195,6	253,2	448,8
29/10/2024 22:30	142,6	142,6	184,6	231,5	416,1
29/10/2024 22:35	139,6	139,6	175,2	215,3	390,5
29/10/2024 22:40	137,8	137,8	167,1	205,1	372,2
29/10/2024 22:45	137,3	137,3	160,1	200,8	360,9
29/10/2024 22:50	138	138	154,2	202,4	356,6
29/10/2024 22:55	139,9	139,9	149,1	209,2	358,3
29/10/2024 23:00	142,3	142,3	144,8	220,1	364,9
29/10/2024 23:05	145	145	141,4	233,6	375
29/10/2024 23:10	147,3	147,3	138,9	248,4	387,3

Tiempo	Caudal (m³/s)				
	Gayo-SC1	N3	TP-GY2	Gayo-IC2	Subsistema Gayo
29/10/2024 23:15	148,7	148,7	137,6	263	400,6
29/10/2024 23:20	148,9	148,9	137,6	275,9	413,5
29/10/2024 23:25	147,5	147,5	138,8	286,1	424,9
29/10/2024 23:30	144,5	144,5	140,9	293	433,9
29/10/2024 23:35	140	140	143,4	295,9	439,3
29/10/2024 23:40	134	134	145,9	294,9	440,8
29/10/2024 23:45	126,7	126,7	147,9	290	437,9
29/10/2024 23:50	118,6	118,6	148,8	281,6	430,4
29/10/2024 23:55	109,7	109,7	148,3	270,2	418,5
30/10/2024 0:00	100,5	100,5	146,3	256,4	402,7
30/10/2024 0:05	91,2	91,2	142,7	240,8	383,5
30/10/2024 0:10	82,1	82,1	137,6	223,9	361,5
30/10/2024 0:15	73,2	73,2	131,1	206,4	337,5
30/10/2024 0:20	64,9	64,9	123,5	188,8	312,3
30/10/2024 0:25	57,2	57,2	115	171,3	286,3
30/10/2024 0:30	50	50	106	154,5	260,5
30/10/2024 0:35	43,5	43,5	96,8	138,4	235,2
30/10/2024 0:40	37,7	37,7	87,6	123,3	210,9
30/10/2024 0:45	32,5	32,5	78,5	109,3	187,8
30/10/2024 0:50	27,9	27,9	69,9	96,4	166,3
30/10/2024 0:55	23,8	23,8	61,8	84,6	146,4
30/10/2024 1:00	20,3	20,3	54,3	73,9	128,2
30/10/2024 1:05	17,2	17,2	47,4	64,2	111,6
30/10/2024 1:10	14,5	14,5	41,2	55,7	96,9
30/10/2024 1:15	12,2	12,2	35,6	48,1	83,7
30/10/2024 1:20	10,2	10,2	30,6	41,4	72
30/10/2024 1:25	8,6	8,6	26,3	35,5	61,8
30/10/2024 1:30	7,1	7,1	22,4	30,3	52,7
30/10/2024 1:35	5,9	5,9	19	25,9	44,9
30/10/2024 1:40	4,9	4,9	16,1	22	38,1
30/10/2024 1:45	4	4	13,6	18,6	32,2
30/10/2024 1:50	3,3	3,3	11,4	15,7	27,1
30/10/2024 1:55	2,7	2,7	9,6	13,2	22,8
30/10/2024 2:00	2,2	2,2	8	11,1	19,1
30/10/2024 2:05	1,8	1,8	6,6	9,3	15,9
30/10/2024 2:10	1,4	1,4	5,5	7,7	13,2
30/10/2024 2:15	1,2	1,2	4,5	6,4	10,9
30/10/2024 2:20	0,9	0,9	3,7	5,3	9
30/10/2024 2:25	0,7	0,7	3	4,4	7,4
30/10/2024 2:30	0,6	0,6	2,5	3,7	6,2
30/10/2024 2:35	0,5	0,5	2	3	5
30/10/2024 2:40	0,4	0,4	1,6	2,5	4,1
30/10/2024 2:45	0,3	0,3	1,3	2	3,3
30/10/2024 2:50	0,2	0,2	1,1	1,6	2,7
30/10/2024 2:55	0,1	0,1	0,9	1,3	2,2
30/10/2024 3:00	0,1	0,1	0,7	1	1,7
30/10/2024 3:05	0,1	0,1	0,5	0,8	1,3
30/10/2024 3:10	0,1	0,1	0,4	0,6	1
30/10/2024 3:15	0	0	0,3	0,4	0,7
30/10/2024 3:20	0	0	0,2	0,3	0,5
30/10/2024 3:25	0	0	0,2	0,2	0,4
30/10/2024 3:30	0	0	0,1	0,2	0,3
30/10/2024 3:35	0	0	0,1	0,1	0,2
30/10/2024 3:40	0	0	0,1	0,1	0,2
30/10/2024 3:45	0	0	0	0,1	0,1
30/10/2024 3:50	0	0	0	0	0
30/10/2024 3:55	0	0	0	0	0
30/10/2024 4:00	0	0	0	0	0
30/10/2024 4:05	0	0	0	0	0
30/10/2024 4:10	0	0	0	0	0
30/10/2024 4:15	0	0	0	0	0
30/10/2024 4:20	0	0	0	0	0
30/10/2024 4:25	0	0	0	0	0
30/10/2024 4:30	0	0	0	0	0
30/10/2024 4:35	0	0	0	0	0
30/10/2024 4:40	0	0	0	0	0
30/10/2024 4:45	0	0	0	0	0
30/10/2024 4:50	0	0	0	0	0
30/10/2024 4:55	0	0	0	0	0
30/10/2024 5:00	0	0	0	0	0
30/10/2024 5:05	0	0	0	0	0
30/10/2024 5:10	0	0	0	0	0
30/10/2024 5:15	0	0	0	0	0
30/10/2024 5:20	0	0	0	0	0
30/10/2024 5:25	0	0	0	0	0
30/10/2024 5:30	0	0	0	0	0
30/10/2024 5:35	0	0	0	0	0
30/10/2024 5:40	0	0	0	0	0
30/10/2024 5:45	0	0	0	0	0
30/10/2024 5:50	0	0	0	0	0
30/10/2024 5:55	0	0	0	0	0
30/10/2024 6:00	0	0	0	0	0

Sistema Poyo – Subsistema Canaleja

Tiempo	Caudal (m³/s)				
	Canaleja-SC1	N6	TP-CA2	Canaleja-IC2	Subsistema Canaleja
29/10/2024 8:00	0	0	0	0	0
29/10/2024 8:05	0	0	0	0	0
29/10/2024 8:10	0	0	0	0	0
29/10/2024 8:15	0	0	0	0	0
29/10/2024 8:20	0	0	0	0	0
29/10/2024 8:25	0	0	0	0	0
29/10/2024 8:30	0,1	0,1	0	0	0
29/10/2024 8:35	0,4	0,4	0	0	0
29/10/2024 8:40	1,3	1,3	0	0	0
29/10/2024 8:45	3,5	3,5	0	0,2	0,2
29/10/2024 8:50	6,9	6,9	0	0,5	0,5
29/10/2024 8:55	10,9	10,9	0,2	1	1,2
29/10/2024 9:00	14,8	14,8	0,8	1,9	2,7
29/10/2024 9:05	17,7	17,7	2,2	2,9	5,1
29/10/2024 9:10	19,7	19,7	4,8	4,1	8,9
29/10/2024 9:15	20,8	20,8	8,5	5,4	13,9
29/10/2024 9:20	21,2	21,2	12,5	6,6	19,1
29/10/2024 9:25	21,4	21,4	16	7,8	23,8
29/10/2024 9:30	21,3	21,3	18,5	8,8	27,3
29/10/2024 9:35	21	21	20,1	9,8	29,9
29/10/2024 9:40	20,6	20,6	21	10,6	31,6
29/10/2024 9:45	20,1	20,1	21,3	11,2	32,5
29/10/2024 9:50	19,6	19,6	21,3	11,7	33
29/10/2024 9:55	19,2	19,2	21,2	12	33,2
29/10/2024 10:00	18,9	18,9	20,9	12,3	33,2
29/10/2024 10:05	18,4	18,4	20,4	12,5	32,9
29/10/2024 10:10	17,6	17,6	19,9	12,6	32,5
29/10/2024 10:15	16,5	16,5	19,5	12,6	32,1
29/10/2024 10:20	15,3	15,3	19,1	12,6	31,7
29/10/2024 10:25	14,1	14,1	18,7	12,5	31,2
29/10/2024 10:30	13,3	13,3	18,1	12,3	30,4
29/10/2024 10:35	12,7	12,7	17,2	12,2	29,4
29/10/2024 10:40	12,5	12,5	16	12,1	28,1
29/10/2024 10:45	12,3	12,3	14,8	11,9	26,7
29/10/2024 10:50	12	12	13,8	11,7	25,5
29/10/2024 10:55	11,4	11,4	13,1	11,5	24,6
29/10/2024 11:00	10,6	10,6	12,6	11,2	23,8
29/10/2024 11:05	9,4	9,4	12,4	10,9	23,3
29/10/2024 11:10	8	8	12,2	10,4	22,6
29/10/2024 11:15	6,7	6,7	11,8	9,8	21,6
29/10/2024 11:20	5,4	5,4	11,1	9,1	20,2
29/10/2024 11:25	4,3	4,3	10,1	8,4	18,5
29/10/2024 11:30	3,3	3,3	8,8	7,6	16,4
29/10/2024 11:35	2,5	2,5	7,5	6,8	14,3
29/10/2024 11:40	1,9	1,9	6,2	6	12,2
29/10/2024 11:45	1,4	1,4	5	5,3	10,3
29/10/2024 11:50	1	1	3,9	4,6	8,5
29/10/2024 11:55	0,7	0,7	3	4	7
29/10/2024 12:00	0,5	0,5	2,3	3,4	5,7
29/10/2024 12:05	0,4	0,4	1,7	2,9	4,6
29/10/2024 12:10	0,3	0,3	1,3	2,4	3,7
29/10/2024 12:15	0,2	0,2	0,9	2	2,9
29/10/2024 12:20	0,1	0,1	0,7	1,7	2,4
29/10/2024 12:25	0,1	0,1	0,5	1,4	1,9
29/10/2024 12:30	0,1	0,1	0,3	1,1	1,4
29/10/2024 12:35	0	0	0,2	0,9	1,1
29/10/2024 12:40	0	0	0,2	0,7	0,9
29/10/2024 12:45	0	0	0,1	0,6	0,7
29/10/2024 12:50	0	0	0,1	0,5	0,6
29/10/2024 12:55	0	0	0	0,4	0,4
29/10/2024 13:00	0	0	0	0,3	0,3
29/10/2024 13:05	0	0	0	0,2	0,2
29/10/2024 13:10	0	0	0	0,2	0,2
29/10/2024 13:15	0	0	0	0,1	0,1
29/10/2024 13:20	0	0	0	0,1	0,1
29/10/2024 13:25	0	0	0	0,1	0,1
29/10/2024 13:30	0	0	0	0,1	0,1
29/10/2024 13:35	0	0	0	0	0
29/10/2024 13:40	0	0	0	0	0
29/10/2024 13:45	0	0	0	0	0
29/10/2024 13:50	0	0	0	0	0
29/10/2024 13:55	0	0	0	0	0
29/10/2024 14:00	0,1	0,1	0	0	0
29/10/2024 14:05	0,1	0,1	0	0	0
29/10/2024 14:10	0,2	0,2	0	0	0
29/10/2024 14:15	0,2	0,2	0	0	0
29/10/2024 14:20	0,2	0,2	0,1	0,1	0,2
29/10/2024 14:25	0,2	0,2	0,1	0,1	0,2
29/10/2024 14:30	0,2	0,2	0,2	0,1	0,3
29/10/2024 14:35	0,2	0,2	0,2	0,1	0,3
29/10/2024 14:40	0,1	0,1	0,2	0,1	0,3
29/10/2024 14:45	0,1	0,1	0,2	0,1	0,3
29/10/2024 14:50	0,2	0,2	0,2	0,1	0,3
29/10/2024 14:55	0,3	0,3	0,2	0,2	0,4
29/10/2024 15:00	0,5	0,5	0,2	0,2	0,4
29/10/2024 15:05	0,8	0,8	0,1	0,4	0,5
29/10/2024 15:10	1,3	1,3	0,2	0,6	0,8
29/10/2024 15:15	2	2	0,2	1	1,2
29/10/2024 15:20	2,8	2,8	0,3	1,4	1,7
29/10/2024 15:25	3,4	3,4	0,6	2	2,6

Tiempo	Caudal (m³/s)				
	Canaleja-SC1	N6	TP-CA2	Canaleja-IC2	Subsistema Canaleja
29/10/2024 15:30	3,8	3,8	1	2,7	3,7
29/10/2024 15:35	4	4	1,6	3,4	5
29/10/2024 15:40	4,1	4,1	2,3	4,3	6,6
29/10/2024 15:45	4,8	4,8	3,1	5,4	8,5
29/10/2024 15:50	6,4	6,4	3,6	7,1	10,7
29/10/2024 15:55	8,8	8,8	3,9	9,3	13,2
29/10/2024 16:00	11,8	11,8	4	12,2	16,2
29/10/2024 16:05	15,8	15,8	4,4	15,9	20,3
29/10/2024 16:10	20,8	20,8	5,5	20,4	25,9
29/10/2024 16:15	25,6	25,6	7,4	25,6	33
29/10/2024 16:20	29,3	29,3	10	31,2	41,2
29/10/2024 16:25	31,9	31,9	13,4	37,1	50,5
29/10/2024 16:30	33,8	33,8	17,8	43,3	61,1
29/10/2024 16:35	35,1	35,1	22,7	49,8	72,5
29/10/2024 16:40	36,2	36,2	27,1	56,6	83,7
29/10/2024 16:45	37,4	37,4	30,4	63,7	94,1
29/10/2024 16:50	38,7	38,7	32,7	71,3	104
29/10/2024 16:55	40,2	40,2	34,3	79,4	113,7
29/10/2024 17:00	41,8	41,8	35,6	88,2	123,8
29/10/2024 17:05	43,9	43,9	36,7	97,7	134,4
29/10/2024 17:10	46,3	46,3	37,9	108	145,9
29/10/2024 17:15	48,9	48,9	39,3	119,1	158,4
29/10/2024 17:20	51,3	51,3	40,9	130,7	171,6
29/10/2024 17:25	53,2	53,2	42,6	142,7	185,3
29/10/2024 17:30	54,7	54,7	44,8	154,7	199,5
29/10/2024 17:35	56,5	56,5	47,3	166,1	213,4
29/10/2024 17:40	58,7	58,7	49,9	176,6	226,5
29/10/2024 17:45	61,2	61,2	52	186,1	238,1
29/10/2024 17:50	65,6	65,6	53,8	194,7	248,5
29/10/2024 17:55	75,3	75,3	55,4	203,5	258,9
29/10/2024 18:00	91,9	91,9	57,4	214	271,4
29/10/2024 18:05	113,1	113,1	59,7	227,6	287,3
29/10/2024 18:10	134,1	134,1	63	244,9	307,9
29/10/2024 18:15	150,4	150,4	69,5	265,5	335
29/10/2024 18:20	159,1	159,1	82	288,2	370,2
29/10/2024 18:25	159,5	159,5	100,4	311,1	411,5
29/10/2024 18:30	153,4	153,4	121,5	332,4	453,9
29/10/2024 18:35	143,2	143,2	140,7	350,8	491,5
29/10/2024 18:40	131,9	131,9	153,9	365,1	519
29/10/2024 18:45	121,9	121,9	159,3	375,1	534,4
29/10/2024 18:50	114,4	114,4	157,1	380,9	538
29/10/2024 18:55	109,4	109,4	149,3	382,9	532,2
29/10/2024 19:00	106,4	106,4	138,7	382	520,7
29/10/2024 19:05	105,4	105,4	127,9	378,8	506,7
29/10/2024 19:10	106,3	106,3	118,9	374	492,9
29/10/2024 19:15	108,7	108,7	112,4	368	480,4
29/10/2024 19:20	112	112	108,2	361,3	469,5
29/10/2024 19:25	115,4	115,4	106	353,8	459,8
29/10/2024 19:30	118,4	118,4	105,8	345,5	451,3
29/10/2024 19:35	121,2	121,2	107,2	336,7	443,9
29/10/2024 19:40	124,5	124,5	110	327,4	437,4
29/10/2024 19:45	129,3	129,3	113,3	318	431,3
29/10/2024 19:50	136,4	136,4	116,6	309	425,6
29/10/2024 19:55	146,5	146,5	119,5	300,7	420,2
29/10/2024 20:00	159	159	122,5	293,4	415,9
29/10/2024 20:05	171,8	171,8	126,4	287,3	413,7
29/10/2024 20:10	182,4	182,4	132,1	281,9	414
29/10/2024 20:15	189,1	189,1	140,4	276,9	417,3
29/10/2024 20:20	191,8	191,8	151,5	271,9	423,4
29/10/2024 20:25	192,2	192,2	164,1	266,6	430,7
29/10/2024 20:30	191,2	191,2	176,1	260,9	437
29/10/2024 20:35	188	188	185,1	254,8	439,9
29/10/2024 20:40	181	181	190,2	247,8	438
29/10/2024 20:45	169,2	169,2	191,9	239,7	431,6
29/10/2024 20:50	152,7	152,7	191,8	230,2	422
29/10/2024 20:55	133	133	190	218,9	408,9
29/10/2024 21:00	111,8	111,8	185,2	206	391,2
29/10/2024 21:05	91,2	91,2	176,3	191,6	367,9
29/10/2024 21:10	72,2	72,2	162,6	176	338,6
29/10/2024 21:15	55,9	55,9	144,8	159,8	304,6
29/10/2024 21:20	42,4	42,4	124,5	143,3	267,8
29/10/2024 21:25	31,7	31,7	103,6	127,1	230,7
29/10/2024 21:30	23,6	23,6	83,6	111,5	195,1
29/10/2024 21:35	17,7	17,7	65,7	96,9	162,6
29/10/2024 21:40	13,6	13,6	50,5	83,5	134
29/10/2024 21:45	10,9	10,9	38,1	71,4	109,5
29/10/2024 21:50	9,3	9,3	28,5	60,7	89,2
29/10/2024 21:55	8,6	8,6	21,3	51,5	72,8
29/10/2024 22:00	8,8	8,8	16,1	43,6	59,7
29/10/2024 22:05	10,1	10,1	12,5	37,1	49,6
29/10/2024 22:10	12,6	12,6	10,3	32	42,3
29/10/2024 22:15	16	16	9	28,2	37,2
29/10/2024 22:20	20,3	20,3	8,7	25,8	34,5
29/10/2024 22:25	25,6	25,6	9,3	24,6	33,9
29/10/2024 22:30	32,1	32,1	11,1	24,8	35,9
29/10/2024 22:35	40,4	40,4	13,9	26,4	40,3
29/10/2024 22:40	50,4	50,4	17,7	29,6	47,3
29/10/2024 22:45	61	61	22,4	34,4	56,8
29/10/2024 22:50	70,8	70,8	28,2	40,3	68,5
29/10/2024 22:55	77,9	77,9	35,5	47,1	82,6
29/10/2024 23:00	81	81	44,4	54,2	98,6
29/10/2024 23:05	80,1	80,1	54,6	60,8	115,4
29/10/2024 23:10	75,8	75,8	64,9	66,3	131,2

Tiempo	Caudal (m³/s)				
	Canaleja-SC1	N6	TP-CA2	Canaleja-IC2	Subsistema Canaleja
29/10/2024 23:15	68,8	68,8	73,6	70,5	144,1
29/10/2024 23:20	60,3	60,3	79,1	73	152,1
29/10/2024 23:25	51	51	80,7	73,7	154,4
29/10/2024 23:30	41,9	41,9	78,4	72,6	151
29/10/2024 23:35	33,4	33,4	73	70,1	143,1
29/10/2024 23:40	26	26	65,4	66,3	131,7
29/10/2024 23:45	19,8	19,8	56,6	61,6	118,2
29/10/2024 23:50	14,8	14,8	47,4	56,5	103,9
29/10/2024 23:55	10,9	10,9	38,5	51,2	89,7
30/10/2024 0:00	8	8	30,4	46,2	76,6
30/10/2024 0:05	5,9	5,9	23,5	41,9	65,4
30/10/2024 0:10	4,4	4,4	17,8	38,4	56,2
30/10/2024 0:15	3,5	3,5	13,3	35,6	48,9
30/10/2024 0:20	2,9	2,9	9,7	33,4	43,1
30/10/2024 0:25	2,5	2,5	7,1	31,6	38,7
30/10/2024 0:30	2,1	2,1	5,3	29,9	35,2
30/10/2024 0:35	1,8	1,8	4,1	28,2	32,3
30/10/2024 0:40	1,4	1,4	3,3	26,4	29,7
30/10/2024 0:45	1,1	1,1	2,8	24,5	27,3
30/10/2024 0:50	0,9	0,9	2,3	22,5	24,8
30/10/2024 0:55	0,7	0,7	2	20,4	22,4
30/10/2024 1:00	0,5	0,5	1,6	18,3	19,9
30/10/2024 1:05	0,4	0,4	1,3	16,2	17,5
30/10/2024 1:10	0,3	0,3	1	14,2	15,2
30/10/2024 1:15	0,2	0,2	0,8	12,3	13,1
30/10/2024 1:20	0,1	0,1	0,6	10,5	11,1
30/10/2024 1:25	0,1	0,1	0,4	8,9	9,3
30/10/2024 1:30	0,1	0,1	0,3	7,5	7,8
30/10/2024 1:35	0	0	0,2	6,3	6,5
30/10/2024 1:40	0	0	0,2	5,2	5,4
30/10/2024 1:45	0	0	0,1	4,3	4,4
30/10/2024 1:50	0	0	0,1	3,5	3,6
30/10/2024 1:55	0	0	0,1	2,8	2,9
30/10/2024 2:00	0	0	0	2,2	2,2
30/10/2024 2:05	0	0	0	1,8	1,8
30/10/2024 2:10	0	0	0	1,4	1,4
30/10/2024 2:15	0	0	0	1,1	1,1
30/10/2024 2:20	0	0	0	0,9	0,9
30/10/2024 2:25	0	0	0	0,7	0,7
30/10/2024 2:30	0	0	0	0,5	0,5
30/10/2024 2:35	0	0	0	0,4	0,4
30/10/2024 2:40	0	0	0	0,3	0,3
30/10/2024 2:45	0	0	0	0,2	0,2
30/10/2024 2:50	0	0	0	0,2	0,2
30/10/2024 2:55	0	0	0	0,1	0,1
30/10/2024 3:00	0	0	0	0,1	0,1
30/10/2024 3:05	0	0	0	0,1	0,1
30/10/2024 3:10	0	0	0	0,1	0,1
30/10/2024 3:15	0	0	0	0	0
30/10/2024 3:20	0	0	0	0	0
30/10/2024 3:25	0	0	0	0	0
30/10/2024 3:30	0	0	0	0	0
30/10/2024 3:35	0	0	0	0	0
30/10/2024 3:40	0	0	0	0	0
30/10/2024 3:45	0	0	0	0	0
30/10/2024 3:50	0	0	0	0	0
30/10/2024 3:55	0	0	0	0	0
30/10/2024 4:00	0	0	0	0	0
30/10/2024 4:05	0	0	0	0	0
30/10/2024 4:10	0	0	0	0	0
30/10/2024 4:15	0	0	0	0	0
30/10/2024 4:20	0	0	0	0	0
30/10/2024 4:25	0	0	0	0	0
30/10/2024 4:30	0	0	0	0	0
30/10/2024 4:35	0	0	0	0	0
30/10/2024 4:40	0	0	0	0	0
30/10/2024 4:45	0	0	0	0	0
30/10/2024 4:50	0	0	0	0	0
30/10/2024 4:55	0	0	0	0	0
30/10/2024 5:00	0	0	0	0	0
30/10/2024 5:05	0	0	0	0	0
30/10/2024 5:10	0	0	0	0	0
30/10/2024 5:15	0	0	0	0	0
30/10/2024 5:20	0	0	0	0	0
30/10/2024 5:25	0	0	0	0	0
30/10/2024 5:30	0	0	0	0	0
30/10/2024 5:35	0	0	0	0	0
30/10/2024 5:40	0	0	0	0	0
30/10/2024 5:45	0	0	0	0	0
30/10/2024 5:50	0	0	0	0	0
30/10/2024 5:55	0	0	0	0	0
30/10/2024 6:00	0	0	0	0	0

Sistema Poyo – Subsistema Gallego [1]

Tiempo	Caudal (m³/s)						
	Gallego-SC1	N9	TP-GA2	Gallego-IC2	N10	Gallego-SC4	N12
29/10/2024 8:00	0	0	0	0	0	0	0
29/10/2024 8:05	0	0	0	0	0	0	0
29/10/2024 8:10	0	0	0	0,1	0,1	0	0
29/10/2024 8:15	0,1	0,1	0	0,3	0,3	0	0
29/10/2024 8:20	0,2	0,2	0	0,7	0,7	0	0
29/10/2024 8:25	0,7	0,7	0	1,3	1,3	0,2	0,2
29/10/2024 8:30	1,8	1,8	0	2,3	2,3	0,6	0,6
29/10/2024 8:35	3,7	3,7	0,1	3,7	3,7	1,2	1,2
29/10/2024 8:40	7,2	7,2	0,2	5,5	5,7	2,4	2,4
29/10/2024 8:45	13	13	0,6	7,9	8,5	4,5	4,5
29/10/2024 8:50	21,6	21,6	1,5	11	12,5	7,7	7,7
29/10/2024 8:55	31,9	31,9	3,3	14,9	18,2	11,3	11,3
29/10/2024 9:00	42,4	42,4	6,5	19,4	25,9	14,7	14,7
29/10/2024 9:05	51,5	51,5	11,9	24,4	36,3	17,2	17,2
29/10/2024 9:10	58,4	58,4	19,9	29,5	49,4	18,7	18,7
29/10/2024 9:15	62,8	62,8	29,9	34,2	64,1	19,2	19,2
29/10/2024 9:20	65	65	40,3	38,4	78,7	18,9	18,9
29/10/2024 9:25	65,3	65,3	49,7	41,6	91,3	18	18
29/10/2024 9:30	64,4	64,4	57,1	43,8	100,9	16,8	16,8
29/10/2024 9:35	62,7	62,7	62	45	107	15,5	15,5
29/10/2024 9:40	60,4	60,4	64,5	45,3	109,8	14,3	14,3
29/10/2024 9:45	57,7	57,7	65,3	44,7	109,9	13,1	13,1
29/10/2024 9:50	55,1	55,1	64,6	43,4	108	12,2	12,2
29/10/2024 9:55	52,6	52,6	63	41,6	104,6	11,4	11,4
29/10/2024 10:00	50,4	50,4	60,8	39,4	100,2	10,7	10,7
29/10/2024 10:05	48,1	48,1	58,3	37	95,2	10,1	10,1
29/10/2024 10:10	45,8	45,8	55,6	34,4	90	9,6	9,6
29/10/2024 10:15	43,3	43,3	53,1	31,9	85	9,1	9,1
29/10/2024 10:20	40,5	40,5	50,8	29,4	80,2	8,6	8,6
29/10/2024 10:25	37,9	37,9	48,6	27,2	75,8	8,3	8,3
29/10/2024 10:30	35,6	35,6	46,3	25,2	71,5	8,2	8,2
29/10/2024 10:35	33,8	33,8	43,8	23,5	67,3	8,1	8,1
29/10/2024 10:40	32,4	32,4	41,1	22	63	7,9	7,9
29/10/2024 10:45	31,3	31,3	38,4	20,6	59	7,8	7,8
29/10/2024 10:50	30,2	30,2	36,1	19,4	55,4	7,4	7,4
29/10/2024 10:55	28,8	28,8	34,2	18,2	52,3	6,9	6,9
29/10/2024 11:00	27	27	32,7	17	49,7	6,2	6,2
29/10/2024 11:05	24,8	24,8	31,5	15,9	47,4	5,4	5,4
29/10/2024 11:10	22,2	22,2	30,4	14,7	45,1	4,5	4,5
29/10/2024 11:15	19,3	19,3	29,1	13,5	42,6	3,7	3,7
29/10/2024 11:20	16,5	16,5	27,4	12,3	39,7	3	3
29/10/2024 11:25	13,8	13,8	25,2	11,2	36,4	2,4	2,4
29/10/2024 11:30	11,4	11,4	22,7	10	32,7	1,8	1,8
29/10/2024 11:35	9,2	9,2	19,9	8,9	28,8	1,4	1,4
29/10/2024 11:40	7,4	7,4	17,1	7,9	25	1,1	1,1
29/10/2024 11:45	5,8	5,8	14,4	7	21,3	0,8	0,8
29/10/2024 11:50	4,6	4,6	11,9	6,1	18	0,6	0,6
29/10/2024 11:55	3,5	3,5	9,7	5,3	15	0,5	0,5
29/10/2024 12:00	2,7	2,7	7,8	4,6	12,3	0,4	0,4
29/10/2024 12:05	2	2	6,1	3,9	10,1	0,3	0,3
29/10/2024 12:10	1,5	1,5	4,8	3,3	8,2	0,2	0,2
29/10/2024 12:15	1,1	1,1	3,7	2,8	6,6	0,1	0,1
29/10/2024 12:20	0,8	0,8	2,8	2,4	5,2	0,1	0,1
29/10/2024 12:25	0,6	0,6	2,1	2	4,2	0,1	0,1
29/10/2024 12:30	0,4	0,4	1,6	1,7	3,3	0	0
29/10/2024 12:35	0,3	0,3	1,2	1,4	2,6	0	0
29/10/2024 12:40	0,2	0,2	0,9	1,1	2	0	0
29/10/2024 12:45	0,1	0,1	0,6	0,9	1,6	0	0
29/10/2024 12:50	0,1	0,1	0,5	0,8	1,2	0	0
29/10/2024 12:55	0,1	0,1	0,3	0,6	1	0	0
29/10/2024 13:00	0	0	0,2	0,5	0,7	0	0
29/10/2024 13:05	0	0	0,2	0,4	0,6	0	0
29/10/2024 13:10	0	0	0,1	0,3	0,4	0	0
29/10/2024 13:15	0	0	0,1	0,3	0,3	0	0
29/10/2024 13:20	0	0	0	0,2	0,3	0	0
29/10/2024 13:25	0	0	0	0,2	0,2	0	0
29/10/2024 13:30	0	0	0	0,1	0,2	0	0
29/10/2024 13:35	0	0	0	0,1	0,1	0	0
29/10/2024 13:40	0	0	0	0,1	0,1	0	0
29/10/2024 13:45	0	0	0	0,1	0,1	0	0
29/10/2024 13:50	0	0	0	0,1	0,1	0	0
29/10/2024 13:55	0	0	0	0	0	0	0
29/10/2024 14:00	0,1	0,1	0	0	0	0	0
29/10/2024 14:05	0,2	0,2	0	0	0	0,1	0,1
29/10/2024 14:10	0,3	0,3	0	0	0	0,1	0,1
29/10/2024 14:15	0,3	0,3	0	0	0,1	0,1	0,1
29/10/2024 14:20	0,4	0,4	0,1	0	0,1	0,1	0,1
29/10/2024 14:25	0,4	0,4	0,2	0	0,2	0,1	0,1
29/10/2024 14:30	0,4	0,4	0,3	0	0,3	0,1	0,1
29/10/2024 14:35	0,4	0,4	0,3	0	0,4	0,1	0,1
29/10/2024 14:40	0,4	0,4	0,4	0	0,4	0,1	0,1
29/10/2024 14:45	0,4	0,4	0,4	0,1	0,5	0,1	0,1
29/10/2024 14:50	0,5	0,5	0,4	0,1	0,5	0,2	0,2
29/10/2024 14:55	0,7	0,7	0,4	0,3	0,6	0,5	0,5
29/10/2024 15:00	1,2	1,2	0,4	0,5	0,9	1	1
29/10/2024 15:05	2	2	0,4	1	1,3	1,6	1,6
29/10/2024 15:10	3,2	3,2	0,4	1,7	2,1	2,4	2,4
29/10/2024 15:15	4,8	4,8	0,7	2,6	3,2	3,4	3,4
29/10/2024 15:20	6,7	6,7	1,1	3,8	4,9	4,5	4,5
29/10/2024 15:25	8,7	8,7	1,8	5,3	7,2	5,8	5,8

Tiempo	Caudal (m³/s)						
	Gallego-SC1	N9	TP-GA2	Gallego-IC2	N10	Gallego-SC4	N12
29/10/2024 15:30	10,7	10,7	3	7,2	10,2	7	7
29/10/2024 15:35	12,4	12,4	4,5	9,6	14,1	8,4	8,4
29/10/2024 15:40	14,2	14,2	6,3	12,4	18,8	10,2	10,2
29/10/2024 15:45	16,9	16,9	8,3	15,9	24,3	12,9	12,9
29/10/2024 15:50	21	21	10,3	20,2	30,5	16,6	16,6
29/10/2024 15:55	26,8	26,8	12,1	25,5	37,5	21,3	21,3
29/10/2024 16:00	34,3	34,3	13,9	31,9	45,8	27,1	27,1
29/10/2024 16:05	43,9	43,9	16,4	39,8	56,1	33,7	33,7
29/10/2024 16:10	55,4	55,4	20,2	49	69,2	40,8	40,8
29/10/2024 16:15	67,7	67,7	25,7	59,7	85,3	47,6	47,6
29/10/2024 16:20	79,2	79,2	32,8	71,5	104,3	53,7	53,7
29/10/2024 16:25	89,3	89,3	41,9	84,2	126,2	59,1	59,1
29/10/2024 16:30	97,9	97,9	53,1	97,6	150,7	64	64
29/10/2024 16:35	105,2	105,2	65,2	111,4	176,6	68,8	68,8
29/10/2024 16:40	111,7	111,7	76,9	125,5	202,4	73,9	73,9
29/10/2024 16:45	118	118	87,3	140,1	227,4	79,9	79,9
29/10/2024 16:50	124,8	124,8	96,1	155,5	251,6	87,1	87,1
29/10/2024 16:55	132	132	103,7	171,8	275,5	95,2	95,2
29/10/2024 17:00	139,7	139,7	110,4	189,2	299,6	103,9	103,9
29/10/2024 17:05	148,2	148,2	116,8	207,9	324,7	113,4	113,4
29/10/2024 17:10	157,7	157,7	123,4	228	351,5	123,8	123,8
29/10/2024 17:15	168	168	130,6	249,7	380,3	134,6	134,6
29/10/2024 17:20	178,4	178,4	138,2	272,8	411	145,2	145,2
29/10/2024 17:25	188	188	146,5	297	443,5	154,3	154,3
29/10/2024 17:30	196,3	196,3	155,8	321,5	477,4	161,1	161,1
29/10/2024 17:35	203,2	203,2	166	345,4	511,4	165,1	165,1
29/10/2024 17:40	208,9	208,9	176,3	367,6	543,9	166,2	166,2
29/10/2024 17:45	213,3	213,3	186,1	386,8	572,8	164,7	164,7
29/10/2024 17:50	218,2	218,2	194,6	402,3	596,9	162,4	162,4
29/10/2024 17:55	228	228	201,8	413,6	615,4	162,8	162,8
29/10/2024 18:00	246,7	246,7	207,8	420,9	628,7	168,3	168,3
29/10/2024 18:05	274,3	274,3	212,5	424,9	637,4	179,3	179,3
29/10/2024 18:10	306,9	306,9	217,2	426,8	644	193,5	193,5
29/10/2024 18:15	338,6	338,6	226	427,8	653,8	207,9	207,9
29/10/2024 18:20	364	364	242,9	428,8	671,8	219,5	219,5
29/10/2024 18:25	379,8	379,8	268,8	430,7	699,4	226,8	226,8
29/10/2024 18:30	385	385	300,4	433,7	734,1	229,6	229,6
29/10/2024 18:35	380,9	380,9	332,3	437,8	770,1	227,8	227,8
29/10/2024 18:40	370,1	370,1	359	442,4	801,3	222,4	222,4
29/10/2024 18:45	356,2	356,2	376,6	446,9	823,5	215,1	215,1
29/10/2024 18:50	342,1	342,1	383,9	451	834,9	208	208
29/10/2024 18:55	330	330	381,7	454,8	836,4	202,9	202,9
29/10/2024 19:00	321	321	372,3	458,9	831,1	200,8	200,8
29/10/2024 19:05	316,1	316,1	359	464,1	823	201,7	201,7
29/10/2024 19:10	315,2	315,2	344,9	470,8	815,8	204,7	204,7
29/10/2024 19:15	317,6	317,6	332,4	479,1	811,5	207,9	207,9
29/10/2024 19:20	321,7	321,7	322,8	488,3	811,2	209,5	209,5
29/10/2024 19:25	326	326	317,1	497,4	814,5	208,2	208,2
29/10/2024 19:30	329,1	329,1	315,4	505,3	820,7	204	204
29/10/2024 19:35	331,1	331,1	317,1	510,9	828	197,7	197,7
29/10/2024 19:40	332,7	332,7	320,9	513,6	834,5	190,7	190,7
29/10/2024 19:45	335,2	335,2	325,1	513,3	838,4	184,2	184,2
29/10/2024 19:50	340	340	328,5	509,7	838,2	178,7	178,7
29/10/2024 19:55	348,4	348,4	330,7	502,8	833,5	174,2	174,2
29/10/2024 20:00	360,2	360,2	332,4	492,6	825	170,1	170,1
29/10/2024 20:05	373,5	373,5	334,7	479	813,6	165,3	165,3
29/10/2024 20:10	385,5	385,5	339	461,9	801	158,9	158,9
29/10/2024 20:15	393,5	393,5	346,7	441,6	788,3	150,7	150,7
29/10/2024 20:20	396,6	396,6	357,8	418,3	776,1	141	141
29/10/2024 20:25	395,6	395,6	370,8	392,6	763,5	131,3	131,3
29/10/2024 20:30	391,8	391,8	383,1	365,2	748,3	122,2	122,2
29/10/2024 20:35	384,9	384,9	391,9	336,8	728,7	113,4	113,4
29/10/2024 20:40	373,3	373,3	396	308	703,9	104,2	104,2
29/10/2024 20:45	355,4	355,4	395,8	279,4	675,2	94	94
29/10/2024 20:50	330,7	330,7	392,6	251,6	644,1	82,7	82,7
29/10/2024 20:55	300,1	300,1	386,3	224,8	611,1	70,7	70,7
29/10/2024 21:00	265,5	265,5	375,6	199,4	575	58,7	58,7
29/10/2024 21:05	229,1	229,1	358,9	175,6	534,6	47,4	47,4
29/10/2024 21:10	193,2	193,2	335,6	153,6	489,2	37,4	37,4
29/10/2024 21:15	159,5	159,5	306,2	133,4	439,7	28,8	28,8
29/10/2024 21:20	129,2	129,2	272,4	115,2	387,6	21,8	21,8
29/10/2024 21:25	103,1	103,1	236,4	98,7	335,1	16,3	16,3
29/10/2024 21:30	81,3	81,3	200,3	84,2	284,5	12,1	12,1
29/10/2024 21:35	63,6	63,6	166,2	71,3	237,5	9	9
29/10/2024 21:40	49,7	49,7	135,3	60,1	195,4	6,9	6,9
29/10/2024 21:45	39,2	39,2	108,3	50,3	158,7	5,5	5,5
29/10/2024 21:50	31,5	31,5	85,6	42	127,6	4,6	4,6
29/10/2024 21:55	26,2	26,2	67,1	34,9	102	4,2	4,2
29/10/2024 22:00	23,1	23,1	52,5	28,9	81,4	4,3	4,3
29/10/2024 22:05	22,2	22,2	41,3	24	65,3	5	5
29/10/2024 22:10	23,5	23,5	33	20	53	6,2	6,2
29/10/2024 22:15	26,9	26,9	27,2	16,7	44	7,9	7,9
29/10/2024 22:20	32,3	32,3	23,7	14,3	38	10,2	10,2
29/10/2024 22:25	39,7	39,7	22,4	12,8	35,1	13,4	13,4
29/10/2024 22:30	49,7	49,7	23,3	12,2	35,5	18	18
29/10/2024 22:35	62,7	62,7	26,3	12,8	39,1	24	24
29/10/2024 22:40	78,8	78,8	31,2	14,6	45,9	31,1	31,1
29/10/2024 22:45	97,1	97,1	38,2	17,7	55,9	38,7	38,7
29/10/2024 22:50	115,9	115,9	47,7	22	69,7	45,8	45,8
29/10/2024 22:55	132,5	132,5	60,1	27,3	87,4	51,5	51,5
29/10/2024 23:00	144,7	144,7	75,6	33,2	108,8	54,9	54,9
29/10/2024 23:05	151,2	151,2	93,5	39,4	132,9	55,6	55,6
29/10/2024 23:10	151,6	151,6	112,1	45,4	157,5	53,8	53,8

Tiempo	Caudal (m³/s)						
	Gallego-SC1	N9	TP-GA2	Gallego-IC2	N10	Gallego-SC4	N12
29/10/2024 23:15	146,5	146,5	129,2	50,6	179,8	49,8	49,8
29/10/2024 23:20	136,7	136,7	142,3	54,8	197,1	44,3	44,3
29/10/2024 23:25	123,6	123,6	149,9	57,7	207,6	38,1	38,1
29/10/2024 23:30	108,6	108,6	151,5	59,2	210,7	31,7	31,7
29/10/2024 23:35	92,9	92,9	147,5	59,3	206,8	25,7	25,7
29/10/2024 23:40	77,7	77,7	138,6	58,2	196,8	20,3	20,3
29/10/2024 23:45	63,8	63,8	126,2	56	182,2	15,8	15,8
29/10/2024 23:50	51,4	51,4	111,6	53,1	164,6	12,4	12,4
29/10/2024 23:55	40,9	40,9	96	49,5	145,6	10	10
30/10/2024 0:00	32,3	32,3	80,8	45,7	126,5	8,8	8,8
30/10/2024 0:05	25,5	25,5	66,5	41,7	108,3	8,4	8,4
30/10/2024 0:10	20,3	20,3	53,9	37,9	91,7	8,5	8,5
30/10/2024 0:15	16,4	16,4	43	34,1	77,1	8,5	8,5
30/10/2024 0:20	13,4	13,4	34	30,6	64,6	8,3	8,3
30/10/2024 0:25	11,1	11,1	26,8	27,3	54,1	7,8	7,8
30/10/2024 0:30	9,3	9,3	21,3	24,3	45,6	6,9	6,9
30/10/2024 0:35	7,7	7,7	17,1	21,5	38,6	5,9	5,9
30/10/2024 0:40	6,4	6,4	14	18,9	32,9	4,9	4,9
30/10/2024 0:45	5,2	5,2	11,6	16,5	28,1	3,9	3,9
30/10/2024 0:50	4,2	4,2	9,7	14,4	24	3	3
30/10/2024 0:55	3,3	3,3	8	12,4	20,5	2,2	2,2
30/10/2024 1:00	2,6	2,6	6,6	10,7	17,3	1,6	1,6
30/10/2024 1:05	2	2	5,4	9,2	14,6	1,2	1,2
30/10/2024 1:10	1,5	1,5	4,4	7,8	12,2	0,8	0,8
30/10/2024 1:15	1,1	1,1	3,5	6,6	10,1	0,6	0,6
30/10/2024 1:20	0,8	0,8	2,7	5,5	8,3	0,4	0,4
30/10/2024 1:25	0,6	0,6	2,1	4,6	6,7	0,3	0,3
30/10/2024 1:30	0,4	0,4	1,6	3,8	5,4	0,2	0,2
30/10/2024 1:35	0,3	0,3	1,2	3,2	4,4	0,1	0,1
30/10/2024 1:40	0,2	0,2	0,9	2,6	3,5	0,1	0,1
30/10/2024 1:45	0,2	0,2	0,6	2,1	2,8	0,1	0,1
30/10/2024 1:50	0,1	0,1	0,5	1,7	2,2	0	0
30/10/2024 1:55	0,1	0,1	0,3	1,4	1,7	0	0
30/10/2024 2:00	0,1	0,1	0,2	1,1	1,4	0	0
30/10/2024 2:05	0	0	0,2	0,9	1,1	0	0
30/10/2024 2:10	0	0	0,1	0,7	0,8	0	0
30/10/2024 2:15	0	0	0,1	0,6	0,6	0	0
30/10/2024 2:20	0	0	0,1	0,4	0,5	0	0
30/10/2024 2:25	0	0	0	0,3	0,4	0	0
30/10/2024 2:30	0	0	0	0,3	0,3	0	0
30/10/2024 2:35	0	0	0	0,2	0,2	0	0
30/10/2024 2:40	0	0	0	0,1	0,2	0	0
30/10/2024 2:45	0	0	0	0,1	0,1	0	0
30/10/2024 2:50	0	0	0	0,1	0,1	0	0
30/10/2024 2:55	0	0	0	0,1	0,1	0	0
30/10/2024 3:00	0	0	0	0	0	0	0
30/10/2024 3:05	0	0	0	0	0	0	0
30/10/2024 3:10	0	0	0	0	0	0	0
30/10/2024 3:15	0	0	0	0	0	0	0
30/10/2024 3:20	0	0	0	0	0	0	0
30/10/2024 3:25	0	0	0	0	0	0	0
30/10/2024 3:30	0	0	0	0	0	0	0
30/10/2024 3:35	0	0	0	0	0	0	0
30/10/2024 3:40	0	0	0	0	0	0	0
30/10/2024 3:45	0	0	0	0	0	0	0
30/10/2024 3:50	0	0	0	0	0	0	0
30/10/2024 3:55	0	0	0	0	0	0	0
30/10/2024 4:00	0	0	0	0	0	0	0
30/10/2024 4:05	0	0	0	0	0	0	0
30/10/2024 4:10	0	0	0	0	0	0	0
30/10/2024 4:15	0	0	0	0	0	0	0
30/10/2024 4:20	0	0	0	0	0	0	0
30/10/2024 4:25	0	0	0	0	0	0	0
30/10/2024 4:30	0	0	0	0	0	0	0
30/10/2024 4:35	0	0	0	0	0	0	0
30/10/2024 4:40	0	0	0	0	0	0	0
30/10/2024 4:45	0	0	0	0	0	0	0
30/10/2024 4:50	0	0	0	0	0	0	0
30/10/2024 4:55	0	0	0	0	0	0	0
30/10/2024 5:00	0	0	0	0	0	0	0
30/10/2024 5:05	0	0	0	0	0	0	0
30/10/2024 5:10	0	0	0	0	0	0	0
30/10/2024 5:15	0	0	0	0	0	0	0
30/10/2024 5:20	0	0	0	0	0	0	0
30/10/2024 5:25	0	0	0	0	0	0	0
30/10/2024 5:30	0	0	0	0	0	0	0
30/10/2024 5:35	0	0	0	0	0	0	0
30/10/2024 5:40	0	0	0	0	0	0	0
30/10/2024 5:45	0	0	0	0	0	0	0
30/10/2024 5:50	0	0	0	0	0	0	0
30/10/2024 5:55	0	0	0	0	0	0	0
30/10/2024 6:00	0	0	0	0	0	0	0

Sistema Poyo – Subsistema Gallego [2]

Tiempo	Caudal (m³/s)							
	TP-GA3	Gallego-IC3	TP-GA5	Gallego-IC5	N11	TP-GA6	Gallego-IC6	Subsistema Gallego
29/10/2024 8:00	0	0	0	0	0	0	0	0
29/10/2024 8:05	0	0	0	0	0	0	0	0
29/10/2024 8:10	0	0	0	0	0	0	0	0
29/10/2024 8:15	0	0	0	0	0	0	0	0
29/10/2024 8:20	0	0	0	0	0	0	0	0
29/10/2024 8:25	0	0	0	0	0	0	0	0
29/10/2024 8:30	0,1	0	0	0	0,1	0	0	0
29/10/2024 8:35	0,2	0	0	0	0,2	0	0	0
29/10/2024 8:40	0,6	0	0	0	0,6	0,2	0	0,2
29/10/2024 8:45	1,1	0	0	0	1,1	0,4	0	0,4
29/10/2024 8:50	1,9	0	0,2	0	2,1	0,8	0	0,8
29/10/2024 8:55	3,2	0	0,6	0	3,7	1,5	0	1,5
29/10/2024 9:00	4,9	0	1,2	0	6,1	2,8	0	2,8
29/10/2024 9:05	7,4	0	2,4	0	9,8	4,7	0	4,7
29/10/2024 9:10	10,9	0	4,5	0	15,4	7,6	0	7,6
29/10/2024 9:15	15,9	0	7,7	0	23,6	12	0	12
29/10/2024 9:20	22,8	0	11,3	0	34,2	18,7	0	18,7
29/10/2024 9:25	32,2	0	14,7	0	46,8	27,8	0	27,8
29/10/2024 9:30	44,1	0	17,2	0	61,4	39,2	0	39,2
29/10/2024 9:35	58,2	0	18,7	0	76,9	52,6	0	52,6
29/10/2024 9:40	72,8	0	19,2	0	92,1	67,6	0	67,6
29/10/2024 9:45	86,3	0	18,9	0	105,2	83	0	83
29/10/2024 9:50	97,1	0	18	0	115,1	97,3	0	97,3
29/10/2024 9:55	104,6	0	16,8	0	121,4	109,1	0	109,1
29/10/2024 10:00	108,7	0	15,5	0	124,2	117,6	0	117,6
29/10/2024 10:05	109,9	0	14,3	0	124,2	122,5	0	122,5
29/10/2024 10:10	108,8	0	13,1	0	121,9	124,2	0	124,2
29/10/2024 10:15	106	0	12,2	0	118,1	123,3	0	123,3
29/10/2024 10:20	102	0	11,4	0	113,3	120,4	0	120,4
29/10/2024 10:25	97,2	0	10,7	0	107,9	116,2	0	116,2
29/10/2024 10:30	92,1	0	10,1	0	102,2	111,2	0	111,2
29/10/2024 10:35	87	0	9,6	0	96,6	105,6	0	105,6
29/10/2024 10:40	82,1	0	9,1	0	91,2	100	0	100
29/10/2024 10:45	77,6	0	8,6	0	86,2	94,4	0	94,4
29/10/2024 10:50	73,2	0	8,3	0	81,6	89,2	0	89,2
29/10/2024 10:55	69	0	8,2	0	77,1	84,4	0	84,4
29/10/2024 11:00	64,7	0	8,1	0	72,8	79,8	0	79,8
29/10/2024 11:05	60,6	0	7,9	0	68,6	75,4	0	75,4
29/10/2024 11:10	56,9	0	7,8	0	64,6	71,1	0	71,1
29/10/2024 11:15	53,6	0	7,4	0	61	67	0	67
29/10/2024 11:20	50,8	0	6,9	0	57,7	63,2	0	63,2
29/10/2024 11:25	48,3	0	6,2	0	54,5	59,6	0	59,6
29/10/2024 11:30	46	0	5,4	0	51,4	56,4	0	56,4
29/10/2024 11:35	43,6	0	4,5	0	48,2	53,3	0	53,3
29/10/2024 11:40	40,9	0	3,7	0	44,6	50,1	0	50,1
29/10/2024 11:45	37,7	0	3	0	40,7	46,8	0	46,8
29/10/2024 11:50	34,2	0	2,4	0	36,5	43,1	0	43,1
29/10/2024 11:55	30,4	0	1,8	0	32,2	39	0	39
29/10/2024 12:00	26,5	0	1,4	0	27,9	34,8	0	34,8
29/10/2024 12:05	22,8	0	1,1	0	23,9	30,5	0	30,5
29/10/2024 12:10	19,3	0	0,8	0	20,1	26,3	0	26,3
29/10/2024 12:15	16,2	0	0,6	0	16,8	22,4	0	22,4
29/10/2024 12:20	13,4	0	0,5	0	13,9	18,8	0	18,8
29/10/2024 12:25	11	0	0,4	0	11,3	15,6	0	15,6
29/10/2024 12:30	8,9	0	0,3	0	9,2	12,8	0	12,8
29/10/2024 12:35	7,2	0	0,2	0	7,4	10,5	0	10,5
29/10/2024 12:40	5,8	0	0,1	0	5,9	8,5	0	8,5
29/10/2024 12:45	4,6	0	0,1	0	4,7	6,8	0	6,8
29/10/2024 12:50	3,6	0	0,1	0	3,7	5,4	0	5,4
29/10/2024 12:55	2,9	0	0	0	2,9	4,3	0	4,3
29/10/2024 13:00	2,2	0	0	0	2,3	3,4	0	3,4
29/10/2024 13:05	1,8	0	0	0	1,8	2,7	0	2,7
29/10/2024 13:10	1,4	0	0	0	1,4	2,1	0	2,1
29/10/2024 13:15	1,1	0	0	0	1,1	1,6	0	1,6
29/10/2024 13:20	0,8	0	0	0	0,8	1,3	0	1,3
29/10/2024 13:25	0,6	0	0	0	0,6	1	0	1
29/10/2024 13:30	0,5	0	0	0	0,5	0,8	0	0,8
29/10/2024 13:35	0,4	0	0	0	0,4	0,6	0	0,6
29/10/2024 13:40	0,3	0	0	0	0,3	0,5	0	0,5
29/10/2024 13:45	0,2	0	0	0	0,2	0,4	0	0,4
29/10/2024 13:50	0,2	0	0	0	0,2	0,3	0	0,3
29/10/2024 13:55	0,1	0	0	0	0,1	0,2	0	0,2
29/10/2024 14:00	0,1	0	0	0	0,1	0,2	0	0,2
29/10/2024 14:05	0,1	0	0	0	0,1	0,1	0	0,1
29/10/2024 14:10	0,1	0	0	0	0,1	0,1	0	0,1
29/10/2024 14:15	0	0	0	0	0	0,1	0	0,1
29/10/2024 14:20	0	0	0	0	0	0,1	0	0,1
29/10/2024 14:25	0	0	0	0	0,1	0	0	0
29/10/2024 14:30	0	0	0,1	0	0,1	0,1	0	0,1
29/10/2024 14:35	0	0	0,1	0	0,1	0,1	0	0,1
29/10/2024 14:40	0,1	0	0,1	0	0,2	0,1	0	0,1
29/10/2024 14:45	0,2	0	0,1	0	0,2	0,1	0	0,1
29/10/2024 14:50	0,2	0	0,1	0	0,3	0,2	0	0,2
29/10/2024 14:55	0,3	0	0,1	0	0,4	0,3	0	0,3
29/10/2024 15:00	0,4	0	0,1	0	0,5	0,4	0	0,4
29/10/2024 15:05	0,4	0	0,1	0	0,5	0,4	0	0,4
29/10/2024 15:10	0,5	0	0,1	0	0,6	0,5	0	0,5
29/10/2024 15:15	0,6	0	0,2	0	0,9	0,6	0	0,6
29/10/2024 15:20	0,8	0	0,5	0	1,3	0,7	0	0,7
29/10/2024 15:25	1,2	0,1	1	0	2,2	1,1	0	1,1

Tiempo	Caudal (m³/s)							
	TP-GA3	Gallego-IC3	TP-GA5	Gallego-IC5	N11	TP-GA6	Gallego-IC6	Subsistema Gallego
29/10/2024 15:30	1,8	0,1	1,6	0	3,5	1,7	0	1,7
29/10/2024 15:35	2,8	0,2	2,4	0	5,4	2,7	0	2,7
29/10/2024 15:40	4,2	0,2	3,4	0	7,9	4,3	0	4,3
29/10/2024 15:45	6,3	0,4	4,5	0	11,2	6,4	0	6,4
29/10/2024 15:50	9	0,6	5,8	0	15,4	9,2	0	9,2
29/10/2024 15:55	12,5	1	7	0	20,6	12,8	0	12,8
29/10/2024 16:00	16,9	1,6	8,4	0	26,9	17,4	0	17,4
29/10/2024 16:05	22,1	2,4	10,2	0	34,7	23,1	0	23,1
29/10/2024 16:10	28	3,4	12,9	0	44,3	30	0	30
29/10/2024 16:15	34,7	4,7	16,6	0	56	38,5	0	38,5
29/10/2024 16:20	42,5	6,2	21,3	0	70,1	49	0	49
29/10/2024 16:25	52	8	27,1	0	87,1	61,6	0	61,6
29/10/2024 16:30	64	10,1	33,7	0	107,8	76,9	0	76,9
29/10/2024 16:35	78,9	12,5	40,8	0	132,2	95,4	0	95,4
29/10/2024 16:40	96,7	15,4	47,6	0	159,7	117,6	0	117,6
29/10/2024 16:45	117,4	18,7	53,7	0	189,8	143,2	0	143,2
29/10/2024 16:50	140,9	22,5	59,1	0,1	222,6	171,7	0	171,7
29/10/2024 16:55	166,2	27	64	0,2	257,5	202,9	0	202,9
29/10/2024 17:00	192,1	32,2	68,8	0,4	293,5	236,5	0,1	236,6
29/10/2024 17:05	217,4	38,1	73,9	0,9	330,3	271,9	0,3	272,2
29/10/2024 17:10	241,9	44,8	79,9	1,7	368,3	308,2	0,7	308,9
29/10/2024 17:15	265,9	52,3	87,1	2,9	408,3	345,5	1,2	346,7
29/10/2024 17:20	289,9	60,6	95,2	4,6	450,3	384,3	1,8	386,1
29/10/2024 17:25	314,6	69,4	103,9	6,7	494,7	425,1	2,6	427,7
29/10/2024 17:30	340,8	78,5	113,4	9,3	542	468,1	3,3	471,4
29/10/2024 17:35	368,7	87,7	123,8	12,2	592,4	513,6	3,9	517,5
29/10/2024 17:40	398,7	96,4	134,6	15,4	645,1	562,2	4,5	566,7
29/10/2024 17:45	430,5	104,6	145,2	18,8	699,1	613,5	5,3	618,8
29/10/2024 17:50	463,9	112	154,3	22,6	752,8	666,7	6,6	673,3
29/10/2024 17:55	497,8	119	161,1	27,2	805	720,6	8,9	729,5
29/10/2024 18:00	530,9	126	165,1	33,2	855,1	773,7	12,6	786,3
29/10/2024 18:05	561,3	133,6	166,2	41,4	902,4	825,1	17,7	842,8
29/10/2024 18:10	587,3	142,4	164,7	52,2	946,6	874,1	23,6	897,7
29/10/2024 18:15	608	152,7	162,4	65,8	988,9	920,1	29,3	949,4
29/10/2024 18:20	623,4	164,3	162,8	81,5	1032	963,5	33,7	997,2
29/10/2024 18:25	633,9	176,8	168,3	98,6	1077,6	1006,1	36,6	1042,7
29/10/2024 18:30	641,4	189,5	179,3	116,1	1126,3	1050,2	37,7	1087,9
29/10/2024 18:35	649,9	201,8	193,5	133	1178,3	1097,1	37,5	1134,6
29/10/2024 18:40	664,6	213	207,9	148,4	1233,8	1147,1	36,2	1183,3
29/10/2024 18:45	688,4	222,5	219,5	161,6	1291,9	1200,5	34,3	1234,8
29/10/2024 18:50	720,2	230	226,8	172,3	1349,3	1257	32,3	1289,3
29/10/2024 18:55	755,7	235,5	229,6	180,2	1400,9	1314,9	30	1344,9
29/10/2024 19:00	788,8	239	227,8	185,2	1440,8	1370	27,3	1397,3
29/10/2024 19:05	814,6	240,6	222,4	187,2	1464,8	1416,9	24,2	1441,1
29/10/2024 19:10	830,3	240,6	215,1	186,3	1472,3	1450,4	20,9	1471,3
29/10/2024 19:15	835,8	239,1	208	182,5	1465,4	1467,8	17,5	1485,3
29/10/2024 19:20	833,3	236,1	202,9	176,2	1448,5	1469,5	14,3	1483,8
29/10/2024 19:25	826,3	231,8	200,8	167,8	1426,6	1458,6	11,4	1470
29/10/2024 19:30	818,7	226	201,7	157,6	1404	1439,7	8,8	1448,5
29/10/2024 19:35	813,2	219	204,7	146,2	1383,2	1417,6	6,8	1424,4
29/10/2024 19:40	811,3	210,9	207,9	134	1364,1	1395,7	5,1	1400,8
29/10/2024 19:45	813,2	201,9	209,5	121,4	1346	1375,6	3,7	1379,3
29/10/2024 19:50	818,2	192,2	208,2	108,8	1327,5	1356,9	2,7	1359,6
29/10/2024 19:55	825	181,9	204	96,6	1307,5	1338,6	1,9	1340,5
29/10/2024 20:00	831,9	171,2	197,7	84,9	1285,7	1319,5	1,3	1320,8
29/10/2024 20:05	836,8	160,2	190,7	73,9	1261,7	1298,8	0,9	1299,7
29/10/2024 20:10	838,3	148,9	184,2	63,9	1235,2	1276,1	0,6	1276,7
29/10/2024 20:15	835,4	137,5	178,7	54,7	1206,3	1251,1	0,4	1251,5
29/10/2024 20:20	828,4	126	174,2	46,5	1175,1	1223,6	0,3	1223,9
29/10/2024 20:25	818,2	114,6	170,1	39,3	1142,1	1193,8	0,2	1194
29/10/2024 20:30	806	103,4	165,3	33	1107,6	1161,9	0,1	1162
29/10/2024 20:35	793,4	92,5	158,9	27,5	1072,3	1128,3	0,1	1128,4
29/10/2024 20:40	781	82,1	150,7	22,8	1036,5	1093,5	0	1093,5
29/10/2024 20:45	768,5	72,3	141	18,8	1000,6	1058	0	1058
29/10/2024 20:50	754,4	63,2	131,3	15,4	964,2	1022,2	0	1022,2
29/10/2024 20:55	736,5	54,8	122,2	12,6	926,1	986,1	0	986,1
29/10/2024 21:00	713,8	47,2	113,4	10,2	884,6	949	0	949
29/10/2024 21:05	686,7	40,3	104,2	8,2	839,5	909,5	0	909,5
29/10/2024 21:10	656,6	34,2	94	6,6	791,4	866,6	0	866,6
29/10/2024 21:15	624,3	28,9	82,7	5,3	741,2	820,3	0	820,3
29/10/2024 21:20	589,4	24,3	70,7	4,2	688,6	771,3	0	771,3
29/10/2024 21:25	550,7	20,2	58,7	3,4	633,1	720,2	0	720,2
29/10/2024 21:30	507,4	16,8	47,4	2,7	574,3	666,4	0	666,4
29/10/2024 21:35	459,5	13,9	37,4	2,1	512,9	609,5	0	609,5
29/10/2024 21:40	408,4	11,4	28,8	1,6	450,2	549,7	0	549,7
29/10/2024 21:45	356,1	9,3	21,8	1,3	388,5	487,8	0	487,8
29/10/2024 21:50	304,7	7,6	16,3	1	329,5	425,5	0	425,5
29/10/2024 21:55	256,3	6,1	12,1	0,7	275,2	364,9	0	364,9
29/10/2024 22:00	212,2	4,9	9	0,5	226,7	307,8	0	307,8
29/10/2024 22:05	173,3	3,9	6,9	0,4	184,6	255,8	0	255,8
29/10/2024 22:10	140	3,2	5,5	0,3	149	209,9	0	209,9
29/10/2024 22:15	112,3	2,5	4,6	0,2	119,6	170,3	0	170,3
29/10/2024 22:20	89,7	2	4,2	0,2	96,1	137,2	0	137,2
29/10/2024 22:25	71,7	1,7	4,3	0,1	77,9	110,2	0	110,2
29/10/2024 22:30	57,9	1,6	5	0,1	64,5	88,8	0	88,8
29/10/2024 22:35	47,6	1,6	6,2	0,1	55,4	72,5	0	72,5
29/10/2024 22:40	40,4	1,9	7,9	0,1	50,3	60,9	0,1	61
29/10/2024 22:45	36,3	2,5	10,2	0,1	49	53,4	0,1	53,5
29/10/2024 22:50	35,3	3,3	13,4	0,2	52,2	49,8	0,1	49,9
29/10/2024 22:55	37,6	4,3	18	0,2	60,1	50,3	0,1	50,4
29/10/2024 23:00	43,1	5,4	24	0,3	72,8	55,4	0,1	55,5
29/10/2024 23:05	51,9	6,6	31,1	0,3	89,9	65,2	0,1	65,3
29/10/2024 23:10	64,2	7,8	38,7	0,4	111,1	79,7	0,1	79,8

Tiempo	Caudal (m³/s)							
	TP-GA3	Gallego-IC3	TP-GA5	Gallego-IC5	N11	TP-GA6	Gallego-IC6	Subsistema Gallego
29/10/2024 23:15	80,3	8,9	45,8	0,4	135,5	98,4	0,1	98,5
29/10/2024 23:20	100,2	9,8	51,5	0,5	162	120,8	0,1	120,9
29/10/2024 23:25	123,2	10,5	54,9	0,5	189,1	146,1	0	146,1
29/10/2024 23:30	147,6	10,9	55,6	0,5	214,6	172,8	0	172,8
29/10/2024 23:35	170,9	11,1	53,8	0,4	236,2	199,3	0	199,3
29/10/2024 23:40	190,2	11	49,8	0,4	251,4	223,2	0	223,2
29/10/2024 23:45	203,4	10,7	44,3	0,4	258,9	242,3	0,1	242,4
29/10/2024 23:50	209,5	10,3	38,1	0,5	258,4	254,4	0,3	254,7
29/10/2024 23:55	208,4	10	31,7	0,8	250,8	258,7	0,8	259,5
30/10/2024 0:00	200,8	9,8	25,7	1,4	237,7	255,4	1,8	257,2
30/10/2024 0:05	188,1	9,9	20,3	2,7	221	245,6	3,1	248,7
30/10/2024 0:10	171,7	10,5	15,8	4,5	202,5	231	4,2	235,2
30/10/2024 0:15	153,2	11,3	12,4	6,8	183,7	213,6	5	218,6
30/10/2024 0:20	134,1	12,4	10	9,4	165,9	195	5,3	200,3
30/10/2024 0:25	115,6	13,4	8,8	11,9	149,7	176,6	5,1	181,7
30/10/2024 0:30	98,4	14,4	8,4	14,2	135,3	159,4	4,5	163,9
30/10/2024 0:35	83	15,1	8,5	16,1	122,6	143,9	3,8	147,7
30/10/2024 0:40	69,6	15,5	8,5	17,4	111	130,2	3,1	133,3
30/10/2024 0:45	58,3	15,6	8,3	18,2	100,4	117,9	2,4	120,3
30/10/2024 0:50	49	15,3	7,8	18,4	90,4	106,7	1,8	108,5
30/10/2024 0:55	41,4	14,8	6,9	18,1	81,2	96,4	1,3	97,7
30/10/2024 1:00	35,2	14	5,9	17,4	72,5	86,7	0,9	87,6
30/10/2024 1:05	30	13	4,9	16,4	64,4	77,7	0,6	78,3
30/10/2024 1:10	25,7	12	3,9	15,2	56,7	69,2	0,4	69,6
30/10/2024 1:15	21,9	10,8	3	13,9	49,6	61,3	0,3	61,6
30/10/2024 1:20	18,6	9,7	2,2	12,5	43	53,9	0,2	54,1
30/10/2024 1:25	15,7	8,5	1,6	11	36,9	46,9	0,1	47
30/10/2024 1:30	13,1	7,5	1,2	9,7	31,5	40,5	0,1	40,6
30/10/2024 1:35	10,9	6,5	0,8	8,4	26,6	34,7	0,1	34,8
30/10/2024 1:40	9	5,5	0,6	7,2	22,3	29,5	0	29,5
30/10/2024 1:45	7,3	4,7	0,4	6,1	18,6	24,9	0	24,9
30/10/2024 1:50	6	4	0,3	5,2	15,4	20,8	0	20,8
30/10/2024 1:55	4,8	3,3	0,2	4,3	12,7	17,3	0	17,3
30/10/2024 2:00	3,8	2,8	0,1	3,6	10,4	14,3	0	14,3
30/10/2024 2:05	3,1	2,3	0,1	3	8,4	11,7	0	11,7
30/10/2024 2:10	2,4	1,9	0,1	2,5	6,8	9,6	0	9,6
30/10/2024 2:15	1,9	1,5	0	2	5,5	7,8	0	7,8
30/10/2024 2:20	1,5	1,3	0	1,6	4,4	6,3	0	6,3
30/10/2024 2:25	1,2	1	0	1,3	3,5	5,1	0	5,1
30/10/2024 2:30	0,9	0,8	0	1,1	2,8	4,1	0	4,1
30/10/2024 2:35	0,7	0,7	0	0,9	2,2	3,3	0	3,3
30/10/2024 2:40	0,6	0,5	0	0,7	1,8	2,6	0	2,6
30/10/2024 2:45	0,4	0,4	0	0,5	1,4	2	0	2
30/10/2024 2:50	0,3	0,3	0	0,4	1,1	1,6	0	1,6
30/10/2024 2:55	0,2	0,3	0	0,3	0,8	1,3	0	1,3
30/10/2024 3:00	0,2	0,2	0	0,3	0,7	1	0	1
30/10/2024 3:05	0,1	0,2	0	0,2	0,5	0,8	0	0,8
30/10/2024 3:10	0,1	0,1	0	0,2	0,4	0,6	0	0,6
30/10/2024 3:15	0,1	0,1	0	0,1	0,3	0,5	0	0,5
30/10/2024 3:20	0,1	0,1	0	0,1	0,2	0,4	0	0,4
30/10/2024 3:25	0	0,1	0	0,1	0,2	0,3	0	0,3
30/10/2024 3:30	0	0	0	0,1	0,1	0,2	0	0,2
30/10/2024 3:35	0	0	0	0	0,1	0,2	0	0,2
30/10/2024 3:40	0	0	0	0	0,1	0,1	0	0,1
30/10/2024 3:45	0	0	0	0	0,1	0,1	0	0,1
30/10/2024 3:50	0	0	0	0	0	0,1	0	0,1
30/10/2024 3:55	0	0	0	0	0	0	0	0
30/10/2024 4:00	0	0	0	0	0	0	0	0
30/10/2024 4:05	0	0	0	0	0	0	0	0
30/10/2024 4:10	0	0	0	0	0	0	0	0
30/10/2024 4:15	0	0	0	0	0	0	0	0
30/10/2024 4:20	0	0	0	0	0	0	0	0
30/10/2024 4:25	0	0	0	0	0	0	0	0
30/10/2024 4:30	0	0	0	0	0	0	0	0
30/10/2024 4:35	0	0	0	0	0	0	0	0
30/10/2024 4:40	0	0	0	0	0	0	0	0
30/10/2024 4:45	0	0	0	0	0	0	0	0
30/10/2024 4:50	0	0	0	0	0	0	0	0
30/10/2024 4:55	0	0	0	0	0	0	0	0
30/10/2024 5:00	0	0	0	0	0	0	0	0
30/10/2024 5:05	0	0	0	0	0	0	0	0
30/10/2024 5:10	0	0	0	0	0	0	0	0
30/10/2024 5:15	0	0	0	0	0	0	0	0
30/10/2024 5:20	0	0	0	0	0	0	0	0
30/10/2024 5:25	0	0	0	0	0	0	0	0
30/10/2024 5:30	0	0	0	0	0	0	0	0
30/10/2024 5:35	0	0	0	0	0	0	0	0
30/10/2024 5:40	0	0	0	0	0	0	0	0
30/10/2024 5:45	0	0	0	0	0	0	0	0
30/10/2024 5:50	0	0	0	0	0	0	0	0
30/10/2024 5:55	0	0	0	0	0	0	0	0
30/10/2024 6:00	0	0	0	0	0	0	0	0

Sistema Horteta – Subsistema Horteta [1]

Tiempo	Caudal (m³/s)								
	Horteta-SC1	N14	TP-HO2	Horteta-IC2	N15	TP-HO3	Horteta-IC3	Subsistema Los Giles	N16
29/10/2024 7:00	0	0	0	0	0	0	0	0	0
29/10/2024 7:05	0	0	0	0	0	0	0	0	0
29/10/2024 7:10	0	0	0	0	0	0	0	0	0
29/10/2024 7:15	0	0	0	0	0	0	0	0	0
29/10/2024 7:20	0	0	0	0	0	0	0	0	0
29/10/2024 7:25	0	0	0	0	0	0	0	0	0
29/10/2024 7:30	0	0	0	0	0	0	0	0	0
29/10/2024 7:35	0	0	0	0	0	0	0	0	0
29/10/2024 7:40	0	0	0	0	0	0	0	0	0
29/10/2024 7:45	0	0	0	0	0	0	0	0	0
29/10/2024 7:50	0	0	0	0	0	0	0	0	0
29/10/2024 7:55	0	0	0	0	0	0	0	0	0
29/10/2024 8:00	0,1	0,1	0	0	0	0	0	0	0
29/10/2024 8:05	0,2	0,2	0	0	0	0	0	0	0
29/10/2024 8:10	0,6	0,6	0,1	0	0,1	0	0	0	0
29/10/2024 8:15	1,5	1,5	0,3	0,1	0,4	0	0	0	0
29/10/2024 8:20	2,8	2,8	0,8	0,3	1,1	0	0	0,1	0,2
29/10/2024 8:25	4,9	4,9	1,7	0,7	2,5	0,1	0	0,5	0,5
29/10/2024 8:30	7,9	7,9	3,3	1,5	4,8	0,3	0	1	1,3
29/10/2024 8:35	11,9	11,9	5,5	2,4	8	0,9	0	1,9	2,8
29/10/2024 8:40	17	17	8,7	3,6	12,3	2,2	0	3,3	5,5
29/10/2024 8:45	23,2	23,2	12,9	5,5	18,4	4,3	0	5	9,3
29/10/2024 8:50	30,9	30,9	18,2	8,1	26,3	7,3	0	7	14,3
29/10/2024 8:55	40,2	40,2	24,8	10,7	35,5	11,5	0	9,1	20,5
29/10/2024 9:00	50,9	50,9	32,8	12,7	45,5	17,2	0	11,9	29,1
29/10/2024 9:05	62,8	62,8	42,3	13,7	56	24,7	0	15,7	40,4
29/10/2024 9:10	75,3	75,3	53,3	13,7	67	33,7	0	19,7	53,4
29/10/2024 9:15	87,8	87,8	65,3	12,8	78,1	43,5	0	22,9	66,4
29/10/2024 9:20	99,6	99,6	77,8	11,3	89,1	53,9	0	24,8	78,7
29/10/2024 9:25	110	110	90,2	9,4	99,6	64,8	0	25	89,8
29/10/2024 9:30	118,6	118,6	101,7	7,6	109,3	75,9	0	23,8	99,7
29/10/2024 9:35	125	125	111,7	6,1	117,9	86,9	0	21,5	108,4
29/10/2024 9:40	129,2	129,2	119,9	5	124,9	97,5	0	18,4	116
29/10/2024 9:45	131,1	131,1	125,8	4,2	130	107,4	0	15,3	122,6
29/10/2024 9:50	131	131	129,5	3,6	133,1	116,2	0	12,4	128,6
29/10/2024 9:55	129	129	131,1	3,1	134,2	123,5	0	10,1	133,6
29/10/2024 10:00	125,5	125,5	130,6	2,7	133,3	129	0	8,3	137,3
29/10/2024 10:05	120,7	120,7	128,3	2,5	130,8	132,5	0	7	139,5
29/10/2024 10:10	114,9	114,9	124,5	2,5	127	134	0	5,9	139,8
29/10/2024 10:15	108,5	108,5	119,5	2,6	122,1	133,5	0	5	138,5
29/10/2024 10:20	101,9	101,9	113,6	2,9	116,5	131,3	0	4,4	135,8
29/10/2024 10:25	95,2	95,2	107,2	3,2	110,4	127,8	0	4	131,8
29/10/2024 10:30	88,7	88,7	100,5	3,4	104	123,1	0	3,9	127,1
29/10/2024 10:35	82,6	82,6	93,9	3,5	97,4	117,6	0,1	4,2	121,9
29/10/2024 10:40	76,8	76,8	87,5	3,3	90,8	111,6	0,1	4,5	116,2
29/10/2024 10:45	71,5	71,5	81,4	3	84,4	105,2	0,1	4,9	110,2
29/10/2024 10:50	66,5	66,5	75,8	2,6	78,4	98,7	0,1	5,1	103,8
29/10/2024 10:55	61,9	61,9	70,5	2,1	72,6	92,1	0,1	5	97,2
29/10/2024 11:00	57,5	57,5	65,6	1,7	67,3	85,7	0,1	4,6	90,4
29/10/2024 11:05	53,3	53,3	61	1,3	62,3	79,6	0,1	4	83,7
29/10/2024 11:10	49,2	49,2	56,6	1	57,6	73,8	0,1	3,4	77,2
29/10/2024 11:15	45,4	45,4	52,5	0,7	53,2	68,4	0,1	2,8	71,2
29/10/2024 11:20	41,6	41,6	48,5	0,5	49	63,3	0	2,2	65,5
29/10/2024 11:25	38	38	44,6	0,4	45	58,6	0	1,7	60,3
29/10/2024 11:30	34,6	34,6	40,9	0,3	41,2	54,1	0	1,3	55,4
29/10/2024 11:35	31,3	31,3	37,3	0,3	37,6	49,8	0	1	50,8
29/10/2024 11:40	28,2	28,2	33,9	0,2	34,2	45,8	0	0,7	46,6
29/10/2024 11:45	25,3	25,3	30,7	0,2	30,9	42	0	0,6	42,6
29/10/2024 11:50	22,6	22,6	27,6	0,2	27,8	38,3	0	0,5	38,8
29/10/2024 11:55	20,1	20,1	24,8	0,1	24,9	34,8	0	0,4	35,3
29/10/2024 12:00	17,9	17,9	22,1	0,1	22,2	31,5	0	0,3	31,9
29/10/2024 12:05	15,8	15,8	19,7	0,1	19,8	28,4	0	0,3	28,7
29/10/2024 12:10	13,9	13,9	17,4	0,1	17,5	25,5	0	0,2	25,7
29/10/2024 12:15	12,2	12,2	15,4	0	15,4	22,8	0	0,2	23
29/10/2024 12:20	10,6	10,6	13,5	0	13,6	20,3	0	0,1	20,4
29/10/2024 12:25	9,2	9,2	11,9	0	11,9	18	0	0,1	18,1
29/10/2024 12:30	8	8	10,3	0	10,4	15,8	0	0,1	15,9
29/10/2024 12:35	6,9	6,9	9	0	9	13,9	0	0,1	14
29/10/2024 12:40	5,9	5,9	7,8	0	7,8	12,2	0	0	12,2
29/10/2024 12:45	5,1	5,1	6,7	0	6,7	10,7	0	0	10,7
29/10/2024 12:50	4,3	4,3	5,8	0	5,8	9,3	0	0	9,3
29/10/2024 12:55	3,7	3,7	4,9	0	4,9	8	0	0	8
29/10/2024 13:00	3,1	3,1	4,2	0	4,2	6,9	0	0	6,9
29/10/2024 13:05	2,6	2,6	3,5	0	3,5	5,9	0	0	6
29/10/2024 13:10	2,2	2,2	3	0	3	5,1	0	0	5,1
29/10/2024 13:15	1,8	1,8	2,5	0	2,5	4,3	0	0	4,3
29/10/2024 13:20	1,5	1,5	2,1	0	2,1	3,7	0	0	3,7
29/10/2024 13:25	1,2	1,2	1,7	0	1,7	3,1	0	0	3,1
29/10/2024 13:30	1	1	1,4	0	1,4	2,6	0	0	2,6
29/10/2024 13:35	0,8	0,8	1,2	0	1,2	2,2	0	0	2,2
29/10/2024 13:40	0,7	0,7	1	0	1	1,8	0	0	1,8
29/10/2024 13:45	0,6	0,6	0,8	0	0,8	1,5	0	0	1,5
29/10/2024 13:50	0,5	0,5	0,7	0	0,7	1,2	0	0	1,2
29/10/2024 13:55	0,4	0,4	0,6	0	0,6	1	0	0	1
29/10/2024 14:00	0,3	0,3	0,5	0	0,5	0,8	0	0	0,8
29/10/2024 14:05	0,3	0,3	0,4	0	0,4	0,7	0	0	0,7
29/10/2024 14:10	0,2	0,2	0,3	0	0,3	0,6	0	0	0,6
29/10/2024 14:15	0,2	0,2	0,2	0	0,2	0,5	0	0	0,5
29/10/2024 14:20	0,1	0,1	0,2	0	0,2	0,4	0	0	0,4
29/10/2024 14:25	0,1	0,1	0,2	0	0,2	0,3	0	0	0,3

Tiempo	Caudal (m³/s)								
	Horteta-SC1	N14	TP-HO2	Horteta-IC2	N15	TP-HO3	Horteta-IC3	Subsistema Los Giles	N16
29/10/2024 14:30	0,1	0,1	0,1	0	0,1	0,3	0	0	0,3
29/10/2024 14:35	0,1	0,1	0,1	0	0,1	0,2	0	0	0,2
29/10/2024 14:40	0,1	0,1	0,1	0	0,1	0,2	0	0	0,2
29/10/2024 14:45	0,1	0,1	0,1	0,1	0,2	0,1	0	0	0,1
29/10/2024 14:50	0,1	0,1	0,1	0,4	0,4	0,1	0	0	0,1
29/10/2024 14:55	0,4	0,4	0,1	0,8	0,9	0,1	0	0	0,2
29/10/2024 15:00	0,8	0,8	0,2	1,4	1,6	0,2	0	0,1	0,3
29/10/2024 15:05	1,6	1,6	0,5	2,2	2,7	0,4	0	0,4	0,8
29/10/2024 15:10	2,8	2,8	1	3,1	4	0,8	0,1	0,9	1,8
29/10/2024 15:15	4,5	4,5	1,8	4	5,9	1,5	0,1	1,8	3,3
29/10/2024 15:20	6,9	6,9	3,2	5,2	8,3	2,4	0,2	2,8	5,4
29/10/2024 15:25	9,9	9,9	5	6,5	11,5	3,8	0,2	4	8
29/10/2024 15:30	13,9	13,9	7,5	8,2	15,6	5,5	0,3	5,4	11,2
29/10/2024 15:35	18,8	18,8	10,7	10,1	20,8	7,8	0,4	6,9	15,2
29/10/2024 15:40	25	25	14,8	12,7	27,6	10,9	0,6	8,8	20,3
29/10/2024 15:45	32,5	32,5	20	16,2	36,2	14,8	0,8	11,1	26,7
29/10/2024 15:50	41,7	41,7	26,5	20,7	47,2	19,8	1,2	13,8	34,8
29/10/2024 15:55	53	53	34,3	26,4	60,7	26,2	1,7	17,1	45
29/10/2024 16:00	66,8	66,8	44	33,2	77,1	34,5	2,5	21,2	58,1
29/10/2024 16:05	83,5	83,5	55,8	40,3	96,1	45	3,4	26,4	74,8
29/10/2024 16:10	103,3	103,3	70,1	47,2	117,4	58	4,6	33	95,6
29/10/2024 16:15	126,4	126,4	87,5	53,5	141	73,9	5,8	41,2	120,9
29/10/2024 16:20	152,7	152,7	107,9	59,2	167,1	92,3	7,2	50,4	149,9
29/10/2024 16:25	181,9	181,9	131,7	64,4	196	113,1	8,6	59,8	181,6
29/10/2024 16:30	213,4	213,4	158,5	69,2	227,8	136,2	10	69	215,3
29/10/2024 16:35	247	247	188,2	74,4	262,6	161,9	11,6	77,4	250,9
29/10/2024 16:40	282,2	282,2	220,1	80,8	301	190,3	13,4	84,8	288,4
29/10/2024 16:45	319,2	319,2	254	89,4	343,4	221,4	15,4	91,2	328,1
29/10/2024 16:50	358,2	358,2	289,6	100	389,6	255,6	17,8	97,6	371,1
29/10/2024 16:55	399,4	399,4	327	111,5	438,5	293,3	20,6	105,3	419,1
29/10/2024 17:00	443,3	443,3	366,4	123,4	489,9	334,9	23,7	115,2	473,9
29/10/2024 17:05	489,9	489,9	408,2	136	544,2	380,4	27,3	127,7	535,3
29/10/2024 17:10	539,7	539,7	452,6	149,6	602,2	428,7	31,2	141,8	601,6
29/10/2024 17:15	593	593	499,9	163,7	663,5	479,6	35,4	156,7	671,7
29/10/2024 17:20	649,9	649,9	550,4	176,6	727	533,4	39,9	172,7	745,9
29/10/2024 17:25	709,9	709,9	604,4	186,3	790,7	590,6	44,2	189,8	824,6
29/10/2024 17:30	772,1	772,1	661,9	191,2	853,1	651,3	48,1	207,7	907,1
29/10/2024 17:35	835	835	722,3	190,8	913,1	714,3	51,3	224,9	990,4
29/10/2024 17:40	896,5	896,5	784,7	185,2	969,8	778	53,4	239,2	1070,6
29/10/2024 17:45	954,4	954,4	847,3	175,6	1022,9	840,6	54,6	248,5	1143,7
29/10/2024 17:50	1006,3	1006,3	908,1	164,7	1072,8	901,1	55	251,6	1207,6
29/10/2024 17:55	1050,4	1050,4	964,7	155,3	1120	958,5	55	248,3	1261,8
29/10/2024 18:00	1085,4	1085,4	1015,1	150,2	1165,3	1012,3	55,3	239,3	1306,9
29/10/2024 18:05	1111,2	1111,2	1057,4	151,6	1209	1062,8	56,4	226,6	1345,8
29/10/2024 18:10	1128,6	1128,6	1090,5	158,8	1249,4	1110,6	58,6	212,8	1382
29/10/2024 18:15	1139,3	1139,3	1114,7	169,4	1284,1	1156,3	61,8	201	1419,1
29/10/2024 18:20	1145,3	1145,3	1130,7	180,8	1311,5	1200,2	65,6	194,5	1460,4
29/10/2024 18:25	1148,8	1148,8	1140,5	191,3	1331,7	1241,3	69,5	194,8	1505,6
29/10/2024 18:30	1151,8	1151,8	1146	198,8	1344,8	1277,2	73,1	201,1	1551,4
29/10/2024 18:35	1155,2	1155,2	1149,4	201,3	1350,7	1306	75,9	211,6	1593,6
29/10/2024 18:40	1159,7	1159,7	1152,5	198,6	1351,1	1327,7	77,5	224,2	1629,4
29/10/2024 18:45	1164,9	1164,9	1156,1	192,9	1349	1342,2	78,1	236,2	1656,4
29/10/2024 18:50	1170,7	1170,7	1160,7	187,7	1348,4	1349,6	77,8	244,5	1671,9
29/10/2024 18:55	1177,4	1177,4	1166,1	186,8	1352,9	1351	77,2	247,8	1676
29/10/2024 19:00	1185,6	1185,6	1172,1	191,3	1363,4	1349,4	76,9	246,8	1673,1
29/10/2024 19:05	1196,6	1196,6	1179	199,7	1378,7	1348,5	76,9	244,9	1670,3
29/10/2024 19:10	1211,2	1211,2	1187,8	208,4	1396,2	1352	77,4	246,1	1675,5
29/10/2024 19:15	1229,8	1229,8	1199,5	213,3	1412,9	1361,3	77,8	252,8	1691,9
29/10/2024 19:20	1251,7	1251,7	1215	212,2	1427,2	1375,6	77,8	264,5	1718
29/10/2024 19:25	1275,4	1275,4	1234,2	204,6	1438,8	1392,7	77	277,8	1747,5
29/10/2024 19:30	1298,9	1298,9	1256,4	192,5	1448,9	1409,5	75,2	288,3	1773
29/10/2024 19:35	1320,4	1320,4	1280,1	178,5	1458,5	1424,3	72,5	292,2	1789,1
29/10/2024 19:40	1337,9	1337,9	1303,2	164,7	1467,9	1436,5	69,2	288,3	1794
29/10/2024 19:45	1350,2	1350,2	1323,9	151,9	1475,8	1446,9	65,5	277,7	1790
29/10/2024 19:50	1356	1356	1340,4	139,4	1479,7	1456,6	61,5	262,7	1780,8
29/10/2024 19:55	1354,5	1354,5	1351,3	125,8	1477,1	1466	57,3	246,1	1769,4
29/10/2024 20:00	1344,8	1344,8	1355,7	110,4	1466,1	1474,2	52,7	229,2	1756,1
29/10/2024 20:05	1326,3	1326,3	1352,6	93,7	1446,2	1478,9	47,8	212,1	1738,8
29/10/2024 20:10	1298,4	1298,4	1341,1	76,5	1417,6	1477,6	42,6	193,7	1713,9
29/10/2024 20:15	1261,2	1261,2	1320,7	60,2	1380,9	1468,3	37,2	173,3	1678,8
29/10/2024 20:20	1215	1215	1291	45,7	1336,7	1450,2	31,9	150,8	1632,9
29/10/2024 20:25	1160,6	1160,6	1252	33,6	1285,6	1423,3	26,8	127,3	1577,5
29/10/2024 20:30	1099,1	1099,1	1204,1	23,9	1228	1388,3	22,1	104,3	1514,7
29/10/2024 20:35	1031,9	1031,9	1148,3	16,6	1164,9	1345,5	17,9	82,9	1446,4
29/10/2024 20:40	960,7	960,7	1085,6	11,2	1096,9	1295,8	14,2	64,2	1374,2
29/10/2024 20:45	887	887	1017,7	7,5	1025,2	1239,5	11,1	48,5	1299,1
29/10/2024 20:50	812,5	812,5	946	4,9	950,9	1177,5	8,6	35,8	1221,9
29/10/2024 20:55	738,5	738,5	872,1	3,3	875,4	1110,5	6,6	26	1143
29/10/2024 21:00	666,3	666,3	797,7	2,2	799,9	1039,5	5	18,7	1063,1
29/10/2024 21:05	597	597	724,1	1,5	725,6	965,8	3,7	13,3	982,8
29/10/2024 21:10	531,3	531,3	652,5	1	653,5	890,5	2,8	9,5	902,7
29/10/2024 21:15	469,8	469,8	583,9	0,7	584,5	815	2	6,7	823,8
29/10/2024 21:20	413	413	519	0,5	519,5	740,4	1,5	4,8	746,7
29/10/2024 21:25	361	361	458,5	0,3	458,8	667,9	1,1	3,4	672,4
29/10/2024 21:30	313,7	313,7	402,6	0,2	402,8	598,3	0,8	2,4	601,5
29/10/2024 21:35	271,3	271,3	351,5	0,1	351,6	532,5	0,5	1,7	534,8
29/10/2024 21:40	233,4	233,4	305,2	0,1	305,3	470,9	0,4	1,2	472,5
29/10/2024 21:45	199,9	199,9	263,7	0	263,7	414	0,3	0,9	415,1
29/10/2024 21:50	170,4	170,4	226,7	0	226,7	361,9	0,2	0,6	362,6
29/10/2024 21:55	144,7	144,7	194	0,1	194,1	314,6	0,1	0,4	315,1
29/10/2024 22:00	122,4	122,4	165,3	0,2	165,5	272,1	0,1	0,3	272,4
29/10/2024 22:05	103,2	103,2	140,3	0,3	140,5	234,1	0,1	0,2	234,5
29/10/2024 22:10	86,8	86,8	118,6	0,4	119	200,6	0,1	0,2	200,9

Tiempo	Caudal (m³/s)								
	Horteta-SC1	N14	TP-HO2	Horteta-IC2	N15	TP-HO3	Horteta-IC3	Subsistema Los Giles	N16
29/10/2024 22:15	72,8	72,8	99,9	0,5	100,4	171,2	0,1	0,3	171,6
29/10/2024 22:20	61	61	84	1,1	85,1	145,5	0,2	0,4	146,1
29/10/2024 22:25	51,3	51,3	70,4	3,1	73,5	123,3	0,4	0,6	124,2
29/10/2024 22:30	43,9	43,9	59	6,3	65,4	104,1	0,8	0,9	105,8
29/10/2024 22:35	38,9	38,9	49,9	10,3	60,2	88,2	1,5	1,7	91,4
29/10/2024 22:40	36,5	36,5	42,9	14,4	57,4	75,8	2,4	3,9	82
29/10/2024 22:45	36,7	36,7	38,4	18,4	56,8	67	3,4	7,5	78
29/10/2024 22:50	39,5	39,5	36,5	21,9	58,4	61,2	4,5	12,4	78,1
29/10/2024 22:55	44,7	44,7	37,3	24,8	62	57,9	5,6	17,7	81,3
29/10/2024 23:00	52,2	52,2	40,5	26,6	67,1	56,9	6,6	23,1	86,6
29/10/2024 23:05	61,3	61,3	46,2	26,8	73	58,1	7,4	28	93,5
29/10/2024 23:10	71,5	71,5	54	25,4	79,4	61,3	7,8	32,4	101,5
29/10/2024 23:15	81,9	81,9	63,4	22,7	86	66,1	8	35,4	109,5
29/10/2024 23:20	91,7	91,7	73,5	19,2	92,8	71,8	7,7	36,8	116,3
29/10/2024 23:25	100,5	100,5	83,8	15,6	99,5	78,1	7,3	36	121,4
29/10/2024 23:30	107,7	107,7	93,5	12,3	105,8	84,7	6,6	33,5	124,8
29/10/2024 23:35	113	113	101,9	9,5	111,4	91,4	5,9	29,6	126,9
29/10/2024 23:40	116,3	116,3	108,7	7,3	116	98,1	5,1	25,3	128,5
29/10/2024 23:45	117,5	117,5	113,6	5,8	119,4	104,6	4,4	20,9	129,9
29/10/2024 23:50	116,8	116,8	116,5	5,1	121,6	110,3	4	17,1	131,4
29/10/2024 23:55	114,4	114,4	117,3	5,2	122,6	115,1	3,8	13,9	132,9
30/10/2024 0:00	110,6	110,6	116,3	6,1	122,4	118,7	4	11,6	134,3
30/10/2024 0:05	105,7	105,7	113,7	7,1	120,8	121,1	4,4	10,3	135,8
30/10/2024 0:10	99,9	99,9	109,6	7,8	117,5	122,4	4,9	9,6	136,8
30/10/2024 0:15	93,6	93,6	104,5	7,9	112,4	122,4	5,3	9,3	137,1
30/10/2024 0:20	86,9	86,9	98,7	7,3	106	121,1	5,5	9,3	135,9
30/10/2024 0:25	80	80	92,2	6,3	98,5	118,1	5,4	9,1	132,7
30/10/2024 0:30	73,1	73,1	85,5	5,1	90,6	113,4	5,2	8,7	127,3
30/10/2024 0:35	66,4	66,4	78,6	3,9	82,5	107,3	4,7	7,8	119,8
30/10/2024 0:40	59,8	59,8	71,8	2,9	74,7	100	4,2	6,8	111,1
30/10/2024 0:45	53,5	53,5	65	2	67,1	92,2	3,6	5,8	101,6
30/10/2024 0:50	47,6	47,6	58,5	1,4	59,9	84,2	3	4,7	91,9
30/10/2024 0:55	42,1	42,1	52,3	0,9	53,3	76,2	2,4	3,8	82,5
30/10/2024 1:00	37	37	46,5	0,6	47,1	68,6	1,9	3	73,5
30/10/2024 1:05	32,4	32,4	41,1	0,4	41,5	61,4	1,5	2,3	65,2
30/10/2024 1:10	28,2	28,2	36,1	0,3	36,4	54,6	1,2	1,7	57,5
30/10/2024 1:15	24,4	24,4	31,6	0,2	31,7	48,4	0,9	1,3	50,5
30/10/2024 1:20	21	21	27,4	0,1	27,5	42,6	0,7	1	44,3
30/10/2024 1:25	18,1	18,1	23,7	0,1	23,8	37,4	0,5	0,7	38,6
30/10/2024 1:30	15,4	15,4	20,4	0	20,5	32,6	0,3	0,5	33,5
30/10/2024 1:35	13,1	13,1	17,5	0	17,6	28,4	0,3	0,4	29
30/10/2024 1:40	11,1	11,1	15	0	15	24,5	0,2	0,2	25
30/10/2024 1:45	9,4	9,4	12,7	0	12,7	21,1	0,1	0,2	21,5
30/10/2024 1:50	7,9	7,9	10,8	0	10,8	18,1	0,1	0,1	18,4
30/10/2024 1:55	6,6	6,6	9,1	0	9,1	15,5	0,1	0,1	15,7
30/10/2024 2:00	5,5	5,5	7,7	0	7,7	13,2	0	0,1	13,3
30/10/2024 2:05	4,6	4,6	6,4	0	6,4	11,2	0	0,1	11,3
30/10/2024 2:10	3,8	3,8	5,4	0	5,4	9,4	0	0	9,5
30/10/2024 2:15	3,2	3,2	4,5	0	4,5	7,9	0	0	8
30/10/2024 2:20	2,6	2,6	3,7	0	3,7	6,7	0	0	6,7
30/10/2024 2:25	2,2	2,2	3,1	0	3,1	5,6	0	0	5,6
30/10/2024 2:30	1,8	1,8	2,5	0	2,5	4,6	0	0	4,7
30/10/2024 2:35	1,5	1,5	2,1	0	2,1	3,9	0	0	3,9
30/10/2024 2:40	1,2	1,2	1,7	0	1,7	3,2	0	0	3,2
30/10/2024 2:45	1	1	1,4	0	1,4	2,6	0	0	2,6
30/10/2024 2:50	0,8	0,8	1,1	0	1,1	2,2	0	0	2,2
30/10/2024 2:55	0,6	0,6	0,9	0	0,9	1,8	0	0	1,8
30/10/2024 3:00	0,5	0,5	0,7	0	0,7	1,5	0	0	1,5
30/10/2024 3:05	0,4	0,4	0,6	0	0,6	1,2	0	0	1,2
30/10/2024 3:10	0,3	0,3	0,4	0	0,4	1	0	0	1
30/10/2024 3:15	0,2	0,2	0,3	0	0,3	0,8	0	0	0,8
30/10/2024 3:20	0,1	0,1	0,3	0	0,3	0,6	0	0	0,6
30/10/2024 3:25	0,1	0,1	0,2	0	0,2	0,5	0	0	0,5
30/10/2024 3:30	0,1	0,1	0,1	0	0,1	0,4	0	0	0,4
30/10/2024 3:35	0,1	0,1	0,1	0	0,1	0,3	0	0	0,3
30/10/2024 3:40	0	0	0,1	0	0,1	0,2	0	0	0,2
30/10/2024 3:45	0	0	0,1	0	0,1	0,1	0	0	0,1
30/10/2024 3:50	0	0	0	0	0	0,1	0	0	0,1
30/10/2024 3:55	0	0	0	0	0	0,1	0	0	0,1
30/10/2024 4:00	0	0	0	0	0	0,1	0	0	0,1
30/10/2024 4:05	0	0	0	0	0	0	0	0	0
30/10/2024 4:10	0	0	0	0	0	0	0	0	0
30/10/2024 4:15	0	0	0	0	0	0	0	0	0
30/10/2024 4:20	0	0	0	0	0	0	0	0	0
30/10/2024 4:25	0	0	0	0	0	0	0	0	0
30/10/2024 4:30	0	0	0	0	0	0	0	0	0
30/10/2024 4:35	0	0	0	0	0	0	0	0	0
30/10/2024 4:40	0	0	0	0	0	0	0	0	0
30/10/2024 4:45	0	0	0	0	0	0	0	0	0
30/10/2024 4:50	0	0	0	0	0	0	0	0	0
30/10/2024 4:55	0	0	0	0	0	0	0	0	0
30/10/2024 5:00	0	0	0	0	0	0	0	0	0

Sistema Horteta – Subsistema Horteta [2]

Tiempo	Caudal (m³/s)							
	TP-HO4	Horteta-IC4	Subsistema Les Canyes	Subsistema S. Domingo	N18	TP-HO5	Horteta-IC5	Sistema Horteta
29/10/2024 7:00	0	0	0	0	0	0	0	0
29/10/2024 7:05	0	0	0	0	0	0	0	0
29/10/2024 7:10	0	0	0	0	0	0	0	0
29/10/2024 7:15	0	0	0	0	0	0	0	0
29/10/2024 7:20	0	0	0	0	0	0	0	0
29/10/2024 7:25	0	0	0	0	0	0	0	0
29/10/2024 7:30	0	0	0	0	0	0	0	0
29/10/2024 7:35	0	0	0	0	0	0	0	0
29/10/2024 7:40	0	0	0	0	0	0	0	0
29/10/2024 7:45	0	0	0	0	0	0	0	0
29/10/2024 7:50	0	0	0	0	0	0	0	0
29/10/2024 7:55	0	0	0	0	0	0	0	0
29/10/2024 8:00	0	0	0	0	0	0	0	0
29/10/2024 8:05	0	0	0	0	0	0	0	0
29/10/2024 8:10	0	0	0	0	0	0	0	0
29/10/2024 8:15	0	0	0	0	0	0	0	0
29/10/2024 8:20	0	0	0	0	0	0	0	0
29/10/2024 8:25	0	0	0	0	0	0	0	0
29/10/2024 8:30	0,2	0	0	0	0,2	0	0	0
29/10/2024 8:35	0,5	0	0	0	0,5	0	0	0
29/10/2024 8:40	1,3	0	0	0	1,3	0,2	0	0,2
29/10/2024 8:45	2,8	0	0	0	2,8	0,7	0	0,7
29/10/2024 8:50	5,5	0	0	0	5,5	1,6	0	1,6
29/10/2024 8:55	9,3	0	0	0	9,3	3,4	0	3,4
29/10/2024 9:00	14,3	0	0	0	14,3	6,2	0	6,2
29/10/2024 9:05	20,5	0	0	0	20,5	10,3	0	10,3
29/10/2024 9:10	29,1	0	0	0	29,1	15,5	0	15,5
29/10/2024 9:15	40,4	0	0	0	40,4	22,3	0	22,3
29/10/2024 9:20	53,4	0	0	0	53,4	31,4	0	31,4
29/10/2024 9:25	66,4	0	0	0	66,4	43	0	43
29/10/2024 9:30	78,7	0	0	0	78,7	56	0	56
29/10/2024 9:35	89,8	0	0	0	89,8	68,9	0	68,9
29/10/2024 9:40	99,7	0	0	0	99,7	81	0	81
29/10/2024 9:45	108,4	0	0	0	108,4	91,8	0	91,8
29/10/2024 9:50	116	0	0	0	116	101,4	0	101,4
29/10/2024 9:55	122,6	0	0	0	122,6	109,9	0	109,9
29/10/2024 10:00	128,6	0	0	0	128,6	117,3	0	117,3
29/10/2024 10:05	133,6	0	0	0	133,6	123,8	0	123,8
29/10/2024 10:10	137,3	0	0	0	137,3	129,6	0	129,6
29/10/2024 10:15	139,5	0	0	0	139,5	134,3	0	134,3
29/10/2024 10:20	139,8	0	0	0	139,8	137,8	0	137,8
29/10/2024 10:25	138,5	0	0	0	138,5	139,5	0	139,5
29/10/2024 10:30	135,8	0	0	0	135,8	139,6	0	139,6
29/10/2024 10:35	131,8	0	0	0	131,8	138	0	138
29/10/2024 10:40	127,1	0	0	0	127,1	135	0	135
29/10/2024 10:45	121,9	0	0	0	121,9	130,9	0	130,9
29/10/2024 10:50	116,2	0	0	0	116,2	126	0	126
29/10/2024 10:55	110,2	0	0	0	110,2	120,7	0	120,7
29/10/2024 11:00	103,8	0	0	0	103,8	115	0	115
29/10/2024 11:05	97,2	0	0	0	97,2	108,9	0	108,9
29/10/2024 11:10	90,4	0	0	0	90,4	102,5	0	102,5
29/10/2024 11:15	83,7	0	0	0	83,7	95,8	0	95,8
29/10/2024 11:20	77,2	0	0	0	77,2	89	0	89
29/10/2024 11:25	71,2	0	0	0	71,2	82,4	0	82,4
29/10/2024 11:30	65,5	0	0	0	65,5	76	0	76
29/10/2024 11:35	60,3	0	0	0	60,3	70,1	0	70,1
29/10/2024 11:40	55,4	0	0	0	55,4	64,5	0	64,5
29/10/2024 11:45	50,8	0	0	0	50,8	59,3	0	59,3
29/10/2024 11:50	46,6	0	0	0	46,6	54,5	0	54,5
29/10/2024 11:55	42,6	0	0	0	42,6	50	0	50
29/10/2024 12:00	38,8	0	0	0	38,8	45,8	0	45,8
29/10/2024 12:05	35,3	0	0	0	35,3	41,8	0	41,8
29/10/2024 12:10	31,9	0	0	0	31,9	38,1	0	38,1
29/10/2024 12:15	28,7	0	0	0	28,7	34,6	0	34,6
29/10/2024 12:20	25,7	0	0	0	25,7	31,3	0	31,3
29/10/2024 12:25	23	0	0	0	23	28,1	0	28,1
29/10/2024 12:30	20,4	0	0	0	20,4	25,2	0	25,2
29/10/2024 12:35	18,1	0	0	0	18,1	22,5	0	22,5
29/10/2024 12:40	15,9	0	0	0	15,9	19,9	0	19,9
29/10/2024 12:45	14	0	0	0	14	17,6	0	17,6
29/10/2024 12:50	12,2	0	0	0	12,2	15,5	0	15,5
29/10/2024 12:55	10,7	0	0	0	10,7	13,6	0	13,6
29/10/2024 13:00	9,3	0	0	0	9,3	11,9	0	11,9
29/10/2024 13:05	8	0	0	0	8	10,4	0	10,4
29/10/2024 13:10	6,9	0	0	0	6,9	9	0	9
29/10/2024 13:15	6	0	0	0	6	7,8	0	7,8
29/10/2024 13:20	5,1	0	0	0	5,1	6,7	0	6,7
29/10/2024 13:25	4,3	0	0	0	4,3	5,8	0	5,8
29/10/2024 13:30	3,7	0	0	0	3,7	4,9	0	4,9
29/10/2024 13:35	3,1	0	0	0	3,1	4,2	0	4,2
29/10/2024 13:40	2,6	0	0	0	2,6	3,6	0	3,6
29/10/2024 13:45	2,2	0	0	0	2,2	3	0	3
29/10/2024 13:50	1,8	0	0	0	1,8	2,5	0	2,5
29/10/2024 13:55	1,5	0	0	0	1,5	2,1	0	2,1
29/10/2024 14:00	1,2	0	0	0	1,2	1,7	0	1,7
29/10/2024 14:05	1	0	0	0	1	1,4	0	1,4
29/10/2024 14:10	0,8	0	0	0	0,8	1,2	0	1,2
29/10/2024 14:15	0,7	0	0	0	0,7	1	0	1
29/10/2024 14:20	0,6	0	0	0	0,6	0,8	0	0,8
29/10/2024 14:25	0,5	0	0	0	0,5	0,7	0	0,7

Tiempo	Caudal (m³/s)							
	TP-HO4	Horteta-IC4	Subsistema Les Canyes	Subsistema S. Domingo	N18	TP-HO5	Horteta-IC5	Sistema Horteta
29/10/2024 14:30	0,4	0	0	0	0,4	0,6	0	0,6
29/10/2024 14:35	0,3	0	0	0	0,3	0,5	0	0,5
29/10/2024 14:40	0,3	0	0	0	0,3	0,4	0	0,4
29/10/2024 14:45	0,2	0	0	0	0,2	0,3	0	0,3
29/10/2024 14:50	0,2	0	0	0	0,2	0,2	0	0,2
29/10/2024 14:55	0,1	0	0	0	0,1	0,2	0	0,2
29/10/2024 15:00	0,1	0	0	0	0,1	0,2	0	0,2
29/10/2024 15:05	0,2	0	0	0	0,2	0,1	0	0,1
29/10/2024 15:10	0,3	0	0	0	0,3	0,1	0	0,1
29/10/2024 15:15	0,8	0	0	0	0,8	0,2	0	0,2
29/10/2024 15:20	1,8	0	0	0	1,8	0,4	0	0,4
29/10/2024 15:25	3,3	0	0	0	3,3	1	0	1
29/10/2024 15:30	5,4	0	0	0	5,4	2,1	0	2,1
29/10/2024 15:35	8	0	0	0	8	3,8	0	3,8
29/10/2024 15:40	11,2	0	0	0	11,2	5,9	0	5,9
29/10/2024 15:45	15,2	0	0	0	15,2	8,6	0	8,6
29/10/2024 15:50	20,3	0	0	0	20,3	12	0	12
29/10/2024 15:55	26,7	0	0	0	26,7	16,2	0	16,2
29/10/2024 16:00	34,8	0	0	0	34,8	21,6	0	21,6
29/10/2024 16:05	45	0	0	0	45	28,3	0	28,3
29/10/2024 16:10	58,1	0	0	0	58,1	36,8	0	36,8
29/10/2024 16:15	74,8	0	0	0	74,8	47,6	0	47,6
29/10/2024 16:20	95,6	0	0	0	95,6	61,5	0	61,5
29/10/2024 16:25	120,9	0	0	0	120,9	78,9	0	78,9
29/10/2024 16:30	149,9	0	0	0,1	150	100,7	0	100,7
29/10/2024 16:35	181,6	0	0	0,3	181,9	126,7	0	126,7
29/10/2024 16:40	215,3	0	0	0,9	216,1	156,3	0	156,3
29/10/2024 16:45	250,9	0	0	1,7	252,6	188,7	0	188,7
29/10/2024 16:50	288,4	0	0	2,9	291,3	223,4	0	223,4
29/10/2024 16:55	328,1	0	0,1	4,5	332,6	260,4	0	260,4
29/10/2024 17:00	371,1	0	0,2	6,7	378	299,6	0	299,6
29/10/2024 17:05	419,1	0	0,4	9,5	429,1	341,7	0	341,7
29/10/2024 17:10	473,9	0	0,7	13,1	487,7	388,2	0	388,2
29/10/2024 17:15	535,3	0	1,1	17,2	553,6	440,8	0	440,8
29/10/2024 17:20	601,6	0	1,6	21,9	625,2	500,8	0	500,8
29/10/2024 17:25	671,7	0	2,3	27,1	701,1	567,9	0	567,9
29/10/2024 17:30	745,9	0	3	32,5	781,4	640,4	0	640,4
29/10/2024 17:35	824,6	0	3,7	37,8	866,1	717,2	0	717,2
29/10/2024 17:40	907,1	0	4,3	42,4	953,7	798,3	0	798,3
29/10/2024 17:45	990,4	0	4,7	46	1041,2	883,6	0	883,6
29/10/2024 17:50	1070,6	0	5	48,6	1124,2	971,2	0	971,2
29/10/2024 17:55	1143,7	0,1	5	50,5	1199,3	1057,8	0	1057,8
29/10/2024 18:00	1207,6	0,3	5	52,7	1265,6	1139,2	0	1139,2
29/10/2024 18:05	1261,8	0,8	4,9	57	1324,4	1212,6	0	1212,6
29/10/2024 18:10	1306,9	1,5	4,9	65,1	1378,4	1277,4	0	1277,4
29/10/2024 18:15	1345,8	2,5	5,1	77,7	1431,2	1335,2	0	1335,2
29/10/2024 18:20	1382	3,6	5,7	94,2	1485,5	1389	0	1389
29/10/2024 18:25	1419,1	4,7	6,5	112,3	1542,6	1442,1	0	1442,1
29/10/2024 18:30	1460,4	5,6	7,4	128,9	1602,3	1496,9	0	1496,9
29/10/2024 18:35	1505,6	6,4	8,2	141,9	1662,1	1554,5	0	1554,5
29/10/2024 18:40	1551,4	7	8,9	150	1717,3	1614,3	0	1614,3
29/10/2024 18:45	1593,6	7,4	9,4	153,1	1763,5	1673,1	0	1673,1
29/10/2024 18:50	1629,4	7,6	9,6	151,9	1798,5	1726,5	0	1726,5
29/10/2024 18:55	1656,4	7,7	9,5	147,4	1821	1770,5	0,1	1770,6
29/10/2024 19:00	1671,9	7,6	9,3	141	1829,8	1803	0,1	1803,1
29/10/2024 19:05	1676	7,3	9,2	133,9	1826,4	1822,7	0,1	1822,8
29/10/2024 19:10	1673,1	6,8	9,5	126,4	1815,8	1829,1	0,1	1829,2
29/10/2024 19:15	1670,3	6,2	10,2	118,5	1805,3	1824,3	0	1824,3
29/10/2024 19:20	1675,5	5,5	11,1	110,2	1802,3	1813,7	0	1813,7
29/10/2024 19:25	1691,9	4,7	11,8	101,7	1810,1	1804,7	0	1804,7
29/10/2024 19:30	1718	4	12,2	92,7	1826,8	1803,9	0	1803,9
29/10/2024 19:35	1747,5	3,3	12	83,6	1846,4	1813,5	0	1813,5
29/10/2024 19:40	1773	2,7	11,4	74,4	1861,5	1830,8	0	1830,8
29/10/2024 19:45	1789,1	2,2	10,6	65,6	1867,4	1849,4	0	1849,4
29/10/2024 19:50	1794	1,7	9,8	57,4	1863	1862,7	0	1862,7
29/10/2024 19:55	1790	1,3	9,1	50,2	1850,5	1866,5	0	1866,5
29/10/2024 20:00	1780,8	1	8,4	43,8	1834,1	1860,5	0	1860,5
29/10/2024 20:05	1769,4	0,8	7,8	38,3	1816,2	1847,2	0	1847,2
29/10/2024 20:10	1756,1	0,6	7	33,2	1796,9	1830,5	0	1830,5
29/10/2024 20:15	1738,8	0,4	6	28,6	1773,8	1812,3	0	1812,3
29/10/2024 20:20	1713,9	0,3	5	24	1743,3	1792,3	0	1792,3
29/10/2024 20:25	1678,8	0,3	4	19,9	1702,9	1767,7	0	1767,7
29/10/2024 20:30	1632,9	0,2	3	16	1652,2	1735,3	0	1735,3
29/10/2024 20:35	1577,5	0,2	2,2	12,6	1592,5	1692,8	0	1692,8
29/10/2024 20:40	1514,7	0,1	1,5	9,8	1526,1	1640,3	0	1640,3
29/10/2024 20:45	1446,4	0,1	1	7,4	1454,9	1579,2	0	1579,2
29/10/2024 20:50	1374,2	0,1	0,7	5,4	1380,4	1511,8	0	1511,8
29/10/2024 20:55	1299,1	0,1	0,4	3,9	1303,6	1440	0	1440
29/10/2024 21:00	1221,9	0	0,3	2,8	1225,1	1365	0	1365
29/10/2024 21:05	1143	0	0,2	2	1145,2	1287,9	0	1287,9
29/10/2024 21:10	1063,1	0	0,1	1,3	1064,7	1209,1	0	1209,1
29/10/2024 21:15	982,8	0	0,1	0,9	983,8	1129,1	0	1129,1
29/10/2024 21:20	902,7	0	0,1	0,6	903,5	1048,5	0	1048,5
29/10/2024 21:25	823,8	0	0	0,4	824,3	967,8	0	967,8
29/10/2024 21:30	746,7	0	0	0,3	747,1	887,6	0	887,6
29/10/2024 21:35	672,4	0	0	0,2	672,6	808,8	0	808,8
29/10/2024 21:40	601,5	0	0	0,1	601,7	732,2	0	732,2
29/10/2024 21:45	534,8	0	0	0,1	534,9	658,4	0	658,4
29/10/2024 21:50	472,5	0	0	0,1	472,6	588,3	0	588,3
29/10/2024 21:55	415,1	0	0	0	415,1	522,4	0	522,4
29/10/2024 22:00	362,6	0	0	0	362,7	461,1	0	461,1
29/10/2024 22:05	315,1	0	0	0	315,2	404,7	0	404,7
29/10/2024 22:10	272,4	0	0	0	272,5	353,2	0	353,2

Tiempo	Caudal (m³/s)							
	TP-HO4	Horteta-IC4	Subsistema Les Canyes	Subsistema S. Domingo	N18	TP-HO5	Horteta-IC5	Sistema Horteta
29/10/2024 22:15	234,5	0	0	0	234,5	306,6	0	306,6
29/10/2024 22:20	200,9	0	0	0	201	264,9	0	264,9
29/10/2024 22:25	171,6	0	0	0,1	171,7	227,8	0	227,8
29/10/2024 22:30	146,1	0	0	0,1	146,2	195,1	0	195,1
29/10/2024 22:35	124,2	0	0,1	0,3	124,6	166,6	0	166,6
29/10/2024 22:40	105,8	0	0,3	0,6	106,7	141,9	0	141,9
29/10/2024 22:45	91,4	0	0,6	1,1	93,2	121	0	121
29/10/2024 22:50	82	0	0,9	1,8	84,8	104	0	104
29/10/2024 22:55	78	0	1,1	2,6	81,8	91,5	0	91,5
29/10/2024 23:00	78,1	0	1,4	3,4	83,1	84,2	0	84,2
29/10/2024 23:05	81,3	0	1,6	4,2	87,1	82,1	0	82,1
29/10/2024 23:10	86,6	0	1,8	4,8	93,2	83,9	0	83,9
29/10/2024 23:15	93,5	0	1,8	5,1	100,6	88,3	0	88,3
29/10/2024 23:20	101,5	0	1,8	5,3	108,6	94,7	0	94,7
29/10/2024 23:25	109,5	0	1,6	5,1	116,2	102,2	0	102,2
29/10/2024 23:30	116,3	0	1,3	4,7	122,4	110,1	0	110,1
29/10/2024 23:35	121,4	0	1,1	4,2	126,7	117,5	0	117,5
29/10/2024 23:40	124,8	0	0,8	3,6	129,3	123,3	0	123,3
29/10/2024 23:45	126,9	0,1	0,7	3,1	130,7	127,2	0	127,2
29/10/2024 23:50	128,5	0,2	0,6	2,5	131,9	129,5	0,1	129,6
29/10/2024 23:55	129,9	0,4	0,6	2,4	133,3	131	0,1	131,1
30/10/2024 0:00	131,4	0,7	0,8	2,6	135,5	132,2	0,1	132,3
30/10/2024 0:05	132,9	1,1	1,3	3,6	138,9	133,7	0,2	133,9
30/10/2024 0:10	134,3	1,5	1,8	5,7	143,3	136,2	0,2	136,4
30/10/2024 0:15	135,8	1,8	2,1	8,9	148,6	139,7	0,2	139,9
30/10/2024 0:20	136,8	2	2,2	12,4	153,4	144,4	0,1	144,5
30/10/2024 0:25	137,1	2	2,1	15,3	156,5	149,5	0,1	149,6
30/10/2024 0:30	135,9	2	1,8	17	156,7	154	0,1	154,1
30/10/2024 0:35	132,7	1,8	1,4	17,3	153,2	156,5	0,1	156,6
30/10/2024 0:40	127,3	1,6	1	16,3	146,2	156	0	156
30/10/2024 0:45	119,8	1,4	0,7	14,6	136,5	151,8	0	151,8
30/10/2024 0:50	111,1	1,1	0,5	12,3	125	144,3	0	144,3
30/10/2024 0:55	101,6	0,9	0,3	10	112,8	134,2	0	134,2
30/10/2024 1:00	91,9	0,7	0,2	7,9	100,7	122,5	0	122,5
30/10/2024 1:05	82,5	0,6	0,1	6	89,2	110,4	0	110,4
30/10/2024 1:10	73,5	0,4	0,1	4,5	78,5	98,4	0	98,4
30/10/2024 1:15	65,2	0,3	0	3,3	68,8	87	0	87
30/10/2024 1:20	57,5	0,2	0	2,4	60,1	76,6	0	76,6
30/10/2024 1:25	50,5	0,2	0	1,7	52,4	67,1	0	67,1
30/10/2024 1:30	44,3	0,1	0	1,2	45,6	58,6	0	58,6
30/10/2024 1:35	38,6	0,1	0	0,8	39,5	51	0	51
30/10/2024 1:40	33,5	0,1	0	0,6	34,1	44,3	0	44,3
30/10/2024 1:45	29	0	0	0,4	29,4	38,4	0	38,4
30/10/2024 1:50	25	0	0	0,3	25,3	33,2	0	33,2
30/10/2024 1:55	21,5	0	0	0,2	21,7	28,6	0	28,6
30/10/2024 2:00	18,4	0	0	0,1	18,5	24,6	0	24,6
30/10/2024 2:05	15,7	0	0	0	15,8	21	0	21
30/10/2024 2:10	13,3	0	0	0	13,4	18	0	18
30/10/2024 2:15	11,3	0	0	0	11,3	15,3	0	15,3
30/10/2024 2:20	9,5	0	0	0	9,5	13	0	13
30/10/2024 2:25	8	0	0	0	8	10,9	0	10,9
30/10/2024 2:30	6,7	0	0	0	6,7	9,2	0	9,2
30/10/2024 2:35	5,6	0	0	0	5,6	7,7	0	7,7
30/10/2024 2:40	4,7	0	0	0	4,7	6,5	0	6,5
30/10/2024 2:45	3,9	0	0	0	3,9	5,4	0	5,4
30/10/2024 2:50	3,2	0	0	0	3,2	4,5	0	4,5
30/10/2024 2:55	2,6	0	0	0	2,6	3,7	0	3,7
30/10/2024 3:00	2,2	0	0	0	2,2	3,1	0	3,1
30/10/2024 3:05	1,8	0	0	0	1,8	2,6	0	2,6
30/10/2024 3:10	1,5	0	0	0	1,5	2,1	0	2,1
30/10/2024 3:15	1,2	0	0	0	1,2	1,7	0	1,7
30/10/2024 3:20	1	0	0	0	1	1,4	0	1,4
30/10/2024 3:25	0,8	0	0	0	0,8	1,2	0	1,2
30/10/2024 3:30	0,6	0	0	0	0,6	0,9	0	0,9
30/10/2024 3:35	0,5	0	0	0	0,5	0,7	0	0,7
30/10/2024 3:40	0,4	0	0	0	0,4	0,6	0	0,6
30/10/2024 3:45	0,3	0	0	0	0,3	0,4	0	0,4
30/10/2024 3:50	0,2	0	0	0	0,2	0,3	0	0,3
30/10/2024 3:55	0,1	0	0	0	0,1	0,3	0	0,3
30/10/2024 4:00	0,1	0	0	0	0,1	0,2	0	0,2
30/10/2024 4:05	0,1	0	0	0	0,1	0,1	0	0,1
30/10/2024 4:10	0,1	0	0	0	0,1	0,1	0	0,1
30/10/2024 4:15	0	0	0	0	0	0,1	0	0,1
30/10/2024 4:20	0	0	0	0	0	0,1	0	0,1
30/10/2024 4:25	0	0	0	0	0	0	0	0
30/10/2024 4:30	0	0	0	0	0	0	0	0
30/10/2024 4:35	0	0	0	0	0	0	0	0
30/10/2024 4:40	0	0	0	0	0	0	0	0
30/10/2024 4:45	0	0	0	0	0	0	0	0
30/10/2024 4:50	0	0	0	0	0	0	0	0
30/10/2024 4:55	0	0	0	0	0	0	0	0
30/10/2024 5:00	0	0	0	0	0	0	0	0

Sistema Horteta – Subsistema Los Giles

Tiempo	Caudal (m³/s)				
	Los Giles-SC1	N17	TP-LG2	Los Giles-IC2	Subsistema Los Giles
29/10/2024 7:00	0	0	0	0	0
29/10/2024 7:05	0	0	0	0	0
29/10/2024 7:10	0	0	0	0	0
29/10/2024 7:15	0	0	0	0	0
29/10/2024 7:20	0	0	0	0	0
29/10/2024 7:25	0	0	0	0	0
29/10/2024 7:30	0	0	0	0	0
29/10/2024 7:35	0	0	0	0	0
29/10/2024 7:40	0	0	0	0	0
29/10/2024 7:45	0	0	0	0	0
29/10/2024 7:50	0	0	0	0	0
29/10/2024 7:55	0	0	0	0	0
29/10/2024 8:00	0	0	0	0	0
29/10/2024 8:05	0,2	0,2	0	0	0
29/10/2024 8:10	0,5	0,5	0	0	0
29/10/2024 8:15	1,1	1,1	0	0	0
29/10/2024 8:20	2,1	2,1	0,1	0	0,1
29/10/2024 8:25	3,5	3,5	0,5	0	0,5
29/10/2024 8:30	5,4	5,4	1	0	1
29/10/2024 8:35	7,4	7,4	1,9	0	1,9
29/10/2024 8:40	9,5	9,5	3,3	0	3,3
29/10/2024 8:45	12,5	12,5	5	0	5
29/10/2024 8:50	16,5	16,5	7	0	7
29/10/2024 8:55	20,5	20,5	9,1	0	9,1
29/10/2024 9:00	23,6	23,6	11,9	0	11,9
29/10/2024 9:05	25,1	25,1	15,7	0	15,7
29/10/2024 9:10	25	25	19,7	0	19,7
29/10/2024 9:15	23,5	23,5	22,9	0	22,9
29/10/2024 9:20	20,9	20,9	24,8	0	24,8
29/10/2024 9:25	17,8	17,8	25	0	25
29/10/2024 9:30	14,6	14,6	23,8	0	23,8
29/10/2024 9:35	11,8	11,8	21,5	0	21,5
29/10/2024 9:40	9,7	9,7	18,4	0	18,4
29/10/2024 9:45	8	8	15,3	0	15,3
29/10/2024 9:50	6,7	6,7	12,4	0	12,4
29/10/2024 9:55	5,7	5,7	10,1	0	10,1
29/10/2024 10:00	4,9	4,9	8,3	0	8,3
29/10/2024 10:05	4,3	4,3	7	0	7
29/10/2024 10:10	3,9	3,9	5,9	0	5,9
29/10/2024 10:15	3,9	3,9	5	0	5
29/10/2024 10:20	4,2	4,2	4,4	0	4,4
29/10/2024 10:25	4,6	4,6	4	0	4
29/10/2024 10:30	5	5	3,9	0	3,9
29/10/2024 10:35	5,1	5,1	4,2	0	4,2
29/10/2024 10:40	4,9	4,9	4,5	0	4,5
29/10/2024 10:45	4,5	4,5	4,9	0	4,9
29/10/2024 10:50	3,9	3,9	5,1	0	5,1
29/10/2024 10:55	3,3	3,3	5	0	5
29/10/2024 11:00	2,6	2,6	4,6	0	4,6
29/10/2024 11:05	2,1	2,1	4	0	4
29/10/2024 11:10	1,6	1,6	3,4	0	3,4
29/10/2024 11:15	1,2	1,2	2,8	0	2,8
29/10/2024 11:20	0,9	0,9	2,2	0	2,2
29/10/2024 11:25	0,7	0,7	1,7	0	1,7
29/10/2024 11:30	0,5	0,5	1,3	0	1,3
29/10/2024 11:35	0,5	0,5	1	0	1
29/10/2024 11:40	0,4	0,4	0,7	0	0,7
29/10/2024 11:45	0,3	0,3	0,6	0	0,6
29/10/2024 11:50	0,3	0,3	0,5	0	0,5
29/10/2024 11:55	0,2	0,2	0,4	0	0,4
29/10/2024 12:00	0,2	0,2	0,3	0	0,3
29/10/2024 12:05	0,1	0,1	0,3	0	0,3
29/10/2024 12:10	0,1	0,1	0,2	0	0,2
29/10/2024 12:15	0,1	0,1	0,2	0	0,2
29/10/2024 12:20	0	0	0,1	0	0,1
29/10/2024 12:25	0	0	0,1	0	0,1
29/10/2024 12:30	0	0	0,1	0	0,1
29/10/2024 12:35	0	0	0,1	0	0,1
29/10/2024 12:40	0	0	0	0	0
29/10/2024 12:45	0	0	0	0	0
29/10/2024 12:50	0	0	0	0	0
29/10/2024 12:55	0	0	0	0	0
29/10/2024 13:00	0	0	0	0	0
29/10/2024 13:05	0	0	0	0	0
29/10/2024 13:10	0	0	0	0	0
29/10/2024 13:15	0	0	0	0	0
29/10/2024 13:20	0	0	0	0	0
29/10/2024 13:25	0	0	0	0	0
29/10/2024 13:30	0	0	0	0	0
29/10/2024 13:35	0	0	0	0	0
29/10/2024 13:40	0	0	0	0	0
29/10/2024 13:45	0	0	0	0	0
29/10/2024 13:50	0	0	0	0	0
29/10/2024 13:55	0	0	0	0	0
29/10/2024 14:00	0	0	0	0	0
29/10/2024 14:05	0	0	0	0	0
29/10/2024 14:10	0	0	0	0	0
29/10/2024 14:15	0	0	0	0	0
29/10/2024 14:20	0	0	0	0	0
29/10/2024 14:25	0	0	0	0	0

Tiempo	Caudal (m³/s)				
	Los Giles-SC1	N17	TP-LG2	Los Giles-IC2	Subsistema Los Giles
29/10/2024 14:30	0	0	0	0	0
29/10/2024 14:35	0	0	0	0	0
29/10/2024 14:40	0	0	0	0	0
29/10/2024 14:45	0,2	0,2	0	0	0
29/10/2024 14:50	0,5	0,5	0	0	0
29/10/2024 14:55	1,1	1,1	0	0	0
29/10/2024 15:00	1,9	1,9	0,1	0	0,1
29/10/2024 15:05	3	3	0,4	0	0,4
29/10/2024 15:10	4,2	4,2	0,9	0	0,9
29/10/2024 15:15	5,6	5,6	1,8	0	1,8
29/10/2024 15:20	7,2	7,2	2,8	0	2,8
29/10/2024 15:25	9,2	9,2	4	0	4
29/10/2024 15:30	11,5	11,5	5,4	0	5,4
29/10/2024 15:35	14,3	14,3	6,9	0	6,9
29/10/2024 15:40	17,7	17,7	8,8	0	8,8
29/10/2024 15:45	21,9	21,9	11,1	0	11,1
29/10/2024 15:50	27,2	27,2	13,8	0	13,8
29/10/2024 15:55	34	34	17,1	0	17,1
29/10/2024 16:00	42,2	42,2	21,1	0,1	21,2
29/10/2024 16:05	51,3	51,3	26,2	0,2	26,4
29/10/2024 16:10	60,3	60,3	32,6	0,4	33
29/10/2024 16:15	68,9	68,9	40,6	0,6	41,2
29/10/2024 16:20	76,6	76,6	49,5	0,9	50,4
29/10/2024 16:25	83,1	83,1	58,5	1,3	59,8
29/10/2024 16:30	88,7	88,7	67,2	1,8	69
29/10/2024 16:35	94,1	94,1	75,1	2,3	77,4
29/10/2024 16:40	100,9	100,9	81,8	3	84,8
29/10/2024 16:45	110	110	87,5	3,7	91,2
29/10/2024 16:50	121,4	121,4	93	4,6	97,6
29/10/2024 16:55	134	134	99,5	5,8	105,3
29/10/2024 17:00	147,2	147,2	108,1	7,1	115,2
29/10/2024 17:05	161,2	161,2	119,1	8,6	127,7
29/10/2024 17:10	176,4	176,4	131,5	10,3	141,8
29/10/2024 17:15	192,3	192,3	144,5	12,2	156,7
29/10/2024 17:20	207,4	207,4	158,4	14,3	172,7
29/10/2024 17:25	219,4	219,4	173,4	16,4	189,8
29/10/2024 17:30	226,4	226,4	189,1	18,6	207,7
29/10/2024 17:35	227,4	227,4	204,4	20,5	224,9
29/10/2024 17:40	222,3	222,3	217	22,2	239,2
29/10/2024 17:45	211,8	211,8	225	23,5	248,5
29/10/2024 17:50	197,8	197,8	227,2	24,4	251,6
29/10/2024 17:55	183	183	223,3	25	248,3
29/10/2024 18:00	170,6	170,6	213,9	25,4	239,3
29/10/2024 18:05	163,9	163,9	200,6	26	226,6
29/10/2024 18:10	163,8	163,8	186	26,8	212,8
29/10/2024 18:15	169,6	169,6	173,1	27,9	201
29/10/2024 18:20	179,2	179,2	165,2	29,3	194,5
29/10/2024 18:25	190,7	190,7	163,8	31	194,8
29/10/2024 18:30	201,4	201,4	168,4	32,7	201,1
29/10/2024 18:35	208,3	208,3	177,2	34,4	211,6
29/10/2024 18:40	209,9	209,9	188,4	35,8	224,2
29/10/2024 18:45	207,6	207,6	199,3	36,9	236,2
29/10/2024 18:50	204,9	204,9	206,9	37,6	244,5
29/10/2024 18:55	206,1	206,1	209,6	38,2	247,8
29/10/2024 19:00	213,1	213,1	208,1	38,7	246,8
29/10/2024 19:05	225	225	205,5	39,4	244,9
29/10/2024 19:10	238,1	238,1	205,9	40,2	246,1
29/10/2024 19:15	247,8	247,8	211,7	41,1	252,8
29/10/2024 19:20	250,9	250,9	222,6	41,9	264,5
29/10/2024 19:25	246,4	246,4	235,4	42,4	277,8
29/10/2024 19:30	235,7	235,7	245,9	42,4	288,3
29/10/2024 19:35	221,7	221,7	250,3	41,9	292,2
29/10/2024 19:40	206,7	206,7	247,3	41	288,3
29/10/2024 19:45	192	192	237,9	39,8	277,7
29/10/2024 19:50	177,3	177,3	224,5	38,2	262,7
29/10/2024 19:55	161,3	161,3	209,7	36,4	246,1
29/10/2024 20:00	143,2	143,2	194,9	34,3	229,2
29/10/2024 20:05	123,4	123,4	180,2	31,9	212,1
29/10/2024 20:10	102,7	102,7	164,5	29,2	193,7
29/10/2024 20:15	82,6	82,6	146,9	26,4	173,3
29/10/2024 20:20	64,3	64,3	127,3	23,5	150,8
29/10/2024 20:25	48,5	48,5	106,8	20,5	127,3
29/10/2024 20:30	35,6	35,6	86,7	17,6	104,3
29/10/2024 20:35	25,5	25,5	68	14,9	82,9
29/10/2024 20:40	17,8	17,8	51,7	12,5	64,2
29/10/2024 20:45	12,2	12,2	38,2	10,3	48,5
29/10/2024 20:50	8,3	8,3	27,5	8,3	35,8
29/10/2024 20:55	5,7	5,7	19,3	6,7	26
29/10/2024 21:00	3,8	3,8	13,4	5,3	18,7
29/10/2024 21:05	2,6	2,6	9,1	4,2	13,3
29/10/2024 21:10	1,8	1,8	6,2	3,3	9,5
29/10/2024 21:15	1,2	1,2	4,2	2,5	6,7
29/10/2024 21:20	0,8	0,8	2,9	1,9	4,8
29/10/2024 21:25	0,6	0,6	1,9	1,5	3,4
29/10/2024 21:30	0,4	0,4	1,3	1,1	2,4
29/10/2024 21:35	0,2	0,2	0,9	0,8	1,7
29/10/2024 21:40	0,1	0,1	0,6	0,6	1,2
29/10/2024 21:45	0,1	0,1	0,4	0,5	0,9
29/10/2024 21:50	0,1	0,1	0,3	0,3	0,6
29/10/2024 21:55	0,1	0,1	0,2	0,2	0,4
29/10/2024 22:00	0,2	0,2	0,1	0,2	0,3
29/10/2024 22:05	0,3	0,3	0,1	0,1	0,2
29/10/2024 22:10	0,4	0,4	0,1	0,1	0,2

Tiempo	Caudal (m³/s)				
	Los Giles-SC1	N17	TP-LG2	Los Giles-IC2	Subsistema Los Giles
29/10/2024 22:15	0,5	0,5	0,2	0,1	0,3
29/10/2024 22:20	1,2	1,2	0,3	0,1	0,4
29/10/2024 22:25	3,2	3,2	0,4	0,2	0,6
29/10/2024 22:30	6,7	6,7	0,5	0,4	0,9
29/10/2024 22:35	11,2	11,2	1,1	0,6	1,7
29/10/2024 22:40	16	16	2,8	1,1	3,9
29/10/2024 22:45	20,7	20,7	6	1,5	7,5
29/10/2024 22:50	25,1	25,1	10,3	2,1	12,4
29/10/2024 22:55	28,9	28,9	15	2,7	17,7
29/10/2024 23:00	31,4	31,4	19,8	3,3	23,1
29/10/2024 23:05	32,3	32,3	24,2	3,8	28
29/10/2024 23:10	31,3	31,3	28,1	4,3	32,4
29/10/2024 23:15	28,6	28,6	30,9	4,5	35,4
29/10/2024 23:20	24,9	24,9	32,2	4,6	36,8
29/10/2024 23:25	20,8	20,8	31,5	4,5	36
29/10/2024 23:30	16,8	16,8	29,2	4,3	33,5
29/10/2024 23:35	13,3	13,3	25,6	4	29,6
29/10/2024 23:40	10,3	10,3	21,6	3,7	25,3
29/10/2024 23:45	8,1	8,1	17,6	3,3	20,9
29/10/2024 23:50	6,7	6,7	14	3,1	17,1
29/10/2024 23:55	6	6	10,9	3	13,9
30/10/2024 0:00	5,7	5,7	8,5	3,1	11,6
30/10/2024 0:05	5,6	5,6	7	3,3	10,3
30/10/2024 0:10	5,4	5,4	6,1	3,5	9,6
30/10/2024 0:15	5	5	5,7	3,6	9,3
30/10/2024 0:20	4,4	4,4	5,6	3,7	9,3
30/10/2024 0:25	3,7	3,7	5,4	3,7	9,1
30/10/2024 0:30	3	3	5,1	3,6	8,7
30/10/2024 0:35	2,3	2,3	4,5	3,3	7,8
30/10/2024 0:40	1,7	1,7	3,8	3	6,8
30/10/2024 0:45	1,2	1,2	3,1	2,7	5,8
30/10/2024 0:50	0,9	0,9	2,4	2,3	4,7
30/10/2024 0:55	0,6	0,6	1,8	2	3,8
30/10/2024 1:00	0,4	0,4	1,3	1,7	3
30/10/2024 1:05	0,3	0,3	0,9	1,4	2,3
30/10/2024 1:10	0,2	0,2	0,6	1,1	1,7
30/10/2024 1:15	0,1	0,1	0,4	0,9	1,3
30/10/2024 1:20	0,1	0,1	0,3	0,7	1
30/10/2024 1:25	0	0	0,2	0,5	0,7
30/10/2024 1:30	0	0	0,1	0,4	0,5
30/10/2024 1:35	0	0	0,1	0,3	0,4
30/10/2024 1:40	0	0	0	0,2	0,2
30/10/2024 1:45	0	0	0	0,2	0,2
30/10/2024 1:50	0	0	0	0,1	0,1
30/10/2024 1:55	0	0	0	0,1	0,1
30/10/2024 2:00	0	0	0	0,1	0,1
30/10/2024 2:05	0	0	0	0,1	0,1
30/10/2024 2:10	0	0	0	0	0
30/10/2024 2:15	0	0	0	0	0
30/10/2024 2:20	0	0	0	0	0
30/10/2024 2:25	0	0	0	0	0
30/10/2024 2:30	0	0	0	0	0
30/10/2024 2:35	0	0	0	0	0
30/10/2024 2:40	0	0	0	0	0
30/10/2024 2:45	0	0	0	0	0
30/10/2024 2:50	0	0	0	0	0
30/10/2024 2:55	0	0	0	0	0
30/10/2024 3:00	0	0	0	0	0
30/10/2024 3:05	0	0	0	0	0
30/10/2024 3:10	0	0	0	0	0
30/10/2024 3:15	0	0	0	0	0
30/10/2024 3:20	0	0	0	0	0
30/10/2024 3:25	0	0	0	0	0
30/10/2024 3:30	0	0	0	0	0
30/10/2024 3:35	0	0	0	0	0
30/10/2024 3:40	0	0	0	0	0
30/10/2024 3:45	0	0	0	0	0
30/10/2024 3:50	0	0	0	0	0
30/10/2024 3:55	0	0	0	0	0
30/10/2024 4:00	0	0	0	0	0
30/10/2024 4:05	0	0	0	0	0
30/10/2024 4:10	0	0	0	0	0
30/10/2024 4:15	0	0	0	0	0
30/10/2024 4:20	0	0	0	0	0
30/10/2024 4:25	0	0	0	0	0
30/10/2024 4:30	0	0	0	0	0
30/10/2024 4:35	0	0	0	0	0
30/10/2024 4:40	0	0	0	0	0
30/10/2024 4:45	0	0	0	0	0
30/10/2024 4:50	0	0	0	0	0
30/10/2024 4:55	0	0	0	0	0
30/10/2024 5:00	0	0	0	0	0

Sistema Horteta – Subsistema Les Canyes

Tiempo	Caudal (m³/s)				
	Les Canyes-SC1	N19	TP-LC2	Les Canyes-IC2	Subsistema Les Canyes
29/10/2024 7:00	0	0	0	0	0
29/10/2024 7:05	0	0	0	0	0
29/10/2024 7:10	0	0	0	0	0
29/10/2024 7:15	0	0	0	0	0
29/10/2024 7:20	0	0	0	0	0
29/10/2024 7:25	0	0	0	0	0
29/10/2024 7:30	0	0	0	0	0
29/10/2024 7:35	0	0	0	0	0
29/10/2024 7:40	0	0	0	0	0
29/10/2024 7:45	0	0	0	0	0
29/10/2024 7:50	0	0	0	0	0
29/10/2024 7:55	0	0	0	0	0
29/10/2024 8:00	0	0	0	0	0
29/10/2024 8:05	0	0	0	0	0
29/10/2024 8:10	0	0	0	0	0
29/10/2024 8:15	0	0	0	0	0
29/10/2024 8:20	0	0	0	0	0
29/10/2024 8:25	0	0	0	0	0
29/10/2024 8:30	0	0	0	0	0
29/10/2024 8:35	0	0	0	0	0
29/10/2024 8:40	0	0	0	0	0
29/10/2024 8:45	0	0	0	0	0
29/10/2024 8:50	0	0	0	0	0
29/10/2024 8:55	0	0	0	0	0
29/10/2024 9:00	0	0	0	0	0
29/10/2024 9:05	0	0	0	0	0
29/10/2024 9:10	0	0	0	0	0
29/10/2024 9:15	0	0	0	0	0
29/10/2024 9:20	0	0	0	0	0
29/10/2024 9:25	0	0	0	0	0
29/10/2024 9:30	0	0	0	0	0
29/10/2024 9:35	0	0	0	0	0
29/10/2024 9:40	0	0	0	0	0
29/10/2024 9:45	0	0	0	0	0
29/10/2024 9:50	0	0	0	0	0
29/10/2024 9:55	0	0	0	0	0
29/10/2024 10:00	0	0	0	0	0
29/10/2024 10:05	0	0	0	0	0
29/10/2024 10:10	0	0	0	0	0
29/10/2024 10:15	0	0	0	0	0
29/10/2024 10:20	0	0	0	0	0
29/10/2024 10:25	0	0	0	0	0
29/10/2024 10:30	0	0	0	0	0
29/10/2024 10:35	0	0	0	0	0
29/10/2024 10:40	0	0	0	0	0
29/10/2024 10:45	0	0	0	0	0
29/10/2024 10:50	0	0	0	0	0
29/10/2024 10:55	0	0	0	0	0
29/10/2024 11:00	0	0	0	0	0
29/10/2024 11:05	0	0	0	0	0
29/10/2024 11:10	0	0	0	0	0
29/10/2024 11:15	0	0	0	0	0
29/10/2024 11:20	0	0	0	0	0
29/10/2024 11:25	0	0	0	0	0
29/10/2024 11:30	0	0	0	0	0
29/10/2024 11:35	0	0	0	0	0
29/10/2024 11:40	0	0	0	0	0
29/10/2024 11:45	0	0	0	0	0
29/10/2024 11:50	0	0	0	0	0
29/10/2024 11:55	0	0	0	0	0
29/10/2024 12:00	0	0	0	0	0
29/10/2024 12:05	0	0	0	0	0
29/10/2024 12:10	0	0	0	0	0
29/10/2024 12:15	0	0	0	0	0
29/10/2024 12:20	0	0	0	0	0
29/10/2024 12:25	0	0	0	0	0
29/10/2024 12:30	0	0	0	0	0
29/10/2024 12:35	0	0	0	0	0
29/10/2024 12:40	0	0	0	0	0
29/10/2024 12:45	0	0	0	0	0
29/10/2024 12:50	0	0	0	0	0
29/10/2024 12:55	0	0	0	0	0
29/10/2024 13:00	0	0	0	0	0
29/10/2024 13:05	0	0	0	0	0
29/10/2024 13:10	0	0	0	0	0
29/10/2024 13:15	0	0	0	0	0
29/10/2024 13:20	0	0	0	0	0
29/10/2024 13:25	0	0	0	0	0
29/10/2024 13:30	0	0	0	0	0
29/10/2024 13:35	0	0	0	0	0
29/10/2024 13:40	0	0	0	0	0
29/10/2024 13:45	0	0	0	0	0
29/10/2024 13:50	0	0	0	0	0
29/10/2024 13:55	0	0	0	0	0
29/10/2024 14:00	0	0	0	0	0
29/10/2024 14:05	0	0	0	0	0
29/10/2024 14:10	0	0	0	0	0
29/10/2024 14:15	0	0	0	0	0
29/10/2024 14:20	0	0	0	0	0
29/10/2024 14:25	0	0	0	0	0

Tiempo	Caudal (m³/s)				
	Les Canyes-SC1	N19	TP-LC2	Les Canyes-IC2	Subsistema Les Canyes
29/10/2024 14:30	0	0	0	0	0
29/10/2024 14:35	0	0	0	0	0
29/10/2024 14:40	0	0	0	0	0
29/10/2024 14:45	0	0	0	0	0
29/10/2024 14:50	0	0	0	0	0
29/10/2024 14:55	0	0	0	0	0
29/10/2024 15:00	0	0	0	0	0
29/10/2024 15:05	0	0	0	0	0
29/10/2024 15:10	0	0	0	0	0
29/10/2024 15:15	0	0	0	0	0
29/10/2024 15:20	0	0	0	0	0
29/10/2024 15:25	0	0	0	0	0
29/10/2024 15:30	0	0	0	0	0
29/10/2024 15:35	0	0	0	0	0
29/10/2024 15:40	0	0	0	0	0
29/10/2024 15:45	0	0	0	0	0
29/10/2024 15:50	0	0	0	0	0
29/10/2024 15:55	0	0	0	0	0
29/10/2024 16:00	0	0	0	0	0
29/10/2024 16:05	0	0	0	0	0
29/10/2024 16:10	0	0	0	0	0
29/10/2024 16:15	0	0	0	0	0
29/10/2024 16:20	0	0	0	0	0
29/10/2024 16:25	0	0	0	0	0
29/10/2024 16:30	0	0	0	0	0
29/10/2024 16:35	0	0	0	0	0
29/10/2024 16:40	0,1	0,1	0	0	0
29/10/2024 16:45	0,2	0,2	0	0	0
29/10/2024 16:50	0,4	0,4	0	0	0
29/10/2024 16:55	0,7	0,7	0,1	0	0,1
29/10/2024 17:00	1,1	1,1	0,2	0	0,2
29/10/2024 17:05	1,6	1,6	0,4	0	0,4
29/10/2024 17:10	2,3	2,3	0,7	0	0,7
29/10/2024 17:15	3	3	1,1	0	1,1
29/10/2024 17:20	3,7	3,7	1,6	0	1,6
29/10/2024 17:25	4,3	4,3	2,3	0	2,3
29/10/2024 17:30	4,7	4,7	3	0	3
29/10/2024 17:35	5	5	3,7	0	3,7
29/10/2024 17:40	5	5	4,3	0	4,3
29/10/2024 17:45	5	5	4,7	0	4,7
29/10/2024 17:50	4,9	4,9	5	0	5
29/10/2024 17:55	4,9	4,9	5	0	5
29/10/2024 18:00	5,1	5,1	5	0	5
29/10/2024 18:05	5,7	5,7	4,9	0	4,9
29/10/2024 18:10	6,5	6,5	4,9	0	4,9
29/10/2024 18:15	7,4	7,4	5,1	0	5,1
29/10/2024 18:20	8,2	8,2	5,7	0	5,7
29/10/2024 18:25	8,9	8,9	6,5	0	6,5
29/10/2024 18:30	9,4	9,4	7,4	0	7,4
29/10/2024 18:35	9,6	9,6	8,2	0	8,2
29/10/2024 18:40	9,5	9,5	8,9	0	8,9
29/10/2024 18:45	9,3	9,3	9,4	0	9,4
29/10/2024 18:50	9,2	9,2	9,6	0	9,6
29/10/2024 18:55	9,5	9,5	9,5	0	9,5
29/10/2024 19:00	10,2	10,2	9,3	0	9,3
29/10/2024 19:05	11,1	11,1	9,2	0	9,2
29/10/2024 19:10	11,8	11,8	9,5	0	9,5
29/10/2024 19:15	12,2	12,2	10,2	0	10,2
29/10/2024 19:20	12	12	11,1	0	11,1
29/10/2024 19:25	11,4	11,4	11,8	0	11,8
29/10/2024 19:30	10,6	10,6	12,2	0	12,2
29/10/2024 19:35	9,8	9,8	12	0	12
29/10/2024 19:40	9,1	9,1	11,4	0	11,4
29/10/2024 19:45	8,4	8,4	10,6	0	10,6
29/10/2024 19:50	7,8	7,8	9,8	0	9,8
29/10/2024 19:55	7	7	9,1	0	9,1
29/10/2024 20:00	6	6	8,4	0	8,4
29/10/2024 20:05	5	5	7,8	0	7,8
29/10/2024 20:10	4	4	7	0	7
29/10/2024 20:15	3	3	6	0	6
29/10/2024 20:20	2,2	2,2	5	0	5
29/10/2024 20:25	1,5	1,5	4	0	4
29/10/2024 20:30	1	1	3	0	3
29/10/2024 20:35	0,7	0,7	2,2	0	2,2
29/10/2024 20:40	0,4	0,4	1,5	0	1,5
29/10/2024 20:45	0,3	0,3	1	0	1
29/10/2024 20:50	0,2	0,2	0,7	0	0,7
29/10/2024 20:55	0,1	0,1	0,4	0	0,4
29/10/2024 21:00	0,1	0,1	0,3	0	0,3
29/10/2024 21:05	0,1	0,1	0,2	0	0,2
29/10/2024 21:10	0	0	0,1	0	0,1
29/10/2024 21:15	0	0	0,1	0	0,1
29/10/2024 21:20	0	0	0,1	0	0,1
29/10/2024 21:25	0	0	0	0	0
29/10/2024 21:30	0	0	0	0	0
29/10/2024 21:35	0	0	0	0	0
29/10/2024 21:40	0	0	0	0	0
29/10/2024 21:45	0	0	0	0	0
29/10/2024 21:50	0	0	0	0	0
29/10/2024 21:55	0	0	0	0	0
29/10/2024 22:00	0	0	0	0	0
29/10/2024 22:05	0	0	0	0	0
29/10/2024 22:10	0	0	0	0	0

Tiempo	Caudal (m³/s)				
	Les Canyes-SC1	N19	TP-LC2	Les Canyes-IC2	Subsistema Les Canyes
29/10/2024 22:15	0	0	0	0	0
29/10/2024 22:20	0,1	0,1	0	0	0
29/10/2024 22:25	0,3	0,3	0	0	0
29/10/2024 22:30	0,6	0,6	0	0	0
29/10/2024 22:35	0,9	0,9	0,1	0	0,1
29/10/2024 22:40	1,1	1,1	0,3	0	0,3
29/10/2024 22:45	1,4	1,4	0,6	0	0,6
29/10/2024 22:50	1,6	1,6	0,9	0	0,9
29/10/2024 22:55	1,8	1,8	1,1	0	1,1
29/10/2024 23:00	1,8	1,8	1,4	0	1,4
29/10/2024 23:05	1,8	1,8	1,6	0	1,6
29/10/2024 23:10	1,6	1,6	1,8	0	1,8
29/10/2024 23:15	1,3	1,3	1,8	0	1,8
29/10/2024 23:20	1,1	1,1	1,8	0	1,8
29/10/2024 23:25	0,8	0,8	1,6	0	1,6
29/10/2024 23:30	0,7	0,7	1,3	0	1,3
29/10/2024 23:35	0,6	0,6	1,1	0	1,1
29/10/2024 23:40	0,6	0,6	0,8	0	0,8
29/10/2024 23:45	0,8	0,8	0,7	0	0,7
29/10/2024 23:50	1,3	1,3	0,6	0	0,6
29/10/2024 23:55	1,8	1,8	0,6	0	0,6
30/10/2024 0:00	2,1	2,1	0,8	0	0,8
30/10/2024 0:05	2,2	2,2	1,3	0	1,3
30/10/2024 0:10	2,1	2,1	1,8	0	1,8
30/10/2024 0:15	1,8	1,8	2,1	0	2,1
30/10/2024 0:20	1,4	1,4	2,2	0	2,2
30/10/2024 0:25	1	1	2,1	0	2,1
30/10/2024 0:30	0,7	0,7	1,8	0	1,8
30/10/2024 0:35	0,5	0,5	1,4	0	1,4
30/10/2024 0:40	0,3	0,3	1	0	1
30/10/2024 0:45	0,2	0,2	0,7	0	0,7
30/10/2024 0:50	0,1	0,1	0,5	0	0,5
30/10/2024 0:55	0,1	0,1	0,3	0	0,3
30/10/2024 1:00	0	0	0,2	0	0,2
30/10/2024 1:05	0	0	0,1	0	0,1
30/10/2024 1:10	0	0	0,1	0	0,1
30/10/2024 1:15	0	0	0	0	0
30/10/2024 1:20	0	0	0	0	0
30/10/2024 1:25	0	0	0	0	0
30/10/2024 1:30	0	0	0	0	0
30/10/2024 1:35	0	0	0	0	0
30/10/2024 1:40	0	0	0	0	0
30/10/2024 1:45	0	0	0	0	0
30/10/2024 1:50	0	0	0	0	0
30/10/2024 1:55	0	0	0	0	0
30/10/2024 2:00	0	0	0	0	0
30/10/2024 2:05	0	0	0	0	0
30/10/2024 2:10	0	0	0	0	0
30/10/2024 2:15	0	0	0	0	0
30/10/2024 2:20	0	0	0	0	0
30/10/2024 2:25	0	0	0	0	0
30/10/2024 2:30	0	0	0	0	0
30/10/2024 2:35	0	0	0	0	0
30/10/2024 2:40	0	0	0	0	0
30/10/2024 2:45	0	0	0	0	0
30/10/2024 2:50	0	0	0	0	0
30/10/2024 2:55	0	0	0	0	0
30/10/2024 3:00	0	0	0	0	0
30/10/2024 3:05	0	0	0	0	0
30/10/2024 3:10	0	0	0	0	0
30/10/2024 3:15	0	0	0	0	0
30/10/2024 3:20	0	0	0	0	0
30/10/2024 3:25	0	0	0	0	0
30/10/2024 3:30	0	0	0	0	0
30/10/2024 3:35	0	0	0	0	0
30/10/2024 3:40	0	0	0	0	0
30/10/2024 3:45	0	0	0	0	0
30/10/2024 3:50	0	0	0	0	0
30/10/2024 3:55	0	0	0	0	0
30/10/2024 4:00	0	0	0	0	0
30/10/2024 4:05	0	0	0	0	0
30/10/2024 4:10	0	0	0	0	0
30/10/2024 4:15	0	0	0	0	0
30/10/2024 4:20	0	0	0	0	0
30/10/2024 4:25	0	0	0	0	0
30/10/2024 4:30	0	0	0	0	0
30/10/2024 4:35	0	0	0	0	0
30/10/2024 4:40	0	0	0	0	0
30/10/2024 4:45	0	0	0	0	0
30/10/2024 4:50	0	0	0	0	0
30/10/2024 4:55	0	0	0	0	0
30/10/2024 5:00	0	0	0	0	0

Sistema Horteta – Subsistema S. Domingo

Tiempo	Caudal (m³/s)				
	S. Domingo-SC1	N20	TP-SD2	S. Domingo-IC2	Subsistema S. Domingo
29/10/2024 7:00	0	0	0	0	0
29/10/2024 7:05	0	0	0	0	0
29/10/2024 7:10	0	0	0	0	0
29/10/2024 7:15	0	0	0	0	0
29/10/2024 7:20	0	0	0	0	0
29/10/2024 7:25	0	0	0	0	0
29/10/2024 7:30	0	0	0	0	0
29/10/2024 7:35	0	0	0	0	0
29/10/2024 7:40	0	0	0	0	0
29/10/2024 7:45	0	0	0	0	0
29/10/2024 7:50	0	0	0	0	0
29/10/2024 7:55	0	0	0	0	0
29/10/2024 8:00	0	0	0	0	0
29/10/2024 8:05	0	0	0	0	0
29/10/2024 8:10	0	0	0	0	0
29/10/2024 8:15	0	0	0	0	0
29/10/2024 8:20	0	0	0	0	0
29/10/2024 8:25	0	0	0	0	0
29/10/2024 8:30	0	0	0	0	0
29/10/2024 8:35	0	0	0	0	0
29/10/2024 8:40	0	0	0	0	0
29/10/2024 8:45	0	0	0	0	0
29/10/2024 8:50	0	0	0	0	0
29/10/2024 8:55	0	0	0	0	0
29/10/2024 9:00	0	0	0	0	0
29/10/2024 9:05	0	0	0	0	0
29/10/2024 9:10	0	0	0	0	0
29/10/2024 9:15	0	0	0	0	0
29/10/2024 9:20	0	0	0	0	0
29/10/2024 9:25	0	0	0	0	0
29/10/2024 9:30	0	0	0	0	0
29/10/2024 9:35	0	0	0	0	0
29/10/2024 9:40	0	0	0	0	0
29/10/2024 9:45	0	0	0	0	0
29/10/2024 9:50	0	0	0	0	0
29/10/2024 9:55	0	0	0	0	0
29/10/2024 10:00	0	0	0	0	0
29/10/2024 10:05	0	0	0	0	0
29/10/2024 10:10	0	0	0	0	0
29/10/2024 10:15	0	0	0	0	0
29/10/2024 10:20	0	0	0	0	0
29/10/2024 10:25	0	0	0	0	0
29/10/2024 10:30	0	0	0	0	0
29/10/2024 10:35	0	0	0	0	0
29/10/2024 10:40	0	0	0	0	0
29/10/2024 10:45	0	0	0	0	0
29/10/2024 10:50	0	0	0	0	0
29/10/2024 10:55	0	0	0	0	0
29/10/2024 11:00	0	0	0	0	0
29/10/2024 11:05	0	0	0	0	0
29/10/2024 11:10	0	0	0	0	0
29/10/2024 11:15	0	0	0	0	0
29/10/2024 11:20	0	0	0	0	0
29/10/2024 11:25	0	0	0	0	0
29/10/2024 11:30	0	0	0	0	0
29/10/2024 11:35	0	0	0	0	0
29/10/2024 11:40	0	0	0	0	0
29/10/2024 11:45	0	0	0	0	0
29/10/2024 11:50	0	0	0	0	0
29/10/2024 11:55	0	0	0	0	0
29/10/2024 12:00	0	0	0	0	0
29/10/2024 12:05	0	0	0	0	0
29/10/2024 12:10	0	0	0	0	0
29/10/2024 12:15	0	0	0	0	0
29/10/2024 12:20	0	0	0	0	0
29/10/2024 12:25	0	0	0	0	0
29/10/2024 12:30	0	0	0	0	0
29/10/2024 12:35	0	0	0	0	0
29/10/2024 12:40	0	0	0	0	0
29/10/2024 12:45	0	0	0	0	0
29/10/2024 12:50	0	0	0	0	0
29/10/2024 12:55	0	0	0	0	0
29/10/2024 13:00	0	0	0	0	0
29/10/2024 13:05	0	0	0	0	0
29/10/2024 13:10	0	0	0	0	0
29/10/2024 13:15	0	0	0	0	0
29/10/2024 13:20	0	0	0	0	0
29/10/2024 13:25	0	0	0	0	0
29/10/2024 13:30	0	0	0	0	0
29/10/2024 13:35	0	0	0	0	0
29/10/2024 13:40	0	0	0	0	0
29/10/2024 13:45	0	0	0	0	0
29/10/2024 13:50	0	0	0	0	0
29/10/2024 13:55	0	0	0	0	0
29/10/2024 14:00	0	0	0	0	0
29/10/2024 14:05	0	0	0	0	0
29/10/2024 14:10	0	0	0	0	0
29/10/2024 14:15	0	0	0	0	0
29/10/2024 14:20	0	0	0	0	0
29/10/2024 14:25	0	0	0	0	0

Tiempo	Caudal (m³/s)				
	S. Domingo-SC1	N20	TP-SD2	S. Domingo-IC2	Subsistema S. Domingo
29/10/2024 14:30	0	0	0	0	0
29/10/2024 14:35	0	0	0	0	0
29/10/2024 14:40	0	0	0	0	0
29/10/2024 14:45	0	0	0	0	0
29/10/2024 14:50	0	0	0	0	0
29/10/2024 14:55	0	0	0	0	0
29/10/2024 15:00	0	0	0	0	0
29/10/2024 15:05	0	0	0	0	0
29/10/2024 15:10	0	0	0	0	0
29/10/2024 15:15	0	0	0	0	0
29/10/2024 15:20	0	0	0	0	0
29/10/2024 15:25	0	0	0	0	0
29/10/2024 15:30	0	0	0	0	0
29/10/2024 15:35	0	0	0	0	0
29/10/2024 15:40	0	0	0	0	0
29/10/2024 15:45	0	0	0	0	0
29/10/2024 15:50	0	0	0	0	0
29/10/2024 15:55	0	0	0	0	0
29/10/2024 16:00	0	0	0	0	0
29/10/2024 16:05	0	0	0	0	0
29/10/2024 16:10	0	0	0	0	0
29/10/2024 16:15	0	0	0	0	0
29/10/2024 16:20	0,2	0,2	0	0	0
29/10/2024 16:25	0,6	0,6	0	0	0
29/10/2024 16:30	1,3	1,3	0,1	0	0,1
29/10/2024 16:35	2,3	2,3	0,3	0	0,3
29/10/2024 16:40	3,7	3,7	0,9	0	0,9
29/10/2024 16:45	5,6	5,6	1,7	0	1,7
29/10/2024 16:50	8,2	8,2	2,9	0	2,9
29/10/2024 16:55	11,5	11,5	4,5	0	4,5
29/10/2024 17:00	15,4	15,4	6,7	0	6,7
29/10/2024 17:05	19,9	19,9	9,5	0	9,5
29/10/2024 17:10	24,9	24,9	13,1	0	13,1
29/10/2024 17:15	30,3	30,3	17,2	0	17,2
29/10/2024 17:20	35,8	35,8	21,9	0	21,9
29/10/2024 17:25	40,8	40,8	27,1	0	27,1
29/10/2024 17:30	44,8	44,8	32,5	0	32,5
29/10/2024 17:35	47,8	47,8	37,8	0	37,8
29/10/2024 17:40	49,7	49,7	42,4	0	42,4
29/10/2024 17:45	51,2	51,2	46	0	46
29/10/2024 17:50	53,8	53,8	48,6	0	48,6
29/10/2024 17:55	59,4	59,4	50,3	0,2	50,5
29/10/2024 18:00	69,2	69,2	52,3	0,4	52,7
29/10/2024 18:05	83,4	83,4	56,1	0,9	57
29/10/2024 18:10	100,2	100,2	63,3	1,8	65,1
29/10/2024 18:15	116,8	116,8	74,9	2,8	77,7
29/10/2024 18:20	130,5	130,5	90,1	4,1	94,2
29/10/2024 18:25	139,7	139,7	106,9	5,4	112,3
29/10/2024 18:30	144	144	122,3	6,6	128,9
29/10/2024 18:35	143,8	143,8	134,2	7,7	141,9
29/10/2024 18:40	139,9	139,9	141,4	8,6	150
29/10/2024 18:45	133,9	133,9	143,9	9,2	153,1
29/10/2024 18:50	127	127	142,2	9,7	151,9
29/10/2024 18:55	120	120	137,5	9,9	147,4
29/10/2024 19:00	112,8	112,8	131,1	9,9	141
29/10/2024 19:05	105,4	105,4	124,2	9,7	133,9
29/10/2024 19:10	97,7	97,7	117,1	9,3	126,4
29/10/2024 19:15	89,8	89,8	109,8	8,7	118,5
29/10/2024 19:20	81,5	81,5	102,3	7,9	110,2
29/10/2024 19:25	73,2	73,2	94,6	7,1	101,7
29/10/2024 19:30	64,9	64,9	86,5	6,2	92,7
29/10/2024 19:35	57,1	57,1	78,2	5,4	83,6
29/10/2024 19:40	50,1	50,1	69,9	4,5	74,4
29/10/2024 19:45	44	44	61,8	3,8	65,6
29/10/2024 19:50	38,6	38,6	54,3	3,1	57,4
29/10/2024 19:55	33,8	33,8	47,7	2,5	50,2
29/10/2024 20:00	29,3	29,3	41,8	2	43,8
29/10/2024 20:05	25	25	36,7	1,6	38,3
29/10/2024 20:10	20,9	20,9	32	1,2	33,2
29/10/2024 20:15	17	17	27,6	1	28,6
29/10/2024 20:20	13,6	13,6	23,3	0,7	24
29/10/2024 20:25	10,5	10,5	19,3	0,6	19,9
29/10/2024 20:30	8	8	15,6	0,4	16
29/10/2024 20:35	5,9	5,9	12,3	0,3	12,6
29/10/2024 20:40	4,3	4,3	9,5	0,3	9,8
29/10/2024 20:45	3,1	3,1	7,2	0,2	7,4
29/10/2024 20:50	2,2	2,2	5,3	0,1	5,4
29/10/2024 20:55	1,5	1,5	3,8	0,1	3,9
29/10/2024 21:00	1,1	1,1	2,7	0,1	2,8
29/10/2024 21:05	0,7	0,7	1,9	0,1	2
29/10/2024 21:10	0,5	0,5	1,3	0	1,3
29/10/2024 21:15	0,4	0,4	0,9	0	0,9
29/10/2024 21:20	0,2	0,2	0,6	0	0,6
29/10/2024 21:25	0,2	0,2	0,4	0	0,4
29/10/2024 21:30	0,1	0,1	0,3	0	0,3
29/10/2024 21:35	0,1	0,1	0,2	0	0,2
29/10/2024 21:40	0	0	0,1	0	0,1
29/10/2024 21:45	0	0	0,1	0	0,1
29/10/2024 21:50	0	0	0,1	0	0,1
29/10/2024 21:55	0	0	0	0	0
29/10/2024 22:00	0	0	0	0	0
29/10/2024 22:05	0	0	0	0	0
29/10/2024 22:10	0,1	0,1	0	0	0

Tiempo	Caudal (m³/s)				
	S. Domingo-SC1	N20	TP-SD2	S. Domingo-IC2	Subsistema S. Domingo
29/10/2024 22:15	0,1	0,1	0	0	0
29/10/2024 22:20	0,2	0,2	0	0	0
29/10/2024 22:25	0,4	0,4	0,1	0	0,1
29/10/2024 22:30	0,9	0,9	0,1	0	0,1
29/10/2024 22:35	1,5	1,5	0,3	0	0,3
29/10/2024 22:40	2,3	2,3	0,6	0	0,6
29/10/2024 22:45	3,1	3,1	1,1	0	1,1
29/10/2024 22:50	3,9	3,9	1,8	0	1,8
29/10/2024 22:55	4,6	4,6	2,6	0	2,6
29/10/2024 23:00	5	5	3,4	0	3,4
29/10/2024 23:05	5,3	5,3	4,2	0	4,2
29/10/2024 23:10	5,2	5,2	4,8	0	4,8
29/10/2024 23:15	4,9	4,9	5,1	0	5,1
29/10/2024 23:20	4,4	4,4	5,3	0	5,3
29/10/2024 23:25	3,8	3,8	5,1	0	5,1
29/10/2024 23:30	3,2	3,2	4,7	0	4,7
29/10/2024 23:35	2,6	2,6	4,2	0	4,2
29/10/2024 23:40	2,2	2,2	3,6	0	3,6
29/10/2024 23:45	2	2	3	0,1	3,1
29/10/2024 23:50	2,3	2,3	2,4	0,1	2,5
29/10/2024 23:55	3,5	3,5	2,1	0,3	2,4
30/10/2024 0:00	6	6	2,1	0,5	2,6
30/10/2024 0:05	9,3	9,3	2,8	0,8	3,6
30/10/2024 0:10	12,4	12,4	4,5	1,2	5,7
30/10/2024 0:15	14,6	14,6	7,3	1,6	8,9
30/10/2024 0:20	15,4	15,4	10,5	1,9	12,4
30/10/2024 0:25	14,9	14,9	13,3	2	15,3
30/10/2024 0:30	13,5	13,5	14,9	2,1	17
30/10/2024 0:35	11,6	11,6	15,2	2,1	17,3
30/10/2024 0:40	9,5	9,5	14,4	1,9	16,3
30/10/2024 0:45	7,5	7,5	12,8	1,8	14,6
30/10/2024 0:50	5,7	5,7	10,8	1,5	12,3
30/10/2024 0:55	4,2	4,2	8,7	1,3	10
30/10/2024 1:00	3,1	3,1	6,8	1,1	7,9
30/10/2024 1:05	2,2	2,2	5,1	0,9	6
30/10/2024 1:10	1,5	1,5	3,8	0,7	4,5
30/10/2024 1:15	1	1	2,7	0,6	3,3
30/10/2024 1:20	0,7	0,7	1,9	0,5	2,4
30/10/2024 1:25	0,5	0,5	1,3	0,4	1,7
30/10/2024 1:30	0,3	0,3	0,9	0,3	1,2
30/10/2024 1:35	0,2	0,2	0,6	0,2	0,8
30/10/2024 1:40	0,1	0,1	0,4	0,2	0,6
30/10/2024 1:45	0,1	0,1	0,3	0,1	0,4
30/10/2024 1:50	0,1	0,1	0,2	0,1	0,3
30/10/2024 1:55	0	0	0,1	0,1	0,2
30/10/2024 2:00	0	0	0,1	0	0,1
30/10/2024 2:05	0	0	0	0	0
30/10/2024 2:10	0	0	0	0	0
30/10/2024 2:15	0	0	0	0	0
30/10/2024 2:20	0	0	0	0	0
30/10/2024 2:25	0	0	0	0	0
30/10/2024 2:30	0	0	0	0	0
30/10/2024 2:35	0	0	0	0	0
30/10/2024 2:40	0	0	0	0	0
30/10/2024 2:45	0	0	0	0	0
30/10/2024 2:50	0	0	0	0	0
30/10/2024 2:55	0	0	0	0	0
30/10/2024 3:00	0	0	0	0	0
30/10/2024 3:05	0	0	0	0	0
30/10/2024 3:10	0	0	0	0	0
30/10/2024 3:15	0	0	0	0	0
30/10/2024 3:20	0	0	0	0	0
30/10/2024 3:25	0	0	0	0	0
30/10/2024 3:30	0	0	0	0	0
30/10/2024 3:35	0	0	0	0	0
30/10/2024 3:40	0	0	0	0	0
30/10/2024 3:45	0	0	0	0	0
30/10/2024 3:50	0	0	0	0	0
30/10/2024 3:55	0	0	0	0	0
30/10/2024 4:00	0	0	0	0	0
30/10/2024 4:05	0	0	0	0	0
30/10/2024 4:10	0	0	0	0	0
30/10/2024 4:15	0	0	0	0	0
30/10/2024 4:20	0	0	0	0	0
30/10/2024 4:25	0	0	0	0	0
30/10/2024 4:30	0	0	0	0	0
30/10/2024 4:35	0	0	0	0	0
30/10/2024 4:40	0	0	0	0	0
30/10/2024 4:45	0	0	0	0	0
30/10/2024 4:50	0	0	0	0	0
30/10/2024 4:55	0	0	0	0	0
30/10/2024 5:00	0	0	0	0	0

2.- ANEJO 2: MEDICIONES PARA VALORACIÓN DE DAÑOS

En el apartado 5.2 del documento se ha realizado una valoración económica para estimar el coste de las medidas correctoras para la reposición de laderas y recuperación de los cauces, tras los daños ocasionados por la inundación.

En las tablas siguientes se exponen las mediciones realizadas para llevar a cabo esa estimación económica. Tal y como se ha indicado en la memoria, se trata de una valoración orientativa a partir de una serie de alternativas de protección generales, sin que se hayan realizado sondeos, ensayos, ni estudios geotécnicos específicos para cada caso. El diseño de estos sostenimientos a nivel de proyecto, requerirán estudios de mayor detalle.

2.1.- RAMBLA DEL POYO

Zona a tratar (Poyo)		Área (m^2)	Costo (€)									
			Muro de escollera colocado (m^3)	Muro de gaviones colocado hasta 8 m de altura (m^3)	Reperfilado talud (m^2) y llevada a vertedero	Protección de taludes					Limpieza de cauce y llevada a vertedero autorizado (m^3)	TOTAL
						Malla triple torsión (m^2)	Malla dinámica (m^2)	Bulones (ml)	Gunita (m^3) incluido mallazo	Drenes californianos (ml)		
			135	*190*	*12*	*28*	*450*	*115*	*425*	*70*	*30*	
PO- 13500/13890	***Ladera margen derecha***	4200	--	--	50400	--	--	--	--	--	--	**50400**
	Cauce	8750	--	--	--	--	--	--	--	--	262500	**262500**
	Ladera margen izquierda	4200	--	--	50400	--	--	--	--	--	--	**50400**
PO- 13890/14150	***Ladera margen derecha***	--	--	--	--	--	--	--	--	--	--	**--**
	Cauce	5000	--	--	--	--	--	--	--	--	150000	**150000**
	Ladera margen izquierda	2500	1012500	--	--	--	--	--	--	--	--	**1012500**
PO- 14120/14150	***Ladera margen derecha***	--	--	--	--	--	--	--	--	--	--	
	Cauce	600	--	--	--	--	--	--	--	--	18000	**18000**
	Ladera margen izquierda	--	--	--	--	--	--	--	--	--	--	
PO- 14150/14440	***Ladera margen derecha***	--	--	--	--	--	--	--	--	--	--	**--**
	Cauce	5800	--	--	--	--	--	--	--	--	174000	**174000**
	Ladera margen izquierda	--	--	--	--	--	--	--	--	--	--	**--**
PO- 14440/14630	***Ladera margen derecha***	--	--	--	--	--	--	--	--	--	--	**--**
	Cauce	3800	--	--	--	--	--	--	--	--	114000	**114000**
	Ladera margen izquierda	--	--	--	--	--	--	--	--	--	--	**--**
PO- 14630/14900	***Ladera margen derecha***	2700	1093500	--	--	--	--	--	--	--	--	**1093500**
	Cauce	5400	--	--	--	--	--	--	--	--	162000	**162000**
	Ladera margen izquierda	--	--	--	--	--	--	--	--	--	--	**--**
PO- 14900/15010	***Ladera margen derecha***	--	--	--	--	--	--	--	--	--	--	**--**
	Cauce	2200	--	--	--	--	--	--	--	--	66000	**66000**
	Ladera margen izquierda	--	--	--	--	--	--	--	--	--	--	**--**
PO- 15055/15305	***Ladera margen derecha***	2500	1012500	--	--	--	--	--	--	--	--	**1012500**
	Cauce	5000	--	--	--	--	--	--	--	--	450000	**450000**
	Ladera margen izquierda	2500	1012500	--	--	--	--	--	--	--	--	**1012500**
PO- 15305/15590	***Ladera margen derecha***	2850	1154250	--	--	--	--	--	--	--	--	**1154250**
	Cauce	5700	--	--	--	--	--	--	--	--	513000	**513000**
	Ladera margen izquierda	2850	577125	812250	--	--	--	--	--	--	--	**1389375**

Zona a tratar (Poyo)		Área (m^2)	Costo (€)									
			Muro de escollera colocado (m^3)	Muro de gaviones colocado hasta 8 m de altura (m^3)	Reperfilado talud (m^2) y llevada a vertedero	Protección de taludes					Limpieza de cauce y llevada a vertedero autorizado (m^3)	TOTAL
						Malla triple torsión (m^2)	Malla dinámica (m^2)	Bulones (ml)	Gunita (m^3) incluido mallazo	Drenes californianos (ml)		
			135	*190*	*12*	*28*	*450*	*115*	*425*	*70*	*30*	
PO- 15590/15685	***Ladera margen derecha***	--	--	--	--	--	--	--	--	--	--	**--**
	Cauce	1900	--	--	--	--	--	--	--	--	171000	**171000**
	Ladera margen izquierda	950	192375	270750	--	--	--	--	--	--	--	**463125**
PO- 15685/15710	***Ladera margen derecha***	250	101250	--	--	--	--	--	--	--	--	**101250**
	Cauce	500	--	--	--	--	--	--	--	--	45000	**45000**
	Ladera margen izquierda	--	--	--	--	--	--	--	--	--	--	**--**
PO- 15710/15995	***Ladera margen derecha***	2850	1154250	--	--	--	--	--	--	--	--	**1154250**
	Cauce	5700	--	--	--	--	--	--	--	--	513000	**513000**
	Ladera margen izquierda	2850	1154250	--	--	--	--	--	--	--	--	**1154250**
PO- 15995/16180	***Ladera margen derecha***	1850	749250	--	--	--	--	--	--	--	--	**749250**
	Cauce	--	--	--	--	--	--	--	--	--	--	**--**
	Ladera margen izquierda	1850	749250	--	--	--	--	--	--	--	--	**749250**
PO- 16180/16450	***Ladera margen derecha***	2700	1093500	--	--	--	--	--	--	--	--	**1093500**
	Cauce	5400	--	--	--	--	--	--	--	--	162000	**162000**
	Ladera margen izquierda	--	--	--	--	--	--	--	--	--	--	**--**
PO- 16450/16700	***Ladera margen derecha***	2500	1012500	--	--	--	--	--	--	--	--	**1012500**
	Cauce	5000	--	--	--	--	--	--	--	--	450000	**450000**
	Ladera margen izquierda	--	--	--	--	--	--	--	--	--	--	**--**
PO- 16700/16750	***Ladera margen derecha***	--	--	--	--	--	--	--	--	--	--	--
	Cauce	1000	--	--	--	--	--	--	--	--	90000	**90000**
	Ladera margen izquierda	--	--	--	--	--	--	--	--	--	--	--
PO- 16750/17190	***Ladera margen derecha***	6600	2673000	--	--	--	--	--	--	--	--	**2673000**
	Cauce	8800	--	--	--	--	--	--	--	--	792000	**792000**
	Ladera margen izquierda	6600	2673000	--	--	--	--	--	--	--	--	**2673000**
PO- 17190/17700	***Ladera margen derecha***	7650	3098250	--	--	--	--	--	--	--	--	**3098250**
	Cauce	10200	--	--	--	--	--	--	--	--	918000	**918000**
	Ladera margen izquierda	--	--	--	--	--	--	--	--	--	--	--
PO- 17700/18195	***Ladera margen derecha***	7425	3007125	--	--	--	--	--	--	--	--	**3007125**
	Cauce	9900	--	--	--	--	--	--	--	--	891000	**891000**
	Ladera margen izquierda	--	--	--	--	--	--	--	--	--	--	--
PO- 18195/18530	***Ladera margen derecha***	6030	2442150	--	--	--	--	--	--	--	--	**2442150**
	Cauce	6700	--	--	--	--	--	--	--	--	603000	**603000**
	Ladera margen izquierda	--	--	--	--	--	--	--	--	--	--	--

Zona a tratar (Poyo)		Área (m^2)	Costo (€)									
			Muro de escollera colocado (m^3)	Muro de gaviones colocado hasta 8 m de altura (m^3)	Reperfilado talud (m^2) y llevada a vertedero	Protección de taludes					Limpieza de cauce y llevada a vertedero autorizado (m^3)	TOTAL
						Malla triple torsión (m^2)	Malla dinámica (m^2)	Bulones (ml)	Gunita (m^3) incluido mallazo	Drenes californianos (ml)		
			135	*190*	*12*	*28*	*450*	*115*	*425*	*70*	*30*	
PO- 18530/18770	***Ladera margen derecha***	6030	2442150			--	--	--	--	--	--	**2442150**
	Cauce	4800	--	--	--	--	--	--	--	--	432000	**432000**
	Ladera margen izquierda	--	--	--	--	--	--	--	--	--	--	**--**
PO- 18770/19060	***Ladera margen derecha***	5220	2114100	--	--	--	--	--	--	--	--	**2114100**
	Cauce	5800	--	--	--	--	--	--	--	--	522000	**522000**
	Ladera margen izquierda	--	--	--	--	--	--	--	--	--	--	**--**
PO- 19060/19270	***Ladera margen derecha***	--	--	--	--	--	--	--	--	--	--	**--**
	Cauce	4200	--	--	--	--	--	--	--	--	378000	**378000**
	Ladera margen izquierda	--	--	--	--	--	--	--	--	--	--	**--**
PO- 19270/19480	***Ladera margen derecha***	--	--	--	--	--	--	--	--	--	--	**--**
	Cauce	4200	--	--	--	--	--	--	--	--	378000	**378000**
	Ladera margen izquierda	--	--	--	--	--	--	--	--	--	--	**--**
PO- 19480/19775	***Ladera margen derecha***	1770	716850	--	--	--	--	--	--	--	--	**716850**
	Cauce	5900	--	--	--	--	--	--	--	--	531000	**531000**
	Ladera margen izquierda	--	--	--	--	--	--	--	--	--	--	**--**
PO- 19775/19830	***Ladera margen derecha***	--	--	--	--	--	--	--	--	--	--	**--**
	Cauce	--	--	--	--	--	--	--	--	--	--	**--**
	Ladera margen izquierda	--	--	--	--	--	--	--	--	--	--	**--**
PO- 19830/20140	***Ladera margen derecha***	--	--	--	--	--	--	--	--	--	--	**--**
	Cauce	--	--	--	--	--	--	--	--	--	--	**--**
	Ladera margen izquierda	--	--	--	--	--	--	--	--	--	--	**--**

2.2.- BARRANCO DE L´HORTETA

Zona a tratar (L'Horteta)		Área (m^2)	Coste (€)									
			Muro de escollera colocado (m^3)	Muro de gaviones colocado hasta 8 m de altura (m^3)	Reperfilado talud (m^2) y llevada a vertedero	Protección de taludes					Limpieza de cauce y llevada a vertedero autorizado (m^3)	TOTAL
						Malla triple torsión (m^2)	Malla dinámica (m^2)	Bulones (ml)	Gunita (m^3) incluido mallazo	Drenes californianos (ml)		
			135	*190*	*12*	*28*	*450*	*115*	*425*	*70*	*30*	
HO- 0/80	***Ladera margen derecha***	1200	--	--	14400	--	--	--	--	--	--	**14400**
	Cauce	2400	--	--	--	--	--	--	--	--	216000	**216000**
	Ladera margen izquierda	1200	486000	684000	14400	--	--	--	--	--	--	**1184400**
HO- 80/110	***Ladera margen derecha***	--	--	--	--	--	--	--	--	--	--	--
	Cauce	--	--	--	--	--	--	--	--	--	--	--
	Ladera margen izquierda	--	--	--	--	--	--	--	--	--	--	--
HO- 110/270	***Ladera margen derecha***	2400	972000	--	28800							**1000800**
	Cauce	4800	--	--	--	--	--	--	--	--	432000	**432000**
	Ladera margen izquierda	2400	972000	--	28800	--	--	--	--	--	--	**1000800**
HO- 270/380	***Ladera margen derecha***	1650	668250	--	--	--	--	--	--	--	--	**668250**
	Cauce	3300	--	--	--	--	--	--	--	--	297000	**297000**
	Ladera margen izquierda	1650	--	940500	--	--	--	--	--	--	--	**940500**
HO- 380/735	***Ladera margen derecha***	--	--	--	--	--	--	--	--	--	--	--
	Cauce	10050	--	--	--	--	--	--	--	--	301500	**--**
	Ladera margen izquierda	5025	2035125	--	60300	--	--	--	--	--	--	**2095425**
HO- 735/835	***Ladera margen derecha***	--	--	--		--	--	--	--	--	--	--
	Cauce	3000	--	--		--	--	--	--	--	90000	**90000**
	Ladera margen izquierda	1500	607500	--	18000	--	--	--	--	--	--	**625500**
HO- 835/950	***Ladera margen derecha***	--	--	--		--	--	--	--	--	--	--
	Cauce	3450	--	--	--	--	--	--	--	--	310500	**310500**
	Ladera margen izquierda	1725	--	--	20700	--	--	--	--	--	--	--
HO- 950/1125	***Ladera margen derecha***	--	--	--		--	--	--	--	--	--	--
	Cauce	5250	--	--	--	--	--	--	--	--	472500	**472500**
	Ladera margen izquierda	2625	--	--	31500	--	--	--	--	--	--	--
HO- 1125/1270	***Ladera margen derecha***	675	273375	--	--	--	--	--	--	--	--	--
	Cauce	--	--	--	--	--	--	--	--	--	--	--
	Ladera margen izquierda	675	273375	--	--	--	--	--	--	--	--	**273375**
HO- 1270/1370	***Ladera margen derecha***	1500	607500	--	--	--	--	--	--	--	--	**607500**
	Cauce	3000	1215000	--	--	--	--	--	--	--	--	**1215000**

Zona a tratar (L'Horteta)		Área (m^2)	Coste (€)									
			Muro de escollera colocado (m^3)	Muro de gaviones colocado hasta 8 m de altura (m^3)	Reperfilado talud (m^2) y llevada a vertedero	Protección de taludes					Limpieza de cauce y llevada a vertedero autorizado (m^3)	TOTAL
						Malla triple torsión (m^2)	Malla dinámica (m^2)	Bulones (ml)	Gunita (m^3) incluido mallazo	Drenes californianos (ml)		
			135	*190*	*12*	*28*	*450*	*115*	*425*	*70*	*30*	
	Ladera margen izquierda	1500	607500	--	--	--	--	--	--	--	--	**607500**
HO- 1370/1730	***Ladera margen derecha***	3240	--	--	38880	--	--	--	--	--	--	**38880**
	Cauce	7200	--	--	--	--	--	--	--	--	432000	**432000**
	Ladera margen izquierda	3240	--	--	38880	--	--	--	--	--	--	**38880**
HO- 1730/20200	***Ladera margen derecha***	7050	2855250	--	--	--	--	--	--	--	--	**2855250**
	Cauce	9400	--	--	--	--	--	--	--	--	1410000	**1410000**
	Ladera margen izquierda	7050	2855250	--	--	--	--	--	--	--	--	**2855250**
HO- 2020/2290	***Ladera margen derecha***	4050	--	--	48600	--	--	--	--	--	--	**48600**
	Cauce	5400	--	--		--	--	--	--	--	486000	**486000**
	Ladera margen izquierda	4050	1640250	--	--	--	--	--	--	--	--	**1640250**
HO- 2290/2455	***Ladera margen derecha***	--	--	--	--	--	--	--	--	--	--	--
	Cauce	--	--	--	--	--	--	--	--	--	--	--
	Ladera margen izquierda	--	--	--	--	--	--	--	--	--	--	--
HO- 2455/2775	***Ladera margen derecha***	--	--	--	--	--	--	--	--	--	--	--
	Cauce	--	--	--	--	--	--	--	--	--	--	--
	Ladera margen izquierda	3200	--	--	38400	--	--	--	--	--	--	**38400**
HO- 2775/2940	***Ladera margen derecha***	--	--	--	--	--	--	--	--	--	--	--
	Cauce	3300	--	--	--	--	--	--	--	--	297000	**297000**
	Ladera margen izquierda	990	400950	--	--	--	--	--	--	--	--	**400950**
HO- 2940/3170	***Ladera margen derecha***	--	--	--	--	--	--	--	--	--	--	--
	Cauce	4600	--	--	--	--	--	--	--	--	414000	**414000**
	Ladera margen izquierda	1380	558900	--	--	--	--	--	--	--	--	**558900**
HO- 3170/3200	***Ladera margen derecha***	--	--	--	--	--	--	--	--	--	--	--
	Cauce	600	--	--	--	--	--	--	--	--	54000	**54000**
	Ladera margen izquierda	--	--	--	--	--	--	--	--	--	--	--
HO- 3200/3725	***Ladera margen derecha***	--	--	--	--	--	--	--	--	--	--	--
	Cauce	10500	--	--	--	--	--	--	--	--	945000	**945000**
	Ladera margen izquierda	750	--	--	9000	--	--	--	--	--	67500	**76500**
HO- 3725/3850	***Ladera margen derecha***	--	--	--	--	--	--	--	--	--	--	--
	Cauce	2500	--	--	--	--	--	--	--	--	225000	**225000**
	Ladera margen izquierda	--	--	--	--	--	--	--	--	--	--	--

Zona a tratar (L'Horteta)		Área (m^2)	Coste (€)									
			Muro de escollera colocado (m^3)	Muro de gaviones colocado hasta 8 m de altura (m^3)	Reperfilado talud (m^2) y llevada a vertedero	Protección de taludes					Limpieza de cauce y llevada a vertedero autorizado (m^3)	TOTAL
						Malla triple torsión (m^2)	Malla dinámica (m^2)	Bulones (ml)	Gunita (m^3) incluido mallazo	Drenes californianos (ml)		
			135	*190*	*12*	*28*	*450*	*115*	*425*	*70*	*30*	
HO- 3850/4445	***Ladera margen derecha***	3570	--	--	42840	--	--	--	--	--	--	**42840**
	Cauce	11900	--	--	--	--	--	--	--	--	1071000	**1071000**
	Ladera margen izquierda	3570	--	--	42840	--	--	--	--	--	--	**42840**
HO- 4445/4730	***Ladera margen derecha***	--	--	--	--	--	--	--	--	--	--	--
	Cauce	5700	--	--	--	--	--	--	--	--	342000	**342000**
	Ladera margen izquierda	--	--	--	--	--	--	--	--	--	--	--
HO- 4730/5780	***Ladera margen derecha***	6300	--	--	75600	--	--	--	--	--	--	**75600**
	Cauce	21000	--	--	--	--	--	--	--	--	1260000	**1260000**
	Ladera margen izquierda	6300	--	--	75600	--	--	--	--	--	--	**75600**
HO- 5780/6785	***Ladera margen derecha***	3015	--	--	36180	--	--	--	--	--	--	**36180**
	Cauce	20100	--	--	--	--	--	--	--	--	1206000	**1206000**
	Ladera margen izquierda	3015	--	--	36180	--	--	--	--	--	--	**36180**
HO- 6785/7165	***Ladera margen derecha***	760	--	--	9120	--	--	--	--	--	--	**9120**
	Cauce	7600	--	--	--	--	--	--	--	--	684000	**684000**
	Ladera margen izquierda	760	153900	--	9120	--	--	--	--	--	--	**163020**
HO- 7165/8490	***Ladera margen derecha***	--	--	--	--	--	--	--	--	--	--	--
	Cauce	26500	--	--	--	--	--	--	--	--	1590000	**1590000**
	Ladera margen izquierda	--	--	--	--	--	--	--	--	--	--	--
HO- 8490/14360	***Ladera margen derecha***	--	--	--	--	--	--	--	--	--	--	--
	Cauce	117400	--	--	--	--	--	--	--	--	3522000	**3522000**
	Ladera margen izquierda	--	--	--	--	--	--	--	--	--	--	--

2.3.- BARRANCO DE SOTERRAÑA (PARTIDA DE LA VENTETA)

Zona a tratar (Venteta)		Área (m^2)	Costo (€)									
			Muro de escollera colocado (m^3)	Muro de gaviones colocado hasta 8 m de altura (m^3)	Reperfilado talud (m^2) y llevada a vertedero	Protección de taludes					Limpieza de cauce y llevada a vertedero autorizado (m3)	TOTAL
						Malla triple torsión (m^2)	Malla dinámica (m^2)	Bulones (ml)	Gunita (m^3) incluido mallazo	Drenes californianos (ml)		
			135	*190*	*12*	*28*	*450*	*115*	*425*	*70*	*30*	
VENTETA- 0/300	***Ladera margen derecha***	1800	729000	--	21600	--	--	--	--	--	--	**750600**
	Cauce	45000	--	--	--	--	--	--	--	--	4050000	**4050000**
	Ladera margen izquierda	1800	729000	--	21600	--	--	--	--	--	--	**750600**

2.4.- CAÑADA DEL PEQUÉ

Zona a tratar (El Peque)		Área (m^2)	Costo (€)									
			Muro de escollera colocado (m^3)	Muro de gaviones colocado hasta 8 m de altura (m^3)	Reperfilado talud (m^2) y llevada a vertedero	Protección de taludes					Limpieza de cauce y llevada a vertedero autorizado (m3)	TOTAL
						Malla triple torsión (m^2)	Malla dinámica (m^2)	Bulones (ml)	Gunita (m^3) incluido mallazo	Drenes californianos (ml)		
			135	*190*	*12*	*28*	*450*	*115*	*425*	*70*	*30*	
PE- 0/240	***Ladera margen derecha***	3600	--	--	43200	--	--	--	--	--	--	**43200**
	Cauce	4800	--	--	--	--	--	--	--	--	864000	**864000**
	Ladera margen izquierda	3600	--	--	43200	--	--	--	--	--	--	**43200**
PE- 240/690	***Ladera margen derecha***	6750	--	--	81000	--	--	--	--	--	--	**81000**
	Cauce	9000	--	--	--	--	--	--	--	--	1620000	**1620000**
	Ladera margen izquierda	6750	2733750	--	--	--	--	--	--	--	--	**2733750**
PE- 690/810	***Ladera margen derecha***	--	--	--	--	--	--	--	--	--	--	--
	Cauce	2400	--	--	--	--	--	--	--	--	432000	**432000**
	Ladera margen izquierda	--	--	--	--	--	--	--	--	--	--	--
PE- 810/930	***Ladera margen derecha***	1800	--	--	21600	--	--	--	--	--	--	**21600**
	Cauce	2400	--	--	--	--	--	--	--	--	432000	**432000**
	Ladera margen izquierda	1800	729000	--	--	--	--	--	--	--	--	**729000**
PE- 930/1250	***Ladera margen derecha***	2240	--	--	26880	--	--	--	--	--	--	**26880**

Zona a tratar (El Peque)		Área (m^2)	Costo (€)									
			Muro de escollera colocado (m^3)	Muro de gaviones colocado hasta 8 m de altura (m^3)	Reperfilado talud (m^2) y llevada a vertedero	Protección de taludes					Limpieza de cauce y llevada a vertedero autorizado (m3)	TOTAL
						Malla triple torsión (m^2)	Malla dinámica (m^2)	Bulones (ml)	Gunita (m^3) incluido mallazo	Drenes californianos (ml)		
			135	*190*	*12*	*28*	*450*	*115*	*425*	*70*	*30*	
	Cauce	6400	--	--	--	--	--	--	--	--	576000	**576000**
	Ladera margen izquierda	2240	--	--	26880	--	--	--	--	--	--	**26880**
PE- 1250/1380	***Ladera margen derecha***	1950	789750	--	--	--	--	--	--	--	--	**789750**
	Cauce	--	--	--	--	--	--	--	--	--	--	--
	Ladera margen izquierda	--	--	--	--	--	--	--	--	--	--	--
PE- 1380/1455	***Ladera margen derecha***	--	--	--	--	--	--	--	--	--	--	--
	Cauce	--	--	--	--	--	--	--	--	--	--	--
	Ladera margen izquierda	--	--	--	--	--	--	--	--	--	--	--

3.- ANEJO 3: COMPARACIÓN DE INUNDACIÓN ENTRE PRE-DANA Y POST-DANA

Para poder presentar los resultados de forma homogénea para los diferentes periodos de retorno, se han dividido los cauces principales del municipio en seis áreas, que se muestran en la figura adjunta:

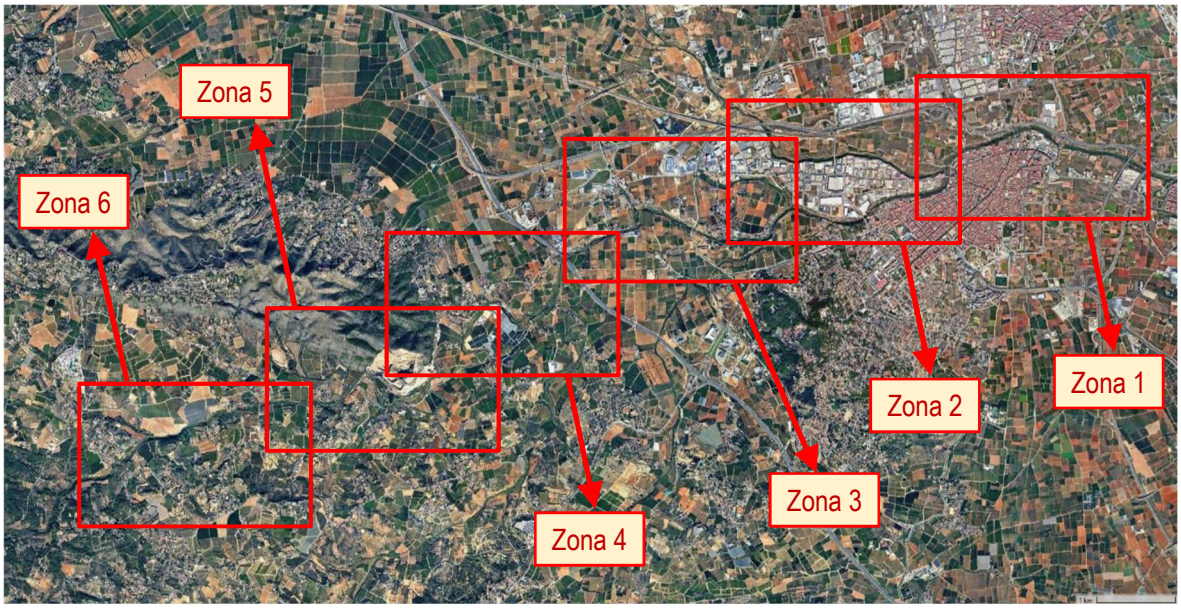

Figura 246. Delimitación de zonas para las salidas de resultados del modelo hidráulico.

A continuación, se muestran los resultados de la inundación máxima prevista para cada uno de los periodos de retorno analizados (25, 100 y 500 años). Se mostrarán los resultados de las situaciones anterior y posterior a la DANA, dentro de cada uno de los apartados. Como lo que se pretende es ver cómo cambiaría la inundación debido a los cambios geomorfológicos de los cauces, para la situación post-DANA se considerará que en la cantera de Calicanto no entra caudal desde Horteta, ya que en caso de que sí entrase, los resultados aguas abajo de la misma no serían comparables.

Como la gran extensión del trabajo no siempre permite apreciar el detalle de la inundación, se ampliarán algunos puntos en los que se considere interesante apreciar diferencias relevantes.

3.1.- T=25 AÑOS

En primer lugar se mostrarán los resultados obtenidos para el periodo de retorno de 25 años, el menor de los tres analizados.

Resultados zona 1

Para esta primera zona, la inundación obtenida por el modelo hidráulico en la situación anterior a la DANA es la siguiente:



Figura 247. Resultados del modelo hidráulico en la zona 1 en la situación PRE-DANA. T= 25 años.

Mientras que en la situación posterior a la DANA se tendría:



Figura 248. Resultados del modelo hidráulico en la zona 1 en la situación POST-DANA. T= 25 años.

Resultados zona 2

Para esta segunda zona, la inundación esperable en la situación anterior a la DANA queda:



Figura 249. Resultados del modelo hidráulico en la zona 2 en la situación PRE-DANA. T= 25 años.

Mientras que en la situación posterior a la DANA se tendría:



Figura 250. Resultados del modelo hidráulico en la zona 2 en la situación POST-DANA. T= 25 años.

Resultados zona 3

Para esta tercera zona, la inundación esperable en la situación anterior a la DANA queda:



Figura 251. Resultados del modelo hidráulico en la zona 3 en la situación PRE-DANA. T= 25 años.

Mientras que en la situación posterior a la DANA se tendría:



Figura 252. Resultados del modelo hidráulico en la zona 3 en la situación POST-DANA. T= 25 años.

Resultados zona 4

Para esta zona 4, la inundación esperable en la situación anterior a la DANA queda:

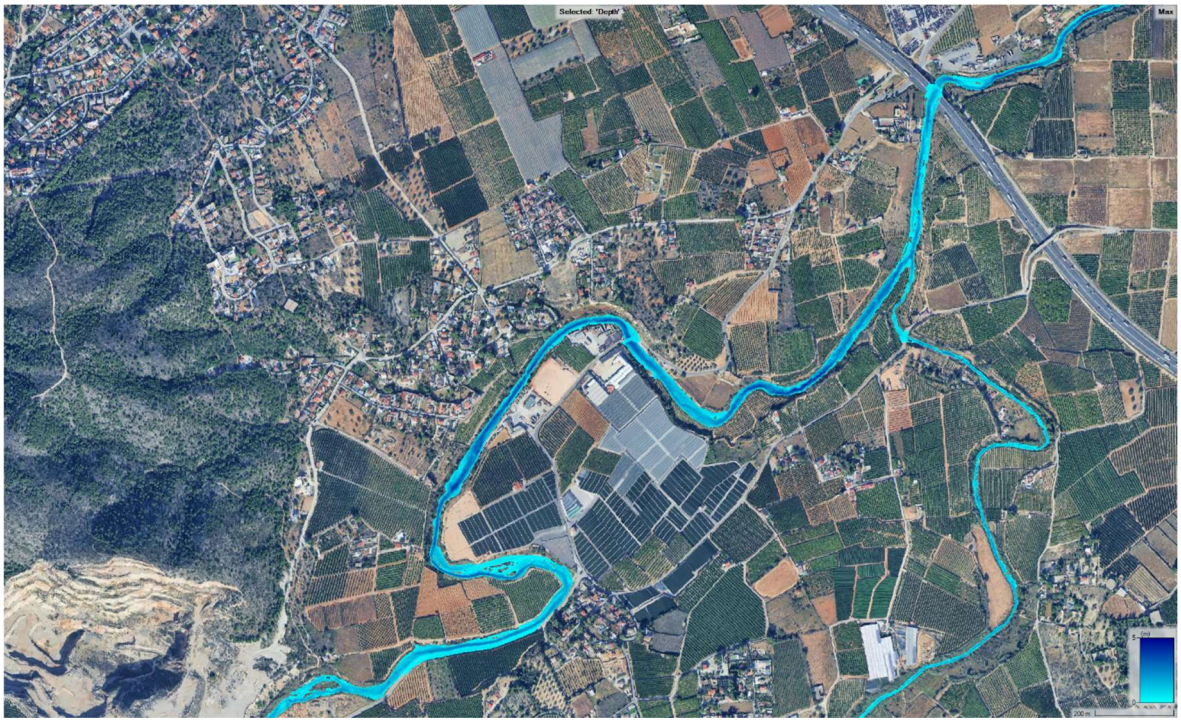

Figura 253. Resultados del modelo hidráulico en la zona 4 en la situación PRE-DANA. T= 25 años.

Mientras que en la situación posterior a la DANA se tendría:

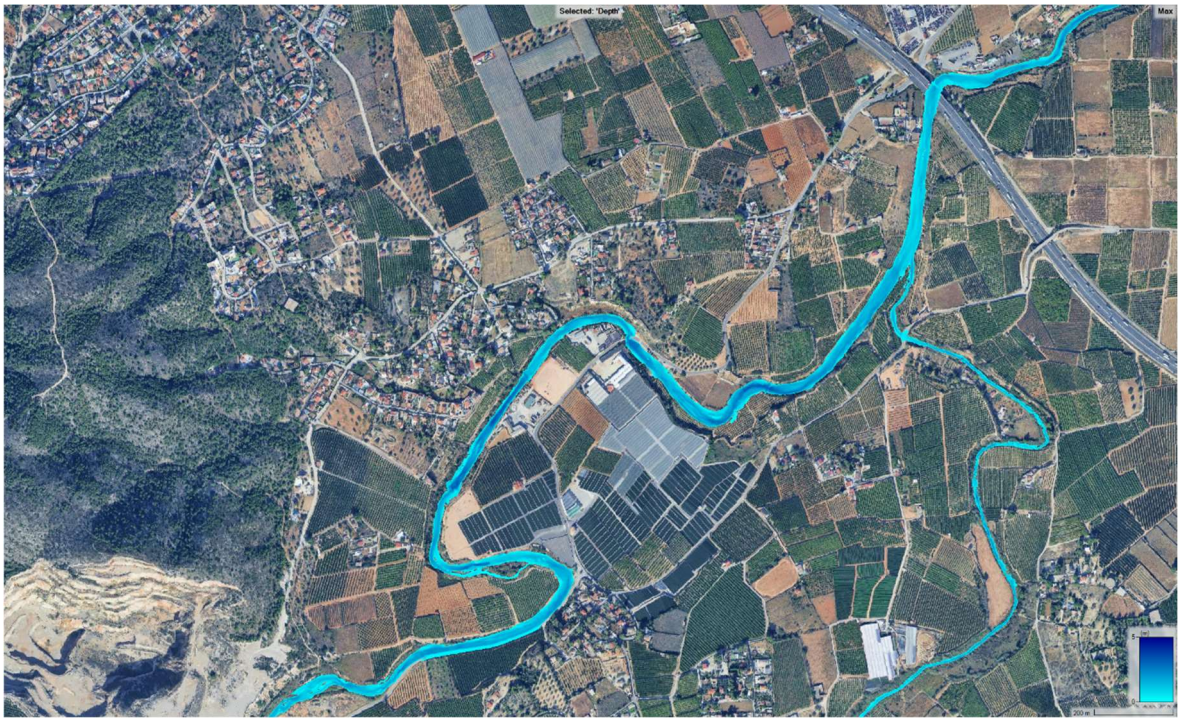

Figura 254. Resultados del modelo hidráulico en la zona 4 en la situación POST-DANA. T= 25 años.

Resultados zona 5

Para la zona 5, la inundación esperable en la situación anterior a la DANA queda:



Figura 255. Resultados del modelo hidráulico en la zona 5 en la situación PRE-DANA. T= 25 años.

Mientras que en la situación posterior a la DANA se tendría:



Figura 256. Resultados del modelo hidráulico en la zona 5 en la situación POST-DANA. T= 25 años.

Resultados zona 6

Por último, en la zona 6, la inundación esperable en la situación anterior a la DANA queda:

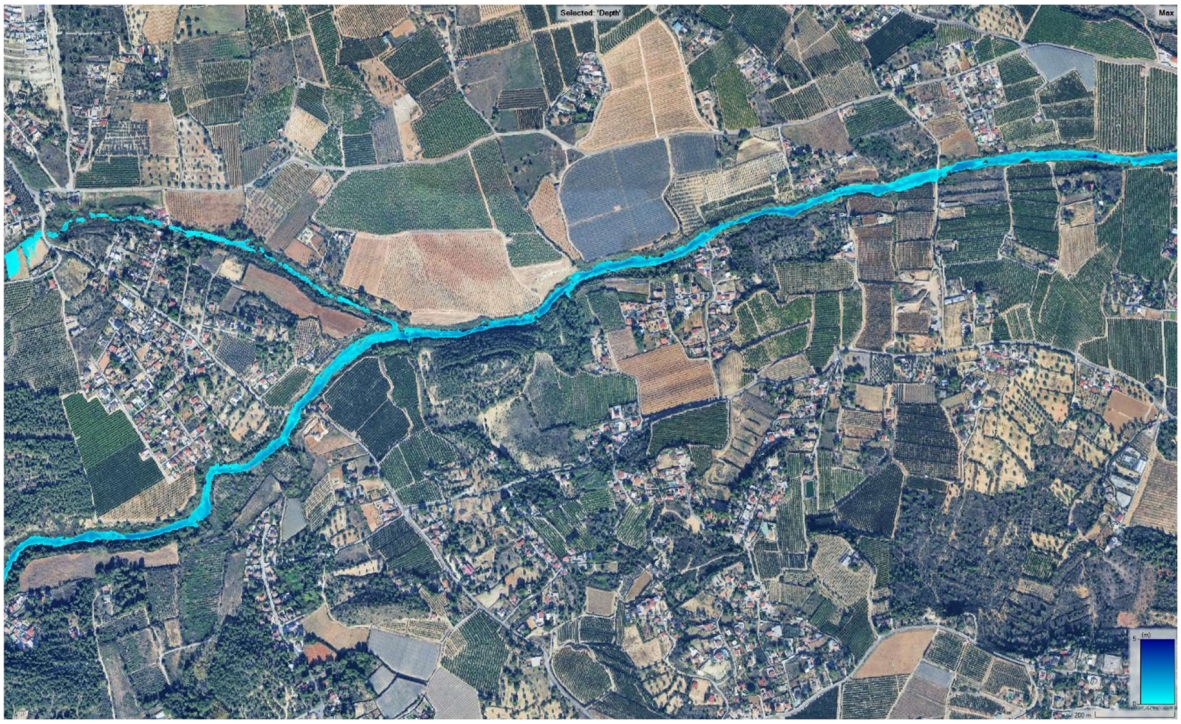

Figura 257. Resultados del modelo hidráulico en la zona 6 en la situación PRE-DANA. T= 25 años.

Mientras que en la situación posterior a la DANA se tendría:

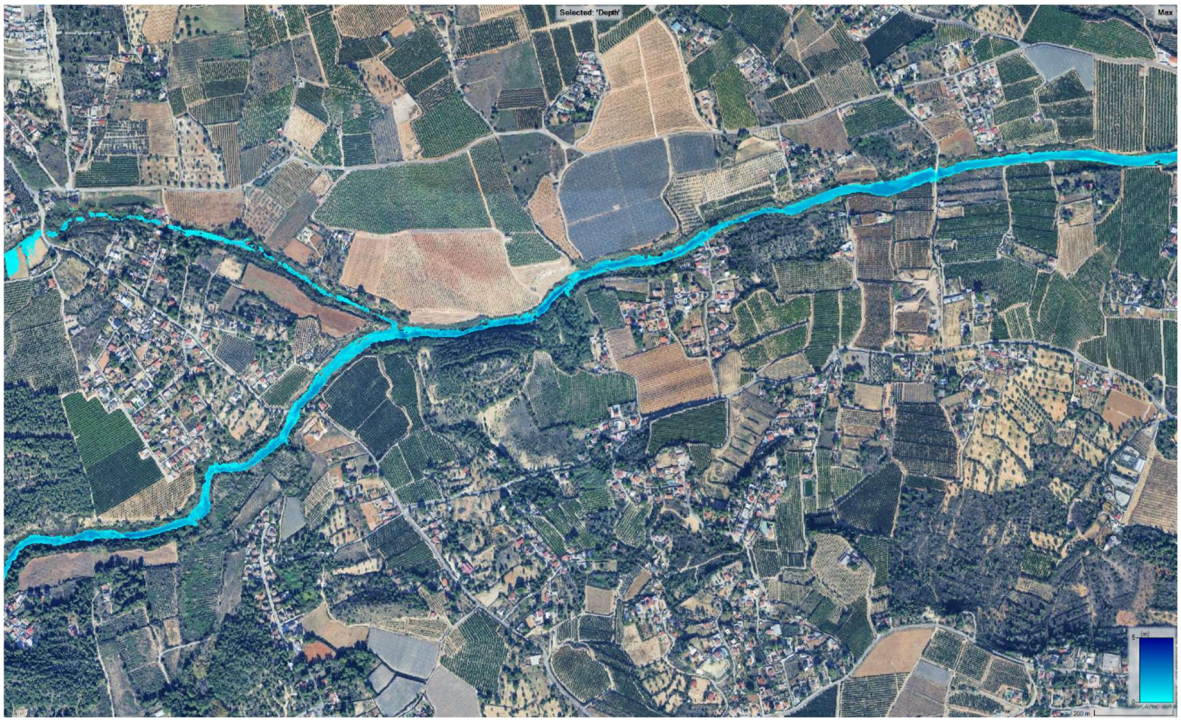

Figura 258. Resultados del modelo hidráulico en la zona 6 en la situación POST-DANA. T= 25 años.

3.2.- T=100 AÑOS

Resultados zona 1

La inundación para esta zona 1 en la situación anterior a la DANA sería la siguiente:



Figura 259. Resultados del modelo hidráulico en la zona 1 en la situación PRE-DANA. T= 100 años.

Mientras que en la situación posterior a la DANA se tendría:



Figura 260. Resultados del modelo hidráulico en la zona 1 en la situación POST-DANA. T= 100 años.

Resultados zona 2

Para esta segunda zona, la inundación esperable en la situación anterior a la DANA queda:



Figura 261. Resultados del modelo hidráulico en la zona 2 en la situación PRE-DANA. T= 100 años.

Mientras que en la situación posterior a la DANA se tendría:



Figura 262. Resultados del modelo hidráulico en la zona 2 en la situación POST-DANA. T= 100 años.

Resultados zona 3

Para esta tercera zona, la inundación esperable en la situación anterior a la DANA queda:

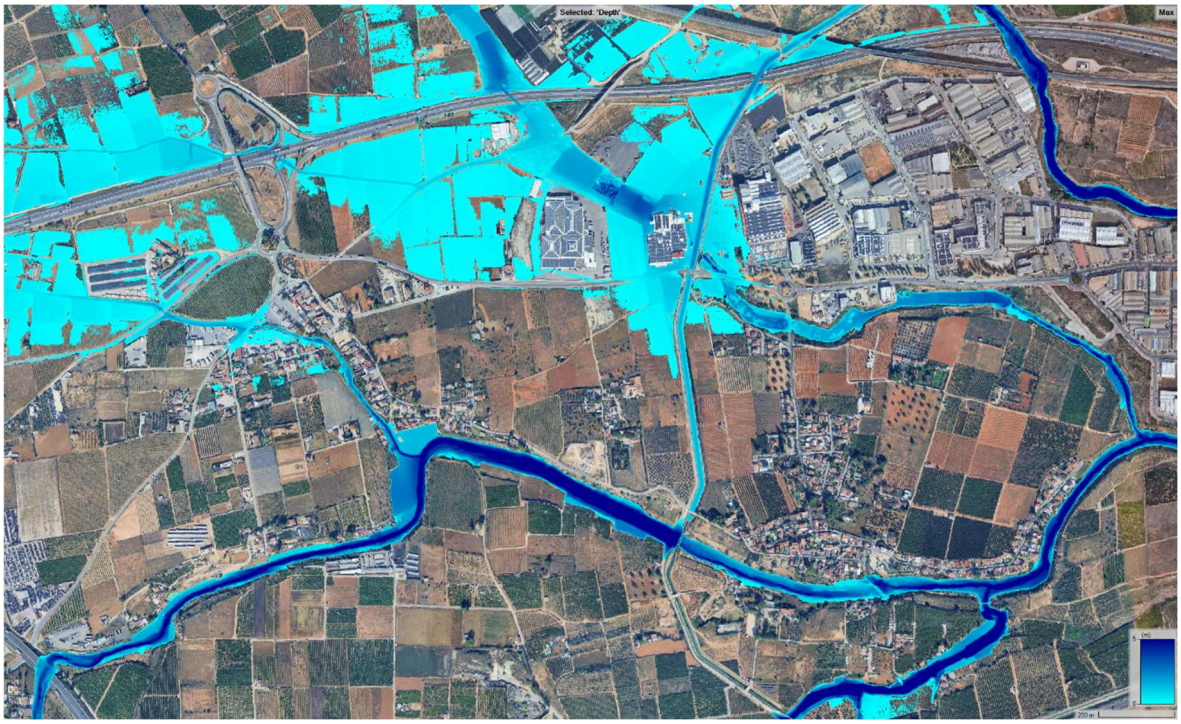

Figura 263. Resultados del modelo hidráulico en la zona 3 en la situación PRE-DANA. T= 100 años.

Mientras que en la situación posterior a la DANA se tendría:

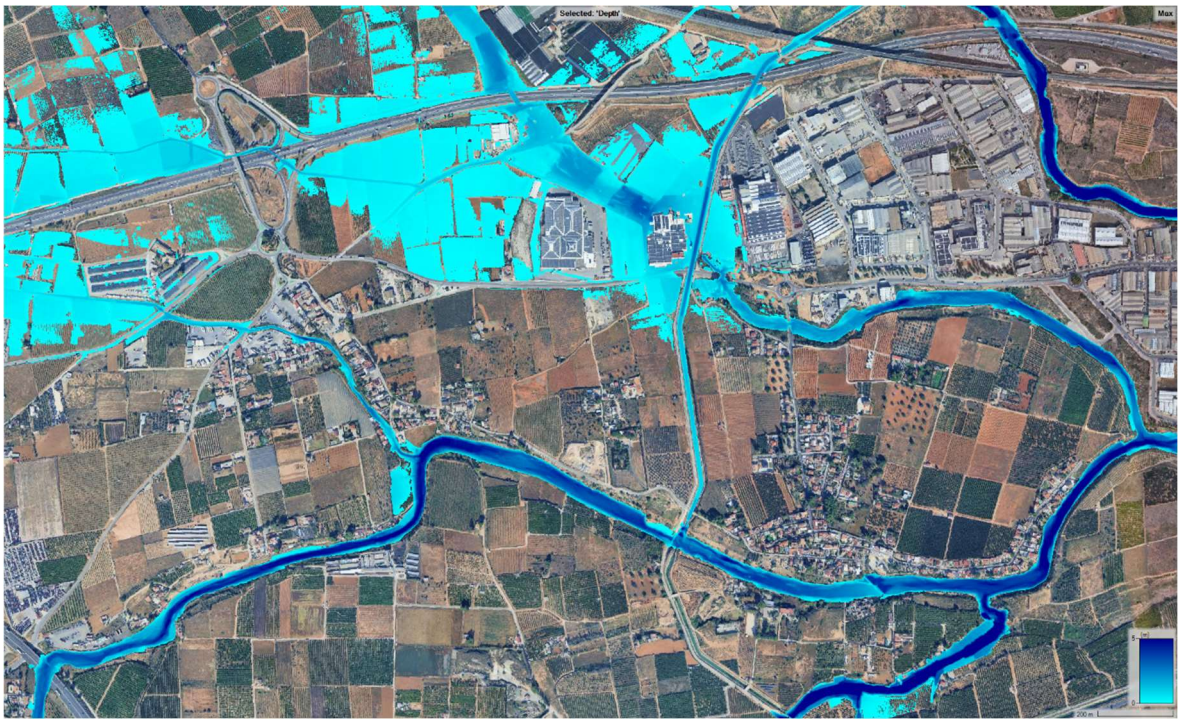

Figura 264. Resultados del modelo hidráulico en la zona 3 en la situación POST-DANA. T= 100 años.

Resultados zona 4

Para esta zona 4, la inundación esperable en la situación anterior a la DANA queda:



Figura 265. Resultados del modelo hidráulico en la zona 4 en la situación PRE-DANA. T= 100 años.

Mientras que en la situación posterior a la DANA se tendría:



Figura 266. Resultados del modelo hidráulico en la zona 4 en la situación POST-DANA. T= 100 años.

Resultados zona 5

Para la zona 5, la inundación esperable en la situación anterior a la DANA queda:



Figura 267. Resultados del modelo hidráulico en la zona 5 en la situación PRE-DANA. T= 100 años.

Mientras que en la situación posterior a la DANA se tendría:



Figura 268. Resultados del modelo hidráulico en la zona 5 en la situación POST-DANA. T= 100 años.

Resultados zona 6

Por último, en la zona 6, la inundación esperable en la situación anterior a la DANA queda:



Figura 269. Resultados del modelo hidráulico en la zona 6 en la situación PRE-DANA. T= 100 años.

Mientras que en la situación posterior a la DANA se tendría:

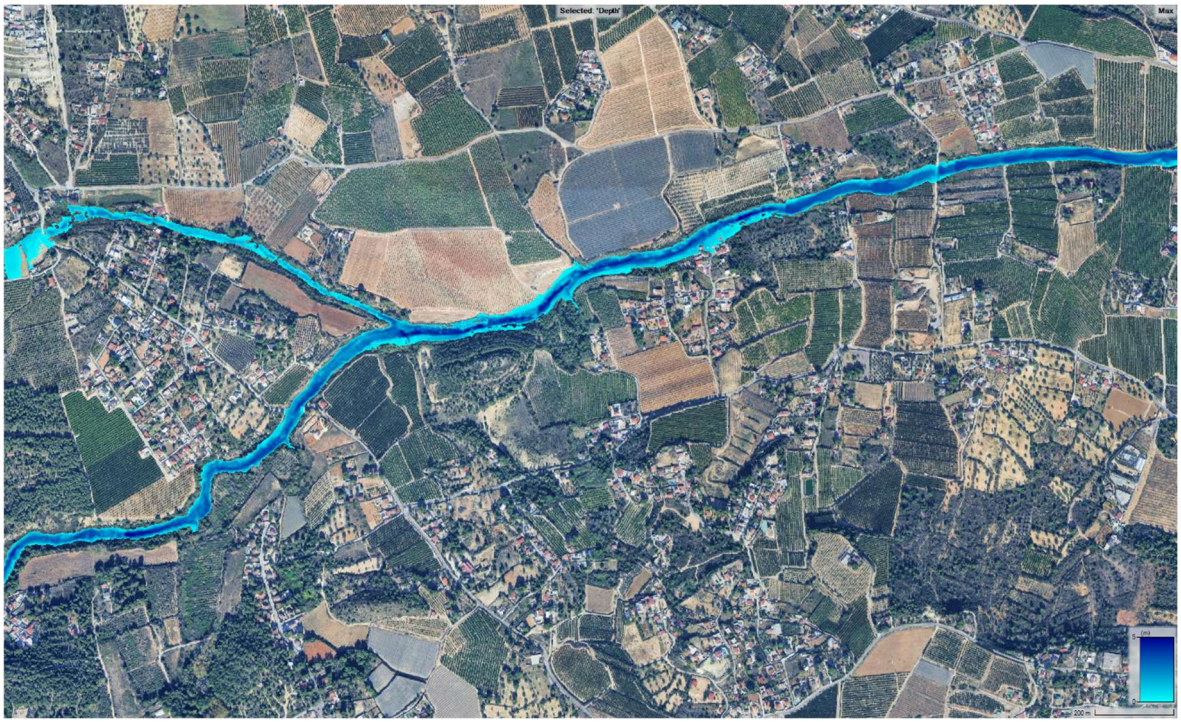

Figura 270. Resultados del modelo hidráulico en la zona 6 en la situación POST-DANA. T= 100 años.

3.3.- T=500 AÑOS

Resultados zona 1

Para esta primera zona, la inundación obtenida en la situación anterior a la DANA es la siguiente:

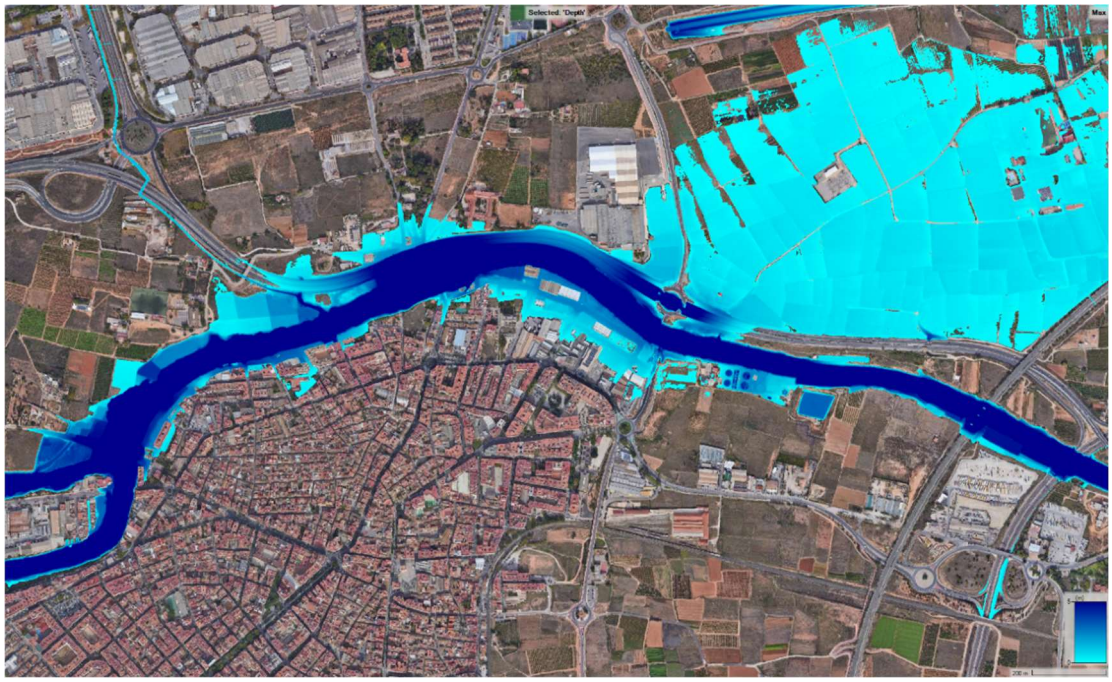

Figura 271. Resultados del modelo hidráulico en la zona 1 en la situación PRE-DANA. T= 500 años.

Mientras que en la situación posterior a la DANA se tendría:

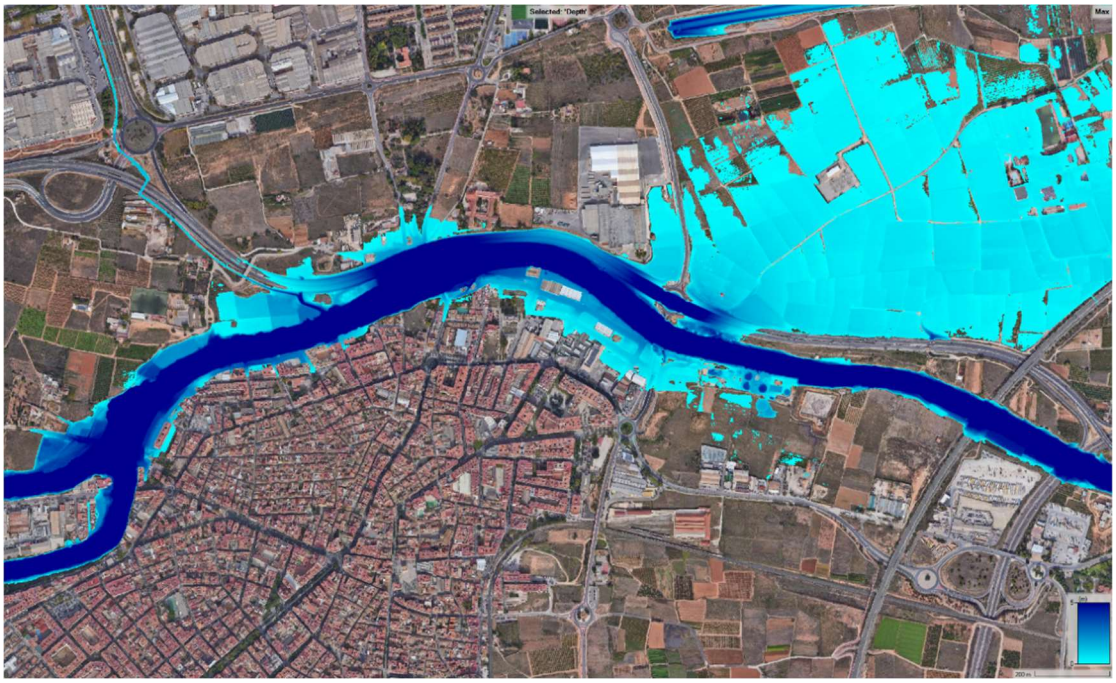

Figura 272. Resultados del modelo hidráulico en zona 1. Situación POST-DANA. T= 500 años.

Resultados zona 2

Para esta segunda zona, la inundación esperable en la situación anterior a la DANA queda:



Figura 273. Resultados del modelo hidráulico en la zona 2 en la situación PRE-DANA. T= 500 años.

Mientras que en la situación posterior a la DANA se tendría:



Figura 274. Resultados del modelo hidráulico en la zona 2 en la situación POST-DANA. T= 500 años.

Resultados zona 3

Para esta tercera zona, la inundación esperable en la situación anterior a la DANA queda:

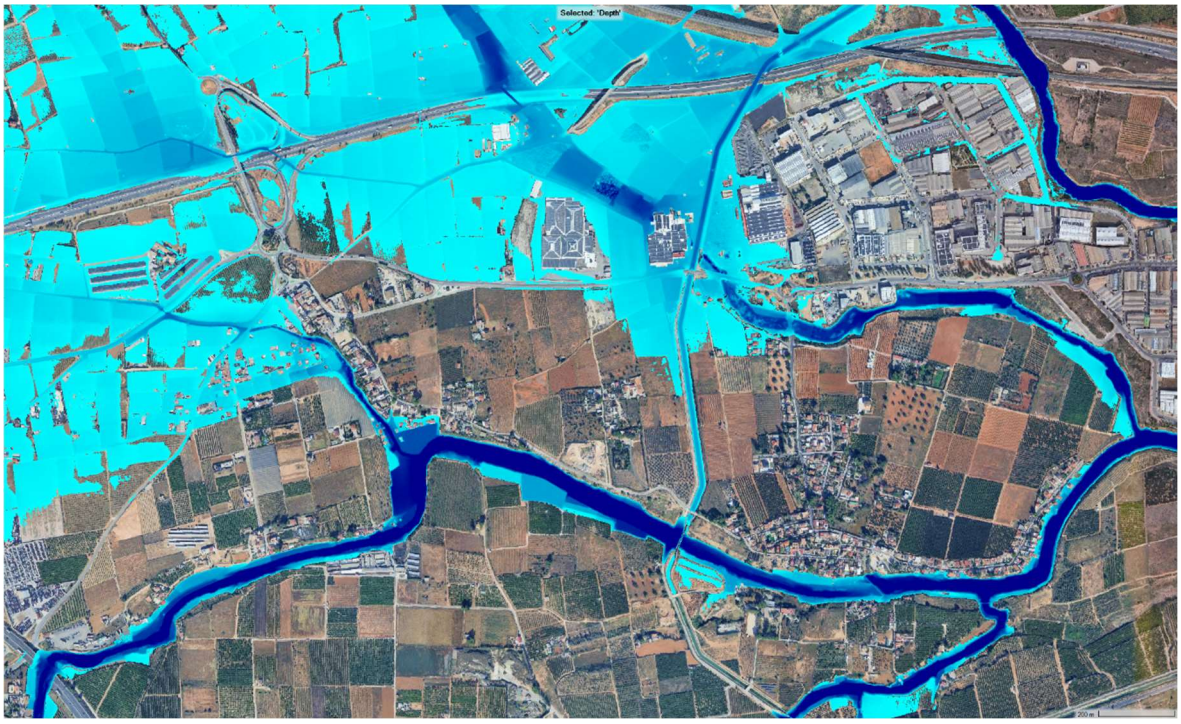

Figura 275. Resultados del modelo hidráulico en la zona 3 en la situación PRE-DANA. T= 500 años.

Mientras que en la situación posterior a la DANA se tendría:

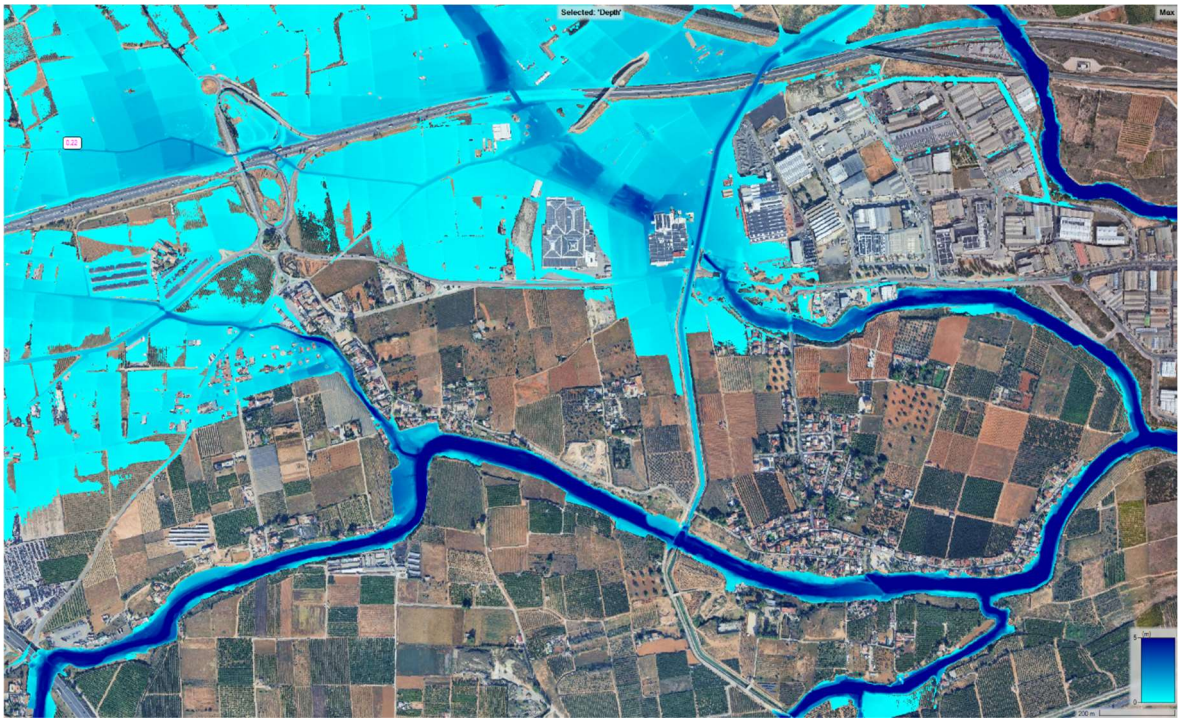

Figura 276. Resultados del modelo hidráulico en la zona 3 en la situación POST-DANA. T= 500 años.

Resultados zona 4

Para esta zona 4, la inundación esperable en la situación anterior a la DANA queda:

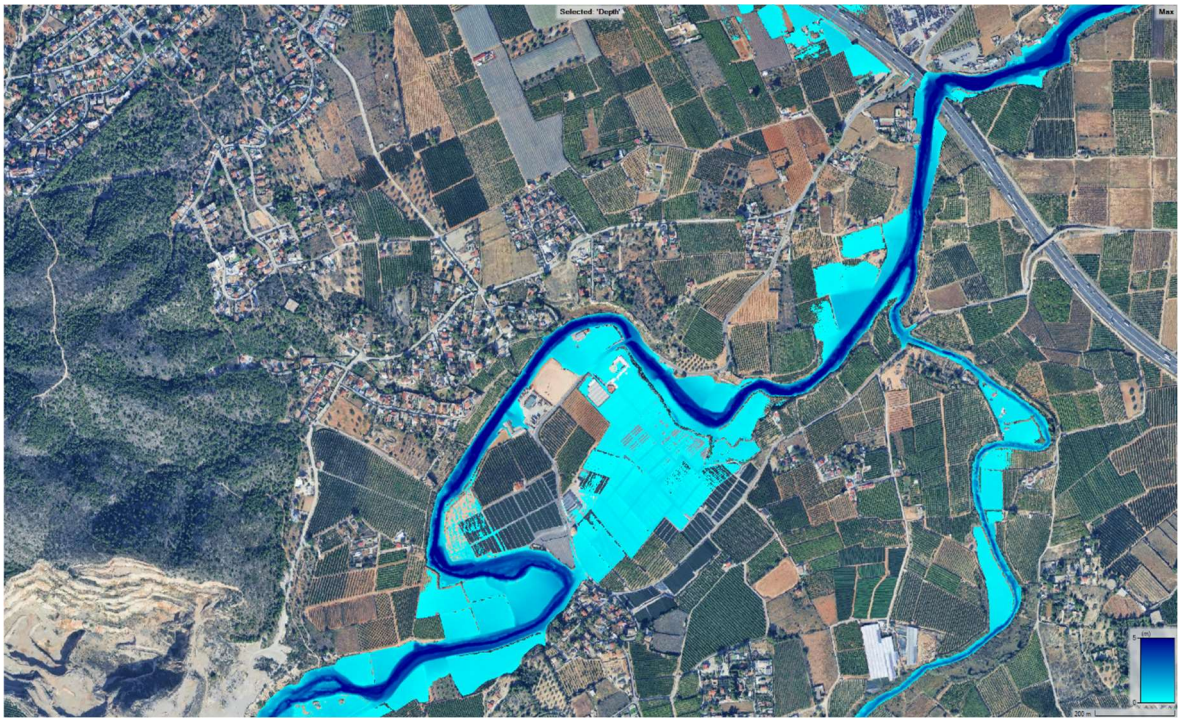

Figura 277. Resultados del modelo hidráulico en la zona 4 en la situación PRE-DANA. T= 500 años.

Mientras que en la situación posterior a la DANA se tendría:

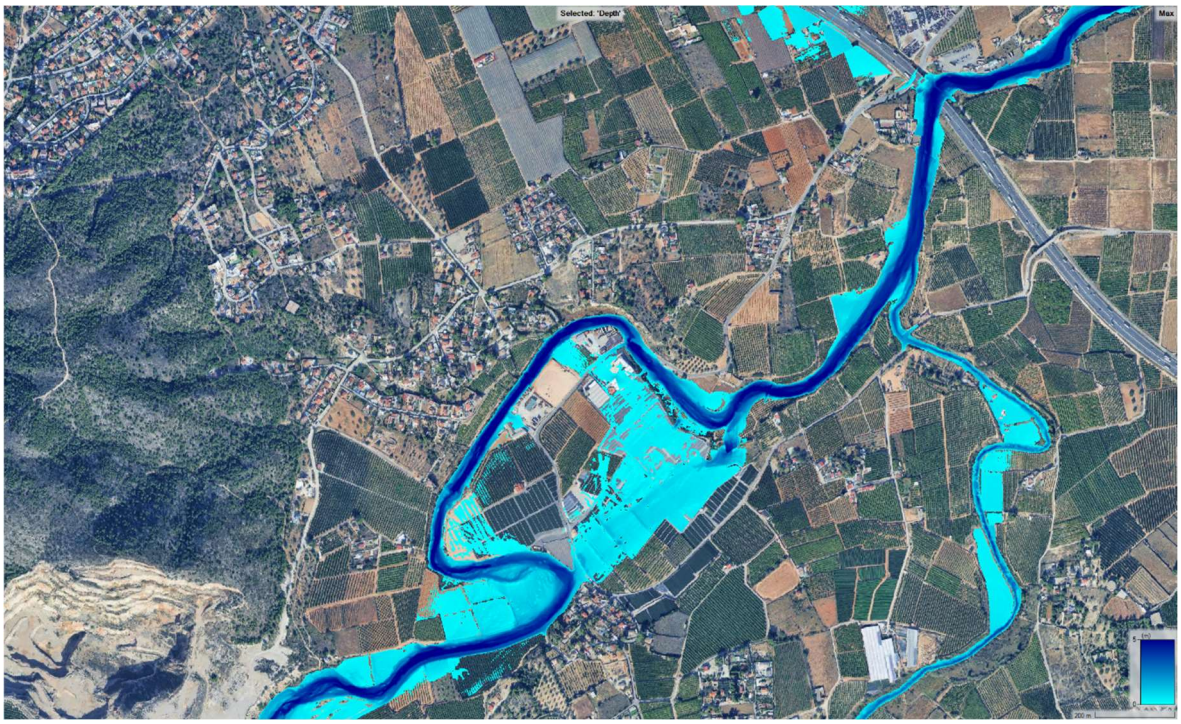

Figura 278. Resultados del modelo hidráulico en la zona 4 en la situación POST-DANA. T= 500 años.

Resultados zona 5

Para la zona 5, la inundación esperable en la situación anterior a la DANA queda:

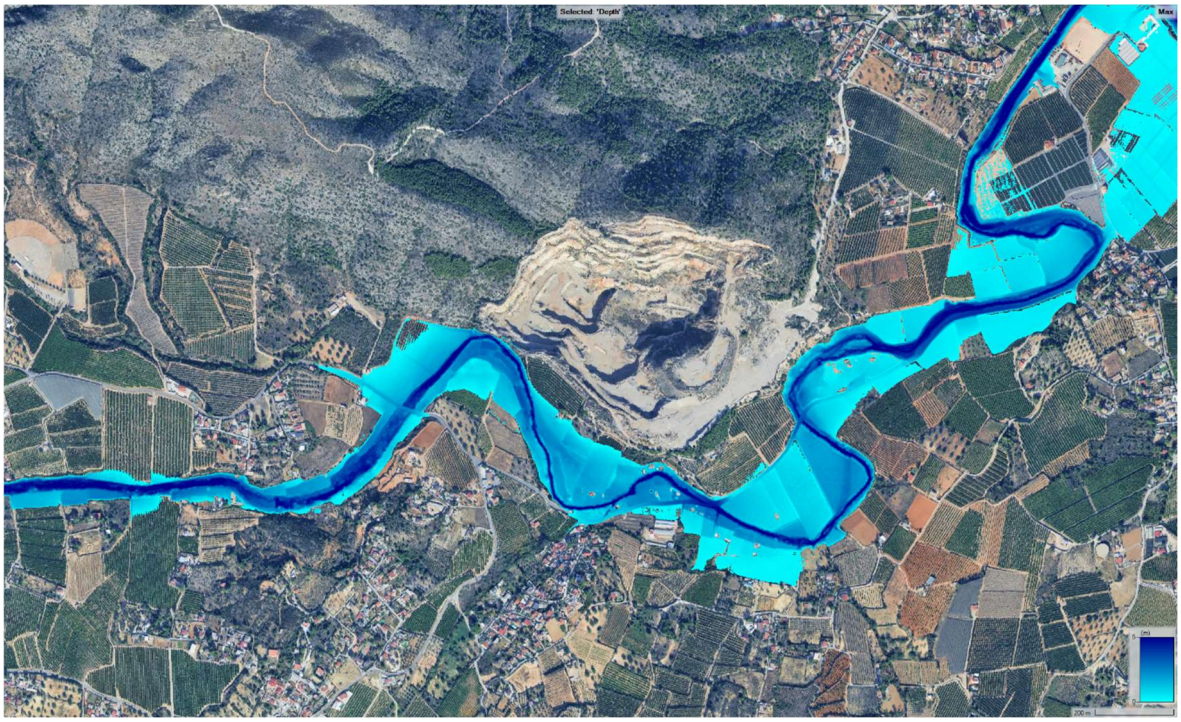

Figura 279. Resultados del modelo hidráulico en la zona 5 en la situación PRE-DANA. T= 500 años.

Mientras que en la situación posterior a la DANA se tendría:

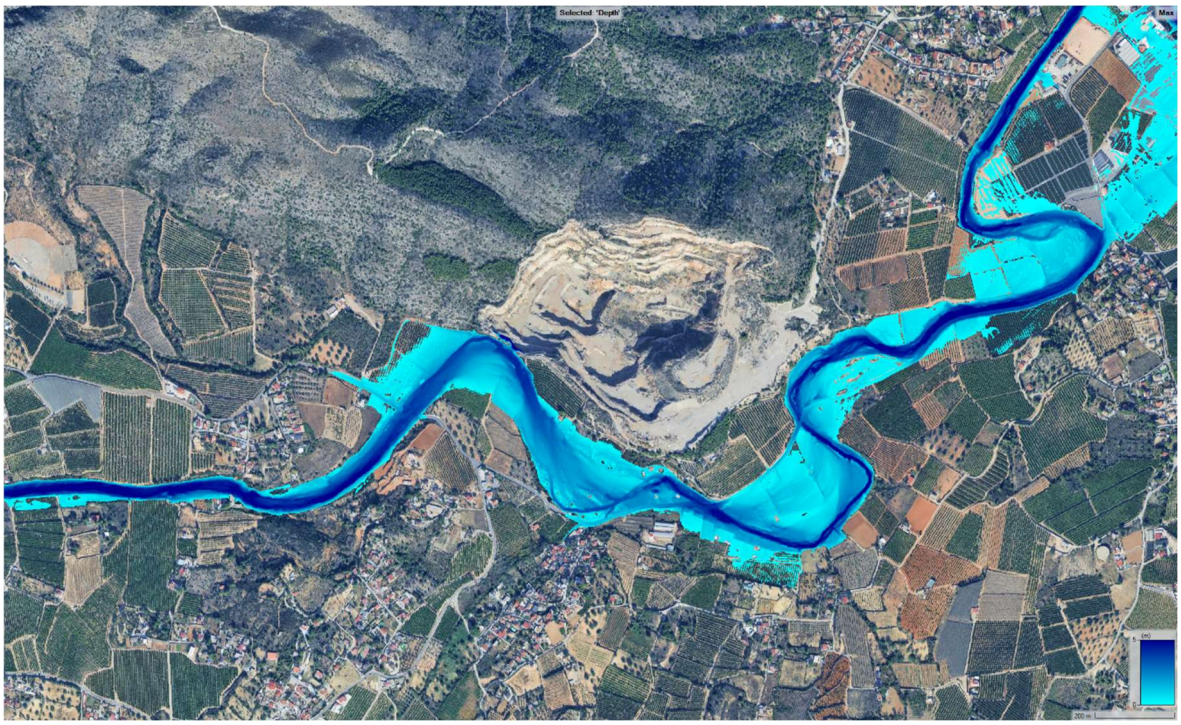

Figura 280. Resultados del modelo hidráulico en la zona 5 en la situación POST-DANA. T= 500 años.

Resultados zona 6

Por último, en la zona 6, la inundación esperable en la situación anterior a la DANA queda:

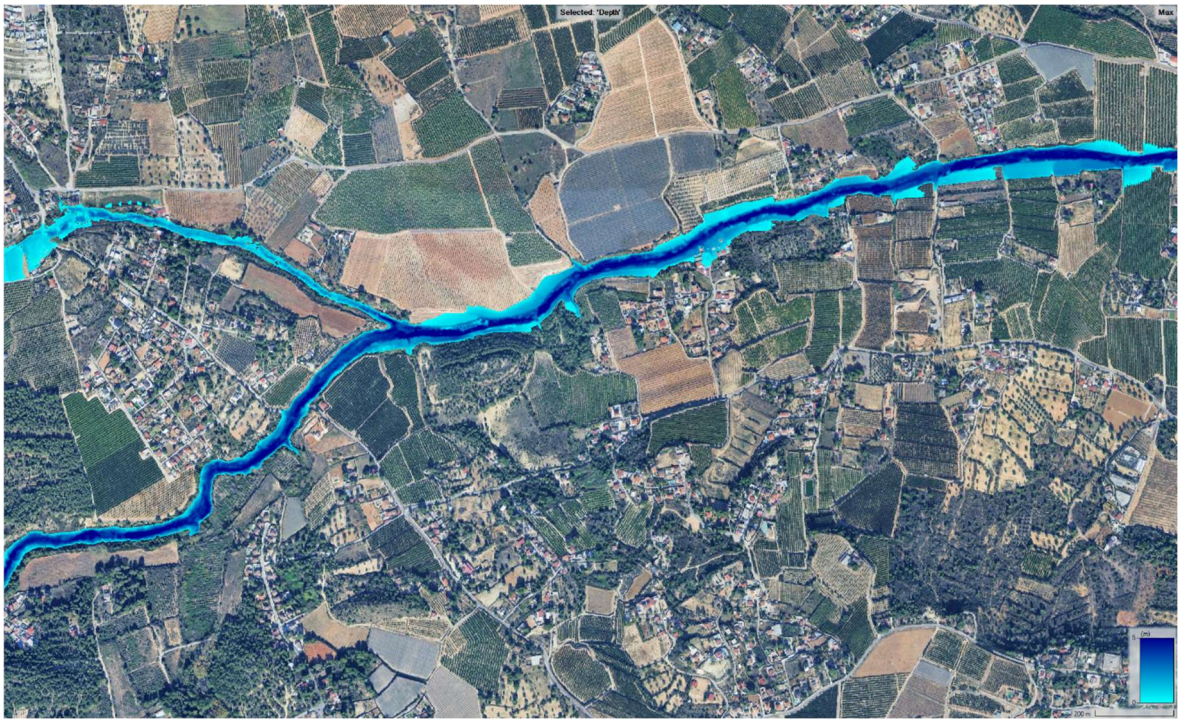

Figura 281. Resultados del modelo hidráulico en la zona 6 en la situación PRE-DANA. T= 500 años.

Mientras que en la situación posterior a la DANA se tendría:

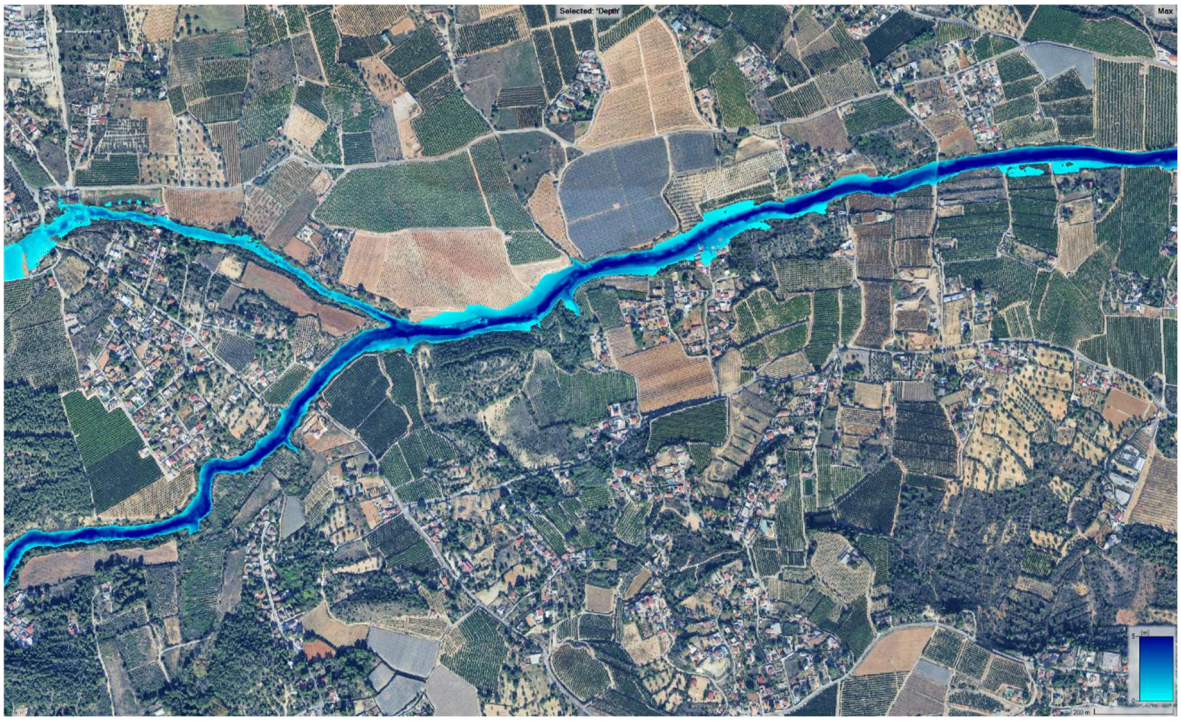

Figura 282. Resultados del modelo hidráulico en la zona 6 en la situación POST-DANA. T= 500 años.

3.4.- ZONAS CON CAMBIOS RELEVANTES EN LA INUNDACIÓN

En general, de los resultados obtenidos por la modelación hidráulica la inundación esperable en la situación posterior a la DANA, presenta una extensión inferior a la situación anterior a dicho evento en la mayor parte del territorio, aunque haya zonas puntuales en las que ocurra lo contrario. Este resultado, que podría no ser esperable a priori debido a los importantes escombros y sedimentos depositados en el lecho de los barrancos, seguramente se deba a que el cauce ha ensanchado en casi todos sus tramos.

Como la escala de trabajo anterior no permite identificar algunos de estos cambios, a continuación se muestran algunas de esas variaciones esperables en la inundación anterior y posterior a la DANA.

Detalle de la zona 1. Entorno de la depuradora y puente de la CV-403

En esta zona la situación posterior a la DANA ha empeorado el riesgo de inundabilidad en el entorno de la depuradora, aunque sin embargo, las naves industriales que están al norte de la zona urbana se anegarían menos.

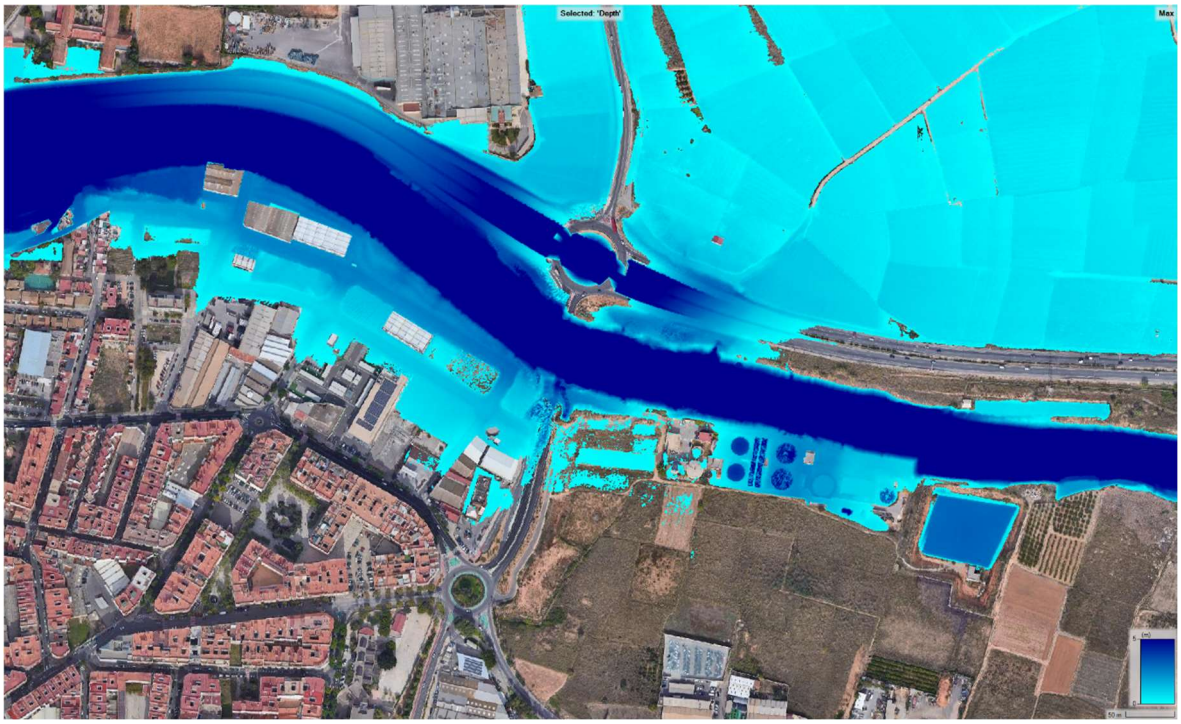

Figura 283. Inundación en el entorno de la depuradora. Situación PRE-DANA. T= 500 años.

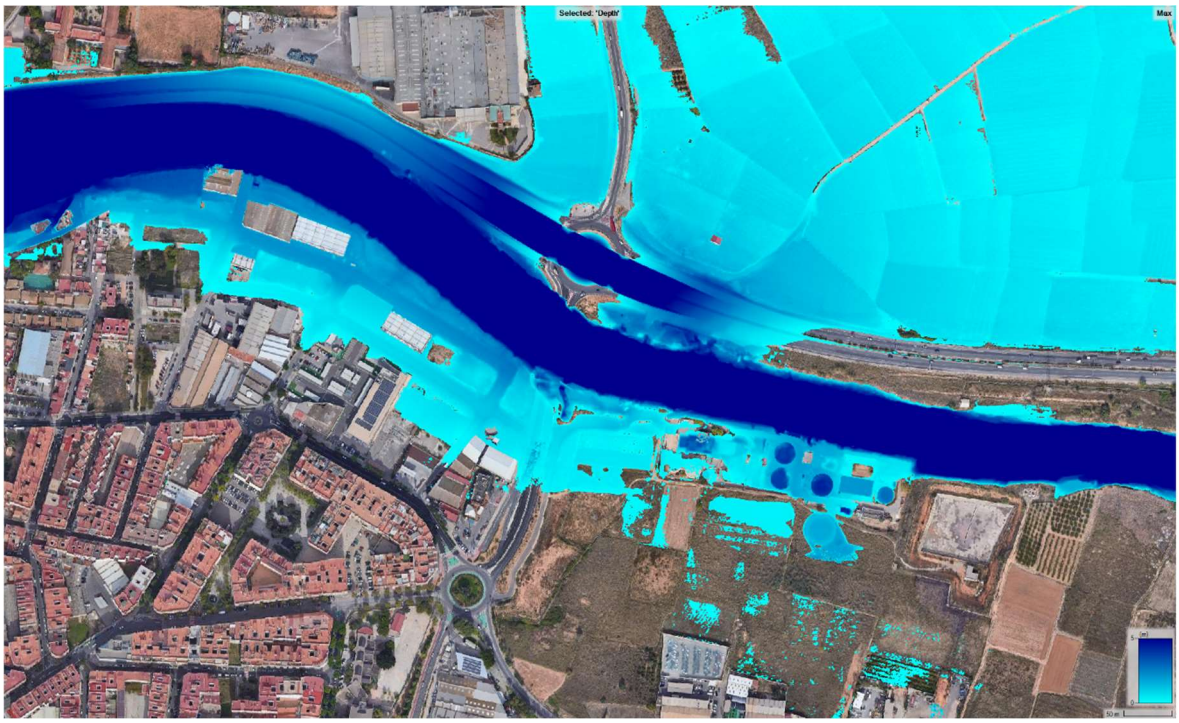

Figura 284. Inundación en el entorno de la depuradora. Situación POST-DANA. T= 500 años.

Estos resultados presentarían a priori una conclusión relevante; el emplazamiento en el que se sitúa la depuradora ha empeorado el nivel de peligrosidad por inundación fluvial tras el paso de la DANA, debido a los cambios geomorfológicos que ha sufrido la Rambla del Poyo. Por tanto, sus instalaciones correrán ahora un mayor riesgo que el que tenían hace un año.

Detalle de la zona 1. Zona norte del casco urbano

Al norte del casco urbano, apenas hay cambios significativos en la inundación externa, pero de los resultados obtenidos se puede comprobar que la inundación asociada al periodo de retorno de 500 años presenta menores calados en la situación futura, indicativo de que el barranco ha ensanchado.

En las imágenes siguientes se muestra un pequeño análisis del norte de la población. Esa mayor anchura del cauce se traduce, por ejemplo, en que los desbordamientos que se presentan por la margen izquierda tengan un menor calado para la situación posterior a la DANA. Eso puede apreciarse con claridad en la parcela situada en esa margen izquierda tras la confluencia.

En dicha situación post-DANA, también se identifican mayores calados en puntos próximos a la población que los que se tenían en la situación previa, indicativo de que se han producido fuertes

erosiones por la margen derecha, que deberían ser corregidas por la proximidad de viales y edificaciones del casco urbano.

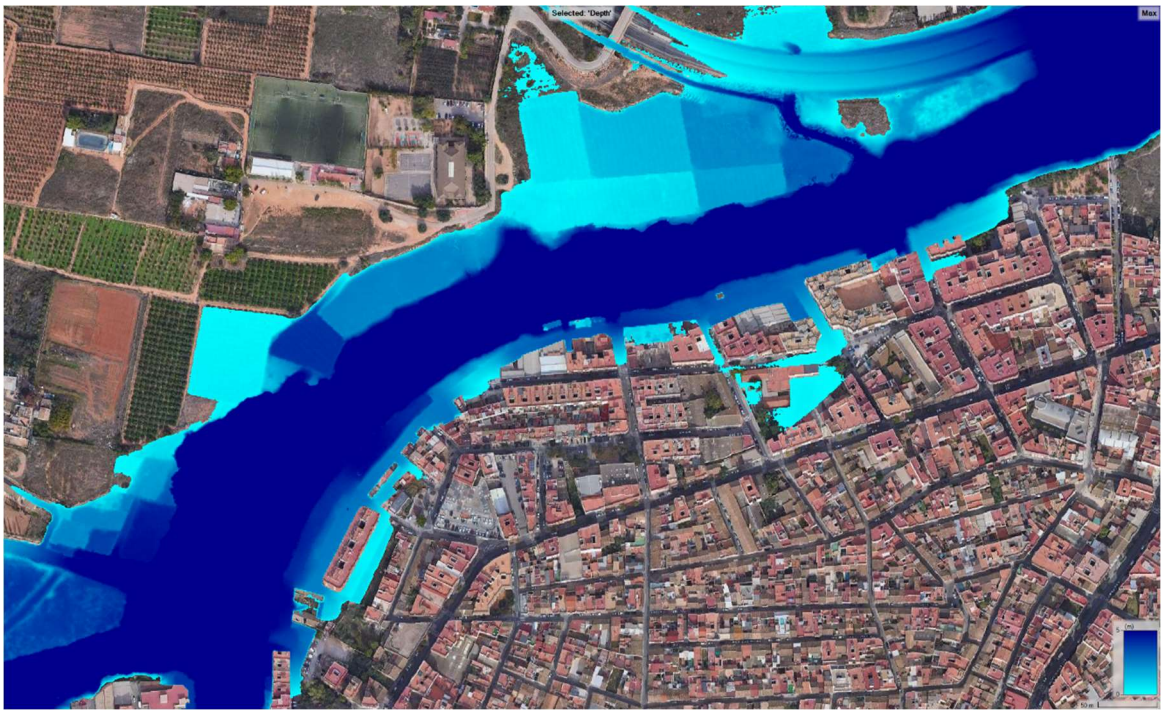

Figura 285. Inundación al norte del casco urbano. Situación PRE-DANA. T= 500 años.



Figura 286. Inundación al norte del casco urbano. Situación POST-DANA. T= 500 años.

Detalle de la zona 2. Confluencia entre la rambla del Poyo y el Barranco de Horteta

La confluencia entre la rambla del Poyo y el Barranco de Horteta se ha ensanchado significativamente tras la DANA, por lo que la inundación esperable en el futuro tendrá menores calados pero mayor amplitud, según puede apreciarse en las figuras adjuntas.



Figura 287. Inundación en la confluencia. Situación PRE-DANA a la izquierda y POST-DANA a la derecha. T= 100 años.

En este caso se representa para el periodo de retorno de 100 años, para evidenciar que estos cambios no solamente se producen para los periodos de retorno elevados. Para este cuantil se pueden apreciar cambios significativos en la Rambla del Poyo, por el ensanchamiento de su cauce, y en el tramo final de Horteta, cuya corriente se ha estrechado aguas arriba del puente por los sedimentos depositados en su margen izquierda.

Detalle de la zona 2. Entorno del cruce del Poyo con la CV-36

En este otro ejemplo se identifican también variaciones significativas en los calados esperables entre la situación anterior y posterior a la DANA, como consecuencia de los sedimentos y escombros depositados en el lecho. De nuevo se representarán los resultados para el periodo de retorno de 100 años, por apreciarse mejor que el de 500.

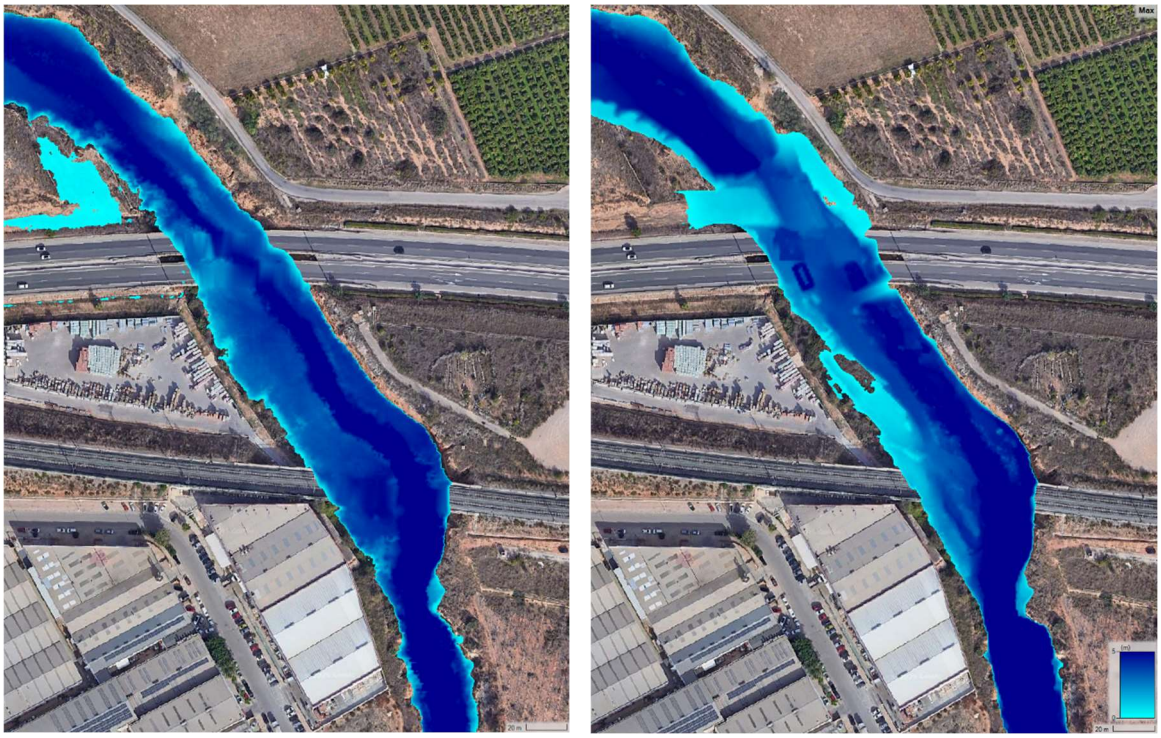

Figura 288. Inundación en la confluencia. Situación PRE-DANA a la izquierda y POST-DANA a la derecha. T= 100 años.

Detalle de la zona 3. Zona junto al polígono en la cañada del Pequé.

En el recorrido de la cañada del Peque en este entorno, el barranco se ha ampliado hacia la zona del polígono, ocasionando importantes erosiones por su margen derecha que en el futuro ocasionará una mayor amplitud en la inundación, aunque con calados menores.

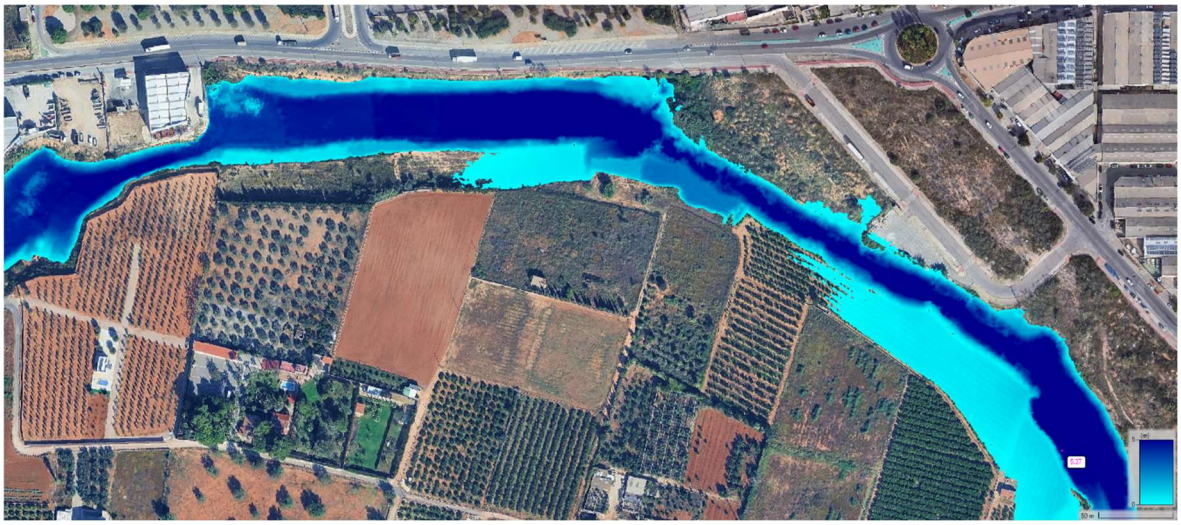

Figura 289. Cañada del Pequé junto al polígono Mas del Jutge. Situación PRE-DANA, T= 500 años.

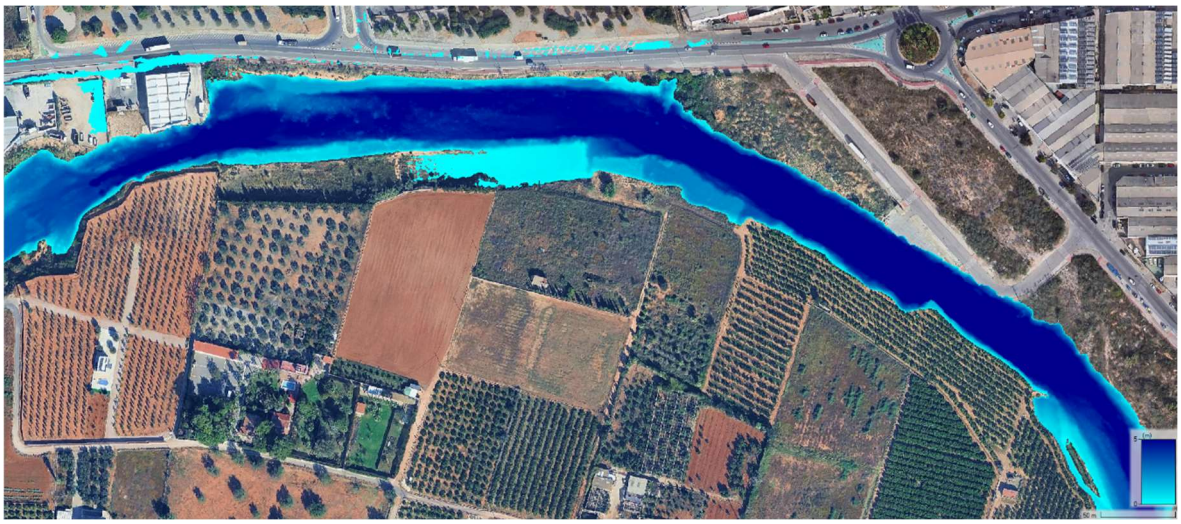

Figura 290. Cañada del Pequé junto al polígono Mas del Jutge. Situación POST-DANA, T= 500 años.

Detalle de la zona 3. Zona del pantano y cruce con el canal Júcar-Turia.

En este caso la situación pre DANA presentaba unos calados mayores aguas arriba del acueducto del canal Júcar-Turia, por estar éste situado a cota muy baja, obstruyendo la corriente. Tras la eliminación del acueducto los calados esperables serán obviamente menores, pero si se repone a esa misma cota tan baja, su estructura volvería a obstruir la libre circulación del flujo.

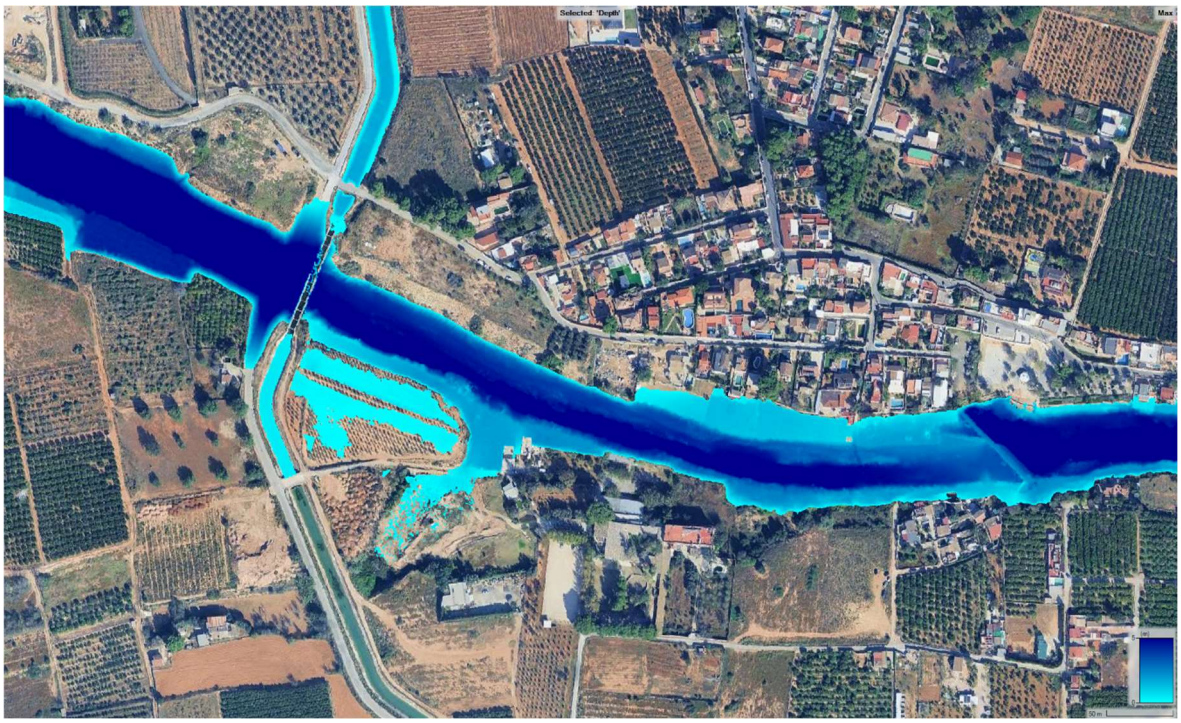

Figura 291. Detalle del Bco. de Horteta en la zona del pantano. Situación PRE-DANA. T= 500 años.



Figura 292. Detalle del Bco. de Horteta en la zona del pantano. Situación POST-DANA. T= 500 años.

En el entorno del pantano la situación es casi inversa, ya que los calados se incrementan en la situación post-DANA en el entorno del azud, especialmente aguas arriba del mismo. Seguramente la causa esté relacionada con los escombros depositados en el cauce.

Este incremento de calados esperable para la situación futura resulta especialmente delicado en este entorno, por la proximidad de viviendas próximas al cauce en la partida del Pantano, especialmente por su margen izquierda. Muchas de estas viviendas se vieron afectadas durante la DANA.

Detalle de la zona 4. Zona del meandro de Horteta.

En el entorno del meandro, las variaciones soy muy significativas, ya que el flujo desbordado ha iniciado la socavación de una corta fluvial, que tiende a atravesarlo a través del mismo. Debido a este motivo, el flujo tiende a concentrarse por el nuevo canal abierto en el meandro, por lo que los caudales esperables son más bajos en la situación posterior a la DANA. Sin embargo, los particulares de esa zona están realizando aterramientos en el cauce y en su entorno, por lo que es previsible que esta situación cambie a corto plazo.

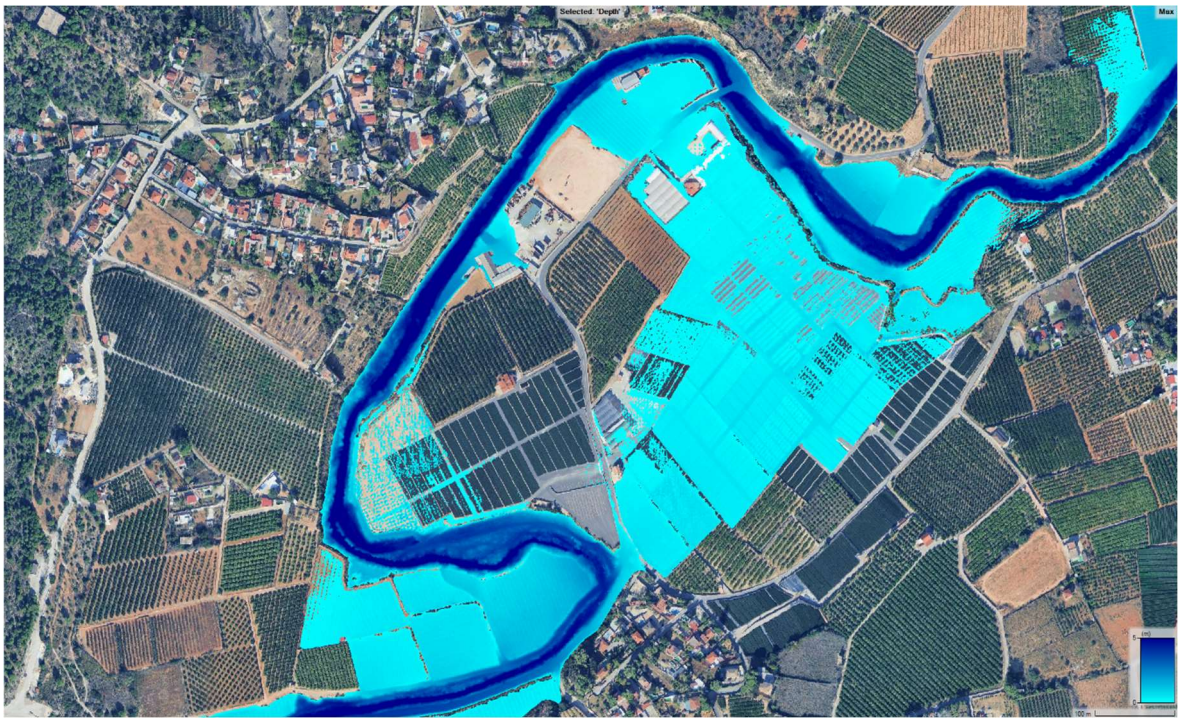

Figura 293. Detalle del Bco. de Horteta en la zona del meandro. Situación PRE-DANA. T= 500 años.

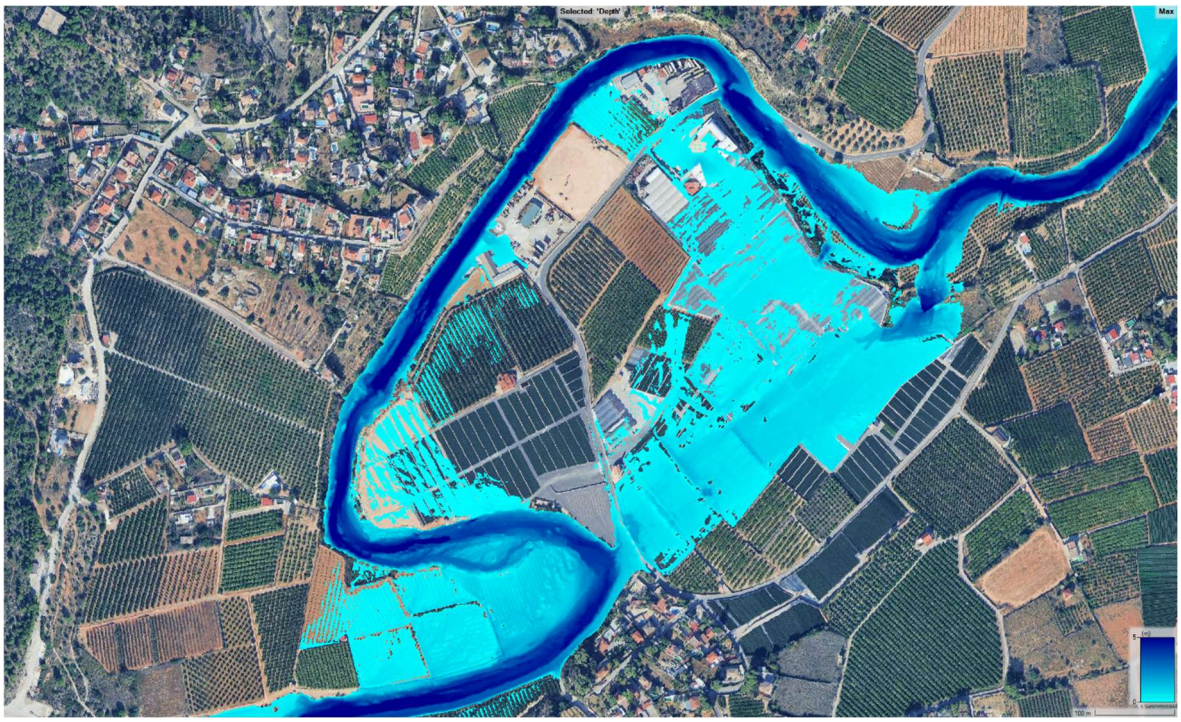

Figura 294. Detalle del Bco. de Horteta en la zona del meandro. Situación POST-DANA. T= 500 años.

El inicio de esta corta fluvial puede verse mejor si se analizan los resultados de los modelos para el periodo de retorno de 100 años. En ese caso, puede apreciarse que el flujo no atravesaba el meandro en la situación anterior a la DANA, pero sí está previsto que lo haga para la situación post-DANA.

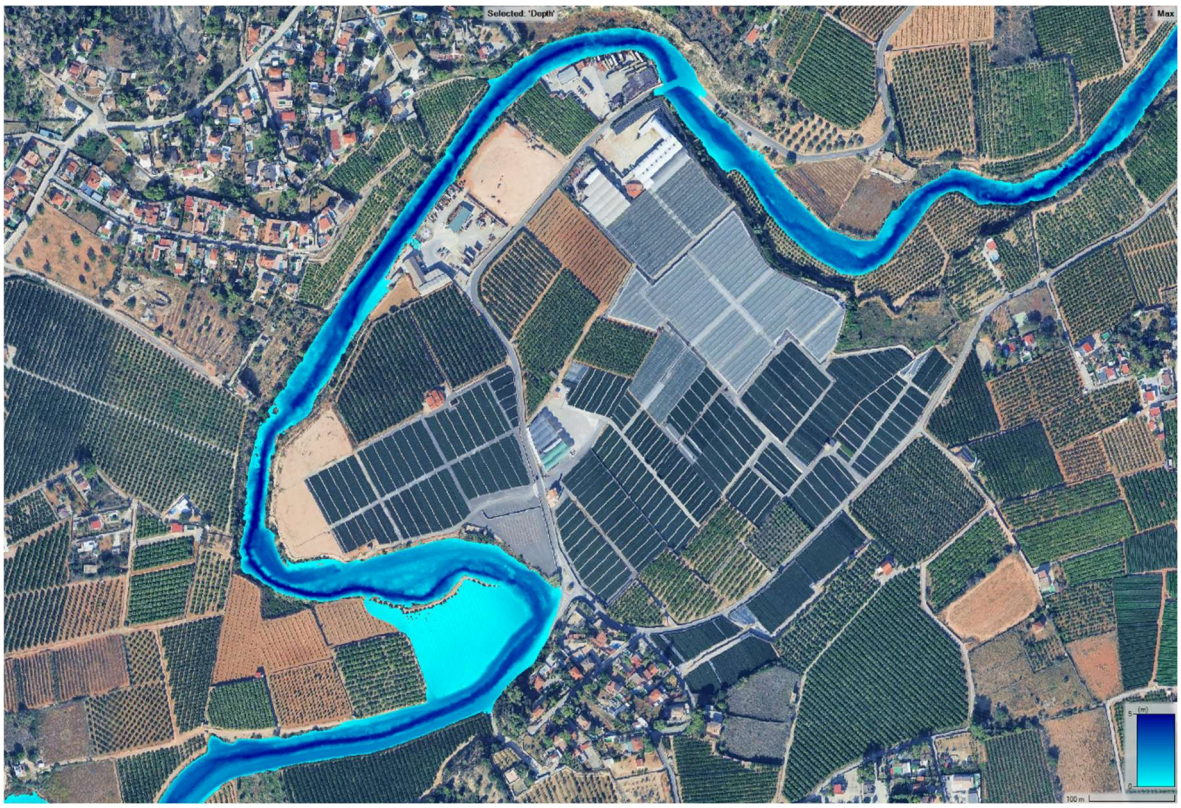

Figura 295. Detalle del Bco. de Horteta en la zona del meandro. Situación PRE-DANA. T= 100 años.

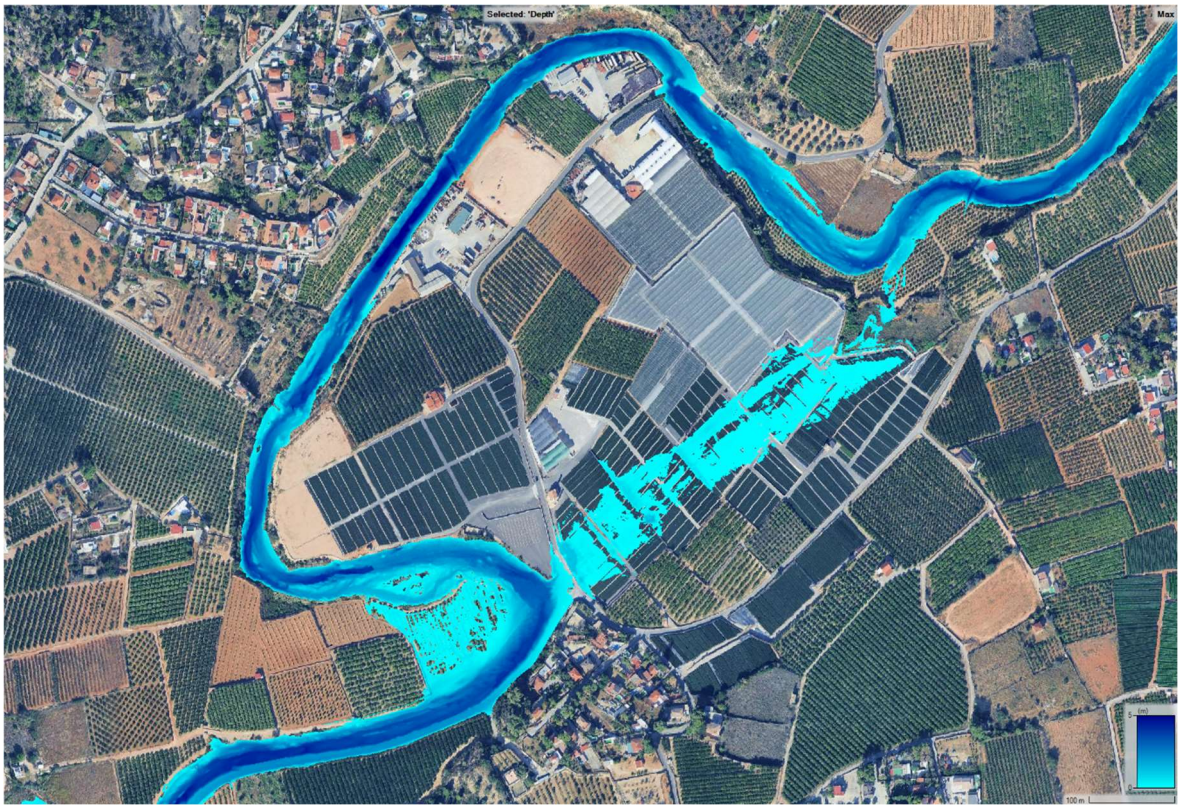

Figura 296. Detalle del Bco. de Horteta en la zona del meandro. Situación POST-DANA. T= 100 años.

Detalle de la zona 5. Zona de la cantera de Calicanto.

Tal y como se ha indicado con anterioridad, el dique de cierre de la cantera de Calicanto se derrumbó parcialmente durante la crecida, lo que permitió que un gran volumen de agua entrase en ella. Ahora mismo, la crecida con un periodo de retorno de 500 año penetraría en la cantera.

Pero como lo que se pretende en este trabajo es analizar la variación de riesgo que se haya podido generar por las modificaciones en las laderas y el lecho del cauce, no se considerará la apertura de la cantera en este análisis, para poder apreciar mejor la variación de riesgo que supone la evolución geomorfológica de los cauces tras la DANA.

Puede apreciarse que en la situación anterior a la DANA, el Barranco de Horteta presentaba una anchura mínima frente a la cantera. Esa escasez de ancho, unido a los arrastres sólidos del barranco, provocaron que se produzca un aterramiento generalizado en ese pequeño cauce de aguas bajas que presentaba Horteta, y que ahora prácticamente ha desaparecido. Como consecuencia, el flujo discurrirá ahora completamente disperso frente a la cantera, sin un cauce definido.

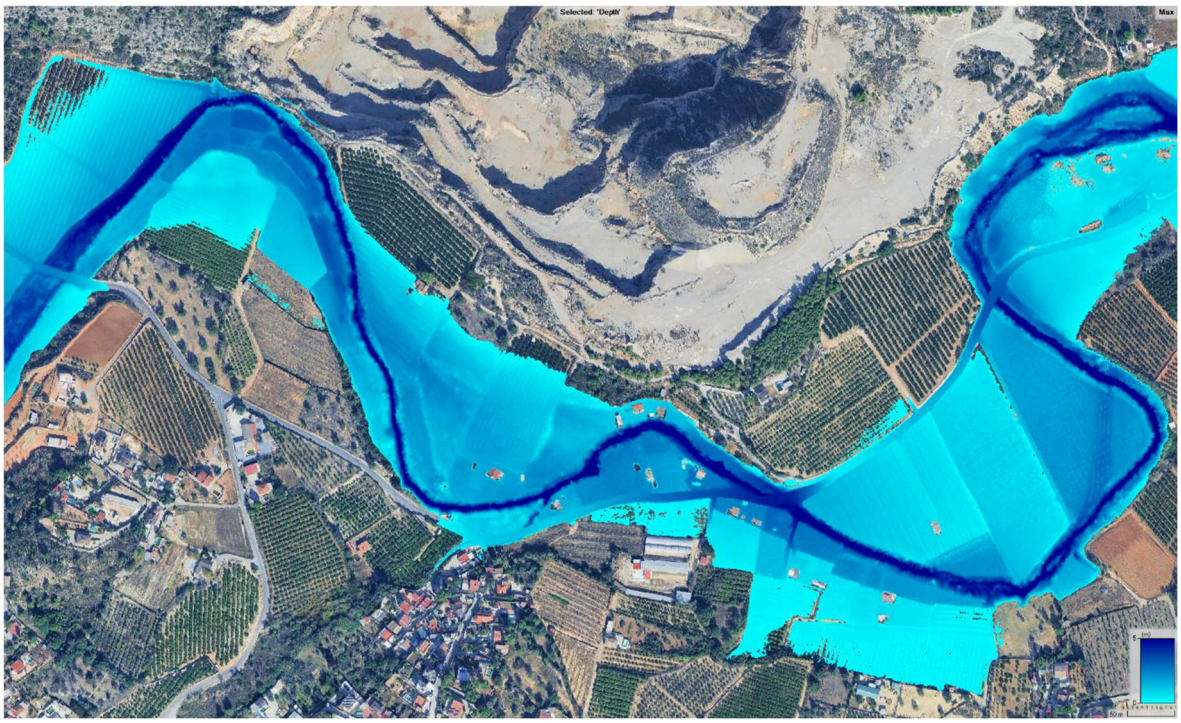

Figura 297. Bco. de Horteta frente a la cantera de Calicanto. Situación PRE-DANA. T= 500 años.

Los meandros de aguas abajo, también han visto alterado su funcionamiento hidráulico, ya que el flujo tiende ahora a discurrir a través del interior del meandro.

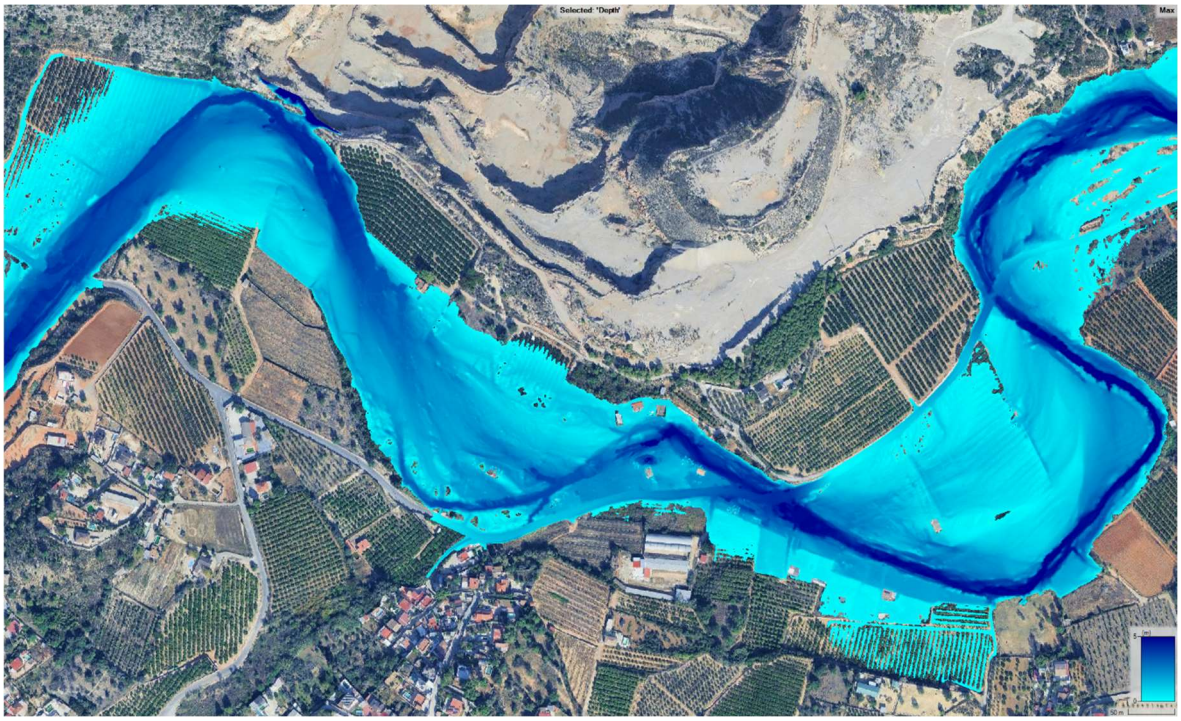

Figura 298. Bco. de Horteta frente a la cantera de Calicanto. Situación POST-DANA. T= 500 años.

Detalle de la zona 6. Bco. de Horteta aguas arriba de la presa del Mañet.

En este tramo situado aguas arriba de la cantera de Calicanto, se puede apreciar cómo el cauce ha ensanchado significativamente, al haber erosionado de forma importante las márgenes.

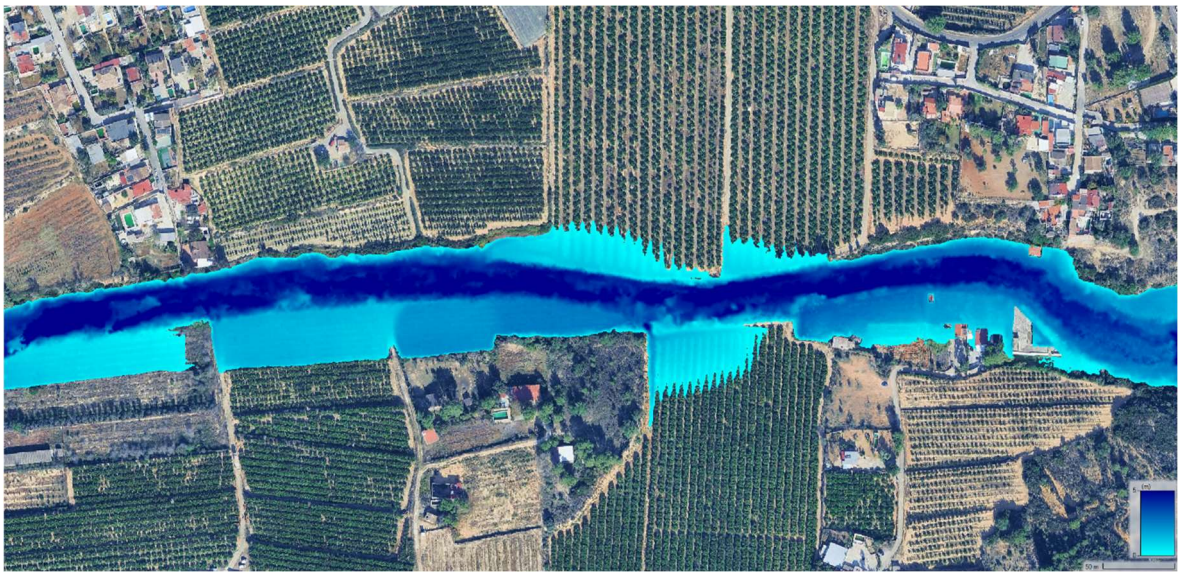

Figura 299. Bco. de Horteta aguas arriba del azud del Mañet. Situación PRE-DANA. T= 500 años.



Figura 300. Bco. de Horteta aguas arriba del azud del Mañet. Situación POST-DANA. T= 500 años.

Ese ensanchamiento del cauce ha afectado a algunas edificaciones, especialmente por la margen derecha agua debajo de este tramo. Sin embargo, en este caso las afecciones no resultan tan importantes como en los otros tramos, al tratarse de una zona menos antropizada.

4.- ANEJO 4: MODELACIÓN HIDRÁULICA DE LA DANA

En el presente apartado se expondrán los resultados obtenidos mediante modelación hidráulica para intentar replicar la crecida ocasionada por la DANA del 29 de octubre de 2024.

Para el desarrollo de este modelo hidráulico se ha llevado a cabo un proceso iterativo de prueba y error, utilizando como base los hidrogramas obtenidos mediante la modelación hidrológica, escalándolos y simulando en repetidas ocasiones, hasta conseguir que los niveles de agua calculados se ajusten lo mejor posible a las huellas de la crecida.

Se trata, por tanto, de una herramienta validada con la realidad observada sobre el terreno.

4.1.- RESULTADO GLOBAL DE LA INUNDACIÓN

En la figura siguiente se muestra el resultado global de la inundación en la totalidad del modelo, con la amplitud con la que se ha desarrollado para que los resultados obtenidos en el entorno de Torrent resulten suficientemente fiables.

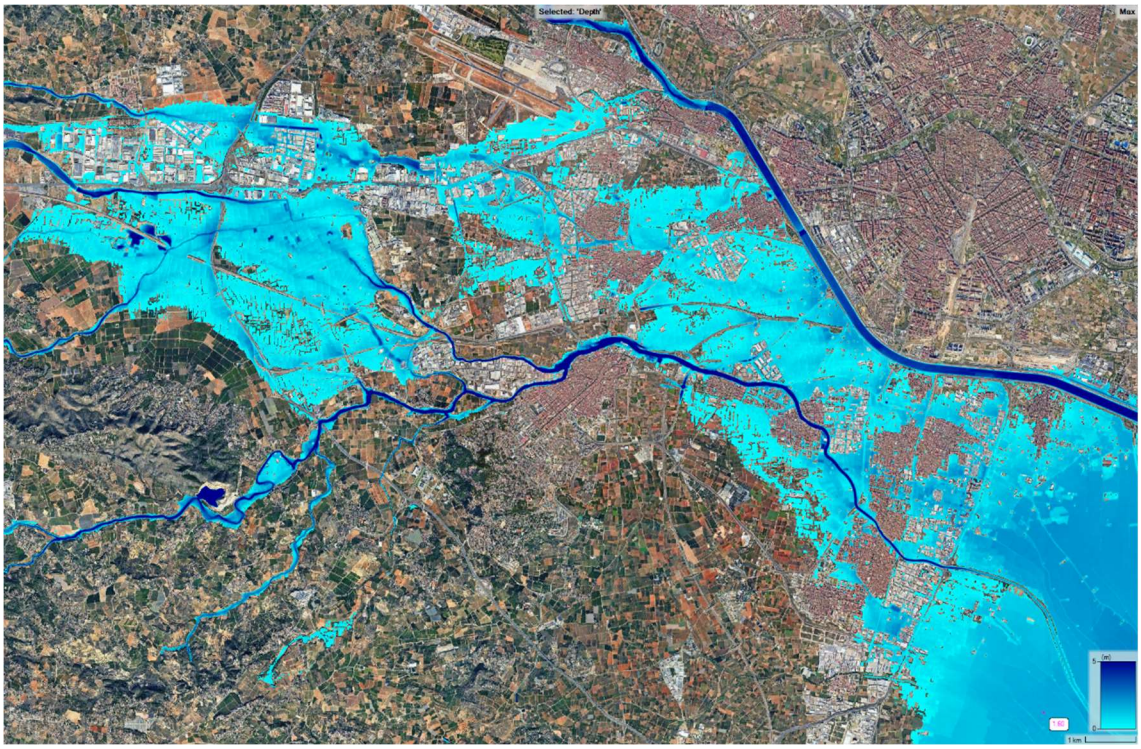

Figura 301. Envolvente de calados máximos de la inundación durante el evento de la DANA de octubre de 2024, realizado mediante modelación hidráulica 2D.

4.2.- RESULTADOS EN ZONA 1

En primer lugar se muestran los calados del flujo obtenidos en la primera zona en las que se ha dividido el modelo para poder visibilizar de forma homogénea la salida de resultados. Estos calados se obtienen a partir de la envolvente de niveles máximos de inundación, calculados mediante la modelación hidráulica realizada mediante el modelo bidimensional.

La representación de estos calados se muestra con una variación de entre 0 y 5 metros, según el gradiente cromático de la leyenda del pie de la imagen. Por tanto, para calados bajos la inundación se simboliza con tonos azul celeste, mientras que para calados que se acercan a 5 metros, o lo superan, se representa en color azul marino.

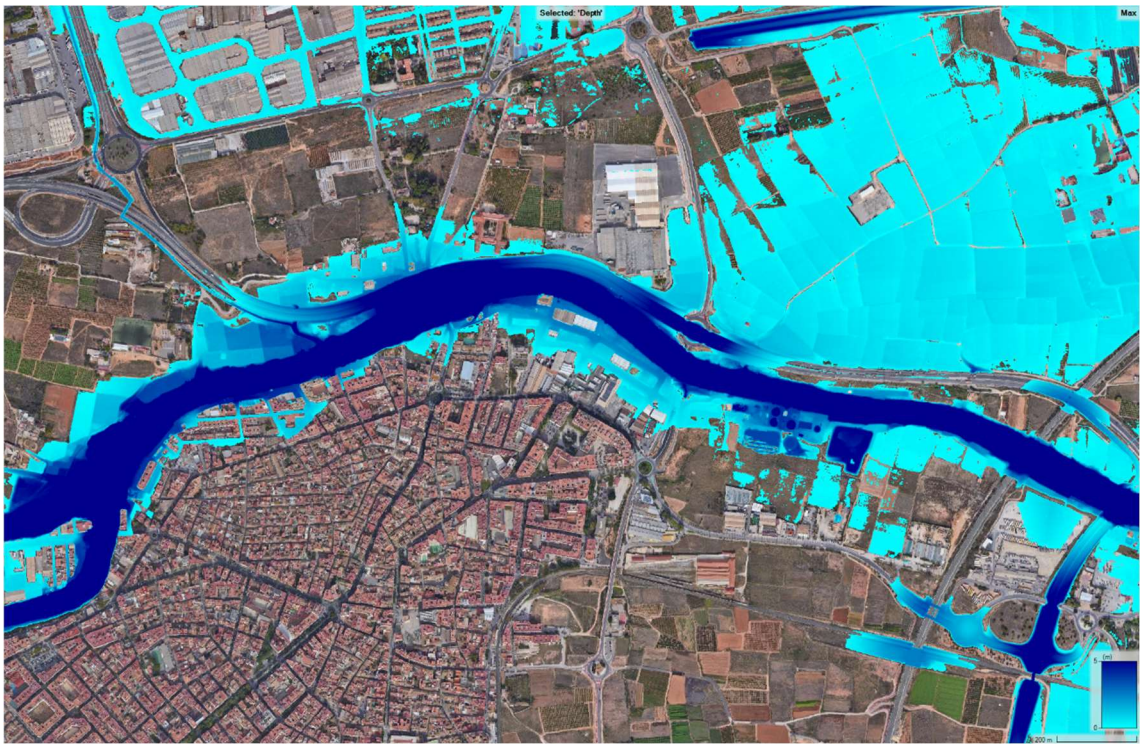

Figura 302. Modelación hidráulica de la DANA. Envolvente de calados en la zona 1.

Por la margen derecha, destaca la importante inundación ocasionada en algunos puntos del casco urbano, que se aprecia cómo afecta de forma directa al norte de la población, especialmente en el barrio del Xenillet. Ese desbordamiento por la margen derecha del Poyo, se traslada hacia aguas abajo, afectando a naves del polígono industrial y la depuradora.

Por la margen izquierda, la inundación es generalizada en las terrazas fluviales situadas a menor cota, aunque en este caso la afección resulta menos importante por tratarse de un ámbito casi rústico, con edificaciones dispersas.

De los resultados obtenidos en esta primera zona, destaca el importante desbordamiento generado aguas abajo del cruce de la CV-403, así como la falta de capacidad que ilustra el modelo en el entorno de la confluencia del Barranco de Horteta con la Rambla del Poyo. Ambos problemas detectados por el modelo hidráulico se constataron el día de la DANA.

A continuación se muestran las velocidades del flujo en esta zona 1, en la que puede apreciarse que las velocidades en el interior del cauce superan los 10 m/s en muchos tramos.

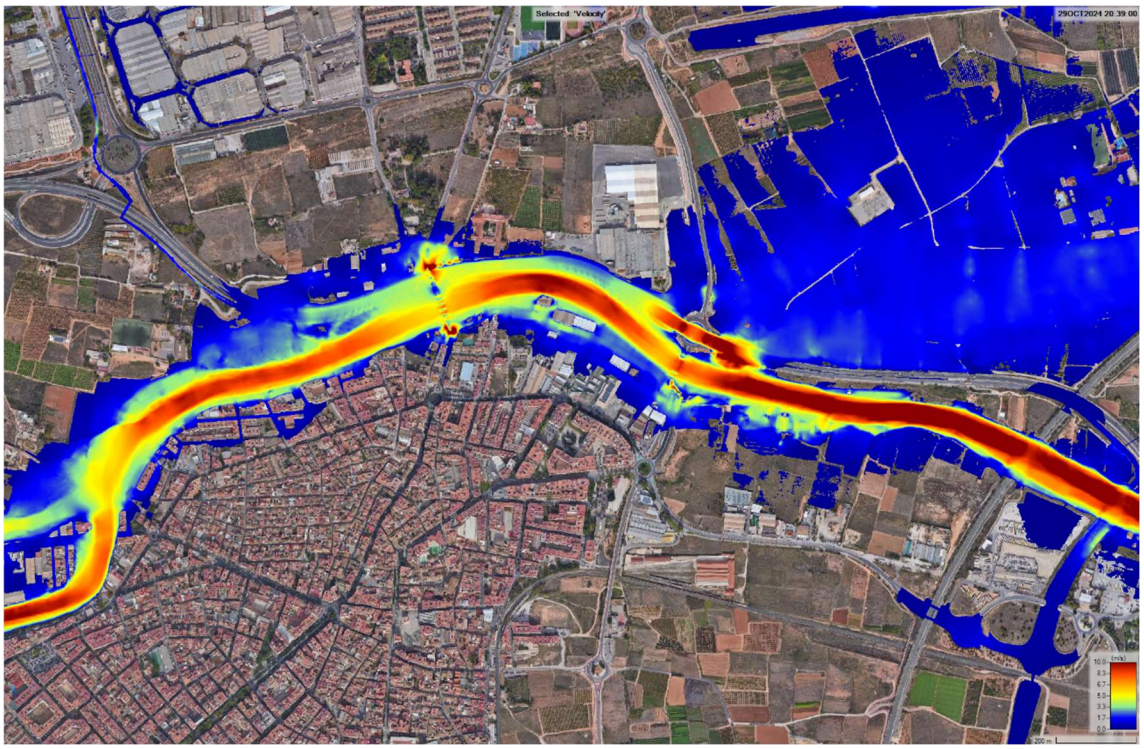

Figura 303. Modelación hidráulica de la DANA. Velocidades en el instante de inundación máxima en la zona 1.

Resulta interesante ampliar estos resultados en el entorno del puente viejo, en los que puede apreciarse cómo el flujo tendió a acelerarse por sus dos márgenes, como consecuencia de la coronación de la crecida sobre el tablero, que quedó parcialmente destruido. Además de ese efecto, en la imagen siguiente se puede apreciar también la aceleración del flujo que se produce por el paso del agua entre las pilas.

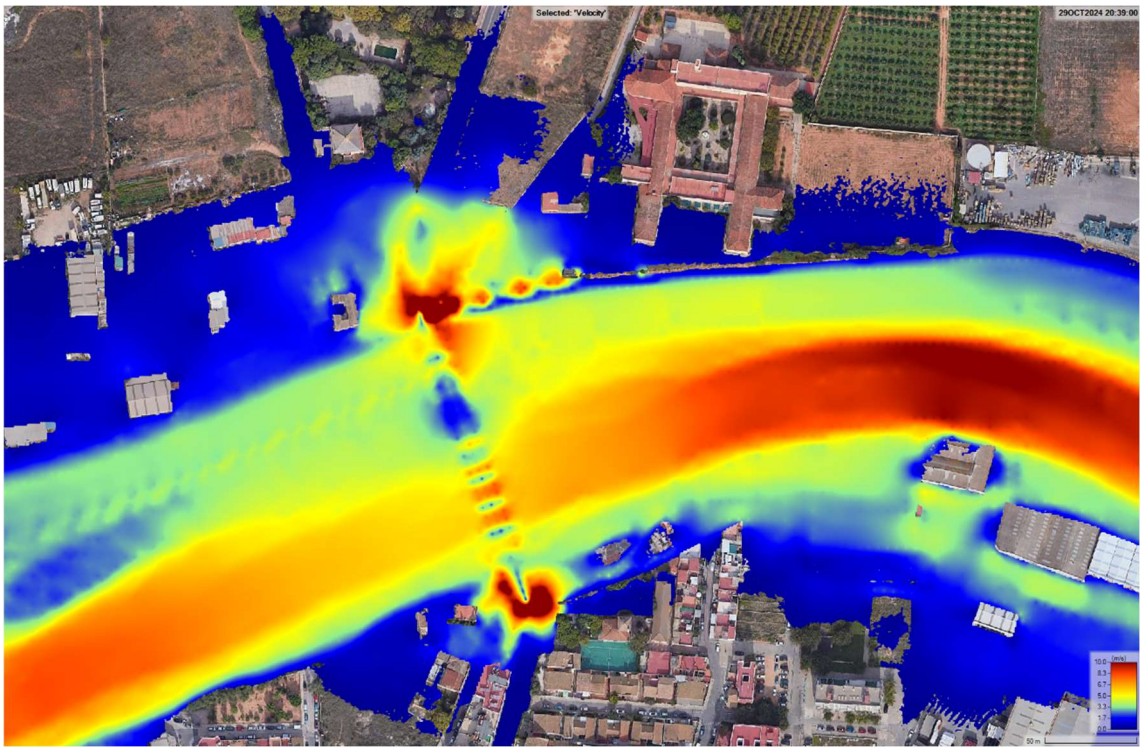

Figura 304. Modelación hidráulica de la DANA. Velocidades en el puente viejo de Torrent.

Representando las líneas de flujo sobre la imagen anterior, se puede ilustrar mejor el comportamiento hidráulico antes descrito.

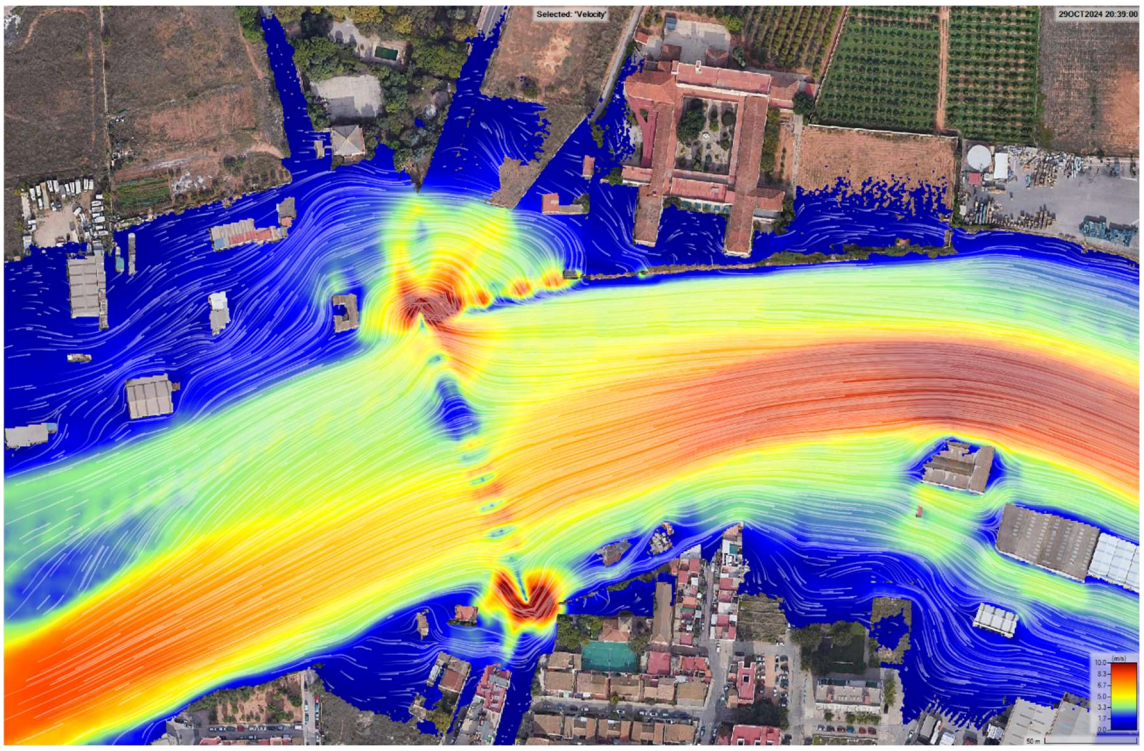

Figura 305. Modelación hidráulica de la DANA. Líneas de corriente en el puente viejo de Torrent.

Resulta igualmente interesante el comportamiento del flujo en el entorno de la salida norte de Torrent hacia Alacuás, por el puente de la CV-403. En este punto, el modelo hidráulico muestra las elevadas velocidades que llegaron a producirse bajo el paso inferior de la CV-36, y los carriles de dicha carretera en la margen izquierda del Poyo; se trata por tanto de un punto muy peligroso en el que los coches se verían fácilmente arrastrados por la crecida. Por otra parte, se visualiza cómo los puntos bajos de la CV-36 facilitaron la salida de caudal hacia el noreste a través de dicha carretera.

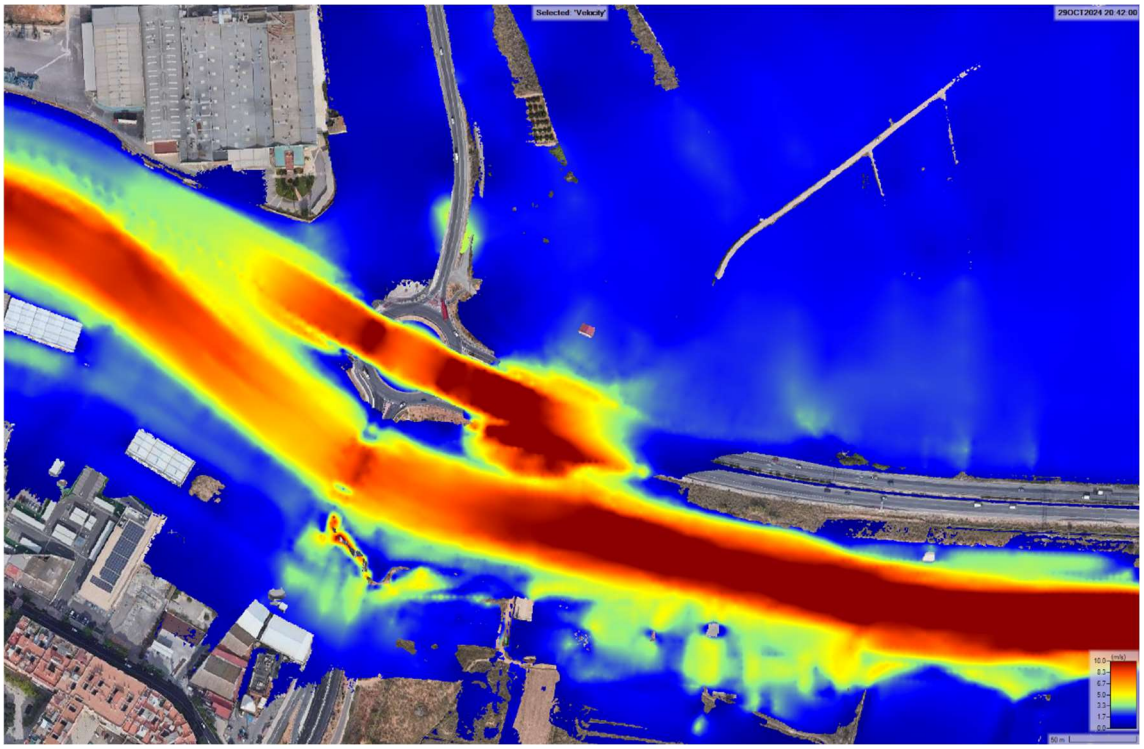

Figura 306. Modelación hidráulica de la DANA. Velocidades en el puente de la CV-403.

En cierto modo, este tramo de la carretera CV-36 se comportó como un aliviadero lateral de la Rambla del Poyo. Según muestra el modelo, el agua del barranco tiende a escaparse hacia la margen izquierda por la aceleración centrífuga de las partículas, lo que provoca la inundación del paso inferior de esa autovía. Tras cruzar el paso inferior, e impulsado por el flujo que viene desde aguas arriba con mayor energía, el agua tiende a desbordar al este de dicho paso inferior, dividiéndose en dos trayectorias; la primera, vierte de nuevo hacia el Poyo completando una suerte de circuito cerrado, pero otra desborda hacia el norte en dirección a Alaquás.

De nuevo, en la figura siguiente se muestran las líneas de corriente, que permiten dar una idea del movimiento del flujo en esta zona.

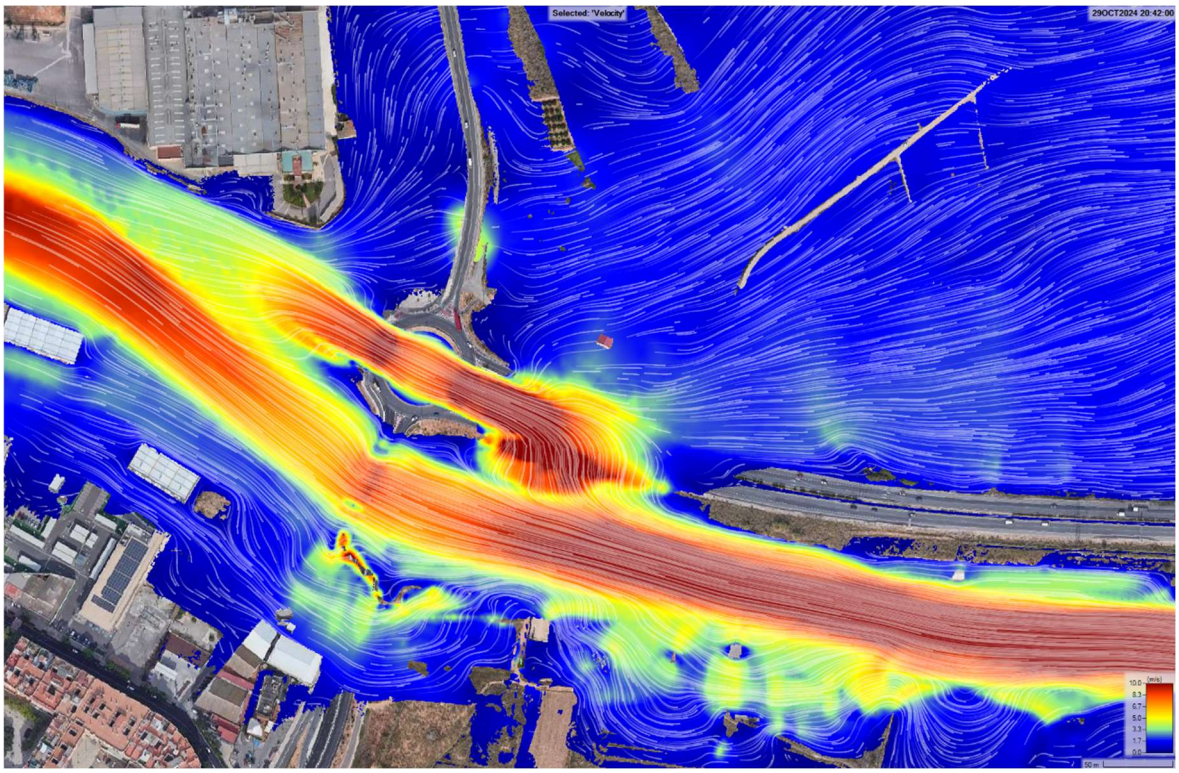

Figura 307. Modelación hidráulica de la DANA. Líneas de corriente en el puente de la CV-403, con las velocidades de fondo.

4.3.- RESULTADOS EN ZONA 2

Al igual que antes, se mostrarán en primera instancia la envolvente de calados máximos obtenidos en esta segunda zona, a partir de los resultados obtenidos mediante la modelación hidráulica.

En este caso, la crecida en esta zona 2 se concentra de una forma bastante ordenada en los cauces de Horteta y del Poyo, con escasos puntos desbordamiento. Las inundaciones que se han identificado corresponden, sobre todo, a parcelas situadas en las terrazas fluviales más próximas a ambos cauces, situadas a cotas relativamente bajas.

Sin embargo, a pesar de no ocasionarse desbordamientos generalizados, el modelo identifica el anegamiento de algunas franjas del ámbito urbano próximo a ambos cauces. En efecto, cotejando estos resultados con los efectos de la DANA, en algunas de esas zonas urbanas próximas a los barrancos se produjeron daños relevantes en algunas edificaciones. De entre ellas, cabe destacar la inundación que se produce en las calles Albacete y Murcia, así como en la calle Mas del Jutge.



Figura 308. Modelación hidráulica de la DANA. Envolvente de calados en la zona 2.

Por otra parte, las velocidades del flujo en el instante en el que se produjo el caudal máximo, se muestran en la figura adjunta.

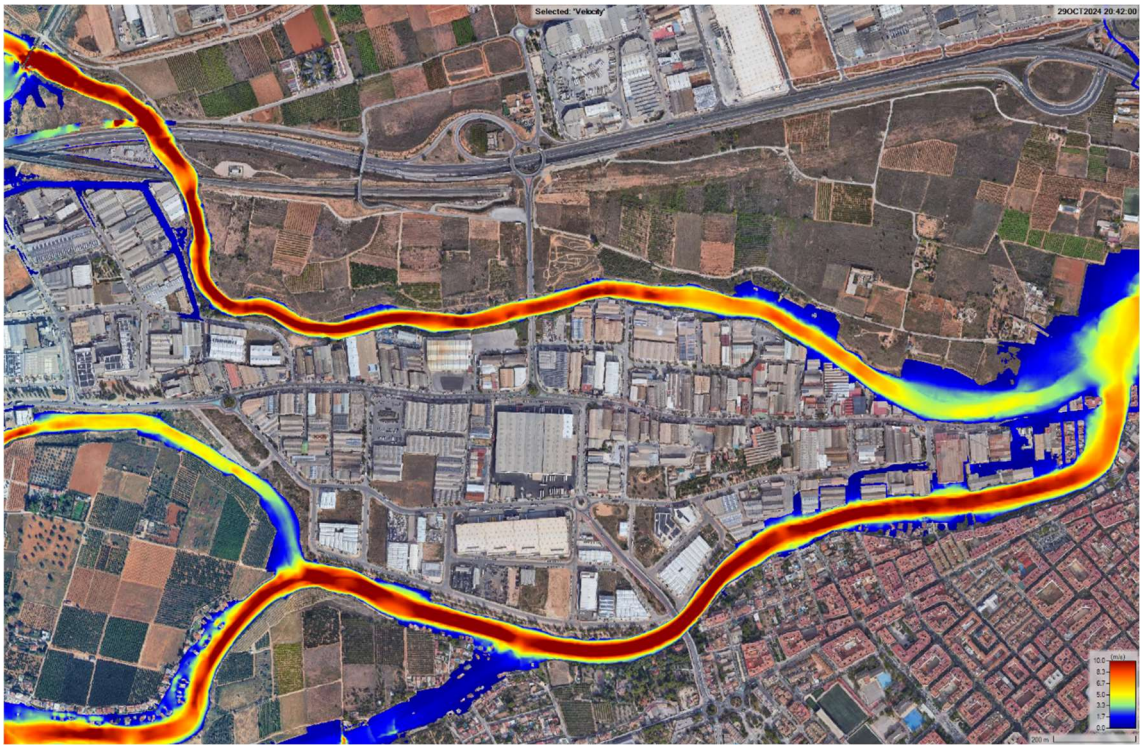

Figura 309. Modelación hidráulica de la DANA. Velocidades en el instante de inundación máxima en la zona 2.

4.4.- RESULTADOS EN ZONA 3

En las figuras siguientes muestran la envolvente de calados máximos, y las velocidades calculadas por el modelo para el instante en el que tuvo lugar la inundación máxima en esta tercera zona.

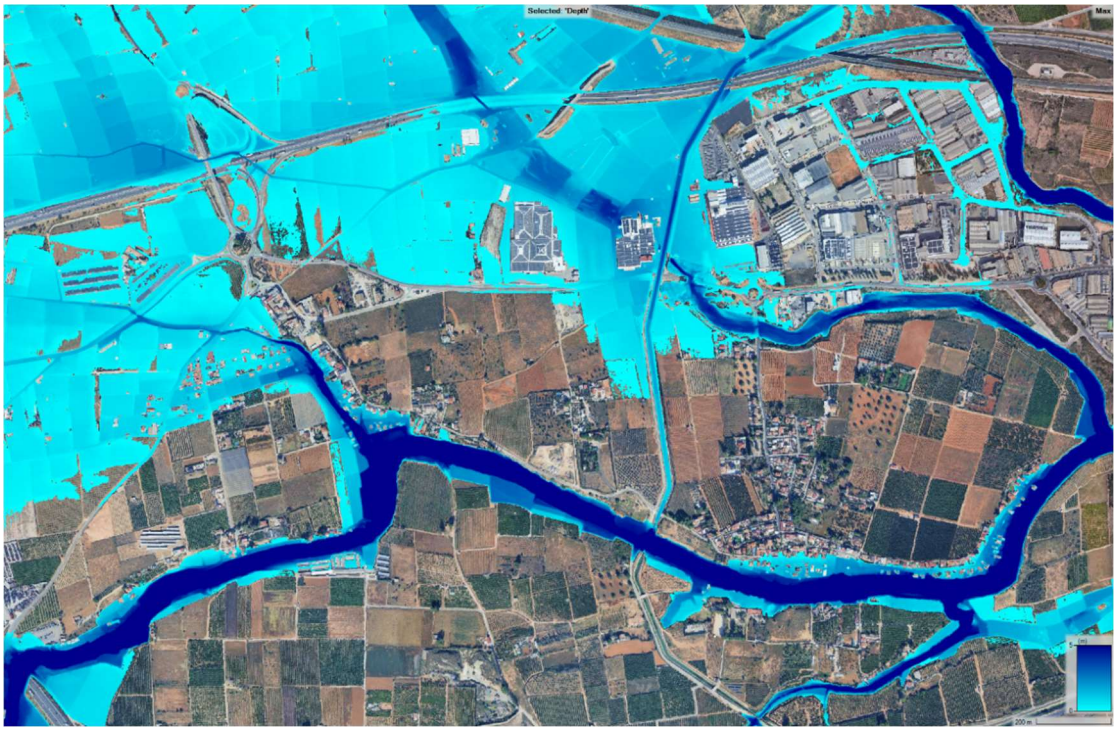

Figura 310. Resultados del modelo hidráulico. Zona 3. Envolvente de calados máximos en la DANA.

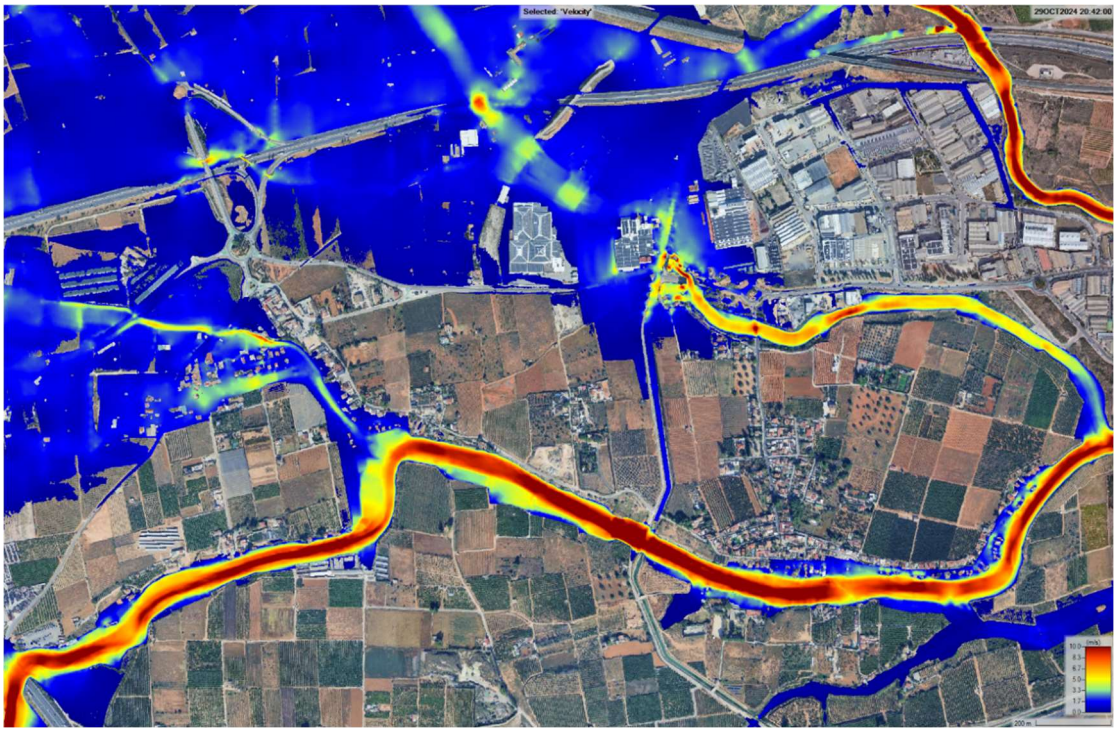

Figura 311. Modelación hidráulica de la DANA. Velocidades durante la inundación máxima. Zona 3.

4.5.- RESULTADOS EN ZONA 4

De nuevo, se muestran la envolvente de calados y las velocidades en el instante más desfavorable.

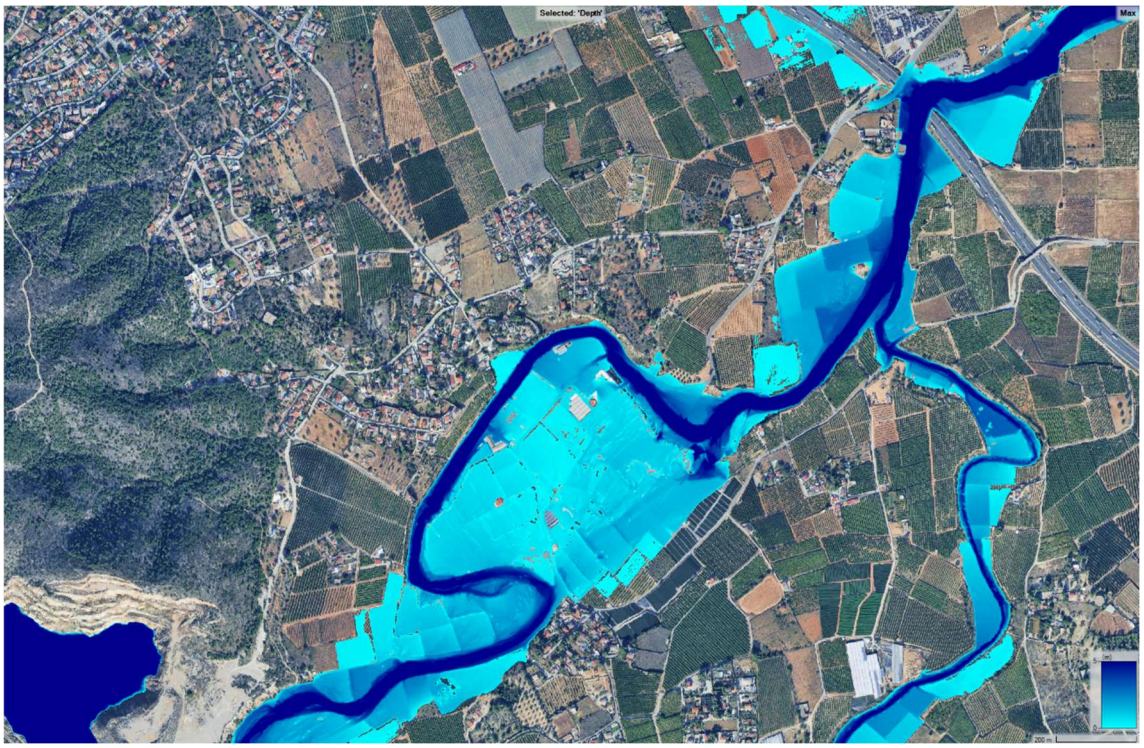

Figura 312. Resultados del modelo hidráulico. Zona 4. Envolvente de calados máximos en la DANA.

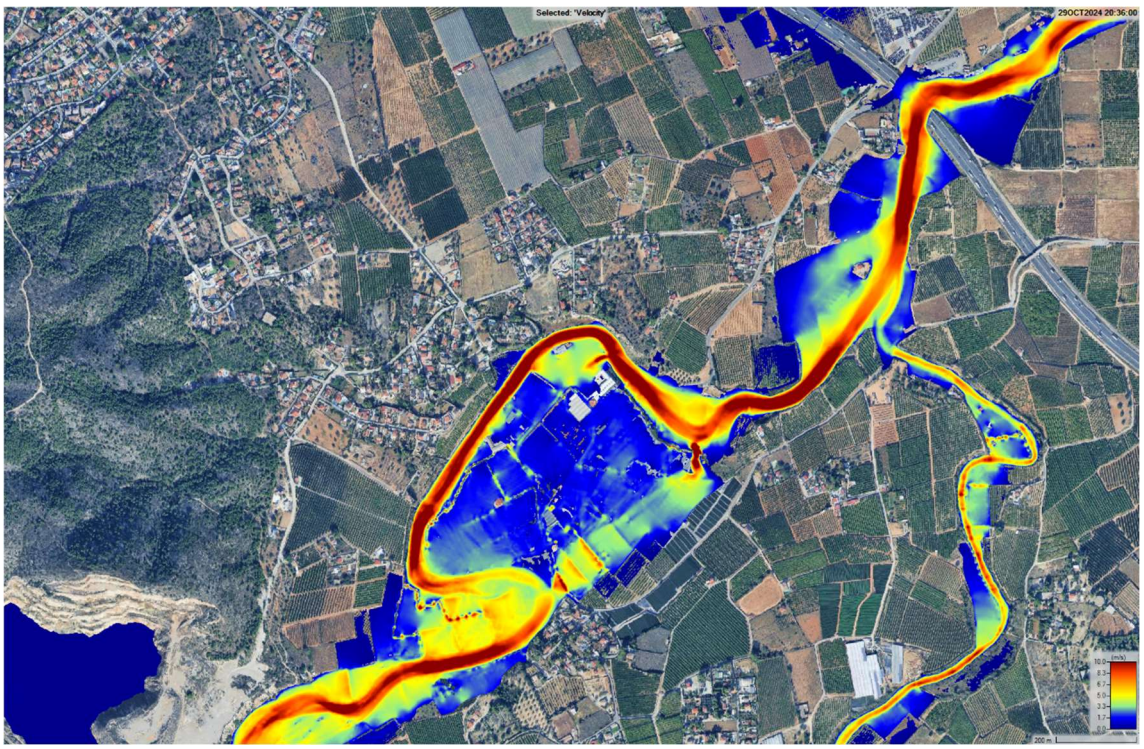

Figura 313. Modelación hidráulica de la DANA. Velocidades durante la inundación máxima. Zona 4.

4.6.- RESULTADOS EN ZONA 5

De nuevo, se muestran la envolvente de calados y las velocidades en el instante más desfavorable.

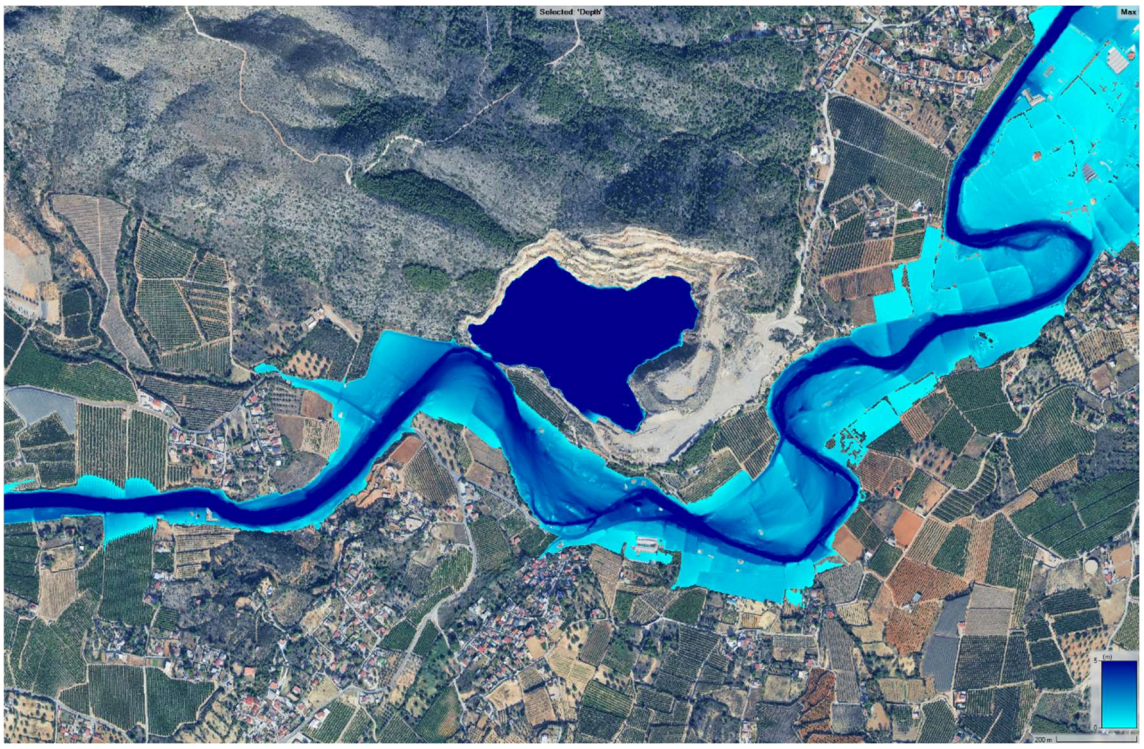

Figura 314. Resultados del modelo hidráulico. Zona 5. Envolvente de calados máximos en la DANA.

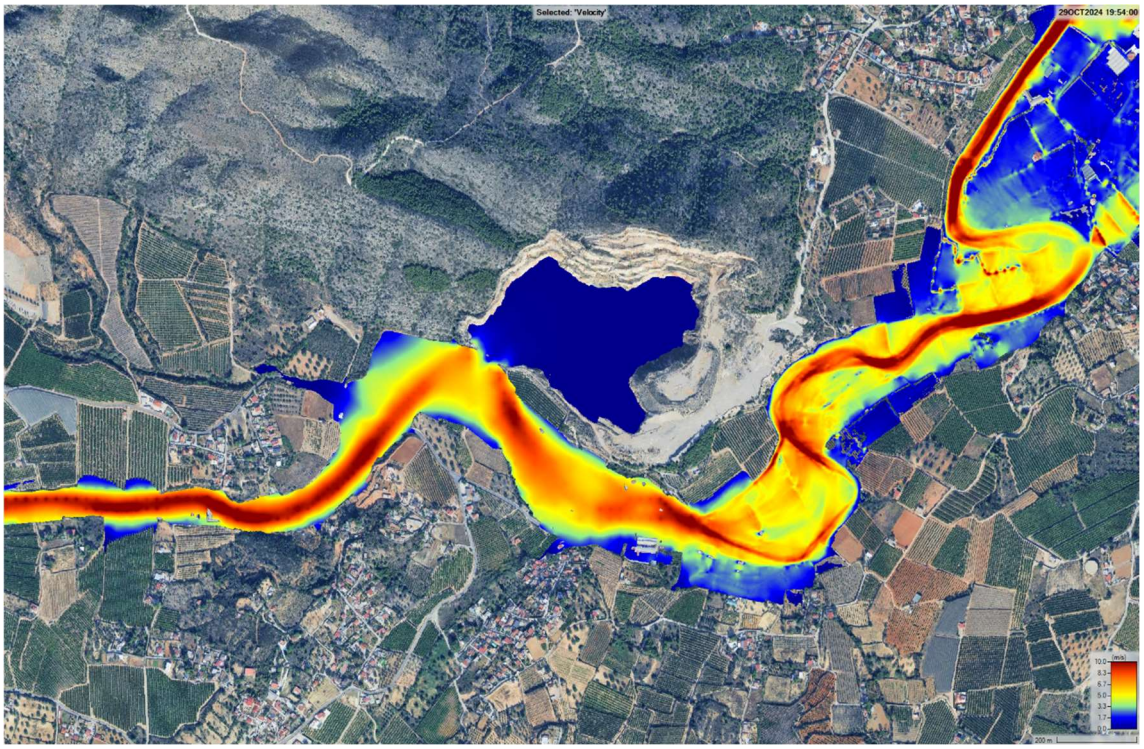

Figura 315. Modelación hidráulica de la DANA. Velocidades durante la inundación máxima. Zona 5.

En esta zona, resulta interesante mostrar las líneas de corriente en los meandros, para ilustrar cómo el flujo tendió a cortar el camino a través de ellos, saliéndose del trazado sinuoso del cauce.

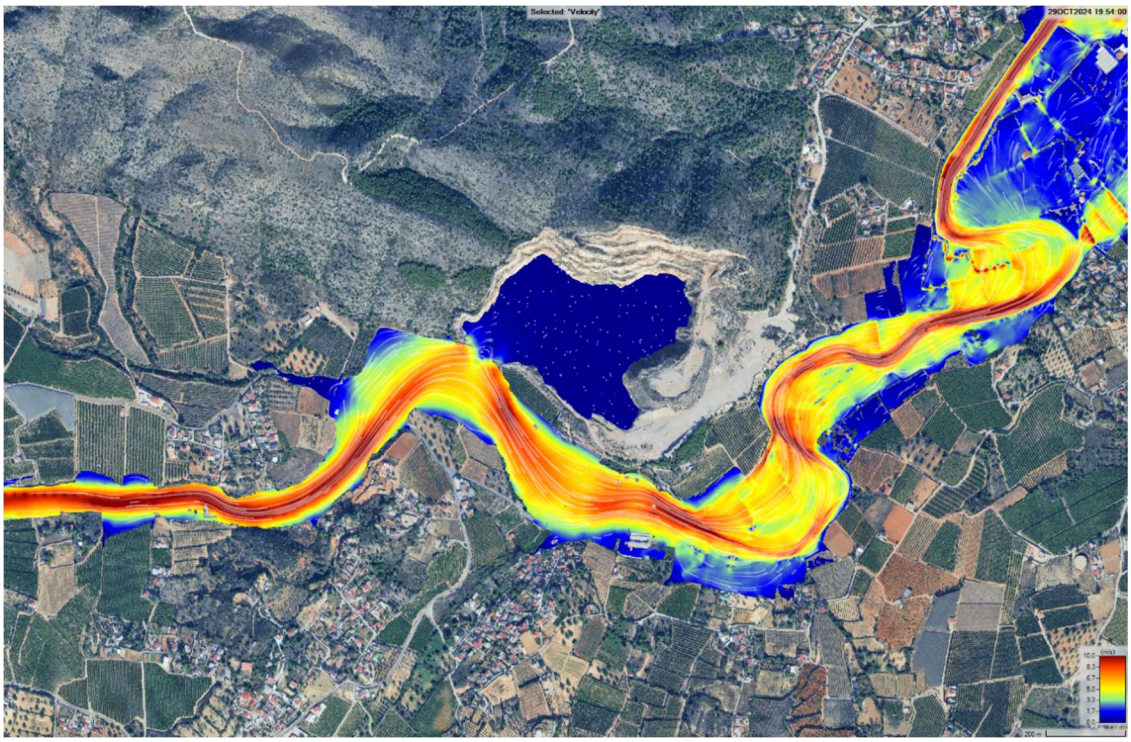

Figura 316. Modelación hidráulica de la DANA. Líneas de corriente en la zona 5 (para Q máximo).

Ampliando el detalle de la cantera, se puede apreciar la tendencia del flujo a verter hacia su interior.

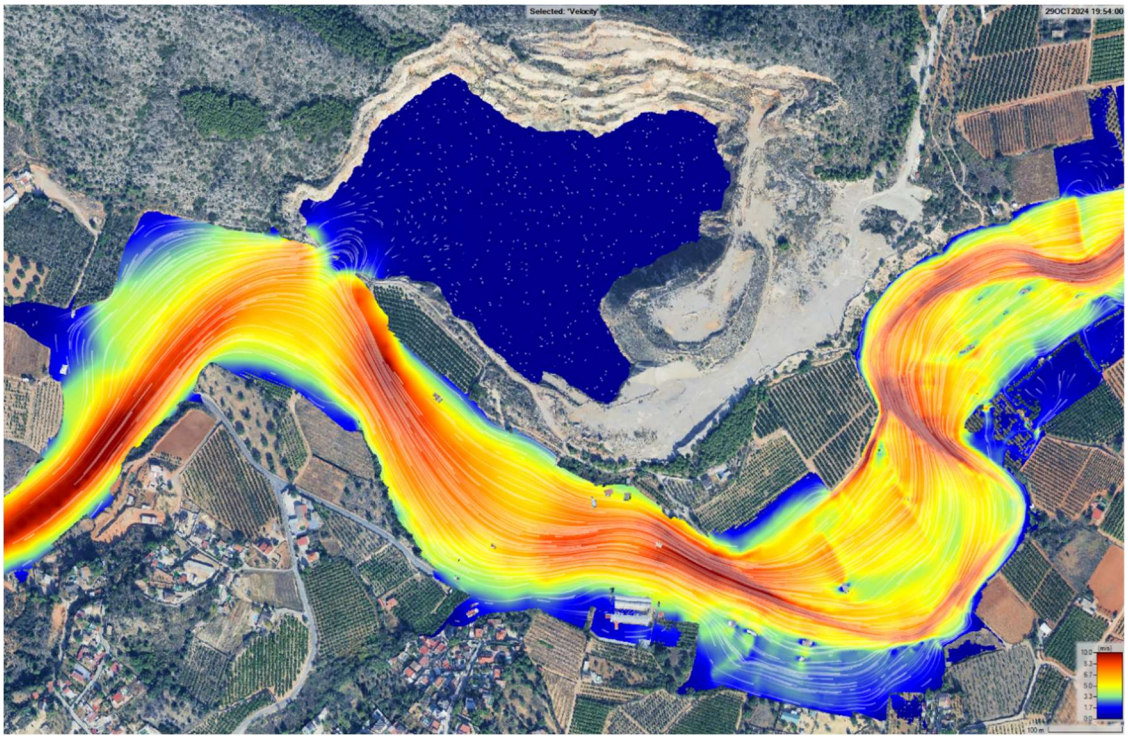

Figura 317. Detalle de la figura anterior en el entorno de la cantera.

4.7.- RESULTADOS EN ZONA 6

Por último, se muestran los calados y las velocidades para esta zona 6 (instante más desfavorable).

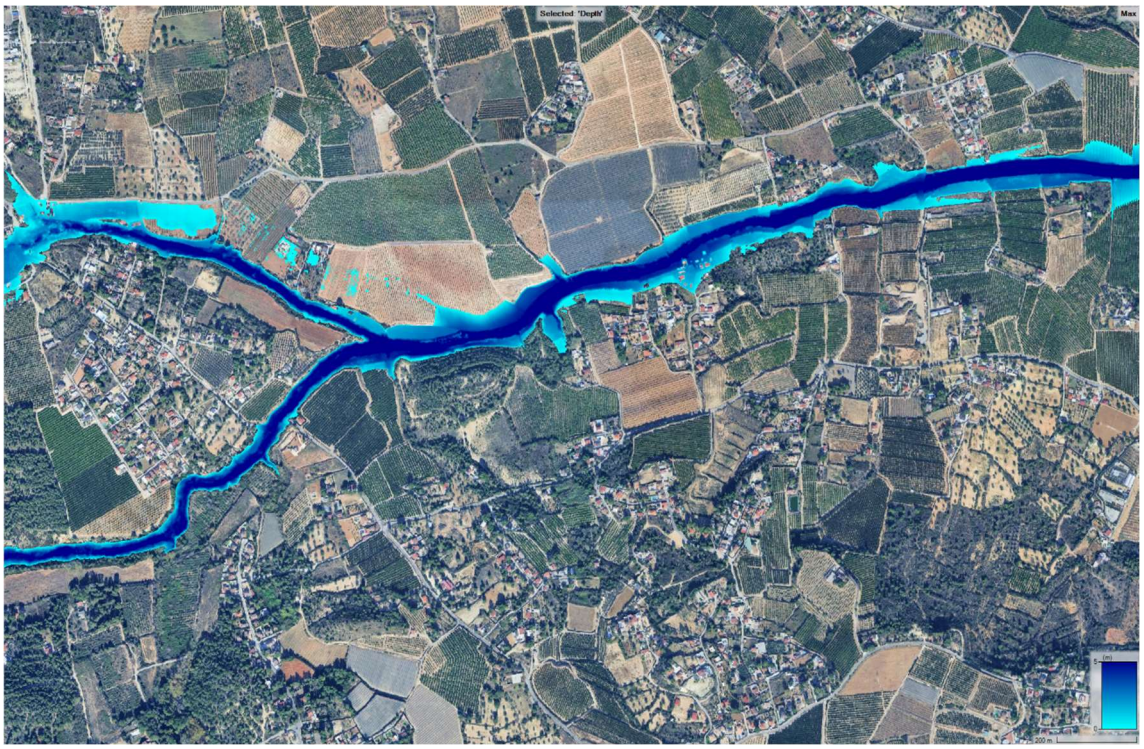

Figura 318. Resultados del modelo hidráulico. Zona 6. Envolvente de calados máximos en la DANA.

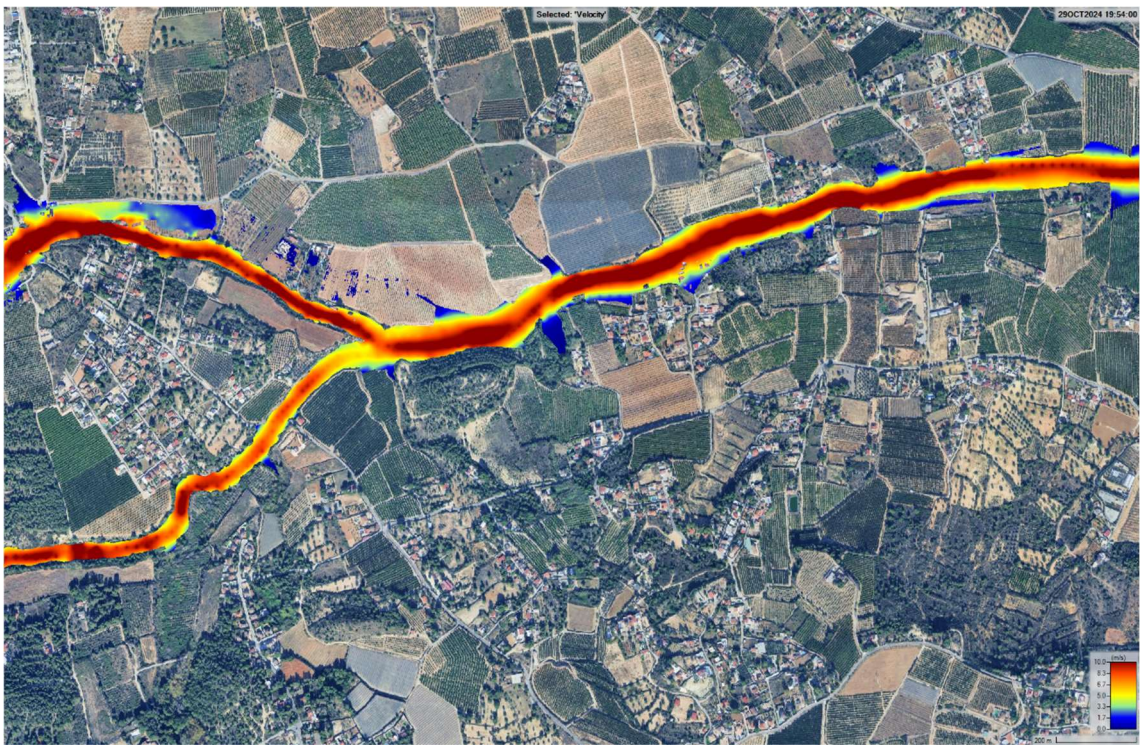

Figura 319. Modelación hidráulica de la DANA. Velocidades durante la inundación máxima. Zona 6.

4.8.- PROCESO DE LLENADO DE LA CANTERA DE CALICANTO

Debido al interés que ha tenido esta cantera como elemento laminador durante la DANA, se ha considerado interesante incluir este elemento laminador por la gran importancia que tuvo en el desarrollo de la crecida dentro del casco urbano de Torrent, al sustraer un volumen importante de agua y, seguramente, reducir el caudal máximo del hidrograma.

Esta cantera, situada al sureste de la Sierra Perenchiza, está en desuso desde hace varios años. De forma fortuita, la erosión ocasionada por la margen izquierda del Barranco de L´Horteta durante la crecida, destruyó el talud de cierre que separaba la cantera de la rambla, permitiendo que el agua inundase su interior. De este modo, este elemento actuó de forma inesperada como un depósito de retención, reduciendo el caudal pico de Horteta hacia aguas abajo.

A continuación se presentan los resultados de la modelación hidráulica desarrollada en el presente trabajo en el entorno de la cantera, en diferentes instantes temporales. Las imágenes representan los calados del agua en cada instante temporal, identificado en el pie de cada imagen.



Figura 320. Calados calculados por el modelo hidráulico en el entorno de la cantera, a las 8h.

Como puede apreciarse, durante estos primeros instantes de la crecida del barranco, el flujo circuló por su cauce sin afectar al espacio de la cantera.

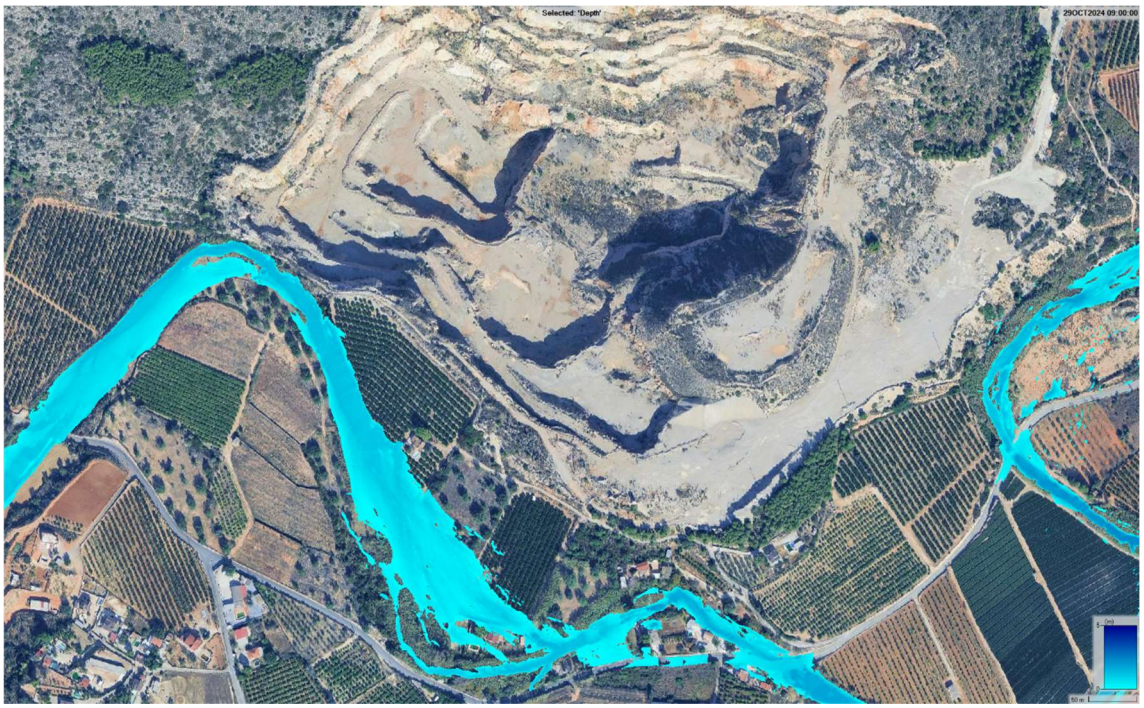

Figura 321. Calados calculados por el modelo hidráulico en el entorno de la cantera, a las 9 h.

A partir de cierto instante, parte del flujo comienza a acceder al vaso del recinto. Este resultado o la hora no resultan totalmente representiativos, ya que tiene una relación directa con la geometría considerada en el modelo. Y no se tiene la certeza de cuándo rompió el talud de cierre con Horteta.

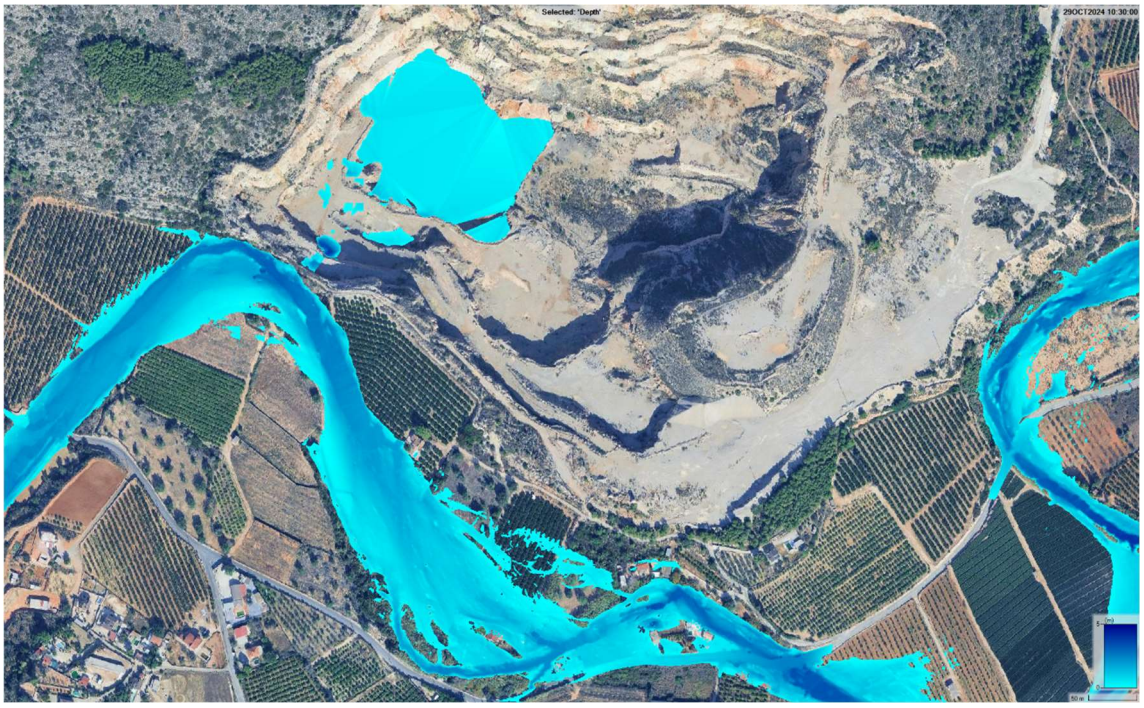

Figura 322. Calados calculados por el modelo hidráulico en el entorno de la cantera, a las 10:30 h.

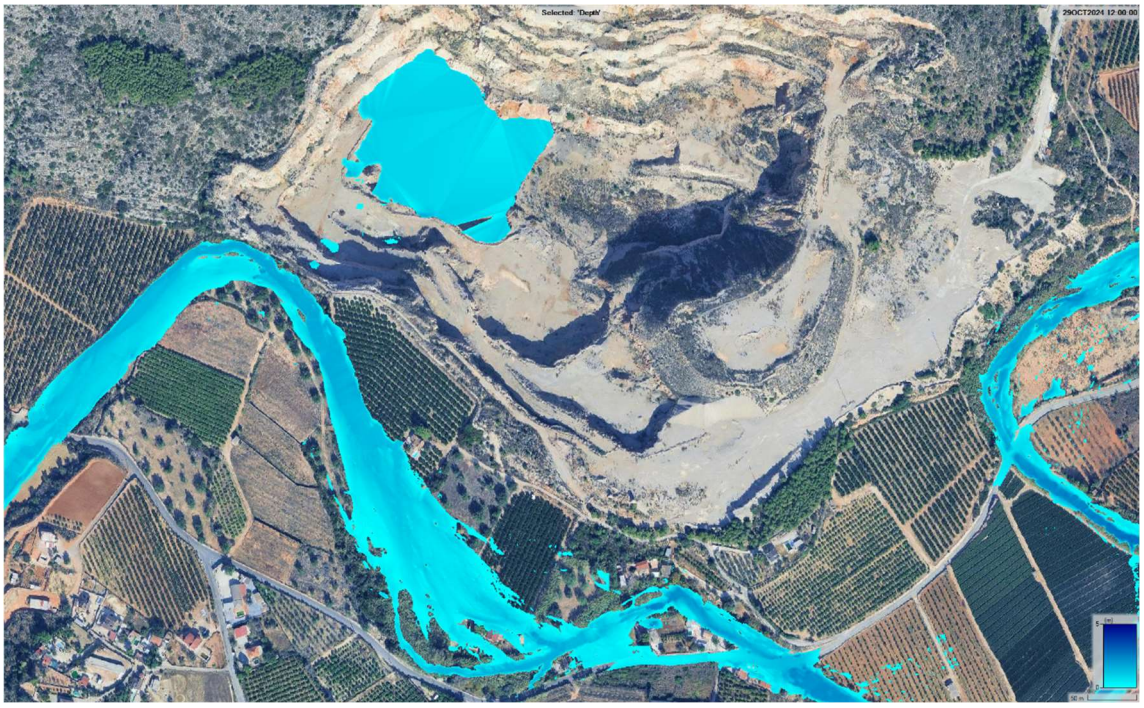

Figura 323. Calados calculados por el modelo hidráulico en el entorno de la cantera, a las 12 h.

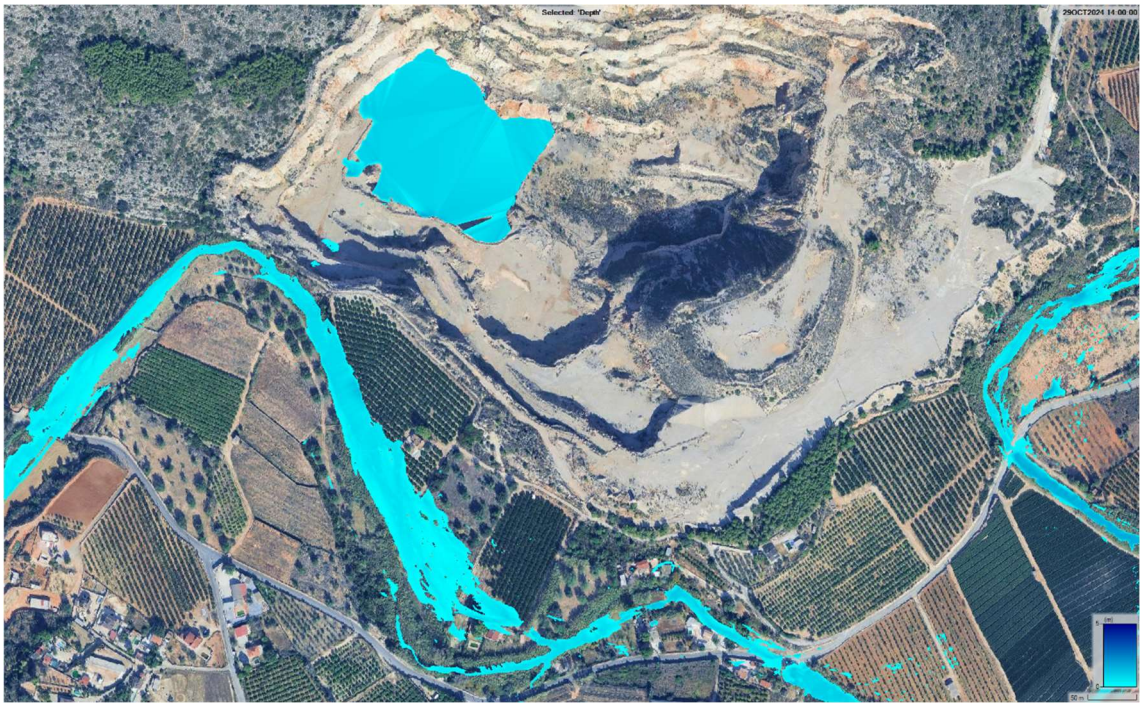

Figura 324. Calados calculados por el modelo hidráulico en el entorno de la cantera, a las 14 h.

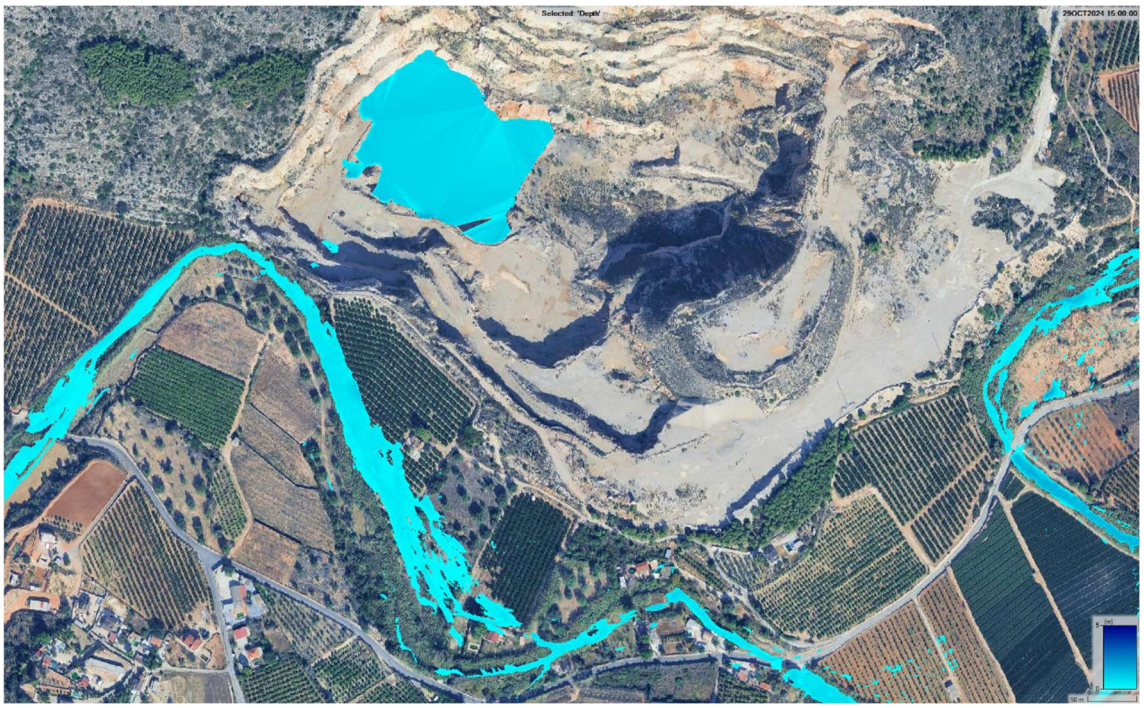

Figura 325. Calados calculados por el modelo hidráulico en el entorno de la cantera, a las 15 h.

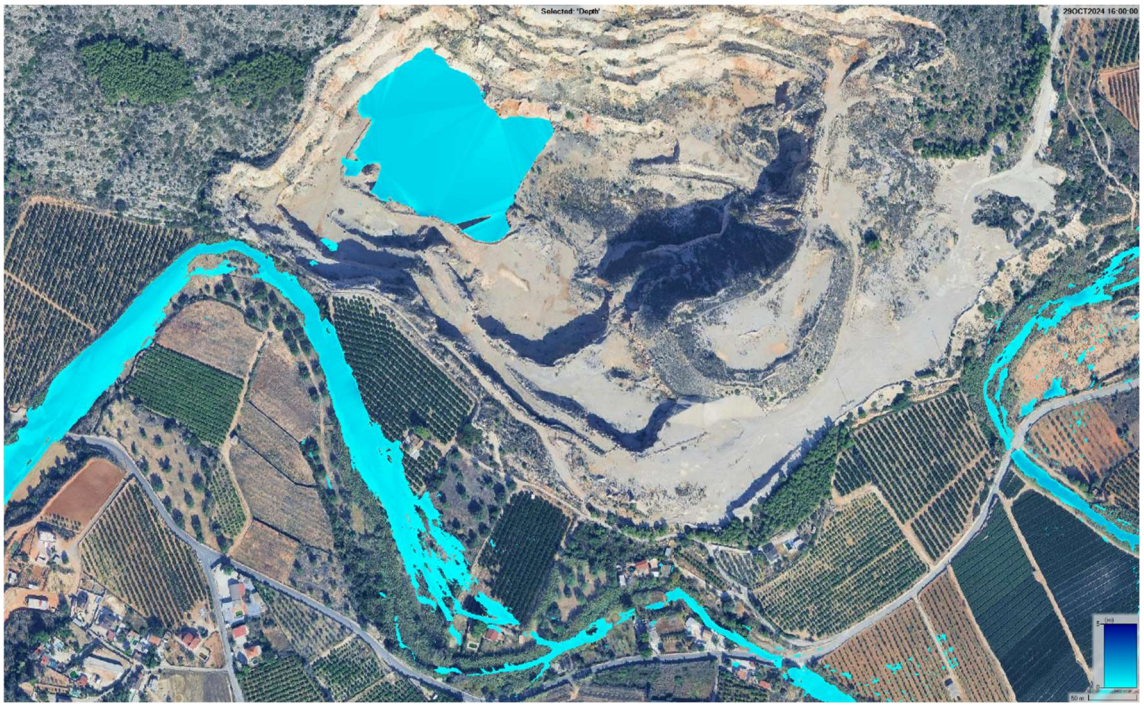

Figura 326. Calados calculados por el modelo hidráulico en el entorno de la cantera, a las 16 h.

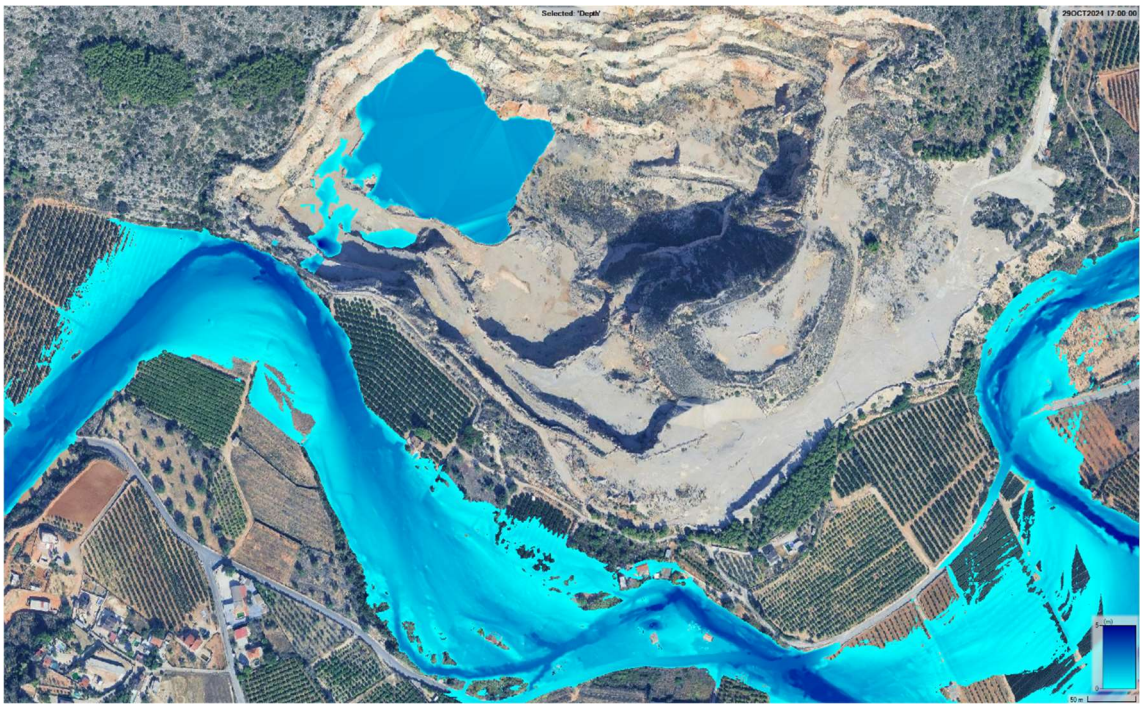

Figura 327. Calados calculados por el modelo hidráulico en el entorno de la cantera, a las 17 h.

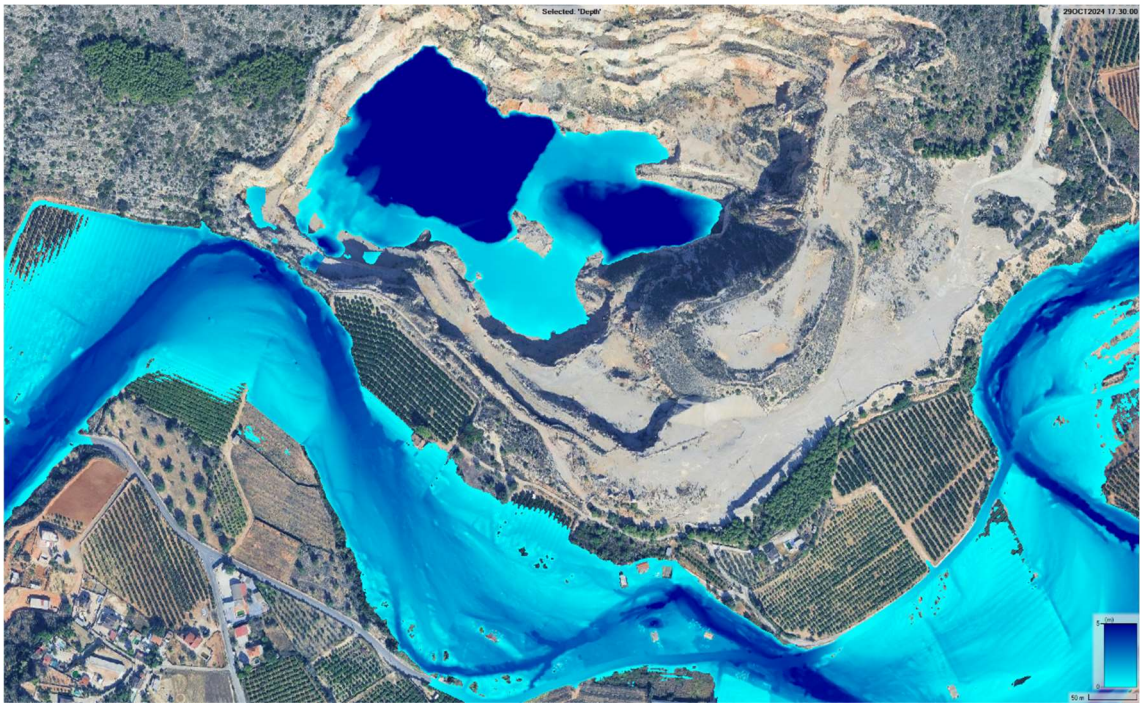

Figura 328. Calados calculados por el modelo hidráulico en el entorno de la cantera, a las 17:30 h. Se introduce este instante intermedio, porque es cuando la punta de la crecida alcanza la cantera y empieza a llenarse de forma acelerada.

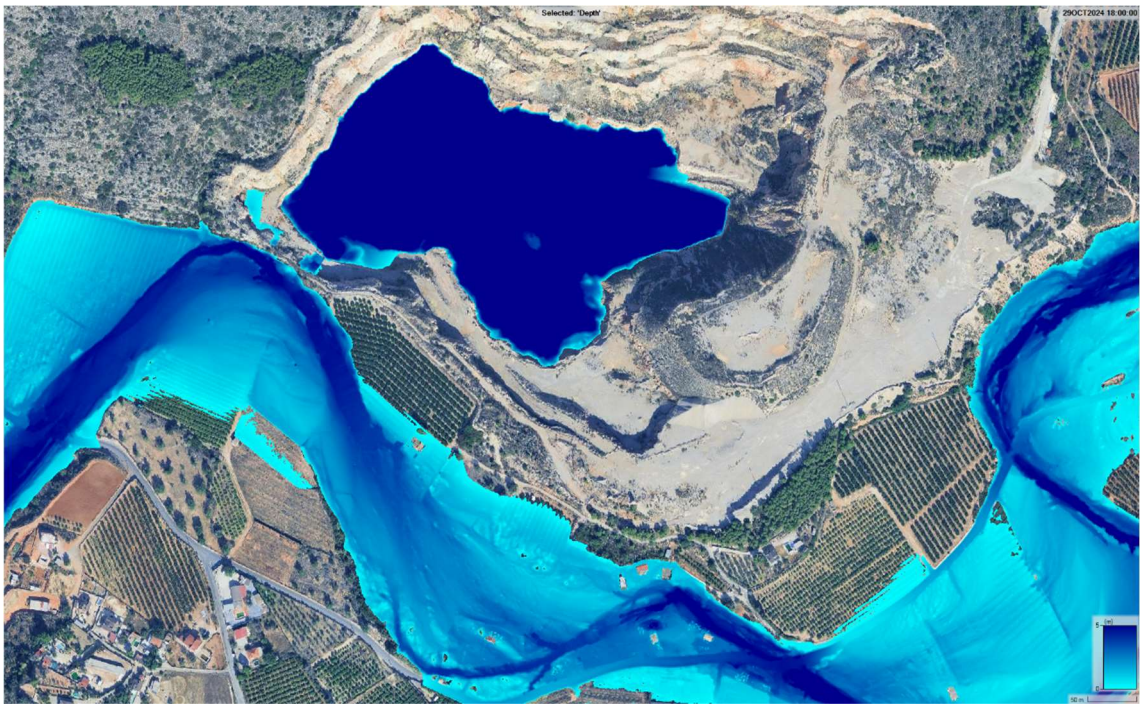

Figura 329. Calados calculados por el modelo hidráulico en el entorno de la cantera, a las 18 h.



Figura 330. Calados calculados por el modelo hidráulico en el entorno de la cantera, a las 18:30 h.

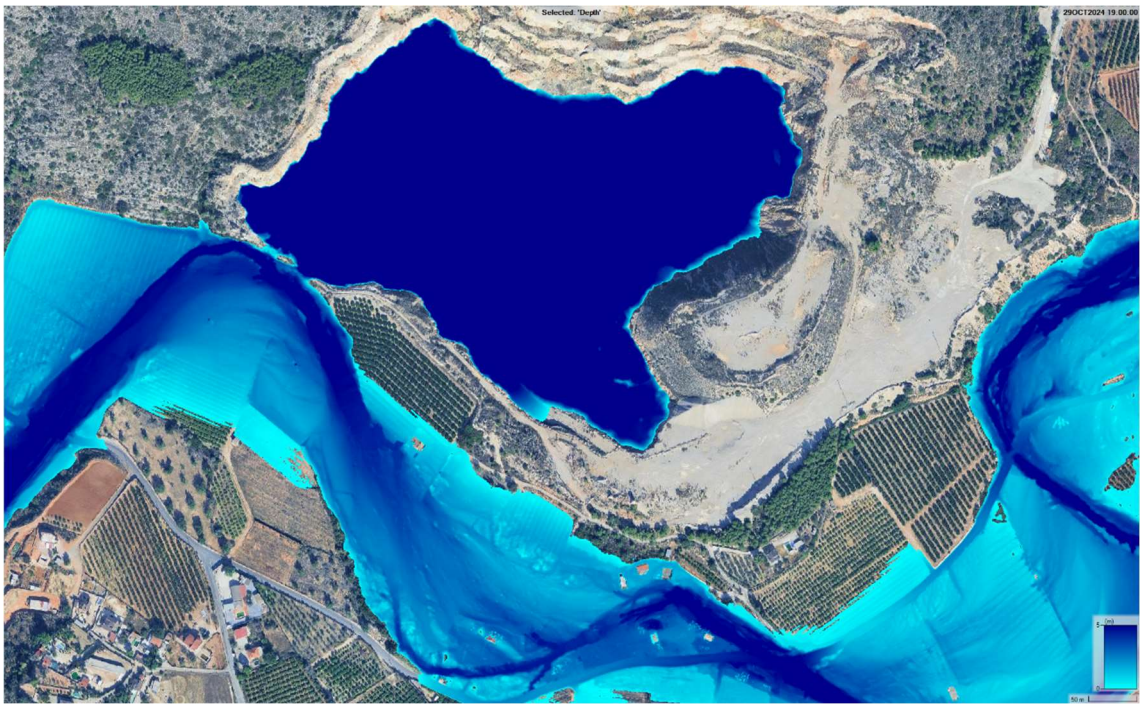

Figura 331. Calados calculados por el modelo hidráulico en el entorno de la cantera, a las 19 h.

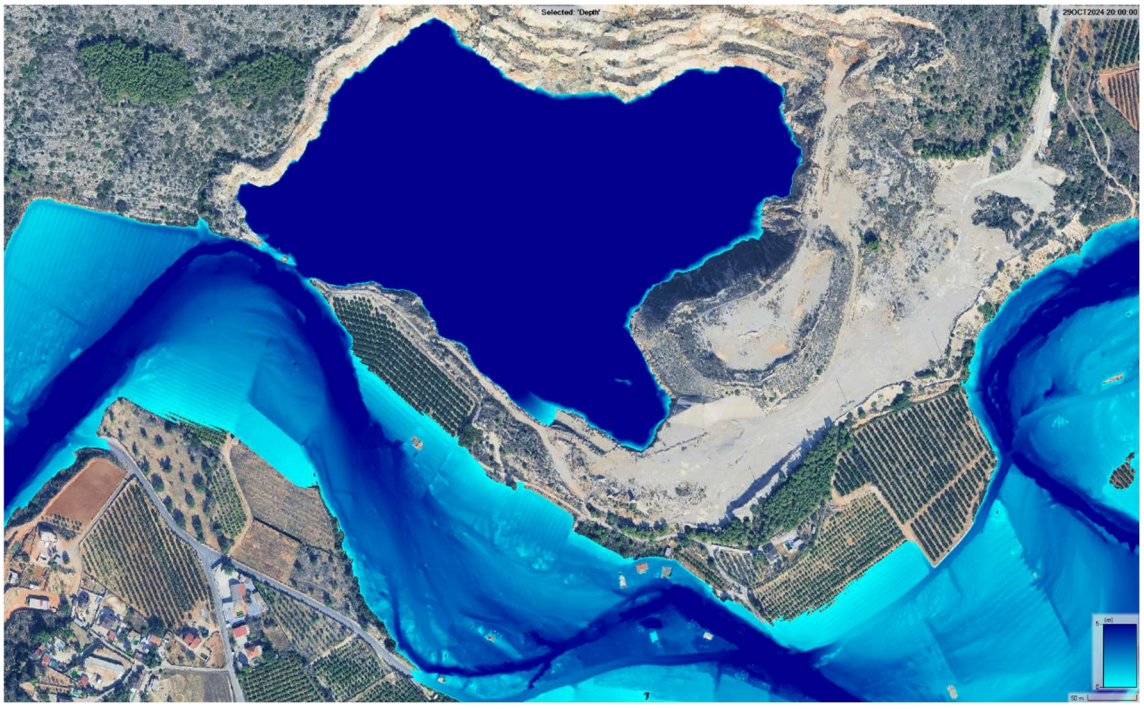

Figura 332. Calados calculados por el modelo hidráulico en el entorno de la cantera, a las 20 h.

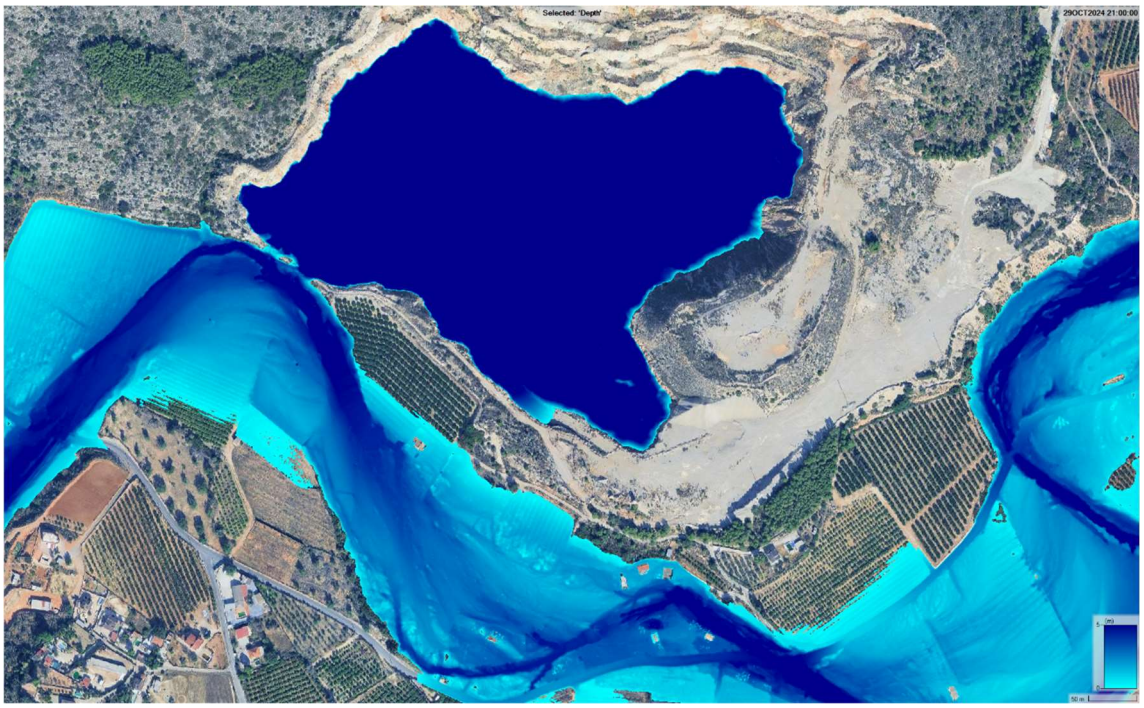

Figura 333. Calados calculados por el modelo hidráulico en el entorno de la cantera, a las 21 h.



Figura 334. Calados calculados por el modelo hidráulico en el entorno de la cantera, a las 22 h.

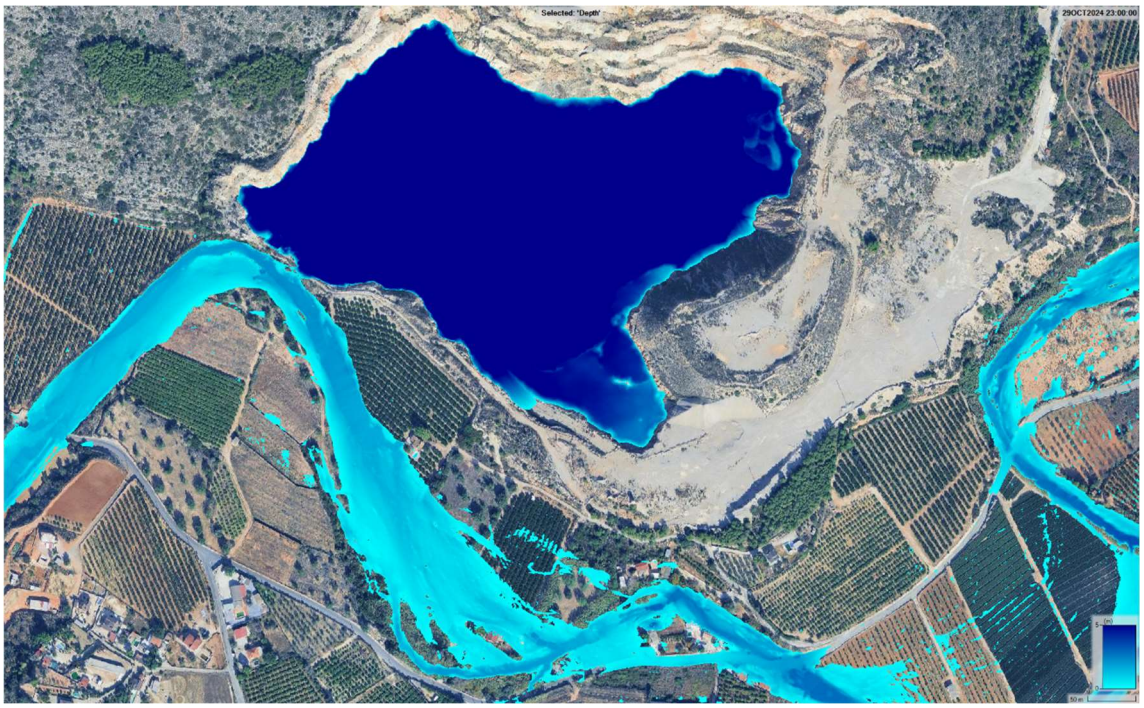

Figura 335. Calados calculados por el modelo hidráulico en el entorno de la cantera, a las 23 h.



Figura 336. Calados calculados por el modelo hidráulico en el entorno de la cantera, a las 24 h.

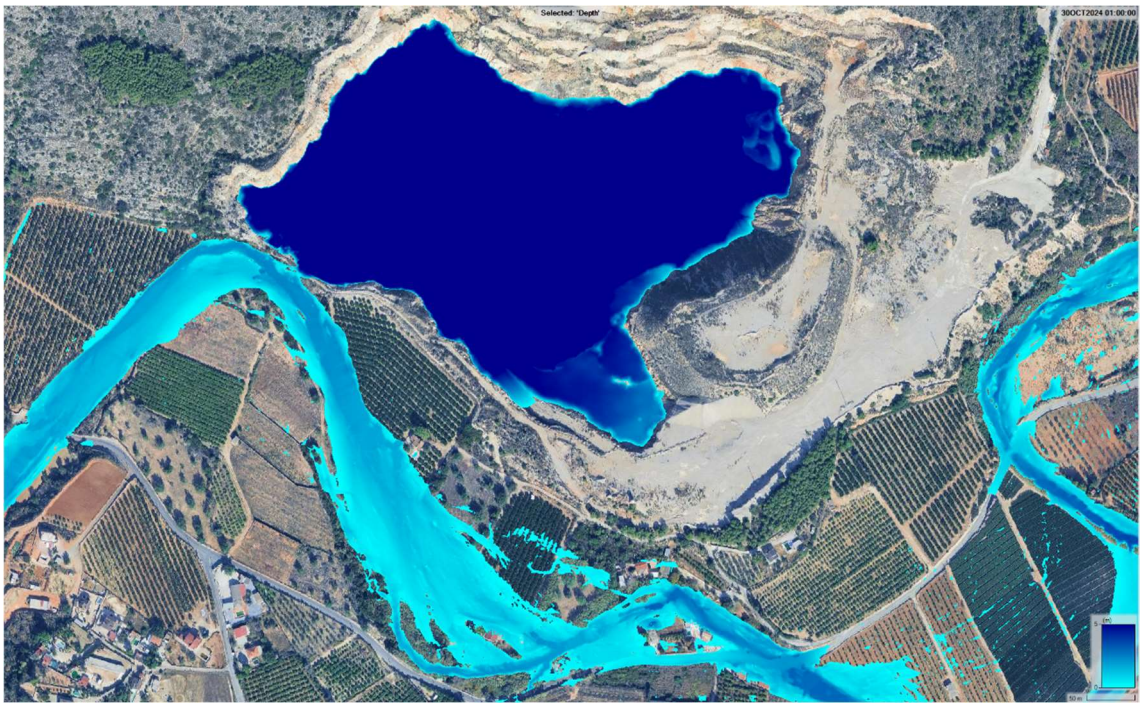

Figura 337. Calados calculados por el modelo hidráulico en el entorno de la cantera, a la 1 h A.M.



Figura 338. Calados calculados por el modelo hidráulico en el entorno de la cantera, a las 2 h A.M.



Figura 339. Calados calculados por el modelo hidráulico en el entorno de la cantera, a las 4 h A.M.

5.- ANEJO 5: IDENTIFICACIÓN DE DAÑOS. VISITAS A CAMPO

En este apéndice se recopilan las imágenes y diagnósticos preliminares realizados durante las salidas a campo llevadas a cabo en el desarrollo de este trabajo.

Se han visitado todos los cauces principales del Término Municipal de Torrent, con el objetivo de identificar daños que puedan requerir de intervención, centrándose especialmente en dos aspectos:

- Zonas con riesgo de inestabilidad de las laderas que puedan necesitar actuaciones de estabilización.

- Tramos de cauce en los que se hayan generado erosiones o depósitos de importancia, por si fuera conveniente restituirlos a su estado original anterior a la DANA.

En cualquier caso, cabe indicar que se trata de un diagnóstico previo basado en la inspección visual; en este trabajo no se han realizado sondeos, catas o ensayos que permitan identificar riesgos con mayor precisión.

Debido a la extensión del trabajo que pretende exponerse en este apéndice, consecuencia de la multitud de salidas a campo llevadas a cabo a lo largo de kilómetros de cauces, éste se resumirá a modo de fichas.

5.1.- NUMERACIÓN DE SECCIONES

Para poder ubicar los puntos en los que se identifiquen las afecciones identificadas en campo, se numerarán las secciones de forma independiente para cada uno de los cauces. El criterio para llevar a cabo esta ordenación será iniciar la numeración desde el origen de aguas abajo para cada barranco, en su confluencia con otro cauce, y numerar según la distancia hasta dicha confluencia. La distancia de dicha numeración se considera en metros.

Para ilustrar este criterio, se muestran gráficamente el origen de las numeraciones desde la confluencia hacia aguas arriba, para los diferentes cauces dentro del ámbito de estudio, que se limita al término municipal de Torrent.



Figura 340. Inicio de numeración de secciones en los barrancos de Horteta y de la Bota, en la cañada del Pequé, en la partida de la Venteta.

En el caso de la Rambla del Poyo, el origen de la numeración se ubicará en su desembocadura (en La Albufera), según se muestra en la figura adjunta.



Figura 341. Inicio de numeración de secciones en la Rambla del Poyo.

5.2.- RAMBLA DEL POYO

La Rambla del Poyo constituye el cauce principal que atraviesa Torrent, aunque su recorrido dentro el término municipal sea inferior al de otros sistemas fluviales. A continuación, se mostrarán las fichas elaboradas para los diferentes tramos recorridos en este barranco, realizando en ellos un diagnóstico preliminar del estado de sus márgenes y del cauce.

PO- 13500/13845

Descripción tramo	Barranco del Poyo, aguas abajo del puente de la CV-33. La mayor parte de este tramo se encuentra en el Término Municipal de Picaña.
Coordenadas UTM (X;Y)	(720251; 4368505)
Localización	
Detalle de planta con secciones	
Planta con daños	

Descripción de daños	La margen izquierda presenta dos tramos diferenciados. Inmediatamente aguas abajo del puente de la CV-33 la ladera ha sufrido socavaciones, pero no hay riesgo relevante debido a la amplitud del terraplén de separación con el enlace de la autovía CV-36. Más hacia aguas abajo, ya en Picanya, el muro de la empresa Pavimentos Urbina que linda con el cauce ha resistido la crecida, aunque sus edificios e instalaciones han sido arrasadas en el interior de la parcela. Por tanto, no se requiere ninguna actuación en esa ladera izquierda. En la margen derecha la situación es equivalente. Hay un tramo importante junto al puente en el que la ladera ha quedado bastante erosionada, dejando taludes casi verticales. Pero hacia aguas abajo esa margen mantiene su estructura original, con su ladera a casi 45º, por lo que no sería necesario intervenir. Se recomienda reforzar sólo la zona dañada. El cauce no presenta alteraciones significativas, y debido a las actuaciones de reparación que se están realizando en la zona, se encuentra ya completamente uniformizado.
Necesidad de restitución	Ladera margen derecha. Necesidad media, por la altura del talud y la proximidad de la residencia Solimar. Cauce. Necesidad baja. Ladera margen izquierda. Necesidad media. Se recomienda un reperfilado del talud por la margen izquierda en las proximidades el puente de la CV-33 y algún refuerzo puntual.

Imágenes:



Figura 342. Detalle de la margen izquierda, desde la parcela de Pavimentos Urbina. Vista hacia aguas abajo.



Figura 343. Vista panorámica de la margen izquierda, vista desde la margen derecha.



Figura 344. Muro de cierre de la margen izquierda en aparente buen estado (Pavimentos Urbina).



Figura 345. Vista del cauce mirando hacia aguas abajo. Estribos del puente de Picanya, destruido por la DANA.



Figura 346. Ladera de la margen derecha dañada frente a la residencia Solimar.



Figura 347. Vista de la ladera de la margen derecha, mirando hacia aguas arriba; en ese primer tramo el talud ha permanecido en buen estado. La ladera izquierda se ha convertido en zona de obras para el paso de maquinaria, pero no se vio erosionada, por estar en la parte interior del meandro.

PO- 13845/13890

Descripción tramo	Barranco del Poyo, cruce con el puente de la CV-33.
Coordenadas UTM (X;Y)	(720079; 4368572)
Localización	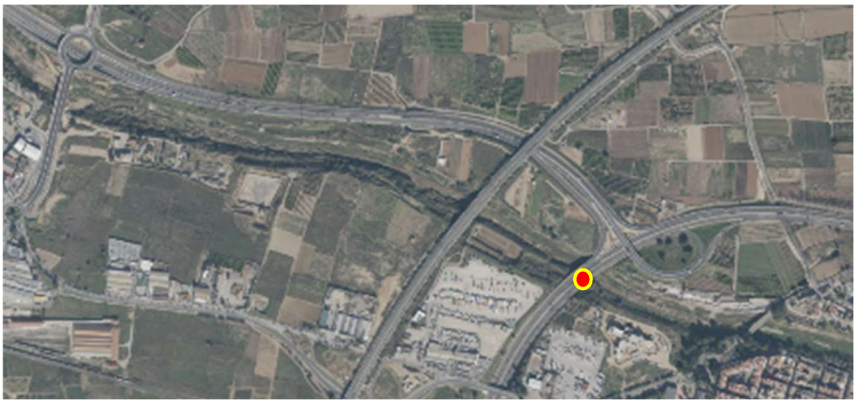
Detalle de planta con secciones	
Planta con daños	

Descripción de daños	La ladera situada en la margen derecha a la altura de este puente apenas ha sufrido socavaciones. Sin embargo, por la margen izquierda el flujo pasó por encima del puente, vertiendo por coronación y generando socavaciones que provocaron el descalce del estribo izquierdo, ocasionando la caída de parte del tablero. En el cauce se identifican erosiones por la margen derecha, seguramente por la aceleración del flujo que generó la obstrucción generada por la caída del tablero en el lado opuesto.
Necesidad de restitución	Ladera margen derecha. Necesidad baja. Cauce. Necesidad media. Ladera margen izquierda. Necesidad media, por las erosiones generadas en torno al estribo.

Imágenes:



Figura 348. Vista del puente tras la DANA, mirando hacia aguas arriba desde la margen izquierda, el día 30 de octubre tras amanecer.



Figura 349. Vista del estribo derecho.



Figura 350. Reposición del estribo de la margen izquierda.



Figura 351. Vista del estribo izquierdo.



Figura 352. Tablero partido.

PO- 13890/14120

Descripción tramo	Barranco del Poyo, entre el puente de la CV-33 y el puente del ferrocarril.
Coordenadas UTM (X;Y)	(719958; 4368643)
Localización	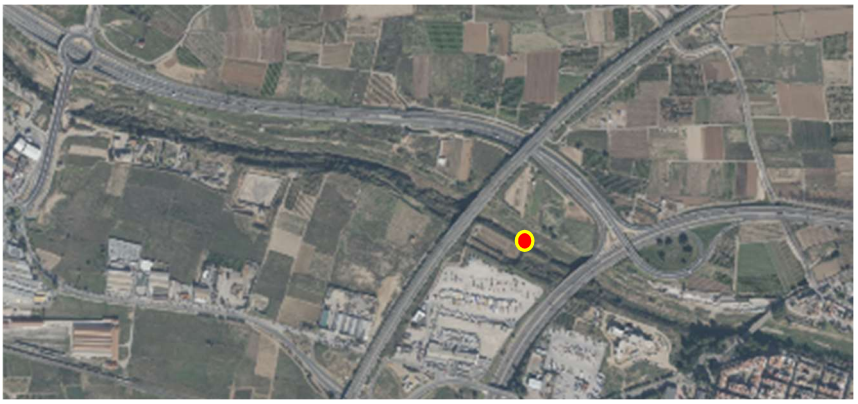
Detalle de planta con secciones	
Planta con daños	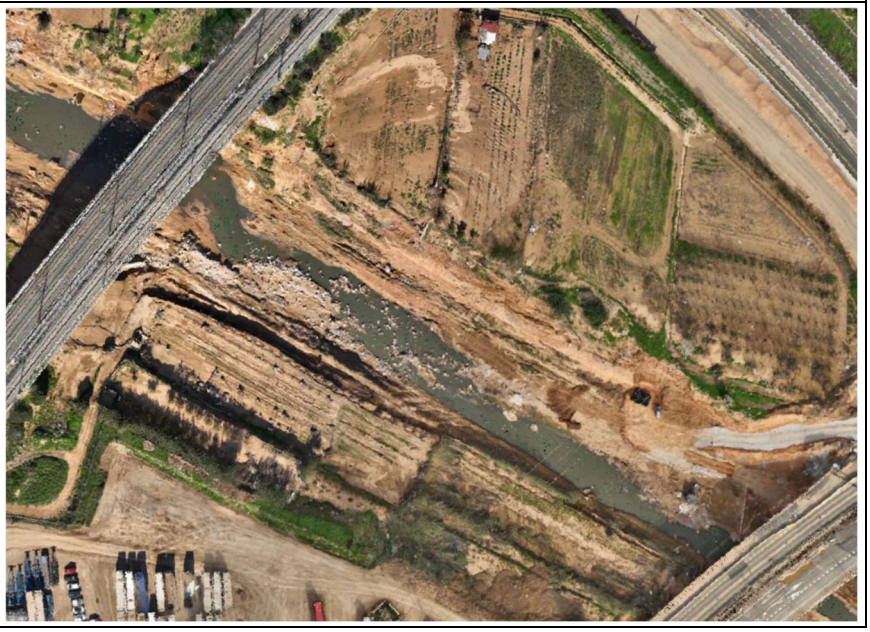

Descripción de daños	La margen derecha no ha sufrido daños relevantes, salvo los generados en campos de cultivo de la terraza inferior. En la parte más elevada se ha conservado el carrizo en gran parte del tramo, erosionando la zona más baja. Se identifican socavaciones puntuales de importancia que no parecen revestir riesgo, ya que la ladera presenta una anchura amplia. Por la margen izquierda la erosión ha sido importante, dejando un muro a medio derruir con alto grado de inestabilidad, y casi descalzadas dos torres de suministro eléctrico. El talud actual es estable, pero podría presentar inestabilidad frente a futuras crecidas. El cauce presenta una contaminación extrema, con aguas fecales de elevado grado de toxicidad, procedentes de los daños ocasionados en la depuradora de Torrent.
Necesidad de restitución	Ladera margen derecha. Necesidad baja. Cauce. Necesidad alta, por la elevada contaminación. Ladera margen izquierda. Necesidad media. Sería conveniente reforzar el entorno de las torres de suministro eléctrico, y demoler o reponer el muro.

Imágenes:



Figura 353. Vista de la margen derecha y del cauce, en la que se aprecia su elevada contaminación.



Figura 354. Vista panorámica de la margen derecha y del cauce.



Figura 355. Detalle de la contaminación en el cauce.



Figura 356. Vista de la margen izquierda erosionada, y restos de muro que ha quedado inestable.



Figura 357. Vista panorámica de la margen izquierda.



Figura 358. Detalle de erosión localizada junto a las torres eléctricas. Vista de la margen izquierda.

PO- 14120/14150

Descripción tramo	Barranco del Poyo, en el cruce del puente del ferrocarril.
Coordenadas UTM (X;Y)	(719849; 4368704)
Localización	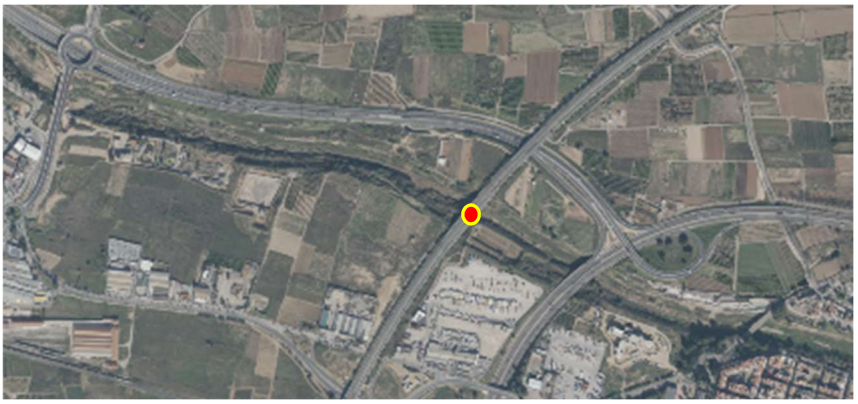
Detalle de planta con secciones	
Planta con daños (Vista girada 90º)	

Descripción de daños	No se aprecian daños en los estribos del puente ni en sus pilas. Parece haberse socavado en el entorno de las dos pilas más próximas al estribo izquierdo, pero no puede apreciarse con claridad debido al anegamiento por aguas negras. En cuanto a las laderas, se ha erosionado el entorno del estribo izquierdo, y se han depositado sedimentos finos en la margen derecha. El cauce presenta un elevado grado de contaminación. Resulta complicado transitar por la zona por la escasez de oxígeno, debido al metano generado desde las aguas negras.
Necesidad de restitución	Ladera margen derecha. Necesidad baja, aunque convendría retirar sedimentos. Cauce. Necesidad alta, por la elevada contaminación. Podría convenir reforzar el entorno de alguna pila. Ladera margen izquierda. Necesidad media. Convendría reforzar el entorno del estribo flotante.

Imágenes:



Figura 359. Vista de la margen derecha, en aparente buen estado.



Figura 360. Vista de la margen izquierda. Estribo flotante próximo a la zona erosionada.



Figura 361. Socavación en el entorno de la pila, y presencia de aguas negras en el cauce.

PO- 14150/14440

Descripción tramo	Rambla del Poyo, inmediatamente aguas arriba del puente del ferrocarril.
Coordenadas UTM (X;Y)	(719695; 4368776)
Localización	
Detalle de planta con secciones	
Planta con daños	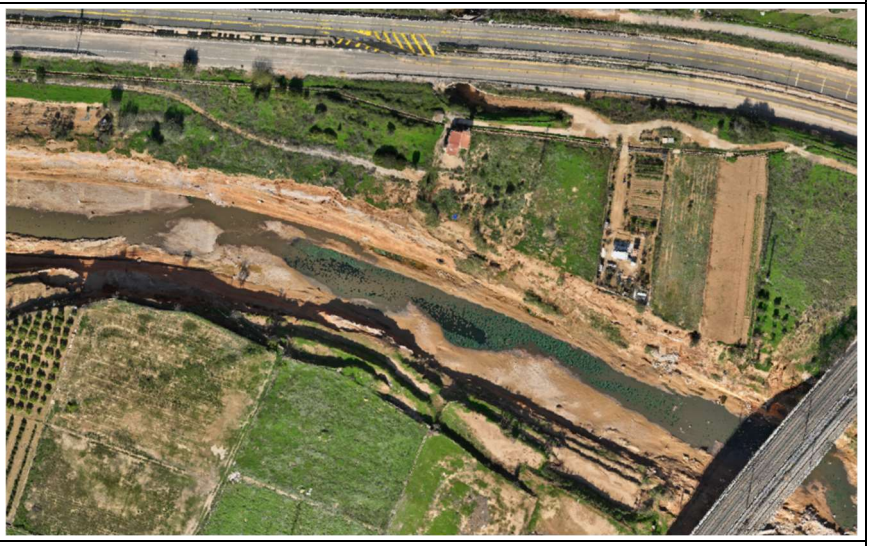
Descripción de daños	La margen izquierda ha sufrido socavaciones puntuales de importancia, aunque de forma discontinua, pero el carrizo ha preservado gran parte de su ladera en la zona media y alta del tramo. La margen derecha presenta un menor grado de erosión, habiendo dañado únicamente la parte inferior del talud. Ninguna de las márgenes aparenta riesgo de inestabilidad. Al inicio de este tramo las aguas negras brotan desde el terreno, por lo que el lecho del cauce presenta un elevado grado de contaminación.

Necesidad de restitución	Ladera margen derecha. Necesidad baja. Cauce. Necesidad alta, por la elevada contaminación. Ladera margen izquierda. Necesidad baja, aunque convendría reforzar la desembocadura del colector en las proximidades del puente.

Imágenes:



Figura 362. Vista del cauce y de la margen derecha.



Figura 363. Vista panorámica del cauce y de la margen derecha.



Figura 364. Vista de la margen izquierda y del cauce, inmediatamente aguas arriba del puente del ferrocarril.



Figura 365. Vista de la margen izquierda.

PO- 14440/14630

Descripción tramo	Barranco del Poyo, entre la depuradora y el meandro.
Coordenadas UTM (X;Y)	(719451; 4368813)
Localización	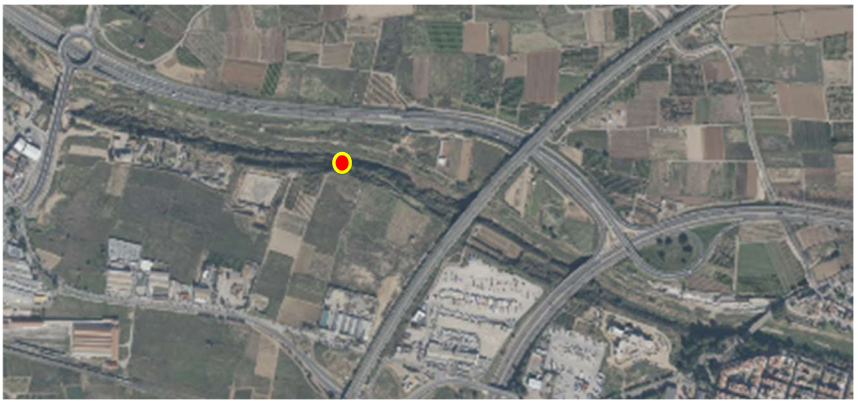
Detalle de planta con secciones	
Planta con daños	

Descripción de daños	Ambas laderas se encuentran muy erosionadas, habiéndose eliminado la vegetación casi en su totalidad y presentando taludes casi verticales, aunque no aparentan riesgo de inestabilidad en tiempo seco. La margen izquierda ha conservado algún pequeño tramo sin erosionar y con vegetación. En la margen derecha hay un estrato artificial de mezcla de escombros hormigonada, que colabora proporcionándole cierta estabilidad. En el cauce se han depositado sedimentos de tamaño grava y algunos escombros. Se intuye un flujo subterráneo de aguas negras circulando por debajo del lecho, y que no está a la vista. A pesar de la apariencia casi normal del lecho, en algunas zonas el olor es muy fuerte y el ambiente irrespirable.
Necesidad de restitución	Ladera margen derecha. Necesidad baja. Cauce. Necesidad alta, por la elevada contaminación. Ladera margen izquierda. Necesidad baja.

Imágenes:



Figura 366. Vista del cauce y de la margen derecha.



Figura 367. Margen izquierda. Se aprecia el estrato de restos antrópicos, en color más claro.



Figura 368. Vista del cauce y de la margen izquierda.

PO- 14630/14900

Descripción tramo	Barranco del Poyo, frente a la EDAR de Torrent.
Coordenadas UTM (X;Y)	(719335; 4368827)
Localización	
Detalle de planta con secciones	
Planta con daños	
Descripción de daños	Se identifican socavaciones en ambas márgenes, que no presentan riesgo para su estabilidad en tiempo seco. La erosión ha sido mayor en la margen derecha que en la izquierda, dañando las instalaciones de la depuradora. En la izquierda se aprecian daños puntuales en el talud de la autovía CV-36. Hay depósitos en el cauce, pero no presentan gran espesor. El suelo está muy contaminado. Las aguas presentan elevada toxicidad y un estado anaerobio, con presencia de metano. Falta de oxígeno para respirar.

Necesidad de restitución	Ladera margen derecha. Necesidad media, por la proximidad de la depuradora. Cauce. Necesidad alta, por la elevada contaminación. Ladera margen izquierda. Necesidad baja, excepto en algunas socavaciones puntuales que han descalzado parte del pavimento de la CV-36.

Imágenes:



Figura 369. Daños en el talud de la margen derecha.



Figura 370. Vista de la margen derecha y presencia de aguas negras en el cauce.



Figura 371. Presencia de aguas negras en el cauce.



Figura 372. Vista general de ambas márgenes y del lecho del río en este tramo, vista desde el interior del cauce, mirando desde aguas arriba hacia aguas abajo.



Figura 373. Vista de la margen derecha sólo unas horas después del paso de la DANA. Vista desde la parte superior de la margen izquierda mirando hacia aguas abajo.



Figura 374. Erosiones puntuales en la margen izquierda del cauce.

PO- 14900/15010

Descripción tramo	Barranco del Poyo, inmediatamente aguas abajo del puente de la CV-403.
Coordenadas UTM (X;Y)	(719046; 4368901)
Localización	
Detalle de planta con secciones	
Planta con daños	
Descripción de daños	Se identifican socavaciones en ambas márgenes, que no presentan riesgo para la estabilidad de los taludes en tiempo seco. La erosión ha sido mayor en la margen izquierda que en la derecha. El cauce presenta depósitos de escasa importancia, que no revisten relevancia, pero su lecho presenta bastante grado de contaminación.

Necesidad de restitución	Ladera margen derecha. Necesidad baja. Cauce. Necesidad alta, por la elevada contaminación. Ladera margen izquierda. Necesidad baja.

Imágenes:



Figura 375. Margen izquierda del cauce.



Figura 376. Detalle del estado de la margen derecha y del cauce.



Figura 377. Margen derecha vista desde aguas arriba.



Figura 378. Vista general de ambas márgenes, desde aguas arriba.

PO- 15010/15055

Descripción tramo	Entorno del puente de la CV-403 sobre el Barranco del Poyo.
Coordenadas UTM (X;Y)	(718991; 4368917)
Localización	
Detalle de planta con secciones	
Planta con daños (imagen girada 90º).	

Descripción de daños	El estribo derecho está estable y con escasos daños, aunque algunas piezas de escollera han quedado desplazadas. Se ha producido el fallo del estribo flotante de la margen izquierda, que ha caído por descalce, lo que ha ocasionado la rotura de parte del tablero del puente. Aguas abajo, el talud de la margen izquierda ha asentado, y aunque no presenta riesgo de inestabilidad en tiempo seco, seguirá moviéndose en futuras crecidas. En el interior del cauce se ha generado erosión de en torno a un metro en el vano central, entre las pilas.
Necesidad de restitución	Ladera margen derecha. Necesidad baja, pero se recomienda el acondicionamiento de escollera y la reposición de elementos dañados. Cauce. Necesidad media. Se requiere reforzar la protección de las pilas, especialmente en su parte interior. Ladera margen izquierda. Necesidad alta. Resulta necesario restituir el estribo y realizar un seguimiento del movimiento del talud, que ha asentado.

Imágenes:



Figura 379. Margen derecha del puente, aguas abajo del mismo. Se puede apreciar que aunque se han desplazado algunas piedras, el manto de escollera ha permitido que el estribo resista.



Figura 380. Margen derecha del puente, aguas arriba del mismo.



Figura 381. Margen izquierda del puente, vista desde la ladera opuesta y aguas arriba del mismo. Caída del estribo flotante por descalce.



Figura 382. Caída de parte del tablero tras el fallo del estribo izquierdo.



Figura 383. Fisuración de la ladera de la margen izquierda, aguas abajo del puente.

PO- 15055/15305

Descripción tramo	Barranco del Poyo aguas arriba del puente de la CV-403.
Coordenadas UTM (X;Y)	(718856; 4369023)
Localización	
Detalle de planta con secciones	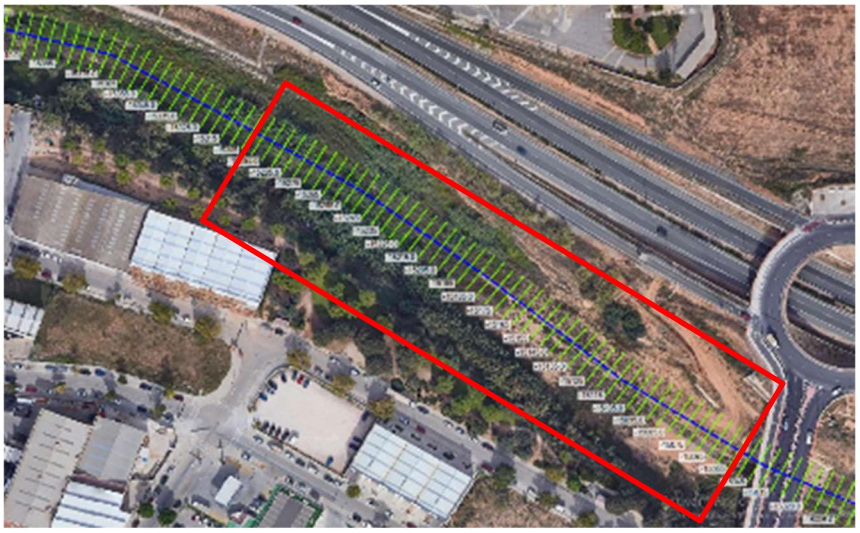
Planta con daños	

Descripción de daños	Tramo dañado por la margen izquierda tras el meandro, erosionando las laderas y dañando más de cien metros del lateral de la CV-36. La margen derecha presenta varios desprendimientos de ladera, pero ha conservado parte de su vegetación, que se ha servido de soporte a los taludes. No se han identificado grietas que identifiquen movimientos de la ladera, pero convendría auscultarla por la proximidad de la zona urbana. El lecho del barranco ha sufrido erosiones hacia su margen izquierda tras el meandro, generando un cauce de aguas bajas que tras un cierto recorrido se reorienta hacia el centro. En zonas bajas del cauce afloran aguas negras procedentes de vertidos de aguas residuales asociadas a los daños generados por la DANA, por lo que la contaminación en el lecho del barranco es importante.
Necesidad de restitución	Ladera margen derecha. Necesidad media, por la proximidad de un parque en la zona urbana. Cauce. Necesidad alta, por la elevada contaminación. Ladera margen izquierda. Necesidad alta, por la proximidad de la carretera.

Imágenes:



Figura 384. Margen derecha. Vista general.



Figura 385. Detalle de daños en la margen derecha.



Figura 386. Detalle de erosiones en la margen izquierda.



Figura 387. Vista panorámica de la margen izquierda, en la zona de aguas arriba del tramo.



Figura 388. Contaminación en el cauce aguas arriba del puente de la CV-403.



Figura 389. Vista general del tramo, desde aguas abajo hacia ag. arriba Vista de la margen derecha.

PO- 15305/15590

Descripción tramo	Barranco del Poyo en el meandro situado junto a la CV-36, al norte de Torrent.
Coordenadas UTM (X;Y)	(718649; 4369131)
Localización	
Detalle de planta con secciones	
Planta con daños	

Descripción de daños	La margen derecha presenta una erosión generalizada, dejando los taludes casi verticales y sin vegetación, aunque que esos taludes presentaban un aspecto similar antes de la DANA. Con la crecida se ha eliminado la vegetación y la erosión ha reperfilado el talud. En general, el muro de gaviones que protege la parte exterior del meandro por la margen izquierda, ha resistido bien, a pesar de que ha habido muchos gaviones que se han dañado o destruido. En el cauce hay un gran volumen de escombros depositados, especialmente hacia la margen derecha. Hacia la margen izquierda el cauce ha socavado junto a la base del muro de gaviones.
Necesidad de restitución	Ladera margen derecha. Con el talud en seco no tiene por qué presentar problemas de estabilidad, aunque se recomienda un cierto reperfilado del talud vertical. Necesidad baja de restitución en este tramo, excepto en el entorno de la nave que hay en la curva. Bajo esa nave, la necesidad de estabilizar la ladera es alta, por el riesgo de derrumbe. Cauce. Necesidad media. Es necesario retirar escombros, para evitar que el nivel de riesgo de inundación se incremente ante crecida futuras. Ladera margen izquierda. Necesidad alta, por la protección de la CV-36.

Imágenes:



Figura 390. Vista de la margen izquierda y depósitos de escombros en el lecho del cauce.



Figura 391. Daños en el muro de protección de la CV-36 en la margen izquierda, visto desde la ladera opuesta. Esta protección tiene una composición mixta, con una base de escollera sobre la que se apoyan bloques de gaviones.



Figura 392. Detalle de gaviones afectados en la margen izquierda y restos del tablero del puente antiguo. Este muro está situado en la zona exterior del meandro, recibiendo de forma directa el impacto de la crecida; aunque ha sufrido daños, ha permitido que el talud quede en pie.



Figura 393. Importantes daños en dos naves situadas en la margen derecha, entre las secciones 15390 y 15450. Talud vertical inestable.



Figura 394. Detalle de daños en la nave anterior y posible inestabilidad de la estructura.



Figura 395. Margen derecha aguas arriba de las naves anteriores. Talud vertical con riesgo de inestabilidad.

PO- 15590/15685

Descripción tramo	Barranco del Poyo, inmediatamente aguas abajo del puente de la CV-4034.
Coordenadas UTM (X;Y)	(718446; 4369088)
Localización	
Detalle de planta con secciones	
Planta con daños	

Descripción de daños	Ambas márgenes han sufrido erosiones importantes, relacionadas con la aceleración del flujo y la turbulencia generada tras el paso del agua por el puente. Como la crecida coronó dicha estructura, se han generado daños también en las terrazas, afectando a varias viviendas por margen derecha, y descalzando parte del talud de la CV-36 por la margen izquierda. En el interior del cauce, se identifican importantes depósitos de escombros en la zona baja del tramo y socavaciones en la zona alta, ocasionada por los vórtices de herradura tras el paso a través de las pilas. Hay una abundante presencia de aguas negras que afloran en el lecho.
Necesidad de restitución	Ladera margen derecha. Necesidad baja, a pesar de los daños en viviendas. Los taludes son estables, y la franja de terreno hasta la trama urbana es lo suficientemente amplia para que no haya riesgo de deslizamiento. Se recomienda reurbanizar esa zona. Cauce. Necesidad alta. Los niveles de escombros modifican los niveles de riesgo y hay presencia de aguas negras en el cauce. Ladera margen izquierda. Necesidad alta, por la protección dañada de la CV-36.

Imágenes:



Figura 396. Detalle de viviendas dañadas por la margen derecha. Contaminación en el cauce.



Figura 397. Vista del cauce y ambas márgenes. Vista hacia aguas abajo del tramo.



Figura 398. Vista desde el interior del cauce, mirando hacia la margen derecha.



Figura 399. Detalle de daños en la margen derecha.

PO- 15685/15710

Descripción tramo	Puente de la CV-4034 sobre el barranco del Poyo.
Coordenadas UTM (X;Y)	(718396; 4369066)
Localización	
Detalle de planta con secciones	
Planta con daños (vista girada 90º)	

Descripción de daños	Los estribos y pilas presentan un buen estado, aunque en la margen derecha se ha erosionado el talud, dañando algunas conducciones que pasaban bajo el primer vano. No parece haber riesgo de inestabilidad en los estribos, ni en pilas. El tablero ha quedado destruido parcialmente por su margen derecha, debido a que el flujo coronó el puente.
Necesidad de restitución	Ladera margen derecha. Necesidad media. En futuras crecidas podría evolucionar la erosión y descalzar el estribo. Cauce. Necesidad media. Aunque a nivel estructural no haya riesgo inmediato para el puente, se recomienda mejorar la protección de algunas pilas. También se recomienda limpiar el cauce de la contaminación existente. Ladera margen izquierda. Necesidad baja.

Imágenes:



Figura 400. Vista del puente desde aguas abajo, mirando desde el interior del cauce.



Figura 401. Vista panorámica del puente desde aguas arriba.



Figura 402. Daños sobre el tablero del puente, mirando hacia su margen derecha.



Figura 403. Estribo izquierdo en buen estado.



Figura 404. Estribo derecho con daños parciales en el talud, visto desde aguas abajo.



Figura 405. Estribo derecho con daños parciales en el talud, visto desde aguas arriba.

PO- 15710/15995

Descripción tramo	Barranco del Poyo, aguas arriba del puente de la CV-4034.
Coordenadas UTM (X;Y)	(718237; 4368991)
Localización	
Detalle de planta con secciones	
Planta con daños	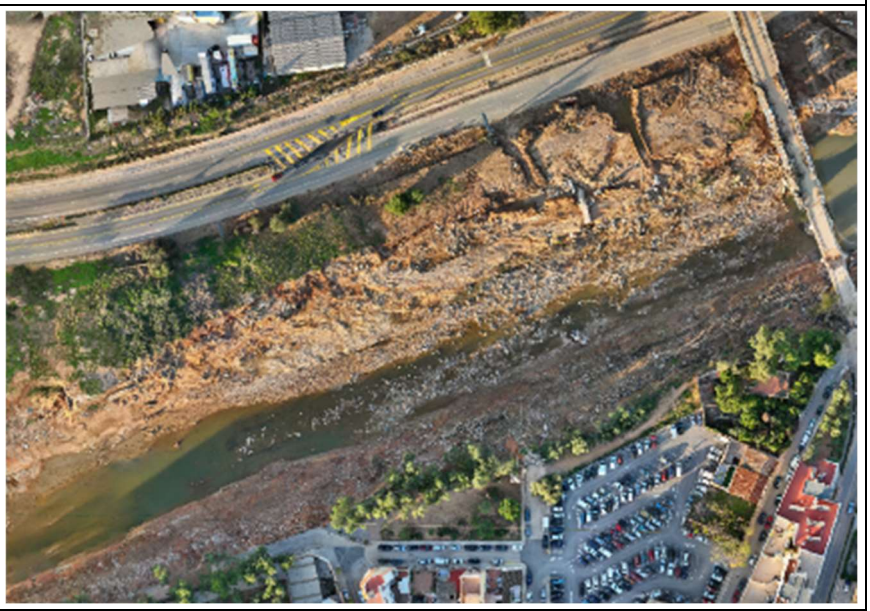

Descripción de daños	Se identifican erosiones generalizadas por ambas márgenes. Los taludes en la margen derecha han quedado prácticamente verticales, con parte del asfalto en voladizo, con el consiguiente riesgo de roturas y caídas. Las laderas de la margen izquierda también se han visto erosionadas, pero apenas revisten riesgo por tener una franja de terreno suficientemente amplia hasta el arcén de la CV36. El cauce presenta depósitos de escombros hacia aguas abajo de este tramo, y contaminación en la zona de aguas arriba, que se está filtrando en el terreno.
Necesidad de restitución	Ladera margen derecha. Necesidad alta, por la proximidad de la zona urbana e inestabilidad en algunos puntos. Cauce. Necesidad alta, por la elevada contaminación. Ladera margen izquierda. Necesidad baja.

Imágenes:



Figura 406. Vista general de la margen derecha.



Figura 407. Vista general de la margen izquierda.



Figura 408. Detalles de daños en el talud de la margen derecha.



Figura 409. Detalles de daños en el talud de la margen derecha.



Figura 410. Detalles de daños en la margen derecha, vistos desde la parte superior del talud. Al fondo se puede apreciar el estado de la margen izquierda y la contaminación en el cauce.



Figura 411. Detalle de contaminación en el cauce.



Figura 412. Vista del cauce y de la margen izquierda.



Figura 413. Margen izquierda. Detalle daños.



Figura 414. Vista general de ambas laderas en el tramo, mirando hacia aguas arriba.

PO- 15995/16180

Descripción tramo	Barranco del Poyo, tramo frente a la calle Barranc de L´Horteta.
Coordenadas UTM (X;Y)	(718058; 4368916)
Localización	
Detalle de planta con secciones	
Planta con daños	

Descripción de daños	Por la margen derecha la erosión ha sido importante; la calle está completamente destruida, con parte de los viales en voladizo. La margen izquierda presenta también importantes erosiones. La ladera no presenta un riesgo grave para las personas por ser un ámbito rural, pero hay muros derruidos o descalzados cuyas piezas han quedado inestables, por lo que convendría actuar. En el cauce se alternan zonas con socavaciones en el lecho y otras con presencia de depósitos y escombros.
Necesidad de restitución	Ladera margen derecha. Necesidad alta. Cauce. Necesidad media. Ladera margen izquierda. Necesidad media.

Imágenes:



Figura 415. Margen izquierda. Desembocadura del canal de desagüe de diferentes infraestructuras lineales.



Figura 416. Margen izquierda. Muros dañados y descalzados.



Figura 417. Margen derecha, vista hacia aguas arriba.



Figura 418. Margen derecha, vista hacia aguas abajo.



Figura 419. Viviendas destruidas en la margen derecha, entre las calles Barranc de Horteta y C/Jesús.



Figura 420. Vista general del tramo, mirando hacia aguas abajo.

PO- 16180/16450

Descripción tramo	Barranco del Poyo, frente a la Calle Virgen de Fátima.
Coordenadas UTM (X;Y)	(717798; 4368847)
Localización	
Detalle de planta con secciones	
Planta con daños	

Descripción de daños	Se han producido importantes socavaciones en ambas márgenes. Las laderas no presentan riesgo aparente de inestabilidad en tiempo seco, pero podrían sufrir deslizamientos en próximas crecidas si progresa su degradación. La margen izquierda ha quedado más erosionada, aflorando estratos competentes de material rocoso. Al tratarse de un ámbito rural, el peligro para las personas es bajo. La margen derecha presenta un mayor peligro por el gran desnivel existente y la proximidad de zona urbana, con paso de viandantes. En esta otra margen se ha producido la destrucción de un par de edificaciones, que aparentemente pertenecían a la misma vivienda. Los suelos en esta zona son de baja calidad, con presencia de materiales de escasa consistencia y rellenos antrópicos. Al existir una calle entre el barranco y las edificaciones próximas, no hay riesgo aparente de más daños en viviendas, pero sí de posibles caídas de personas o descalces en el vial. El interior del cauce se ha erosionado hacia la margen izquierda, depositándose gravas gruesas y algunos escombros de pequeño tamaño en el centro del cauce y hacia la margen derecha, por quedar en la parte interior del talud. Las socavaciones son menores que en el tramo de aguas abajo. Había una pasarela peatonal que ha quedado completamente destruida, y sus restos se encuentran esparcidos por el cauce.
Necesidad de restitución	Ladera margen derecha. Necesidad alta, por la proximidad del vial. Cauce. Necesidad media, por la conveniencia de eliminar escombros. Ladera margen izquierda. Necesidad baja.

Imágenes:



Figura 421. Erosión en la margen izquierda.



Figura 422. Vista de la margen izquierda y viviendas destruidas en la margen derecha.



Figura 423. Detalle de erosiones localizadas en la margen izquierda.



Figura 424. Ladera erosionada por la margen derecha. Sobre esta ladera había dos edificios, que han quedado completamente destruidos.



Figura 425. Depósitos en el cauce, junto con restos de la pasarela.

PO- 16450/16695

Descripción tramo	Barranco del Poyo frente al Carrer de Lliria.
Coordenadas UTM (X;Y)	(717591; 4368709)
Localización	
Detalle de planta con secciones	
Planta con daños	

Descripción de daños	Ambas márgenes se encuentran bastante dañadas. Ninguna de las dos parece revestir riesgo de desprendimiento, pero en próximas crecidas las erosiones podrían evolucionar. Las mayores afecciones se han generado por la margen derecha al tratarse de un ámbito urbano, a pesar de quedar en la zona interior del meandro. La amplitud de la zona urbanizada en esta margen ha limitado los daños en edificaciones próximas, que aun así han sido importantes. La margen izquierda se ha ampliado respecto a la situación previa a la DANA, por lo que el barranco presenta ahora mayor anchura en este tramo. De nuevo, al igual que en el tramo de aguas abajo, se aprecia una clara diferencia entre los materiales más competentes de la margen izquierda, y los rellenos de la zona urbanizada en la margen derecha, de escasa calidad. En el lecho se ha depositado un gran volumen de escombros. El badén sobre el cauce que daba continuidad a la Calle Maestro Fortea ha quedado intransitable, y parcialmente destruido. Aparentemente, el cauce ha ampliado su anchura como consecuencia de la turbulencia generada por la confluencia del Barranco de Horteta.
Necesidad de restitución	Ladera margen derecha. Necesidad media, por la proximidad de la zona urbanizada y el desnivel existente, que hace que exista riesgo potencial de caída de personas. Cauce. Necesidad alta. El exceso de escombros en el entorno de la confluencia supone una importante contaminación en el lecho. Ladera margen izquierda. Necesidad baja.

Imágenes:



Figura 426. Vista general del tramo, mirando hacia aguas abajo desde la berma de la margen derecha.



Figura 427. Socavaciones en la margen derecha. Talud erosionado frente al Carrer de Lliria, en el que se puede apreciar la escasa competencia de los rellenos.



Figura 428. Detalle de erosión en la margen derecha. Vista desde la parte alta del tramo, mirando hacia aguas abajo.



Figura 429. Margen izquierda aguas abajo de la confluencia. Abundancia de escombros en el cauce.



Figura 430. Escombros en el cauce, vista desde la parte media-baja del tramo, hacia aguas arriba.

PO- 16695/16750

Descripción tramo	Confluencia entre los barrancos del Poyo y L´Horteta.
Coordenadas UTM (X;Y)	(717534; 4368597)
Localización	
Detalle de planta con secciones	
Planta con daños	

Descripción de daños	Ambas márgenes presentan erosiones, pero no revisten riesgo aparente. La ladera izquierda se ha ampliado respecto a la situación anterior a la DANA. La presencia de escombros en el lecho es generalizada. El impacto ambiental es relevante y puede afectar a la evacuación del flujo en próximas crecidas.
Necesidad de restitución	Ladera margen derecha. Necesidad media, por colindar con zona urbanizada. Cauce. Necesidad alta, para mejorar la circulación del flujo en la confluencia. Ladera margen izquierda. Necesidad baja.

Imágenes:



Figura 431. Vista hacia aguas abajo en la confluencia y vista de la margen izquierda. Abundancia de escombros en el cauce.



Figura 432. Vista hacia aguas arriba en la confluencia. Abundancia de escombros en el cauce.



Figura 433. Vista de la confluencia desde al puente de Mas del Jutge, con la margen izquierda al fondo

PO- 16750/17190

Descripción tramo	Barranco del Poyo aguas arriba de la confluencia con Bco. de L´Horteta.
Coordenadas UTM (X;Y)	(717343; 4368519)
Localización	
Detalle de planta con secciones	
Planta con daños	

Descripción de daños	Este tramo presenta erosión generalizada por ambas márgenes, aunque ha sido algo mayor por la margen derecha por la existencia del meandro. La ladera izquierda presenta grietas de tracción de tamaño relevante, por lo que podrían producirse deslizamientos puntuales en futuras crecidas. Como esa margen izquierda no está urbanizada, la peligrosidad no es tan relevante como en la margen opuesta. Respecto a la ladera derecha, la erosión ha dejado descalzada parte del Carrer del Mas del Jutge, quedando el talud prácticamente vertical y parte de su acera en voladizo. En próximas crecidas podría haber riesgo de desprendimientos. El interior del cauce presenta abundancia de escombros. La contaminación del lecho por vertidos de aguas residuales es importante.
Necesidad de restitución	Ladera margen derecha. Necesidad alta, por la proximidad del Carrer del Mas del Jutge, que presenta una elevada intensidad de tráfico. Cauce. Necesidad alta, para no obstaculizar la circulación del flujo en el entorno de la confluencia y por la importante contaminación del lecho. Ladera margen izquierda. Necesidad media, por las grietas de tracción existentes en algunos tramos del talud. Aunque se trate de un ámbito rural, su desmoronamiento podría generar afecciones en la margen opuesta.

Imágenes:



Figura 434. Imagen general del cauce y ambas márgenes. Vista hacia aguas arriba de la Rambla del Poyo desde la confluencia con Horteta.



Figura 435. Vista general del cauce y ambas márgenes. Vista hacia aguas arriba desde la margen derecha.



Figura 436. Vista de los vertidos de aguas negras en el interior del cauce. Tramo bajo, junto a la confluencia con Horteta.



Figura 437. Detalle de daños en la ladera izquierda. Tramo bajo.



Figura 438. Detalle de daños en margen derecha, junto a carretera de Mas del Jutdge. Tramo bajo.



Figura 439. Daños en varias naves del polígono industrial, en la zona baja del tramo, inmediatamente aguas arriba de la confluencia con el Barranco de Horteta. Vista de la margen derecha, mirando hacia la confluencia (aguas abajo).



Figura 440. Vista panorámica de la margen derecha y del cauce, mirando hacia aguas abajo.



Figura 441. Detalle de daños en la margen derecha, en el que puede apreciarse que el pavimento de algunas zonas ha quedado en voladizo. Zona de aguas arriba del tramo.



Figura 442. Erosión en el margen derecha. Zona de aguas abajo del tramo.



Figura 443. Grietas de tracción en el talud de la margen izquierda.

PO- 17190/17700

Descripción tramo	Barranco del Poyo, al noreste del polígono Mas del Jutge.
Coordenadas UTM (X;Y)	(716861; 4368648)
Localización	
Detalle de planta con secciones	
Planta con daños	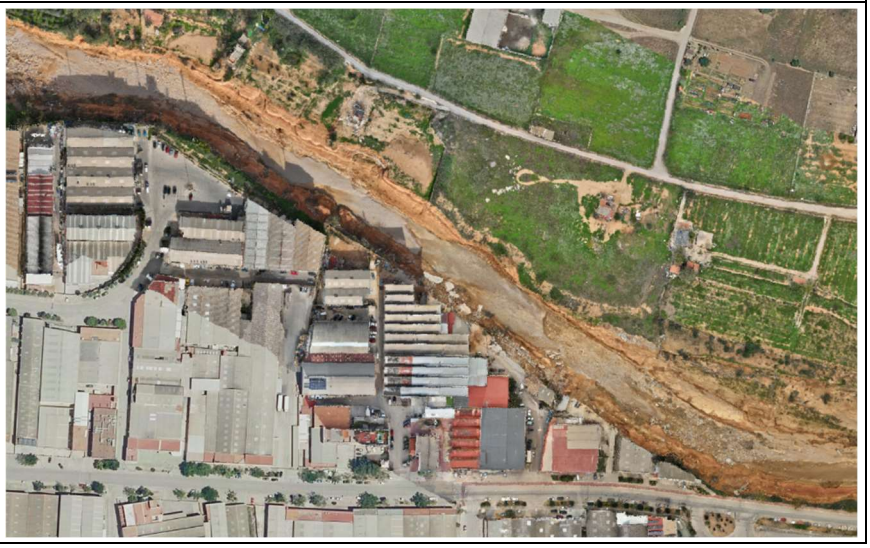

Descripción de daños	Ambas laderas han sufrido importantes erosiones. Visto su estado actual, es probable que se generen nuevas inestabilidades incluso con los taludes en seco, al haber quedo éstos prácticamente verticales. En próximas crecidas ordinarias (no extremas) sería normal que se produjesen nuevos desprendimientos. La margen izquierda presenta un gran desnivel y taludes casi verticales en algunos puntos, con riesgo evidente de caída de personas, que ya existía con anterioridad. Se trata de una zona poco transitada, al tratarse de un ámbito rural En la margen derecha se han destruido algunos viales y zonas de aparcamiento del interior de varias industrias. Hay naves que han quedado descalzadas, con su cimentación al aire, y algunos muros de contención se han desmoronado. Hay riesgo de derrumbe en diferentes puntos de este tramo. En ambas márgenes la zona de servidumbre de barranco de 5 metros es inexistente, incumpliendo la Ley 29/1985 (Ley de Aguas). Tampoco se ha respetado la zona de policía, resultando casi imposible acceder al barranco. En el cauce se aprecian depósitos tanto de sedimentos, como de escombros, que seguramente reducirán la capacidad hidráulica del barranco, aunque este factor no aparenta ser importante en la zona por la gran altura de los taludes.
Necesidad de restitución	Ladera margen derecha. Necesidad alta. Hay riesgo de derrumbe de naves, viales y algunos muros de los que han quedado en pie. Cauce. Necesidad media. Retirada de escombros y sedimentos. Ladera margen izquierda. Necesidad baja, aunque puede haber riesgo de caída de personas, que ya existía antes de la DANA.

Imágenes:



Figura 444. Margen izquierda y vista del interior del cauce en la zona baja del tramo. Imagen tomada desde la parte superior de la margen derecha.



Figura 445. Vista panorámica general de la margen derecha, en la que se pueden apreciar los importantes daños ocasionados en las laderas del polígono Mas del Jutge. Imagen tomada desde la margen izquierda.



Figura 446. Erosión en la margen derecha y vista de depósitos en el cauce, mirando hacia aguas arriba del tramo.



Figura 447. Margen derecha. Detalle de daños en el entorno de Calle El Palmar y Calle dels Albarders.



Figura 448. Margen derecha frente a las empresas Chocolates Rafael Andreu y Neumáticos Civera.



Figura 449. Margen izquierda en la zona media del tramo. Vista desde la margen opuesta, mirando hacia aguas abajo.



Figura 450. Erosión en la margen izquierda vista desde la calle El Palmar, situada en la zona de aguas arriba del tramo.

PO- 17700/18195

Descripción tramo	Barranco del Poyo aguas abajo del puente que une el polígono Mas del Jutge en Torrent y el polígono industrial de Alacuás.
Coordenadas UTM (X;Y)	(716428; 4368776)
Localización	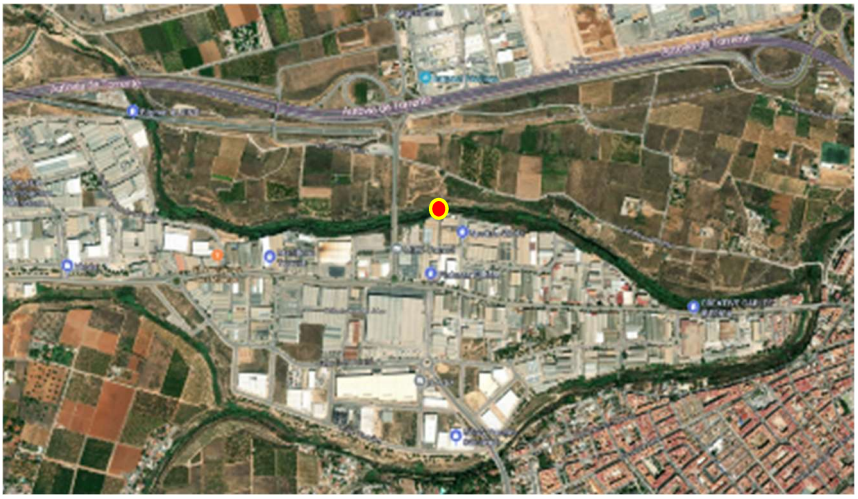
Detalle de planta con secciones	
Planta con daños	

Descripción de daños	Ambas laderas han sufrido erosiones, aunque en general han sido mayores en la margen izquierda que en la derecha. Se podrían generar inestabilidades incluso con los taludes en seco, al haber quedo éstos prácticamente verticales. Si se produce una nueva crecida serían de esperar nuevos desprendimientos. En margen izquierda hay riesgo de caída de personas, que al igual que en el tramo de aguas abajo, ya existía con anterioridad. Como el ámbito es rural, se trata de una zona poco transitada. En la margen derecha el riesgo de caída es algo menor por las barreras existentes. En este caso se trata de una zona urbanizada con paso frecuente de vehículos y personas; además, algunas naves y viales quedan próximos al límite alcanzado por la erosión. En algunos puntos de esta margen se conserva la vegetación en la parte alta del talud, que puede haber colaborado en la estabilidad de la zona más elevada. El interior del cauce presenta depósitos de escombros, que generan un importante impacto y seguramente reducirán su capacidad hidráulica.
Necesidad de restitución	Ladera margen derecha. Necesidad media, por la proximidad de algunas naves y viales del polígono. Cauce. Necesidad media, por los elevados depósitos de escombros. Ladera margen izquierda. Necesidad baja, aunque el talud es tan vertical que puede haber riesgo de caída de personas.

Imágenes:



Figura 451. Vista general del tramo, mirando hacia aguas arriba.



Figura 452. Erosión en la margen izquierda, con taludes casi verticales que presenta un gran desnivel. Vista hacia aguas abajo



Figura 453. Erosión en la margen izquierda. Vista hacia aguas arriba.



Figura 454. Margen derecha, inmediatamente aguas abajo del puente del Carrer dels Teixidors.



Figura 455. Detalle de erosión en la margen derecha, frente a la empresa Equipos GLP.



Figura 456. Margen derecha. Daños frente a la empresa PaviCret.



Figura 457. Vista de erosión en la margen derecha y escombros en el interior del cauce. Imagen tomada desde la parte media-alta del tramo, mirando hacia aguas abajo.



Figura 458. Vista desde la parte alta del tramo mirando hacia aguas abajo, desde el puente de acceso a Alacuas. A la derecha queda la empresa Jumainox.

PO- 18195/18530

Descripción tramo	Barranco del Poyo aguas arriba del puente del polígono Mas del Jutge-Alacuás
Coordenadas UTM (X;Y)	(715954; 4368713)
Localización	
Detalle de planta con secciones	
Planta con daños	

Descripción de daños	En esta zona ambas márgenes han quedado erosionadas, eliminando completamente la vegetación de ribera. Como consecuencia, sus taludes han quedado casi verticales, lo que supone un elevado riesgo para personas que se acerquen al barranco. Estos aparentan ser estables en tiempo seco, a falta de estudios de mayor detalle. Sin embargo, ante nuevas crecidas es probable que se generen nuevas erosiones y deslizamientos, por lo que convendría realizar el seguimiento de algunas laderas. Por la margen derecha, la proximidad de la zona urbanizada del polígono incrementa el riesgo de daños personales. A pesar de la erosión en el talud, sigue existiendo una franja de terreno entre las naves y el cauce, por lo que a priori no parece haber riesgo inmediato de inestabilidad en los edificios. Por margen izquierda, se reproducen los riesgos ya descritos en el tramo de aguas abajo. De nuevo, hay una ausencia completa de la zona de policía de la rambla, por lo que resulta muy complicado realizar un seguimiento del cauce en este entorno. El interior del cauce presente un gran volumen de sedimentos y escombros.
Necesidad de restitución	Ladera margen derecha. Necesidad media, por la proximidad de algunas naves y viales del polígono. La franja de terreno hasta las naves hace que el riesgo no parezca ser inminente, pero conviene realizar un seguimiento. Cauce. Necesidad media, por el elevado volumen de sedimentos, que se encuentra mezclado con depósitos de escombros. Ladera margen izquierda. Necesidad baja, aunque el talud es tan vertical que puede haber riesgo de caída de personas.

Imágenes:



Figura 459. Vista general del tramo, hacia aguas arriba desde el puente de acceso a Alacuas.



Figura 460. Vista de la margen derecha, frente a la empresa Hierros Ibañez. Se puede apreciar la erosión en el pie del talud y cómo se ha conservado la cubierta vegetal en la parte alta.



Figura 461. Vista de la margen derecha, frente a la empresa Ebenmetal.



Figura 462. Erosión en la margen izquierda vista desde la calle Forners, mirando hacia aguas arriba.



Figura 463. Vista de la margen izquierda desde la calle Forners, mirando hacia aguas abajo. A la derecha de la imagen puede distinguirse el puente de acceso a Alaquas.



Figura 464. Vista de ambas laderas desde la parte superior de la margen izquierda, mirando hacia aguas abajo. Además de la erosión generalizada, pueden apreciarse desprendimientos en la margen derecha.

PO- 18530/18770

Descripción tramo	Barranco del Poyo aguas abajo del meandro del polígono Mas del Jutge.
Coordenadas UTM (X;Y)	(715673; 4368695)
Localización	
Detalle de planta con secciones	
Planta con daños	

Descripción de daños	En este tramo, el pequeño meandro que se genera hacia la margen izquierda ha provocado que se erosione en mayor medida la ladera derecha. La erosión en dicha margen derecha y la proximidad de las naves, que se encontraban lindando con el cauce, ha provocado que algunas de ellas queden descalzadas. Mediante inspección visual no se han identificado cimentaciones dañadas, ni signos de inestabilidad, pero las oquedades que han quedado en el talud (casi vertical) podrían comprometer la estabilidad de las laderas en algunos puntos, especialmente ante nuevas crecidas. De nuevo, la ausencia de zona de servidumbre de barranco y de policía, obligatorias ambas por la Ley de Aguas de 1985, está directamente relacionada con los riesgos en la margen derecha. Como este hecho se repite en todo el norte del polígono, sería conveniente que la administración se replantease el preceptivo deslinde. En la margen izquierda se mantienen las conclusiones comentadas en los tramos de aguas abajo; importante altura de taludes, gran verticalidad y zona rural con escaso tránsito de personas. Sin embargo, en ambas márgenes, la caída de una persona implicaría un fallecimiento prácticamente seguro. En el lecho de la rambla se identifican depósitos de sedimentos y escombros de tamaño medio. Se ha generado la erosión de un cauce de aguas bajas hacia la margen derecha, en el pie del talud que linda con el polígono.
Necesidad de restitución	Ladera margen derecha. Necesidad alta, por las oquedades en el talud y la proximidad de algunas naves. Se podría generar inestabilidad en algunos tramos y el riesgo puede ser extremo en próximas crecidas, aunque éstas no se produzcan con caudales altos. Cauce. Necesidad media, porque la presencia de escombros en el lecho reduce la capacidad hidráulica. Convendría hacer un seguimiento de la evolución de la erosión en el cauce de aguas bajas en el pie de la margen derecha. Ladera margen izquierda. Necesidad baja, por tratarse de un ámbito rural.

Imágenes:



Figura 465. Vista de la margen derecha, en la que los muros flotantes se han desplomado.



Figura 466. Detalle del descalce de muros flotantes. Vista en el entorno de estructuras Vedat S.L.



Figura 467. Vista panorámica de la margen derecha, con los taludes prácticamente verticales.



Figura 468. Detalle de las oquedades en los taludes verticales, bajo algunas de las naves.



Figura 469. Vista general del tramo, mirando hacia aguas abajo.

PO- 18770/19060

Descripción tramo	Barranco del Poyo frente al Carrer Hort de Soriano.
Coordenadas UTM (X;Y)	(715398; 4368768)
Localización	
Detalle de planta con secciones	
Planta con daños	

Descripción de daños	Ambas márgenes han sufrido fuertes erosiones, quedando los taludes casi verticales. La profundidad del barranco hace extremadamente peligroso que las personas se acerquen al mismo. Por la margen derecha la proximidad del polígono industrial incrementa más aún dicho riesgo. En esa ladera derecha, varios elementos de contención de la trama urbana están destruidos, aunque algunos estaban dañados antes de la DANA, seguramente como consecuencia de crecidas previas. Entre ellos cabe destacar un gran muro en el mismo meandro que protegía la Calle Hort de Soriano, y que se encuentra parcialmente derruido. Parte de la acera de esa calle ha quedado en voladizo, con riesgo de desprendimientos y caída de personas desde una altura importante, de unos 20 metros. A pesar de su verticalidad, los taludes aparentan ser estables en tiempo seco a falta de estudios de detalle. Sin embargo, es probable que ante nuevas crecidas tienda a evolucionar la erosión y se generen nuevos deslizamientos. El cauce presenta gran volumen de sedimentos y escombros, que debido a la gran profundidad del barranco es de esperar que no afecten al riesgo de desbordamiento, pero sí generan un impacto ambiental relevante.
Necesidad de restitución	Ladera margen derecha. Necesidad alta, por posibles inestabilidades en el talud, y riesgo de caída de personas o vehículos. Cauce. Necesidad media, por el elevado volumen de sedimentos y escombros. Ladera margen izquierda. Necesidad baja por la escasa frecuencia de paso de personas, al tratarse de una zona poco accesible.

Imágenes:



Figura 470. Vista desde la parte superior del meandro hacia aguas arriba, con un primer plano de la margen izquierda y con el puente del ferrocarril al fondo.



Figura 471. Vista de ambas márgenes en el meandro. Imagen tomada frente a la salida del Carrer dels Velluters hacia aguas abajo. Se puede apreciar parte del muro de contención destruido en la margen derecha.



Figura 472. Vista desde el meandro hacia la margen izquierda. Importantes depósitos en el fondo. En primera instancia se puede apreciar cómo parte de la acera ha quedado en voladizo.



Figura 473. Fuerte erosión en la margen derecha del meandro, desde la calle Hort de Soriano. Muro de contención parcialmente destruido, aunque parte de estos daños son anteriores a la DANA.



Figura 474. Erosión en la margen derecha del meandro. Al fondo, naves en la C/Hort de Soriano.



Figura 475. Vista del meandro, con parte del muro destruido en su margen derecha, que sí se ha conservado hacia aguas abajo.

PO- 19060/19270

Descripción tramo	Barranco del Poyo frente al Carrer dels Llibrers.
Coordenadas UTM (X;Y)	(715334; 4368960)
Localización	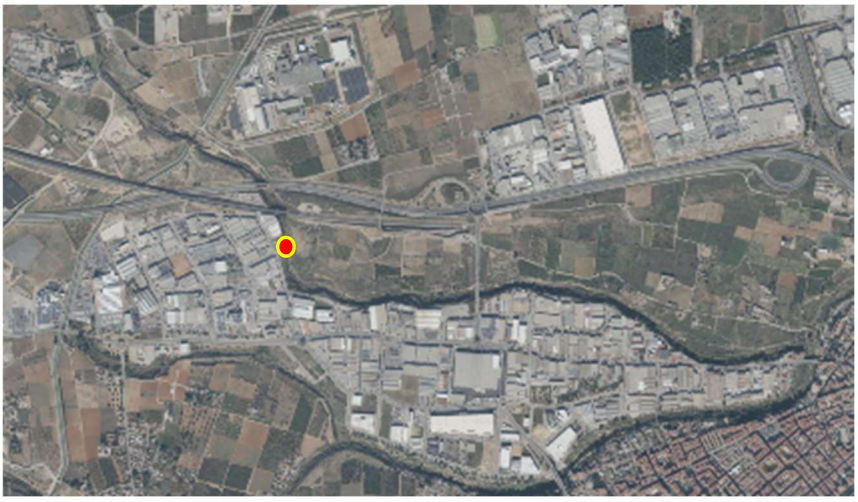
Detalle de planta con secciones	
Planta con daños (girada 90º)	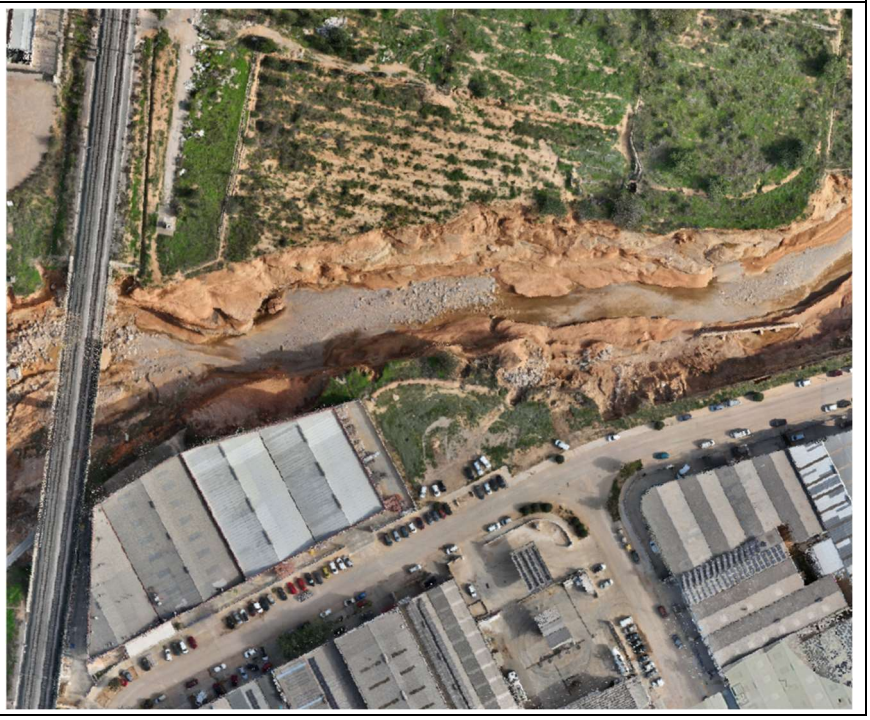

Descripción de daños	Se trata de un tramo en el que la rambla presenta una gran profundidad, y en el que las márgenes presentan importantes socavaciones, eliminándose por completo la vegetación hasta la parte superior del talud. La erosión ha evolucionado hasta aflorar estratos competentes que aparentemente proporcionan estabilidad a las laderas, que no parecen presentar riesgo de deslizamientos en tiempo seco. En la margen derecha, las naves existentes hay quedado salvaguardadas por una franja de terreno sobre la parte superior del talud, por lo que no parece haber riesgo de estabilidad en las edificaciones. La margen izquierda resulta muy poco accesible, con campos que parecen estar abandonados por la abundancia de maleza. Su ladera ha quedado estable, por lo que el riesgo es aparentemente bajo. A pesar de la aparente estabilidad en ambas márgenes, resulta muy peligroso acercarse al barranco por la verticalidad de los taludes, y por el gran desnivel existente entre la coronación de las márgenes y el lecho de la rambla. La caída fortuita de algún viandante que transitase por la zona urbana, resultaría fatal. En el interior del cauce abundan los depósitos de sedimentos, acompañados en ciertas zonas de importantes volúmenes de escombros.
Necesidad de restitución	Ladera margen derecha. Necesidad media, por la proximidad de la zona urbana. Cauce. Necesidad media, por la contaminación del cauce por escombros. Ladera margen izquierda. Necesidad baja, al tratarse de una zona rural.

Imágenes:



Figura 476. Vista de ambas márgenes en el meandro. Imagen tomada frente a la salida del Carrer dels Velluters hacia aguas arriba.



Figura 477. Detalle del estado del cauce en ese tramo, visto desde el puente del FFCC mirando hacia aguas abajo. Se puede apreciar la alternancia entre zonas con sedimentos y áreas con depósitos de escombros.

PO- 19270/19480

Descripción tramo	Barranco del Poyo entre el puente del ferrocarril y el puente de la CV-36.
Coordenadas UTM (X;Y)	(715279; 4369114)
Localización	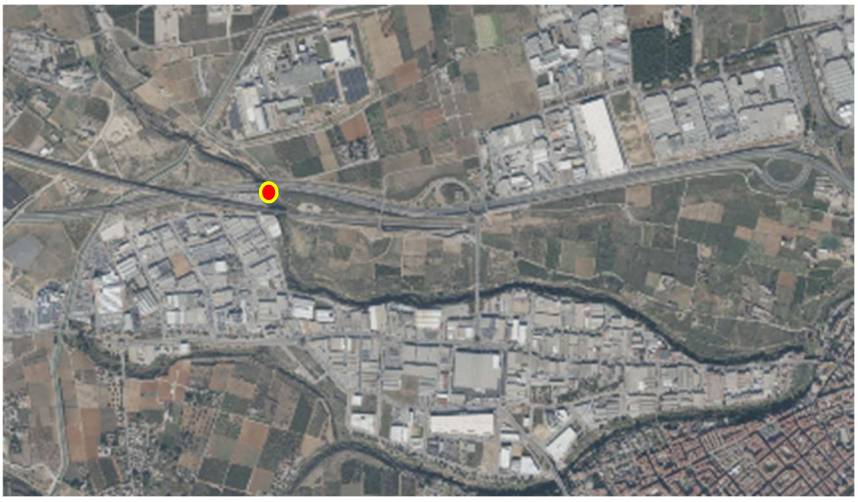
Detalle de planta con secciones	
Planta con daños	

Descripción de daños	A pesar de los importantes daños sufridos en el puente de la CV-36, las laderas en esta zona se han erosionado menos que en los tramos de aguas arriba y de aguas abajo. Los estribos de ambos puentes han aguantado bien. Los estribos y pilas del puente del ferrocarril han sufrido menos socavaciones que los de la CV-36. En el cauce hay abundancia de escombros, entre los que se encuentran parte del tablero del puente de la CV-36, y de su asfalto, que convendría retirar.
Necesidad de restitución	Ladera margen derecha. Necesidad baja. Cauce. Necesidad media, por la retirada de escombros. Ladera margen izquierda. Necesidad baja.

Imágenes:



Figura 478. Vista bajo el puente de la CV-36, mirando hacia aguas abajo.



Figura 479. Imagen panorámica tomada en la parte alta del tramo, mirando hacia aguas abajo desde la margen izquierda.



Figura 480. Detalle de daños en la margen derecha. Restos del tablero del puente de la CV-36, que ha quedado paralelo al barranco.



Figura 481. Vista panorámica de la totalidad del tramo entre los dos puentes.



Figura 482. Daños en el viaducto de la carretera CV-36, visto desde aguas abajo. El puente situado al sur ha caído, mientras que en el situado al norte, parte del tablero se ha desplomado por fallo del estribo izquierdo.



Figura 483. Estado del puente del ferrocarril, visto desde aguas arriba. Todos sus elementos estructurales se han conservado bien, destacando sólo el deterioro de la protección de la pila central.

PO- 19480/19775

Descripción tramo	Barranco del Poyo entre el canal Júcar-Turia y el puente de la CV-36.
Coordenadas UTM (X;Y)	(715086; 4369273)
Localización	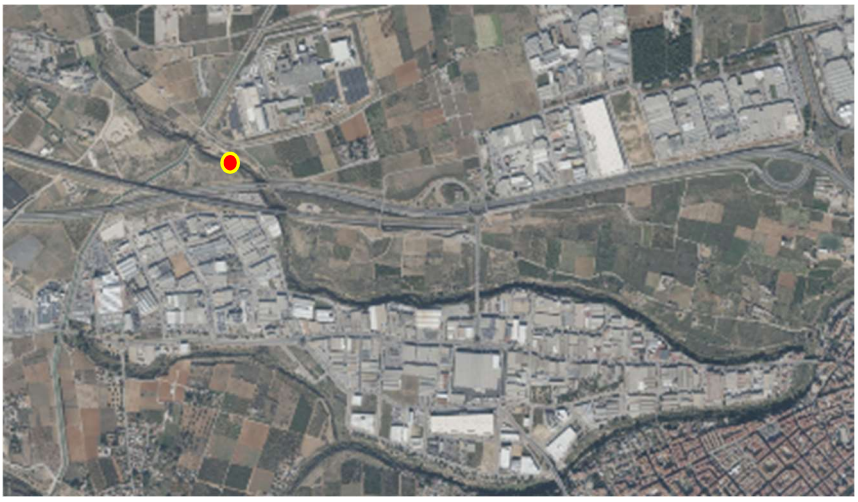
Detalle de planta con secciones	
Planta con daños	

Descripción de daños	Ambas laderas se han erosionado, con mayor afección sobre la margen derecha. Los taludes han quedado casi verticales y parte del revestimiento inestable en varios puntos, pero apoya en estratos aparentemente competentes. El peligro de daños personales es bajo por la escasa actividad sobre sus terrazas laterales. En la margen derecha había un muro de contención que ha quedado destruido en gran parte del recorrido. Algunos de los paramentos que han quedado en pie aparecen descalzados, por lo que convendría reforzarlos, especialmente en la zona de aguas abajo. En la parte inferior de ese muro había un apoyo de escollera, que ha sido arrastrada en su mayor parte. La margen izquierda está protegida por un manto de escollera que aparentemente ha quedado intacto en la zona de aguas arriba, y ha sufrido algunos desperfectos hacia aguas abajo, con la pérdida de algunos elementos y la erosión de parte del talud que protegía. El interior del cauce en este tramo presenta importante erosión, que ha dejado al descubierto un fondo rocoso en su lecho. No hay presencia de sedimentos, pero sí de restos de escombros que parecen proceder del muro de contención de la margen derecha y del canal Júcar-Turia.
Necesidad de restitución	Ladera margen derecha. Necesidad media, por el riesgo de desprendimiento de partes del muro que han quedado inestables. Cauce. Necesidad media. Convendría retirar los restos de escombros y armaduras, por impacto ambiental. Ladera margen izquierda. Necesidad baja.

Imágenes:



Figura 484. Vista general de todo el tramo, mirando desde la margen izquierda hacia aguas arriba.



Figura 485. Vista desde mitad del tramo, mirando desde la margen izquierda hacia aguas arriba. Puede apreciarse la importante erosión en el interior del cauce.



Figura 486. Vista desde mitad del tramo, mirando desde la margen izquierda hacia aguas abajo. Se aprecian los restos del muro que ha quedado destruido en la margen derecha.



Figura 487. Vista de la zona baja del tramo, mirando hacia aguas abajo.



Figura 488. Importante erosión en el interior del cauce a mitad del tramo, mirando hacia aguas abajo.



Figura 489. Vista panorámica de la margen derecha.



Figura 490. Estado de la margen derecha en la parte media del tramo. Riesgo de desprendimiento de varios paños del muro de hormigón que han quedado descalzados.



Figura 491. Detalle de daños en la margen derecha, en la parte media-alta del tramo. Vista hacia aguas arriba.



Figura 492. Detalle del talud erosionado en la margen derecha, en la zona baja del tramo.



Figura 493. Vista panorámica de la margen izquierda en la parte baja del tramo.



Figura 494. Vista panorámica de la margen izquierda en la parte media-alta del tramo.



Figura 495. Margen izquierda en la zona baja del tramo. Detalle de daños en la parte final del revestimiento de escollera, y escombros depositados en las zonas erosionadas del cauce.



Figura 496. Zona alta del tramo, mirando hacia aguas arriba.

PO- 19775/19830

Descripción tramo	Cruce de la Rambla del Poyo con el canal Júcar-Turia.
Coordenadas UTM (X;Y)	(714932/ 4369354)
Localización	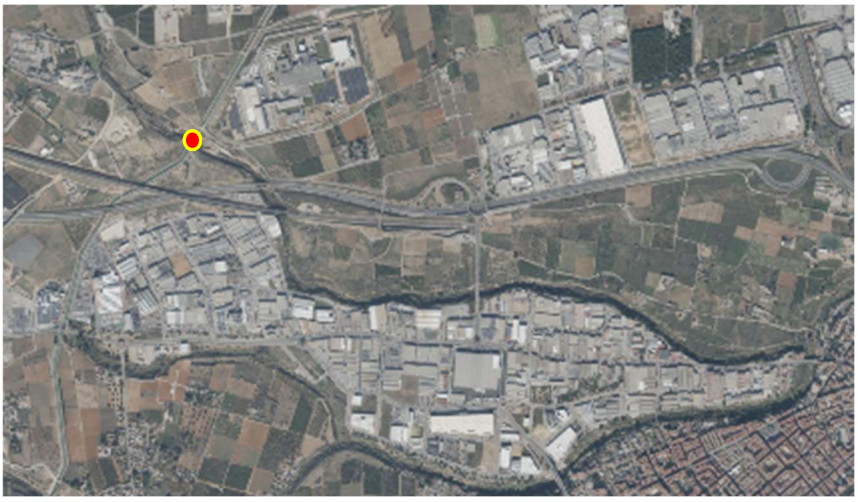
Detalle de planta con secciones	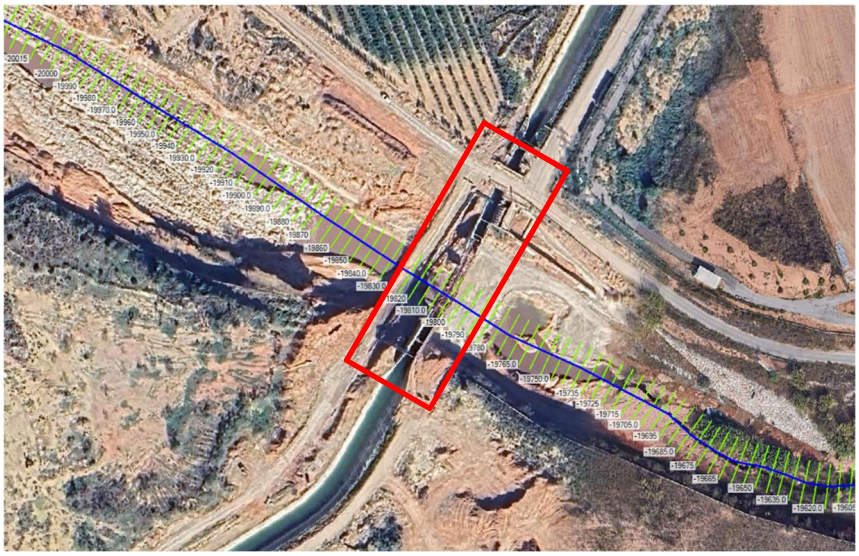
Planta con daños	

Descripción de daños	El acueducto del canal ha quedado destruido, al haberse comportado como un dique transversal frente a la crecida, porque su baja cota de tablero ha obstruido de forma importante el flujo. Se recomienda no volver a construir este acueducto con el mismo diseño que se tenía antes de la DANA, ya que su estructura invadía la sección natural del cauce y restando capacidad hidráulica al barranco. No se aprecian daños relevantes en las laderas de las márgenes derecha e izquierda del canal. El cauce se encuentra erosionado bajo las pilas del acueducto, pero no parece requerir de intervención alguna.
Necesidad de restitución	Ladera margen derecha. Necesidad baja. Cauce. Necesidad baja. Ladera margen izquierda. Necesidad baja.

Imágenes:



Figura 497. Acueducto dañado, mirando desde aguas abajo hacia aguas arriba.



Figura 498. Vista panorámica del acueducto dañado. Sobre los laterales se ha apoyado una estructura metálica provisional, que sustenta una conducción que permite mantener el servicio.



Figura 499. Parte superior del acueducto provisional. Vista desde la margen izquierda.

PO- 19830/20140

Descripción tramo	Barranco del Poyo aguas arriba del canal Júcar-Turia
Coordenadas UTM (X;Y)	(714781; 4369451)
Localización	
Detalle de planta con secciones	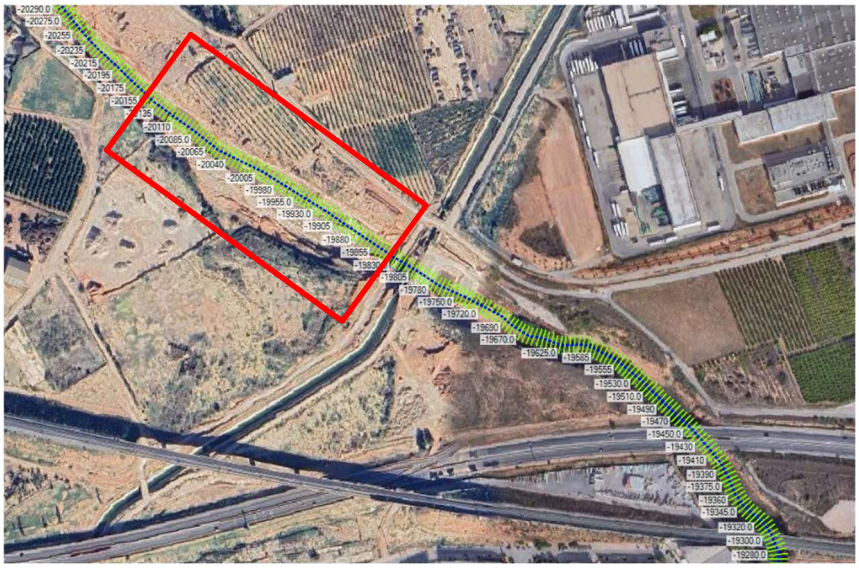
Planta con daños	

Descripción de daños	Se trata de un tramo muy erosionado, tanto las márgenes como en el cauce, en el que ha quedado al descubierto el lecho rocoso. Aparentemente, la margen derecha se ha erosionado algo más que la izquierda, aunque ninguna de las dos parece tener riesgo de deslizamiento.
Necesidad de restitución	Ladera margen derecha. Necesidad baja. Cauce. Necesidad baja. Ladera margen izquierda. Necesidad baja.

Imágenes:



Figura 500. Vista del tramo, mirando desde el canal Júcar-Turia hacia aguas arriba.

5.3.- BARRANCO DE L´HORTETA

HO- 0/80

Descripción tramo	Barranco de L´Horteta, inmediatamente aguas arriba de la confluencia con la Rambla del Poyo.
Coordenadas UTM (X;Y)	(717556; 4368535)
Localización	
Detalle de planta con secciones	
Planta con daños	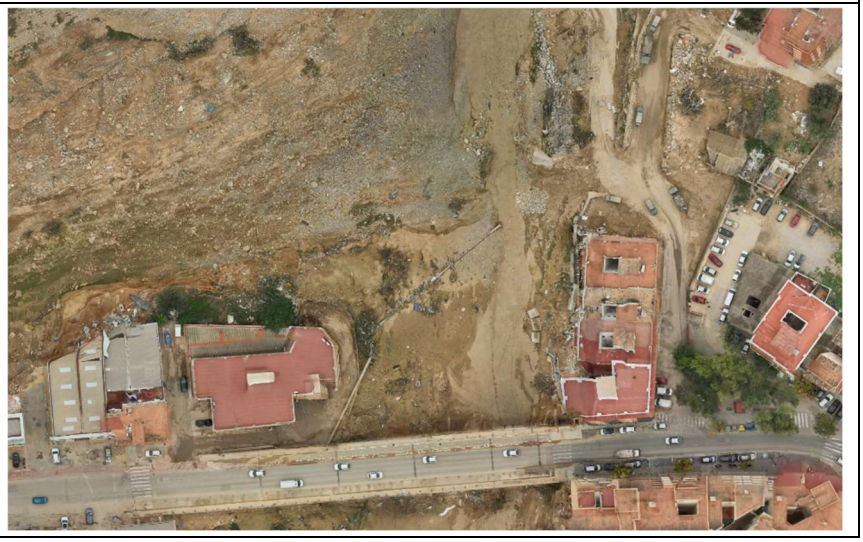

Descripción de daños	Por la margen derecha se han ocasionado graves daños sobre el edificio existente, que ha quedado en estado ruinoso, con algunos de sus pilares y el primer forjado dañados. El muro flotante de protección de esta margen se ha descalzado, cayendo sus paños de hormigón sobre el cauce. En la margen izquierda, los desperfectos han sido menores porque el muro perimetral sí ha aguantado, pero ha generado importantes daños en la fábrica existente. En esta margen se ha depositado un gran volumen de sedimentos que habría que retirar porque están limitando la capacidad hidráulica. Cabe indicar que en esta margen izquierda se genera un importante estrechamiento del cauce, que prácticamente inutiliza uno de los vanos del puente, disminuyendo significativamente el paso de caudal. En el interior del cauce presenta zonas heterogéneas, con socavaciones del lecho en algunas de las zonas, y en otras con depósitos de materiales de granulometría fina (limos y arenas).
Necesidad de restitución	Ladera margen derecha. Necesidad alta. Cauce. Necesidad media, por las erosiones generadas aguas abajo del puente, que podrían evolucionar en próximas crecidas, descalzándolo. Ladera margen izquierda. Necesidad media, por la retirada de residuos que permitan recuperar la capacidad hidráulica.

Imágenes:



Figura 501. Vista de la margen derecha desde el puente de Mas del Jutge. Daños en edificio.



Figura 502. Detalle del desprendimiento del muro flotante en la margen derecha.



Figura 503. Vista de la margen derecha desde el interior del cauce.



Figura 504. Vista de la margen derecha tomada desde el cauce. Daños en edificio.



Figura 505. Vista de la margen izquierda desde el puente de Mas del Jutge. Daños en edificio.



Figura 506. Vista de la margen izquierda desde la margen derecha. Daños en edificio.

HO- 80/110

Descripción tramo	Cruce del Barranco de L´Horteta con el Puente de Mas de Jutge.
Coordenadas UTM (X;Y)	(717556;4368491)
Localización	
Detalle de planta con secciones	
Planta con daños	

Descripción de daños	Los estribos de ambas márgenes no han sufrido daños, aunque se identifican erosiones por la margen derecha, aguas arriba del puente. Al igual que ocurre en el tramo de aguas abajo, por la margen izquierda se han generado importantes depósitos de material, en general fino, que reducen de forma importante la capacidad hidráulica de uno de los vanos. Resulta sorprendente que otro de los vanos esté completamente inutilizado por la plataforma de la parcela de la nave industrial existente en dicha margen izquierda. En el interior del cauce se aprecian importantes erosiones en el entorno de las pilas, con socavaciones de en torno a 2 metros de profundidad que han dejado la cimentación al aire. Si las socavaciones hubiesen evolucionado un poco más, seguramente se habría producido la caída de este puente.
Necesidad de restitución	Ladera margen derecha. Necesidad media. Cauce. Necesidad alta, por los importantes descalces en la cimentación, que ponen en riesgo su estabilidad ante futuras crecidas. Ladera margen izquierda. Necesidad alta, por la importante reducción de capacidad.

Imágenes:



Figura 507. Vista de la margen izquierda desde el interior del cauce. Depósitos de arena.



Figura 508. Vista de cimentación descalzada del puente.



Figura 509. Vista de la margen derecha desde el interior del cauce. Erosiones localizadas.

HO- 110/270

Descripción tramo	Barranco de Horteta en el meandro previo a la confluencia.
Coordenadas UTM (X;Y)	(717536;4368405)
Localización	
Detalle de planta con secciones	
Planta con daños	

Descripción de daños	Por la margen derecha los taludes están prácticamente verticales, aunque esta situación resulta similar a la existente antes de la crecida ocasionada por la DANA. Hay edificaciones muy próximas al borde del talud. Se identifican zonas con riesgo de desprendimientos e inestabilidades. En próximas crecidas esta erosión por la margen derecha tenderá a seguir evolucionando, debido a la curvatura del barranco en este punto. En la ladera izquierda se identifican importantes depósitos de material fino, que han decantado en la zona interior del meandro. Se han producido importantes daños en edificaciones situadas en esa margen, que se seguirán inundando en próximas crecidas por estar ubicadas a cota muy baja. El cauce presenta depósitos generalizados de material medio y fino, con abundante presencia de arenas. La ausencia de gravas gruesas podría ser indicativo de que la confluencia con la Rambla del Poyo frenó el flujo en el Barranco de Horteta hacia aguas arriba, aunque esto no se puede asegurar al desconocerse la secuencia de los picos. El lecho presenta un alto grado de contaminación debido a los vertidos procedentes de aguas arriba.
Necesidad de restitución	Ladera margen derecha. Necesidad alta, por la verticalidad de los taludes y la proximidad de edificaciones. Cauce. Necesidad alta, por la elevada contaminación. Ladera margen izquierda. Necesidad media.

Imágenes:



Figura 510. Vista desde la parte baja del tramo, mirando hacia aguas arriba del tramo. Imagen tomada sobre el puente de Mas del Jutge.



Figura 511. Vista de la margen derecha. Zona de aguas abajo del meandro.



Figura 512. Vista de la margen derecha. Zona a la entrada al meandro, mirando hacia aguas arriba.



Figura 513. Detalle de descalces en la margen derecha



Figura 514. Daños en viviendas y grandes depósitos de arena en la margen izquierda.



Figura 515. Daños en la margen derecha y vertidos de aguas residuales en el cauce, en la zona de aguas arriba del tramo.

HO- 270/380

Descripción tramo	Barranco de Horteta inmediatamente aguas arriba del meandro.
Coordenadas UTM (X;Y)	(717433;4368328)
Localización	
Detalle de planta con secciones	
Planta con daños	

Descripción de daños	En esta zona la margen derecha no presenta un talud tan vertical como los tramos de aguas abajo, pero sí se han generado erosiones relevantes en la ladera derecha. La proximidad de viales y de algunas viviendas, hace recomendable que se intervenga, aunque esta situación seguramente ya existía antes de estas inundaciones. Aunque aparentemente resulta estable en tiempo seco, en próximas crecidas se podrían producir deslizamientos en esta margen aunque se tengan caudales muy inferiores a los de la DANA. Al igual que en el tramo de aguas abajo, en la margen izquierda la crecida ha ocasionado daños importantes en las viviendas que se encontraban a cotas bajas, seguramente en la zona de flujo preferente. En el interior del cauce se identifica un importante volumen de sedimentos, que aparentemente puede haber elevado la cota del cauce, por lo que podrían haberse modificado los niveles de peligrosidad de la trama urbana que rodea este entorno.
Necesidad de restitución	Ladera margen derecha. Necesidad alta, por la proximidad de viales en los que es habitual la circulación de vehículos. Cauce. Necesidad media. Ladera margen izquierda. Necesidad media, ya que los daños no se han generado por la erosión sobre la ladera, sino por la cota de los edificios.

Imágenes:



Figura 516. Daños en la margen derecha, vista desde aguas abajo.



Figura 517. Vista general del tramo desde el interior del cauce, mirando desde aguas abajo hacia aguas arriba.



Figura 518. Vista de la margen izquierda, mirando hacia aguas arriba.



Figura 519. Vista de daños en edificaciones de la margen izquierda. Vista desde el interior del cauce.



Figura 520. Vista de daños en edificaciones de la margen izquierda. Vista desde un punto elevado en la margen derecha.



Figura 521. Vista desde el punto anterior situado en la margen derecha, mirando hacia aguas arriba. Parte alta del tramo.



Figura 522. Vista general del tramo desde el interior del cauce, mirando desde aguas arriba hacia aguas abajo.

HO- 380/735

Descripción tramo	Barranco de Horteta en tramo recto al sureste del Polígono Mas del Jutge.
Coordenadas UTM (X;Y)	(717199;4368277)
Localización	
Detalle de planta con secciones	
Planta con daños	

Descripción de daños	La margen derecha apenas ha sufrido erosiones relevantes, conservando gran parte de su vegetación de ribera. Aparentemente, no hay riesgo de deslizamientos a corto plazo, aunque convendría realizar un seguimiento de esta ladera. La margen izquierda sí presenta tramos erosionados, pero en general no revisten gravedad porque la mayor parte de los muros perimetrales se han conservado. Sin embargo, sí se identifican algunos descalces importantes, como el de la nave de la empresa EBIR Bathroom Lighting, que aunque no parece haber alcanzado a la cimentación, ha dejado su fachada prácticamente descalzada. El cauce presenta un aspecto heterogéneo, con depósitos de granulometría media en algunos tramos y erosiones en otros. Se han generado algunas pozas que ocasionan una falta de continuidad en la pendiente longitudinal del cauce, lo que provocará un comportamiento irregular del flujo en próximas crecidas.
Necesidad de restitución	Ladera margen derecha. Necesidad baja, aunque se recomienda hacer un seguimiento por la proximidad del entorno urbano. Cauce. Necesidad alta, por la falta de regularidad en el cauce. Ladera margen izquierda. Necesidad media.

Imágenes:



Figura 523. Margen derecha vista desde aguas arriba del tramo.



Figura 524. Vista del tramo en el interior del cauce, desde aguas arriba mirando hacia aguas abajo.



Figura 525. Vista de la margen izquierda. Tramo de aguas abajo.



Figura 526. Detalle de daños en la ladera izquierda, en el tramo medio. Pueden apreciarse también los depósitos en el cauce.



Figura 527. Vista de la margen izquierda. Tramo de aguas arriba.

HO- 735/835

Descripción tramo	Barranco de Horteta frente a la empresa Alucarsa y la pasarela peatonal.
Coordenadas UTM (X;Y)	(716953;4368255)
Localización	
Detalle de planta con secciones	
Planta con daños	

Descripción de daños	Las erosiones en este tramo resultan más importantes que las del de aguas abajo, seguramente debido al pequeño quiebro a izquierdas que presenta la planta del barranco. En la margen izquierda el talud ha sufrido socavaciones de forma generalizada, descalzando parte del muro de contención de la empresa Alucarsa, de la que también ha destruido su muro perimetral. En la margen derecha se ha conservado la vegetación de ribera en la parte alta del talud, pero se ha erosionado la zona más baja. No aparenta signos de inestabilidad en tiempo seco, pero se recomienda realizar un seguimiento ante futuras crecidas. En el cauce se han depositado materiales y escombros de tamaño medio y grueso, que convendría retirar por impacto ambiental y por la elevación que generan en el lecho, que pueden haber modificado los niveles de riesgo por inundación. También se identifican socavaciones importantes que interrumpen la pendiente longitudinal. La pasarela peatonal existente en esa zona ha quedado destruida y sus vigas permanecen en el cauce. Sus estribos se han conservado.
Necesidad de restitución	Ladera margen derecha. Necesidad baja, aunque conviene realizar un seguimiento en próximas crecidas. Cauce. Necesidad media, por la presencia de socavaciones en el cauce, cuya pendiente convendría regularizar. Ladera margen izquierda. Necesidad media.

Imágenes:



Figura 528. Vista del estado de la margen derecha, bajo la empresa Alucarsa.



Figura 529. Vista del cauce y de la margen derecha, tomada desde la margen izquierda, mirando hacia aguas abajo. Se puede apreciar los restos de la pasarela peatonal en el interior del cauce.



Figura 530. Vista desde aguas arriba del tramo mirando hacia aguas abajo, desde el interior del cauce.

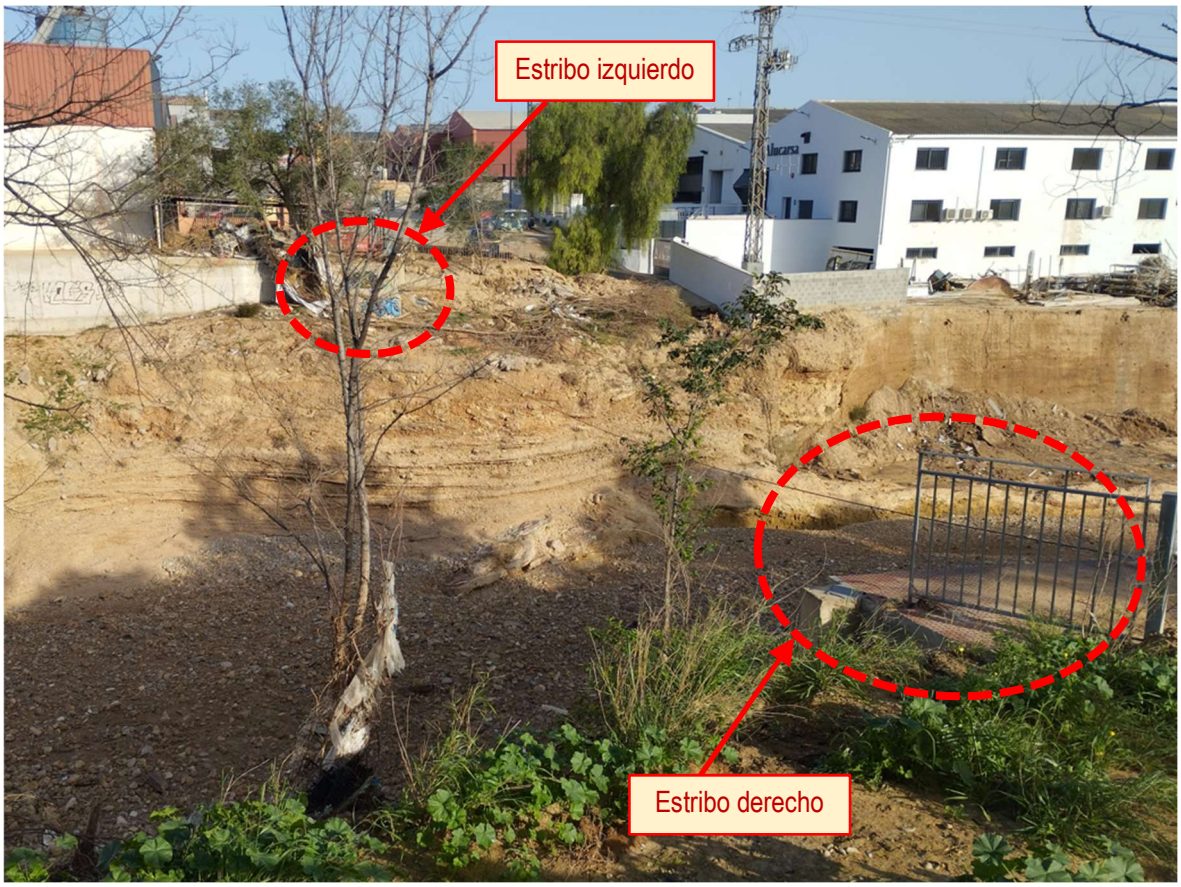

Figura 531. Punto en el que se ubicaba la pasarela (arrastrada por la crecida). En la figura se señalan lo que eran sus dos estribos.

HO- 835/950

Descripción tramo	Barranco de Horteta entre el Carrer de Perellonet y Carrer dels Sombrerers.
Coordenadas UTM (X;Y)	(716848;4368227)
Localización	
Detalle de planta con secciones	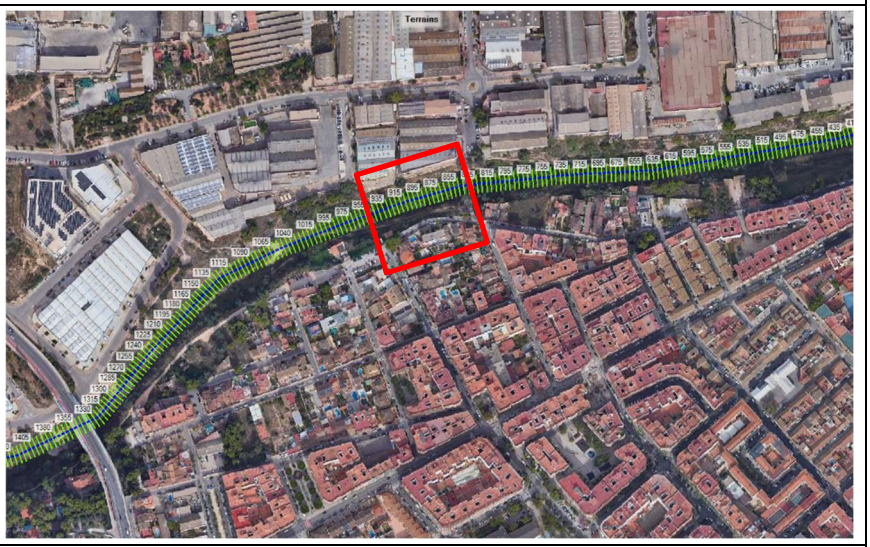
Planta con daños	

Descripción de daños	Al igual que en el tramo anterior, la margen derecha se han generado erosiones en diferentes zonas de la ladera, pero en general no parecen resultar relevantes. Alguna vivienda de esta margen ha quedado completamente destruida, a pesar de estar situada en la parte alta del talud. Por la margen izquierda la velocidad de la corriente ha dañado parte de los laterales de las naves, presentándose socavaciones localizadas, pero no parece haber riesgo de inestabilidad en las instalaciones. El cauce presenta depósitos de gravas medias y escombros, que convendría retirar. De nuevo, estos depósitos han ocasionado discontinuidades en el perfil longitudinal que alterará el funcionamiento hidráulico del cauce en próximas crecidas, con curvas de remanso adversas que pueden generar calados superiores a los esperables, con el consiguiente incremento de riesgo por inundación en su entorno. Se recomienda reperfilar estas discontinuidades en el lecho, restableciendo una pendiente longitudinal uniforme para que el funcionamiento hidráulico sea el deseable.
Necesidad de restitución	Ladera margen derecha. Necesidad baja. Cauce. Necesidad alta, por la falta de continuidad en la pendiente longitudinal. Ladera margen izquierda. Necesidad media.

Imágenes:



Figura 532. Vista de la margen izquierda; al fondo, las empresas Maniplast y Vadelta. En parte inferior de la imagen pueden apreciarse los restos de una vivienda destruida en la margen derecha.



Figura 533. Estado del cauce mirando hacia aguas abajo, y vista tangencial de la margen derecha.



Figura 534. Vista del cauce mirando hacia aguas arriba, con depósitos en las zonas alta y baja del tramo, y erosiones en su zona central.



Figura 535. Detalle de depósitos en el cauce en la zona de aguas abajo del tramo y erosiones en el talud de la margen izquierda.



Figura 536. Estado de la margen derecha entre la antigua pasarela y el centro de transformación. Vista desde la ladera izquierda, mirando hacia aguas arriba.



Figura 537. Vista anterior, ligeramente girada hacia la margen izquierda, para poder apreciar también el estado de la misma. Vista desde aguas abajo hacia aguas arriba.



Figura 538. Estado de la margen derecha, junto al centro de transformación.



Figura 539. Detalle de las erosiones en la margen derecha, aguas abajo del centro de transformación.



Figura 540. Vista desde el interior del cauce en el punto medio del tramo, mirando hacia aguas abajo.

HO- 950/1125

Descripción tramo	Tramo del Barranco de Horteta aguas arriba del Centro de Transformación.
Coordenadas UTM (X;Y)	(716723;4368184)
Localización	
Detalle de planta con secciones	
Planta con daños	

Descripción de daños	Como en esta zona el cauce presenta un ligero meandro hacia la derecha, las mayores erosiones han tenido lugar en la ladera izquierda. En dicha margen las socavaciones resultan importantes en varias zonas, pero al existir un cierto resguardo horizontal de terreno ajardinado hasta las naves, las instalaciones apenas han sufrido daños. La margen derecha también presenta erosiones, pero son menores que la de la izquierda. La erosión resulta mayor en la parte baja del tramo, que hacia aguas arriba. Se identifica alguna vivienda destruida en dicha margen, como consecuencia de estar situada a cotas demasiado bajas. El cauce presenta depósitos de gravas de granulometría media y rocas de pequeño tamaño, con presencia intermitente de escombros y restos de construcciones, que suponen una contaminación antrópica del lecho. También se identifican erosiones localizadas en las que han aflorado estratos de roca, que interrumpen la pendiente longitudinal del barranco. Geomorfológicamente, la erosión ha evolucionado hacia la base de la margen izquierda, generando un cauce de aguas bajas hacia el pie de su talud.
Necesidad de restitución	Ladera margen derecha. Necesidad baja. Cauce. Necesidad alta, tanto por los depósitos, como por la contaminación del cauce. Ladera margen izquierda. Necesidad media.

Imágenes:



Figura 541. Vista de escombros en el interior del cauce, aguas arriba del tramo.



Figura 542. Vista de la margen izquierda mirando hacia aguas arriba del Carrer dels Sombrerers. En la parte inferior de la fotografía se aprecian restos de otra vivienda destruida en la margen derecha, diferente a la del tramo anterior.



Figura 543. Detalle de la ladera izquierda desde el interior del barranco.



Figura 544. Vista desde el interior del cauce en el punto medio del tramo, mirando hacia aguas arriba.



Figura 545. Vista de la erosión en la margen izquierda, escombros en el cauce, y vivienda destruida en la margen derecha.



Figura 546. Detalle del estado del cauce, con depósitos aguas arriba del tramo y erosiones en la parte central del mismo (en el centro de la imagen).



Figura 547. Vista panorámica conjunta de la ladera de la margen izquierda de este tramo, junto con el tramo anterior.



Figura 548. Vista panorámica anterior desde el interior del cauce

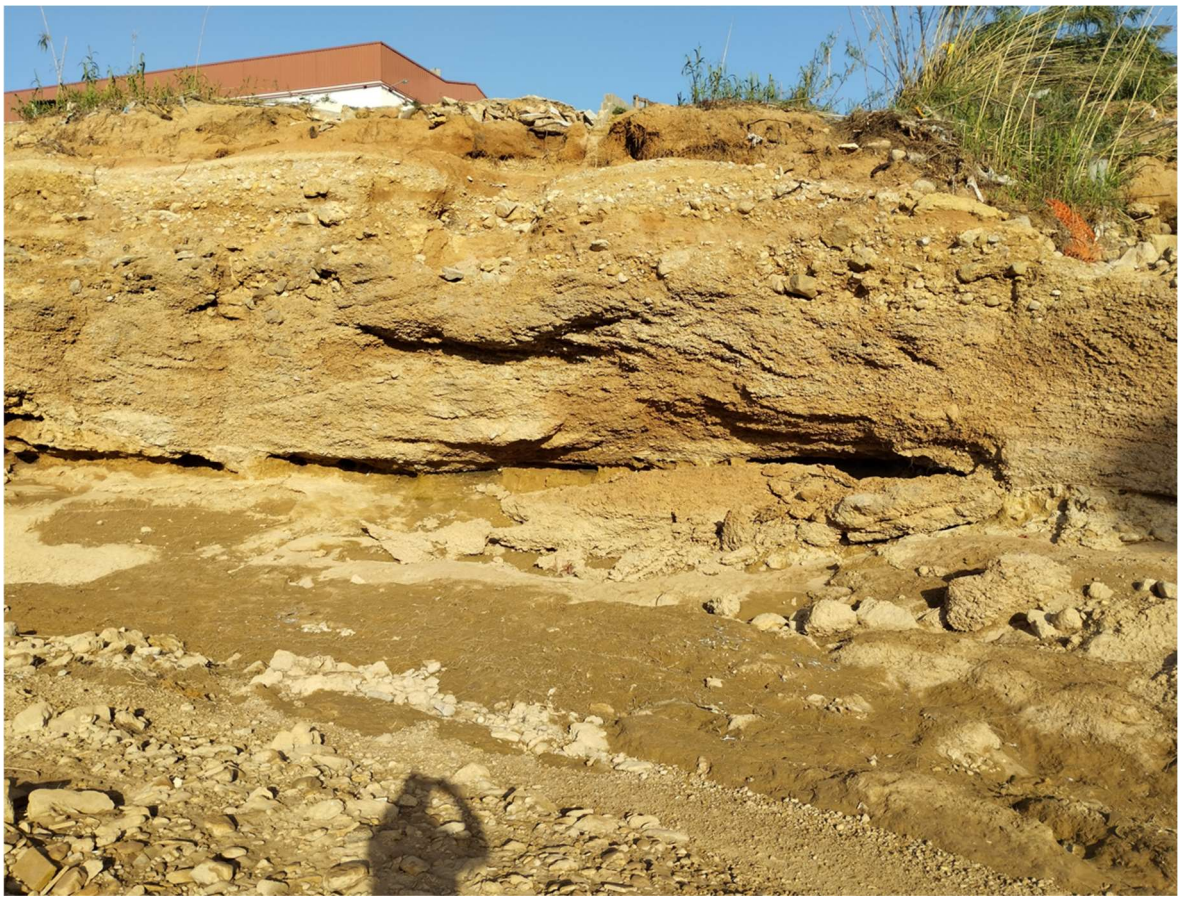

Figura 549. Detalle de erosiones en el talud de la margen izquierda.



Figura 550. Vista general de la margen derecha, vista desde aguas arriba.



Figura 551. Vista frontal de la margen derecha. En primer plano, los restos de una vivienda destruida.

HO- 1125/1270

Descripción tramo	Tramo aguas abajo del puente azul, junto a la Calle Tonellet.
Coordenadas UTM (X;Y)	(716595;4368087)
Localización	
Detalle de planta con secciones	
Planta con daños	

Descripción de daños	En esta zona la erosión por ambas márgenes ha sido importante, influenciada por el cambio de rugosidad y el ligero estrechamiento que presenta el cauce bajo el puente azul, que ocasionará una cierta aceleración del flujo. La margen izquierda ha asentado ligeramente, generando cinco grietas de tracción longitudinales a lo largo de la Calle Tonellet, que suman unos 14 centímetros de apertura en la parte superior de la ladera. La margen derecha ha quedado prácticamente vertical, con riesgo extremo de desprendimientos. El talud resulta altamente inestable, con elevado riesgo de caída de personas por la proximidad de la trama urbana. El cauce presenta un elevado grado de erosión. En el lecho se han generado oquedades que convendría uniformizar para dar continuidad al flujo. Esas socavaciones tenderán a evolucionar en próximas crecidas.
Necesidad de restitución	Ladera margen derecha. Necesidad alta, por el riesgo de daños personales. Cauce. Necesidad alta. Ladera margen izquierda. Necesidad alta, por el movimiento de la ladera.

Imágenes:



Figura 552. Grietas de tracción en la Calle Tonellet por el movimiento de ladera en margen izquierda.



Figura 553. Vista de la margen izquierda aguas arriba del tramo, frente a las naves de la calle Tonellet.



Figura 554. Vista de la margen izquierda hacia aguas abajo del tramo. Se pueden apreciar los sedimentos finos en el lecho del cauce.

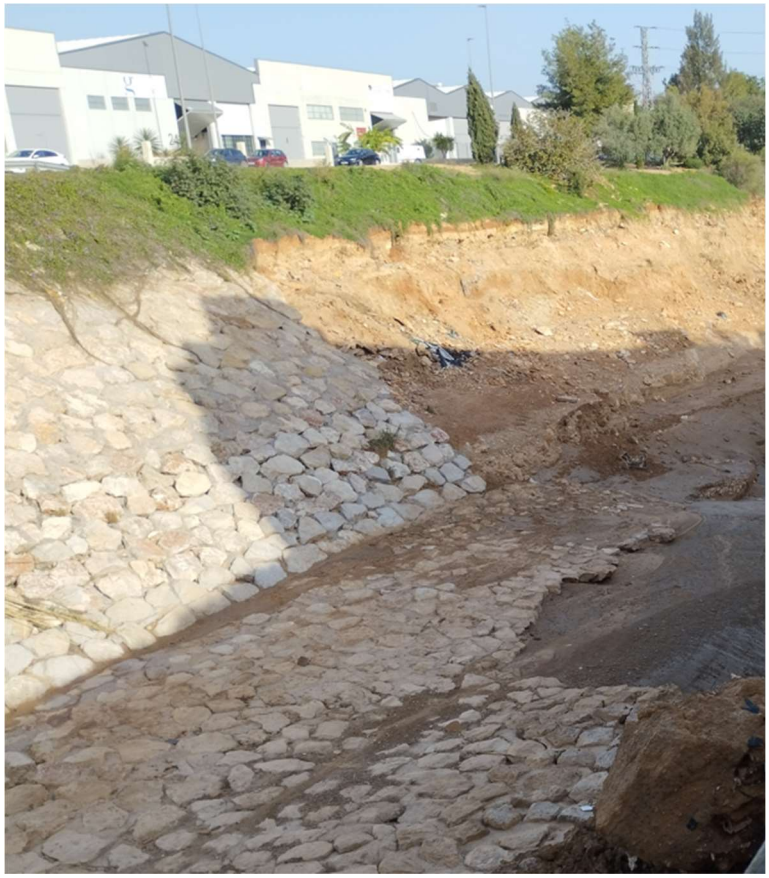

Figura 555. Fin del tramo de escollera de la margen izquierda, bajo la calle Tonellet. Parte de dicha escollera ha sido erosionada.



Figura 556. Vista de la margen derecha aguas arriba del tramo.



Figura 557. Vista de la margen derecha, mirando hacia aguas abajo. En el interior del cauce se aprecia que la erosión ha creado una poza en este tramo, por la que el caudal no circula hacia aguas abajo.



Figura 558. Vista de la margen derecha, mirando hacia aguas arriba.

HO- 1270/1370

Descripción tramo	Entorno del cruce con el puente azul (Carrer del Tonellet 2a).
Coordenadas UTM (X;Y)	(716501;4367979)
Localización	
Detalle de planta con secciones	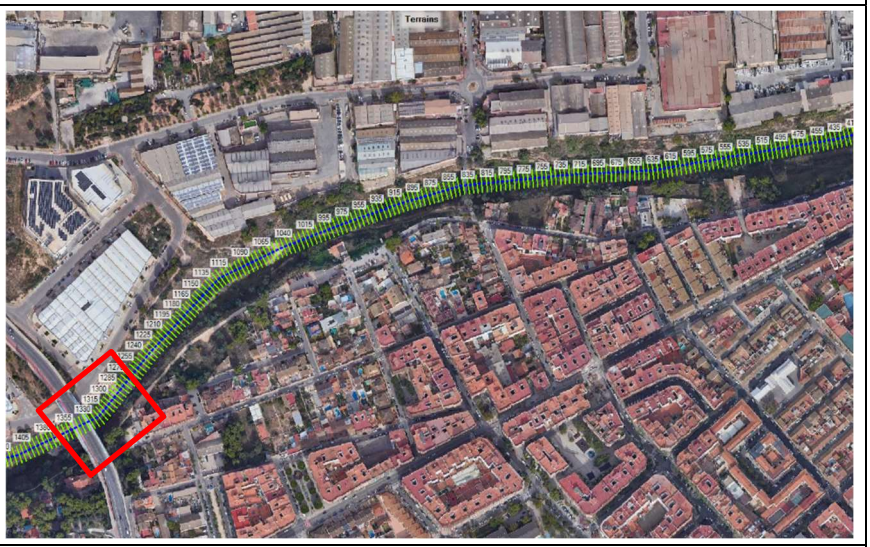
Planta con daños	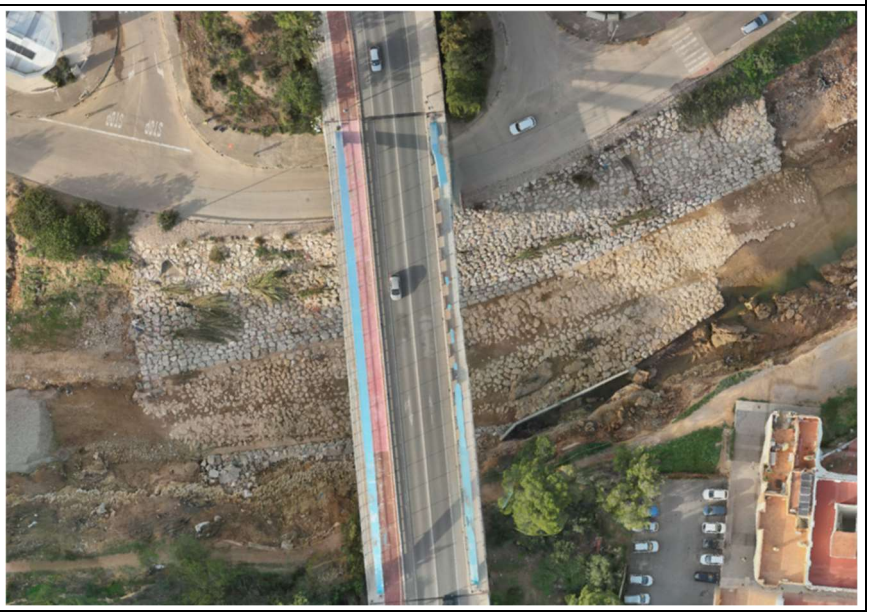

Descripción de daños	En la margen derecha, frente a la Calle Teresita a la altura del número 66, el talud ha quedado completamente vertical y resulta altamente inestable, incluso en tiempo seco. Realizando el trabajo de campo asociado a este tramo, se ha presenciado desmoronamiento de material. El muro de hormigón existente en esa margen ha quedado en pie, pero se producido el lavado del terreno en su trasdós, descalzando el apoyo de la ladera. La margen izquierda, sin embargo, apenas ha sufrido daños y ha resistido bien la crecida, cumpliendo a la perfección su función de proporcionar estabilidad al talud. Únicamente se han destruido unos 15 metros de longitud del manto de escollera en la parte final del tramo, que seguramente pueda estar relacionado con los asientos descritos en el tramo anterior. La solera de escollera también ha resistido adecuadamente, cumpliendo su función protectora durante la inundación a pesar de la pérdida de algunos elementos en la parte final del tramo.
Necesidad de restitución	Ladera margen derecha. Necesidad alta, por el riesgo de caída de personas y por posible inestabilidad del talud. Cauce. Necesidad media, por la reposición de piezas de escollera. Ladera margen izquierda. Necesidad media, por la reposición de piezas de escollera.

Imágenes:



Figura 559. Socavaciones en el talud de la margen derecha, frente al nº 66 de la Calle Santa Teresita, que ha quedado prácticamente vertical y con riesgo de desprendimiento. Imagen izquierda, mirando hacia aguas abajo, e imagen derecha, mirando hacia aguas arriba.



Figura 560. Detalle del estado de la margen derecha, vista desde la parte superior de su talud. En este punto no se aprecian daños en el cauce, ni en la escollera de la margen izquierda, situada en la parte superior de la imagen.



Figura 561. Vista frontal de las socavaciones en la margen derecha, aguas abajo del puente azul.



Figura 562. Vista frontal de los daños en la margen derecha, vistas desde el interior del cauce.



Figura 563. Vista del tramo hacia aguas arriba. Se puede apreciar que los daños en la margen izquierda se han generado casi al final del tramo, erosionando parte del manto de escollera.



Figura 564. Socavaciones en la margen derecha, aguas arriba del puente azul y bajo el mismo.

HO- 1370/1730

Descripción tramo	Barranco de Horteta aguas arriba del puente azul.
Coordenadas UTM (X;Y)	(716277;4367917)
Localización	
Detalle de planta con secciones	
Planta con daños	

Descripción de daños	Aunque en las dos márgenes se ha eliminado casi por completo la vegetación de ribera, ambas presentan un talud con escasa erosión de ladera, en el que se ha mantenido su sección transversal original con forma casi trapecial. La margen izquierda se han identificado grietas de tracción de forma generalizada, algunas de ellas de gran tamaño, indicativo de que la ladera ha comenzado a movilizarse. A falta de pruebas de mayor detalle, el talud parece resultar estable en tiempo seco, aunque en próximas crecidas podría continuar desplazándose. El lecho del cauce ha quedado tapizado con grava gruesa de tamaño medio, mezclada con pequeños bolos de piedra. La pendiente longitudinal del lecho resulta casi uniforme, sin erosiones localizadas ni depósitos puntuales que la alteren de forma significativa, lo que da a entender que el comportamiento hidráulico resultó bastante uniforme en este tramo.
Necesidad de restitución	Ladera margen derecha. Necesidad baja. Cauce. Necesidad baja. Ladera margen izquierda. Necesidad media, por el seguimiento que debería realizarse a las grietas de tracción en el talud.

Imágenes:



Figura 565. Vista de ambas márgenes, mirando hacia aguas arriba del puente azul.



Figura 566. Detalle de ladera de la margen derecha, mirando hacia aguas abajo desde la ladera opuesta en la zona del meandro.



Figura 567. Vista de la margen derecha bajo del puente azul, mirando hacia aguas arriba.



Figura 568. Vista de la margen derecha en la parte baja del tramo, mirando desde el talud izquierdo.



Figura 569. Vista de la margen derecha desde el punto anterior, mirando hacia aguas arriba.



Figura 570. Vista panorámica de la margen derecha varios meses después de la crecida. Se aprecia el rebrote de la vegetación respecto a las imágenes anteriores.



Figura 571. Detalle de ladera de la margen derecha, en la parte más alta del tramo. Vista orientada ligeramente hacia aguas arriba.



Figura 572. Grietas de tracción de gran tamaño en el talud de la margen izquierda.



Figura 573. Grietas de tracción en el talud de la margen izquierda.



Figura 574. Grietas de tracción de gran tamaño en el talud de la margen izquierda.



Figura 575. Grietas de tracción de casi 10 cm en la margen izquierda.

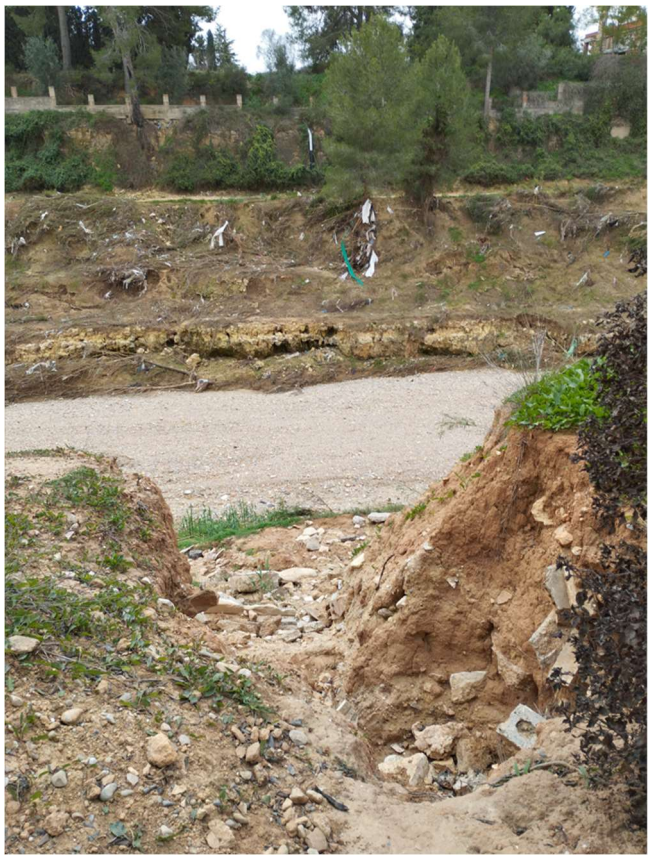

Figura 576. Cárcava de gran tamaño en ella margen izquierda.



Figura 577. Margen derecha al inicio del tramo (aguas arriba).

HO- 1730/2020

Descripción tramo	Barranco de Horteta, entre los números 129 y 145 de la C/Lluis Beltrán
Coordenadas UTM (X;Y)	(716969;4367985)
Localización	
Detalle de planta con secciones	
Planta con daños	

Descripción de daños	En la margen derecha se han generado importantes daños, debido a que la alineación de construcciones en la calle Lluis Beltrán ha provocado un leve estrechamiento del barranco que altera la corriente natural. Por este motivo, desde el punto de vista de la geomorfológico, mientras que se mantenga ese estrechamiento esta zona estará sujeta a una aceleración del flujo, que tenderá a generar erosiones localizadas. Se recomienda reconsiderar la reubicación de viviendas. Estabilizar la margen derecha, traerá probablemente como consecuencia la erosión en la margen opuesta. En esa margen derecha hay un muro de gaviones que, aunque ha resistido a la crecida, se ha visto severamente dañado, perdiendo algunos de sus elementos. La calzada de la calle Lluis Beltrán ha quedado destruida parcialmente en gran parte de este tramo, con varios puntos en voladizo. En la margen izquierda las socavaciones también han sido importantes, aunque en este caso ha afectado a una zona ajardinada, con menor riesgo para la población. Su talud ha quedado casi vertical en ciertas zonas, presentando algunas grietas de tracción y depósitos de arena en la primera terraza. En el lecho se identifican depósitos y escombros, algunos de gran tamaño, que convendría retirar, tanto por impacto ambiental como por haber elevado el lecho del cauce en varias zonas. Hay una pasarela metálica en el interior del cauce, que cruzaba el barranco aguas arriba de la confluencia con la Cañada del Pequé.
Necesidad de restitución	Ladera margen derecha. Necesidad alta, por el riesgo de daños personales. Cauce. Necesidad alta, por el volumen de escombros. Ladera margen izquierda. Necesidad alta, por las grietas en el talud.

Imágenes:



Figura 578. Margen derecha al inicio del tramo (aguas abajo).



Figura 579. Vista de daños en la margen derecha en la zona baja del tramo. Puede apreciarse lo peligrosa que ha quedado la circulación por la Calle Lluis Beltrán.



Figura 580. Vista de daños en la margen derecha. Continuación de la imagen anterior desplazándose hacia aguas arriba.



Figura 581. Vista de daños en la margen derecha. Zona media del tramo.



Figura 582. Vista de daños en la margen derecha, en la que puede verse el muro de gaviones que presenta ciertos daños, aunque ha resistido perfectamente. Zona media-alta del tramo.



Figura 583. Vista de daños en la margen derecha, mirando hacia aguas arriba.



Figura 584. Daños en la margen izquierda, en la zona baja del tramo. Vista desde la Calle Lluis Beltrán.



Figura 585. Vista de daños en la margen izquierda, en la zona alta del tramo. Vista desde la Calle Lluis Beltrán.



Figura 586. Detalle de erosión y de cárcavas en la ladera de la margen izquierda, a mitad del tramo.



Figura 587. Vista del interior del cauce desde la parte superior del gavión dañado, mirando hacia aguas arriba. Se pueden apreciar también los daños en el talud de la margen derecha.

HO- 2020/2290

Descripción tramo	Barranco de Horteta aguas abajo de la confluencia con la Cañada del Pequé.
Coordenadas UTM (X;Y)	(715675;4368097)
Localización	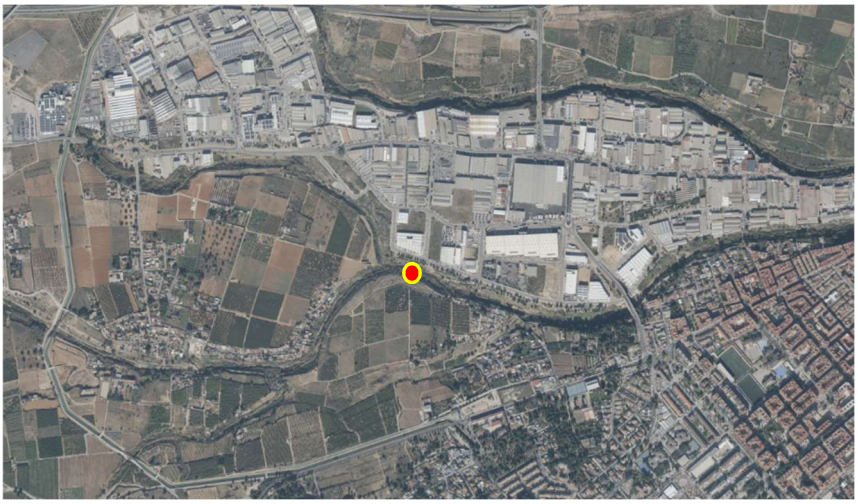
Detalle de planta con secciones	
Planta con daños	

Descripción de daños	La margen derecha presenta socavaciones que han dejado los taludes dañados. Presentan aparente estabilidad en tiempo seco pero podrían movilizarse ante futuras crecidas. Como en este punto se interrumpe la continuidad de la Calle Lluis Beltrán, no es una zona por la que transite gente. No se han identificado movimientos de ladera. La margen izquierda presenta importantes erosiones que han dejado varias zonas inestables, y con riesgo de desprendimientos. También se identifican oquedades y grietas de tracción, indicativas de que la ladera se ha empezado a desplazar. En principio parece resultar estable en tiempo seco, pero el movimiento podría evolucionar en futuras crecidas. El cauce presenta gran cantidad de residuos de diferente tipología (restos de viviendas, plásticos, metales, etc). El volumen de escombros es tal, que durante la crecida precipitaron grandes cantidades de residuos, y antes de acabar la misma, la energía del flujo generó un "cauce de aguas bajas" de unos 2 metros de profundidad socavado en ese mismo lecho de escombros.
Necesidad de restitución	Ladera margen derecha. Necesidad media. Cauce. Necesidad alta. Ladera margen izquierda. Necesidad alta.

Imágenes:



Figura 588. Vista de la margen derecha al inicio del tramo, inmediatamente aguas abajo de la confluencia con la cañada del Pequé.



Figura 589. Residuos en el cauce y del estado de la margen derecha. Puede apreciarse el cauce de aguas bajas generado por la erosión en el mismo lecho de escombros.



Figura 590. Detalle de escombros en el cauce y del estado de la margen derecha. Tramo medio.



Figura 591. Detalle de escombros en el cauce y del estado de la margen derecha (inicio del tramo desde aguas abajo).



Figura 592. Vista de la margen derecha desde aguas abajo del tramo, mirando hacia aguas arriba. Se puede apreciar el importante volumen de depósitos en el cauce.



Figura 593. Vista de la margen izquierda y los depósitos en el cauce, desde la margen derecha.



Figura 594. Detalle de escombros en el cauce y vista de la erosión en margen izquierda, aguas arriba de la imagen anterior.



Figura 595. Grietas de tracción en la ladera de la margen izquierda. Tramo alto.



Figura 596. Detalle de una de las grietas de tracción anteriores (margen izquierda).



Figura 597. Pérdida de suelo y oquedades en el talud de la margen izquierda. Riesgo de hundimientos en el camino.



Figura 598. Grietas de tracción en el talud, por la margen izquierda. Tramo medio.



Figura 599. Diversas grietas de tracción ocultas entre la vegetación (margen izquierda).



Figura 600. Grieta transversal al talud de la margen izquierda, por el asiento en la zona central del mismo.



Figura 601. Vista general desde la confluencia con la cañada del Pequé, mirando hacia aguas abajo desde la margen izquierda.

HO- 2290/2455

Descripción tramo	Barranco de Horteta inmediatamente aguas arriba de la confluencia con la cañada del Pequé.
Coordenadas UTM (X;Y)	(715511;4368052)
Localización	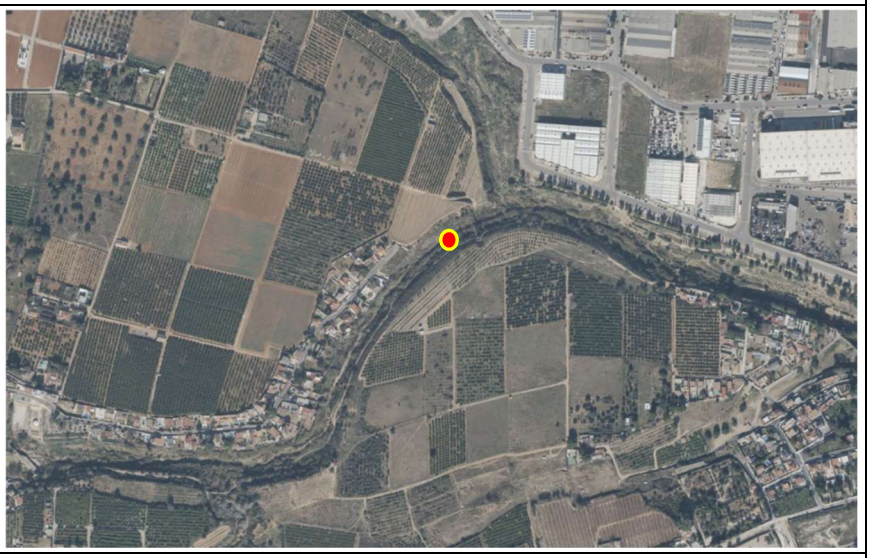
Detalle de planta con secciones	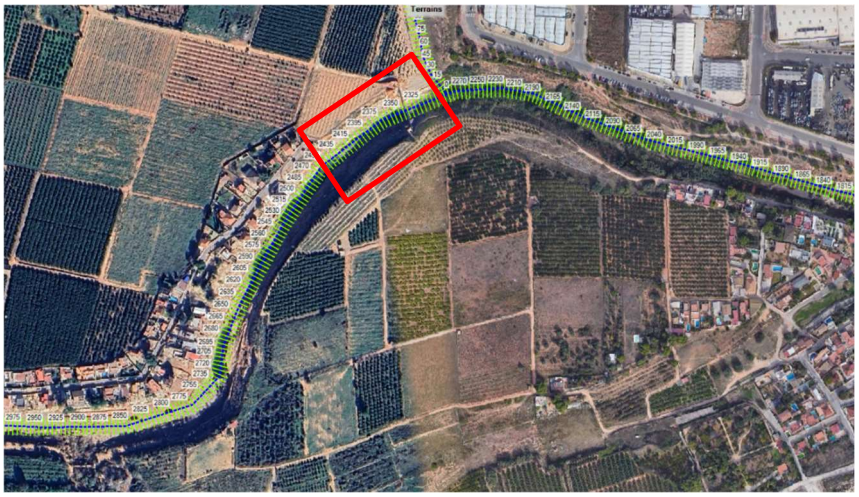
Planta con daños	

Descripción de daños	En ninguna de las dos márgenes parecen plantear riesgo de desprendimientos. En la margen izquierda se han producido erosiones visibles, más en la parte alta de la ladera que en la baja, aunque el estrato rocoso en el pie del talud parece proporcionar estabilidad al conjunto. Por la margen derecha la erosión ha sido menor, debido a la ligera curvatura que presenta el cauce en planta, quedando esta zona en la parte interior del meandro. El lecho del cauce se ha erosionado en algunos puntos próximos al entorno de su eje central, dejando visibles estratos de material rocoso. Hacia sus laterales han tendido a depositarse sedimentos de tamaño fino, predominando las arenas y limos. Estos depósitos se extienden hasta los pies de las márgenes.
Necesidad de restitución	Ladera margen derecha. Necesidad baja. Cauce. Necesidad baja. Ladera margen izquierda. Necesidad baja.

Imágenes:



Figura 602. Vista desde el interior del cauce, mirando hacia aguas arriba del tramo.



Figura 603. Vista desde el interior del cauce, mirando hacia aguas abajo del tramo.



Figura 604. Vista general desde la confluencia hacia aguas arriba, en el que se aprecia este tramo en su conjunto, y el inicio del siguiente al fondo.

HO- 2455/2775

Descripción tramo	Barranco de Horteta, aguas abajo del meandro existente junto a la Travesía Rosendo Montoro.
Coordenadas UTM (X;Y)	(715373;4367901)
Localización	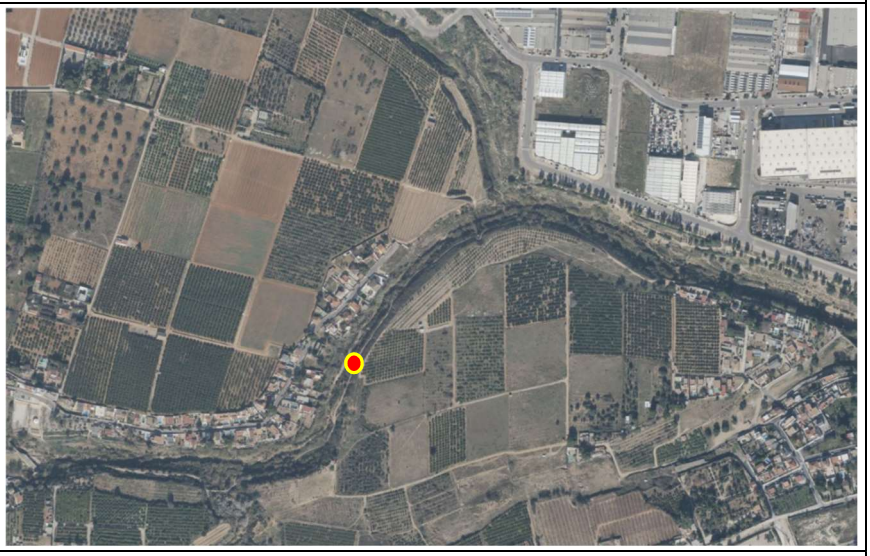
Detalle de planta con secciones	
Planta con daños	

Descripción de daños	Tras atravesar el giro a izquierdas del primer meandro, el flujo incrementó su velocidad, seguramente condicionado por la ocupación urbana de la terraza fluvial de su margen izquierda. Como consecuencia, la erosión es generalizada en todo este tramo, siendo superior en la ladera derecha como consecuencia del sentido del giro en el meandro. La elevada vulnerabilidad de las edificaciones existentes en la margen izquierda ha generado cuantiosos daños en esa zona urbanizada. Aunque sus laderas no presentan signos aparentes de inestabilidad, convendría proporcionarles un cierto reperfilado y homogeneizar el deslinde del barranco. El cauce presenta zonas de depósitos y erosión de forma intermitente. En las áreas socavadas ha llegado a aflorar un fondo rocoso. Esto ha dado lugar a algunas pozas y ciertos tramos en los que se aprecia una ligera contrapendiente.
Necesidad de restitución	Ladera margen derecha. Necesidad baja. Cauce. Necesidad baja. Ladera margen izquierda. Necesidad media, ya que a pesar de los daños en viviendas, el talud no presenta signos de inestabilidad.

Imágenes:



Figura 605. Vista general desde el punto más bajo hacia aguas arriba, en el que se aprecia el recorrido de este tramo y el inicio del siguiente al fondo.



Figura 606. Detalle de los daños generados en la ladera de la margen derecha.



Figura 607. Vista del inicio del tramo (meandro) y detalle de los daños generados en viviendas. Los depósitos de arena de la derecha de la imagen formaban parte del pavimento e instalaciones de las parcelas urbanizadas.



Figura 608. Vista del tramo mirando desde aguas arriba hacia aguas abajo. Pueden apreciarse los importantes daños en ambas márgenes. Muchos de los tabiques de las plantas bajas han quedado destruidos. La imagen está realizada sobre lo que era la piscina de una vivienda.

HO- 2775/2940

Descripción tramo	Barranco de Horteta, desde el meandro hasta el acueducto de Les Canyes, inclusive.
Coordenadas UTM (X;Y)	(715219 ; 4367716)
Localización	
Detalle de planta con secciones	
Planta con daños	

Descripción de daños	Este tramo presenta una mayor erosión por la margen izquierda, que ha generado daños en toda la línea de edificaciones próximas al barranco. Muchos de los muros perimetrales de las parcelas se han desplomado, y en algunas viviendas la superficie pavimentada ha quedado en voladizo. Varios taludes presentan material poco consistente y elevada pendiente, por lo que se consideran potencialmente inestables. Por la margen derecha la erosión ha sido baja, salvo en zonas puntuales con masas de terreno desprendidas y otras en las que parte de la ladera ha deslizado. El cauce presenta multitud de depósitos de escombros y sedimentos. La naturaleza antrópica de los residuos arrastrados por la crecida y su impacto sobre el barranco, hace que resulte conveniente su retirada.
Necesidad de restitución	Ladera margen derecha. Necesidad baja. Cauce. Necesidad media. Ladera margen izquierda. Necesidad alta.

Imágenes:



Figura 609. Daños generados en la ladera de la margen izquierda. Tramo bajo.



Figura 610. Vista desde el interior del cauce, mirando hacia aguas abajo.



Figura 611. Daños generados en la ladera de la margen izquierda. Tramo medio.



Figura 612. Vista panorámica de daños generados en la ladera de la margen izquierda.



Figura 613. Detalle de deslizamiento de parte de la ladera en la margen derecha, mirando hacia aguas arriba. Puede apreciarse que gran parte de la vegetación se ha conservado en el talud.



Figura 614. Vista panorámica de la ladera de la margen derecha, con apenas daños.



Figura 615. Acueducto de les Canyes en la margen derecha, que ha sufrido ligeros desperfectos, pero que no presenta daños estructurales.

HO- 2940/3170

Descripción tramo	Barranco de Horteta, desde aguas arriba del acueducto de Les Canyes, hasta el dique del Pantano.
Coordenadas UTM (X;Y)	(714995;4367722)
Localización	
Detalle de planta con secciones	
Planta con daños	

Descripción de daños	Los daños en este tramo presentan unas características similares a las del recorrido de aguas abajo. Se identifican daños relevantes por la margen izquierda en la zona media y baja del tramo, que han afectado a varias edificaciones que lindan con el barranco, aunque en este caso sus taludes presentan un menor riesgo de inestabilidad. En la zona alta del tramo esa ladera izquierda apenas ha sufrido afecciones. Por la margen derecha se mantiene la baja erosión e igualmente se ha conservado la cubierta vegetal, por lo que no es necesaria ninguna intervención. El cauce presenta un gran volumen de escombros, mayor que el tramo de aguas abajo, que proceden en gran medida de restos de viviendas dañadas y de elementos arrancados del azud del Pantano. En la zona derecha del cauce próxima a esa margen había un sistema de riego que arrancaba desde el azud, aparentemente en desuso, que se ha visto severamente dañado. Se desconoce si puede tener algún valor patrimonial.
Necesidad de restitución	Ladera margen derecha. Necesidad baja. Cauce. Necesidad alta. Ladera margen izquierda. Necesidad media.

Imágenes:



Figura 616. Escombros en el cauce, vista hacia aguas arriba del tramo.



Figura 617. Detalle de daños en la ladera de la margen izquierda y depósitos en el cauce.



Figura 618. Detalle de viviendas dañadas en la margen izquierda.



Figura 619. Margen izquierda en la zona alta del tramo, junto al azud del Pantano; en esa zona apenas hay daños en su ladera. Se pueden apreciar los escombros en el cauce.



Figura 620. Detalle de erosión puntual en la margen derecha, a mitad del tramo.

HO- 3170/3200

Descripción tramo	Azud de El Pantano en el Barranco de Horteta.
Coordenadas UTM (X;Y)	(715106;4367715)
Localización	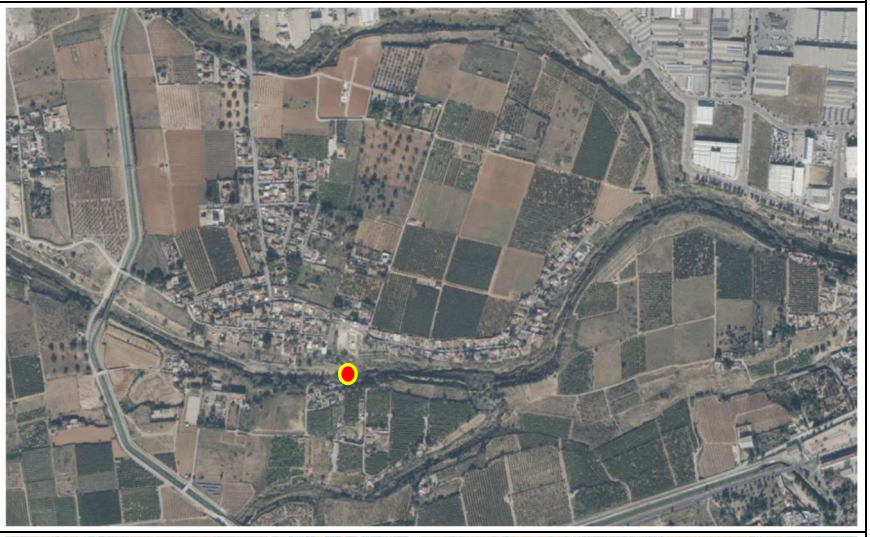
Detalle de planta con secciones	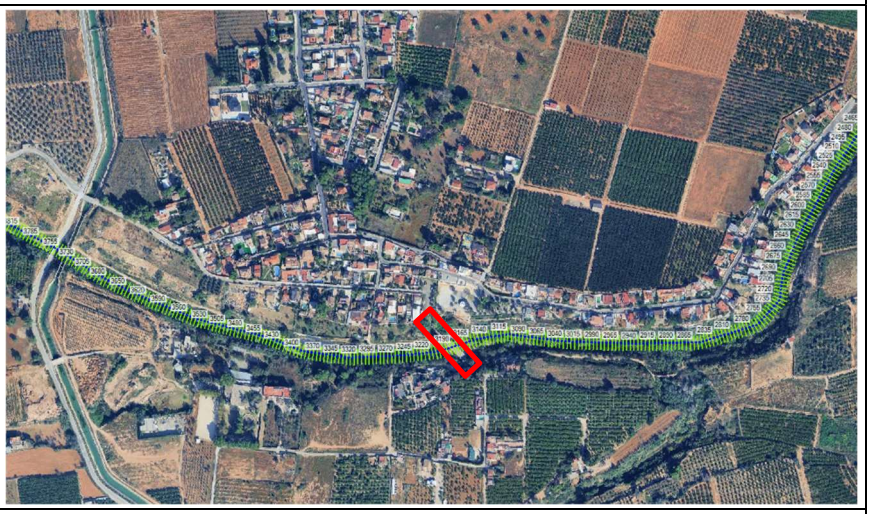
Planta con daños	

Descripción de daños	El Pantano constituye un elemento patrimonial de Torrent, cuya singularidad exige que deba ser preservado y restituido a sus características previas a la inundación ocasionada por la DANA. El azud ha mantenido su estructura transversal al cauce, preservando el dique de contención. Sin embargo, los daños en su recubrimiento han sido importantes, perdiéndose multitud de piezas de sillería que han quedado esparcidas por el barranco. Estos daños en su han sido más importantes en su margen izquierda. El dique ha sufrido menos daños en la margen derecha, conservando gran parte de sus sillares. Sin embargo, debería considerarse la restitución de la acequia que partía del azud en dicha margen, que ha quedado prácticamente destruida. Esta canalización, aunque pudiera estar actualmente en desuso, constituye un elemento patrimonial intrínsecamente vinculado al azud.
Necesidad de restitución	Ladera margen derecha. Necesidad alta, por la acequia que parte del azud. Cauce. Necesidad alta, por los sillares desprendidos en la zona central. Ladera margen izquierda. Necesidad alta, por el recubrimiento dañado en esa margen.

Imágenes:



Figura 621. Azud de El Pantano tras la DANA, visto desde aguas abajo.



Figura 622. Tareas de rehabilitación del azud del pantano, en julio de 2025. Vista desde aguas abajo.



Figura 623. Azud de El Pantano, visto desde su estribo derecho.



Figura 624. Diques dañados en la margen izquierda del Azud de El Pantano.



Figura 625. Tareas de rehabilitación del azud del pantano, en julio de 2025. Vista desde la margen izquierda.

HO- 3200/3725

Descripción tramo	Barranco de Horteta, desde el canal Júcar-Turia hasta el dique del Pantano.
Coordenadas UTM (X;Y)	(714644;4367719)
Localización	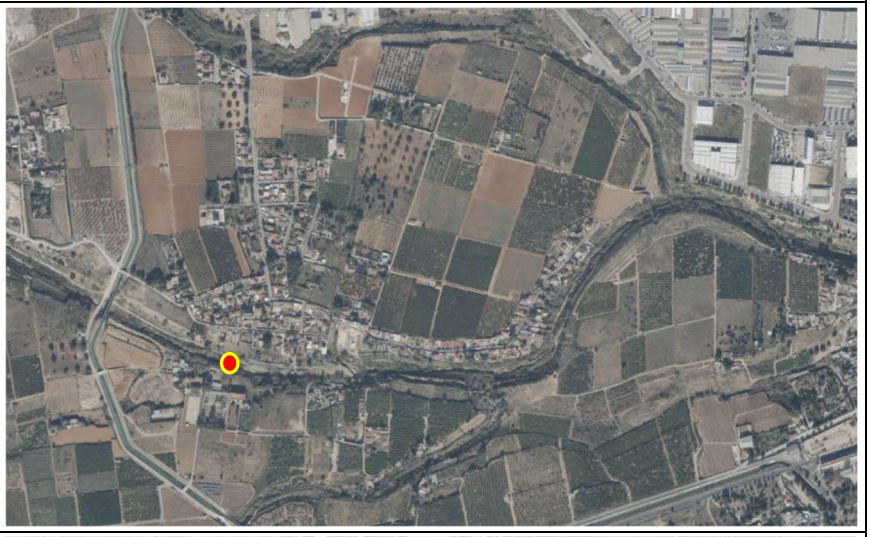
Detalle de planta con secciones	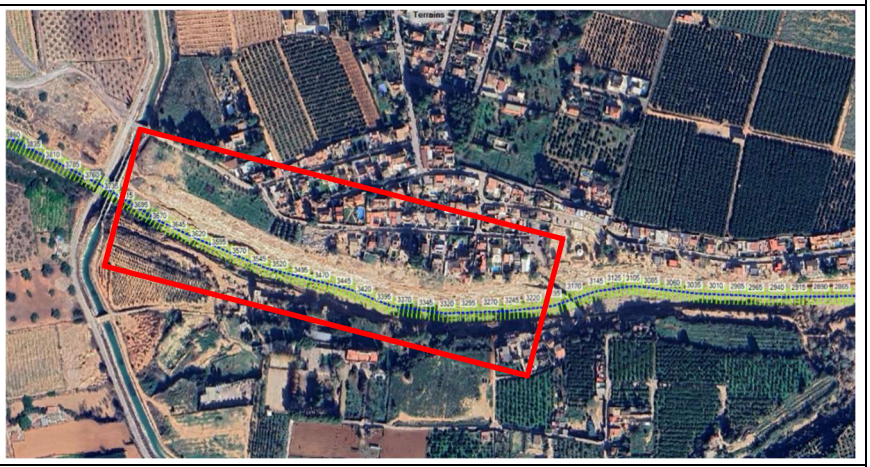
Planta con daños	

Descripción de daños	Se trata de un tramo con una cierta antropización por su margen derecha, pero no tanto por la izquierda. Ambas laderas han sufrido erosiones de un modo similar, a pesar del pequeño giro a izquierdas que presenta el barranco. El montículo existente en margen derecha aguas abajo del canal Júcar-Turia, ha preservado la integridad de muchas viviendas situadas en esa margen, aunque el talud ha sufrido erosiones relevantes. En su tramo más bajo, esa margen derecha se integra en la zona urbanizada, y sus daños se limitan a la destrucción de los muros del cierre de la parte baja del parcelario. Por margen izquierda han quedado algunas parcelas agrícolas descalzadas, presentando mayor riesgo de inestabilidad que las de la margen derecha, a pesar de su menor altura. En varias zonas de esa margen derecha la vegetación ha quedado intacta, indicativo que de la velocidad no debió resultar excesivamente elevada, o no hacerlo de forma persistente. El lecho presenta cierta erosión, conformando un cauce de aguas bajas que permite trasegar los flujos hacia el pantano. Aparentemente, se trata de un tramo en el que el flujo quedó remansado por la presencia del Pantano aguas abajo. Sin embargo, el efecto dinámico de la rotura del canal Júcar-Turia, debió generar una onda de importancia en este recorrido.
Necesidad de restitución	Ladera margen derecha. Necesidad media. Cauce. Necesidad baja. Ladera margen izquierda. Necesidad baja.

Imágenes:



Figura 626. Detalle de la margen derecha en la zona baja del tramo, vista desde el interior del cauce. Puede apreciarse cómo la vegetación se ha conservado.



Figura 627. Detalle de la margen izquierda a mitad del tramo.



Figura 628. Vista desde la parte superior de la margen izquierda a mitad del tramo, mirando hacia aguas abajo. En cauce ha sido regularizado, desapareciendo el cauce de aguas bajas.



Figura 629. Erosiones localizadas en la margen derecha, en la zona media del tramo.



Figura 630. Detalle de la margen derecha en la zona media-alta del tramo, en donde vegetación se ha conservado. Vista desde el interior del cauce.



Figura 631. Nuevo detalle de la vegetación conservada en la margen derecha. Zona alta del tramo.



Figura 632. Detalle de la erosión en la margen izquierda, en la parte alta del tramo.



Figura 633. Vista general del tramo desde el interior del cauce, en la zona alta (junto al canal Júcar-Turia). Vista desde aguas arriba hacia aguas abajo.

HO- 3720/3760

Descripción tramo	Cruce de Horteta con el canal Júcar-Turia.
Coordenadas UTM (X;Y)	(714376;4367836)
Localización	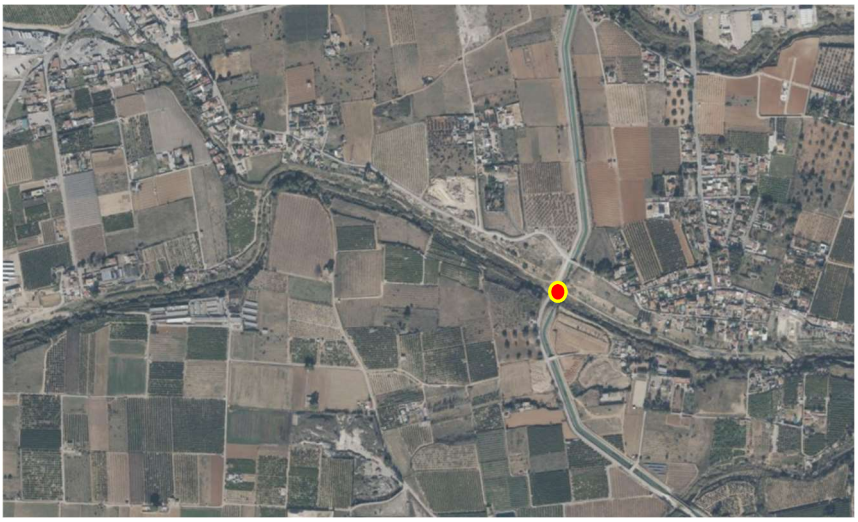
Detalle de planta con secciones	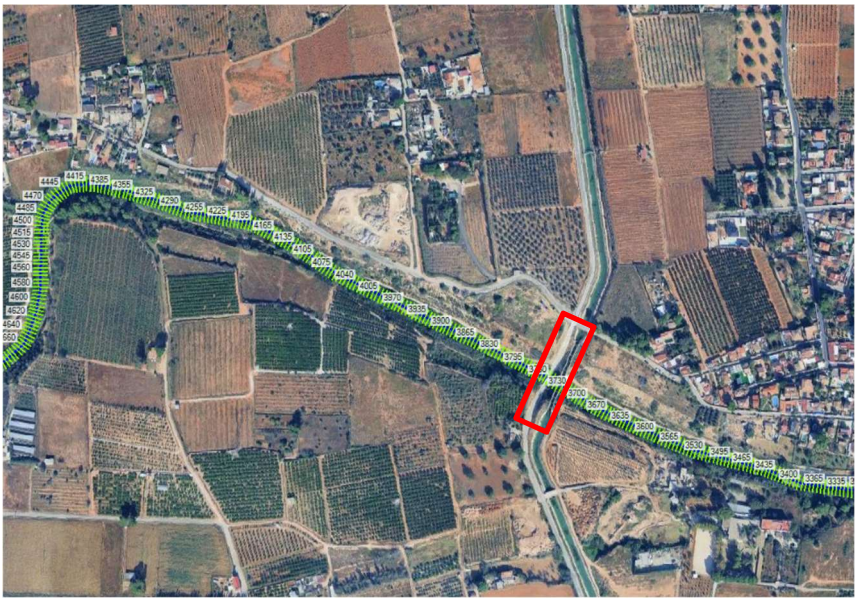
Planta con daños	

Descripción de daños	Las laderas en el entorno del cruce con el canal Júcar-Turia se han visto erosionadas por la aceleración del flujo en el cruce con este acueducto, quedando más afectada su margen izquierda, cuyo estribo ha quedado parcialmente destruido. Las pilas se han descalzado, y el cauce se ha erosionado ligeramente entre ellas. El mal diseño hidráulico de este cruce, limita la capacidad del barranco de Horteta en ese punto, ya que corta transversalmente la parte superior de la sección útil del barranco. Si se repone en las condiciones previas a la DANA, el acueducto volverá a sufrir daños en el futuro. En cuanto al badén existente sobre Horteta aguas arriba del canal, el mal diseño hidráulico de esta solución ha colaborado en el fallo de las pilas del acueducto, lo cual es probable que se repita en futuras crecidas.
Necesidad de restitución	Ladera margen derecha. Necesidad baja. Cauce. Necesidad media. Ladera margen izquierda. Necesidad media.

Imágenes:



Figura 634. Detalle de daños en la margen izquierda del acueducto del canal Júcar-Turia.



Figura 635. Vista general del acueducto destruido, desde aguas arriba y sobre la margen izquierda.



Figura 636. Margen izquierda del cruce del canal Júcar-Turia con Horteta.



Figura 637. Descalces en las pilas del acueducto y erosión localizada en el cauce.



Figura 638. Margen derecha del cruce del canal Júcar-Turia con Horteta. Vista desde aguas arriba.



Figura 639. Detalle de daños en la margen derecha del acueducto. Vista desde aguas abajo.



Figura 640. Badén de cruce sobre Horteta aguas arriba del acueducto, visto desde aguas abajo. El mal diseño hidráulico de esta solución ha fomentado el fallo de las pilas del acueducto. Este comportamiento hidráulico no deseable se repetirá en próximas crecidas.



Figura 641. Vista del cruce provisional del canal Júcar-Turia con Horteta, mirando desde aguas arriba hacia aguas abajo.

HO- 3760/4180

Descripción tramo	Tramo aguas arriba del cruc con el canal Júcar-Turia.
Coordenadas UTM (X;Y)	(714394;4367853)
Localización	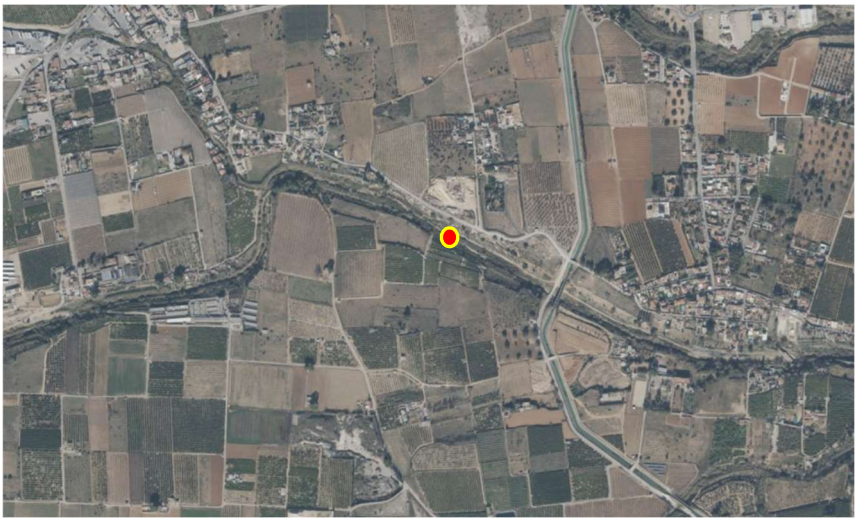
Detalle de planta con secciones	
Planta con daños	

Descripción de daños	Se trata de un tramo rectilíneo en el que se han depositado de forma repartida un cierto volumen de sedimentos en el lecho del barranco. En la zona más alta esos depósitos se componen mayoritariamente de escombros arrastrados desde las viviendas dañadas aguas arriba, mientras que en su tramo bajo se componen de gravas gruesas y bolos de piedra de tamaño medio. La ladera derecha ha sufrido una erosión importante en su tramo más alto, seguramente influenciado por el giro del meandro situado aguas arriba, dejando taludes verticales en las proximidades de algunas edificaciones próximas al cauce. Hacia aguas abajo, dicha ladera ha mantenido su erosión pero con un alcance inferior, aflorando en varias zonas el sustrato rocoso. La margen izquierda no presenta daños en su tramo alto, en el que se ha conservado gran parte de la vegetación. En su tramo medio y bajo sí se identifican erosiones localizadas, aparentemente de escasa relevancia.
Necesidad de restitución	Ladera margen derecha. Necesidad baja. Cauce. Necesidad media. Ladera margen izquierda. Necesidad media en su tramo alto, y baja en su tramo bajo.

Imágenes:



Figura 642. Vista de la parte baja del tramo mirando hacia aguas arriba.



Figura 643. Vista de la ladera derecha en la parte baja del tramo, mirando hacia aguas arriba.



Figura 644. Vista de la ladera izquierda en la parte baja del tramo.



Figura 645. Escombros en la parte media del tramo, mirando hacia aguas arriba, en la que se puede apreciar la variación de granulometría respecto del tramo bajo.



Figura 646. Erosión en la margen izquierda, en la parte media del tramo.



Figura 647. Detalle de erosión en la margen izquierda, en la parte media del tramo.



Figura 648. Erosión en la margen derecha, en la parte media del tramo.



Figura 649. Vista de la parte media del tramo mirando hacia aguas abajo, con el canal Júcar-Turia al fondo.



Figura 650. Erosión en la margen izquierda, en la parte alta del tramo. Vista hacia aguas arriba.



Figura 651. Detalle de importante erosión en la margen izquierda, en la parte alta del tramo.



Figura 652. Margen derecha en la parte alta del tramo, sin apenas erosión.



Figura 653. Vista general desde la parte alta del tramo, mirando desde aguas arriba hacia aguas abajo.

HO- 4180/4505

Descripción tramo	Barranco de Horteta aguas abajo de la confluencia con el arroyo de la Vedeta.
Coordenadas UTM (X;Y)	(713796;4368078)
Localización	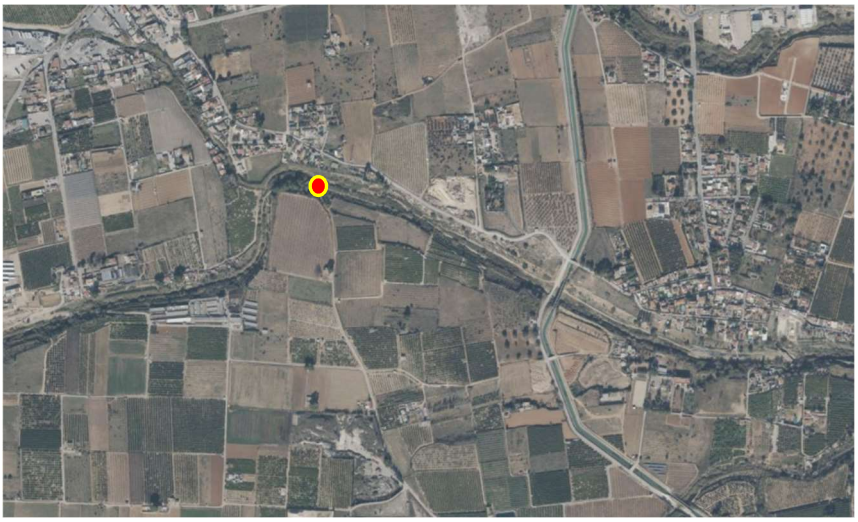
Detalle de planta con secciones	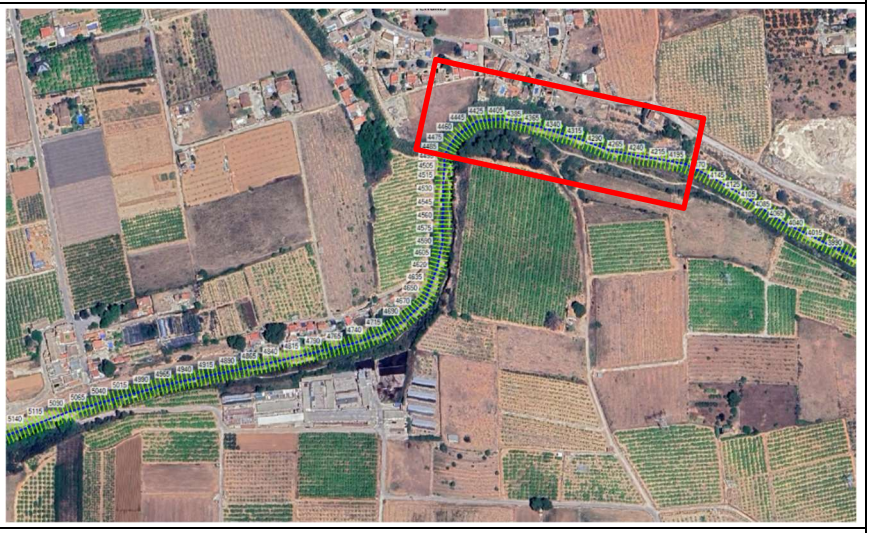
Planta con daños	

Descripción de daños	El meandro existente en el barranco, ha ocasionado daños importantes en las viviendas situadas en la margen izquierda. Como consecuencia, la ladera de dicha margen se ha visto muy afectada. Por el contrario, la margen derecha ha quedado protegida por el giro del propio meandro y ha conservado su vegetación. En el cauce ha erosionado en esta zona, generando un canal central de aguas bajas. Su afección al lecho no resulta relevante, pero sí la contaminación procedente desde la zona de aguas arriba del meandro, que se identifica con olores en el sedimento y presencia de aguas negras que afloran puntualmente. El flujo de aguas residuales existente en el tramo de aguas arriba no tiene continuidad en este tramo, lo que evidencia la elevada permeabilidad del suelo en esta zona, y su elevada capacidad de infiltración.
Necesidad de restitución	Ladera margen derecha. Necesidad baja. Cauce. Necesidad alta, por la elevada contaminación del suelo. Ladera margen izquierda. Necesidad media.

Imágenes:



Figura 654. Vista desde la parte baja del tramo, mirando hacia aguas arriba. Puede apreciarse el cauce de aguas bajas generado en el lecho.



Figura 655. Detalle de la erosión en la margen izquierda, en la parte baja del tramo.



Figura 656. Vegetación y ladera casi intacta en la margen derecha, en la parte baja del tramo.



Figura 657. Vista de la margen izquierda y depósitos de arena en la terraza, en el entorno del meandro.



Figura 658. Detalle de daños en las viviendas de la margen izquierda.



Figura 659. Vista general del tramo desde el meandro en la parte alta del tramo. Vista hacia aguas abajo.



Figura 660. Vista hacia aguas arriba desde el meandro, en la parte alta del tramo.

HO- 4505/4730

Descripción tramo	Meandro en el Barranco de Horteta situado aguas abajo de la granja El Pampo.
Coordenadas UTM (X;Y)	(712687;4367959)
Localización	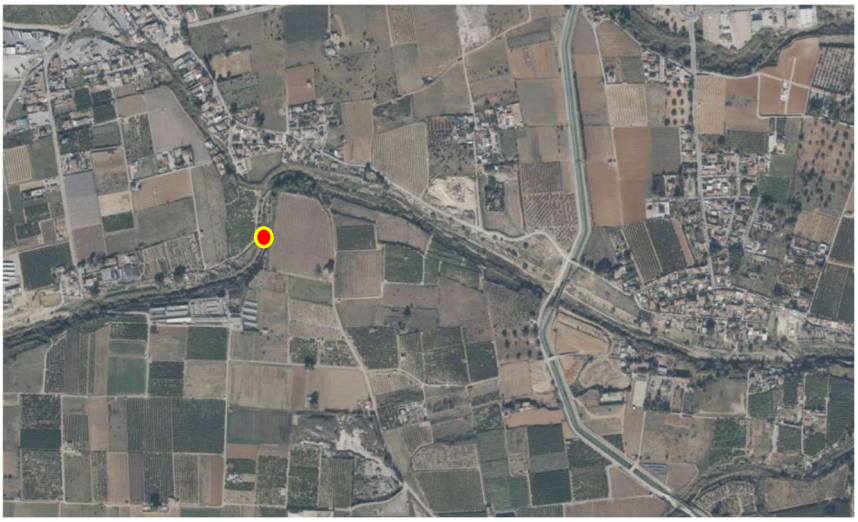
Detalle de planta con secciones	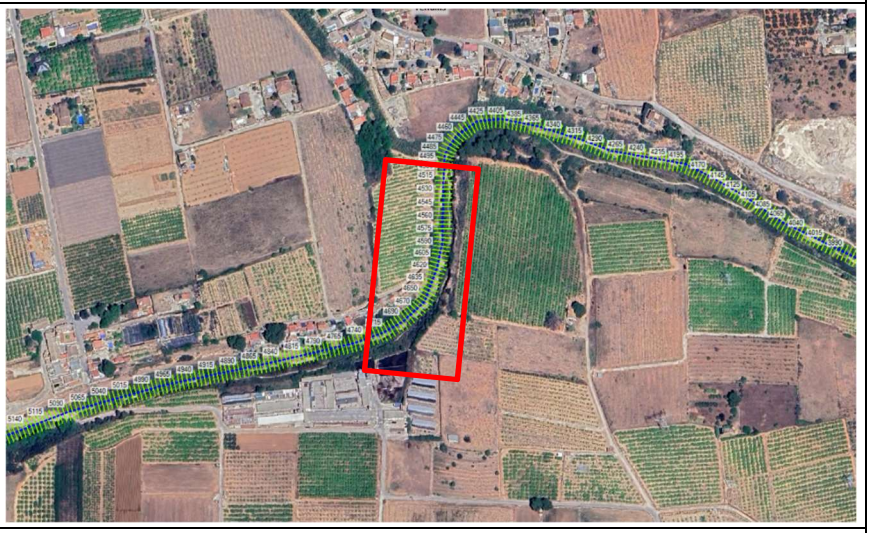
Planta con daños (girada 90º)	

Descripción de daños	Se trata de un tramo en el que se presenta un importante meandro a izquierdas, en el que el cauce gira casi 90 grados, por lo que la mayor parte de la energía de la crecida se enfrentó a la ladera derecha. Sin embargo, dicha margen derecha apenas ha sufrido daños relevantes, debido a la competencia de sus materiales, que pueden apreciarse en los estratos que han quedado al descubierto tras arrancar la cubierta vegetal. Esos taludes de la margen derecha han quedado casi verticales, aunque no resultan inestables en tiempo seco. Como consecuencia, las ondas reflejadas de la crecida desde la margen derecha, se generaron importantes daños en la margen izquierda, destruyendo varias viviendas por completo. En esa ladera izquierda se han acumulado también grandes depósitos de arena, seguramente tras pasar el primer envite de la crecida, el de mayor energía, y acabar circulando el flujo en la parte final de la inundación de forma más tranquila por esta parte interior del meandro, como suele ser habitual en estos casos. También se identifican grietas de tracción en dicha ladera izquierda, lo que indica que la misma se ha empezado a deslizar. Esta evolución seguramente vaya a más en próximas crecidas del barranco. La situación en el interior del cauce es especialmente problemática, debido a la contaminación que generan los vertidos de aguas negras desde una granja próxima, más de medio año después de la crecida.
Necesidad de restitución	Ladera margen derecha. Necesidad baja. Cauce. Necesidad alta. Ladera margen izquierda. Necesidad media.

Imágenes:



Figura 661. Erosión en la margen derecha en el meandro, en la que los taludes han quedado prácticamente verticales. Vista hacia aguas abajo.



Figura 662. Detalle de erosión en la ladera de la margen derecha, justo en mismo meandro.



Figura 663. Talud de la margen izquierda, visto hacia aguas abajo, en el que pueden apreciarse importantes depósitos arenosos.



Figura 664. Detalle de gran depósito de arenas en la terraza de la margen izquierda, elevada varios metros sobre el lecho del cauce, que queda a la izquierda de la imagen.



Figura 665. Viviendas destruidas en el interior del meandro (margen izquierda, en mitad del tramo).



Figura 666. Daños sobre la zona superior de la terraza de la margen izquierda, en la parte alta del tramo. Vista hacia aguas arriba, con viviendas dañadas en el tramo siguiente.



Figura 667. Eutrofización de los vertidos de aguas negras en el cauce, en la parte baja del tramo.



Figura 668. Vista panorámica de la ladera derecha y de la zona de cauce eutrofizada en la parte baja del tramo.



Figura 669. Aguas negras en el cauce, visto desde la margen izquierda. Tramo medio. En esa zona las aguas residuales aún no han estado en estado de eutrofización.

HO- 4730/4870

Descripción tramo	Tramo del Barranco de Horteta situado frente a la granja El Pampo.
Coordenadas UTM (X;Y)	(713516;4367824)
Localización	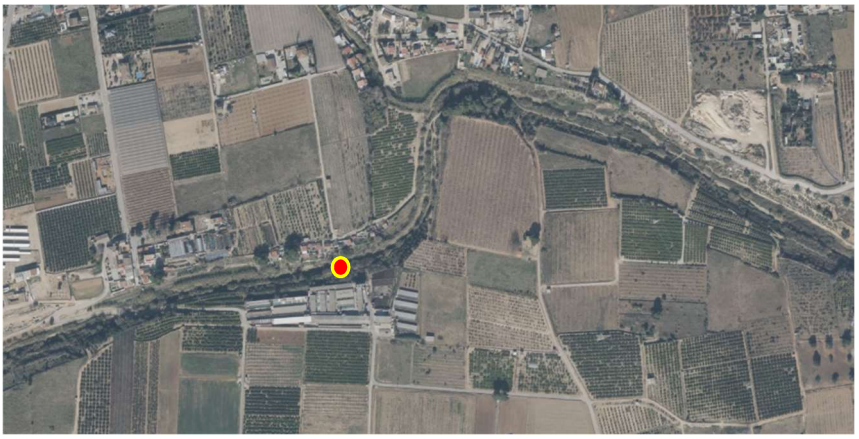
Detalle de planta con secciones	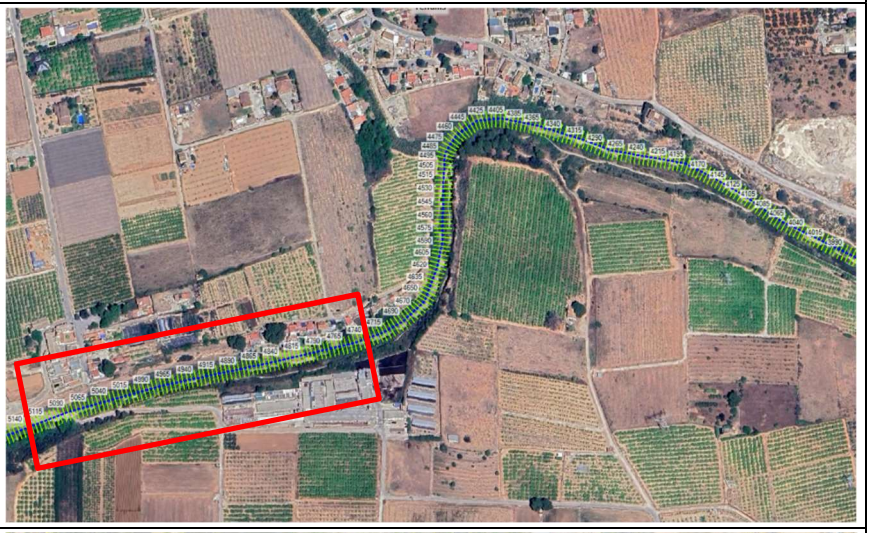
Planta con daños	

Descripción de daños	La ladera de la margen derecha apenas ha sufrido erosión, conservando incluso gran parte de su vegetación. La margen izquierda ha sufrido bastantes daños al haberse derrumbado los cerramientos de las parcelas que estaban apoyados en dicha ladera, y por las viviendas situadas en la primera terraza. El cauce presenta sedimentación general de grava fina y arena en su tramo bajo, que se va transformando en grava gruesa hacia aguas arriba. El su tramo más bajo presenta importante contaminación del lecho debido a los vertidos de aguas negras que se generan desde la granja de El Pampo.
Necesidad de restitución	Ladera margen derecha. Necesidad baja. Cauce. Necesidad media en el tramo alto y necesidad alta en el tramo bajo, por contaminación del lecho. Ladera margen izquierda. Necesidad alta.

Imágenes:



Figura 670. Grietas de tracción sobre el talud de la margen izquierda. Zona baja del tramo.



Figura 671. Inicio de contaminación en el lecho del cauce por los vertidos desde la industria ganadera. Tramo bajo, mirando hacia aguas abajo.



Figura 672. Talud erosionado y vivienda dañada en la margen izquierda dañadas. Tramo bajo.



Figura 673. Viviendas en la margen izquierda dañadas. Tramo medio.



Figura 674. Detalle de la ladera de la margen derecha en su tramo medio, sin daños aparentes de importancia.



Figura 675. Depósitos en el lecho del cauce en el tramo medio, mirando hacia aguas arriba.



Figura 676. Viviendas en la margen izquierda dañadas. Tramo alto.



Figura 677. Detalle erosiones en la margen derecha. Tramo alto.



Figura 678. Visto desde el tramo alto y desde el interior del cauce, mirando aguas abajo.

HO- 4870/5090

Descripción tramo	Horteta aguas abajo del badén existente junto a la Ermita de Mas del Jutge.
Coordenadas UTM (X;Y)	(713373;4367795)
Localización	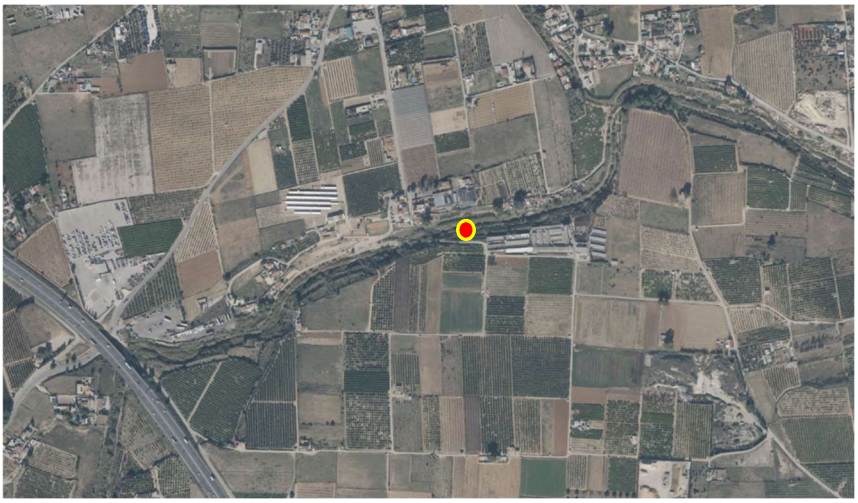
Detalle de planta con secciones	
Planta con daños	

Descripción de daños	El cauce apenas ha sufrido modificaciones relevantes en este tramo. Sus laderas han sufrido algo de erosión, aunque no ha sido relevante. Algunas viviendas han sido afectada en la parte más alta del tramo, por estar situadas en la primera terraza de la margen derecha. El cauce presenta un nivel de depósitos relevantes. En su parte alta presentan un tamaño medio-grande, con abundante presencia de escombros de origen antrópico y rocas de tamaño medio. En su zona media y baja la granulometría presenta un tamaño de grava media.
Necesidad de restitución	Ladera margen derecha. Necesidad baja. Cauce. Necesidad media. Ladera margen izquierda. Necesidad baja.

Imágenes:



Figura 679. Final del tramo en su parte más alta, mirando hacia aguas arriba.



Figura 680. Final del tramo en su parte más alta, mirando hacia aguas abajo. Puede apreciarse el importante volumen de escombros.



Figura 681. Vista desde el interior del cauce en mitad del tramo, mirando hacia aguas arriba.



Figura 682. Margen derecha inmediatamente aguas arriba de la Ermita de Mas del Jutge.



Figura 683. Margen derecha inmediatamente aguas abajo de la Ermita de Mas del Jutge.

HO- 5090/5355

Descripción tramo	Horteta aguas arriba del badén existente junto a la Ermita de Mas del Jutge.
Coordenadas UTM (X;Y)	(713132;4367704)
Localización	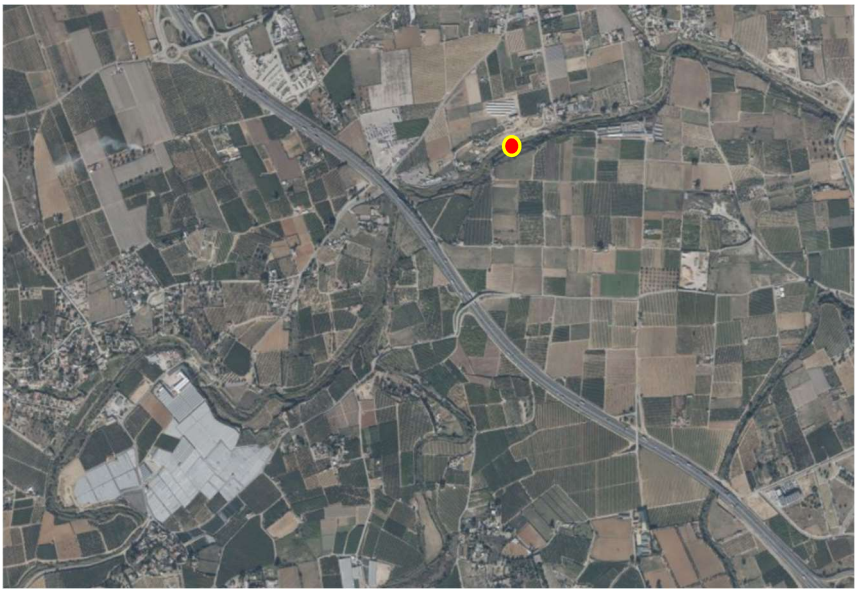
Detalle de planta con secciones	
Planta con daños	

Descripción de daños	Se trata de un tramo en el que los daños se han concentrado especialmente en su margen izquierda, en la que algunas viviendas han sufrido daños por estar ocupando las terrazas inferiores del barranco. La margen derecha presenta daños localizados y el cauce se ha abierto en gran parte del tramo, pero los taludes no parecen presentar riesgo de inestabilidad en tiempo seco. El lecho del barranco presenta un importante volumen de escombros en la zona más alta, que pasan a ser sedimentos de tamaño medio en su tramo central, y que presentan una granulometría más fina según se avanza hacia aguas abajo.
Necesidad de restitución	Ladera margen derecha. Necesidad baja. Cauce. Necesidad media. Ladera margen izquierda. Necesidad baja.

Imágenes:



Figura 684. Escombros en el interior del cauce en la parte media del tramo. Vista hacia aguas abajo..



Figura 685. Daños en viviendas en la margen derecha en la parte alta del tramo, mirando hacia aguas abajo.



Figura 686. Daños en viviendas en la margen derecha en la parte alta del tramo, mirando hacia aguas arriba.



Figura 687. Escombros en el interior del cauce en la parte alta del tramo, mirando hacia aguas arriba.

HO- 5355/5725

Descripción tramo	Barranco de Horteta inmediatamente aguas abajo de la autovía AP7 (E15)
Coordenadas UTM (X;Y)	(712873;4367536)
Localización	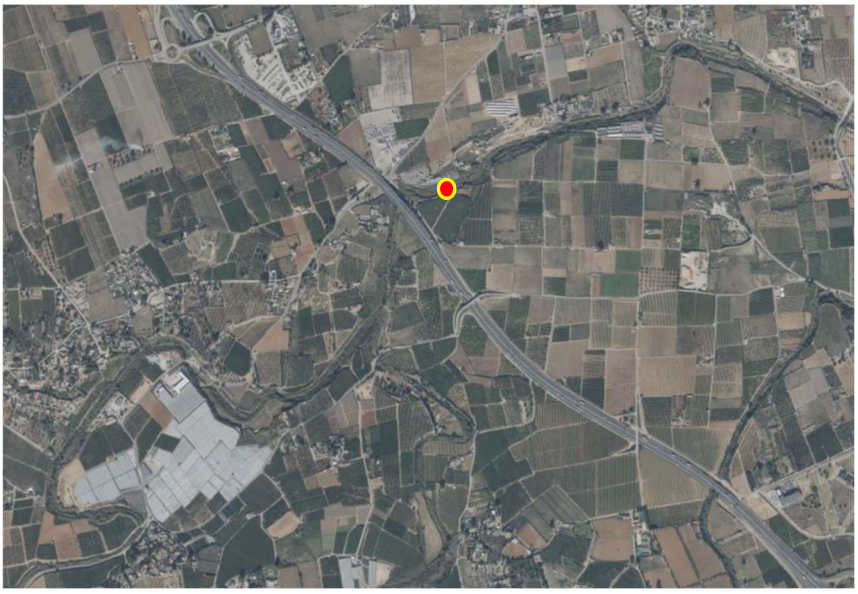
Detalle de planta con secciones	
Planta con daños	

Descripción de daños	Se trata de un tramo rectilíneo en el que el flujo parece haberse acelerado tras el cruce entre el barranco de Horteta y la AP-7. Esto parece haber generado una zona de erosión en las laderas de este tramo, pero ha ocasionado depósitos en el cauce, parte de ellos procedentes de los daños generados. La margen derecha ha quedado muy dañada, quedando los taludes prácticamente verticales y con riesgo de inestabilidad. Al tratarse de una zona con escaso tránsito de personas, eso hace que el riesgo no sea extremo. La margen derecha presenta menor altura y se ha visto menos afectada, seguramente también por el trazado en planta del barranco. El cauce presenta, en general, depósitos de escombros acompañados de gravas gruesas, procedentes especialmente del entorno urbanizado que ha sido dañado durante la crecida. También se identifica un importante volumen de sedimentos de tamaño fino, especialmente en el entorno del meandro existente en la margen derecha.
Necesidad de restitución	Ladera margen derecha. Necesidad media. Cauce. Necesidad media. Ladera margen izquierda. Necesidad media.

Imágenes:



Figura 688. Detalle de daños en viviendas de la margen izquierda, en la zona baja del tramo.



Figura 689. Vista hacia aguas arriba desde el interior del cauce, con el cruce entre Horteta y la AP-7 al fondo. Se pueden apreciar los depósitos arenosos junto a la margen izquierda, y los restos de muros de cerramiento.



Figura 690. Detalle de la erosión en los taludes de la margen derecha, a la altura del meandro existente en la zona. Zona baja del tramo.



Figura 691. Detalle de la erosión en la margen derecha al inicio del tramo (aguas abajo), en la zona baja del meandro. Raíces expuestas.



Figura 692. Erosión en la margen derecha a mitad del tramo, en la que los taludes han quedado casi verticales.



Figura 693. Escombros en el cauce. Vista hacia aguas abajo desde mitad del tramo.



Figura 694. Daños en la margen izquierda en la parte alta del tramo, mirando hacia aguas abajo. Se pueden apreciar los depósitos en el cauce.



Figura 695. Daños en la margen izquierda en la parte alta del tramo.



Figura 696. Situación de la margen derecha en la parte alta del tramo.



Figura 697. Vista hacia aguas abajo desde el interior del cauce, inmediatamente aguas abajo del puente. Se aprecia que ya se está terraplenando el cauce por su margen izquierda.

HO- 5725/5780

Descripción tramo	Cruce del barranco de Horteta con la autovía AP-7 (E-15)
Coordenadas UTM (X;Y)	(712708;4367491)
Localización	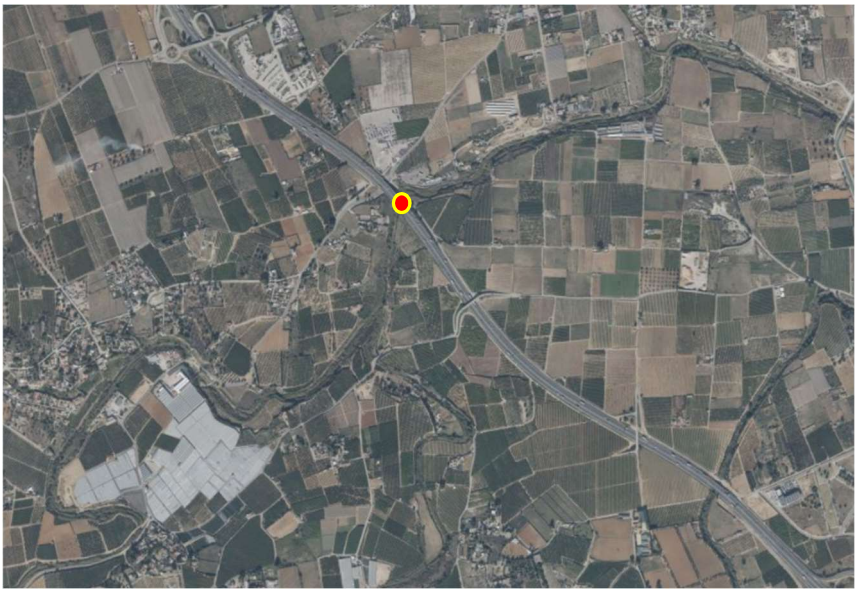
Detalle de planta con secciones	
Planta con daños (girada)	

Descripción de daños	El puente que cruza la autovía del Mediterráneo (AP-7) sobre el barranco del Horteta, apenas ha sufrido desperfectos durante la DANA. El estribo de la margen derecha ha sufrido una mayor erosión que el de la margen izquierda, sin que en ningún momento parezca haberse comprometido la estabilidad del tablero del puente. Las pilas han sufrido también erosiones localizadas, por lo que convendría reforzarlas mediante pilotaje. La escollera que actualmente se está colocando actualmente para reforzar la cimentación en el puente, se está ejecutando de forma errónea e ineficiente.
Necesidad de restitución	Ladera margen derecha. Necesidad alta. Cauce. Necesidad alta, por la erosión localizada que se ha producido en el entorno de las pilas. Ladera margen izquierda. Necesidad media.

Imágenes:



Figura 698. Estado del estribo de la margen derecha, visto desde aguas arriba.



Figura 699. Estado del estribo de la margen derecha, visto desde aguas abajo.



Figura 700. Vista general del puente, mirando desde aguas arriba hacia aguas abajo.



Figura 701. Actuación para la protección del estribo izquierdo tras la DANA.



Figura 702. Detalle estado de la margen izquierda, inmediatamente aguas arriba del puente.

HO- 5780/6430

Descripción tramo	Barranco de Horteta, inmediatamente aguas arriba de la autovía AP-7 (E-15).
Coordenadas UTM (X;Y)	(712687;4367359)
Localización	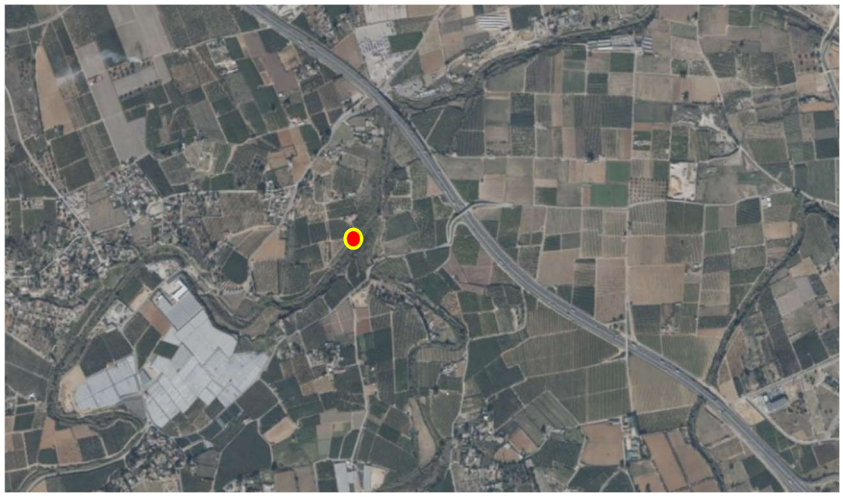
Detalle de planta con secciones	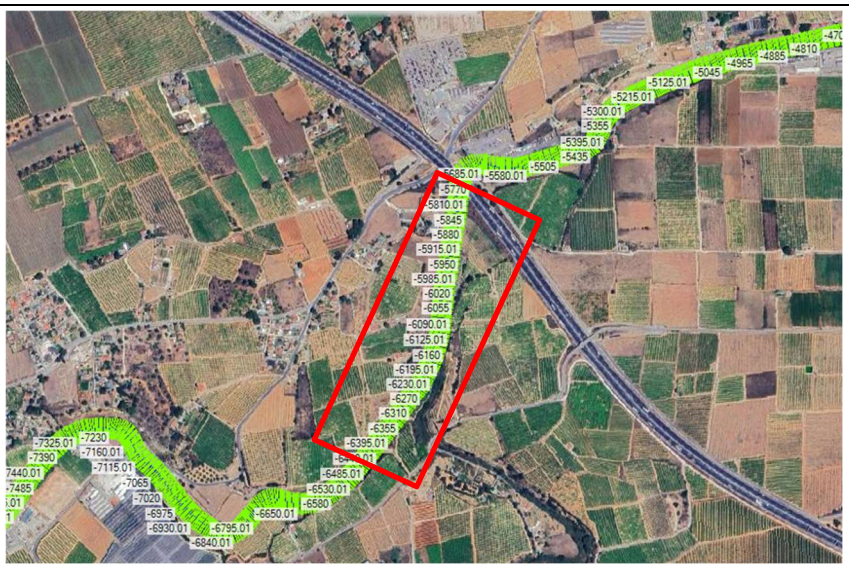
Planta con daños (girada 90º)	

Descripción de daños	De forma generalizada, se trata de un tramo que ha sufrido importantes erosiones en ambas márgenes, aunque al tratarse de una zona poco urbanizada apenas ha afectado a viviendas. En su tramo más alto, aguas arriba, la erosión en ambas márgenes ha sido relevante, siendo algo superior por la margen derecha, en la que algunos taludes han quedado prácticamente verticales, con riesgo de inestabilidad. Más hacia aguas abajo, se identifican algunos depósitos de sedimentos finos en el talud izquierdo, seguramente influenciados por la reducción de velocidad generada por el puente de la AP-7. El cauce presenta en general erosiones en todo el tramo, que han dado lugar a algunas pozas en el interior del lecho. También pueden identificarse algunos depósitos localizados de gravas gruesas y bolos arrastrados por la crecida, especialmente en las zonas medias y altas del tramo.
Necesidad de restitución	Ladera margen derecha. Necesidad media. Cauce. Necesidad baja. Ladera margen izquierda. Necesidad baja.

Imágenes:



Figura 703. Detalle estado de la margen derecha, en la zona baja del tramo.



Figura 704. Daños en la margen izquierda en la parte baja del tramo, inmediatamente aguas arriba de la autovía AP-7.



Figura 705. Vista desde el interior del cauce en la zona baja del tramo, mirando desde aguas abajo hacia aguas arriba.



Figura 706. Vista del tramo desde la margen izquierda, mirando desde aguas abajo hacia aguas arriba.



Figura 707. Margen derecha en mitad del tramo, mirando hacia aguas abajo. Se pueden apreciar los depósitos en el cauce y las socavaciones en la margen derecha.



Figura 708. Margen izquierda al inicio del tramo (aguas arriba), mirando hacia aguas abajo.



Figura 709. Erosión y desprendimientos en el talud de la margen derecha, en la zona de aguas arriba del tramo.

HO- 6430/6785

Descripción tramo	Bco de Horteta aguas abajo de la salida del meandro
Coordenadas UTM (X;Y)	(712390;4366767)
Localización	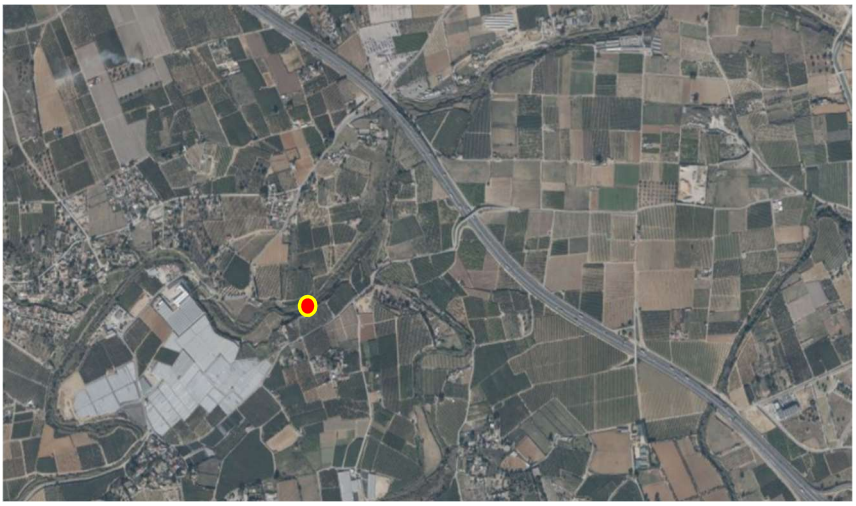
Detalle de planta con secciones	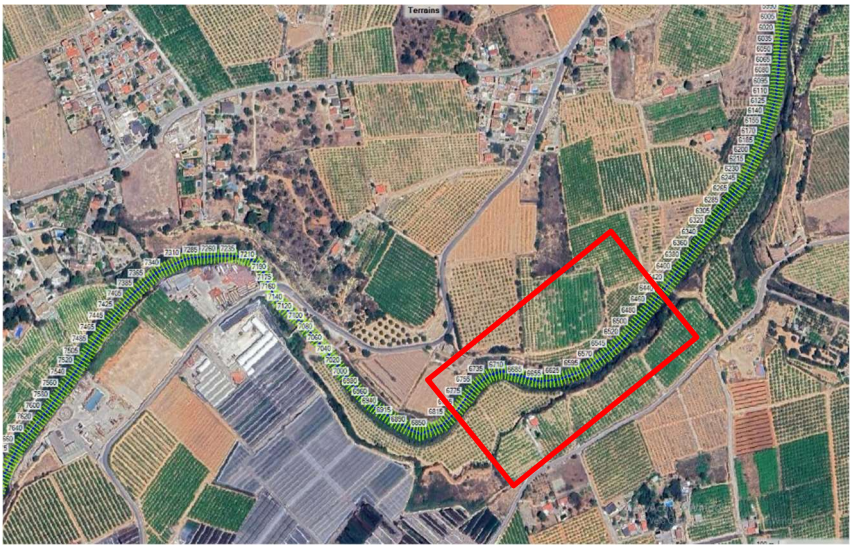
Planta con daños	

Descripción de daños	Se trata de un tramo en el que se produjo una gran concentración de energía durante la DANA, al embocar de nuevo hacia el barranco el flujo desbordado desde el meandro. Se constatan importantes daños en ambas márgenes, aunque como se trata de una zona rural, no ha habido daños sobre bienes o personas, a excepción de una edificación a medio construir en la margen izquierda. Las laderas de la margen derecha han quedado con taludes casi verticales, que pueden presentar inestabilidad en próximas crecidas. En la margen izquierda el talud resulta algo más tendido, pero también puede presentar riesgo de inestabilidad. El sustrato rocoso ha quedado al descubierto en ambas márgenes, colaborando a dotar a los taludes de una cierta estabilidad adicional, a pesar de su verticalidad. Los depósitos en el cauce son generalizados, con bolos y piedras de tamaño relevante a principio del tramo, y con grava gruesa a mitad del tramo y hacia aguas abajo, según el flujo se iba acelerando al incorporarse al barranco.
Necesidad de restitución	Ladera margen derecha. Necesidad media. Cauce. Necesidad media. Ladera margen izquierda. Necesidad media.

Imágenes:



Figura 710. Inicio del tramo desde aguas abajo, mirando hacia aguas abajo desde la margen izquierda. Puede apreciarse la importante erosión en la margen derecha.



Figura 711. Inicio del tramo desde aguas abajo, mirando hacia aguas arriba desde la margen izquierda.



Figura 712. Detalle de la erosión en margen izquierda en la parte baja del tramo.



Figura 713. Vista Detalle de la erosión en margen izquierda en la parte baja del tramo.



Figura 714. Vista desde la margen derecha en el exterior del meandro, mirando hacia aguas abajo del tramo.



Figura 715. Vista desde el interior del cauce en el arranque del tramo (aguas arriba), mirando hacia aguas abajo. Pueden apreciarse los desperfectos en ambas laderas, especialmente en la margen derecha, así como el gran volumen de piedras en el interior del cauce.



Figura 716. Vista desde la ladera izquierda mirando hacia aguas arriba. Parte alta del tramo.



Figura 717. Daños en edificación y socavaciones en la izquierda. Zona alta del tramo.

HO- 6785/6980

Descripción tramo	Bco de Horteta en la salida del meandro
Coordenadas UTM (X;Y)	(712163;4366672)
Localización	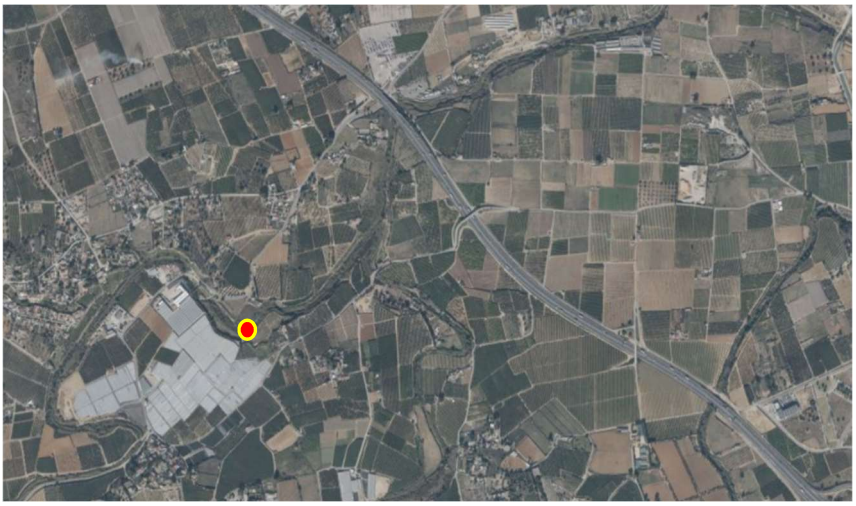
Detalle de planta con secciones	
Planta con daños	

Descripción de daños	La corta fluvial que se produjo en el meandro, tuvo como consecuencia que el flujo circulase en esta zona en diferentes direcciones, generando daños importantes en ambas laderas y el cauce. El cauce amplió su sección de forma considerable, especialmente a la salida del meandro, en el que el barranco está evolucionando geomorfológicamente hacia la creación de una corta fluvial a través del mismo. En cualquier caso, el terreno erosionado por la evolución de esa corta fluvial en la zona de los invernaderos, ya está siendo rellenado por los propietarios de esas parcelas. En el interior del barranco hay depósitos de origen variado, tanto natural como antrópico, y tanto grueso como fino. En general, los sedimentos finos han tendido a depositarse hacia la margen izquierda, mientras que los depósitos gruesos predominan hacia la margen derecha y la parte central del cauce.
Necesidad de restitución	Ladera margen derecha. Necesidad media. Cauce. Necesidad media. Ladera margen izquierda. Necesidad media.

Imágenes:



Figura 718. Depósitos arenosos en la margen izquierda, en la zona de aguas abajo del tramo. Vista desde el interior del cauce, mirando hacia la margen derecha.



Figura 719. Detalle de daños en la margen derecha y depósitos en el cauce, al inicio del tramo. Vista desde el interior del cauce.



Figura 720. Daños en la margen derecha y depósitos en el cauce, en la parte baja del tramo (aguas abajo). Vista desde la margen izquierda mirando hacia aguas arriba.



Figura 721. Vista desde la margen derecha en el exterior del meandro, mirando hacia el oeste. Puede verse como la zona erosionada en la zona de invernaderos, está siendo rellenada.



Figura 722. Vista desde la margen derecha en el exterior del meandro, mirando hacia aguas arriba. Como referencia, se señala el arco del acueducto que ha quedado semi destruido.

HO- 6980/7090

Descripción tramo	Tramo entre el acueducto dels Arcs Baix y la salida del meandro de Horteta.
Coordenadas UTM (X;Y)	(712018;4366791)
Localización	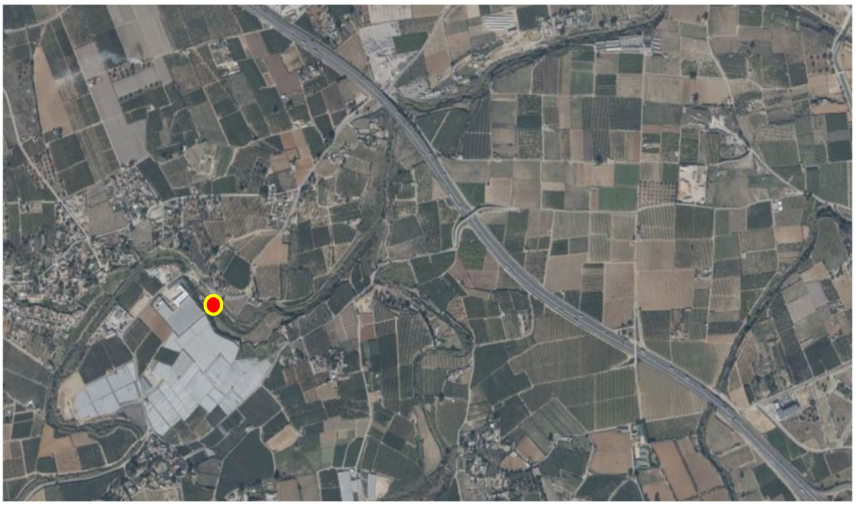
Detalle de planta con secciones	
Planta con daños	

Descripción de daños	Los daños en laderas en este tramo resultan limitadas, seguramente debido a que una parte importante de la crecida circuló a través de la corta fluvial que se está generando en el meandro, liberando a este tramo de un importante caudal. La margen derecha presenta ciertas erosiones en el linde con los invernaderos que han quedado en pie, que no parecen presentar riesgo de inestabilidad en tiempo seco. El talud izquierdo, de menor altura, ha sufrido algunas erosiones localizadas, aunque la proximidad de estratos rocosos competentes ha impedido que la erosión evolucione a más. El cauce presenta sedimentos de tamaño medio, con presencia de gravas gruesas y finos. Convendría retirarlos por la proximidad de la carretera a Calicanto, que presumiblemente ahora se inundará con mayor facilidad debido a ese relleno de depósitos en el lecho.
Necesidad de restitución	Ladera margen derecha. Necesidad baja. Cauce. Necesidad media. Además, se recomienda restituir el acueducto como elemento patrimonial de valor histórico, por lo que convendría adecuar la circulación del flujo en el cauce a tal efecto. Ladera margen izquierda. Necesidad media, por la proximidad de la carretera a Calicanto.

Imágenes:



Figura 723. Depósitos arenosos en la margen izquierda. Zona baja del tramo, mirando hacia aguas abajo.



Figura 724. Erosión en la margen izquierda, mirando hacia aguas abajo. Tramo bajo.



Figura 725. Depósitos en el interior del cauce, mirando desde la margen izquierda hacia la derecha. Tramo medio.



Figura 726. Erosión en la margen derecha, inmediatamente aguas arriba del arco que ha quedado en pie. Pueden apreciarse también los depósitos en el cauce.



Figura 727. Detalle de erosión en la margen derecha, en la zona de invernaderos. Tramo medio.



Figura 728. Detalle de erosión en la margen derecha, en la zona de invernaderos. Tramo alto.



Figura 729. Detalle de depósitos arenosos en el interior del cauce, mirando hacia aguas arriba en la parte media del tramo.



Figura 730. Detalle de depósitos en el interior del cauce, mirando hacia aguas arriba en la parte alta del tramo.



Figura 731. Vista desde el acueducto, mirando hacia aguas abajo. Se puede apreciar los escombros en el interior del cauce en la parte alta del tramo.

HO- 7090/7165

Descripción tramo	Desde el cruce con la carretera a Calicanto, hasta el acueducto dels Arcs Baix.
Coordenadas UTM (X;Y)	(711970;4366836)
Localización	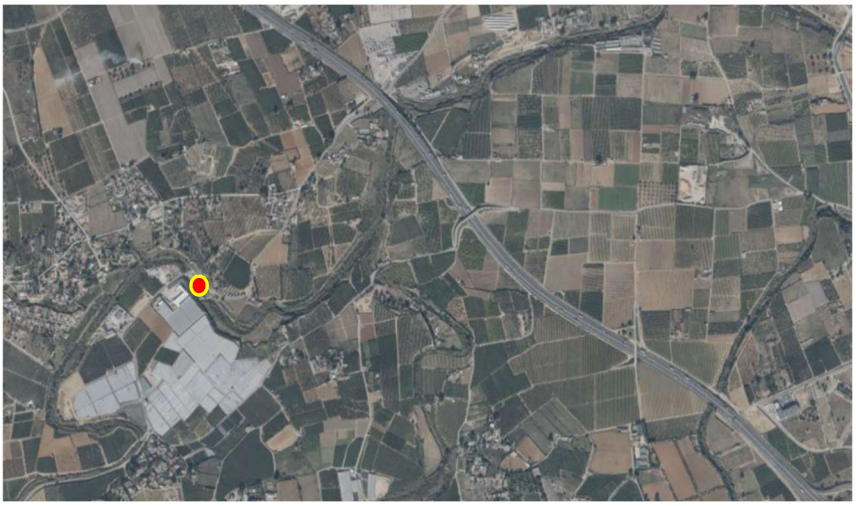
Detalle de planta con secciones	
Planta con daños	

Descripción de daños	Se trata de un tramo de corto recorrido, en el que los daños se han centrado en dos infraestructuras lineales; el cruce con la carretera a Calicanto, en el que han quedado cegados casi todos sus marcos, y el acueducto dels Arcs Baix, que ha quedado destruido casi por completo. La ladera en la margen derecha se ha visto puntualmente afectada por la crecida, presentado socavaciones localizadas. En la margen derecha sí se han producido erosiones importantes que han arrastrado la escollera de protección de la carretera, cuyo arcén ha quedado parcialmente en voladizo. El lecho presenta un volumen relevante de escombros, procedentes en parte del mismo acueducto derruido, y de sedimentos, gran parte de los cuales han quedado atrapados aguas arriba del badén de la carretera a Calicanto.
Necesidad de restitución	Ladera margen derecha. Necesidad baja. Cauce. Necesidad alta, por la proximidad de la carretera, que se verá más afectada ante futuras inundaciones por el ascenso de nivel en el lecho. Ladera margen izquierda. Necesidad alta, por la proximidad de la carretera.

Imágenes:



Figura 732. Vista de la parte baja del tramo, mirando hacia aguas abajo. Se puede apreciar los escombros en el interior del cauce y la parte del acueducto que ha quedado en pie.



Figura 733. Detalle del tramo de acueducto que ha quedado en pie y arrastres de vegetación que han quedado enganchados en él.



Figura 734. Vista desde la margen derecha hacia aguas abajo.



Figura 735. Erosión en margen izquierda en la parte baja del tramo. En primer plano, restos del acueducto.



Figura 736. Detalle de daños en la margen izquierda, vista hacia aguas abajo.



Figura 737. Daños en la margen izquierda. Vista desde el interior del cauce hacia aguas arriba.



Figura 738. Daños en la margen derecha, inmediatamente aguas abajo del cruce con la carretera a Calicanto.



Figura 739. Cruce con la carretera a Calicanto, vista desde aguas abajo en la margen izquierda.



Figura 740. Depósitos de bolos y gravas aguas arriba del badén del cruce de la carretera a Calicanto con Horteta, que han producido la obstrucción casi completa de los vanos. Vista desde aguas arriba.



Figura 741. Detalle de los vanos cegados. Badén en la carretera a Calicanto.



Figura 742. Depósitos de arena en la margen derecha, inmediatamente aguas arriba del badén. Vista hacia aguas abajo.

HO- 7165/7240

Descripción tramo	Tramo en curva inmediatamente aguas arriba de la carretera a Calicanto.
Coordenadas UTM (X;Y)	(711861;4366920)
Localización	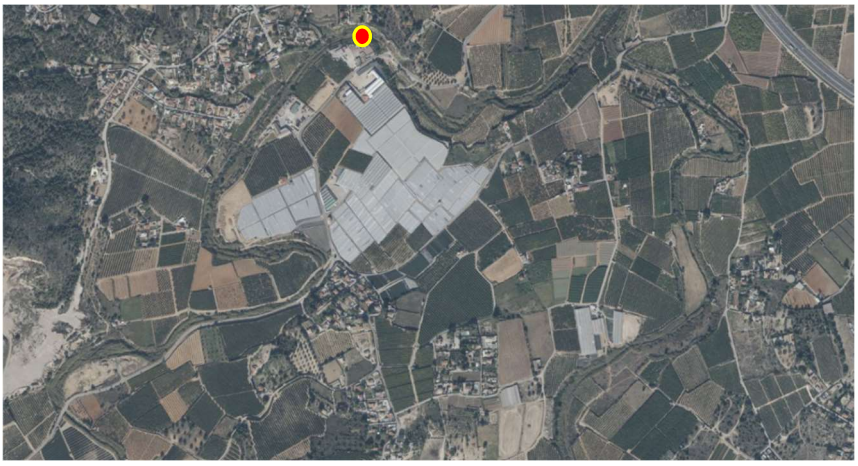
Detalle de planta con secciones	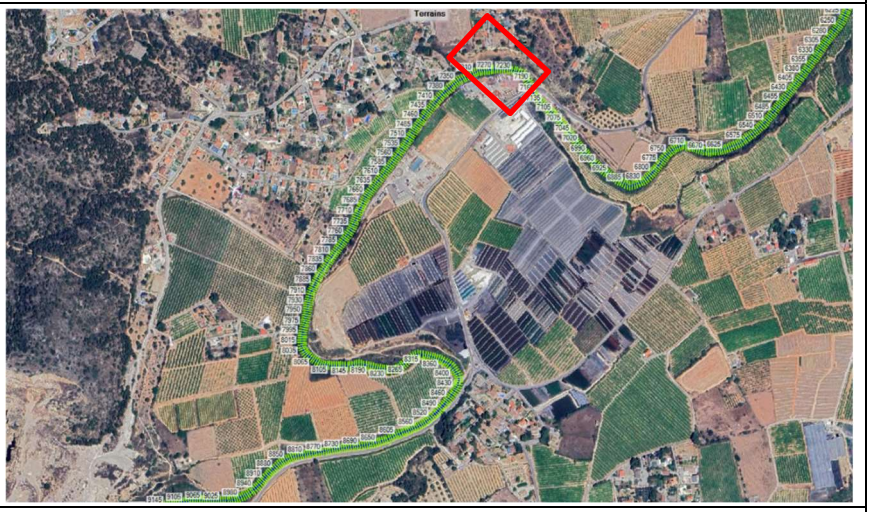
Planta con daños	

Descripción de daños	En este giro en planta de casi 90 grados, el flujo ha erosionado la parte exterior del talud por la margen izquierda, pero con una intensidad moderada que no ha generado grandes socavaciones. La ladera de la margen derecha apenas se ha visto afectada. Hay un muro continuo de ladrillo apoyado sobre un bancal de mampostería que apenas se ha visto afectado, aunque presenta pequeños descalces en diferentes puntos de su cimentación, lo que indica una escasa velocidad del flujo en esa margen. También es representativo de un escaso nivel del agua sobre la plataforma del meandro en este tramo, ya que en caso contrario la presión habría tumbado ese muro de escasa inercia transversal. El cauce se ha comportado de forma diferente en la parte exterior o interior del meandro. En el exterior se ha generado un curso de aguas bajas, socavado en el pie del talud izquierdo, que evidencia cuál será la evolución del barranco en crecidas venideras. Por el contrario, en las proximidades de la margen derecha se ha depositado un importante volumen de depósitos de sedimentos, de naturaleza arenosa y arcillosa. Dicha granulometría fina resulta indicativa de la escasa velocidad del flujo en esa zona interior del meandro.
Necesidad de restitución	Ladera margen derecha. Necesidad baja. Cauce. Necesidad alta. Ladera margen izquierda. Necesidad baja.

Imágenes:



Figura 743. Vista del inicio del tramo (tramo bajo) mirando hacia aguas abajo, inmediatamente antes del cruce con la carretera de Calicanto. Se aprecian los depósitos en la margen derecha.



Figura 744. Vista panorámica de la margen derecha, desde la margen izquierda. En ella puede apreciarse como los depósitos se han concentrado en esa margen derecha y que su talud apenas ha sufrido desperfectos.



Figura 745. Vista desde la curva del barranco mirando hacia aguas arriba, desde la margen izquierda. Puede apreciarse cómo en la ladera izquierda se ha concentrado la erosión en este tramo, socavando su parte más baja y arrastrando los geotextiles que evitaban la proliferación de carrizo. También puede verse cómo el cauce de aguas bajas, por el que aún circulaba agua en el momento de la imagen, ha tendido a socavar hacia dicha margen izquierda.



Figura 746. Fotografía tomada desde la misma posición de la imagen anterior, unas semanas después, para identificar con mayor claridad la geometría del surco que ha dejado la crecida en las proximidades de la margen izquierda.



Figura 747. Detalle de los depósitos en el interior del cauce, junto a la margen derecha.



Figura 748. Imagen mirando hacia aguas arriba, que muestra la inclinación del talud de sedimentos que se han depositado en la margen derecha del cauce. También puede apreciarse que el muro de mampostería sobre el que apoya el cerramiento de la margen derecha, está casi descalzado.



Figura 749. Detalle de erosiones en la margen izquierda, en la zona exterior del meandro.

HO- 7240/7660

Descripción tramo	Tramo recto al norte del meandro de Horteta.
Coordenadas UTM (X;Y)	(711715;4366835)
Localización	
Detalle de planta con secciones	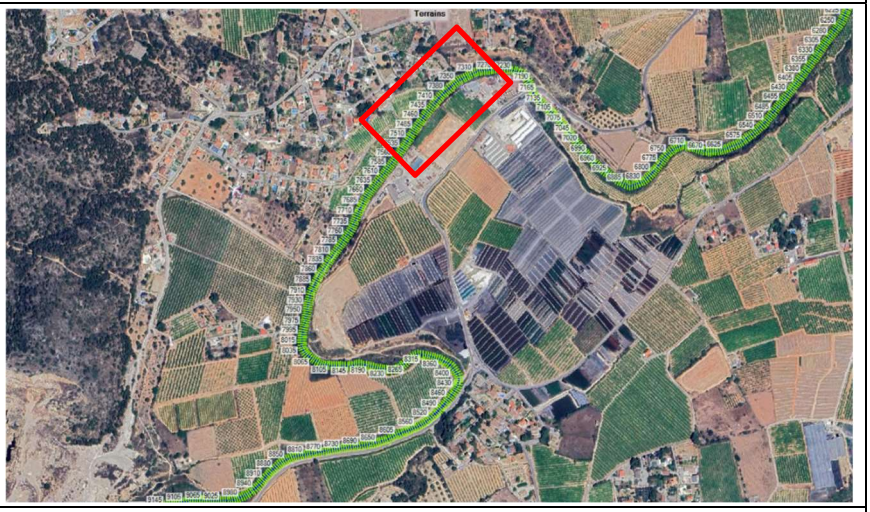
Planta con daños	

Descripción de daños	Por la margen izquierda los daños resultan limitados. En el tramo más alto apenas se ha generado erosión e incluso se ha conservado la cubierta vegetal del talud, consecuencia seguramente del trazado rectilíneo del tramo. En el tramo más bajo, se han ocasionado socavaciones en la parte inferior del talud, debido al brusco meandro a derechas que se genera en planta. En la margen derecha las laderas apenas han sufrido socavaciones, seguramente como consecuencia de que la velocidad en este tramo de cauce no llegó a ser muy elevada, porque gran parte del caudal circuló atravesando el interior del meandro. Sí se detectan daños en muros y naves, relacionados con el empuje y presión del agua por el nivel alcanzado. El interior del cauce presenta depósitos generalizados de gravas y sedimentos de tamaño fino, de nuevo indicativos de que el flujo en esta zona no alcanzó velocidades elevadas. Resulta evidente la dificultad que tiene el agua para circular por el interior del meandro, y sus depósitos evidencian una evolución geomorfológica del mismo hacia la generación de una corta fluvial.
Necesidad de restitución	Ladera margen derecha. Necesidad baja. Cauce. Necesidad media. Ladera margen izquierda. Necesidad baja.

Imágenes:



Figura 750. Vista del inicio del tramo (tramo bajo) mirando hacia aguas arriba desde la margen izquierda. Se pueden apreciar los depósitos en el interior del cauce, de granulometría fina.



Figura 751. Vista a mitad del tramo mirando hacia aguas arriba.



Figura 752. Vista a mitad del tramo mirando hacia aguas abajo.



Figura 753. Vista de daños en la margen derecha a mitad del tramo.



Figura 754. Vista panorámica de la margen derecha a lo largo de todo el tramo. Se pueden identificar también los depósitos en el cauce.



Figura 755. Imagen con el mismo recorrido mostrado en la imagen anterior, pero visto desde el interior del cauce, desde aguas abajo hacia aguas arriba. En esta fotografía puede apreciarse con mayor detalle el volumen de sedimentos depositados en el lecho, y la mayor erosión en la margen izquierda que en la derecha.



Figura 756. Vista de la parte alta del tramo, mirando hacia aguas arriba.

HO- 7660/8075

Descripción tramo	Zona suroeste del meandro de Horteta.
Coordenadas UTM (X;Y)	(711489;4366485)
Localización	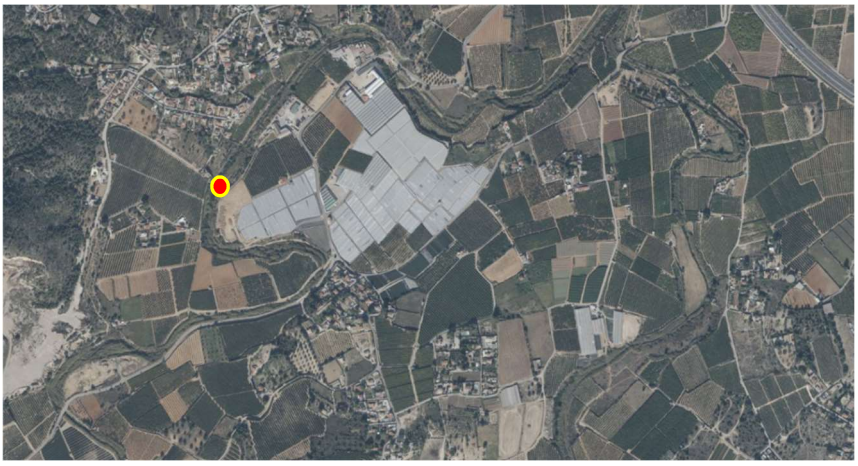
Detalle de planta con secciones	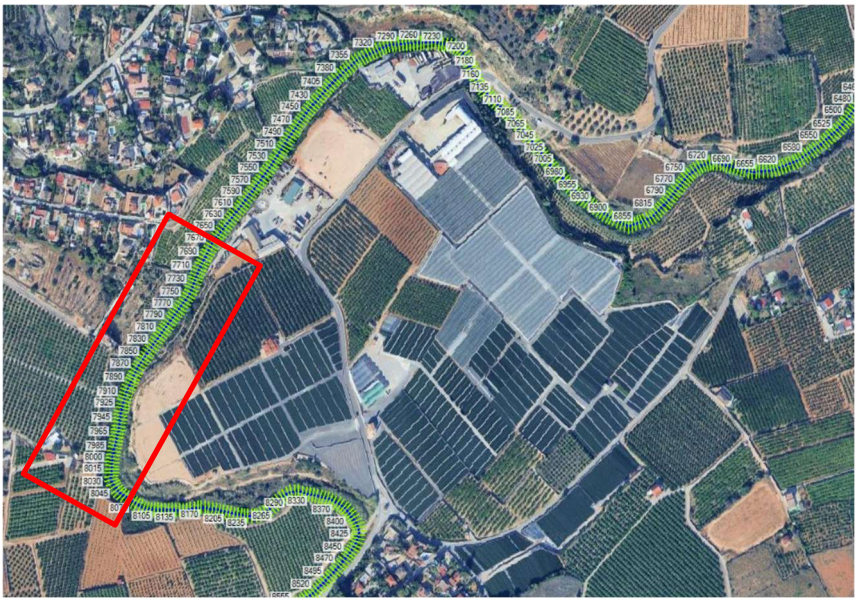
Planta con daños	

Descripción de daños	Este tramo presenta un fuerte meandro hacia la derecha en planta, por lo que se han producido importantes erosiones en la margen izquierda. Éstas no presentan inestabilidad aparente, debido a la presencia de estratos competentes en dicha margen, y a que se ha conservado gran parte de la cubierta vegetal. Por la margen derecha las erosiones han sido generalizadas, presentando numerosas socavaciones que han ensanchado el cauce. Esto podría no tener sentido geomorfológico por situarse en la parte interior del meandro, pero como el flujo ha anegado de forma extensiva el interior del meandro, se han producido vertidos por el talud derecho en forma de cascada, que han contribuido a erosionarlo. Los materiales de relleno poco consistentes en la zona de invernaderos, han favorecido dicha erosión por la margen derecha. En el cauce la casuística es amplia. Se pueden identificar de forma independiente zonas de depósitos de sedimentos finos, de gravas y de bolos, según tramos. También hay áreas erosionadas que han dejado al descubierto el lecho rocoso. Estas variaciones son indicativas de las diferentes velocidades y sentido de las corrientes locales durante la crecida en el interior del meandro. Cabe indicar que el ensanchamiento del cauce generado en este tramo, ya se ha corregido, debido a que la zona de invernaderos ha vuelto a reperfilar la ladera derecha mediante rellenos en las zonas erosionadas.
Necesidad de restitución	Ladera margen derecha. Necesidad baja, por la escasa altura del talud. Cauce. Necesidad media, por los rellenos que reducen la capacidad hidráulica. Ladera margen izquierda. Necesidad baja.

Imágenes:



Figura 757. Vista del inicio del tramo (tramo bajo) mirando hacia aguas abajo. Se puede apreciar la erosión en la margen derecha, donde se encontraba la zona de invernaderos.



Figura 758. Erosión en la margen izquierda, mirando hacia aguas abajo en la parte baja del tramo.



Figura 759. Vista desde el interior del cauce, mirando hacia aguas arriba a mitad del tramo. Se puede apreciar a erosión en la margen derecha, y la conservación de vegetación de la margen izquierda.



Figura 760. Detalle de erosión en la margen derecha, mirando hacia aguas abajo a mitad del tramo.



Figura 761. Vista desde el interior del cauce cerca de la imagen anterior, mirando desde aguas arriba hacia aguas abajo.



Figura 762. Detalle de erosión en la margen derecha, mirando hacia aguas arriba a mitad del tramo.



Figura 763. Erosión local en la margen izquierda y depósitos en el lecho; vista desde el interior del cauce. Se puede apreciar la existencia de un cauce de aguas bajas junto al talud izquierdo.



Figura 764. Vista panorámica de la margen izquierda en alguna de las zonas en las que se identifican erosiones localizadas en el talud.



Figura 765. Vista del talud erosionado en la margen derecha, en la zona de invernaderos.



Figura 766. Vista al inicio del tramo (aguas arriba), mirando hacia aguas arriba.

HO- 8075/8370

Descripción tramo	Tramo inmediatamente aguas abajo de la entrada en el meandro de Horteta.
Coordenadas UTM (X;Y)	(711593;4366286)
Localización	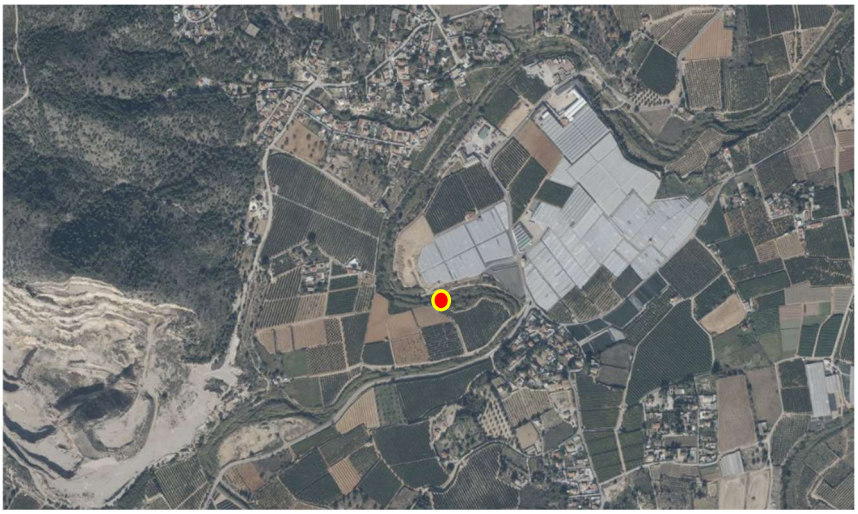
Detalle de planta con secciones	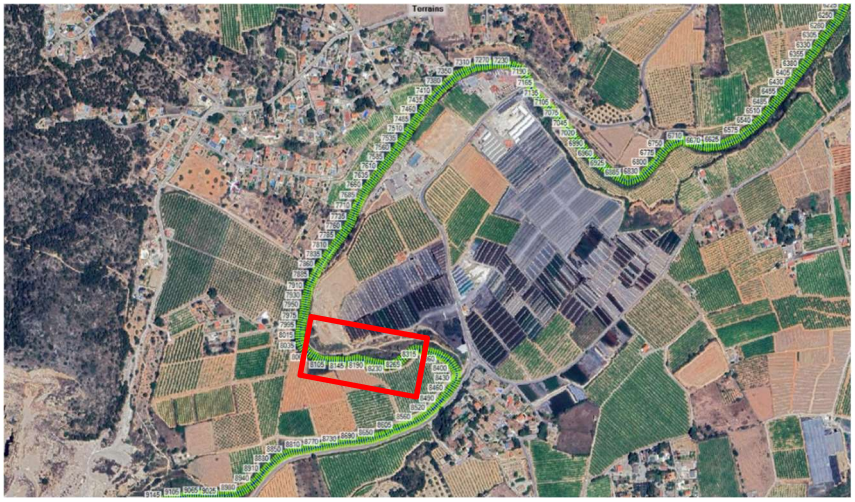
Planta con daños	

Descripción de daños	En este tramo del Barranco de Horteta no circuló el grueso de la crecida, debido a que vertió sobre la superficie del meandro en dirección noroeste, y buscando una corta fluvial en dirección este. Eso ha provocado que los mayores daños se concentren en la margen derecha, a pesar del giro en planta del cauce, que en principio podría hacer prever lo contrario. En la margen izquierda se percibe una escasa erosión, habiéndose incluso conservado gran parte de la cubierta vegetal. Por la margen derecha el talud de la zona de invernaderos se ha visto afectado por las erosiones generadas por los vertidos desde la meseta anegada en el interior del meandro, ampliándose la anchura del barranco. El interior del cauce presenta dos tramos diferenciados; hacia aguas arriba se identifica la presencia de bolos de tamaño medio y gravas gruesas, seguramente depositados tras la pérdida de energía del agua en la entrada del meandro, mientras que aguas abajo predominan zonas de erosión muy pronunciada, seguramente consecuencia de la aceleración del flujo vertido desde la margen derecha del meandro.
Necesidad de restitución	Ladera margen derecha. Necesidad baja. Cauce. Necesidad media, ya que convendría regularizar el perfil longitudinal. Ladera margen izquierda. Necesidad baja.

Imágenes:



Figura 767. Vista del tramo bajo del cauce, mirando desde aguas arriba hacia aguas abajo.



Figura 768. Detalle de la imagen anterior, en la que puede apreciarse la profundidad de las pozas y la fuerte erosión en el lecho del cauce.



Figura 769. Vista del tramo alto del cauce, en el que pueden verse depósitos de tamaño medio, y que la vegetación de la margen izquierda se ha conservado.



Figura 770. Detalle de la imagen anterior desde el interior del cauce, hacia aguas arriba. Puede apreciarse cómo en el momento de tomar la fotografía, ya que se estaba rellenando la margen derecha.



Figura 771. Vista panorámica de tramo, mirando desde la margen derecha hacia la margen izquierda. En la imagen puede apreciarse cómo a mitad del tramo, en el lecho del cauce comienza a erosionarse una gran poza, que se prolonga hacia aguas abajo.



Figura 772. Vista de la margen derecha desde el interior del cauce, en su tramo alto.



Figura 773. Trabajos de relleno de la margen derecha en junio de 2025. Vista hacia aguas abajo.



Figura 774. Trabajos de relleno de la margen derecha. Vista desde el inicio del meandro.



Figura 775. Resultado final de la nueva margen derecha tras rellenarse parte de la sección que el barranco había abierto tras la DANA. Vista hacia aguas arriba.

HO- 8370/8490

Descripción tramo	Tramo inmediatamente aguas arriba de la entrada en el meandro de Horteta.
Coordenadas UTM (X;Y)	(711768;4366274)
Localización	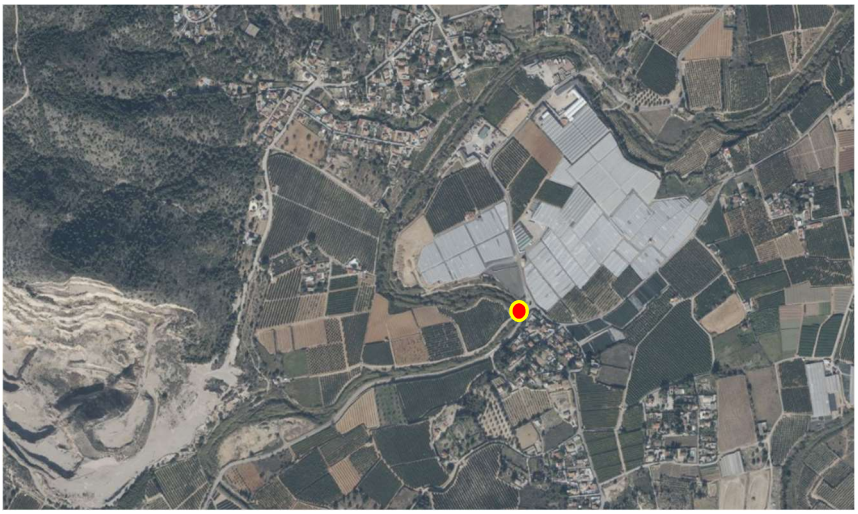
Detalle de planta con secciones	
Planta con daños	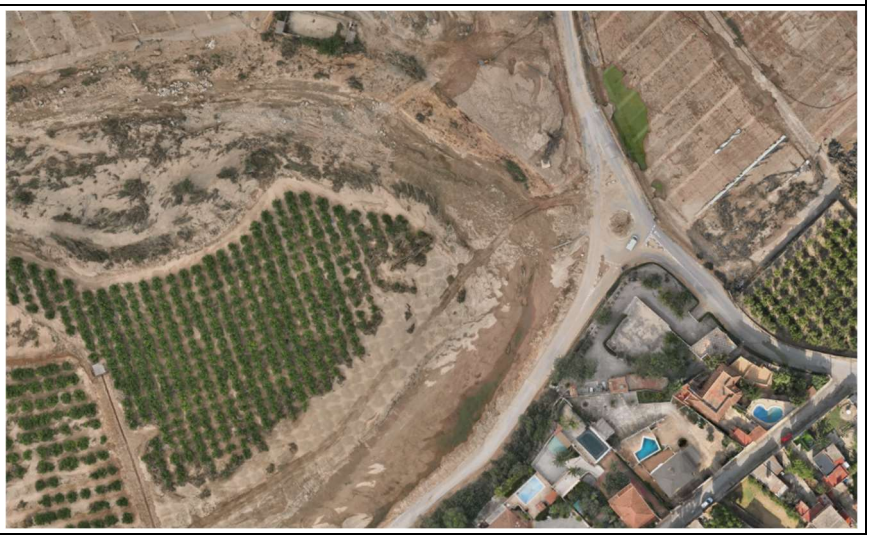

Descripción de daños	Como la capacidad hidráulica del meandro resulta muy baja, el flujo prácticamente siguió en línea recta, incorporándose a la meseta existente en el meandro y destruyendo gran parte de los invernaderos instalados en su interior. Las márgenes apenas tienen altura, lo que está relacionado con la escasa capacidad mencionada, por lo que la afección sobre ellas también ha resultado escasa. La margen derecha presenta mayor firmeza por la presencia de muros de chalets que han resistido, y como consecuencia, el flujo tendió a desplazarse hacia la margen izquierda, que ha presenta pequeñas erosiones en el talud y daños en un campo de naranjos, parcialmente arrasado. El cauce presenta sedimentos de tamaño medio y fino, consecuencia de la reducción de la velocidad de la crecida al alcanzar el meandro. Se trata de una zona geomorfológicamente activa, que seguirá evolucionando en el futuro hacia la generación natural de una corta fluvial.
Necesidad de restitución	Ladera margen derecha. Necesidad baja. Cauce. Necesidad media. Ladera margen izquierda. Necesidad baja.

Imágenes:



Figura 776. Vista desde el meandro de Horteta, mirando hacia aguas abajo. Pueden apreciarse los depósitos de granulometría media depositados en este punto.



Figura 777. Vista desde el meandro de Horteta, mirando hacia aguas arriba. La capacidad del cauce en este punto resulta muy baja, debido al aterramiento del cauce.



Figura 778. Carretera que cierra el meandro de Horteta. El flujo pasó por encima de ella buscando una corta fluvial, arrancando parte del pavimento. Se trata de un punto muy peligroso ante futuras crecidas; los vehículos podrían verse arrastrados por el flujo que les llegue transversalmente.



Figura 779. Vista panorámica del meandro de Horteta. En las flechas se indica el trazado del cauce.

HO- 8490/9015

Descripción tramo	Tramo de Horteta en paralelo a la Partida del Madroñal (carretera a Calicanto).
Coordenadas UTM (X;Y)	(711647;4366138)
Localización	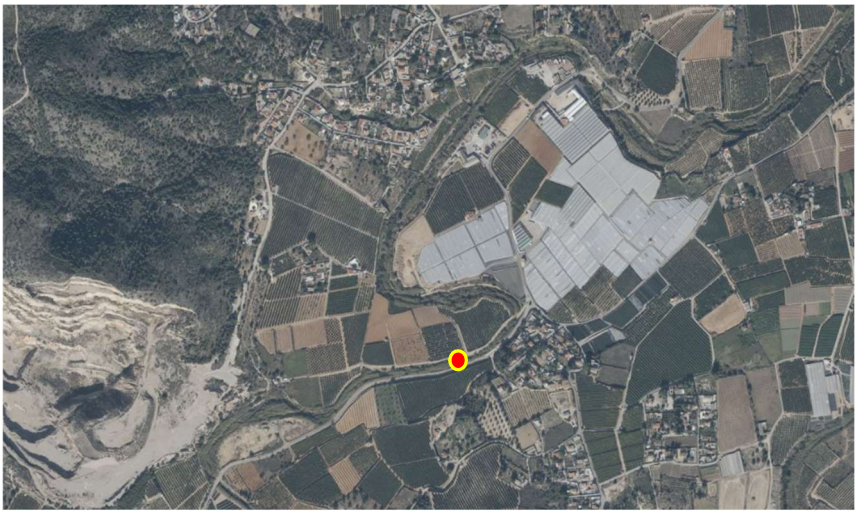
Detalle de planta con secciones	
Planta con daños	

Descripción de daños	En la margen derecha se han generado erosiones localizadas en el talud, aunque no parece haber riesgo de inestabilidad en el mismo. La aceleración del flujo en esa zona está relacionado con el incremento de velocidad del flujo sobre la carretera, por su menor rugosidad, y el ligero giro a izquierdas que presenta la planta del cauce. La margen izquierda presenta también erosión generalizada, ya que el flujo tendió a escapar en dirección norte, consecuencia de la menor altura del cajero en dicha margen izquierda. Se aprecia gran sedimentación en el interior del cauce, tal vez consecuencia de diversas crecidas acumuladas (no sólo por la DANA). Como consecuencia, este tramo se caracteriza por presentar muy escasa capacidad hidráulica. Este tramo de carretera resulta peligroso, ya que se verá rápidamente anegado cuando se produzcan crecidas relámpago, sin capacidad de escapatoria.
Necesidad de restitución	Ladera margen derecha. Necesidad alta, por la proximidad del tráfico de la carretera. Cauce. Necesidad alta, por la falta de capacidad hidráulica del cauce y proximidad de la carretera. Ladera margen izquierda. Necesidad baja.

Imágenes:



Figura 780. Vista el inicio del tramo, aguas abajo, mirando hacia el meandro de Horteta, situado también hacia aguas abajo (al fondo). Puede apreciarse la escasa profundidad que presenta el cauce, colmatado de sedimentos, respecto a la rasante de la carretera.



Figura 781. Vista en un punto ligeramente más hacia aguas arriba del anterior, en la zona media-baja del tramo, mirando hacia el meandro de Horteta, situado hacia aguas abajo. Pueden apreciarse las erosiones en ambas márgenes.



Figura 782. Detalle de erosión en la margen izquierda, en el punto anterior (zona media-baja del tramo), mirando ligeramente hacia aguas abajo.



Figura 783. Erosión en la margen izquierda, en la zona de media del tramo.



Figura 784. Depósitos en el lecho del cauce en el tramo alto, que parecen haber sido regularizados mediante maquinaria. Vista hacia aguas arriba.



Figura 785. Detalle de la erosión en los taludes de la margen derecha. Zona alta del tramo. En algunas zonas han quedado casi verticales, aunque no aparentan riesgo de inestabilidad en tiempo seco.



Figura 786. Detalle de la erosión en los taludes de la margen derecha. Zona baja del tramo.



Figura 787. Grietas en la parte superior del talud de la margen derecha, a mitad del tramo. Podrían ser debidas a grietas de tracción o el asiento de alguna tubería de riego soterrada. Convendría hacer ensayos.



Figura 788. Vista panorámica del talud de la margen derecha. Puede apreciarse como la erosión durante la crecida ha socavado la parte exterior del talud, haciendo que cuelgue la tubería perimetral del riego por goteo.



Figura 789. Vista desde aguas arriba del tramo, mirando hacia aguas abajo, en el que puede verse que en las labores de reparación de la carretera se ha rellenado parte del lecho. En este punto la carretera se separa del Barranco de Horteta.

HO- 9015/9380

Descripción tramo	Barranco de Horteta al norte de la Partida del Madroñal (carretera a Calicanto).
Coordenadas UTM (X;Y)	(711105;4365967)
Localización	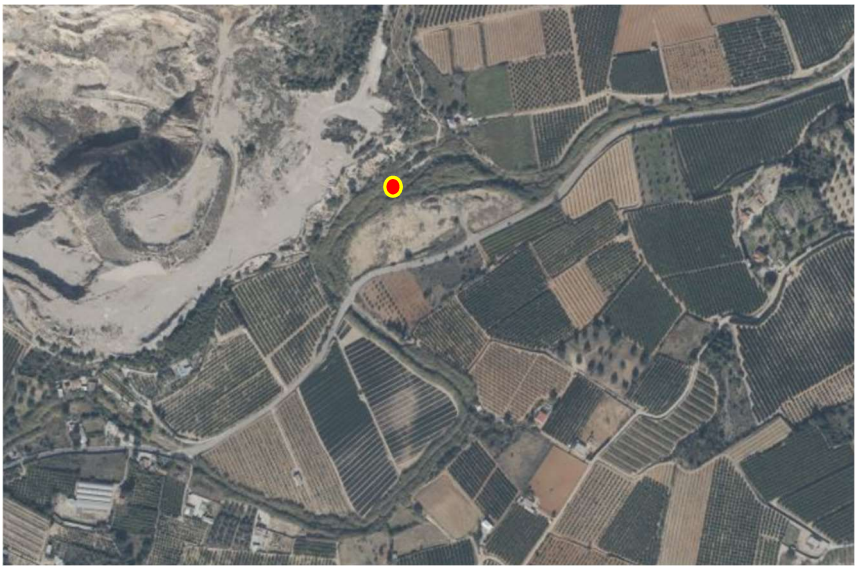
Detalle de planta con secciones	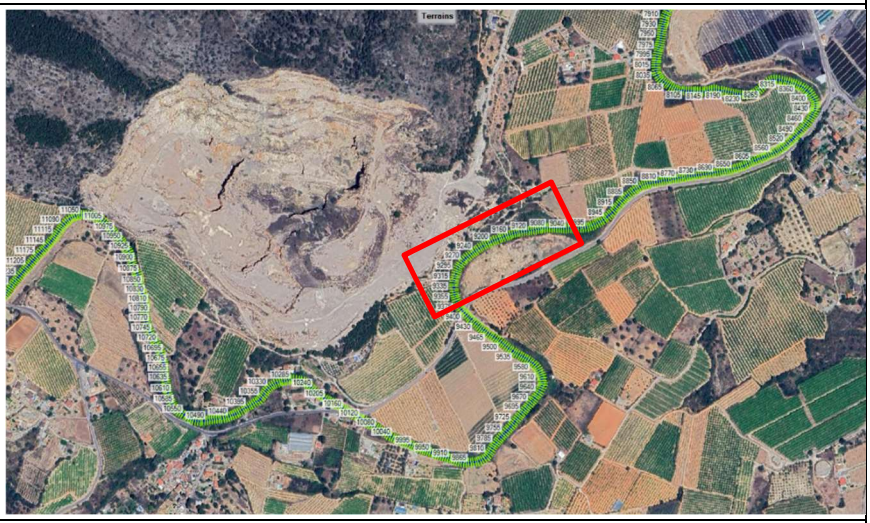
Planta con daños	

Descripción de daños	En la zona de aguas abajo, los depósitos en el lecho resultan generalizados, intercalándose zonas de sedimentos finos, con otros de granulometría gruesa, incluso bolos de piedra. En el tramo medio y alto, aunque también hay zonas de depósitos, se han identificado diversas pozas de gran tamaño que han dejado al descubierto el sustrato rocoso de naturaleza caliza. Se aprecian suelos con procesos kársticos avanzados, que hacen prever una elevada permeabilidad del cauce. Se trata, por tanto, de un tramo en el que tendrá una elevada infiltración. La margen derecha apenas se ha visto afectada en este tramo, conservando el carrizo casi por completo. Sin embargo, por la margen izquierda la erosión ha sido importante, condicionada por sentido del giro en planta del cauce en esta zona meándrica.
Necesidad de restitución	Ladera margen derecha. Necesidad baja. Cauce. Necesidad baja. Ladera margen izquierda. Necesidad baja.

Imágenes:



Figura 790. Vista general desde aguas abajo del tramo (zona más baja), cerca de donde el barranco se separa de la carretera del Madrigal, mirando hacia aguas arriba.



Figura 791. Conservación de la cubierta vegetal en la margen derecha, en la zona de baja del tramo.



Figura 792. Depósitos de grava gruesa y bolos en el interior del cauce; vista hacia aguas arriba. Se aprecia la erosión de la margen izquierda y la falta de la misma en la margen derecha.



Figura 793. Detalle de erosiones localizadas en la margen izquierda, en la zona baja del tramo.



Figura 794. Tramo medio. Pozas socavadas en el interior del cauce. Vista hacia aguas arriba.



Figura 795. Detalle en el interior de una de las pozas erosionadas en el lecho, sobre las que resulta complicado transitar.



Figura 796. Zonas de depósitos de grava gruesa y bolos, intercaladas con zonas erosionadas en el lecho. Tramo medio. Vista hacia aguas arriba.



Figura 797. Tramo alto, vista hacia aguas abajo desde la margen izquierda. Puede apreciarse los depósitos arenosos en dicha margen izquierda, y la conservación del carrizo en margen derecha.



Figura 798. Vivienda dañada en la margen derecha. Pueden apreciarse los depósitos arenosos que hay en el campo situado frente a la misma.



Figura 799. Depósitos de granulometría fina en el interior del cauce. Tramo alto. Vista hacia ag. abajo.



Figura 800. Erosiones localizadas de importancia en la margen izquierda, en la zona media-alta del tramo.



Figura 801. Inicio del tramo aguas arriba tras el cruce con la carretera, al inicio del meandro, vista desde el interior del cauce. Erosión en la margen izquierda, mirando hacia aguas abajo.



Figura 802. Detalle de los sedimentos en el cauce de aguas bajas generado en el tramo alto. Presencia de arenas y gravas de granulometría fina.



Figura 803. Escombros y piedras en el lecho del cauce y en margen derecha. Zona alta del tramo.



Figura 804. Erosión en el interior del cauce. Tramo alto, mirando hacia aguas abajo.

HO- 9380/9420

Descripción tramo	Badén situado al este, del cruce entre Horteta y la Partida del Madroñal.
Coordenadas UTM (X;Y)	(711037;4365818)
Localización	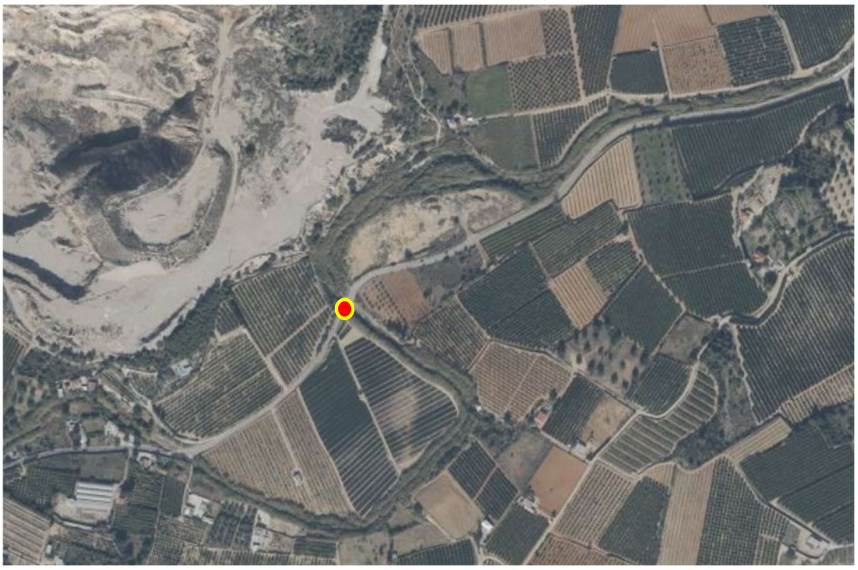
Detalle de planta con secciones	
Planta con daños	

Descripción de daños	El badén apenas ha sufrido daños, ya que su escasa capacidad hidráulica y su cegado por arrastre de vegetación hizo que el flujo pasase sobre él sin apenas ofrecer resistencia al flujo. Además, la crecida parece ser que ha tendido a circular por el exterior derecho de este cruce, generando cierta erosión en dicha margen que no requiere de reposición debido a la escasa altura del talud. Se trata de un cruce muy peligroso en situación de crecida, en el que es fácil que se puedan producir daños personales por arrastre de vehículos y personas.
Necesidad de restitución	Ladera margen derecha. Necesidad media. Cauce. Necesidad media, porque habría que limpiar el badén. En cualquier caso, se recomienda reconsiderar la existencia de este cruce de cara al futuro debido a su elevada peligrosidad. Ladera margen izquierda. Necesidad baja.

Imágenes:



Figura 805. Obstrucción del badén por vegetación y sedimentos. Vista desde aguas arriba.



Figura 806. Vista del barranco de Horteta desde aguas abajo del cruce con este badén, mirando hacia aguas arriba. Se puede apreciar la escasa elevación del mismo respecto al lecho del barranco.

HO- 9420/10090

Descripción tramo	Meandro aguas abajo de la cantera, entre los dos cruces del Barranco de Horteta con la Partida del Madroñal.
Coordenadas UTM (X;Y)	(711134;4365571)
Localización	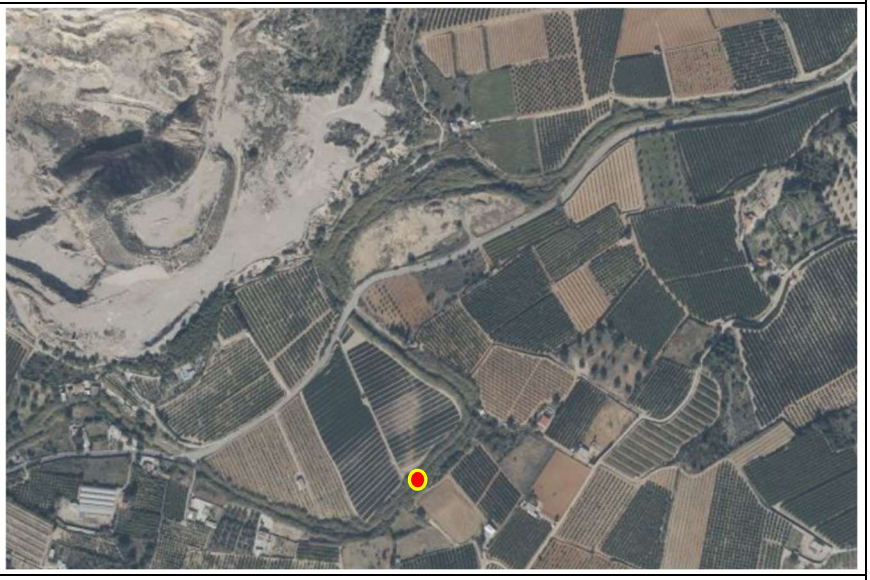
Detalle de planta con secciones	
Planta con daños	

Descripción de daños	Se trata de una zona de ocupación natural de las aguas del Barranco de Horteta, en la que el carácter meándrico del cauce, la escasa pendiente longitudinal y la falta de unas márgenes definidas, hace que el flujo ocasione una inundación masiva en este entorno. Como el interior del meandro discurre a una cota muy poco elevada respecto al lecho del cauce, las laderas resultan prácticamente inexistentes, con alturas de apenas dos metros. Por ello, el daño en las márgenes se limita a erosiones de escasa entidad; incluso se ha mantenido el carrizo, lo que indica que la velocidad del flujo no ha sido elevada. Sin embargo, las parcelas situadas en el interior del meandro presentan cárcavas de gran anchura y profundidad, indicativas que el flujo preferente atravesó esa zona interior durante la crecida. En el interior del cauce, en general se han depositados materiales finos, tamaño arena y limo, exceptuando alguna zona donde se han producido erosiones localizadas de escasa entidad. La capacidad hidráulica del cauce en esta zona resulta muy baja.
Necesidad de restitución	Ladera margen derecha. Necesidad baja. Cauce. Necesidad baja. Ladera margen izquierda. Necesidad baja.

Imágenes:



Figura 807. Parte baja del tramo, aguas arriba del cruce con la carretera, en la que predominan los depósitos de arena. Vista hacia aguas arriba.



Figura 808. Vista de la margen izquierda en la parte baja del tramo. Erosión localizada de escasa importancia.



Figura 809. Depósitos de arena en la margen derecha del tramo bajo, zona en la que el talud es casi inexistente.



Figura 810. Edificación en el interior del meandro, a mitad del tramo, sobre la que puede verse la vegetación arrastrada por la crecida.



Figura 811. Tramo medio del meandro. Vista hacia aguas abajo desde el interior del cauce.



Figura 812. Tramo medio del meandro. Depósitos de piedras arrastradas por la crecida sobre la margen izquierda. Las cañas del fondo indican el recorrido sur del meandro.



Figura 813. Tramo alto del meandro. Vista hacia aguas arriba desde el interior del cauce.



Figura 814. Erosión en el interior del meandro (en su tramo medio-alto), en la margen izquierda de Horteta. Vista hacia aguas arriba.



Figura 815. Vista panorámica de las cárcavas generadas en el interior del meandro, zona en la que la crecida ha circulado de forma preferente.



Figura 816. Zona alta del tramo, a unos 60 metros aguas arriba del cruce con la carretera; vista hacia aguas abajo. Se aprecia que el cauce en esta zona meándrica está completamente colmatado.



Figura 817. Vista en la zona alta del tramo, inmediatamente aguas arriba del segundo cruce con la carretera.

HO- 10090/10130

Descripción tramo	Badén situado al oeste, del cruce entre Horteta y la Partida del Madroñal.
Coordenadas UTM (X;Y)	(710805;4365602)
Localización	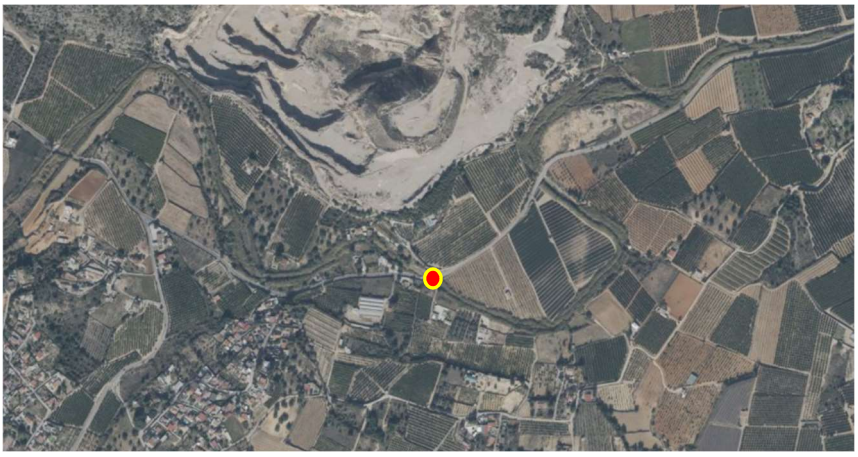
Detalle de planta con secciones	
Planta con daños	

Descripción de daños	Al igual que ocurre con el badén situado en el extremo oriental de este mismo meandro, la inundación apenas le afectó por circular por encima del mismo sin que este cruce le supusiera ningún obstáculo, al encontrarse tan bajo. La crecida atravesó la margen derecha del mismo, ya que el talud es casi inexistente. De nuevo, se trata de un cruce muy peligroso cuando el Barranco de Horteta esté trasegando un cierto caudal, por pequeño que éste sea. En este badén es fácil que se puedan producir desgracias personales por el arrastre de vehículos.
Necesidad de restitución	Ladera margen derecha. Necesidad baja. Cauce. Necesidad baja al no presentar daños, aunque al igual que ocurre con el otro badén de aguas abajo, se recomienda reconsiderar la existencia de este cruce de cara al futuro por su elevada peligrosidad. Ladera margen izquierda. Necesidad baja.

Imágenes:



Figura 818. Badén visto desde la margen derecha. Puede apreciarse la altura del talud derecho, y la inexistencia de talud por la margen derecha.



Figura 819. Badén visto desde aguas abajo, en el que puede verse la escasa elevación que presentan respecto a la solera del barranco de Horteta. Se trata, por tanto, de un cruce muy peligroso.



Figura 820. Restos de vivienda destruida en la margen derecha, lindando con este cruce entre Horteta y la carretera.

HO- 10130/10605

Descripción tramo	Barranco de Horteta en el pequeño meandro existente al sur de la cantera.
Coordenadas UTM (X;Y)	(710656;4365671)
Localización	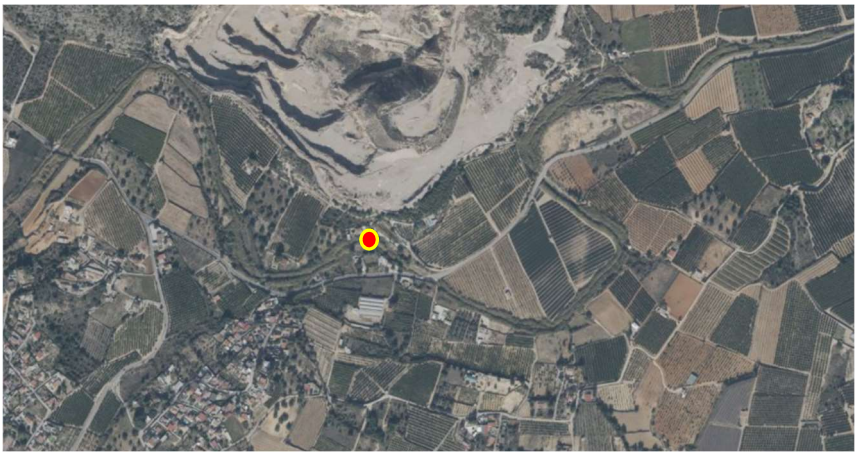
Detalle de planta con secciones	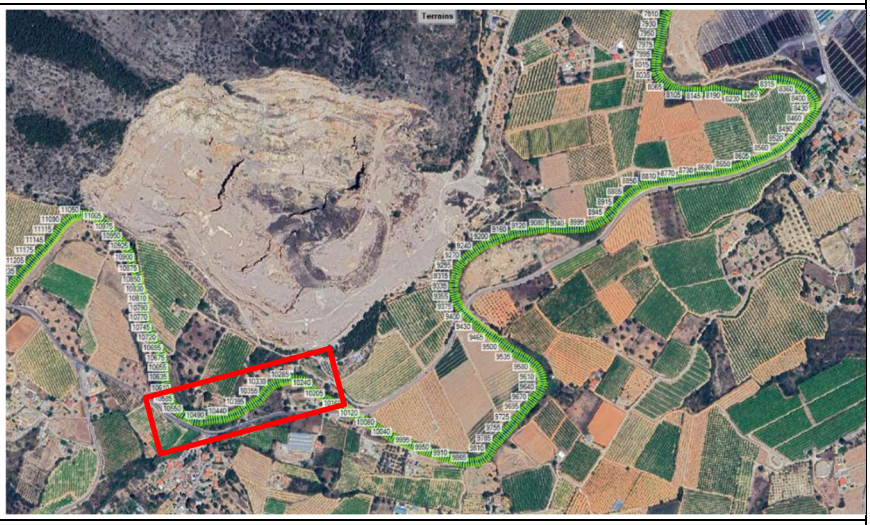
Planta con daños	

Descripción de daños	La amplitud del cauce en este tramo mantiene respecto a la zona de aguas arriba, por lo que el flujo discurre por las terrazas aluviales, ya que el cauce es prácticamente inexistente. Se han generado ligeros daños en el talud de la margen izquierda, sin que revistan gravedad aparente. La margen derecha apenas se percibe el límite del cauce, al estar ocupadas las terrazas por viviendas, campos de cultivo e incluso una carretera. Las viviendas, que prácticamente estaban lindando con el cauce de aguas bajas, han quedado muy dañadas. Las afecciones en el cauce se pueden dividir en dos zonas. Hacia aguas arriba, los depósitos son importantes, con gravas gruesas y bolos de piedra, seguramente arrastrados desde la zona de la cantera. Hacia aguas abajo predominan las socavaciones en el lecho, que incluso han dado lugar a pozas de profundidad de en torno a 2 metros.
Necesidad de restitución	Ladera margen derecha. Necesidad baja, ya que en ella la ladera resulta prácticamente inexistente. Cauce. Necesidad media. Ladera margen izquierda. Necesidad baja.

Imágenes:



Figura 821. Erosión en la margen izquierda, en la parte baja del tramo, inmediatamente aguas arriba del cruce con la carretera.



Figura 822. Daños en la margen derecha en la parte baja del tramo, inmediatamente aguas arriba del cruce con la carretera.



Figura 823. La margen izquierda no ha sufrido daños en la parte media del tramo y ha conservado su vegetación, ya que el flujo ha tendido a irse hacia la margen derecha.



Figura 824. Poza erosionada en el lecho del cauce, aguas arriba de la vivienda mostrada con anterioridad. Vista hacia aguas abajo.



Figura 825. Edificación dañada aguas arriba del punto anterior, en el que se mantienen la importante erosión del lecho.



Figura 826. Detalle de vegetación enganchada en una vivienda en la margen derecha, a mitad del tramo.



Figura 827. Erosión en la parte media del tramo. Vista hacia aguas arriba.



Figura 828. Depósitos en la parte alta del tramo, mirando hacia ag abajo en la margen izquierda.



Figura 829. Daños en vivienda en la parte media-alta del tramo, situada prácticamente dentro del cauce, hacia su margen derecha. Zona de sedimentación de bolos y rocas de tamaño medio.



Figura 830. Detalle de daños en la vivienda anterior y estado del cauce en ese punto, mirando hacia aguas arriba.



Figura 831. Zona media del tramo, en la que se ha producido un importante depósito de rocas de gran tamaño. Vista hacia aguas abajo.



Figura 832. Vista de la parte alta del tramo, mirando hacia ag abajo. Zona de depósito de rocas de tamaño medio y grande.



Figura 833. Detalle de erosión en la margen derecha, en la parte alta del tramo. En cauce presenta una gran amplitud.

HO- 10605/10965

Descripción tramo	Barranco de Horteta aguas abajo de la rotura del dique de cierre de la cantera.
Coordenadas UTM (X;Y)	(710309;4365799)
Localización	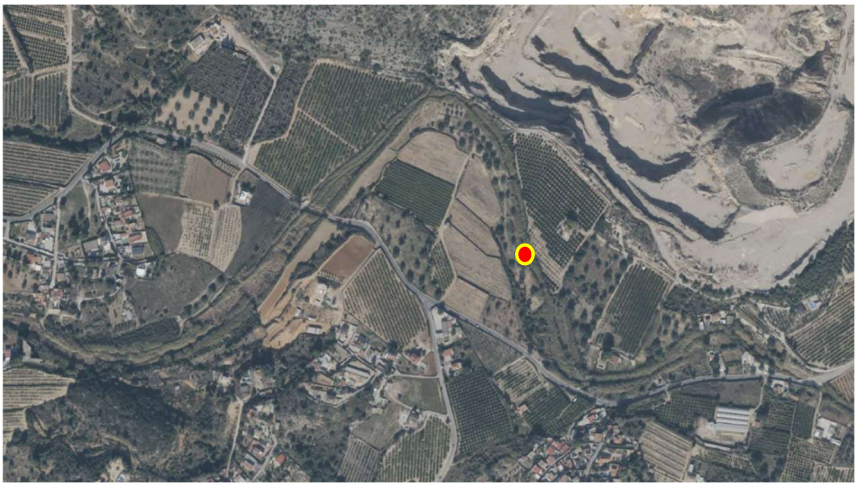
Detalle de planta con secciones	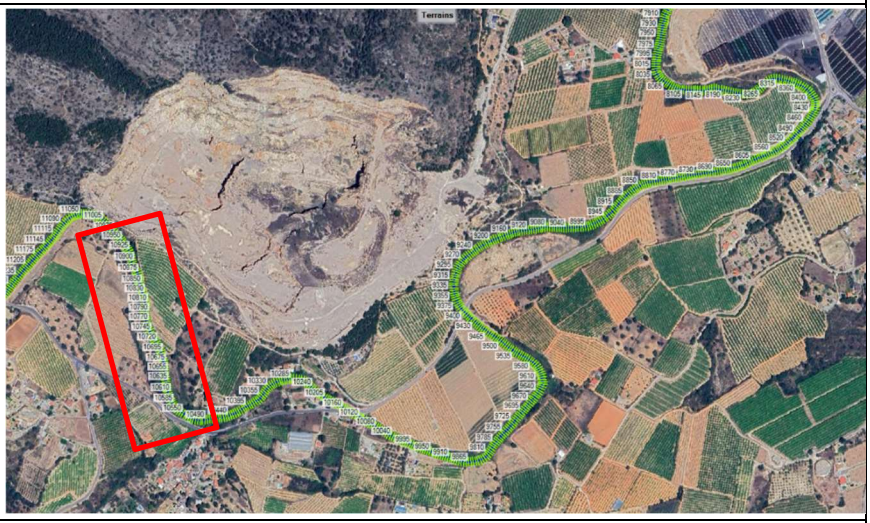
Planta con daños (girada 90º)	

Descripción de daños	Se trata de un tramo de gran amplitud, en el que el barranco de L´Horteta no presenta unos márgenes claramente definidos, exceptuando la zona más alta por la margen izquierda, por la proximidad de la montaña en la que se ubica la cantera. La erosión en la margen izquierda se limita a dicha zona de la cantera, que debido a la existencia de un camino para el paso de personas, convendría reforzar. Aunque su talud en tiempo seco no presenta riesgo de inestabilidad, la socavación sobre el mismo evolucionará en próximas crecidas. La margen derecha presenta pequeñas erosiones puntuales, descalzando ligeramente el camino existente. En esta zona se produjo una importante deposición de sedimentos de tamaño grueso y bolos de piedra, relacionada con la pérdida de energía del flujo como consecuencia del ensanchamiento del cauce.
Necesidad de restitución	Ladera margen derecha. Necesidad baja. Cauce. Necesidad media. Ladera margen izquierda. Necesidad media.

Imágenes:



Figura 834. Margen derecha en la parte baja del tramo, mirando hacia ag arriba.



Figura 835. Vista a mitad del tramo, mirando hacia ag arriba.



Figura 836. Vista a mitad del tramo, mirando hacia ag abajo.



Figura 837. Vista a mitad del tramo, mirando hacia la margen izquierda, con la cantera al fondo.



Figura 838. Imagen panorámica a mitad del tramo desde la margen derecha.



Figura 839. Detalle de depósitos de piedras en el interior del cauce. Vista desde la margen derecha.



Figura 840. Imagen tomada desde la margen izquierda en la zona alta del tramo, que linda con la cantera desde donde se ha hecho la fotografía. Vista hacia aguas abajo. La zona con agua marca el curso fluvial del Bco. de Horteta.



Figura 841. Depósito de bolos de piedra en la zona alta del tramo, que han colmatado los campos situados en la margen derecha, cuya ladera es inexistente. Se pueden apreciar también los daños generados en la margen izquierda, que en esa zona linda con la cantera. Vista hacia aguas abajo.

HO- 10965/11050

Descripción tramo	Barranco de Horteta, en el meandro frente a la cantera.
Coordenadas UTM (X;Y)	(710271;4366002)
Localización	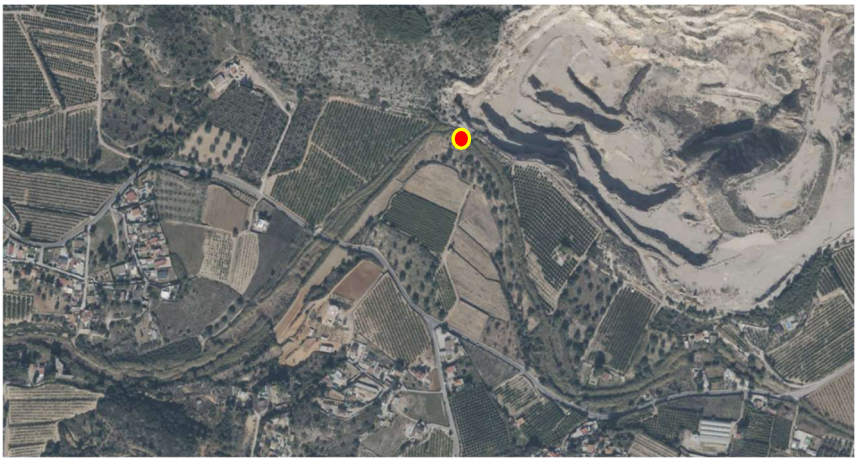
Detalle de planta con secciones	
Planta con daños	

Descripción de daños	En este meandro, el flujo impactó directamente contra el cierre de la cantera, destruyendo unos 10 metros del talud rocoso existente en la margen izquierda, que hizo que parte del caudal entrase en la cantera. La margen derecha estaba compuesta por campos de cultivo a escasa altura sobre el cauce, algunos de los cuales han quedado completamente arrasados. Los depósitos en este punto tienen una granulometría gruesa, relacionada con la pérdida de energía del flujo a la entrada del meandro. El cauce ha quedado colmatado por estos sedimentos, aunque ahora presenta una mayor amplitud como consecuencia de haberse ensanchado a costa de la destrucción de los cultivos.
Necesidad de restitución	Ladera margen derecha. Necesidad baja. Cauce. Necesidad media. Ladera margen izquierda. Necesidad baja.

Imágenes:



Figura 842. Detalle del dique de cierre de la cantera destruido en la margen izquierda. Fotografía cedida por el Ayto. de Torrent.



Figura 843. Zona baja del tramo, mirando desde el interior del meandro hacia aguas abajo. La cantera queda a la izquierda.



Figura 844. Detalle del dique de cierre de la cantera destruido parcialmente, por su margen izquierda.



Figura 845. Detalle del dique de cierre de la cantera destruido parcialmente. Vista frontal.



Figura 846. Vista del interior de la cantera desde el dique de cierre por su margen izquierda.



Figura 847. Zona alta del tramo. Vista desde el dique de la cantera, mirando hacia aguas arriba.



Figura 848. Zona alta del tramo. Vista del dique de la cantera, mirando desde aguas arriba hacia la margen izquierda.

HO- 11050/11800

Descripción tramo	Tramo inmediatamente aguas arriba de la cantera.
Coordenadas UTM (X;Y)	(710016;4365788)
Localización	
Detalle de planta con secciones	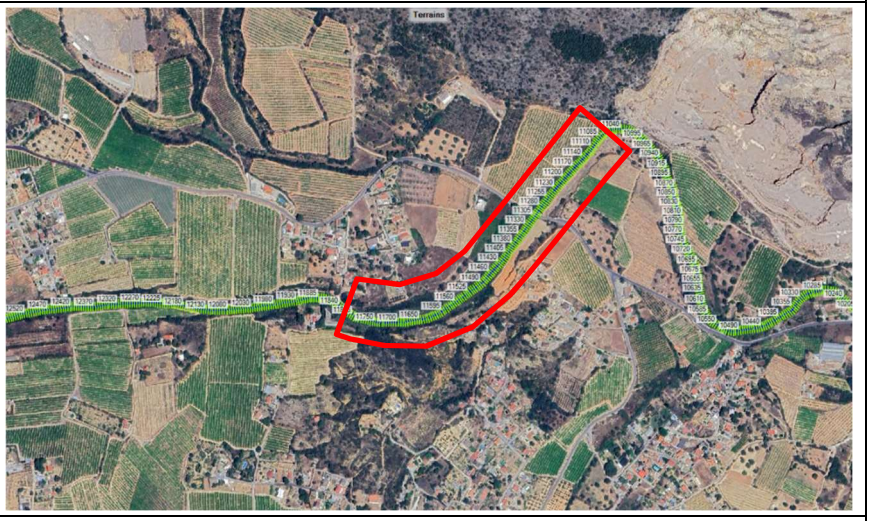
Planta con daños	

Descripción de daños	Los márgenes en este tramo presentan muy escasa altura, especialmente por la izquierda del cauce, debido a que éste se ensancha y presenta una gran amplitud. La margen derecha está más elevada que la izquierda, presentando un cierto talud que apenas ha sufrido daños por quedar en la parte interior del meandro que se genera frente a la cantera. Por la margen izquierda hay terrazas con campos de cultivo, que han quedado muy dañados por el paso de la crecida a través de ellos. El lecho cauce presenta depósitos de tamaño medio y fino, con presencia localizada de bolos de piedra. El badén situado a mitad del tramo, quedó completamente destruido y requiere ser repuesto. Al tratarse de una vía con elevada circulación, se recomienda en el futuro eliminar este badén y convertirlo en un puente elevado, ya se trata de una tramo peligroso en el que es fácil que se puedan arrastrar vehículos, incluso para crecidas con caudales bajos.
Necesidad de restitución	Ladera margen derecha. Necesidad baja. Cauce. Necesidad media. Ladera margen izquierda. Necesidad baja.

Imágenes:



Figura 849. Vista de la zona baja del tramo, mirando hacia aguas abajo.



Figura 850. Badén situado a mitad del tramo, visto desde la margen izquierda. Puede verse la escasa elevación que presenta respecto al lecho del barranco de Horteta. Se trata, por tanto, de un cruce muy peligroso.



Figura 851. Vista de la zona media del tramo, mirando desde la margen izquierda hacia la margen derecha. Labores de reposición del badén inundable.



Figura 852. Vista de la zona media del tramo desde la margen izquierda, mirando hacia aguas arriba.



Figura 853. Vista de la zona media del tramo desde el interior del cauce, mirando hacia aguas arriba.



Figura 854. Detalle de erosión en la margen derecha y depósitos en el cauce, a mitad del tramo.



Figura 855. Zona alta del tramo a la altura del meandro a izquierdas que presenta Horteta, mirando hacia aguas abajo. Se puede apreciar la erosión en la margen izquierda, ya que antes de dicho meandro, el cauce presenta un ligero giro en planta hacia la derecha.



Figura 856. Detalle de erosión en la margen derecha, en la zona alta del tramo.



Figura 857. Zona alta del tramo, mirando hacia aguas abajo. Se puede apreciar la erosión en ambas márgenes y los depósitos en el interior del cauce.

HO- 11800/12565

Descripción tramo	Bco. de Horteta entre la Calle de Sant Ezequiel, y el badén que une la calle 1 del núcleo 30 (Partida del Xarcos Secs), al norte, y la Partida del Sapo, al sur.
Coordenadas UTM (X;Y)	(709325;4365634)
Localización	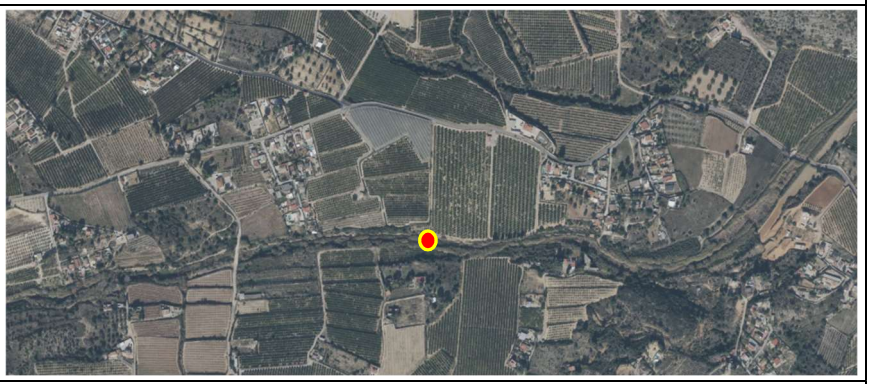
Detalle de planta con secciones	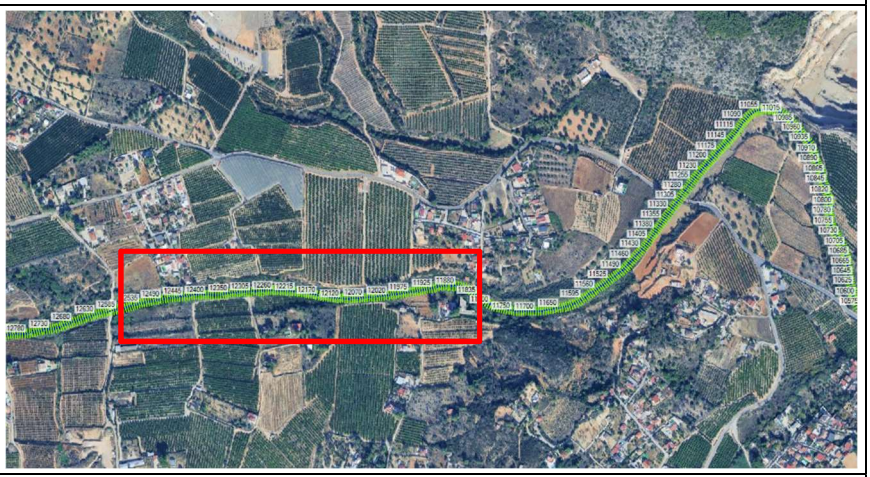
Planta con daños	
Descripción de daños	Se trata de un recorrido casi rectilíneo que se prolonga en el siguiente tramo de aguas arriba, por lo que el flujo seguramente alcanzó una velocidad elevada, como así indican las importantes socavaciones identificadas al inicio del tramo (aguas arriba). Sin embargo, según se avanza hacia la zona baja del tramo, la proximidad de la zona meándrica hace que el lecho del cauce presente zonas de sedimentación de material grueso, con presencia de bolos de piedra de tamaño medio. Las laderas se han socavado de forma similar en ambas márgenes en todo el recorrido, sin que prevalezca la erosión en ninguna de ellas, seguramente por el trazado rectilíneo del cauce en esta zona. En la margen derecha la erosión ha afectado a un grupo de viviendas, quedando alguna con la cimentación al aire.

Necesidad de restitución	Ladera margen derecha. Necesidad media. Cauce. Necesidad media. Ladera margen izquierda. Necesidad baja.

Imágenes:



Figura 858. Daños en la ladera de la margen derecha, en la parte baja del tramo.



Figura 859. Vista panorámica desde la margen izquierda hacia la derecha, en la parte baja del tramo.



Figura 860. Detalle de daños en edificaciones de la margen derecha, en la zona baja del tramo.



Figura 861. Detalle de daños en edificaciones de la margen derecha.



Figura 862. Daños en la ladera de la margen izquierda, en la parte baja del tramo.



Figura 863. Hacia aguas arriba del punto anterior, se identifican más daños en edificaciones y erosiones generalizadas en la margen derecha.



Figura 864. Depósitos en el cauce. Vista hacia la zona media del tramo, mirando hacia aguas arriba.



Figura 865. Vista desde la parte alta del tramo, mirando hacia aguas abajo. Se puede apreciar la importante erosión generada en el lecho.



Figura 866. Detalle de daños en la margen izquierda, en la zona alta del tramo.

HO- 12565/13560

Descripción tramo	Bco. de Horteta entre el badén que une la calle 1 del núcleo 30 (Partida del Xarcos Secs), al norte, y la Partida del Sapo, al sur, y la confluencia con el Bco. de la Bota. Badén incluido.
Coordenadas UTM (X;Y)	(708224;4365394)
Localización	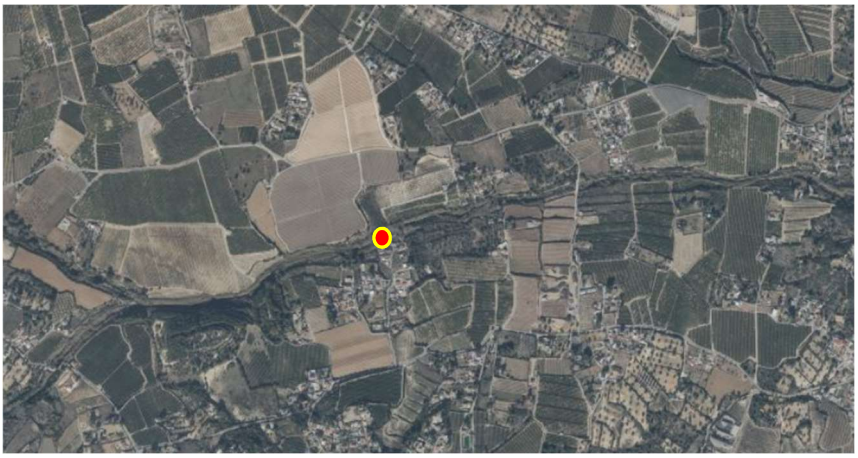
Detalle de planta con secciones	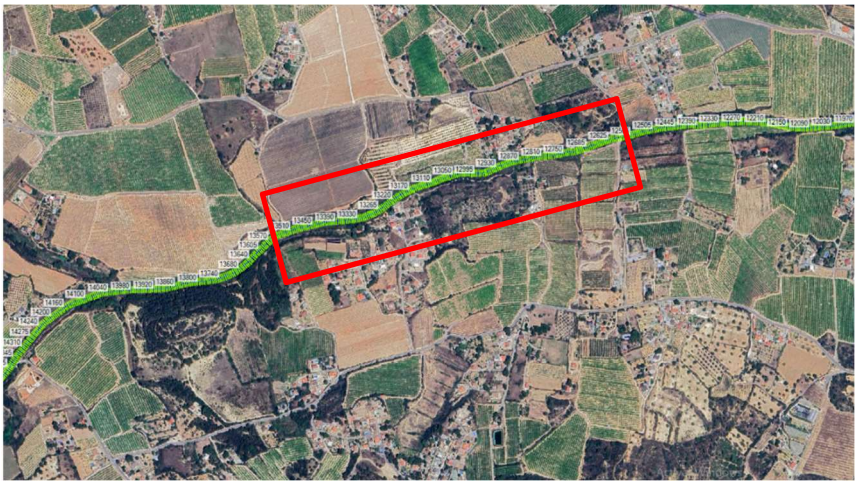
Planta con daños	
Descripción de daños	Al igual que el recorrido de aguas abajo, el trazado rectilíneo de este tramo hace que el flujo se haya acelerado de forma significativa, erosionando de forma generalizada sus márgenes y su lecho. Estas socavaciones no resultan de importancia, debido al ámbito rural en el que se emplaza esta zona, y que no hay edificaciones próximas al barranco. La erosión más importante se ha generado en el entorno del badén, por el obstáculo que éste genera. Al igual que en otros casos, se recomienda elevar este paso sobre el cauce por tratarse de un cruce inundable muy peligroso.

Necesidad de restitución	Ladera margen derecha. Necesidad baja. Cauce. Necesidad media. Ladera margen izquierda. Necesidad media.

Imágenes:



Figura 867. Vista del badén del Camí de la Rosafina sobre el Barranco de Corxitelles (Horteta). Dicho badén une la calle 1 del núcleo 30 (Partida del Xarcos Secs), al norte, y la Partida del Sapo, al sur. Vista desde la margen izquierda hacia la margen derecha.



Figura 868. Vista del badén anterior, mirando desde la margen derecha hacia la margen izquierda. El flujo circula hacia la derecha de la imagen.



Figura 869. Detalle de daños en la ladera de la margen derecha, en la parte baja del tramo.



Figura 870. Vista desde el interior del cauce en la zona baja del tramo, mirando hacia aguas arriba.



Figura 871. Vista en la zona media del tramo desde la margen izquierda, mirando hacia aguas abajo.



Figura 872. Vista en la zona media del tramo desde la margen izquierda, mirando hacia aguas arriba.

HO- 13560/14140

Descripción tramo	Barranco de Corxitelles (Horteta) en el entorno de la confluencia del Barranco de la Bota.
Coordenadas UTM (X;Y)	(707763;4365224)
Localización	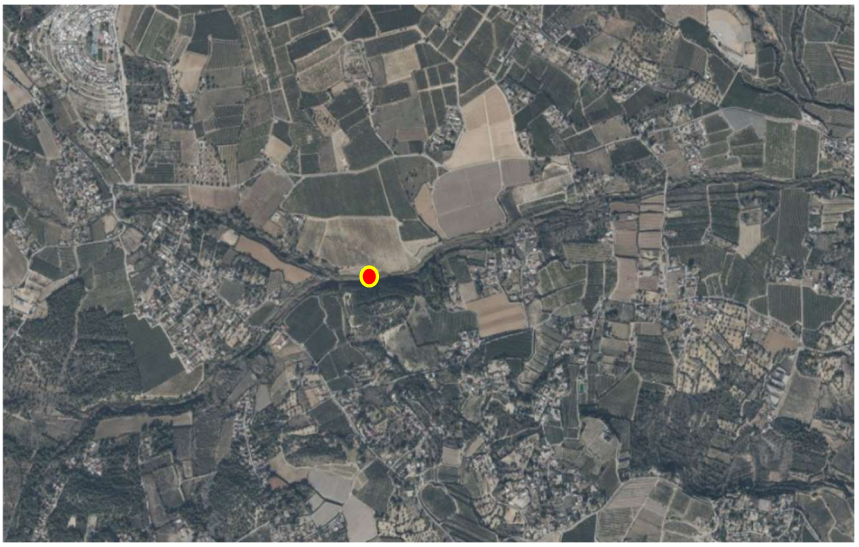
Detalle de planta con secciones	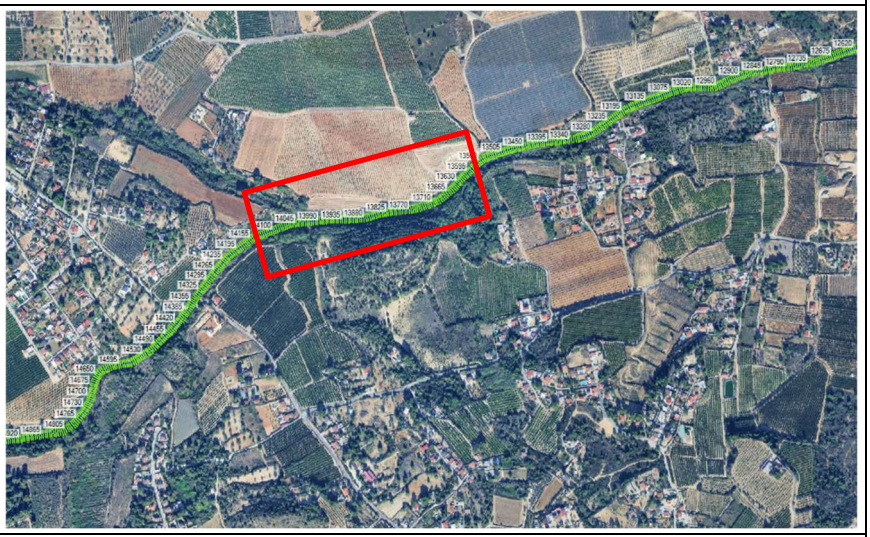
Planta con daños	

Descripción de daños	Se trata de un tramo ligeramente rectilíneo entre dos pequeños meandros en sus extremos, por lo que las erosiones no han sido muy acusadas. Se identifican mayores socavaciones en la margen izquierda, por el giro en planta del primer meandro, que en la margen derecha, que ha conservado gran parte de su vegetación de ribera. El cauce presenta una sección amplia. En el lecho se han generado algunas pozas por socavaciones localizadas, pero apenas hay presencia de depósitos. Se trata de una zona sin edificaciones próximas, por lo que no se considera necesaria ninguna intervención en las laderas ni en el cauce.
Necesidad de restitución	Ladera margen derecha. Necesidad baja. Cauce. Necesidad baja. Ladera margen izquierda. Necesidad baja.

Imágenes:



Figura 873. Vista desde el punto medio del tramo mirando hacia aguas abajo; al fondo puede verse el meandro de la zona más baja, que gira hacia la izquierda de la imagen. Puede apreciarse que las erosiones son mucho mayores en la margen izquierda que en la derecha.



Figura 874. Vista desde el punto medio del tramo mirando hacia aguas arriba. Al fondo puede verse el meandro situado en la parte alta del tramo.

HO- 14140/14360

Descripción tramo	Tramo aguas abajo del cruce del camí de la Vereda con el Bco de Corxitelles
Coordenadas UTM (X;Y)	(707350;4365104)
Localización	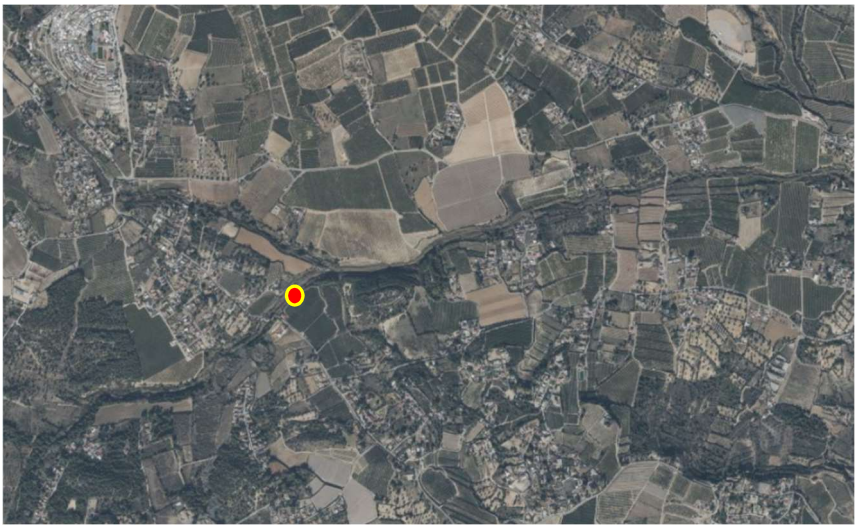
Detalle de planta con secciones	
Planta con daños	

Descripción de daños	Ambas márgenes se han visto erosionadas durante la crecida, pero al tratarse de una zona sin apenas ocupación antrópica, no requerirían de intervención. Sólo se identifican daños en una vivienda en la margen izquierda y otra en la margen derecha, que habían ocupado parte de la primera terraza fluvial. Los taludes de ambas márgenes, algunos de los cuales han quedado bastante verticales, seguramente se repongan rápidamente de vegetación que tenderán a dotar las márgenes de estabilidad en tiempo seco. En el cauce se aprecian zonas de erosión localizada y de sedimentación, simultaneando depósitos de gravas y bolos de pequeño tamaño.
Necesidad de restitución	Ladera margen derecha. Necesidad baja. Cauce. Necesidad baja. Ladera margen izquierda. Necesidad baja.

Imágenes:



Figura 875. Vista del tramo desde aguas abajo hacia aguas arriba.



Figura 876. Vista desde mitad del tramo, mirando hacia aguas abajo. Se pueden apreciar pequeños depósitos de gravas y erosiones en ambas márgenes.



Figura 877. Vista de la margen izquierda, a mitad del tramo.



Figura 878. Detalle de desperfectos en talud y parcela en la margen izquierda, a mitad del tramo, mirando ligeramente hacia aguas arriba.



Figura 879. Vista desde la zona más alta del tramo, mirando hacia aguas abajo.



Figura 880. Erosión en la margen derecha, en la zona de aguas arriba del tramo.

HO- 14360/14395

Descripción tramo	Cruce del camí de la Vereda (o Carrer Alcúdia) con el Barranco de Corxitelles.
Coordenadas UTM (X;Y)	(707269;4364998)
Localización	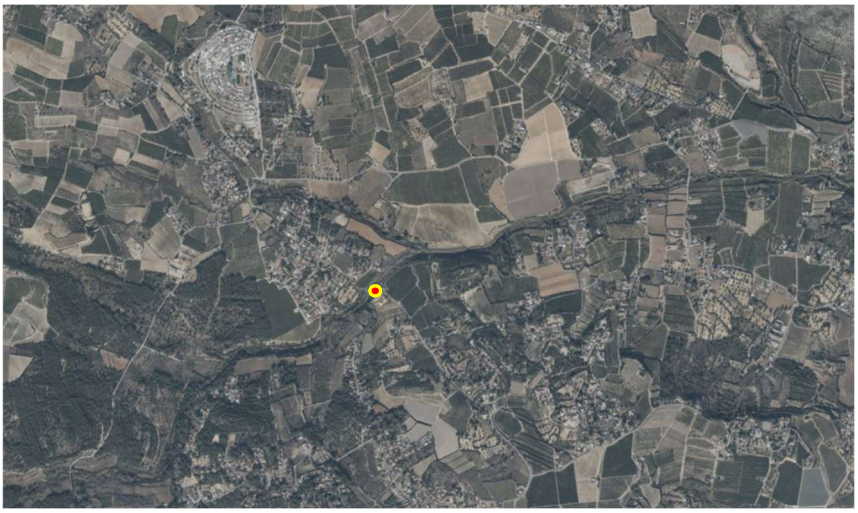
Detalle de planta con secciones	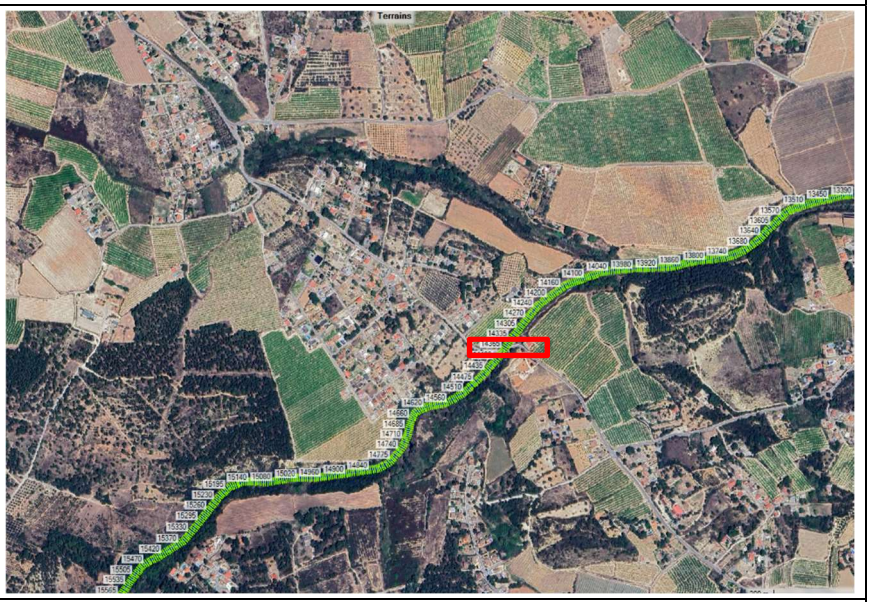
Planta con daños	

Descripción de daños	La crecida ha erosionado ambas márgenes, destruyendo el badén del Camí de la Vereda sobre el Barranco de Corxitelles. El cauce presenta igualmente socavaciones generalizadas en su lecho, que ha dejado al descubierto afloramientos rocosos. Se requiere la recuperación del paso de este camino sobre el cauce, que ya se está ejecutando por la urgencia de restablecer las comunicaciones tras la DANA. Pero al tratarse de un punto peligroso, en el que algún vehículo podría verse arrastrado transversalmente por una crecida súbita del barranco, se recomienda que en el futuro se reconsidere la opción de sustituir el badén de este cruce por un puente elevado, para reducir riesgos. El camino presenta un pequeño tramo junto al cauce, ejecutado con un terraplén de tierra sobre el lecho rocoso, que convendría reforzar para evitar su erosión.
Necesidad de restitución	Ladera margen derecha. Necesidad media. Cauce. Necesidad baja. Ladera margen izquierda. Necesidad baja.

Imágenes:



Figura 881. Punto de cruce del Camí de la Vereda con el Barranco de Corxitelles, completamente desaparecido. Vista desde aguas abajo.



Figura 882. Detalle del corte del Camí de la Vereda en la margen izquierda, en donde se ha destruido el paso sobre el barranco.



Figura 883. Vista de la margen izquierda hacia la margen derecha, en la que se aprecian las obras de restitución de este paso sobre el cauce.



Figura 884. Detalle de las obras de terraplenado en la margen derecha, en las que el material queda suelto sobre el estrato rocoso, por lo que es previsible que sufra erosión en futuras crecidas.

HO- 14395/14580

Descripción tramo	Tramo aguas arriba del cruce del camí de la Vereda con el Bco de Corxitelles.
Coordenadas UTM (X;Y)	(707193;4364915)
Localización	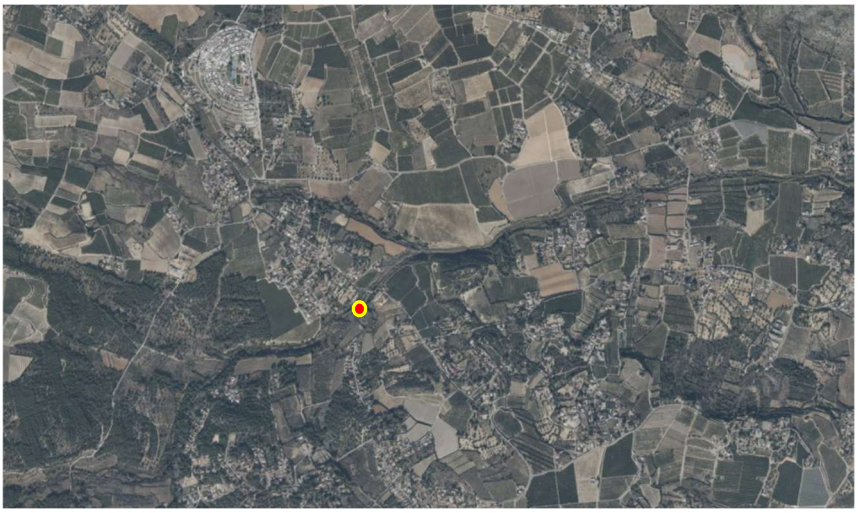
Detalle de planta con secciones	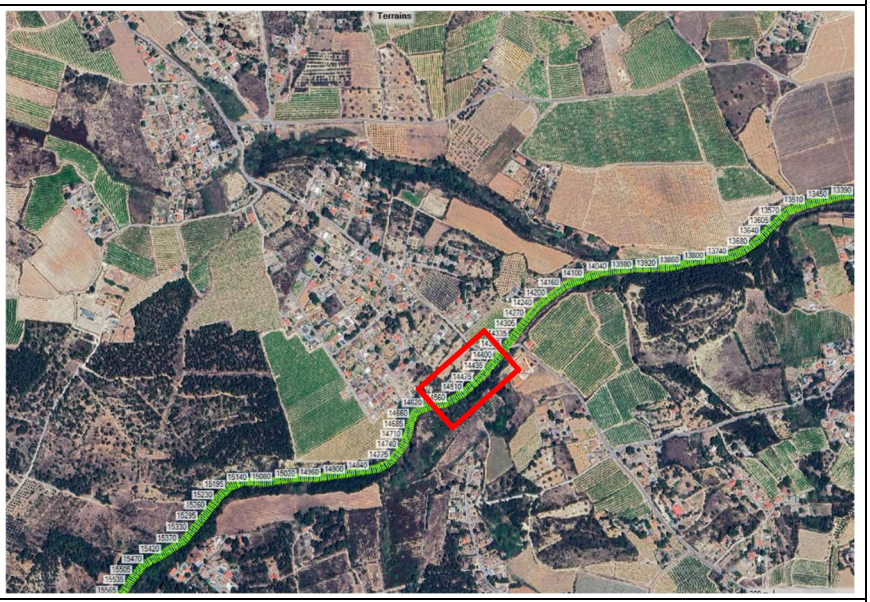
Planta con daños	

Descripción de daños	El flujo ha erosionado con más intensidad por la margen derecha, desbrozando toda la vegetación y generando algunas zonas inestables o con desprendimientos. Al tratarse de una zona en la que no está previsto que transite gente, no requeriría de saneamiento. En general, y al igual que en el tramo siguiente, el cauce presenta depósitos de grava de tamaño grueso en casi todo este tramo. De forma puntual aparecen sovacaciones localizadas que han dejado al descubierto superficies rocosas.
Necesidad de restitución	Ladera margen derecha. Necesidad baja. Cauce. Necesidad baja. Ladera margen izquierda. Necesidad baja.

Imágenes:



Figura 885. Margen derecha al inicio de tramo, vista desde aguas abajo hacia aguas arriba.



Figura 886. Margen derecha, vista desde mitad del tramo hacia aguas abajo.



Figura 887. Estado de ladera y márgenes en la zona media del tramo, vista hacia aguas arriba.



Figura 888. Vista desde el interior del cauce en mitad del tramo, mirando hacia aguas abajo, en la que se pueden apreciar los depósitos de gravas.



Figura 889. Vista de la parte alta del tramo desde la margen izquierda, mirando hacia la margen derecha y hacia aguas arriba.



Figura 890. Vista desde aguas arriba del tramo, mirando hacia aguas abajo.

HO- 14580/15040

Descripción tramo	Cruce del camí de la Vereda con el Barranco de Corxitelles
Coordenadas UTM (X;Y)	(706873;4364702)
Localización	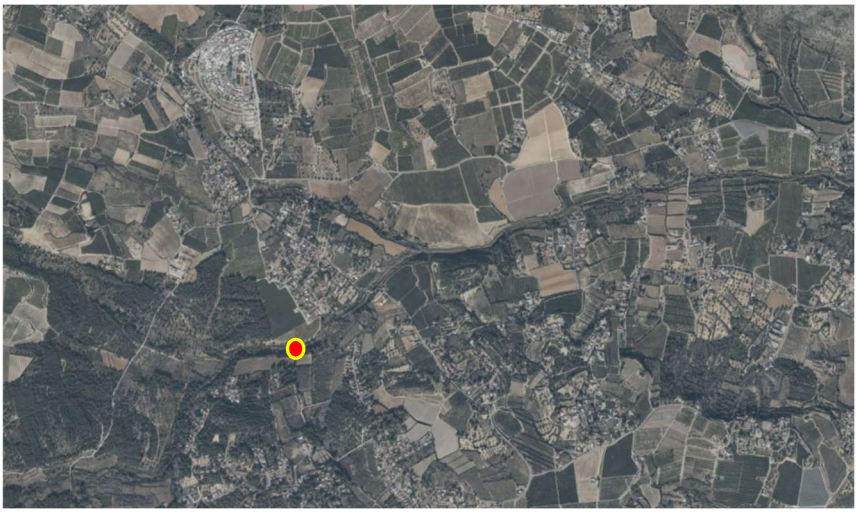
Detalle de planta con secciones	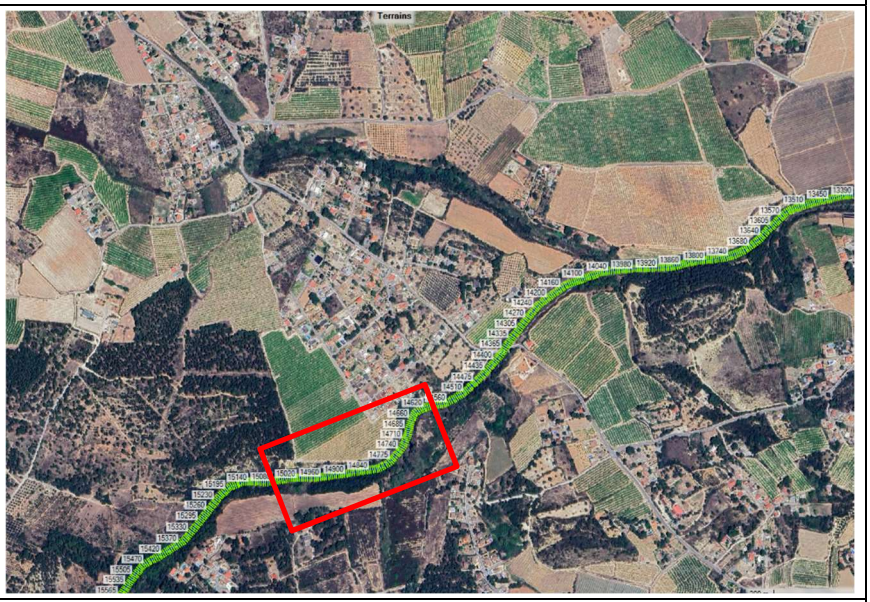
Planta con daños	

Descripción de daños	De forma generalizada, las erosiones en ambas márgenes han sido importantes, arrancando la vegetación de ribera y dejando multitud de superficies rocosas al descubierto. Los taludes no presentan mucha altura y resultan suficientemente tendidos como para que no haya riesgos de inestabilidad aparente, salvo algunos bolos de piedra que han quedado sueltos a mitad de ladera. En ciertos tramos el cauce presenta depósitos de grava de tamaño fino y grueso. En otros, se identifican erosiones locales que han permitido aflorar fondos rocosos. A pesar de estos depósitos y de restos de vegetación de gran porte que hay quedado diseminados por el cauce, no se requiere intervención en este tramo, al tratarse de residuos naturales que no presentan un impacto sobre el sistema.
Necesidad de restitución	Ladera margen derecha. Necesidad baja. Cauce. Necesidad baja. Ladera margen izquierda. Necesidad baja.

Imágenes:



Figura 891. Vista desde el pequeño meandro situado a mitad del tramo, mirando hacia aguas arriba.



Figura 892. Vista desde el pequeño meandro situado a mitad del tramo, mirando hacia aguas abajo.



Figura 893. Detalle de depósitos de grava en el cauce, que se combinan con afloramientos rocosos.



Figura 894. Vista desde la margen izquierda, mirando hacia la margen derecha y hacia aguas arriba. Al fondo se puede apreciar el meandro de Corxitelles en el que se iniciaría el siguiente tramo.



Figura 895. Detalle de erosión en la margen izquierda a mitad del tramo, que ha dejado al descubierto el substrato rocoso.



Figura 896. Detalle de afloramientos rocosos en la margen izquierda y depósitos de bolos en el cauce.



Figura 897. Vista desde mitad del tramo, mirando hacia aguas abajo. Se aprecian los depósitos del cauce, erosiones fuertes en la margen izquierda y socavaciones puntuales en la margen derecha.

HO- 15040/15400

Descripción tramo	Barranco de Corxitelles al inicio del tramo de estudio
Coordenadas UTM (X;Y)	(706543;4364601)
Localización	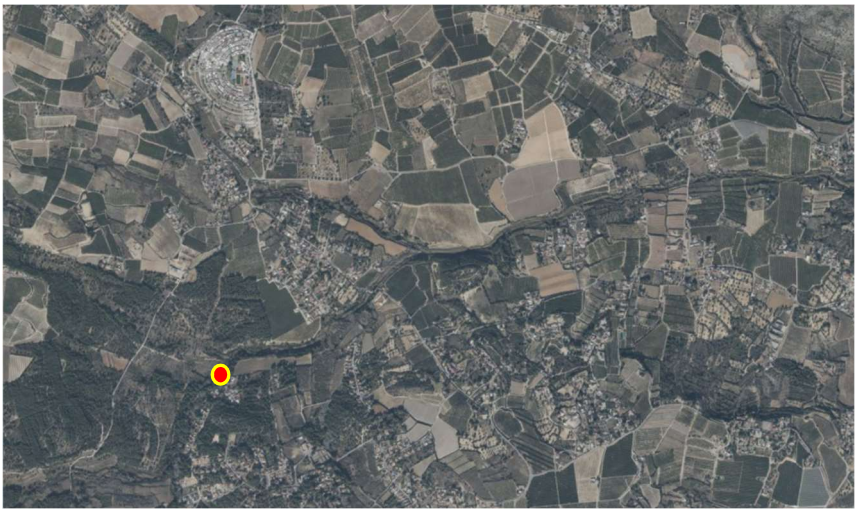
Detalle de planta con secciones	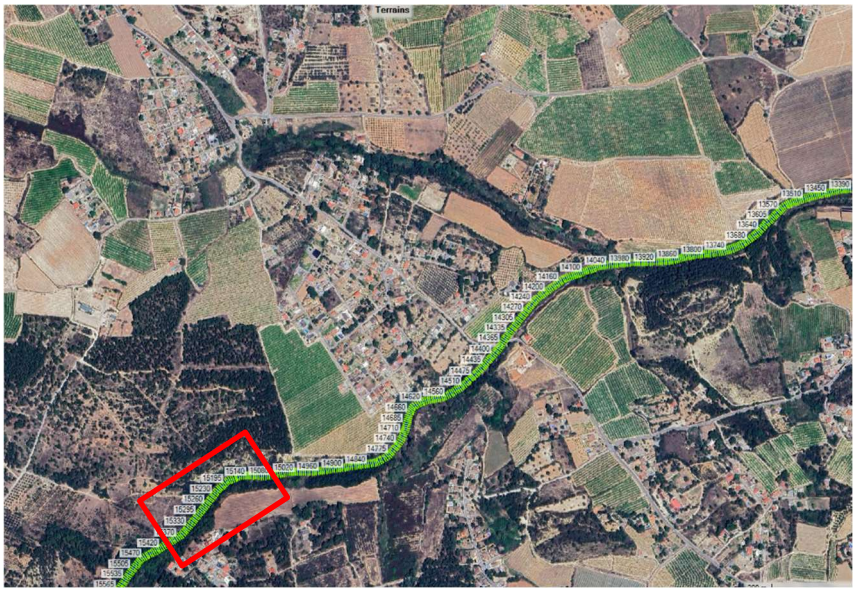
Planta con daños	

Descripción de daños	Ambas márgenes han quedado erosionadas, presentando la margen izquierda unos taludes casi verticales con riesgo de inestabilidad. Sin embargo, se considera que no habría que actuar en este tramo, debido a que no se trata de una zona con actividad antrópica, por lo que no presenta riesgo para bienes o personas. En el cauce la erosión es generalizada. La presencia de depósitos resulta muy escasa, por lo que se intuye que la velocidad del flujo en este tramo resultó muy elevada. El lecho presenta numerosas pozas a través de las cuales resulta complicado transitar. Varios meses después de la inundación, este tramo aún presenta circulación de agua.
Necesidad de restitución	Ladera margen derecha. Necesidad baja. Cauce. Necesidad baja. Ladera margen izquierda. Necesidad baja.

Imágenes:



Figura 898. Vista general del tramo desde el meandro del PK 15+100, mirando hacia aguas arriba. Se pueden apreciar las fuertes erosiones en la margen izquierda.



Figura 899. Vista de la margen derecha en la parte de aguas abajo del tramo, mirando hacia aguas abajo.

5.4.- BARRANCO DE LA BOTA

BO 0/890

Descripción tramo	Barranco de la Bota, aguas arriba de su confluencia con Horteta.
Coordenadas UTM (X;Y)	(707116;4365405)
Localización	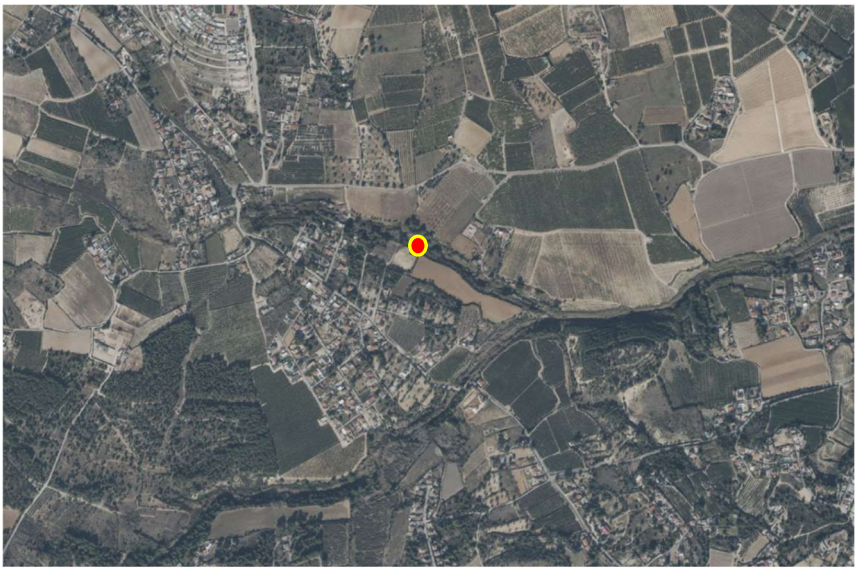
Detalle de planta con secciones	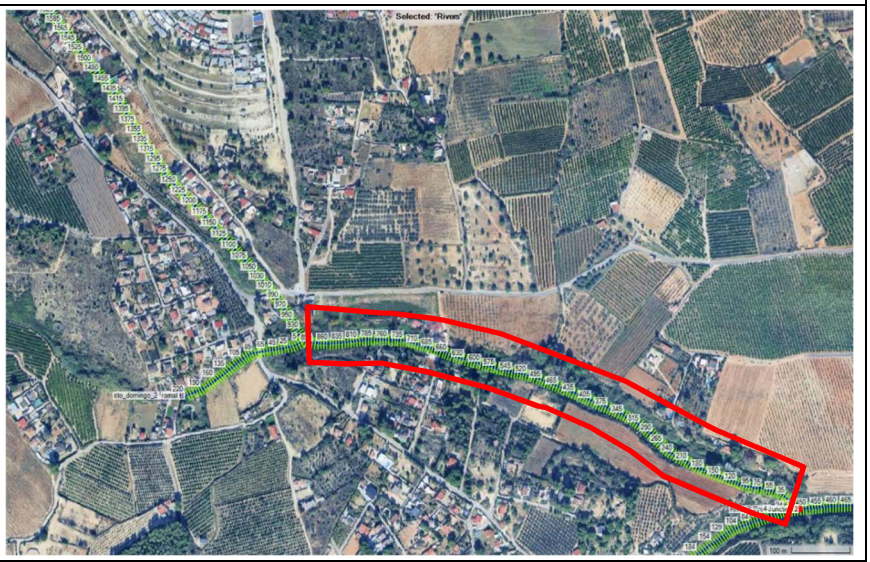
Planta con daños	

Descripción de daños	Este tramo presenta señales de haber trasegado un caudal importante, que ha afectado a edificaciones colindantes, a pesar de estar ubicadas en terrazas muy elevadas. Sin embargo, tanto las laderas como el lecho del cauce apenas han sufrido daños relevantes. Pueden apreciarse erosiones localizadas, pero no se identifican depósitos. El flujo, por tanto, debió circular a gran velocidad en esta zona.
Necesidad de restitución	Ladera margen derecha. Necesidad baja. Cauce. Necesidad baja. Ladera margen izquierda. Necesidad baja.

Imágenes:



Figura 900. Vista de la ladera derecha en la zona baja del tramo.



Figura 901. Vista de la ladera derecha en la zona media del tramo, mirando hacia aguas arriba.



Figura 902. Erosiones en la margen izquierda en la zona media del tramo.

BO 890/1100

Descripción tramo	Barranco de la Bota en el entorno del cruce con el camino de
Coordenadas UTM (X;Y)	(706649;4365567)
Localización	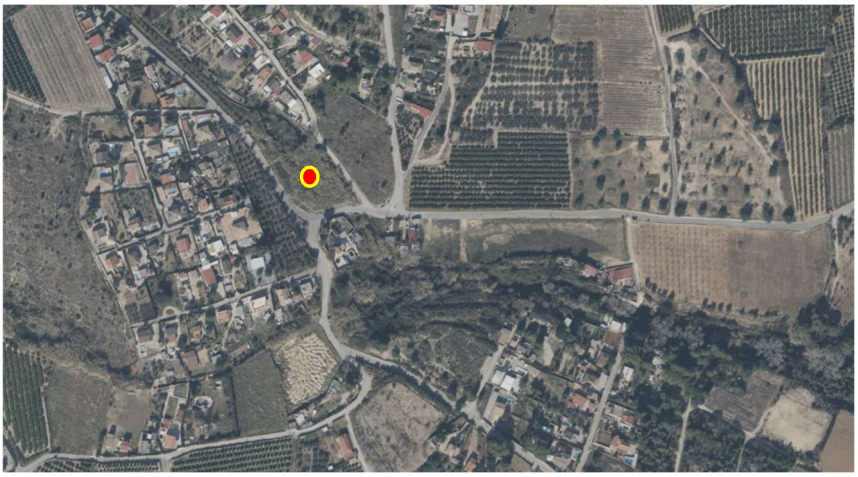
Detalle de planta con secciones	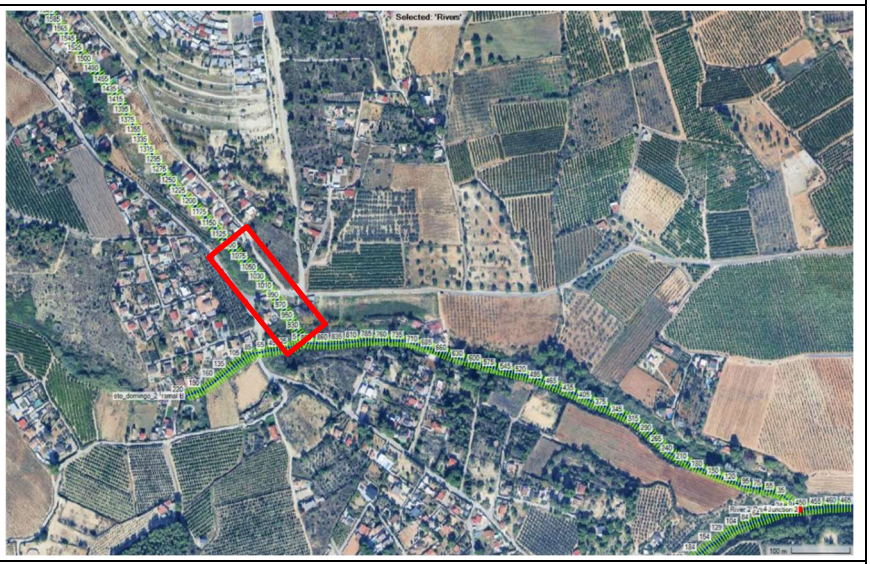
Planta con daños	

Descripción de daños	En este tramo se ha producido una importante erosión en el lecho, que ha dejado al descubierto una gran extensión de superficie rocosa, especialmente en la zona baja del tramo. La margen derecha ha quedado casi intacta, conservando una parte importante de su vegetación, compuesta mayoritariamente por carrizo de gran porte. Sin embargo, la ladera derecha se ha visto erosionada en ciertos tramos, dañando un camino de acceso de un grupo de viviendas, que ha quedado descalzado y debería repararse. Las afecciones a dicho camino se muestran en la primera imagen de las que se muestran a continuación. El cruce del Bco de la Bota con el Camí dels Xarcos Secs ha quedado destruido, pero se estaba reponiendo al visitar la zona. Se trata de un punto muy peligroso, en el que una crecida repentina podría arrastrar fácilmente un vehículo, con el consiguiente riesgo de pérdida de vidas. Los drenajes de este badén tienen capacidad insignificante, por lo que el flujo pasará por encima de esta carretera.
Necesidad de restitución	Ladera margen derecha. Necesidad baja. Cauce. Necesidad media. Ladera margen izquierda. Necesidad media.

Imágenes:



Figura 903. Margen derecha en la zona baja del tramo. Imagen tomada desde la margen izquierda, mirando hacia aguas arriba.



Figura 904. Margen izquierda en la zona baja del tramo. Vista hacia aguas arriba.



Figura 905. Barranco de la Bota aguas abajo del cruce con la carretera con el Camí dels Xarcos Secs.



Figura 906. Barranco de la Bota aguas abajo del cruce con la carretera con el Camí dels Xarcos Secs, vista desde la margen izquierda.



Figura 907. Cruce del Barranco de la Bota con cruce entre el Camí dels Xarcos Secs y el Camí de la Vereda. Vista desde la margen izquierda del barranco.

BO 1100/1610

Descripción tramo	Barranco de la Bota, en la zona urbanizada al sur del camping de la Piramide.
Coordenadas UTM (X;Y)	(706412;4365858)
Localización	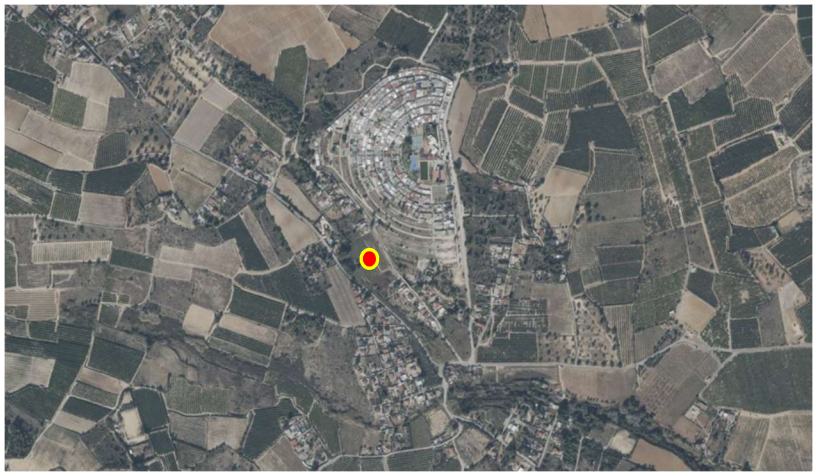
Detalle de planta con secciones	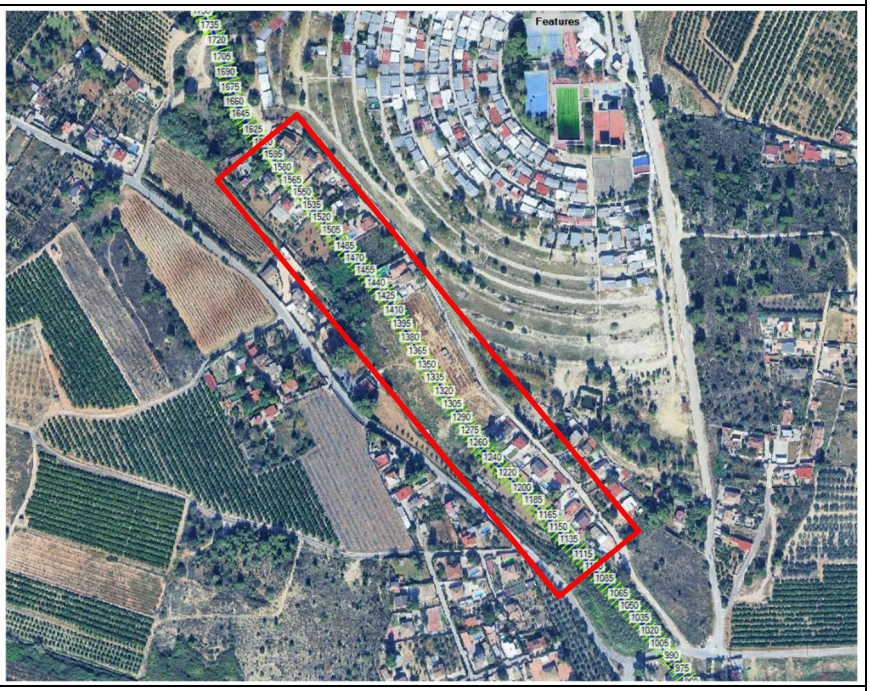
Planta con daños	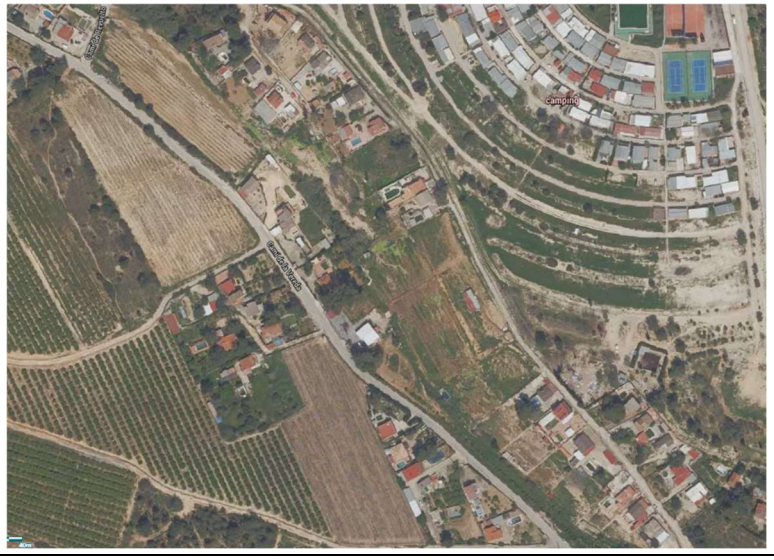

Descripción de daños	El flujo atravesó la vaguada en la que se sitúan los terrenos de muchas viviendas de la partida dels Xacs Secs, anegando completamente las zonas bajas de esas parcelas con calados superiores a 2.5 metros. Al tratarse de una zona bastante antropizada, no cabe destacar daños en laderas ni en el interior del cauce, que en este tramo resulta inapreciable por la elevada ocupación del entorno. En algunos puntos sí se identifican erosiones localizadas en la margen derecha. Los muros de separación entre parcelas en la zona de la vaguada, se desplomaron de forma generalizada como consecuencia de la presión del agua.
Necesidad de restitución	Ladera margen derecha. Necesidad baja. Cauce. Necesidad media, ya que se considera necesario la creación de un cauce que permita trasegar las aguas de forma ordenada, y evitar que circulen libremente a través de parcelas de viviendas. Ladera margen izquierda. Necesidad baja.

Imágenes:



Figura 908. Daños en la zona media del tramo, en su margen derecha.



Figura 909. El Barranco de la Bota en el tramo alto, se transforma en una vaguada completamente ocupada por parcelas de chalets. Vista desde la margen derecha hacia la margen izquierda.

BO 1610/1860

Descripción tramo	Tramo alto del Barranco de la Bota
Coordenadas UTM (X;Y)	(707146;436608)
Localización	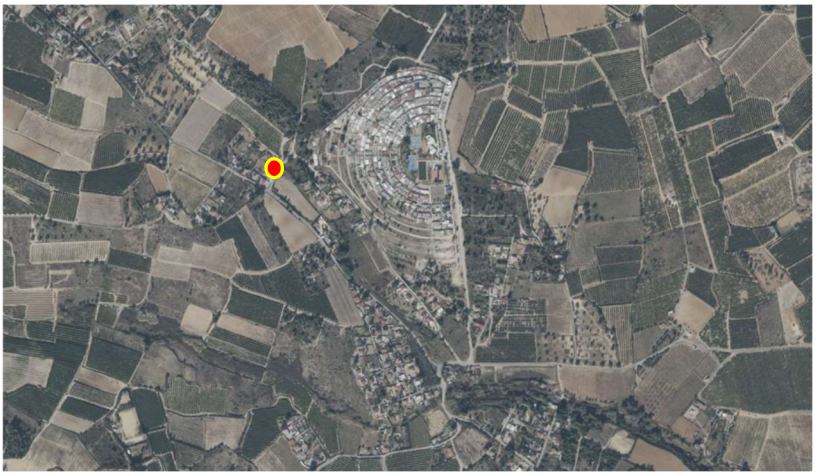
Detalle de planta con secciones	
Planta con daños	

Descripción de daños	Al igual que en tramo de aguas abajo, el flujo atravesó la vaguada que ha sido ocupada por parcelas de segundas residencias, anegando completamente sus zonas bajas. Los daños en laderas son inapreciables, debido a la antropización de este tramo. En el cauce, considerando como tal la zona media de la vaguada, se identifican erosiones localizadas que en algunos casos han dejado al descubierto el lecho rocoso.
Necesidad de restitución	Ladera margen derecha. Necesidad baja. Cauce. Necesidad media. A pesar del reducido tamaño de la cuenca vertiente, se considera necesario la creación de un cauce que permita trasegar las aguas de forma ordenada, y evitar que circulen libremente a través de parcelas de viviendas. Ladera margen izquierda. Necesidad baja.

Imágenes:



Figura 910. Zona baja del tramo, mirando hacia aguas abajo.



Figura 911. Vista del Barranco de la Bota desde su cruce con el Camí de Revuelto, mirando hacia aguas abajo.



Figura 912. Cruce del Barranco de la Bota con el Camí de Revuelto (una pequeña vía transversal al Camí de la Vereda). Vista desde la margen derecha del barranco.



Figura 913. Cruce del Barranco de la Bota con el Camí de Revuelto. Vista desde la margen izquierda del barranco.



Figura 914. Zona de inicio del tramo de estudio en su parte más alta. Vista del Barranco de la Bota en su cruce con el Camí de Revuelto, mirando hacia aguas arriba. Como puede apreciarse, en esta zona se trata de una vaguada completamente antropizada.

5.5.- AFLUENTE DEL BARRANCO DE LA BOTA

AF-BO 0/85

Descripción tramo	Afluente del Barranco de la Bota por su margen derecha, en su tramo bajo.
Coordenadas UTM (X;Y)	(706664;4365471)
Localización	
Detalle de planta con secciones	
Planta con daños	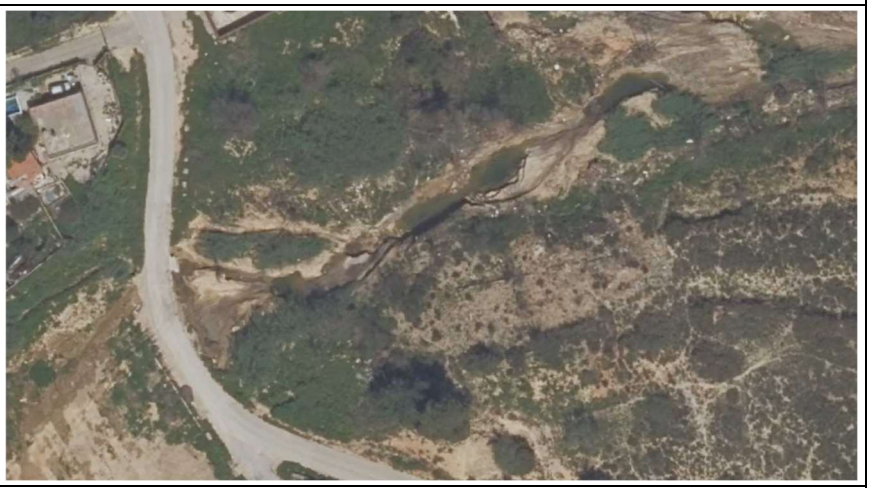

Descripción de daños	Este arroyo lo atraviesa el Carrer de L´Alcudia de Carlet, con un badén peligroso, debido a su escasa capacidad y la facilidad con la que un coche podría verse arrastrado por su corriente transversal. Presenta una vaguada de gran amplitud, por lo que las márgenes apenas se han visto afectadas.
Necesidad de restitución	Ladera margen derecha. Necesidad baja. Cauce. Necesidad alta. El asfalto ha sufrido desperfectos y el perímetro de la vía ha sufrido descalces, que deben ser reparados por seguridad de los vehículos. Ladera margen izquierda. Necesidad baja.

Imágenes:



Figura 915. Zona de aguas abajo del afluente, aguas arriba de su confluencia con el Bco de la Bota.



Figura 916. Cruce de este afluente con el C/de L´Alcudia de Carlet,, visto desde la margen derecha.



Figura 917. Cruce de este afluente del Barranco de la Bota con el Carrer de L´Alcudia de Carlet,, visto desde la margen izquierda.



Figura 918. Cruce de este afluente del Barranco de la Bota con el Carrer de L´Alcudia de Carlet. Vista desde aguas abajo hacia aguas arriba, desde el interior del arroyo en su margen derecha.

AF-BO 85/220

Descripción tramo	Afluente del Barranco de la Bota por su margen derecha, en su zona alta.
Coordenadas UTM (X;Y)	(706578;4365433)
Localización	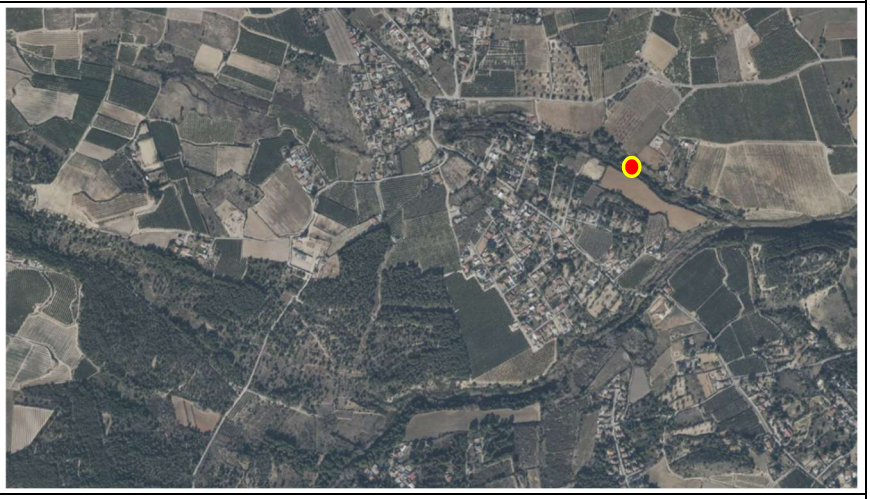
Detalle de planta con secciones	
Planta con daños	

Descripción de daños	En este tramo de este afluente, los daños en laderas y cauce resultan inapreciables debido a la amplitud del arroyo en esta zona, que con buen criterio se ha dejado sin urbanizar. Se detectan niveles de barro de gran amplitud en sentido transversal, seguramente relacionados con el escaso calado disponible. En cualquier caso, esas huellas hacen prever que por esta vaguada descendió un caudal muy importante.
Necesidad de restitución	Ladera margen derecha. Necesidad baja. Cauce. Necesidad baja. Ladera margen izquierda. Necesidad baja.

Imágenes:



Figura 919. Zona baja del tramo de este afluente del Barranco de la Bota, en la que puede apreciarse la existencia de un cauce de aguas bajas cuando el flujo se acerca al badén que cruza el Carrer de L´Alcudia. Vista hacia aguas arriba.



Figura 920. En el tramo medio, el flujo parece circular libremente por toda la amplitud de esta vaguada, aunque puede apreciarse una línea de carrizo que indican una zona de circulación del flujo a la derecha de la imagen.



Figura 921. Tramo medio de este arroyo, afluente del Barranco de la Bota. Vista hacia aguas arriba, ligeramente orientada hacia la margen izquierda.

5.6.- CAÑADA DEL PEQUE

PE- 0/240

Descripción tramo	Cañada del Pequé aguas arriba de la confluencia con el barranco de L´Horteta.
Coordenadas UTM (X;Y)	(715543;4368232)
Localización	
Detalle de planta con secciones	
Planta con daños (girada 90º)	

Descripción de daños	Aguas arriba de la confluencia, la crecida ha ocasionado una erosión considerable por la margen izquierda. A pesar de su elevada altura, de más de 10 metros, el talud resulta aparentemente estable en tiempo seco. En próximas crecidas las socavaciones en esta ladera seguirán evolucionando, al quedar en la parte exterior del meandro. Por la margen derecha, sobre la terraza fluvial del tramo bajo se han depositado multitud de residuos arrastrados por la crecida, ocasionando daños en los campos de cultivo. Más hacia aguas arriba se han producido erosiones en dicha margen derecha. En el lecho del barranco ha decantado un elevado volumen de escombros, bolos y grava gruesa. Sobre esos depósitos se ha producido una erosión durante la crecida, generando un cauce de aguas bajas hacia la margen izquierda. Eso ocasiona un importante desnivel en el talud izquierdo y podría fomentar su inestabilidad.
Necesidad de restitución	Ladera margen derecha. Necesidad baja, aunque sería conveniente retirar los escombros de la ladera aterrazada. Cauce. Necesidad media, por el importante volumen de depósitos y escombros, que reducirán la capacidad hidráulica en la confluencia. Ladera margen izquierda. Necesidad media, debido la verticalidad del talud y al fuerte desnivel existente con la zona superior, dedicada a actividad industrial.

Imágenes:



Figura 922. Vista general del tramo, mirando hacia aguas arriba desde la margen izquierda. Se puede apreciar el gran volumen de escombros depositados.



Figura 923. Vista de ambas márgenes, mirando hacia aguas arriba de la cañada del Pequé, desde el interior del cauce en su confluencia con el Bco. de Horteta.



Figura 924. Vista de la margen izquierda de la cañada del Pequé, inmediatamente aguas arriba de la confluencia con el barranco de Horteta, mirando hacia aguas abajo



Figura 925. Vista de la margen izquierda de la cañada del Pequé, inmediatamente aguas arriba de la confluencia con el barranco de Horteta, mirando hacia aguas arriba



Figura 926. Lengua de escombros depositados en la margen derecha de la cañada del Pequé.



Figura 927. Depósitos en la margen derecha de la cañada del Pequé.

PE- 240/410

Descripción tramo	Cañada del Pequé, frente al Carrer Mas del Jutge 2a.
Coordenadas UTM (X;Y)	(715449;4368338)
Localización	
Detalle de planta con secciones	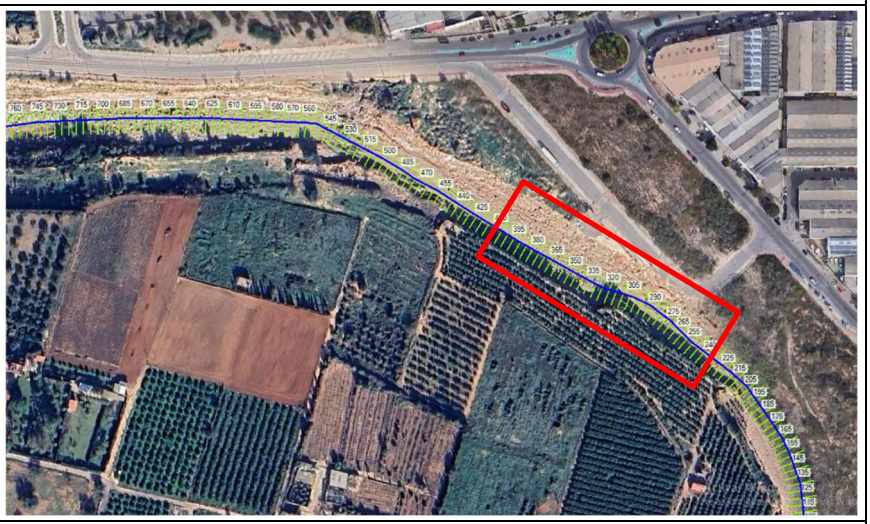
Planta con daños	

Descripción de daños	La erosión se ha concentrado en la margen izquierda, debido al meandro previo que presenta la rambla aguas arriba de este punto. Eso ha provocado la destrucción de un tramo del vial de la calle Mas del Jutge 2A. Parte de la zona urbanizada ha perdido material del relleno del suelo, lo que puede generar futuros problemas de asientos. Por la margen derecha se han generado daños en los campos de cultivo y erosiones en la ladera, que podría ocasionar riesgo de inestabilidad en algunos puntos. Al igual que el tramo de aguas abajo, se identifican importantes volúmenes de escombros y sedimentos en el lecho del cauce, que ha elevado su cota tras la DANA. Esto podría suponer mayor riesgo frente a inundaciones futuras, al situarse ahora la cota del cauce más próxima a la rasante del polígono industrial.
Necesidad de restitución	Ladera margen derecha. Necesidad media. Cauce. Necesidad media, ya que los depósitos han elevado la cota del cauce y seguramente se incrementará el riesgo de daños por inundación en el polígono. Además, por impacto ambiental, convendría retirar la gran cantidad de escombros en el lecho. Ladera margen izquierda. Necesidad alta, ya que se han identificado grietas de tracción en el talud, y que parte de los viales está en voladizo, con alto riesgo de desprendimientos.

Imágenes:



Figura 928. Vista general de ambas márgenes y del lecho en el tramo, mirando hacia aguas arriba.



Figura 929. Vista de la margen izquierda y del lecho en el tramo, mirando hacia aguas abajo.



Figura 930. Daños en el vial, mirando hacia aguas arriba.



Figura 931. Daños en el vial y en la urbanización; grietas de tracción en la Calle Mas del Jutge nº 2..



Figura 932. Detalle de daños en la margen izquierda, bajo la C/Mas del Jutge nº 2. Vista desde aguas arriba.



Figura 933. Detalle de daños en la margen izquierda, bajo la C/Mas del Jutge nº 2. Vista desde aguas abajo.



Figura 934. Grietas de tracción junto al bordillo en la calle Mas del Jutge nº 2, en el tramo de aguas arriba que no ha sido socavado.

PE- 410/690

Descripción tramo	Cañada del Pequé. Tramo medio.
Coordenadas UTM (X;Y)	(715226;4368467)
Localización	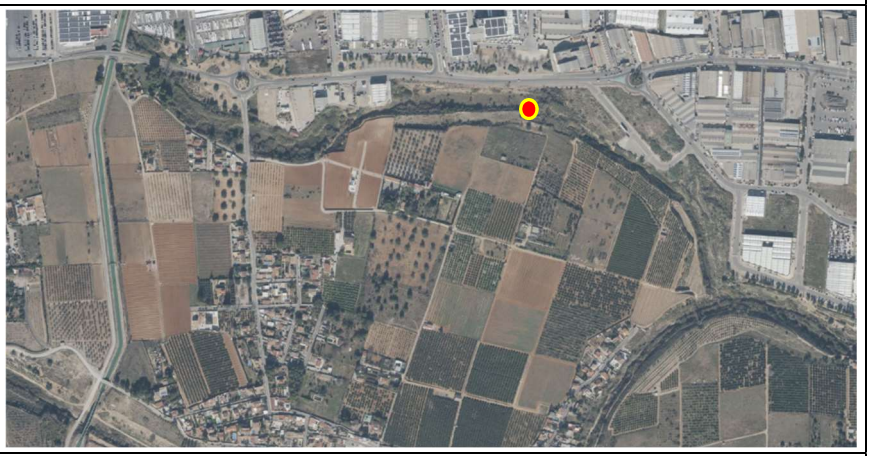
Detalle de planta con secciones	
Planta con daños	

Descripción de daños	En este tramo el cauce ha generado una socavación acusada por la margen izquierda, especialmente en el entorno del meandro. Aparentemente, en tiempo seco estos daños no parecen poner en riesgo la estabilidad del talud, aunque en ciertos tramos las zonas erosionadas quedan próximas al vial y convendría proporcionarle un mejor grado de protección. Por la margen derecha la erosión ha sido irrelevante, incluso se conserva una gran parte de la cubierta vegetal, por lo que no se considera necesario adoptar medidas. En el interior del cauce se identifican depósitos de un tamaño intermedio (finos y grava gruesa), con presencia de escombros de pequeño tamaño, seguramente indicativo de que la velocidad en este tramo fue relevante.
Necesidad de restitución	Ladera margen derecha. Necesidad baja. Cauce. Necesidad media. La presencia de depósitos eleva la cota del cauce y seguramente supondrá un incremento del riesgo de inundabilidad en el polígono. Ladera margen izquierda. Necesidad media, por la proximidad de la zona urbanizada, y la circulación de vehículos.

Imágenes:



Figura 935. Detalle del cauce y ambas márgenes, mirando hacia aguas arriba.



Figura 936. Detalle del cauce y ambas márgenes, mirando hacia aguas abajo.



Figura 937. Detalle de la ladera de la margen derecha.



Figura 938. Detalle del cauce y de la ladera de la margen izquierda.

PE- 690/810

Descripción tramo	Cañada del Pequé, aguas abajo de Transportes Expósito Vesemjel SL.
Coordenadas UTM (X;Y)	(715015;4368469)
Localización	
Detalle de planta con secciones	
Planta con daños	

Descripción de daños	La margen izquierda presenta un cierto grado de erosión, habiéndose eliminado casi toda su vegetación tras el paso de la DANA. La carretera del polígono no parece correr riesgo, por haberse conservado un espacio de terreno suficiente en la parte superior del talud. En la margen derecha la cubierta vegetal ha permanecido prácticamente intacta, al igual que su ladera, generándose únicamente erosiones localizadas de escasa importancia. El cauce presenta un gran volumen de escombros, escollera de gran tamaño, restos antrópicos y presencia de piezas metálicas, procedentes de naves y edificaciones próximas.
Necesidad de restitución	Ladera margen derecha. Necesidad baja. Cauce. Necesidad alta, por la contaminación generada por la cantidad de escombros y su tamaño. Ladera margen izquierda. Necesidad baja, ya que a pesar de la erosión, no hay riesgo de inestabilidad y queda un margen de seguridad suficiente hasta la carretera del polígono.

Imágenes:



Figura 939. Vista general del tramo, mirando hacia aguas abajo desde el interior del cauce. Se aprecia la diferencia entre la erosión en la margen derecha e izquierda.



Figura 940. Vista general del tramo desde la margen izquierda, mirando hacia aguas abajo. Se aprecia que en la margen derecha se ha conservado gran parte de la vegetación.



Figura 941. Detalle de escombros en el cauce.



Figura 942. Detalle de la margen derecha. Aunque presenta algo de erosión, está en estado aceptable.



Figura 943. Vista panorámica de la margen derecha y de los escombros en el cauce.



Figura 944. Vista general del tramo, mirando hacia aguas arriba desde el interior del cauce. Se aprecia la diferencia entre la erosión en la margen derecha e izquierda.

PE- 810/930

Descripción tramo	Cañada del Pequé, junto a la empresa Transportes Expósito Vesemjel SL.
Coordenadas UTM (X;Y)	(714909;4368440)
Localización	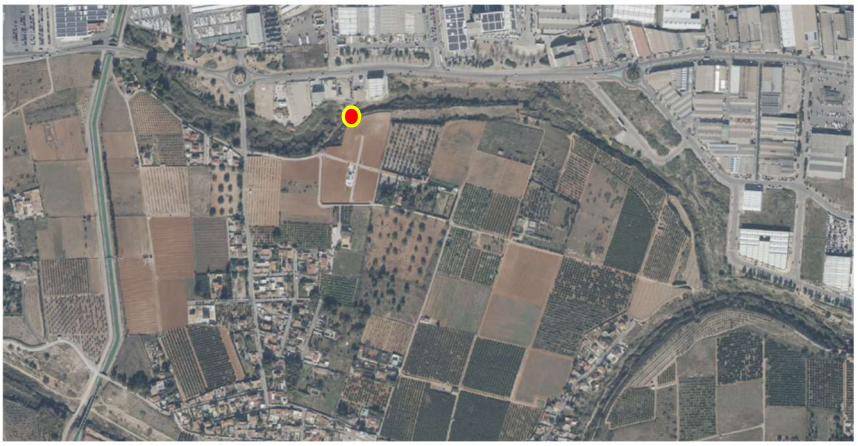
Detalle de planta con secciones	
Planta con daños	

Descripción de daños	La crecida ha erosionado ambas márgenes, debido al incremento de velocidad del flujo en el entorno del estrechamiento que provoca el terraplén de la nave situada en la margen izquierda. Precisamente en esa margen izquierda los daños han sido mayores, generando importantes daños en las instalaciones de la empresa Transportes Expósito Vesemjel SL. En esa ladera hay riesgos evidentes de desprendimientos. Cabe indicar que esa empresa está situada literalmente dentro del cauce de esta vaguada, ocupando la vía de intenso desagüe y bloqueando el drenaje natural de sus aguas. Por tanto, es inevitable que los daños en las instalaciones de esta empresa se repitan en el futuro. En la margen derecha se ha erosionado también, eliminando la vegetación. No parece existir riesgo de inestabilidad con el talud en seco, ya que la crecida ha dejado al aire materiales competentes del terreno. El cauce presenta erosión generalizada, debido a la aceleración del flujo en el estrechamiento que crea el terraplén de la nave. Existen algunos depósitos y escombros, consecuencia de los desprendimientos directos de la nave.
Necesidad de restitución	Ladera margen derecha. Necesidad baja. Cauce. Necesidad media, especialmente por algunas piezas metálicas de gran tamaño desprendidas de la nave siniestrada. Ladera margen izquierda. Necesidad alta.

Imágenes:



Figura 945. Margen izquierda. Daños importantes en la empresa Transportes Expósito Vesemjel SL.



Figura 946. Detalle de daños en la empresa Transportes Expósito Vesemjel SL.



Figura 947. Vista en el interior del cauce, desde la nave hacia aguas arriba. La erosión es generalizada en ambas márgenes.



Figura 948. Detalle de piezas en voladizo en la nave de la margen derecha.



Figura 949. Erosión en la margen izquierda, aguas arriba de la nave dañada.



Figura 950. Margen derecha en la parte de aguas abajo del tramo, con socavaciones y eliminación de vegetación.



Figura 951. Margen derecha en la parte de aguas arriba del tramo, también con socavaciones y eliminación de vegetación.



Figura 952. Vista panorámica de la margen derecha y del interior del cauce.



Figura 953. Vista desde el interior del cauce, mirando hacia aguas abajo.

PE- 930/1015

Descripción tramo	Cañada del Pequé; tramo medio.
Coordenadas UTM (X;Y)	(714805;4368387)
Localización	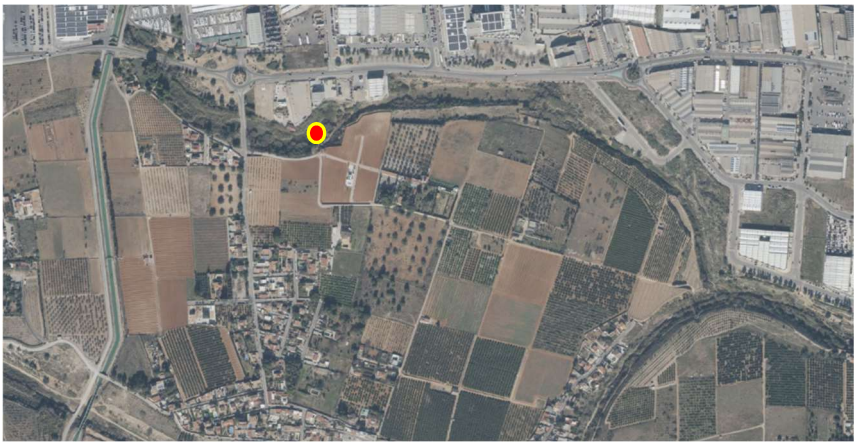
Detalle de planta con secciones	
Planta con daños	

Descripción de daños	En este tramo la afección en el cauce ha sido baja, seguramente porque al ocasionarse los daños en la nave de aguas abajo, su desmoronamiento produjo una reducción de la velocidad de la corriente en esta zona. El estrechamiento que genera en el cauce las instalaciones de dicha nave, también han contribuido a que los daños en este tramo sean limitados. La margen derecha ha conservado su vegetación en buen estado, indicativo de la escasa energía del flujo en este tramo. La margen izquierda ha sido parcialmente erosionada, aunque no presenta daños de importancia que requieran actuar sobre la misma. En el cauce se identifican depósitos de grava gruesa, sedimentos finos y escombros de origen antrópico. Aunque estos restos no han elevado en exceso la cota del lecho, se recomienda retirarlos por el impacto ambiental que generan.
Necesidad de restitución	Ladera margen derecha. Necesidad baja. Cauce. Necesidad media, por la retirada de residuos. Ladera margen izquierda. Necesidad baja.

Imágenes:



Figura 954. Vista del tramo mirando hacia aguas abajo.



Figura 955. Margen izquierda con vegetación casi intacta.



Figura 956. Vista del tramo mirando hacia aguas arriba.



Figura 957. Vista de la margen derecha.

PE- 1015/1120

Descripción tramo	Cañada del Pequé aguas abajo de la calle Ávila.
Coordenadas UTM (X;Y)	(714727;4368378)
Localización	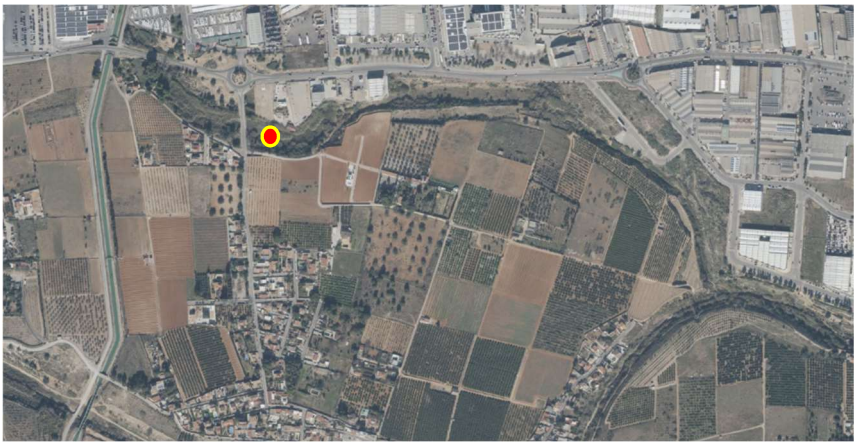
Detalle de planta con secciones	
Planta con daños	

Descripción de daños	Al igual que en el tramo anterior, los daños en esta zona resultan prácticamente inexistentes. De nuevo, la margen derecha ha conservado su vegetación casi intacta, dando continuidad al tramo de aguas abajo. La margen izquierda se ha erosionado en algunas zonas, alcanzando casi el pie de muro de contención existente en esa margen. El muro ha resistido, pero la erosión ha quedado a escasa distancia de su base de apoyo. El lecho del cauce ha sufrido socavaciones por el incremento de energía tras cruzar el badén, pero en ciertas zonas ha conservado parte de su vegetación, indicativo de que las velocidades no resultaron excesivamente elevadas. Hay depósitos de pequeño tamaño (grava y arena), y algunos residuos puntuales que convendría retirar.
Necesidad de restitución	Ladera margen derecha. Necesidad baja. Cauce. Necesidad baja, pero convendría hacer una limpieza puntual en ciertas zonas. Ladera margen izquierda. Necesidad media, para evitar que nuevas crecidas acaben por descalzar el muro.

Imágenes:



Figura 958. Vista mirando hacia aguas arriba del tramo.



Figura 959. Vista general del tramo, mirando hacia aguas abajo.



Figura 960. Vista panorámica, mirando ligeramente hacia la margen derecha.



Figura 961. Detalle de la margen derecha.



Figura 962. Detalle de aguas abajo del tramo, mirando en sentido de la corriente.



Figura 963. Margen izquierda, con erosión hasta el pie del muro.

PE- 1120/1140

Descripción tramo	Cañada del Pequé en el cruce con la calle Ávila.
Coordenadas UTM (X;Y)	(714661;4368399)
Localización	
Detalle de planta con secciones	
Planta con daños (girada 90º)	
Descripción de daños	Este badén inundable de la calle Ávila ha sufrido daños, que están siendo reparados por el Ayuntamiento de Torrent. En ambas márgenes las laderas no han sufrido daños, identificando sólo desperfectos en las aceras y en el sistema de alumbrado.

Necesidad de restitución	Ladera margen derecha. Necesidad baja. Cauce. Necesidad media. Ladera margen izquierda. Necesidad media.

Imágenes:



Figura 964. Badén de la Calle Ávila sobre la Cañada del Pequé, visto desde aguas abajo.

PE- 1140/1250

Descripción tramo	Cañada del Pequé aguas arriba de la Calle Ávila.
Coordenadas UTM (X;Y)	(714591;4368420)
Localización	
Detalle de planta con secciones	
Planta con daños	

Descripción de daños	Los daños en este tramo no resultan significativos, ya que el flujo no debió alcanzar una velocidad excesiva, seguramente influenciado por paso sobre el badén de la C/Ávila. En la margen derecha los árboles han protegido la ladera a la altura de la calle Leones, con afecciones mínimas. Por la margen izquierda la crecida coronó el terraplén inundando la rotonda y arrancando parte de la vegetación, pero conservando el carrizo, tumbado por la energía del flujo. La estabilidad de esa ladera no parece estar comprometida, al tener poca altura y un talud muy tendido. El estado del cauce en este tramo no presenta afecciones de importancia. Aunque la vegetación de ribera se ha mantenido parcialmente en las márgenes, en el interior del lecho del barranco se ha eliminado casi por completo. Sin embargo, no se identifican zonas de erosión relevantes.
Necesidad de restitución	Ladera margen derecha. Necesidad baja. Cauce. Necesidad baja. Ladera margen izquierda. Necesidad baja.

Imágenes:



Figura 965. Vista desde la margen izquierda, mirando hacia aguas abajo, con el badén de la C/Ávila al fondo. Puede apreciarse cómo se ha conservado la vegetación en ambas márgenes, indicativo que las velocidades en este tramo no fueron excesivamente elevadas.



Figura 966. Detalle de la margen izquierda vista desde el interior del cauce, mirando hacia aguas arriba, en la que se aprecia que se ha conservado gran parte de la vegetación.

PE- 1250/1375

Descripción tramo	Cañada del Pequé aguas abajo de su cruce con el Carrer Mas del Jutge.
Coordenadas UTM (X;Y)	(714488;4368495)
Localización	
Detalle de planta con secciones	
Planta con daños	

Descripción de daños	En este tramo, la falta de continuidad hacia aguas arriba de la cañada del Pequé ha ocasionado que el flujo se derivase hacia los laterales de la fábrica de Campofrío, convirtiendo esta zona del cauce en un azarbe. Por este motivo, se han producido mayores daños en las márgenes que en el propio cauce, especialmente en la margen derecha, en la que el agua ha dañado varias viviendas y destruido parte del recorrido del camino de la Banderilla. En el cauce se ha arrancado gran parte de la vegetación, pero apenas ha generado socavaciones. Los depósitos en esta zona son irrelevantes.
Necesidad de restitución	Ladera margen derecha. Necesidad media. Aunque el talud tiene poca altura y no presenta riesgo de inestabilidad en tiempo seco, se trata de un tramo de tránsito habitual de vehículos, que se sigue utilizando a pesar de su estado. Cauce. Necesidad baja. Ladera margen izquierda. Necesidad baja.

Imágenes:



Figura 967. Margen izquierda mirando hacia aguas arriba, vista desde la margen derecha. Al fondo se puede apreciar el paso bajo la carretera de Mas del Jutge.



Figura 968. Vista de la margen derecha desde el interior del cauce, en la que se pueden apreciar erosiones generadas en el talud del camino de la Banderilla.



Figura 969. Daños en el entorno del camino de la Banderilla.



Figura 970. Vista panorámica del camino de la Banderilla, junto a la cañada del Pequé.



Figura 971. Detalle de daños en el pavimento del camino de la Banderilla.

PE- 1375/1460

Descripción tramo	Cañada del Pequé entre el canal Júcar-Turia y la carretera del Mas del Jutge.
Coordenadas UTM (X;Y)	(714449;4368554)
Localización	
Detalle de planta con secciones	
Planta con daños	

Descripción de daños	Los daños son prácticamente inexistentes en las laderas aguas abajo del canal Júcar-Turia, aunque la vegetación ha sido eliminada por completo. Esto está relacionado con que, debido a la magnitud de la crecida, el flujo se evacuó por el exterior de este tramo. El cauce está casi intacto en esta zona, al igual que sus márgenes.
Necesidad de restitución	Ladera margen derecha. Necesidad baja. Cauce. Necesidad baja. Ladera margen izquierda. Necesidad baja.

Imágenes:



Figura 972. Tramo visto hacia aguas arriba, con la fábrica de Campofrío al fondo.

PE- 1460/2090

Descripción tramo	Cañada del Pequé entre el cruce con el canal Júcar-Turia y la CV-36.
Coordenadas UTM (X;Y)	(714330;4368621)
Localización	
Detalle de planta con secciones	
Planta con daños	

Descripción de daños	Aguas arriba del inicio de la cañada del Pequé, no existe un cauce definido debido a la ocupación del suelo de las últimas décadas. Las instalaciones de la fábrica de Campofrío interrumpen el drenaje natural del agua desde el Llano de Quart hacia la cañada del Pequé. Como consecuencia, el flujo tiende a atravesar sus instalaciones, con la consiguiente peligrosidad para bienes y personas. En este tramo no se puede hablar de daños sobre laderas o cauces, ya que éstos no existen; la urbanización ha ocupado el espacio natural de las corrientes superficiales y el drenaje se produce superficialmente, entre los edificios. Durante la DANA, esta circulación entre las naves de la fábrica provocó importantes daños, y la destrucción de muchos vehículos de sus trabajadores. Gran parte de esos coches acabaron arrastrados hacia el interior del canal Júcar-Turia, y también hacia los campos situados en la margen derecha de la cañada del Pequé. Por la margen izquierda de la cañada, el flujo atravesó las instalaciones de la empresa SP Berner Plastics, destruyendo parte de sus cerramientos y distribuyendo sus plásticos fragmentados hacia aguas abajo.
Necesidad de restitución	Ladera margen derecha. Necesidad inexistente por falta de cauce. Cauce. Necesidad alta. Se requiere una recuperación del drenaje natural desde el llano de Quart hacia la cañada del Pequé, que impida que el flujo circule de forma descontrolada entre las fábricas. Ladera margen izquierda. Necesidad inexistente por falta de cauce.

Imágenes:



Figura 973. Coches del parking de la fábrica de Campofrío, esparcidos en torno al canal Júcal-Turia. Vista desde aguas abajo del canal.



Figura 974. Coches del parking de la fábrica de Campofrío, esparcidos en torno al canal Júcal-Turia.

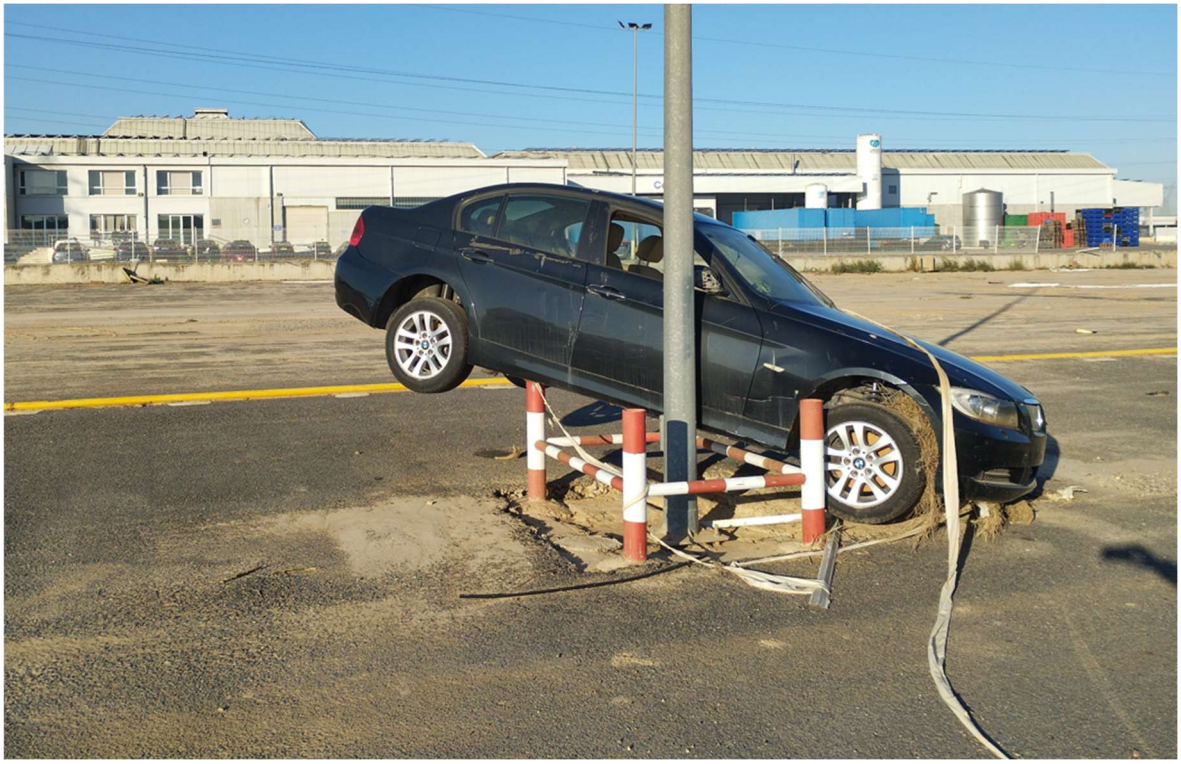

Figura 975. Coche arrastrado en el parking de la fábrica de Campofrío.

PE- 2090/ 2580

Descripción tramo	Cañada del Pequé entre la CV-36 y la línea de ferrocarril del AVE.
Coordenadas UTM (X;Y)	(713805;4369216)
Localización	
Detalle de planta con secciones	
Planta con daños (girada 45º)	
Descripción de daños	Aguas arriba de la CV-36 existe una vaguada que concentra el flujo procedente del Pla de Quart. En este tramo el caudal fue importante, pero su velocidad no lo fue tanto al estar limitada por infraestructuras. Los daños se concentran en viviendas, invernaderos y en campos de cultivo situados en las terrazas laterales, pero las laderas y el cauce no presentan afecciones de importancia.

Necesidad de restitución	Ladera margen derecha. Necesidad baja. Cauce. Necesidad baja. Ladera margen izquierda. Necesidad baja.

Imágenes:



Figura 976. Vista desde mitad del tramo, mirando hacia aguas arriba desde la margen izquierda. Se puede apreciar la línea de ferrocarril al fondo de la imagen.



Figura 977. Vista desde mitad del tramo, mirando hacia aguas abajo desde la margen izquierda. Se puede apreciar la fábrica de Campofrío al fondo de la imagen.



Figura 978. Sedimentos arrastrados por la inundación en la margen derecha de la vaguada.

5.7.- BARRANCO DE SOTERRAÑA. PARTIDA DE LA VENTETA.

VE- 0/360

Descripción tramo	Barranco de Soterraña inmediatamente aguas arriba de la confluencia con el Barranco de Horteta.
Coordenadas UTM (X;Y)	(713541;4368207)
Localización	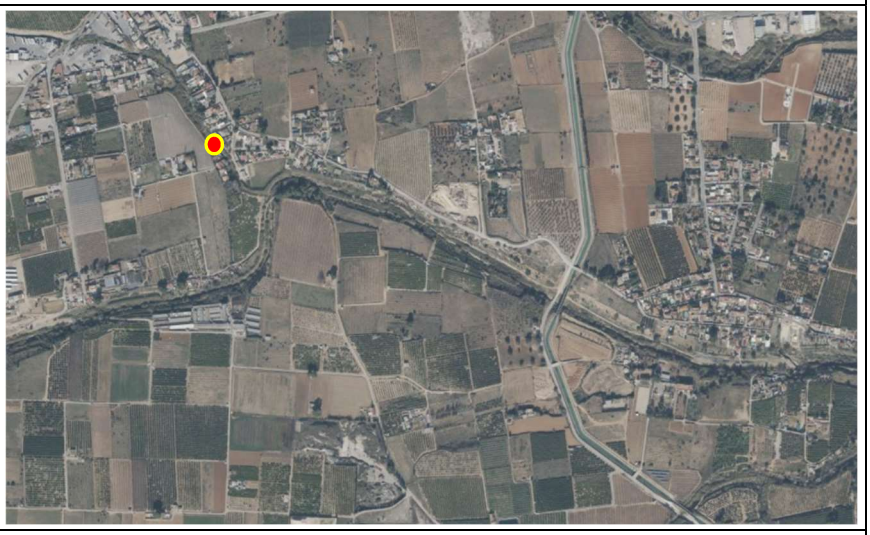
Detalle de planta con secciones	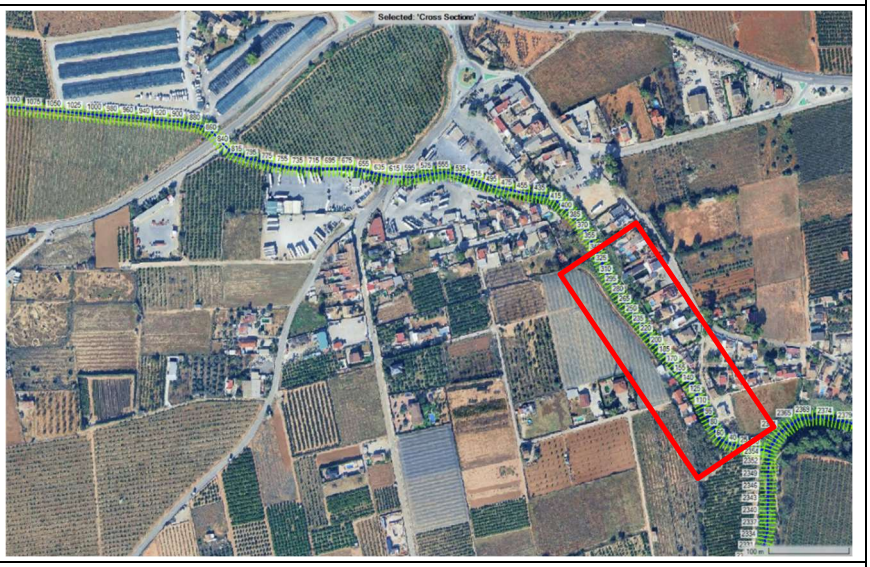
Planta con daños (girada 90º)	

Descripción de daños	Se trata de una zona que sufrió graves daños durante la riada, con importantes afecciones en el cauce y a las viviendas de su entorno más próximo. Ambas laderas se vieron erosionadas, no sólo por la velocidad del flujo que descendía desde el arroyo, sino también por la energía de la corriente descendiente desde el Barranco de Horteta. En el entorno de la confluencia se generó gran turbulencia que incrementó las erosiones localizadas. Este reguero no suele trasegar agua procedente de aguas arriba, al tratarse de un drenaje procedente del Pla de Quart que sólo se activa cuando éste se inunda. Por este motivo, seguramente no se percibe la sensación de peligrosidad fluvial, lo que motivado que las edificaciones hayan proliferado en torno al borde de este arroyo, limitando la capacidad de vertido hacia sus terrazas fluviales. Convendría llevar a cabo una planificación global de esta zona, y proceder a su rediseño urbanístico, priorizando los criterios hidráulicos, por la elevada peligrosidad frente a inundación que presenta para los bienes y personas que residan en ella.
Necesidad de restitución	Ladera margen derecha. Necesidad alta. Cauce. Necesidad alta. Ladera margen izquierda. Necesidad alta.

Imágenes:



Figura 979. Tramo bajo del Barranco de Soterraña, mirando hacia aguas arriba. Importantes daños en las viviendas colindantes y márgenes muy deterioradas.



Figura 980. Detalle de la margen derecha en el tramo bajo del Barranco de Soterraña, mirando hacia aguas arriba.



Figura 981. Tramo bajo del Barranco de Soterraña en su confluencia con el Barranco de Horteta por la margen izquierda de este último, al fondo. Vista hacia aguas abajo.



Figura 982. Vista de la margen derecha desde la margen izquierda, en la que pueden apreciarse los importantes daños sufridos en esta zona.

VE- 360/480

Descripción tramo	Barranco de Soterraña, aguas arriba del tramo anterior.
Coordenadas UTM (X;Y)	(713398;4368369)
Localización	
Detalle de planta con secciones	
Planta con daños	

Descripción de daños	Se trata de un tramo degradado que apenas se percibe como un cauce natural, y en el que convendría recuperar su valor ambiental. Los muros lo han invadido lateralmente, quedando prácticamente encajado en la trama urbana. Su margen derecha presenta un muro de hormigón coronado por bloques, de unos cinco metros de altura, que ha resistido la embestida de la crecida. La margen izquierda, en su tramo más alto, está también reforzada por diferentes elementos antrópicos. Hay zonas con muros de hormigón, otras con tapias de bloques, e incluso lechadas de hormigón vertidas directamente sobre la ladera, que genera una costra superficial para proporcionar cierta consistencia al talud. Algunos de estos elementos se han desprendido durante la riada. En cuanto al tramo bajo de la margen izquierda, al estar en el exterior de un meandro y sin revestir, ha sufrido erosiones localizadas de escasa importancia. En el cauce se han depositados sedimentos de tamaño arenoso, pero no presenta afecciones relevantes.
Necesidad de restitución	Ladera margen derecha. Necesidad baja. Cauce. Necesidad baja. Pero convendría mejorar su capacidad hidráulica. Ladera margen izquierda. Necesidad media.

Imágenes:



Figura 983. Zona baja del tramo, mirando hacia aguas abajo. Erosiones en la margen izquierda.



Figura 984. Zona baja del tramo, mirando hacia aguas arriba. La margen izquierda estaba recubierta por elementos de hormigón, que se han deteriorado, quedando algunos de ellos inestables.



Figura 985. Zona media del tramo, mirando hacia aguas abajo. El muro de la margen derecha ha quedado parcialmente descalzado.

VE- 480/615

Descripción tramo	Barranco de Soterraña inmediatamente aguas abajo del Camí dels Arquets.
Coordenadas UTM (X;Y)	(713285;4368393)
Localización	
Detalle de planta con secciones	
Planta con daños	

Descripción de daños	Al igual que los tramos de aguas abajo, se trata de una zona muy antropizada en el que incluso cuesta identificar la presencia de un cauce. La margen izquierda está reforzada con un muro de escollera colocada, en el que no se perciben daños. La margen derecha está consolidada mediante vigas de gran tamaño, colocadas unas sobre otras sin arriostramiento entre ellas. Se trata de un conjunto que apenas presenta estabilidad, y en el que incluso se ha desprendido alguno de esos elementos, con el consiguiente peligro. El cauce presente sedimentos finos de tamaño arenoso, con presencia de arcillas y limos. El tramo en sí no ha sufrido apenas daños, porque el flujo se derivó por otros recorridos debido a la escasa capacidad de este reguero. Se recomienda que esta zona se realice una nueva planificación urbana que integre los criterios hidráulicos, lo cual, como puede apreciarse, ha tenido
Necesidad de restitución	Ladera margen derecha. Necesidad alta. Cauce. Necesidad media, por su escasa capacidad hidráulica. Ladera margen izquierda. Necesidad baja.

Imágenes:



Figura 986. Vista desde el interior del cauce en la parte baja del tramo, mirando hacia aguas arriba, en el que se aprecia la inestabilidad de los elementos situados en la margen derecha.



Figura 987. Vista de la margen derecha varios metros más hacia aguas arriba de la imagen anterior, mirando hacia aguas abajo. Las vigas superpuestas no parecen ofrecer estabilidad en esa margen.



Figura 988. Zona media del tramo, mirando hacia aguas abajo desde el interior del cauce.



Figura 989. Vista desde al punto anterior, mirando hacia aguas arriba. El muro de mampostería de la margen izquierda ha resistido de forma adecuada.



Figura 990. Vista de la zona alta del tramo desde la mota derecha, mirando hacia aguas abajo. A la derecha de la foto, vivienda dañada por arrastres incontrolados por la escasa capacidad del cauce.



Figura 991. Zona alta del tramo, mirando hacia aguas arriba. Vista desde la margen derecha, sobre las vigas que soportan dicho talud, y que pueden apreciarse en el pie de la imagen. Al fondo puede verse el cruce de este reguero con el Camí dels Arquets.

VE- 615/850

Descripción tramo	Barranco de Soterraña entre el Camí dels Arquets y la CV-411.
Coordenadas UTM (X;Y)	(713122;4368402)
Localización	
Detalle de planta con secciones	
Planta con daños (girada 90º)	

Descripción de daños	La ocupación urbanística ha eliminado prácticamente la capacidad hidráulica de este tramo, que constituye una vía que permite drenar el sur del Pla de Quart, que esta zona se alimenta de caudales procedentes de barrancos como en el de Santo Domingo o el de Soterraña, que descienden desde la Sierra Perenxisa, aunque también llega a alimentarse de los flujos desbordados de los Barrancos del Galleo o del Pelos, situados más al norte. Hay dos factores que han hecho que los daños ocasionados en este cauce no resulten relevantes; primero por sus características geomorfológicas (que hacen que el flujo alcance este reguero de forma difusa, desbordando por el exterior), y en segundo lugar, por tratarse de un recorrido completamente antropizado. Por tanto, esta zona apenas requiere de reparaciones asociadas a la DANA, ni en sus márgenes ni en su solera. Sin embargo, aunque no requiera de una actuación inmediata, se recomienda ampliar la capacidad hidráulica en esta canalización, ya que los daños personales sufridos en la zona urbanizada aguas abajo, están directamente relacionados con haber eliminado la capacidad de este tramo.
Necesidad de restitución	Ladera margen derecha. Necesidad baja. Cauce. Necesidad media. Aunque no requiera de una actuación inmediata, se recomienda ampliar la capacidad hidráulica en este tramo. Ladera margen izquierda. Necesidad baja.

Imágenes:



Figura 992. Parte baja del tramo, mirando hacia aguas abajo. Cruce con el Camí dels Arquets.



Figura 993. Vista de la parte baja de este tramo, mirando hacia aguas arriba.



Figura 994. Vista de la parte media del tramo, mirando hacia aguas abajo. El flujo tiene que circular por el canal lateral a la carretera. Supone un punto peligroso y sin escapatoria para cualquier vehículo.



Figura 995. Vista de la parte media de este tramo, mirando hacia aguas arriba. En caso de riada, se evidencia la falta de escapatoria para los vehículos descrita en la imagen anterior.



Figura 996. Punto aguas arriba del tramo. Cruce con la CV-411.



Figura 997. Obra de drenaje transversal de este barranco con la carretera CV-411.

6.- ANEJO 6: VALORACIÓN ECONÓMICA PARA REPOSICIÓN DE ZONAS URBANAS

Para la estimación de daños en áreas urbanizadas, se han realizado una serie de fichas en las diferentes zonas en las que se han identificado desperfectos ocasionados por las inundaciones que tuvieron lugar el 29 de octubre de 2024. Dichas zonas, ocho en total, se exponen en el apartado 5.3 de la Memoria del trabajo.

Cabe indicar que hay muchas más zonas urbanizadas que sufrieron daños durante el evento de la DANA, por ejemplo, en el entorno de muchos caminos, o incluso en las urbanizaciones de Calicanto, situadas a gran altura y en las que no hay ningún cauce próximo. Sin embargo, en este análisis se centrará únicamente en las zonas con daños más relevantes, y que además estén asociadas directamente con la inundación ocasionada por el desbordamiento de los cauces.

6.1.- NIVEL DE INTERVENCIÓN

Con el fin de priorizar las actuaciones derivadas de la afectación por episodios de inundación, se han definido distintos niveles de intervención en función del grado de daño ocasionado sobre las calles y el mobiliario urbano. Para su representación cartográfica se ha empleado una codificación por colores:

- Nivel alto de intervención (color rojo): corresponde a las zonas más afectadas por la inundación, en las que es necesaria una restitución completa del viario y del mobiliario urbano. Estas actuaciones incluyen la reposición integral del firme, la reparación o sustitución de pavimentos, y la renovación del mobiliario dañado (bancos, papeleras, farolas, señalización, etc.).

- Nivel medio de intervención (color amarillo): hace referencia a áreas con un grado de afectación intermedio. En estas zonas las intervenciones se centran principalmente en labores de limpieza, reparación puntual del mobiliario urbano y restitución de los elementos dañados. El objetivo es recuperar la funcionalidad sin necesidad de realizar una sustitución completa de los elementos existentes.

- Nivel bajo de intervención (color verde): se trata de sectores con una afectación leve, donde las actuaciones previstas son fundamentalmente labores de limpieza y mantenimiento preventivo. Estas intervenciones buscan preservar el estado actual de las calles y evitar un mayor deterioro a futuro.

6.2.- FICHAS DE VALORACIÓN

A continuación, se muestran las fichas realizadas para llevar a cabo la estimación del coste de la restitución de la urbanización en esas ocho zonas. En ellas se detallan los tramos analizados, la evaluación de la afección y su valoración económica de sus daños.

Descripción Tramo 1	C/ del Barranc, C/ de Mineta y C/ dels Mauros.
Localización	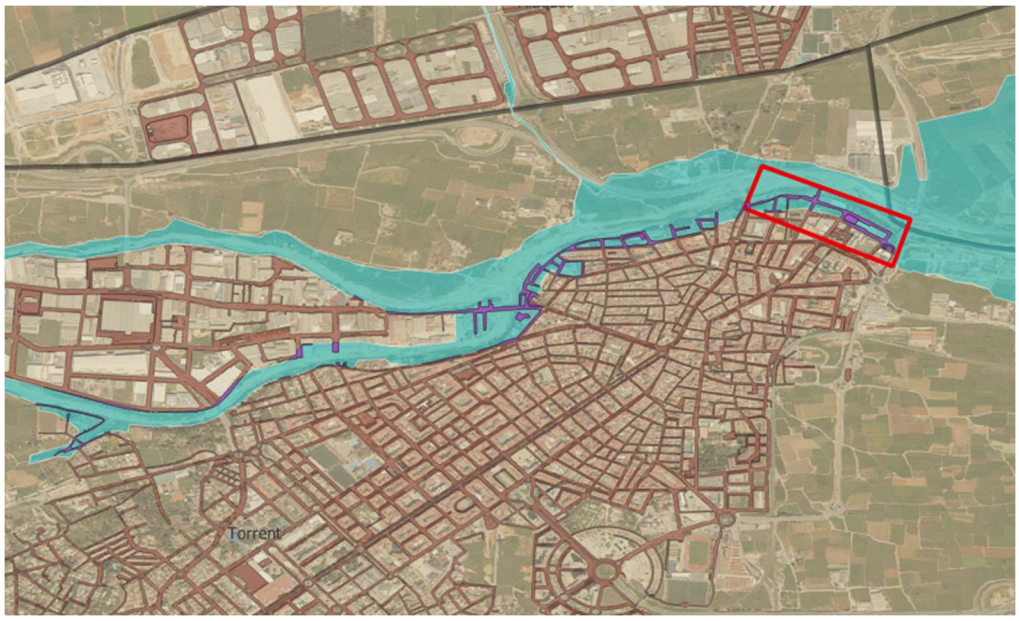
Detalle de planta	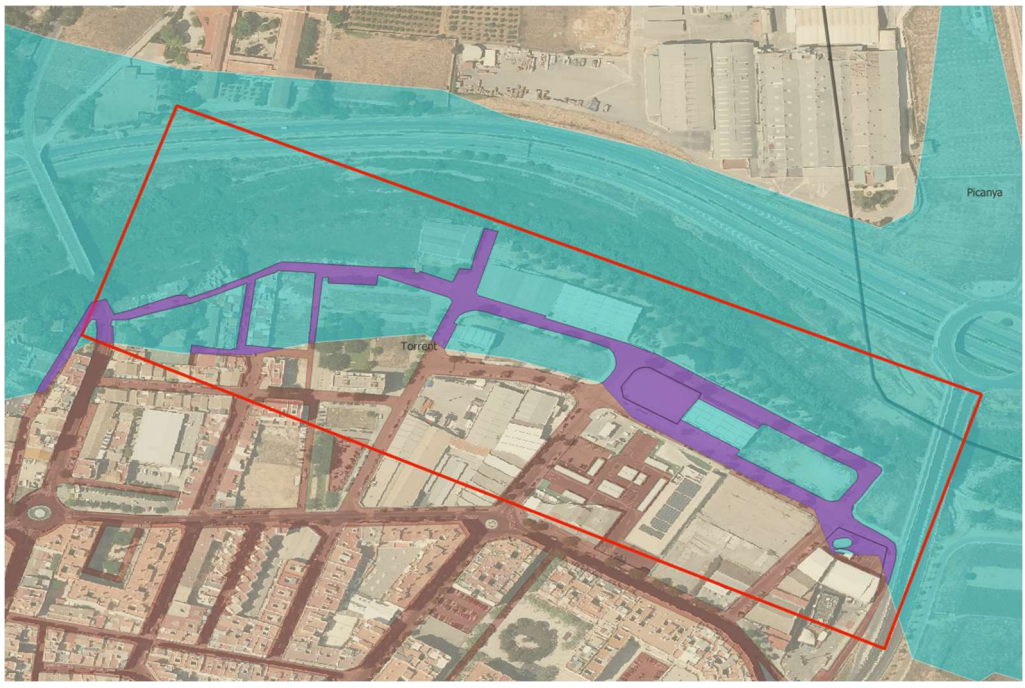

Planta con daños



Nivel de intervención

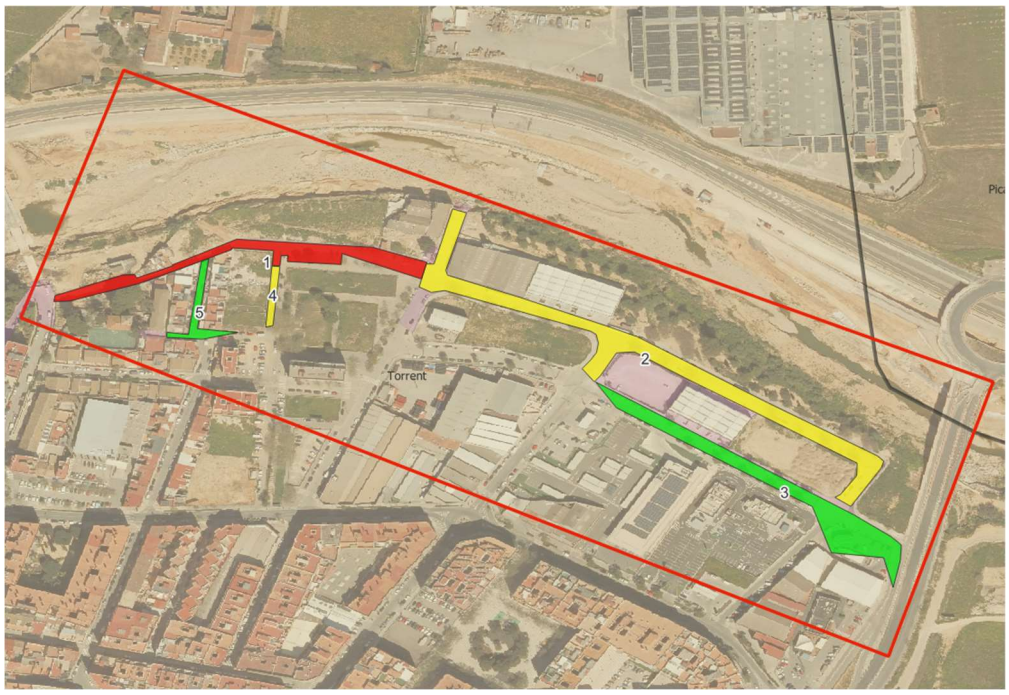

Propuesta

Sector	Superficie (m^2)	Grado de intervención	Coste (€)
1	2.265		453.000
2	4.855		461.225

	3	3.083		154.150
	4	229		21.755
	5	469		23.450

Descripción

El tramo objeto de estudio se localiza en las calles C. del Barranc, C. de Mineta y C. dels Maures, situadas en la margen derecha del Barranco del Poyo. Este sector sufrió importantes acumulaciones de agua que provocaron daños en la calzada, pérdida de material en el firme y afecciones en el sistema de drenaje urbano, con imbornales colapsados y deficiencias en la evacuación de aguas pluviales. Asimismo, se detectaron deterioros en pavimentos, señalización y mobiliario urbano, lo que afecta tanto a la funcionalidad viaria como a la seguridad de los peatones y vehículos. A partir de la delimitación del ámbito afectado se han identificado diferentes grados de intervención, que permiten plantear varias alternativas de reposición y recuperación de la zona, priorizando aquellas que garanticen la reducción de la vulnerabilidad frente a futuras inundaciones.

En base a la clasificación realizada, se han identificado los siguientes tramos de actuación. La Calle del Barranc presenta el mayor grado de intervención (color rojo), con necesidad de reposición integral del firme y drenaje, y un coste estimado de 453.000 €. En la Calle de Mineta, donde los daños son moderados (color amarillo), la actuación se centra en reparaciones parciales, con un coste aproximado de 482.980 €. Finalmente, la Calle del Mauros y la Calle Benisaet se encuentra en mejor estado de conservación (color verde), siendo suficiente la limpieza, con un coste estimado de 177.600 €. Esta distribución permite priorizar los recursos en las zonas más afectadas, garantizando una recuperación progresiva y eficiente de la red viaria.

Descripción Tramo 2	C/ Barranc l'Horteta, C/ Sant Pancraci,
Localización	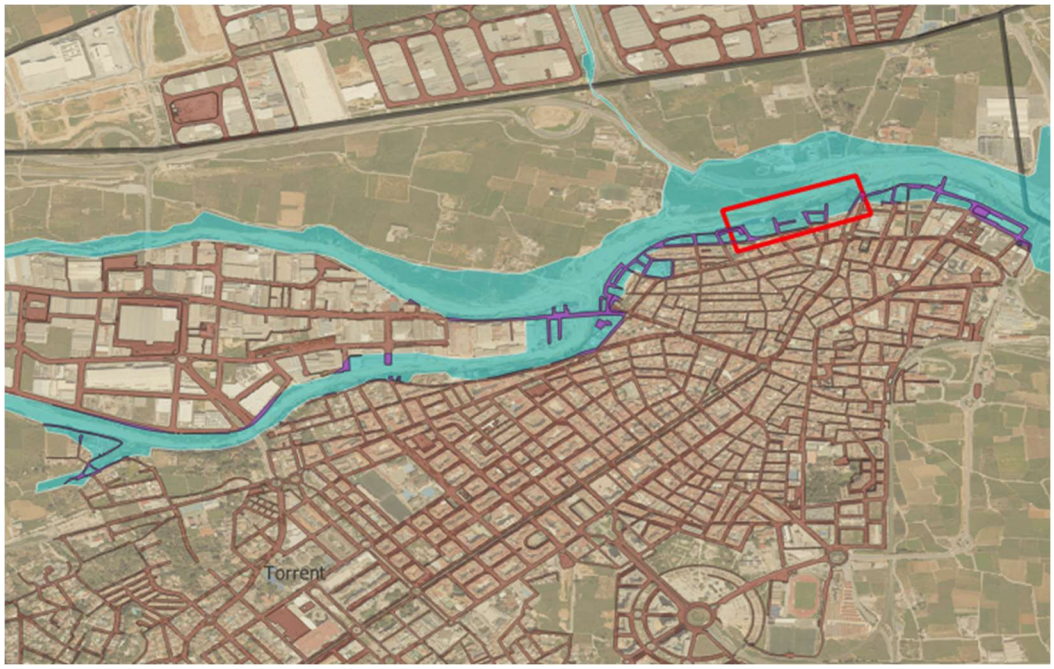
Detalle de planta	

Planta con daños

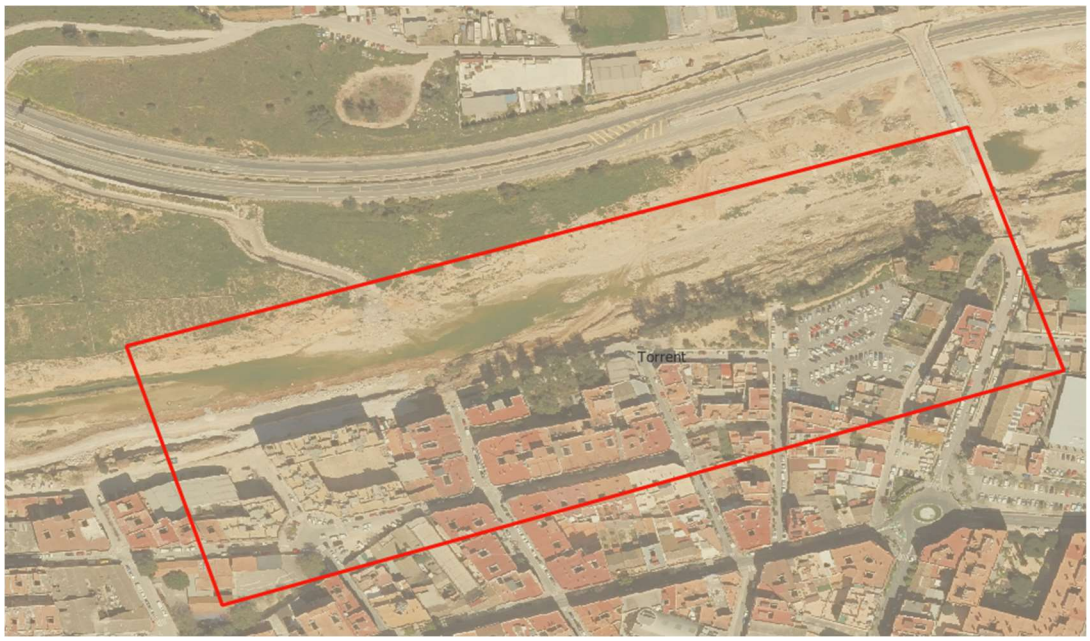

Nivel de intervención

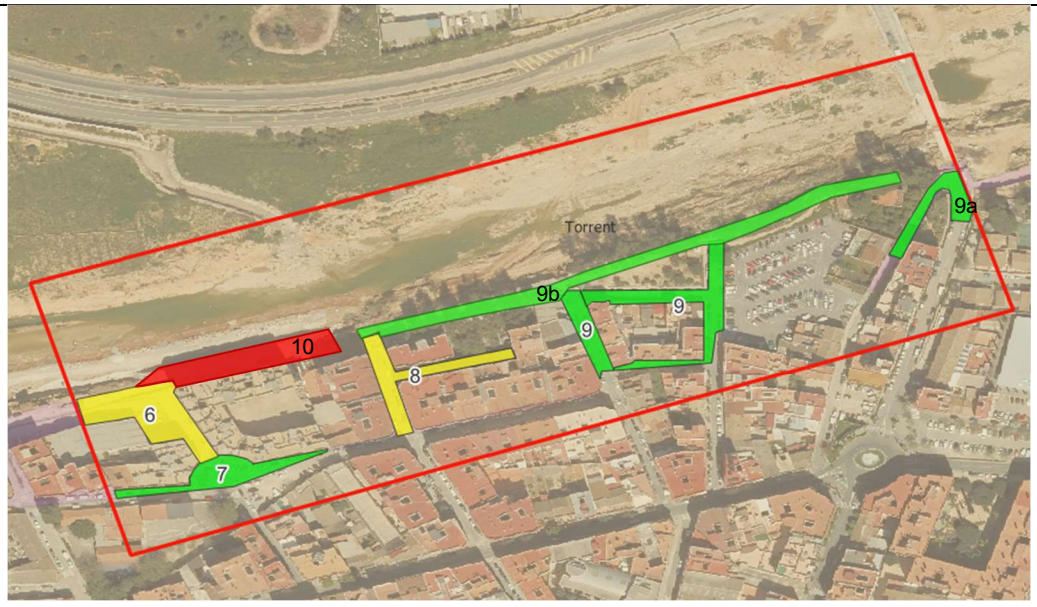

Propuesta

Sector	Superficie (m²)	Grado de intervención	Coste (€)
6	1.477		140.315
7	870		43.500
8	906		86.070
9	1.693		84.650
9a	566		28.300
9b	3.298		164.900
10	1.067		213.400

Descripción	El tramo objeto de análisis se sitúa entre las calles Llocnou de la Corona y Gómez Ferrer, próximas al Barranco del Poyo, donde las lluvias torrenciales del 29 de octubre ocasionaron desbordamientos y acumulaciones de agua que afectaron a la red viaria. Estas avenidas provocaron arrastres de materiales y el colapso parcial del sistema de drenaje, generando daños en la calzada y pérdida de firme, así como deterioros en pavimentos y elementos de urbanización. Esta situación ha reducido la capacidad funcional de las vías y ha puesto de manifiesto la necesidad de actuar de manera prioritaria para garantizar la seguridad y la resiliencia del entorno urbano frente a futuros episodios de inundación. A partir de la zonificación realizada se han distinguido diferentes sectores de intervención en función del grado de afección. Los tramos en amarillo, como el Carrer de Jesús y el cruce de Llocnou de la Corona con el Barranc de L´Horteta, requieren actuaciones de intensidad media, consistentes en reparaciones parciales del firme y mejoras puntuales del mobiliario urbano, con un coste de recuperación estimado de 226.385 €. En cambio, las áreas en verde, que incluyen Carrer de Llocnou de la Corona, Sant Pancraci, Sant Ramon y Mare de Déu de l'Assumpció, presentan daños menores, limitándose las actuaciones a labores de limpieza, con un coste aproximado de 156.450 €. Los mayores daños se concentran en el tramo de la calle Barranc de L´Horteta, situado entre la calle Llocnou de la Corona y la calle Jesús. En esa zona, la urbanización prácticamente ha desaparecido, arrancando el pavimento del vial, destruyendo alcantarillado, iluminación y resto de servicios urbanos, y quedando la margen derecha del cauce casi lindando con la acera. Por este motivo este tramo de calle ha sido evaluada con mayor coste de reposición, que se ha estimado en 213.400 €. Por último, el tramo de esta misma calle Barranc de L´Horteta, situado más al noreste, entre la calle Jesús y la calle de los Xocolates, no ha sufrido grandes daños en el pavimento, pero sí en la jardinería y en parte de los rellenos de la zona ajardinada, que han sido arrastrados por la crecida. Había un muro de mampostería perimetral en la zona norte de esta casi, que ha quedado prácticamente destruido, salvo en algunos tramos. Además de esos destrozos, esta área requiere de saneamiento de zonas descalzadas y limpieza. Al tratarse de una zona bastante amplia, el coste total de reposición se ha valorado en 164.900 €. Esta diferenciación permite asignar de forma eficiente los recursos disponibles, priorizando las zonas con mayores necesidades y favoreciendo una recuperación progresiva y equilibrada del viario urbano.

Descripción Tramo 3	C/ Llíria y C/ Virgen Fátima
Localización	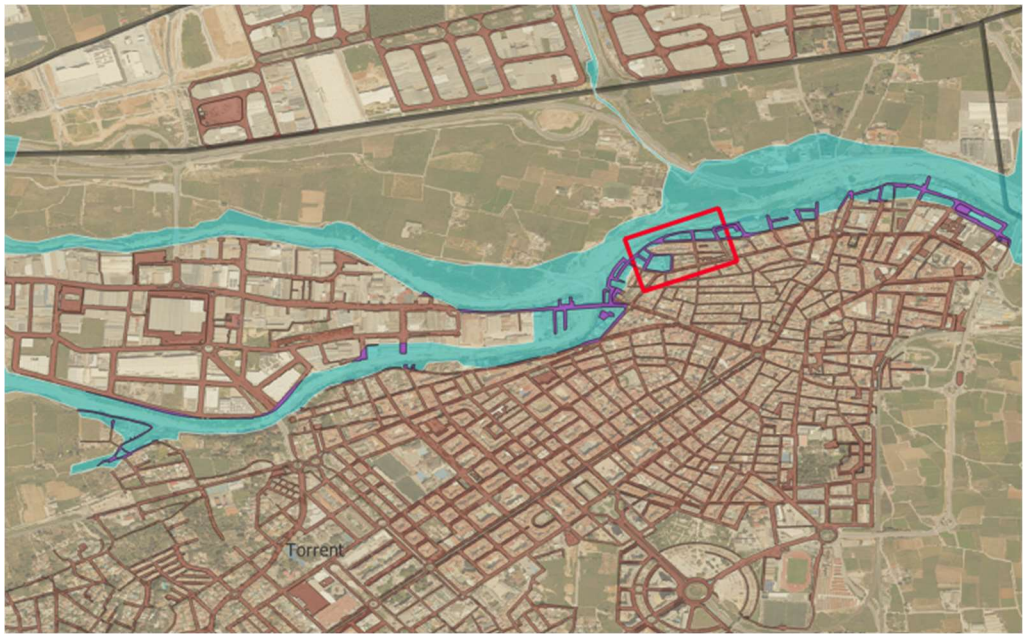
Detalle de planta	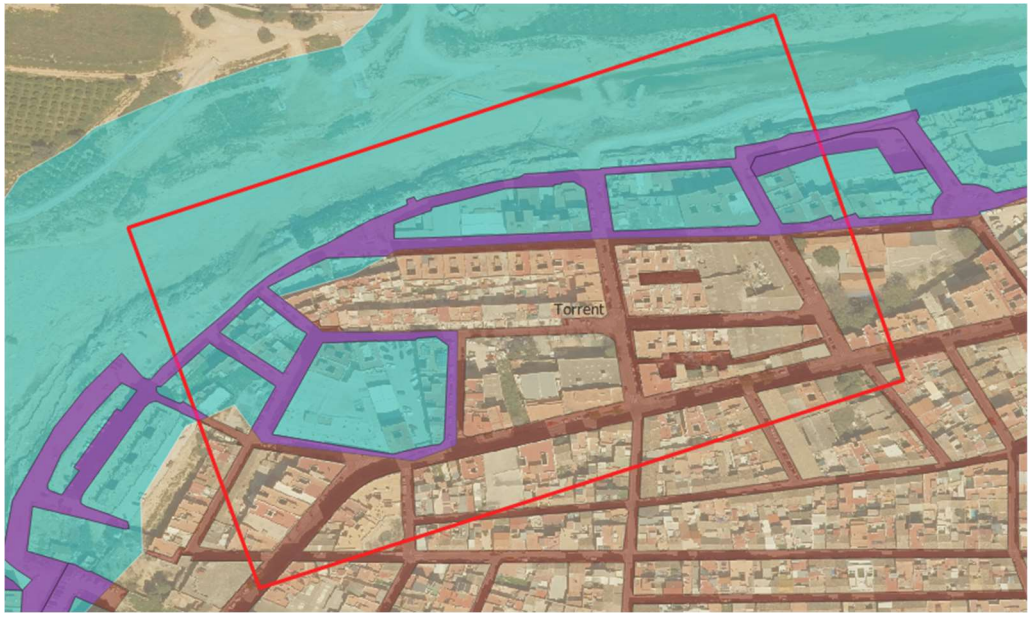

Planta con daños	
Nivel de intervención	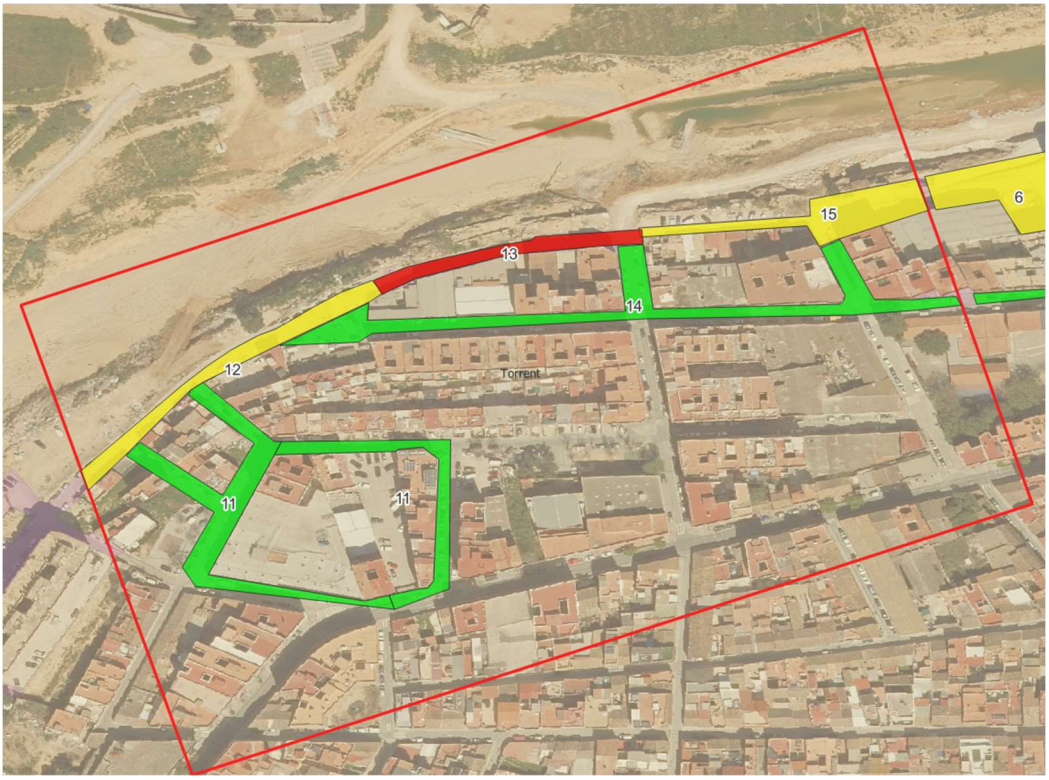

Propuesta

Sector	Superficie (m^2)	Grado de intervención	Coste (€)
11	2.437		121.850
12	1.014		96.330
13	660		132.000
14	2.054		102.700
15	1.130		107.350

Descripción

El tramo objeto de análisis se sitúa entre el Carrer Llíria y el Carrer Joan XXIII, en la margen próxima al Barranco del Poyo. Durante las lluvias torrenciales del 29 de octubre, este sector sufrió importantes acumulaciones de agua y arrastres que provocaron el colapso parcial del sistema de drenaje, además de desperfectos en el firme y en los pavimentos. Estos daños, junto con las afecciones en el mobiliario y en los elementos de urbanización, han reducido la funcionalidad de la red viaria y evidencian la necesidad de acometer actuaciones prioritarias para garantizar la seguridad y la resiliencia del entorno urbano frente a futuros episodios de inundación.

La zonificación realizada diferencia tres niveles de intervención según el grado de afección y su correspondiente presupuesto. En rojo se encuentra la Calle Virgen de Fátima, con daños severos que requieren una reposición integral del firme y del drenaje, lo que supone un coste estimado de 132.000 €. En amarillo se sitúan las calles: Carrer Llíria, el tramo medio de la Calle Virgen de Fátima y el Carrer del Barranc de l'Horteta, donde la intervención será de intensidad media, centrada en reparaciones parciales del firme y mejoras puntuales del mobiliario urbano, con un presupuesto aproximado de 203.680 €. Finalmente, las calles en verde, entre ellas Carrer Malvarrosa, Carrer Xenillet, Carrer Quart de Poblet, Carrer Alfafar y Carrer Maestre Manuel Mera Solano, presentan afecciones de menor entidad, por lo que las actuaciones se limitan a limpieza y pequeñas reposiciones, con un coste previsto de 224.550 €. Esta clasificación permite no solo priorizar las zonas más dañadas, sino también estimar con precisión los recursos necesarios para la recuperación progresiva del viario urbano.

Descripción Tramo 4	C/ Llíria, C/ Mas del Jutge (Puente), C/ Murcia, C/ Albacete, C/Cuenca, C/ València y C/ Sant Lluís Beltran
Localización	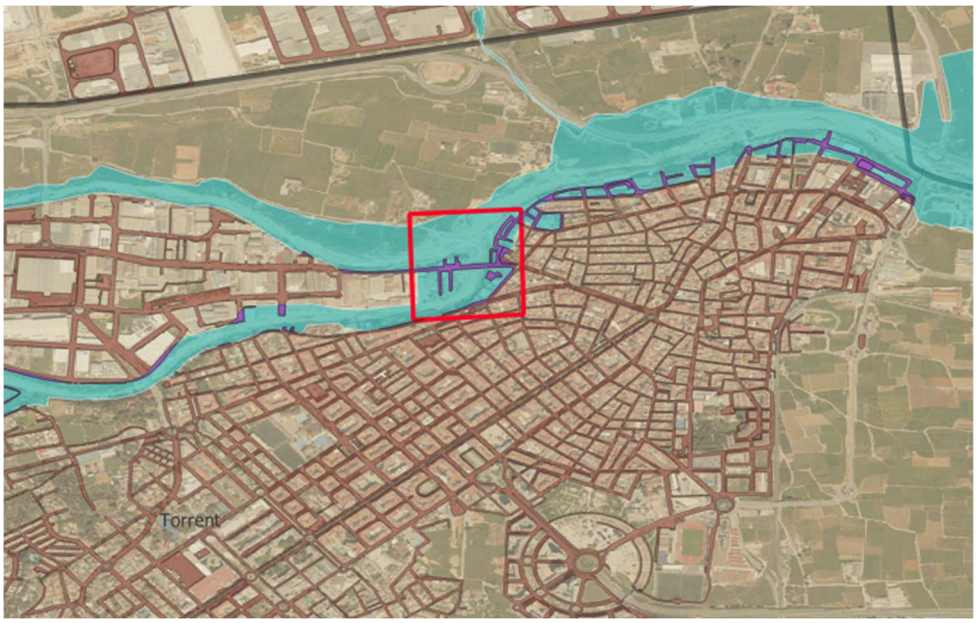
Detalle de planta	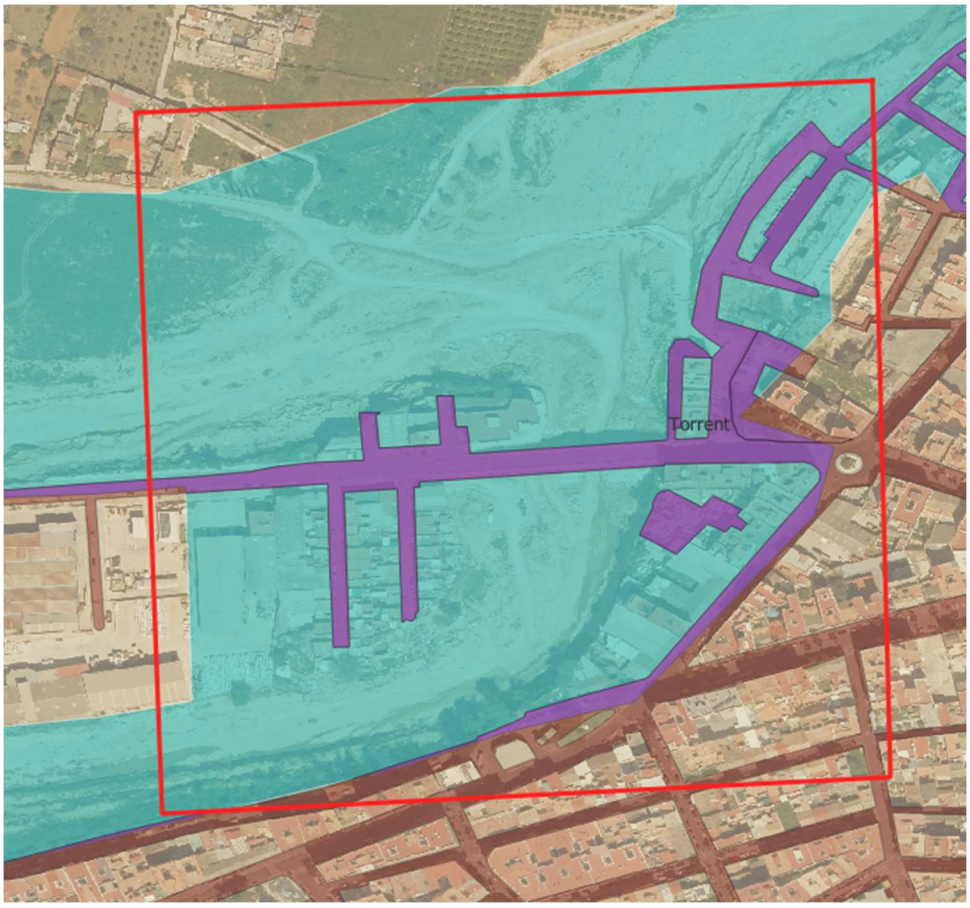

Planta con daños	
Nivel de intervención	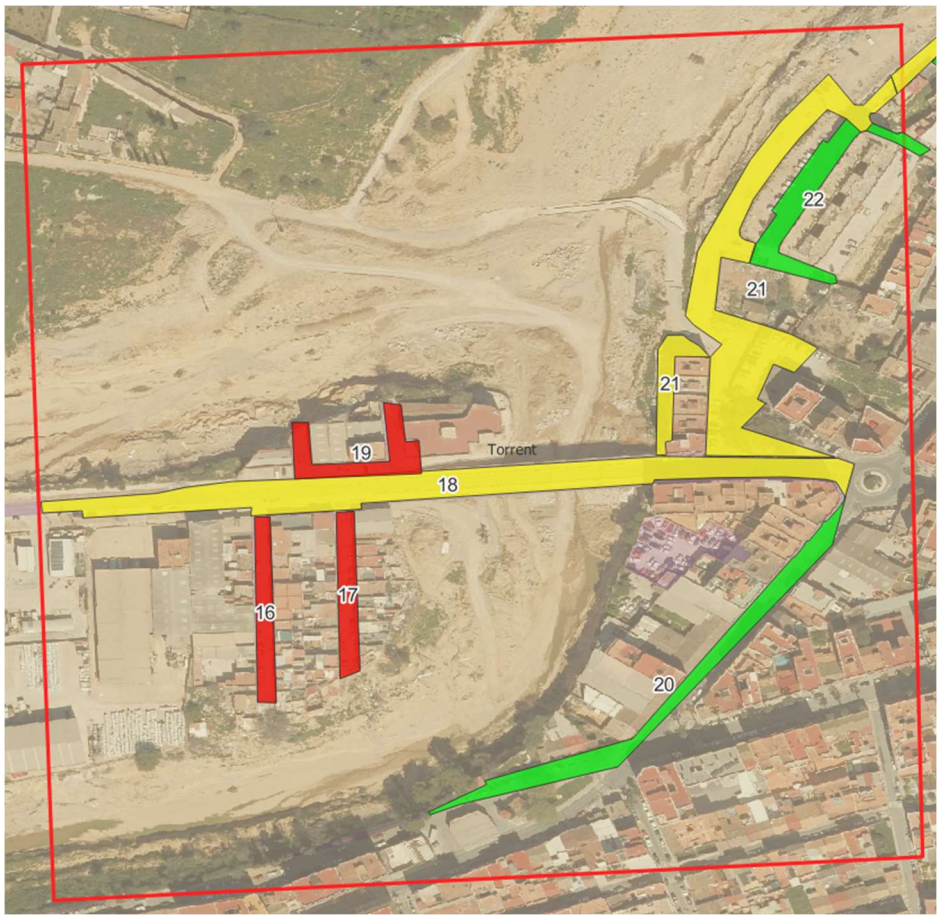

Propuesta

Sector	Superficie (m^2)	Grado de intervención	Coste (€)
16	692		138.400
17	680		136.000
18	4.426		420.470
19	809		161.800
20	1.763		88.150
21	4.563		433.485
22	1.173		58.650

Descripción

El tramo objeto de estudio corresponde a la confluencia entre el Barranco de l'Horteta y la Rambla del Poyo. Se trata de una zona que sufrió un fuerte impacto debido a la gran cantidad de agua que aportaron ambos barrancos y al elevado caudal resultante en su confluencia. Esta acumulación provocó arrastres de materiales, colapsos en el sistema de drenaje y daños importantes en el firme, la calzada y distintos elementos urbanos, reduciendo notablemente la funcionalidad de la red viaria y poniendo de manifiesto la necesidad de actuaciones de recuperación.

La zonificación realizada distingue tres grados de intervención. En rojo se encuentran las calles Albacete, Murcia, Cuenca y Yecla, que presentan los mayores daños y precisan una reposición completa del firme y de las infraestructuras de drenaje, con un coste estimado de 436.200 €. En amarillo figura la Calle Mas del Jutge (incluye el puente) y el Carrer de Llíria, donde se requieren reparaciones parciales de calzada y mejoras en el mobiliario urbano, con un presupuesto aproximado de 853.955 €. Finalmente, en verde aparecen la Calle Valencia y la propia Calle Llíria en su tramo menos afectado, donde bastará con trabajos de limpieza y pequeñas reposiciones, con un coste previsto de 146.800 €. Esta clasificación permite planificar las actuaciones en función de la gravedad de los daños y asignar los recursos de manera proporcional.

Descripción Tramo 5	C/ Mas el Jutge, C/ Mas del Jutge 2a y C/ el Perelló
Localización	
Detalle de planta	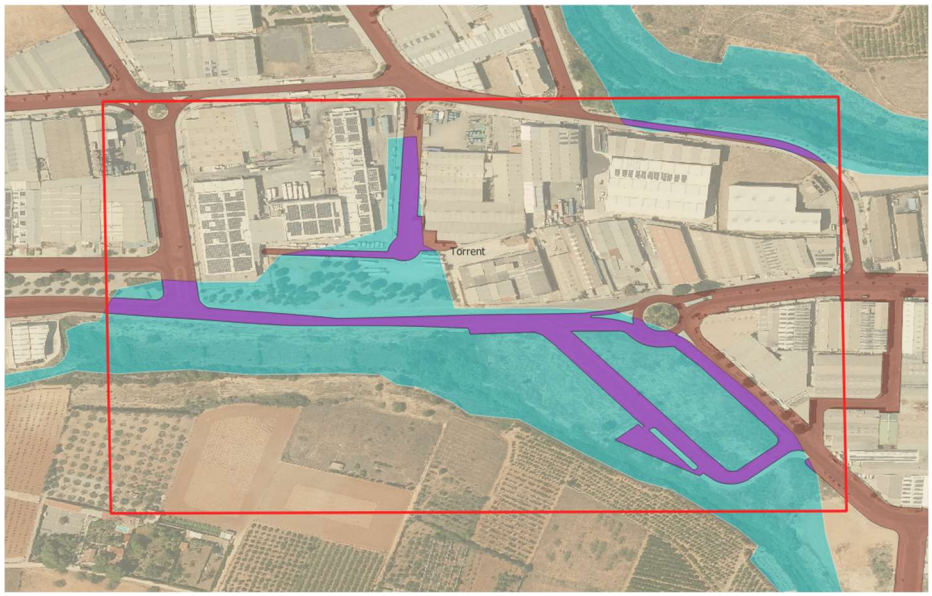
Planta con daños	

Nivel de intervención

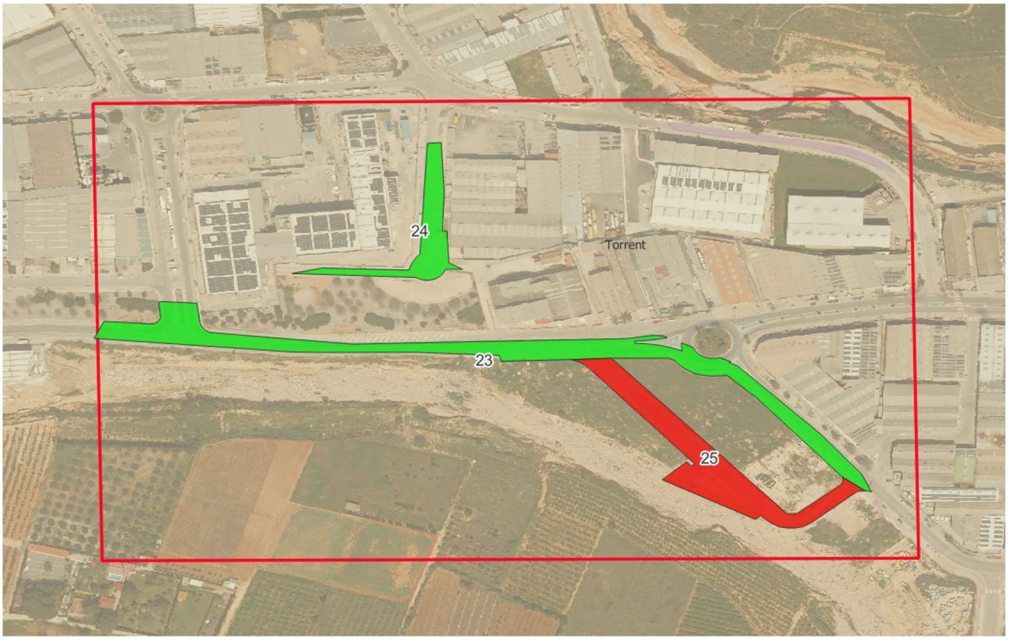

Propuesta

Sector	Superficie (m^2)	Grado de intervención	Coste (€)
23	8.659		432.950
24	2.512		125.600
25	5.588		1.117.600

Descripción

El tramo objeto de estudio se sitúa al oeste del polígono industrial Mas del Jutge, comprendiendo las calles Mas del Jutge 2a, Perelló, la avenida Mas del Jutge y la calle dels Drapers. Esta zona se vio gravemente afectada por la inundación procedente del Barranco de la Cañada del Peque, que provocó arrastres de materiales, colapsos en el sistema de drenaje y daños significativos en el firme y en distintos elementos urbanos, reduciendo la funcionalidad de la red viaria y evidenciando la necesidad de actuaciones de recuperación.

La zonificación de los daños distingue dos niveles de intervención. En rojo se encuentra la calle Mas del Jutge 2a, que presenta los mayores daños y requiere una reposición completa del firme y de las infraestructuras de drenaje, con un coste estimado de 1.117.600 €. En verde se ubican el resto de las calles del tramo estudiado, donde bastarán trabajos de limpieza y pequeñas reparaciones, con un presupuesto previsto de 558.550 €. Esta clasificación permite priorizar las actuaciones según la gravedad de los daños y asignar los recursos de manera eficiente.

Descripción Tramo 6	C/ Tonellet, C/ dels Sombrerers y C/ Perellonet
Localización	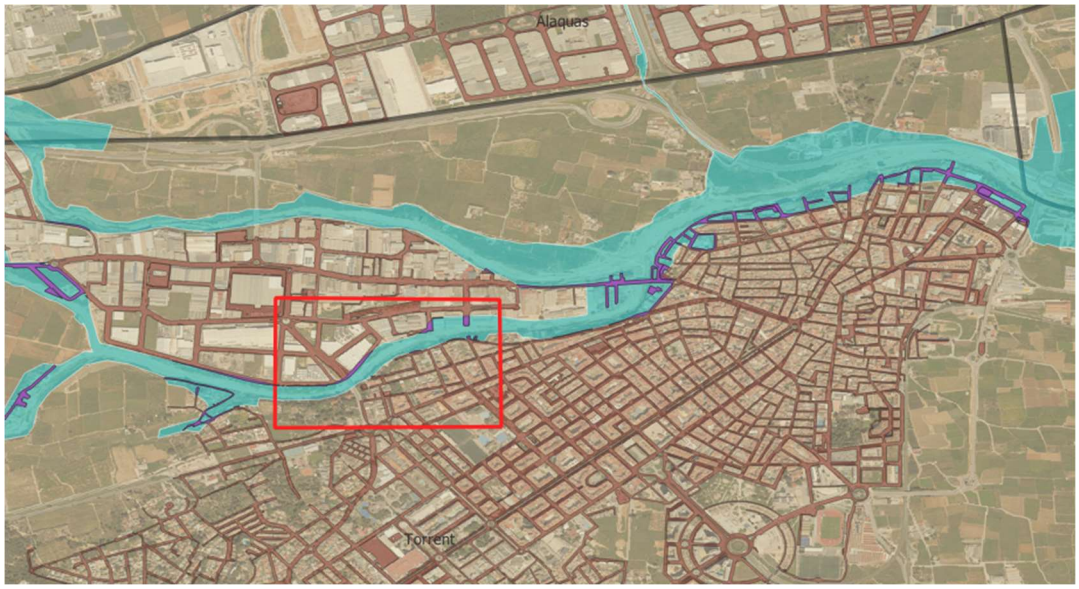
Detalle de planta	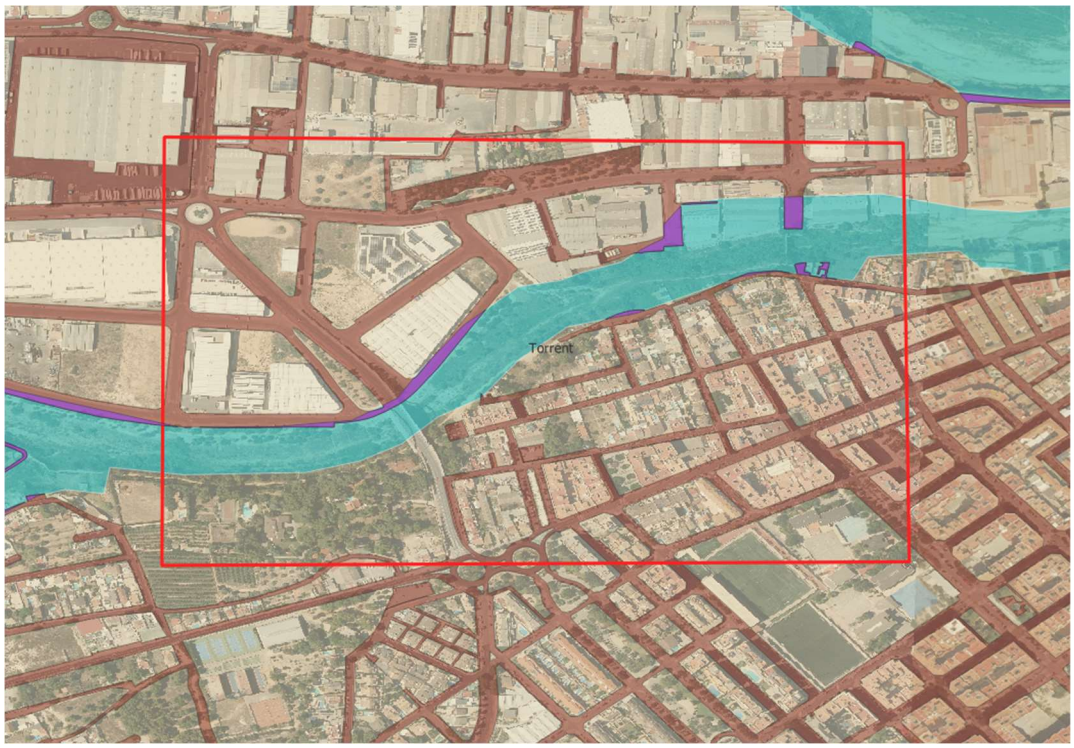

Planta con daños

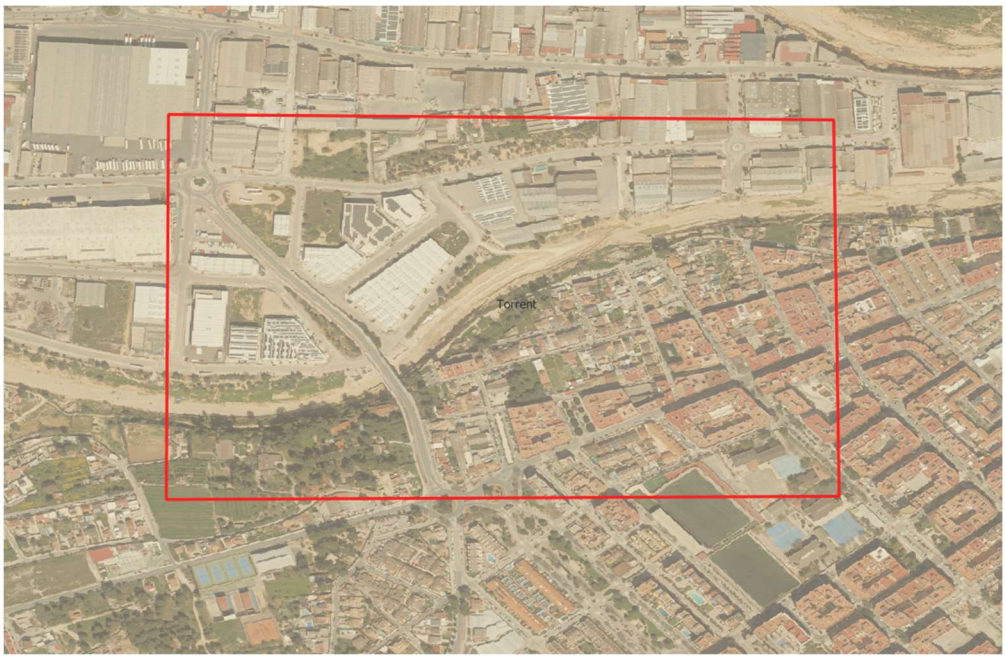

Nivel de intervención

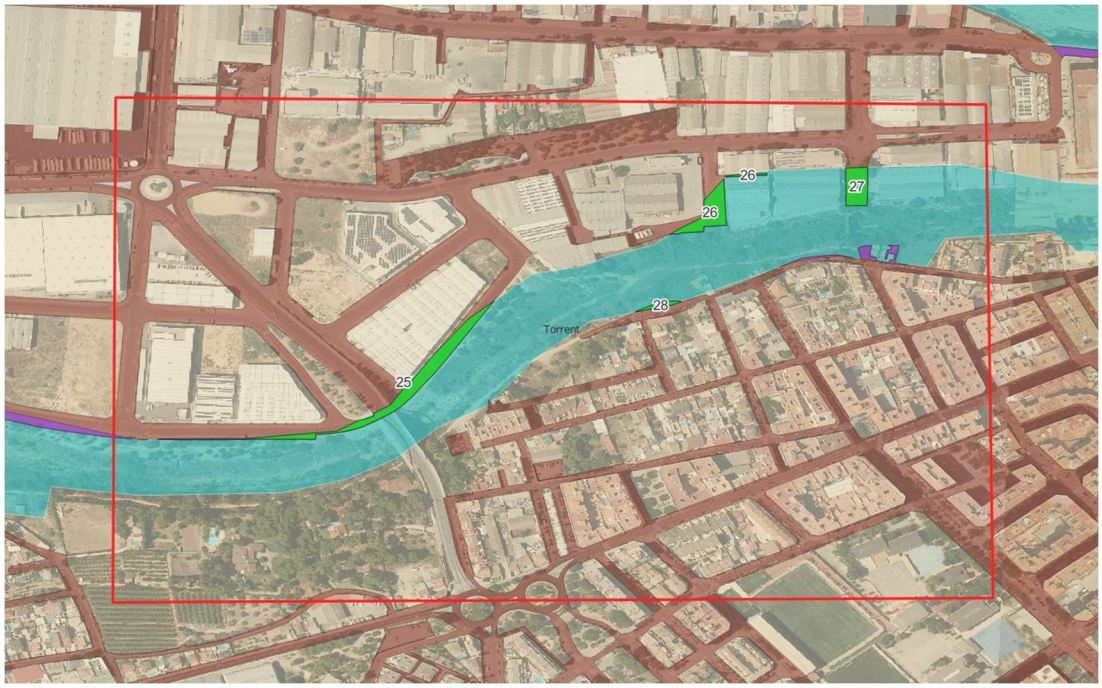

Propuesta

Sector	Superficie (m^2)	Grado de intervención	Coste (€)
25	2.355		117.750
26	1.255		62.750
27	931		46.550
28	156		7.800

Descripción	El tramo objeto de estudio se sitúa en las inmediaciones del Barranco de l'Horteta, comprendiendo las calles Tonellet, dels Sombrerers y Perellonet. Aunque se encuentran próximas al cauce, la afección registrada en este sector es menor, limitándose principalmente a la acumulación de sedimentos y residuos superficiales. Por ello, no se han identificado daños estructurales en el firme ni en las infraestructuras urbanas asociadas, manteniéndose en general la funcionalidad de la red viaria. La zonificación de los daños asigna a este ámbito la categoría verde, lo que implica que serán suficientes actuaciones de limpieza y mantenimiento puntual para restituir las condiciones previas. El presupuesto previsto para esta zona es de 234.850€, un presupuesto reducido en comparación con otros tramos, dado que no se requieren obras de reposición ni de renovación de infraestructuras, únicamente intervenciones básicas de conservación.

Descripción Tramo 7	Travesia Rosendo Montoro y C/ de Sant Lluís Beltran
Localización	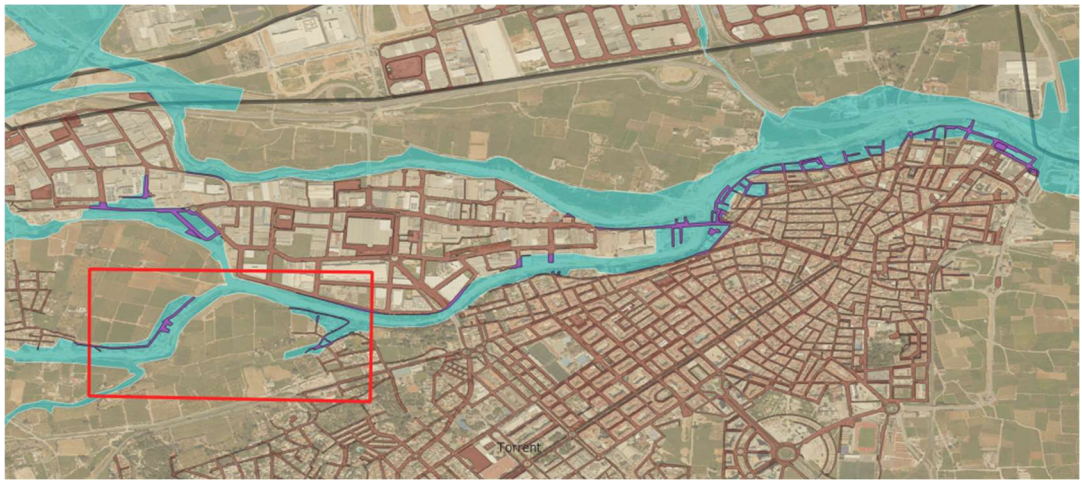
Detalle de planta	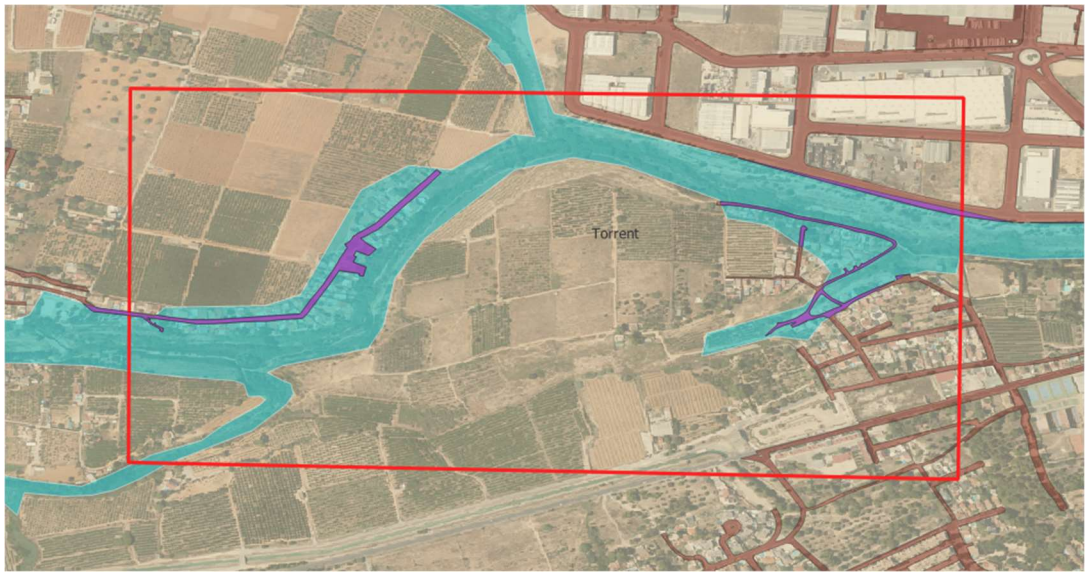
Planta con daños	

Nivel de intervención

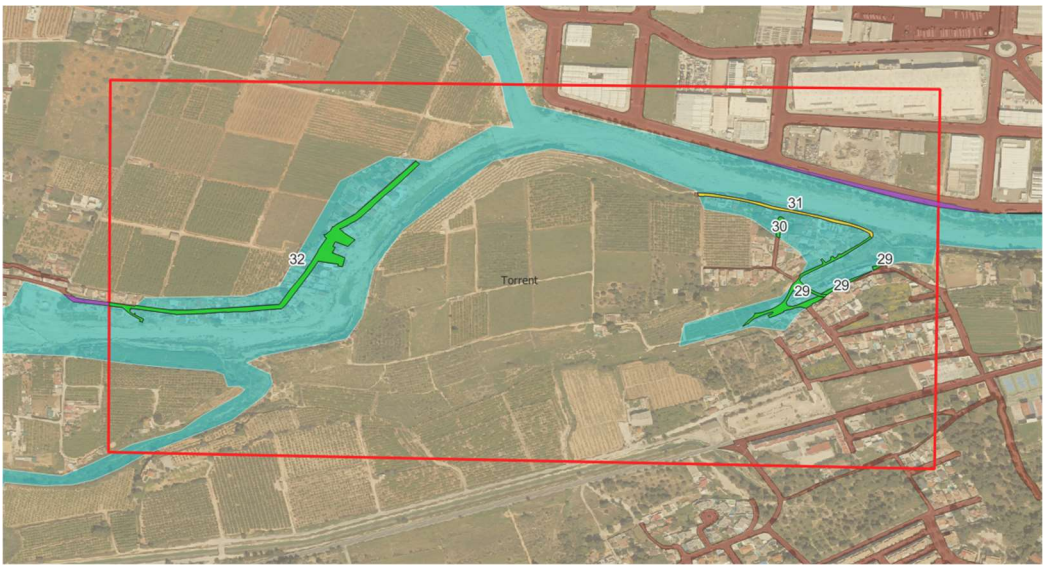

Propuesta

Sector	Superficie (m^2)	Grado de intervención	Coste (€)
29	2.287		114.350
30	222		11.100
31	1.223		116.185
32	6.191		309.550

Descripción

El tramo objeto de estudio se localiza en una zona más alejada del núcleo urbano, comprendiendo la travesía Rosendo Montoro y la calle Sant Lluís Beltran, ambas caracterizadas por la presencia de viviendas unifamiliares. La afección en este ámbito procede de la proximidad al Barranco de l'Horteta y de los efectos de la acumulación de agua durante el episodio de lluvias.

La zonificación de los daños diferencia dos niveles de intervención. En verde se sitúa la travesía Rosendo Montoro, donde únicamente se han registrado depósitos de sedimentos y restos arrastrados, por lo que serán suficientes trabajos de limpieza, con un presupuesto estimado de 435.000 €. En amarillo se encuentra la calle Sant Lluís Beltran, que además de requerir labores de limpieza presenta la pérdida de un elemento de protección: una barandilla de madera que delimitaba el vial y garantizaba la seguridad de los peatones frente al desnivel existente junto al cauce del barranco. Esta circunstancia obliga a acometer su reposición junto con el resto de actuaciones, con un coste previsto de 116.185€.

Descripción Tramo 8	Calle nº2, nº 3 y nº 4 del núcleo 25 y CV-411
Localización	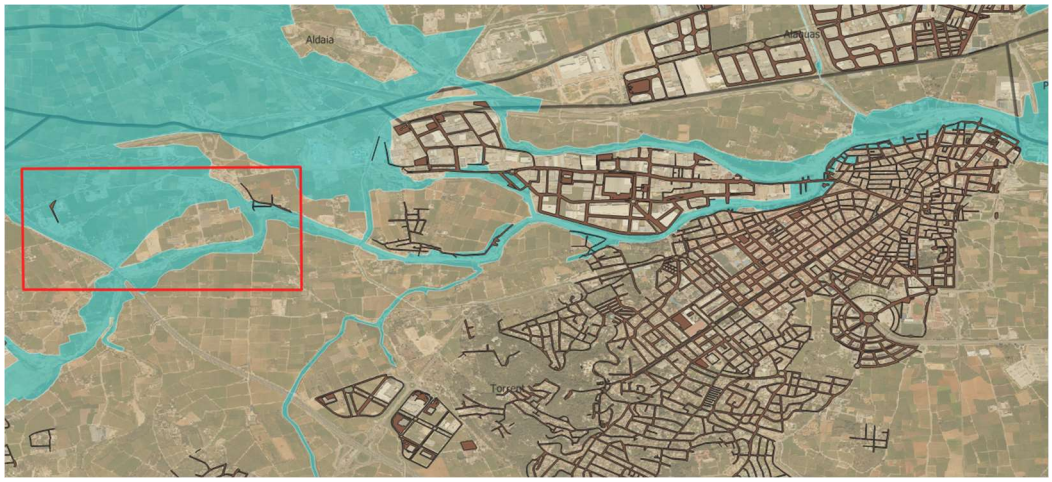
Detalle de planta	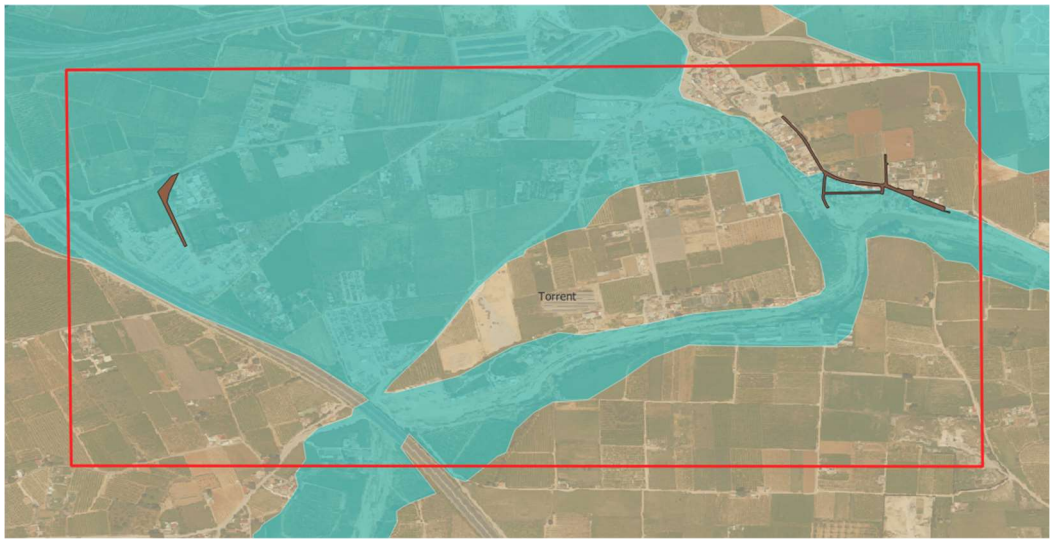
Planta con daños	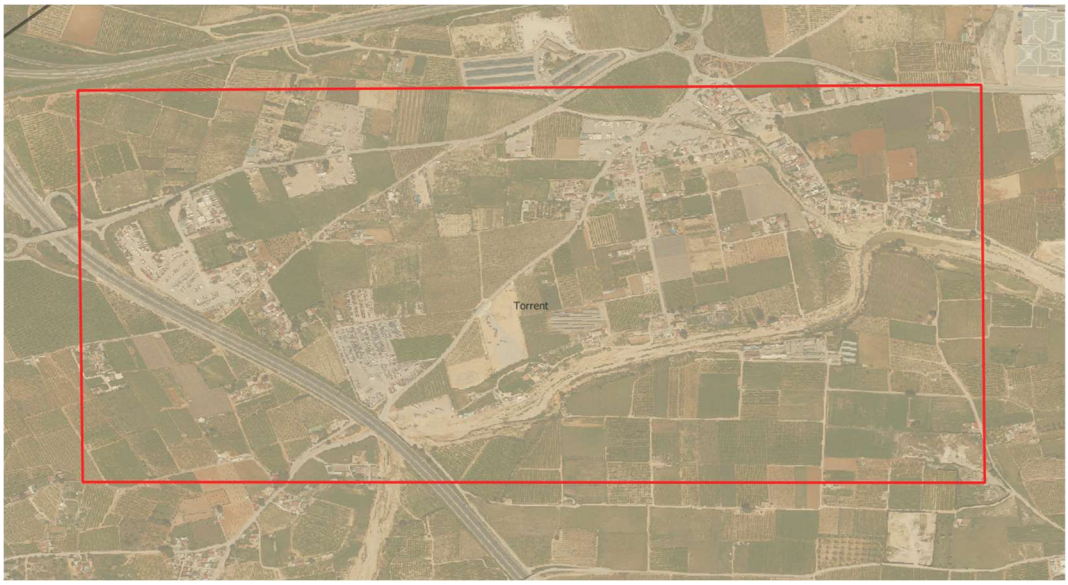

<table>
<tr><td>Nivel de intervención</td><td>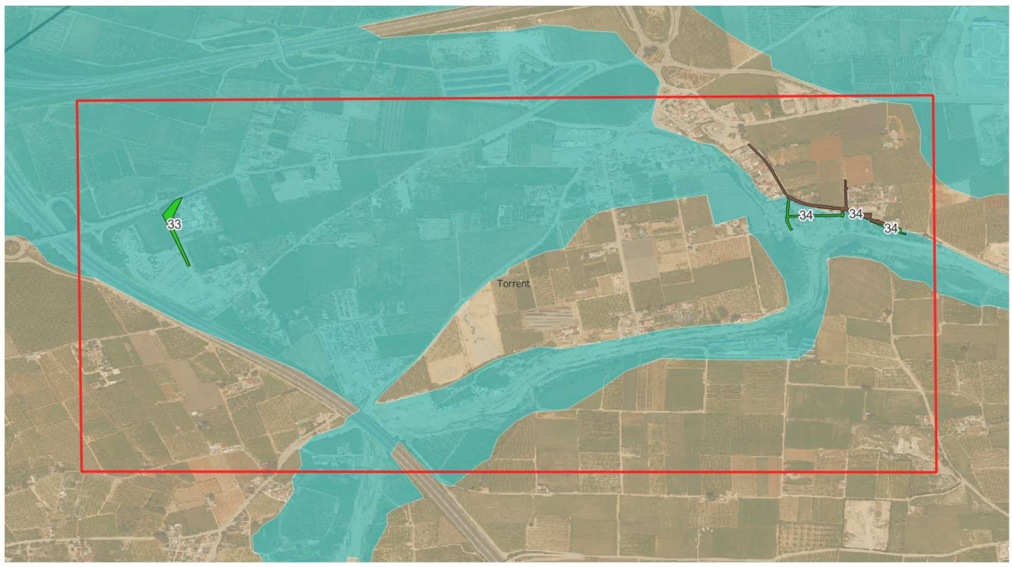
</td></tr>
<tr><td>Propuesta</td><td>
<table>
<tr><th>Sector</th><th>Superficie (m²)</th><th>Grado de intervención</th><th>Coste (€)</th></tr>
<tr><td>33</td><td>2.302</td><td></td><td>115.100</td></tr>
<tr><td>34</td><td>1.805</td><td></td><td>90.250</td></tr>
</table>
</td></tr>
<tr><td>Descripción</td><td>El tramo objeto de estudio se localiza en el entorno de las calles nº 2, nº 3 y nº 4 del núcleo 25, una zona de carácter residencial con viviendas unifamiliares y la CV-41. La afección en este ámbito procede de la acumulación de agua derivada del episodio de lluvias y de la proximidad al Barranco de l'Horteta.

La zonificación de los daños corresponde en su totalidad al nivel verde, tanto en las calles nº2, nº 3 y nº 4 del núcleo 25, como en una pequeña actuación localizada junto a la carretera CV-411. En ambos casos únicamente se han registrado depósitos de sedimentos y restos arrastrados, por lo que serán suficientes los trabajos de limpieza y retirada de materiales. El presupuesto estimado para la ejecución de estas actuaciones asciende a 205.350 €.</td></tr>
</table>